Le genre *Eurysternus* Dalman, 1824 (Scarabaeidae : Scarabaeinae : Oniticellini), révision taxonomique et clés de détermination illustrées

François Génier



PENSOFT.

Le genre

Eurysternus **Dalman, 1824**

(Scarabaeidae : Scarabaeinae : Oniticellini),

révision taxonomique et clés de détermination illustrées

Le genre

Eurysternus Dalman, 1824

(Scarabaeidae : Scarabaeinae : Oniticellini), révision taxonomique et clés de détermination illustrées

François Génier



Sofia–Moscow
2009

Le genre *Eurysternus* Dalman, 1824
(Scarabaeidae : Scarabaeinae : Oniticellini),
révision taxonomique et clés de détermination illustrées

François Génier

Musée canadien de la nature
C.P. 3443, Succ. D
Ottawa, Ontario, K1P 6P4
Canada

e-mail: fgenier@mus-nature.ca

Pensoft *Series Faunistica* No 85
ISSN 1312-0174

First published 2009
ISBN: 978-954-642-472-3 (HB)
ISBN: 978-954-642-473-0 (e-book)

Pensoft Publishers
Geo Milev Str. 13a, Sofia 1111, Bulgaria
info@pensoft.net
www.pensoft.net

Printed in Bulgaria, February 2009

TABLE DES MATÈRES

RÉSUMÉ

On révise la taxonomie et la systématique des bousiers néotropicaux du genre *Eurysternus* Dalman. Un historique de la classification et de la nomenclature, ainsi qu'une discussion sur la position systématique du genre, servent d'introduction. Le niveau tribal du genre *Eurysternus* est reconsidéré et rétrogradé au niveau de sous-tribu des Oniticellini. Les trois sous-genres (*Eurysternus* s. str., *Eurysternodes* et *Pareurysternus*) définis par Martínez (1988) ne sont pas reconnus et sont mis en synonymie sous *Eurysternus*. On reconnaît 53 espèces dont les 27 suivantes nouvelles : *E. aeneus*, *E. arnaudi*, *E. atrosericus*, *E. cambeforti*, *E. cavatus*, *E. contractus*, *E. cyclops*, *E. fallaciosus*, *E. francinae*, *E. gilli*, *E. gracilis*, *E. harlequin*, *E. howdeni, E. inca*, *E. lanuginosus*, *E. martinsi*, *E. maya*, *E. nanus*, *E. nigrovirens*, *E. obliteratus*, *E. olivaceus*, *E. squamosus*, *E. streblus*, *E. strigilatus*, *E. superbus*, *E. truncus*, *E. uniformis*. On désigne des néotypes pour les espèces *E. pectoralis* Guérin-Méneville et *E. scotinoides* Castelnau. Le statut des espèces *E. pectoralis* Guérin-Méneville et *E. scotinoides* Castelnau, restées jusqu'ici *nomina dubia* est résolu. L'espèce *E. hypocrita* Balthasar est considérée comme *bona species* et retirée de la synonymie d'*E. velutinus*. On établit les synonymies suivantes, la seconde épithète étant valide : *E. balthasari* Martínez = *E. balachowskyi* Halffter & Halffter; *E. pectoralis* Guérin-Méneville = *E. marmoreus* Castelnau; *E. confusus* Jessop = *E. cayennensis* Castelnau; *E. joffrei* Martínez = *E. plebejus* Harold; *E. scotinoides* Castelnau = *E. calligrammus* Dalman. Les 53 espèces reconnues sont assignées à onze groupes d'espèces définis à l'aide de caractères communs. On discute de la variabilité des espèces dont certaines posent problème en espérant orienter des travaux subséquents. Des clés de déterminations illustrées pour les groupes d'espèces et les espèces sont annexées en langue française, anglaise, espagnole et portugaise. Enfin, pour chaque espèce on présente soit une diagnose pour les espèces déjà connues soit une description complète pour les espèces nouvelles, une bibliographie complète, l'étymologie, la répartition et des données concernant l'habitat, la période d'activité et la biologie lorsqu'elles sont connues.

ABSTRACT

The taxonomy and systematics of the neotropical dung beetle genus *Eurysternus* Dalman is revised. A brief history of the classification and nomenclature and a discussion of the generic position of the genus are provided. The tribal status of Eurysternini is revised and downgraded to a subtribe of Oniticellini. Martínez's (1988) three subgenera of *Eurysternus* (*Eurysternus s. str.*, *Eurysternodes* and *Pareurysternus*) are not retained and the Martínez names are placed in synonymy with *Eurysternus*. I recognized 53 species of *Eurysternus*, 27 of which are described as new: *E. aeneus*, *E. arnaudi*, *E. atrosericus*, *E. cambeforti*, *E. cavatus*, *E. contractus*, *E. cyclops*, *E. fallaciosus*, *E. francinae*, *E. gilli*, *E. gracilis*, *E. harlequin*, *E. howdeni*, *E. inca*, *E. lanuginosus*, *E. martinsi*, *E. maya*, *E. nanus*, *E. nigrovirens*, *E. obliteratus*, *E. olivaceus*, *E. squamosus*, *E. streblus*, *E. strigilatus*, *E. superbus*, *E. truncus*, *E. uniformis*. Neotypes are designated for *E. pectoralis* Guérin-Méneville and *E. scotinoides* Castelnau. The status of *E. pectoralis* Guérin-Méneville and *E. scotinoides* Castelnau, previously considered *nomina dubia*, are here resolved. The species *E. hypocrita* Balthasar is reestablished as *bona species* and removed from synonymy with *E. velutinus*. The following synonymies are established (with the second epithet being valid): *E. balthasari* Martínez = *E. balachowskyi* Halffter & Halffter; *E. confusus* Jessop = *E. cayennensis* Castelnau; *E. joffrei* Martínez = *E. plebejus* Harold; *E. pectoralis* Guérin-Méneville = *E. marmoreus* Castelnau; *E. scotinoides* Castelnau = *E. calligrammus* Dalman. The 53 species recognized here are organized into eleven species groups that are hypothesized to be natural based on shared characters. The intraspecific variability of some species is discussed in some problem cases with the hope that this will guide subsequent studies. Multilingual, French, English, Spanish and Portuguese, illustrated identification keys are provided for species groups and all species. Finally, a diagnosis for previously described species and complete description for newly described species are provided as well as bibliographic citations, etymology, distribution data and data concerning habitat and natural history when known.

INTRODUCTION

HISTORIQUE

La première espèce du genre à être décrite, *Eurysternus caribaeus*, le fut par Herbst en 1789; à cette époque seuls les genres *Scarabaeus* Linnaeus, 1758, et *Copris* Müller, 1762 sont reconnus et Herbst place son *caribaeus* dans le genre *Scarabaeus*. Le groupe *Scarabaeus* de Herbst inclut en grande partie des Scarabaeinae, mais aussi des Aphodiinae et des Geotrupidae. Le faciès très particulier des *Eurysternus* en fait un groupe reconnaissable au premier coup d'oeil. C'est sans doute pour cette raison que ce genre fut reconnu et décrit assez tôt par Dalman (1824) pour les espèces *planus* [= *caribaeus*], *calligrammus*, *rufescens* et *hirtellus*. Par la suite, Le Peletier de Saint Fargeau & Audinet-Serville (1828) redécrivent le genre et l'espèce *planus* [= *caribaeus*] sous le non d'*Aescrotes planus* et y rattachent l'espèce *Onitis deplanatus* (Germar, 1824), sans toutefois mentionner l'*Onitis inflexus* Germar décrit dans le même travail. Dalman, Le Peletier de Saint Fargeau & Audinet-Serville utilisent le nom d'espèce *planus* proposé par Dejean et resté *in litteris* de son catalogue (1821) (il semble que le travail de Dalman n'a pas été vu par Le Peletier de Saint Fargeau & Audinet-Serville). En 1830, Guérin-Méneville présente la figure d'*E. foedus*, la description formelle ne suivra qu'en 1844 avec la publication du troisième volume de l'*Iconographie du Règne animal* de Cuvier. La même année Perty (1830) décrit *E. opatrinus*, qui sera mis en synonymie d'*E. inflexus* par Castelnau en 1840. Le travail de Castelnau double presque le nombre d'espèces connues à l'époque en y décrivant les espèces *cayennensis*, *impressicollis*, *magnus*, *marmoreus*, *parallelus* et *scotinoides*. Le statut de cette dernière espèce demeure obscur même après la révision de Jessop (1985). Guérin-Méneville décrit encore, en 1855, une autre espèce, *E. pectoralis*, d'après du matériel de l'expédition de Gaetano Osculati sur les bords du Napo et de l'Amazone. Guérin-Méneville rapproche cette espèce d'*E. magnus* et comme pour *E. scotinoides*, le statut exact demeure obscur même après la révision de Jessop (1985) qui note l'absence de matériel type et la description insuffisante. Le statut de ces deux espèces est traité ici et résolu après réinterprétation des descriptions. L'expédition de Francis de Castelnau au Brésil fournit du matériel que Lucas décrit dans un ouvrage daté de 1857, mais qui paraît seulement en 1859, soit 12 ans après le retour de Castelnau. Malheureusement, ces trois espèces sont des synonymes, soit *E. femoralis* [= *E. parallelus*], *E. opacus* [= *E. calligrammus*] et *E. planipennis* [= *E. inflexus*].

Harold (1869), dans son travail sur les Coprides du Mexique, rapporte trois espèces d'*Eurysternus* pour ce pays, dont deux nouvelles, soit *E. mexicanus* et *E. angustulus*. La troisième espèce traitée par Harold, *E. magnus*, est comparée à *E. calligrammus* et *E. bolivianus* comme étant l'une des plus grandes du genre. Le nom *bolivianus*, qui est cité sans référence à l'auteur, est probablement *in litteris*, ce nom n'étant pas cité dans le catalogue de Gemminger & Harold publié la même année. Kirsch, dans sa contribution à la faune des coléoptères de Bogota de 1871, présente les descriptions de deux espèces qu'il croit nouvelles : *E. claudicans*, qui fut longtemps considérée valide, mais mise en synonymie sous *E. foedus* par Jessop (1985), et *E. nebulosus* mise en synonymie sous *E. caribaeus* par Harold (1880), soit peu de temps après sa description. Il semble que la variabilité de taille et de coloration observée chez *E. caribaeus* trompe les systématiciens et Harold (1875) redécrit cette espèce, pour la quatrième fois après Dalman, Le Peletier de Saint Fargeau & Audinet-Serville, et Kirsch, sous le nom d'*E. peruanus*. Dans la liste des coprophages récoltés par Steinheil en Nouvelle-Grenade (Colombie), Harold (1880) traite de six espèces d'*Eurysternus*, dont *E. plebejus* qui est inédite. Il décrit cette dernière et la rapproche d'*E. cayennensis*. Enfin, Harold décrit une dernière espèce d'*Eurysternus* en 1883. C'est à l'époque où sa santé décline et seulement trois ans avant sa mort qu'il décrit *E. cirratus*, qui est ici synonyme d'*E. hirtellus*. À peine quelques années plus tard, Bates (1887), dans sa contribution à la *Biologia Centrali Americana*, traite des espèces présentes en Amérique centrale. Des sept espèces traitées dans l'ouvrage, une est nouvelle, soit *E. velutinus*, qu'il rapproche d'*E. claudicans*. Dans son traitement, il place le genre *Eurysternus* à la suite du genre *Sisyphus*, ce qui semble suggérer qu'il considère l'existence d'une certaine affinité entre ces deux taxons. Il faut attendre plus d'un demi-siècle pour que Balthasar, dans sa neuvième contribution à l'étude des Scarabéidés de la région néotropicale, publie la description de quatre nouvelles espèces, soit *E. cyanescens*, *E. hamaticollis*, *E. hypocrita* et *E. sulcifer*. Toutes ces espèces, bien caractérisées, demeurent valides aujourd'hui; seul *E. hypocrita* avait été mis en synonymie sous *E. velutinus* par Jessop (1985), mais cette espèce est revalidée ici. Halffter et Halffter (1977) publient un travail sur la faune des *Eurysternus* de Guyane française. Le riche matériel récolté par la mission de Balachowsky, dont Gonzalo Halffter faisait partie, est rapporté au Mexique et les spécimens vivants sont élevés dans des terrariums, ce qui permet d'observer pendant près de neuf ans le comportement nidificateur des cinq espèces rapportées de Guyane française. Quatre des cinq espèces (*E. caribaeus*, *E. cayennensis*, *E. foedus* et *E. velutinus* [= *E. hypocrita*]) sont connues, mais la cinquième, *E. balachowskyi*, est nouvelle et décrite dans le travail de Halffter, qui présente une synthèse des connaissances du groupe. C'est Jessop (1985) qui le premier entreprend une révision systématique du genre. Dans un effort pour stabiliser la nomenclature, il désigne plusieurs néotypes et met en synonymie plusieurs espèces. Il est le premier à présenter des cartes de

répartition pour chacune des espèces reconnues dans son travail. Il divise les espèces du genre en deux groupes en se basant sur la présence ou l'absence d'une fovéole sur le disque du métasternum et la prolongation de la carène humérale. En outre, il présente une clé de détermination et une description, sous forme de tableau, pour toutes les espèces. Jessop ne décrit qu'une seule nouvelle espèce, *E. confusus*, qu'il rapproche d'*E. cayennensis*. Il s'agit en fait de l'espèce que Martínez décrira en 1988, *E. vastiorum*, qu'il reconnaît, mais ne sait pas vraiment définir. L'illustration du fémur postérieur qu'il présente correspond bien à *E. vastiorum*, mais l'holotype que Jessop désigne est un petit exemplaire d'*E. cayennensis*. Pour ajouter à la confusion la série de paratypes est composée de spécimens appartenant à *E. cayennensis*, *E. vastiorum*, et *E. gilli* que l'on décrit ici. En 1988, Martínez publie une note où il discute le travail de Jessop, décrit six nouvelles espèces (*E. balthasari* [= *E. balachowskyi*], *E. jessopi*, *E. joffrei* [= *E. plebejus*], *E. navajasi*, *E. vastiorum* et *E. wittmerorum*) et propose le fractionnement du genre *Eurysternus* en trois sous-genres (*Eurysternus* s.str., *Eurysternodes* et *Pareurysternus*). Le travail le plus récent traitant la taxonomie des *Eurysternus* concerne la description de deux espèces vénézuéliennes, *E. sanbornei* et *E. ventricosus* par Gill (1990).

POSITION SYSTÉMATIQUE

Il ne fait aucun doute que le genre *Eurysternus* occupe une place assez isolée au sein des Scarabaeinae du Nouveau Monde. Son faciès particulier n'a rien de comparable avec les autres genres néotropicaux. C'est van Lansberge qui placera le genre *Eurysternus* dans la tribu des Sisyphini qu'il définit dans son travail de 1874, *Observations sur la classification des lamellicornes coprophages*. Ce n'est qu'en 1961, reconnaissant les caractères uniques des *Eurysternus*, qu'une tribu spéciale fut créée aux dépens des Sisyphini par Vulcano *et al.* pour ces espèces. Ces auteurs définissent leur nouvelle tribu par la combinaison de caractères suivante : marge antérieure du clypéus sans dents, palpes labiaux de deux articles, antennes de neuf articles, apex du mésoscutellum visible entre la base des élytres et pseudépipleures très large. Il ne fait aucun doute que l'inclusion des *Eurysternus* dans la tribu des Sisyphini n'était basée que sur des caractères artificiels, notamment la configuration verticale du proépisternum, les pattes longues et grêles, et le positionnement des hanches médianes.

Il convient maintenant d'examiner la tribu des Eurysternini pour déterminer son groupe-frère et réévaluer la pertinence du statut. Vulcano *et al.* (1961) justifient la création de la tribu des Eurysternini en comparant le genre *Eurysternus* aux genres *Sisyphus* Latreille, *Nesosisyphus* Vinson et *Platyphymatia* Waterhouse [= *Amphistomus* Lansberge]. En fait, d'après les résultats non publiés du présent auteur, aucun de

ces genres n'a vraiment d'affinité avec *Eurysternus*. Ces résultats indiquent plutôt qu'*Eurysternus* doit être rattaché aux Oniticellini. La similarité du genre *Scaptocnemis* Péringuey est particulièrement révélatrice et en voici le détail :

- habitus aplati dorsalement, à côtés parallèles;
- tête sans carènes ou tubercules, hexagonale dans son ensemble en vue dorsale;
- palpe labial de deux articles bien développés dont le deuxième est ovalaire et aplati dorsoventralement, un troisième segment très réduit et disposé un peu en retrait sur la face dorsale est aussi présent (Fig. 23);
- palpe maxillaire cylindrique de quatre articles, l'apical à peu près aussi long que les trois basaux combinés (Fig. 24);
- fémur antérieur caréné postérieurement (Fig. 25);
- trochanter antérieur sillonné antérieurement sur la face ventrale (Fig. 25);
- marge antérieure du tibia mâle tronquée perpendiculairement et munie d'une brosse de soies;
- tarse antérieur réduit avec le segment basal court, plus ou moins globuleux chez les mâles (Fig. 26) et allongé chez les femelles (Fig. 27);
- prosternum horizontal dans son ensemble derrière les hanches antérieures;
- membrane de l'arête supéroantérieure du pronotum absente ou vestigiale (Fig. 28);
- proépisternum qui remonte largement et verticalement sur l'arrière des côtés (Fig. 29);
- hanches médianes parallèles et largement séparées (Fig. 30);
- mésoscutellum visible entre les élytres à leur base (Fig. 31);
- élytre à pseudépipleure large et vertical (Fig. 32);
- huit stries aux élytres, la huitième cependant très estompée chez *Scaptocnemis*;
- suture des segments abdominaux sept et huit sillonnée latéralement (Fig. 33);
- pygidium caréné le long de la base (Fig. 34);
- neuvième urite présent et développé;
- lamelle du sac interne en forme de loupe, présente et réduite à une « faucille ».

Outre ces caractères, la configuration des pattes médianes et postérieure ne présente aucune différence avec le type « Oniticellini », le segment basal du tarse médian est très long et à côtés parallèles, à peu près aussi long que les trois suivants réunis, le segment basal est également flanqué d'une rangée de courtes soies le long de la marge inférieure et de deux rangées à la marge supérieure dont l'interne est réduite vers la base; le segment apical est un peu plus long que le précédent, cylindrique et complètement glabre, sauf les deux soies qui prennent naissance à l'apex; les lamelles axillaires de la base des griffes tarsales sont présentes et la supérieure est lancéolée (Fig. 35) (ce caractère n'étant visible qu'en microscopie électronique). La

configuration du tarse postérieur semble un peu dérivée chez les *Eurysternus*. La forme des fémurs et des tarses médian et postérieur est plus ou moins modifiée selon les espèces, mais on observe un allongement et un recourbement des tibias médian et postérieur résultant certainement d'adaptations comportementales. Le caractère du dimorphisme sexuel du segment basal du tarse antérieur est une synapomorphie qui indique une filiation très proche entre les Oniticellini et les Onthophagini.

Le genre *Scaptocnemis* diffère du genre *Eurysternus* par les caractères suivants :

- marge antérieure du clypéus femelle munie d'une dent médiane (apomorphie);
- prosternum, derrière les hanches antérieures, muni d'une excroissance scutiforme sur le disque (apomorphie);
- suture mésométasternale simplement arquée (plésiomorphie);
- métasternum muni d'une saillie cunéiforme au milieu à l'avant (apomorphie);
- fémurs médians et postérieurs munis d'un vestige de carène sur la face postérieure (plésiomorphie);
- pygidium très grand (apomorphie);
- apex des paramères fortement divergents apicalement (apomorphie?).

Ayant seulement un mâle de *Scaptocnemis* pour étude, il n'a pas été possible de le disséquer complètement pour vérifier les caractères internes, le ptérothorax et les ailes. Cependant, l'apophyse de la membrane de la hanche postérieure est présente chez tous les exemplaires d'Oniticellini disséqués; il paraît donc raisonnable de croire qu'elle est aussi présente chez les *Scaptocnemis* comme chez les *Eurysternus*.

D'autres caractères, qui ne sont cependant pas présents chez toutes les espèces d'*Eurysternus*, semblent confirmer l'inclusion des *Eurysternus* dans la tribu des Oniticellini. Par exemple, certaines espèces possèdent une ou deux taches noires opaques très distinctes sur la hanche médiane, qui ne sont visibles que lorsque la patte médiane est repliée vers le bas. Ces taches sont identiques chez les *Tiniocellus* Péringuey, *Euoniticellus* Janssens et *Yvescambefortius* Ochi & Kon, moins caractérisées mais également présentes chez *Scaptocnemis*, qui a une coloration plus sombre. Aucun autre genre de Scarabaeinae étudié ne possède ce type de taches. La coloration en grande partie pâle et tachetée chez la plupart des spécimens appartenant aux groupes *impressicollis*, *magnus* et *caribaeus*, les touffes de soies présentes à l'extrémité des élytres et le cinquième interstrie distinctement convexe, comme chez les espèces des groupes *impressicollis*, semblent confirmer cette filiation. Il faut aussi mentionner la thanatose qu'adoptent les *Eurysternus* et les Oniticellini lorsqu'ils sont dérangés, comportement bien décrit par Gill (1990). Quoique ce comportement soit aussi présent chez les *Sisyphus* et les *Amphistomus*, par exemple,

il semble indiquer une parenté dans le cas des *Eurysternus* du fait qu'il s'ajoute à tout un ensemble de caractères morphologiques. Le seul autre genre qui pourrait se rapprocher des *Eurysternus* est le genre australien *Amphistomus*, mais il en diffère nettement par les caractères des élytres (nombre de stries et conformation de l'épipleure et du pseudépipleure) et des pattes (configuration du fémur et du tarse), entre autres. Finalement, les caractères des palpes labiaux, pattes et élytres placent *Eurysternus* très loin des Sisyphini.

À la lumière des caractères morphologiques mentionnés ci-dessus, il semble très vraisemblable que les *Eurysternus* soient en fait des Oniticellini. Si c'est le cas, il convient d'examiner la relation des *Eurysternus* avec les autres genres d'Oniticellini du Nouveau Monde. Il y a actuellement quatre genres d'Oniticellini connus en Amérique : *Liatongus* Reitter, *Euoniticellus* Janssens, *Anoplodrepanus* Simonis, et *Attavicinus* Philips & Bell. Comme Zunino (1982) le suggère, tous ces taxons semblent être issus d'invasions relativement récentes d'espèces asiatiques par le nord-ouest pour les espèces continentales (*Liatongus* et *Attavicinus*) et par une route méditerranéenne-nord américaine, avec extinctions subséquentes, pour les espèces antillaises (*Euoniticellus* et *Anoplodrepanus*). Les deux espèces de *Liatongus* (*L. californicus* Horn et *L. rhinocerulus* Bates) ont plus d'affinités avec les espèces asiatiques du genre, spécialement les *Liatongus* des groupes *phanaeoides*, *davidi*, *incurvicornis* et *medius* (Zunino, 1982). *Attavicinus monstrosus*, quant à lui, se rapproche de l'espèce paléarctique *Paroniticellus festivus* (Zunino, 1982) et semble relativement distant des *Eurysternus*. Les *Anoplodrepanus*, connus seulement de la Jamaïque, semblent pour leur part isolés depuis assez longtemps. La configuration de la tête, du pronotum, le scutellum à peine visible, et la présence de la carène sur la face postérieure du fémur médian et postérieur, suggèrent une filiation assez éloignée des *Eurysternus*. Par contre, les *Anoplodrepanus* présentent au moins deux synapomorphies, qui les rapprochent des genres *Euoniticellus* et *Yvescambefortius*, soit la présence d'une callosité foncée sur le cinquième interstrie avant l'apex des élytres et la configuration de la marge postérieure du pronotum, qui est atténuée de chaque côté.

Zunino (1983), dans son essai préliminaire sur l'évolution des armures génitales des Scarabaeinae, suggère une position très isolée et basale pour la tribu des Eurysternini. Mais comme nous l'avons vu, l'armature génitale des mâles ainsi que les sclérites du sac interne et la présence d'un urite bien développé sont semblables à ce qui s'observe chez *Scaptocnemis*. De plus, considérant que les *Eurysternus* sont strictement néotropicaux (continentaux), qu'ils comportent plusieurs espèces toutes bien adaptées aux divers biotopes humides ou arides, que celles-ci ont évolué en plusieurs types morphologiques (par ex. comparer le groupe *hirtellus* et le groupe *caribaeus*), une origine beaucoup plus ancienne, voire gondwanienne, semble possi-

ble pour les *Eurysternus*. C'est justement ce que la relation avec *Scaptocnemis*, genre monospécifique africain bien caractérisé et sans doute relictuel, semble confirmer.

Afin de ne pas retarder indûment la publication du présent travail, l'analyse phylogénétique des espèces d'*Eurysternus* et genres voisins sera exposée dans un travail subséquent. Cependant, il convient ici de confirmer la position du genre *Eurysternus* au sein des Oniticellini. La tribu des Eurysternini est donc rétrogradée au niveau de sous-tribu des Oniticellini; Eurysternini devient Oniticellini, Eurysternina **stat. nov.**

BIOLOGIE

On renvoie le lecteur aux travaux suivants pour plus de détails sur la biologie et la nidification de plusieurs espèces d'*Eurysternus* :

E. balachowskyi : Halffter *et al.*, 1980; Halffter & Edmonds, 1982; Huerta *et al.*, 2003.
E. caribaeus : Halffter *et al.*, 1980; Halffter & Edmonds, 1982; Huerta *et al.*, 2003.
E. deplanatus : Huerta *et al.*, 2003.
E. foedus : Huerta *et al.*, 2003.
E. inflexus : Huerta *et al.*, 2003.
E. jessopi : Huerta *et al.*, 2003.
E. magnus : Halffter & Matthews, 1966; Halffter *et al.*, 1980; Halffter & Edmonds, 1982; Huerta *et al.*, 2003.
E. marmoreus : Huerta *et al.*, 2003.
E. mexicanus : Halffter & Matthews, 1966; Halffter & Edmonds, 1982; Huerta *et al.*, 2003; Huerta & Martínez, 2008
E. plebejus : Noriega & Calle, 2009.

De façon générale, les *Eurysternus* sont des espèces forestières et sont fréquemment le groupe le plus abondant dans les zones inondables et dans les zones où le sol est moins facile à creuser. Leur nidification endocopride (Halffter & Matthews, 1966), les rendant moins vulnérables à la montée de la nappe phréatique et ne nécessitant pas la formation d'un tunnel pour nidifier, pourrait expliquer cette abondance. En zone de cerrado et de forêt atlantique, les *Eurysternus* sont particulièrement actifs en saison sèche et semblent s'accommoder des excréments moins humides (Vaz de Mello, comm. pers.).

MATÉRIEL ET MÉTHODE

Plus de 16 500 spécimens d'*Eurysternus* adultes ont été examinés pour cette étude. Ces spécimens ont été obtenus principalement en prêt d'institutions et de particuliers dont les noms sont cités ci-dessous. Leur contribution à cette étude est ici pleinement reconnue, et surtout leur patience pour le retour du matériel qui a, dans certains cas, dépassé de plusieurs années la date prévue. Une grande partie des spécimens du Musée canadien de la nature provient des chasses que j'ai pu effectuer en Amérique latine. Ces chasses m'ont fourni des données biologiques précises pour plusieurs espèces qui ont contribué à éclaircir certains problèmes systématiques et m'ont permis de prendre des décisions taxonomiques mieux fondées.

Les abréviations standard utilisées pour identifier les collections, lorsqu'elles existent, proviennent de Evenuis, 2008 : http://hbs.bishopmuseum.org/codens/codens-r-us.html.

ABTS : Andrew B. T. Smith, collection personnelle, Kanata, ON, Canada
AFIC : Adrian Forsyth, collection personnelle, Washington, DC, É.-U.
BCRC : Brett C. Ratcliffe, collection personnelle, Lincoln, NE, É.-U.
BDGC : Bruce D. Gill, collection personnelle, Ottawa, ON, Canada
BMNH : The Natural History Museum, London, Royaume-Uni; Max Barkley, Martin Brendell, Malcolm Kerley.
CMNC : Musée canadien de la nature, Gatineau, QC, Canada
CMNH : The Carnegie Museum of Natural History, Pittsburg, PA, É.-U.; R.L. Davidson.
CNC : Agriculture et Agroalimentaire Canada, Ottawa, ON, Canada; Yves Bousquet, Serge Laplante.
DGMF : David G. Marqua, collection personnelle, Fort Davis, TX, É.-U.
EGRC : Edward G. Riley, collection personnelle, College Station, TX, É.-U.
FSCA : Florida State Collection of Arthropods, Gainesville, FL, É.-U.; Paul E. Skelley.
FVMC : Fernando Z. Vaz-de-Mello, collection personnelle, Cuiaba, MT, Brésil.
IAVH : Instituto de Investigación de Recursos Biológicos Alexander von Humboldt, Villa de Leyva, Boyacá, Colombia; Astrid Pulido

IBSP : Coleção entomológica “Adolph Hempel”, Instituto Biológico, São Paulo, SP, Brésil; Sergio Ide.
INBio : Instituto Nacional de Biodiversidad (INBio), Santo Domingo de Heredia, Costa Rica; Angel Solís
MACN : Museo Argentino de Ciencias Naturales, Buenos Aires, Argentine; Axel Backmann.
MHIC : Martin Hardy, Collection personnelle, Québec, QC, Canada
MHNG : Muséum d’histoire naturelle de la Ville de Genève, Genève, Suisse, Giulio Cuccodoro, Bernard Landry.
MIZA : Museo del Instituto de Zoología Agrícola, Universidad Central de Venezuela, Maracay, Aragua, Venezuela; Luis J. Joly.
MLJC : Mary Liz Jameson, collection personnelle, Lincoln, NE, É.-U.
MNHN : Muséum national d’Histoire naturelle, Paris, France; Yves Cambefort, Olivier Montreuil.
MNRJ : Museu Nacional/UFRJ, Rio de Janeiro, RJ, Brésil; Miguel A. Monné B.
MTD : Staatliches Museum für Tierkunde, Dresden, Allemagne; Olaf Jäger.
MZSP : Museu de Zoologia da Universidade de São Paulo, SP, Brésil; Cleide Costa, Sergio Ide, Ubirajara Martins.
NHRS : Naturhistoriska Riksmuseet, Stockholm, Suède; Thomas Pape, Per Linskog.
NMPC : Musée national d’Histoire naturelle, Prague, Tchéquie; Josef Jelínek.
OUMNH : Oxford University Museum of Natural History, Oxford, Royaume-Uni; Darren J. Mann.
PAIC : Patrick Arnaud, collection personnelle, Saintry-sur-Seine, France.
PMOC : Philippe Moretto, Collection personnelle, Toulon, France.
PSIC : Paul Schoolmeesters, collection personnelle, Herent, Belgique.
QCAZ : Musée de Zoologie, Universidad Catolica del Ecuador, Quito, Équateur; Giovani Onore.
ROME : Royal Ontario Museum, Toronto, ON, Canada; Douglas C. Currie.
SEMC : Snow Entomological Museum, Lawrence, KS, É.-U.; James S. Ashe, Robert W. Brooks.
SMF : Forschungsinstitut Senckenberg, Francfort, Allemagne; Damir Kovac.
TAMU : Texas A & M University, College Station, TX, É.-U.; Edward G. Riley.
UASC : Museo de Historia Natural Noel Kempff Mercado, Santa Cruz, Bolivia; Julieta Ledezma Arias.
UNSM : University of Nebraska State Museum, Lincoln, NE, É.-U..; Brett Ratcliffe.
USNM : National Museum of Natural History, Washington, DC, É.-U.; Nancy Adams, David Furth.
UVGC : Universidad del Valle de Guatemala, Guatemala, Guatemala; José Monzón Sierra.

VMPC : Vladislav Malý, collection personnelle, Prague, Tchéquie.
WBWC : William B. Warner, collection personnelle, Phoenix, AZ, É.-U.
WDEC : W. David Edmonds, collection personnelle, Marfa, TX, É.-U.
ZMHB : Museum für Naturkunde der Humboldt-Universität, Berlin, Allemagne; Manfred Uhlig, Fritz Hieke.

Les spécimens étudiés ont d'abord été triés en utilisant les caractères externes ; ensuite, pour chacun des groupes, l'édéage d'une série représentative de mâles a été extrait et le sac interne disséqué. Le sac interne étant très difficilement réversible en position naturelle, il est extrait du tube basal par la base et coupé toujours au même endroit dans le sens de la longueur. Il est ensuite éclairci, afin de bien distinguer les lamelles, dans une solution de potasse à 30 % pendant quelques minutes selon son état. Il faut noter que les spécimens tués et fixés dans le formol sont très difficiles à préparer. On n'a souvent d'autres choix que de couper le sac en plusieurs petits morceaux pour dégager et nettoyer les lamelles. Les lamelles du sac interne une fois étudiées sont ensuite conservées dans une microfiole piquée sous l'insecte d'origine. Le sac interne comporte plusieurs lamelles et un flagelle. Une lamelle comportant un crochet est présente chez toutes les espèces; elle est probablement analogue à la lamelle conique et est particulièrement utile au niveau spécifique. La lamelle en forme de loupe est réduite à une « faucille ». Les paramères sont relativement simples et donnent la plupart du temps des informations au niveau du groupe d'espèces. On donne la taille des insectes en les mesurant de l'apex du clypéus, lorsque la tête est rétractée, à l'apex du pygidium en vue dorsale. La valeur obtenue est arrondie au demi-millimètre près. L'information manquante sur les étiquettes est rajoutée entre crochets lorsque nécessaire.

Toutes les photographies et les cartes de répartition géographique servant à illustrer cet ouvrage sont de l'auteur. Les photographies au microscope électronique à balayage ont été produites en utilisant un microscope Philips XL30 ESEM. Les cartes de répartition géographique ont été produites à l'aide du logiciel DIVA-GIS (http://www.diva-gis.org/). Le fond de carte est une photographie satellite en vraie couleur produite par la NASA (National Aeronautics and Space Administration). La base de données Mantis (http://140.247.119.138/mantis/) a été utilisée pour la compilation des références bibliographiques, l'élaboration des listes de citations bibliographiques et des données de spécimens, l'élaboration des listes de matériel examiné et la compilation des données de répartitions.

À noter : le sternite abdominal 3 correspond au premier sternite abdominal visible entre les hanches postérieures. Le deuxième n'est visible que sur les côtés, sous la forme d'une petite structure triangulaire.

SYSTÉMATIQUE

ONITICELLINI Kolbe, 1905
Eurysternina Vulcano, Martínez & Pereira, 1961 **stat. nov.**

EURYSTERNUS DALMAN

Eurysternus Dalman
génotype : *Eurysternus planus* Dalman [= *Scarabaeus caribaeus* Herbst [désignation subséquente : Jessop, 1985]
1824 Dalman, *Ephem. Entomol.* : 8
1840 Castelnau, *Hist. Nat. Ins.* 2 : 92 (diagnose)
1859 Lucas, *Anim. Nouv. Rares* 107 : (mention)
1869 Gemminger & Harold, *Cat. Col.* 4 : 1023 (catalogue)
1872 Harold, *Col. Hefte* 9-10 : 210 (commentaire)
1874 Lansberge, *Ann. Soc. Ent. Belg.* 17 : 190 (commentaire)
1911 Gillet, *Col. Cat.* 38 : 25 (catalogue)
1911 Bruch, *Rev. Mus. La Plata* 17 : 182 (catalogue)
1915 Bruch, *Rev. Mus. La Plata* 19 : 539 (catalogue)
1920 Lucas, *Cat. Alph. Gen. Subg.* : 289 (catalogue)
1938 Paulian, *Ann. Soc. Ent. Fr.* 107 : 232 (clé de détermination)
1941 Pessôa & Lane, *Arq. Zool. S. Paulo* 2 : 406 (redescription)
1959 Martínez, Rev. *Mus. Arg. Cien. Nat. Bern. Rivad.* 5 : 19 (catalogue)
1961 Vulcano et al., *Actas Trab. Prim. Congr. Sudamer.* 3 : 267 (commentaire)
1963 Balthasar, *Mon. Scar. Aph.* 1 : 232 (commentaire)
1966 Halffter & Matthews, *Folia Ent. Mex.* 12-14 : 17 (biologie)
1974 Matthews, *Aust. J. Zool., Suppl. Ser.* 24 : 4 (commentaire)
1977 Halffter & Halffter, *Folia Ent. Mex.* 37 : 47 (diagnose)
1981 Howden & Young, *Contr. Am. Ent. Inst.* 18 : 14 (diagnose)
1982 Halffter & Edmonds, *Nest. Behav. Dung Beetl.* 10 : 43 (biologie)
1985 Jessop, *J. Nat. Hist.* 19 : 1089 (désignation du génotype et redescription)
1998 Forsyth et al., *RAP Work. Pap.* 10 : 189 (commentaire)
2000 López-Guerrero & Halffter, *Frag. Ent.* 32 : 244 (morphologie)
2003 Huerta et al., *Acta Zool. Mex. (n.s.)* 88 : 1 (biologie)

2003 Morón, *Atl. Esc. Mex.* 2 : 44 (diagnose)
2006 Smith, *Col. Soc. Mon.* 5 : 160 (catalogue)

Aeschrotes Le Peltier de Saint-Fargeau & Audinet-Serville [synonyme plus récent]
génotype : *Aeschrotes planus* Dalman [= *Scarabaeus caribaeus* Herbst] [désignation subséquente : Jessop, 1985]
1840 Castelnau, *Hist. Nat. Ins.* 2 : 92 (synonymie)
1869 Gemminger & Harold, *Cat. Col.* 4 : 1023 (catalogue)
1911 Gillet, *Col. Cat.* 38 : 25 (catalogue)
1959 Martínez, *Rev. Mus. Arg. Cien. Nat. Bern. Rivad.* 5 : 19 (catalogue)
1985 Jessop, *J. Nat. Hist.* 19 : 1089 (désignation du génotype)

Eurysternus Faust (Coleoptera : Curculionidae) [homonyme plus récent]
génotype : *Cleonus limis* Ménétriés [monotypie]
1894 Faust, *Stett. Ent. Zeit.* 55 : 359
1999 Alonzo-Zarazaga & Lyal, *World Cat. Fam. Gen. Curcul.* : 14 (synonymie)

Eurysternodes Schuster & Summers (Acari : Mesostignata) [homonyme plus ancien]
génotype : *Brachytremella tragardhi* Womersley [désignation originale]
1978 Schuster & Summers, *Internat. J. Acarol.* 4 : 303
2009 Özdikmen, *Mun. Ent. Zool.* 4 : 143

Eurysternus (Eurysternodes) Martínez [**nouvelle synonymie**]
subgénotype : *Eurysternus velutinus* Bates [désignation originale]
1988 Martínez, *Ent. Basil.* 12 : 281

Eurysternus (Pareurysternus) Martínez [**nouvelle synonymie**]
subgénotype : *Eurysternus (Pareurysternus) navajasi* Martínez [désignation originale]
1988 Martínez, *Ent. Basil.* 12 : 282

Amartinezus Özdikmen [**nouvelle synonymie**]
génotype : *Eurysternus velutinus* Bates [désignation originale]
2009 Özdikmen, *Mun. Ent. Zool.* 4 : 143

ÉTYMOLOGIE. Un nom masculin composé des racines grecques suivantes εὐρὺς, *latus*; στέρνον, *pectus* (« poitrine large ») faisant référence au très grand lobe médian du métasternum.

DIAGNOSE. Genre strictement néotropical continental (à l'exception de Trinité) se différenciant de tous les autres taxons néotropicaux par le corps allongé à arêtes

latérales parallèles; l'extrémité du mésoscutellum visible; les élytres plans dans leur ensemble et les hanches médianes très écartées et parallèles.

DESCRIPTION. **Corps**. Allongé à côtés parallèles. **Taille**. Très petite à très grande (5,5-25,0 mm). **Tête**. Marge antérieure du clypéus simplement arquée, tronquée au milieu, sinuée ou subdentée de chaque côté du milieu en vue dorsale; suture clypéofrontale estompée. Yeux variant d'étroits et bien visibles à non ou à peine visibles sur le dessus lorsque la tête est rétractée. Marge postérieure du canthus oculaire n'atteignant jamais l'occiput. Surface antéroventrale du clypéus sans denticule ou carène, au plus tectiforme chez les espèces dont le milieu du clypéus est fortement sinué vers le bas. Labium variable, toujours distinctement émarginé antérieurement. Palpes labiaux trisegmentés, le deuxième segment de conformation variable, mais toujours comprimé dorsoventralement, le troisième atrophié et invisible en vue ventrale. Palpes maxillaires quadrisegmentés, le segment apical à peu près aussi long que les trois basaux réunis, les segments cylindriques. Antennes de neuf articles; la massue composée de trois articles complètement tomenteux, la face proximale du segment 7 un peu lustrée, les segments assez courts et médiocrement accusés à l'extrémité latérale interne, articles 7 et 8 sans cavité. **Pronotum**. Simplement convexe, muni de dépressions et de callosités chez certaines espèces; marge latérale sinueuse; pseudépipleure vertical et concave sur la moitié postérieure. **Élytres**. Munis de 8 stries; pseudépipleure large, fortement caréné et vertical au milieu. **Sternites thoraciques**. Proépisternum concave antérieurement, concavité trop réduite pour la réception du fémur antérieur; caréné postérieurement. Prosternum tectiforme derrière les hanches antérieures, plus ou moins longuement prolongé antérieurement entre les hanches; la face ventrale horizontale dans son ensemble. Mésosternum très court au milieu; suture mésométasternale sinueuse; métasternum très large. **Pattes**. Pattes antérieures et postérieures de configuration très variable chez les mâles; non modifiées ou seulement le fémur postérieur muni de petites dents ou tubercules chez les femelles. Apex du tibia antérieur muni d'une brosse ou d'une touffe de soies chez les mâles. Tarse à segments cylindriques; segment basal du tarse toujours nettement plus long que le suivant; lamelle axillaire supérieure bien développée et plus ou moins acuminée, lamelle axillaire inférieure très réduite. **Abdomen**. Segments 3-8 fusionnés; segment 3 acuminé ou plus ou moins tronqué antérieurement; segments 4-7 à surface plane; de longueur uniforme; segment 8 plus long que les précédents au milieu. Pygidium triangulaire, plus ou moins profondément sillonné le long de la carène basale transverse. **Génitalia mâle**. Paramères symétriques; sac interne muni de plusieurs lamelles accessoires dont une porte un crochet et une autre est flagellée. **Génitalia femelle**. Spermathèque simple, coudée.

Note. Les espèces sont présentées dans l'ordre résultant des clés de détermination.

GROUPE CAYENNENSIS

DIAGNOSE. Taille petite à moyenne (6,5-12,0 mm). Yeux étroits et bien visibles sur le dessus. Ponctuation du pronotum ocellée. Microsculpture du pronotum et des élytres alvéolée ou en réseau. Carène du tubercule huméral de l'élytre courte. Fémur postérieur mâle, au plus muni d'une carène ou d'un petit tubercule sur le tiers basal de l'arête postérieure. Fémur postérieur femelle sans tubercule ou carène sur la face postérieure. Éperon du tibia postérieur mâle articulé.

Eurysternus cayennensis Castelnau, 1840

(Figs. 1, 24, 39, 44, 70, 72-74, 79, 178)

Eurysternus cayennensis Castelnau
1840 Castelnau, *Hist. Nat. Ins.* 2 : 93
1869 Gemminger & Harold, *Cat. Col.* 4 : 1023 (catalogue)
1880 Harold, *Ent. Zeit. Stet.* 41 : 15 (commentaire)
1911 Gillet, *Col. Cat.* 38 : 25 (catalogue)
1944 Blackwelder, *U. S. Nat. Mus. Bull.* 185 : 197 (catalogue)
1977 Halffter & Halffter, *Folia Ent. Mex.* 37 : 73 (redescription)
1985 Jessop, *J. Nat. Hist.* 19 : 1105 (désignation de type)
2004 Celi et al., *Lyonia* 7 : 39 (faunistique)

Eurysternus confusus Jessop [**nouvelle synonymie**]
1985 Jessop, *J. Nat. Hist.* 19 : 1106
1988 Martínez, *Ent. Basil.* 12 : 283 (commentaire)
2004 Celi et al., *Lyonia* 7 : 44 (faunistique)

ÉTYMOLOGIE. *Cayennensis* (de Cayenne) adjectif latin se rapportant à la localité type de l'espèce.

DIAGNOSE. Longueur 8,0-11,5 mm. Soies des points du pronotum insérées un peu en avant du milieu de chaque point; pronotum à microsculpture fovéolée, marges latérales régulièrement arrondies antérieurement; lobe médian du métasternum sans points ombiliqués; hanches postérieures unicolores. Tibia antérieur mâle à marge interne régulièrement arquée et munie de quelques gros tubercules irréguliers sur la face ventrale; tibia antérieur femelle à marge interne presque droite et très finement crénelée sur la face ventrale; extrémité du crochet du sac interne de l'édéage spiniforme.

Eurysternus cayennensis Castelnau :

Néotype ♂ (MNHN) : NEOTYPE (disque à bordure rouge) / Guyane, Paramana, v.77, P. Arnaud / *Eurysternus cayennensis* Cast. NEOTYPE det. L. Jessop 1984. Néotype examiné, non disséqué.

Eurysternus confusus Jessop :

Holotype ♂ (CMNC) : ECUADOR : Dureno, 150m., 23-30.ix.1977, Luis Peña / Prov. Napo on Rio Aguarico / Holotype (disque à bordure rouge) / Holotype, *Eurysternus confusus* det. L. Jessop 1984. Spécimen non disséqué.

MATÉRIEL EXAMINÉ. Répartition géographique Fig. 178; 1511 ex. : *Eurysternus cayennensis* : **BOLIVIE** : PANDO, 2.0 km SW Fortaleza del Abuna, 120 m (9°47'S, 65°30'O), 13.ii.1996, F. Guerra – 4 ex. (USNM); Río Negro, 120 m (9°52'S, 65°42'O), 17.ii.1996, F. Guerra – 1 ex. (USNM); même localité, 18.ii.1996, F. Guerra – 3 ex. (USNM); **BRÉSIL** : AMAZONAS, Ega [=Tefé], (3°22'S, 64°42'O), [sans date], [anonyme] – 10 ex. (MNHN); Km 275, BR319, (4°26'S, 61°1'O), 18-20.v.1978, B.C. Ratcliffe – 3 ex. (UNSM); Maués, (3°22'54"S, 57°42'55"O), ii.1937, [anonyme] – 2 ♂♂, 8 ex. (IBSP, MZSP); Rio Javari, Estado do Ecuador, x.1979, M. Alvarenga – 2 ♀♀, 8 ♂♂ (CMNC); Rio Tucano, Serra da Neblina, 230 m (0°5'N, 66°0'O), 4.xii.1965, E. Dente – 2 ♂♂, 17 ex. (MZSP, WDEC); São Paulo de Olivença, (3°28'49"S, 68°56'49"O), ii.1923, S. Klages – 1 ex. (CMNH); même localité, ix.1935, [anonyme] – 1 ex. (USNM); Tabatinga, (4°13'40"S, 69°54'24"O), ii.1958, Oliveira – 5 ♀♀, 4 ♂♂, 1 ex. (CMNC); même localité, 12.vii.1973, Gysin – 1 ex. (USNM); Tapuruquara, Rio Negro, (0°24'47"S, 65°1'47"O), 25-27.xi.1962, J. Bechyné – 1 ex. (IBSP); Tarauacá, Rio Vaupes, (0°6'N, 68°28'O), viii.1964, Pereira & Machado – 1 ex. (MZSP); Tefé, (3°21'10"S, 64°43'5"O), vii-ix.1878, M. de Mathan – 1 ex. (MNHN); même localité, x.1878-iii.1879, M. de Mathan – 1 ex. (MNHN); même localité, [sans date], Parish – 1 ex. (MZSP); MATO GROSSO, Reserva Humboldt, (10°11'S, 59°48'O), 16-22.iii.1977, B.C. Ratcliffe – 1 ex. (BCRC); PARÁ, Upper Rocana, vii.1918, S.M. Klages – 1 ex. (CMNH); Urua, 65 km SW Itaituba on BR230, (4°35'32"S, 56°19'3"O), 12-15.x.1977, B.C. Ratcliffe – 1 ex. (UNSM); MATO GROSSO DO SUL, Fazenda Dr. José Mendes, Três Lagoas, (20°48'S, 51°43'O), x.1964, Exp. Depto. Zool. – 2 ♂♂, 1 ex. (MZSP); RONDÔNIA, Pôrto Velho, (8°45'43"S, 63°54'7"O), iv.1944, Pohl – 2 ♂♂ (MZSP); Rio Madeira, Madeira-Mamore R. R. Co. Camp 41, (10°11'S, 65°17'O), [sans date], Mann & Baker – 2 ex. (USNM); Vilhena, (12°46'16"S, 60°8'52"O), xi.1987, P. Magno – 12 ex. (MNRJ); **COLOMBIE** : AMAZONAS, Km 7 via Tarapacá, (2°54'13"N, 69°45'38"O), 4.ix.1997, F. Fernández & D. Campos – 1 ex. (IAVH); Leticia, 215 m (4°11'20"S, 69°56'9"O), 10.vii.1970, J.M. Campbell – 1 ex. (CNC); même localité, 11.vii.1970, H. & A. Howden – 18 ex. (CMNC,

CMNH); même localité, 11.vii.1970, J.M. Campbell – 1 ex. (CNC); même localité, 19-25.ii.1972, H. & A. Howden – 5 ex. (CMNC); même localité, 20-25.ii.1972, Peck & Howden – 329 ex. (CMNC, CMNH, CNC, WBWC); même localité, 20-25.ii.1972, S. & J. Peck – 26 ex. (CNC, ROME); même localité, 25.ii.1972, S. & J. Peck – 1 ex. (CNC); même localité, 12.ix.1973, Gysin – 1 ex. (USNM); même localité, 23.ii.-1.iii.1974, B.C. Ratcliffe – 26 ex. (BCRC, UNSM); même localité, 23.ii.-2.iii.1974, S. Peck – 81 ex. (CMNC, CNC, ROME); même localité, 23.ii.-2.iii.1974, Howden & Nealis – 1 ex. (CMNC); même localité, 23.ii.-2.iii.1974, H. & A. Howden – 3 ex. (CMNC); même localité, 23.ii.-2.iii.1974, J.D. Glaser – 9 ex. (CMNH); Los Alpes, Leticia, 213 m (4°4'25"S, 70°0'5"O), 23.ii.-2.iii.1974, S. Peck – 62 ex. (ROME); Pepper Farm, Leticia, 250 m (4°9'S, 69°57'O), 27.ii.1974, V. Nealis – 1 ex. (CMNC); Road End, Leticia, 213 m (4°4'9"S, 69°59'56"O), 23.ii.-2.iii.1974, S. Peck – 10 ex. (ROME); CAQUETÁ, Estación Biológica Puerto Abeja, Parque Nacional Natural Chiribiquete, 200 m (0°4'27"N, 72°27'.5"O), vii.1999, M. Alvarez & G. Mejía – 2 ex. (IAVH); GUAVIARE, RN Nukak Maku Río Inirida Caño Cocuy Cerro Moyano, 250 m (2°10'35"N, 71°10'58"O), ii.1996, F. Escobar – 1 ex. (IAVH); PUTUMAYO, Mocoa, Serranía de los Churumbelos, Vda el Zarzal, 860 m (1°6'21.3"N, 76°36'52.7"O), 11-13.vi.2002, A. Pulido & M. García – 1 ex. (IAVH); **ÉQUATEUR** : MORONA-SANTIAGO, Untsuants sitio 2, 500 m, 7.xii.2001, J. Celi & J. Torres – 4 ex. (CMNC); Untsuants sitio 4, 1100 m, 20.i.2002, J. Celi & M. Ortega – 3 ex. (CMNC); NAPO, 12 km WSW Tena, 600 m (1°3'46"S, 77°53'53"O), 6-11.vii.1976, S. Peck – 2 ♂♂, 32 ex. (CMNC, ROME, WBWC); même localité, 8-11.vii.1976, S. Peck – 3 ex. (CMNC); 20 km S Tena, 600 m (1°8'58"S, 77°50'26"O), 9-11.vii.1976, S. Peck – 1 ex. (ROME); Estación Biológica Jatun Sacha, 21 km E Puerto Napo, 400 m (1°4'5"S, 77°36'50"O), 8.vii.1994, F. Génier – 10 ex. (CMNC); même localité, 9.vii.1994, F. Génier – 17 ex. (CMNC); même localité, 11.vii.1994, F. Génier – 1 ex. (CMNC); même localité, 13.vii.1994, F. Génier – 1 ♀, 1 ♂, 16 ex. (CMNC, OUMNH); même localité, 15.vii.1994, Levy & Génier – 1 ex. (CMNC); même localité, 18.vii.1994, Levy & Génier – 1 ex. (CMNC); même localité, 21.vii.1994, F. Génier – 2 ex. (CMNC); Río Aguarico, 150 m, 25.ix.1977, L. Peña – 4 ex. (CMNH); Río Napo-Río Aguarico, 76-77°W, ix-x.1977, L. Peña – 1 ex. (PAIC); Scyasuni, 250 m, 7-14.ix.1997, F. Maza – 27 ex. (QCAZ); même localité, 18-20.x.1997, D. Padilla & I. Tapia – 1 ex. (QCAZ); même localité, 20-21.x.1997, D. Padilla & I. Tapia – 3 ex. (QCAZ); même localité, 25-27.x.1997, D. Padilla & I. Tapia – 17 ex. (QCAZ); ORELLANA, Coca [= Puerto Francisco de Orellana], 250 m (0°27'28"S, 77°0'0"O), 2.ii.1986, F. Génier – 1 ex. (CMNC); Estación Biológica y Centro de Capacitación IAMOE, Rodrigo Borja, 4.vi.2000, A. Dávalos – 2 ex. (CMNC); Estación Científica Yasuní (PUCE), 250 m (0°40'16.7"S, 76°24'1.8"O), 3-6.iii.1995, M. Bass & N. Pitman – 11 ex. (USNM); même localité, 20-22.iii.1995, M. Bass & N. Pitman – 3 ex. (USNM); même loca-

lité, 30.iii.-3.iv.1995, M. Bass & N. Pitman – 1 ex. (USNM); même localité, 30. viii.1995, X. Salazar – 1 ex. (QCAZ); même localité, 1.iv.1997, G. Onore – 1 ex. (QCAZ); même localité, 8.vi.1997, A. Banagán – 1 ex. (QCAZ); même localité, 27.vii.-1.viii.1998, Ratcliffe, Jameson, Smith, Villatoro – 58 ex. (ABTS, MLJC, UNSM); même localité, 17-31.x.1998, B.K. Dozier – 1 ex. (FSCA); même localité, 5-10.ix.1999, E.G. Riley – 115 ex. (TAMU); même localité, 9-17.ix.1999, D.G. Marqua – 39 ex. (DGMF); Estación de Biodiversidad Tiputini (USFQ), Parque Nacional Yasuní, 220 m (0°38'S, 76°9'O), ix.2000, D. Inward – 8 ex. (BMNH); même localité, 14-19.ii.1998, field course per D.C. Darling (ROM 980005) – 1 ex. (ROME); même localité, 14-18.ii.1999, D.C. Darling – 2 ex. (ROME); Onkone Gare Camp, 220 m (0°39'10"S, 76°26'0"O), 13.x.1995, G.E. Ball & D. Shpeley – 1 ex. (CMNC); Río Yasuni, Site No. 2, 15-22.ix.1977, J.J. Anderson – 2 ex. (USNM); Zancudo Cocha, (0°35'36"S, 75°30'0"O), 15.xi.1985, L. de la Torre – 1 ex. (QCAZ); même localité, 19.vii.1987, D.H. & A.C. Kistner (No. 5351) – 1 ex. (CMNC); PASTAZA, Lorocachi, 220 m (1°36'42"S, 75°59'13"O), 16-27.ii.1996, M. Ayala & C. Carpio – 8 ex. (QCAZ); PICHINCHA, Nono, (0°3'53"S, 78°34'39"O), 14.ii.1983, J. Boos – 1 ex. (CMNH); SUCUMBÍOS, Dureno, Río Aguarico, 150 m (0°2'40"N, 76°41'50"O), 23-30.ix.1977, L. Peña – 1 ♂, 10 ex. (CMNC, ROME); même localité, 23-28.ix.1977, L. Peña – 9 ex. (CMNC); Limoncocha, 250 m (0°24'38"S, 76°37'37"O), 18-24.vi.1976, S. Peck – 6 ex. (CMNC); Shushufindi, 215 m (0°10.96'S, 76°38.95'O), 11.viii.1997, A.R. Gillogly – 1 ex. (TAMU); **GUYANE FRANÇAISE** : CAYENNE, 18.4 km SSE Roura, 240 m (4°36'38"N, 52°13'25"O), 22-24.v.1997, J. Ashe & R. Brooks (1997-24) – 2 ex. (CMNC); même localité, 25-29.v.1997, J. Ashe & R. Brooks (1997-81) – 2 ex. (CMNC); même localité, 29.v.-10.vi.1997, J. Ashe & R. Brooks (1997-180) – 3 ex. (CMNC); 20 km SW Cayenne, 30 m (4°48'18"N, 52°28'41"O), 29.v.-9.vi.1997, J. Ashe & R. Brooks (1997-171) – 10 ex. (CMNC); 27.4 km SSE Roura, 280 m (4°44'20"N, 52°13'25"O), 23-24.v.1997, J. Ashe & R. Brooks (1997-22) – 1 ex. (CMNC); même localité, 10.vi.1997, J. Ashe & R. Brooks (1997-177) – 21 ex. (CMNC); 39.4 km SSE Roura, 270 m (4°32'43"N, 52°8'26"O), 25-29.v.1997, J. Ashe & R. Brooks (1997-76) – 2 ex. (CMNC); même localité, 29.v.-10.vi.1997, J. Ashe & R. Brooks (1997-172) – 12 ex. (CMNC); 41.5 km SSW Matoury, 50 m (4°37'22"N, 52°22'35"O), 26-28.v.1997, J. Ashe & R. Brooks (1997-60) – 2 ex. (CMNC); même localité, 29.v.-9.vi.1997, J. Ashe & R. Brooks (1997-170) – 1 ex. (CMNC); 8.4 km SSE, Roura, 200 m (4°40'41"N, 52°13'25"O), 22-24.v.1997, J. Ashe & R. Brooks (1997-27) – 3 ex. (CMNC); même localité, 25-29.v.1997, J. Ashe & R. Brooks (1997-88) – 2 ex. (CMNC); même localité, 29.v.-10.vi.1997, J. Ashe & R. Brooks (1997-182) – 8 ex. (CMNC); Amazone Nature Lodge, 30 km SE Roura on Kaw Road, 300 m (4°33'34"N, 52°12'26"O), 3-10.vi.2005, J.E. Eger – 2 ex. (FSCA); même localité, 10-13.vi.2005, J.E. Eger – 1 ex. (FSCA); Barrage de Petit

Saut, Commune de Sinnamary, (5°22'N, 52°57'O), 20.vi.1997, P. Cerdan & F. Lavalette – 6 ex. (CMNC); Cayenne, (4°54'3"N, 52°18'12"O), xi.1951, [anonyme] – 1 ex. (MZSP); Fourgassie, (4°37'N, 52°19'O), 23.ii.-2.iii.1996, I. Jeniš – 1 ex. (MHNG); Montagne de la Trinité, (4°35'58"N, 53°21'22"O), vii.1997, F. Lavalette – 2 ex. (CMNC); Montagne Kaw, Fourgassié, (4°33'N, 52°10'O), 15.ix.-1.x.1995, N. Kocian – 1 ex. (MHNG); Roura, route de Kaw, point kilo. 13.5, viii.1997, F. Lavalette – 8 ex. (CMNC); SAINT-LAURENT-DU-MARONI, along Rue de Belizon trail, 2.9 km NW Les Eaux Claires, 7 km N Saül, 220-240 m (3°39'46"N, 53°13'19"O), 31.v.-3.vi.1997, Ashe & Brooks (122) – 3 ex. (CMNC); Fleuve Mana, (5°15'N, 53°38'O), vi.1917, [anonyme] – 1 ex. (CMNH); Mont Galbao, Saül, 740 m (3°37'18"N, 53°16'42"O), 5-7.vi.1997, J. Ashe & R. Brooks (1997-153) – 3 ex. (CMNC); même localité, 5-7.vi.1997, J. Ashe & R. Brooks (1997-154) – 3 ex. (CMNC); Mont La Fumée, 0.5 km ESE Les Eaux Claires, 7 km N Saül, 300 m (3°39'46"N, 53°13'19"O), 4-8.vi.1997, J. Ashe & R. Brooks (1997-165) – 1 ex. (CMNC); même localité, 4-8.vi.1997, J. Ashe & R. Brooks (1997-166) – 2 ex. (CMNC); Mont La Fumée, 3 km NW Les Eaux Claires, 7 km N Saül, 490 m (3°39'46"N, 53°13'19"O), 1-8.vi.1997, J. Ashe & R. Brooks (1997-162) – 2 ex. (CMNC); même localité, 1-8.vi.1997, J. Ashe & R. Brooks (1997-163) – 2 ex. (CMNC); Saint-Laurent-du-Maroni, (5°29'11"N, 54°0'29"O), iv.1976, P. Arnaud – 4 ex. (PAIC); Saül, (3°37'N, 53°12'O), xi.1991, P. Arnaud – 1 ex. (PAIC); **PÉROU** : [sans localité], 1901, Staud. – 2 ex. (MZSP); même localité, [sans date], [anonyme] – 2 ex. (MZSP); LORETO, 1.5 km N Teniente López, 210-240 m (2°35.66'S, 76°6.92'O), 17.vii.1993, R. Leschen (1993-113) – 1 ex. (SEMC); même localité, 18-26.vii.1993, R. Leschen – 4 ♂♂, 51 ex. (ABTS, CMNC); même localité, 18.vii.1993, R. Leschen (1993-118) – 1 ex. (SEMC); même localité, 18.vii.1993, R. Leschen (1993-119) – 6 ex. (SEMC); même localité, 18.vii.1993, R. Leschen (1993-120) – 5 ex. (SEMC); même localité, 18.vii.1993, R. Leschen (1993-121) – 11 ex. (SEMC); même localité, 18.vii.1993, R. Leschen (1993-127) – 1 ex. (SEMC); même localité, 19.vii.1993, R. Leschen (1993-152) – 4 ex. (SEMC); même localité, 20.vii.1993, R. Leschen (1993-133) – 3 ex. (SEMC); même localité, 20.vii.1993, R. Leschen (1993-134) – 5 ex. (SEMC); même localité, 20.vii.1993, R. Leschen (1993-135) – 4 ex. (SEMC); même localité, 20.vii.1993, R. Leschen (1993-154) – 1 ex. (SEMC); même localité, 20.vii.1993, R. Leschen (1993-211) – 3 ex. (SEMC); même localité, 22.vii.1993, R. Leschen (1993-163) – 1 ex. (SEMC); même localité, 22.vii.1993, R. Leschen (1993-165) – 1 ex. (SEMC); même localité, 22.vii.1993, R. Leschen (1993-166) – 2 ex. (SEMC); même localité, 22.vii.1993, R. Leschen (1993-167) – 1 ex. (SEMC); même localité, 23.vii.1993, R. Leschen (1993-191) – 6 ex. (SEMC); même localité, 24.vii.1993, R. Leschen (1993-189) – 6 ex. (SEMC); Bellavista, Carayu, 5.vii.1975, Chalumeau – 1 ex. (PAIC); Campamento San Jacinto, 175-215 m (2°18.75'S, 75°51.77'O), 2.vii.1993, R. Leschen (1993-01) – 1 ex.

(SEMC); même localité, 3-12.vii.1993, R. Leschen – 51 ex. (CMNC); même localité, 3.vii.1993, R. Leschen (1993-11) – 2 ex. (SEMC); même localité, 3.vii.1993, R. Leschen (1993-12) – 1 ex. (SEMC); même localité, 5.vii.1993, R. Leschen (1993-30) – 1 ex. (SEMC); même localité, 5.vii.1993, R. Leschen (1993-31) – 1 ex. (SEMC); même localité, 7.vii.1993, R. Leschen (1993-42) – 3 ex. (SEMC); même localité, 7.vii.1993, R. Leschen (1993-44) – 1 ex. (SEMC); même localité, 9.vii.1993, R. Leschen (1993-67) – 3 ex. (SEMC); même localité, 10.vii.1993, R. Leschen (1993-80) – 1 ex. (SEMC); même localité, 12.vii.1993, R. Leschen (1993-87) – 1 ex. (SEMC); Explornapo Camp, 2 km from Río Napo on Río Sucusari, 160 km NE Iquitos, (3°11'S, 72°53'O), 12-19.iii.1988, J.E. Eger – 1 ex. (FSCA); même localité, 27-31.viii.1992, P. Skelley – 1 ex. (FSCA); même localité, 27-31.viii.1992, J. Castner & P. Skelley – 6 ex. (FSCA, WBWC); Iquitos, (3°42'30"S, 73°15'30"O), 5.v.1992, J. Danoff-Berg – 3 ex. (SEMC); même localité, 7.v.1992, J. Danoff-Berg – 7 ex. (SEMC); Río Huallaga, x.1930, [anonyme] – 1 ex. (MZSP); Río Morona, (4°44'43"S, 77°3'48"O), i.1925, [anonyme] – 1 ♂ (MZSP); Teniente López, 210-240 m (2°35.66'S, 76°6.92'O), 24.vii.1993, R. Leschen (1993-193) – 3 ex. (SEMC); même localité, 25.vii.1993, R. Leschen (1993-204) – 1 ex. (SEMC); même localité, 28.vii.1993, R. Leschen (1993-199) – 1 ex. (SEMC); Yurimaguas, (5°55'9"S, 76°6'4"O), [sans date], [anonyme] – 1 ex. (MZSP); UCAYALI, Middle Río Ucayali, 1.xii.1923, [anonyme] – 1 ex. (MZSP); même localité, 5.xii.1923, [anonyme] – 1 ex. (MZSP); **SURINAME** : MAROWIJNE, Nassau Mountains, 480 m (4°48'56"N, 54°36'20"O), 3.vi.1999, Z. Falin – 2 ex. (CMNC); **VENEZUELA** : AMAZONAS, Culebra, Parque Nacional Duida-Marahuaca, 250 m (3°33'N, 65°55'O), 22-23.iii.1983, Exp. Marawaca – 3 ex. (MIZA); même localité, 29.iii.1983, Exp. Marawaca – 1 ex. (MIZA); même localité, 31.iii.1983, Exp. Marawaca – 2 ex. (MIZA); Raudel Gallineta, Río Siapa, 200 m (1°49'N, 65°44'O), 15-18.x.1987, Exp. Terramar – 2 ex. (MIZA); Upper Cunucunuma, Tapara, 20.iv.1950, J. Maldonado Capriles – 1 ex. (USNM); Yavita, 128 m (2°55'19"N, 67°26'7"O), ix.1947, R. Lichy – 5 ♂♂, 6 ex. (CMNC, IBSP, MZSP); même localité, viii.1947, R. Lichy – 1 ex. (MZSP); BOLIVAR, Kanarakuni [=Canaracuni], 450 m (4°25'N, 64°9'O), 3.ii.1967, F. Fernandez & A.D. Ascoli – 1 ex. (CMNC); Kanarakuni [=Canaracuni], Alto Caura, 450 m (4°25'N, 64°9'O), 10-13.ix.1964, F.F. Yepez & J. Bechyne – 1 ♂ (CMNC); Km 40 Santa Elena, Icabarú Road, 1000 m (7°26'20"N, 61°33'30"O), 4-6.viii.1986, B.D. Gill – 1 ex. (CMNC); Parai-tepuí, (5°3'3"N, 60°55'53"O), 1940, P. Anduze – 1 ex. (USNM); Río Surucún, Carretera Santa Elena-Icabaru, 850 m, 19-31.i.1985, F. Fernandez Y., A. Chacon, J. Demarmels – 9 ex. (MIZA).

Eurysternus confusus : **COLOMBIE** : AMAZONAS, Leticia, 215 m (4°11'20"S, 69°56'9"O), 20-25.ii.1972, Peck & Howden – 1 ♀, 1 ♂ (paratypes) (CMNC); même localité, 23.ii.-2.iii.1974, S. Peck – 1 ♀, 4 ♂♂ (5 paratypes) (CMNC);

même localité, 23.ii.-2.iii.1974, Howden & Nealis – 1 ♂ (paratype) (CMNC); **ÉQUATEUR** : SUCUMBÍOS, 2 km N Limoncocha, 250 m (0°23’17”S, 76°37’15”O), 22-28.vi.1976, S. Peck – 1 ♀, 1 ♂ (paratypes) (CMNC); Dureno, Río Aguarico, 150 m (0°2’40”N, 76°41’50”O), 23-28.ix.1977, L. Peña – 1 ♂ (paratype) (CMNC); même localité, 23-30.ix.1977, L. Peña – 1 ♂ (holotype) (CMNC); Limoncocha, 250 m (0°24’38”S, 76°37’37”O), 10-15.iii.1975, J.M. Campbell – 1 ♂ (paratype) (CMNC); même localité, 18-24.vi.1976, S. Peck – 1 ♀ (paratype) (CMNC); même localité, 21-28.vi.1976, S. Peck – 2 ♂♂ (2 paratypes) (CMNC).

CONDITION DE CAPTURE. Certains spécimens ont été capturés postés sur la végétation, à l’aide de pièges appâtés avec des excréments non déterminés, des excréments de singe, des excréments bovins, des cadavres de serpents et de poissons et à l’aide de pièges à interception de vol; certains autres spécimens ont été capturés dans des excréments de chien, dans des champignons (*Favolus brasiliensis*), dans le sol sous un bivouac d’*Eciton sp*., dans des fruits de palmier et des nids de termites tamisés.

HABITAT. Cette espèce semble préférer les forêts humides de basse à moyenne altitude.

PHÉNOLOGIE. Spécimens capturés toute l’année.

REMARQUES. 1) Les caractères sexuels secondaires de cette espèce sont très variables. Cette variation réside dans la longueur et le degré de courbure des tibias antérieurs et postérieurs; le nombre, la forme et la disposition des tubercules sur l’arête interne du tibia antérieur; la présence et la forme de la dent du fémur antérieur; la présence et le développement de la carène de la face ventrale du fémur antérieur; la présence, le nombre et la forme des tubercules ou carènes du tiers basal de la face postérieure du fémur postérieur et la configuration de l’apex du tibia postérieur.
2) L’étude du matériel type de Jessop déposé au Musée canadien de la nature et au Natural History Museum de Londres m’a permis de constater que l’espèce *E. confusus* Jessop, 1985 est un mélange de petits mâles d’*E. cayennensis*, chez lesquels le ou les tubercules de la face postérieure du fémur postérieur sont complètement atrophiés, d’*E. vastiorum* Martínez, espèce qui ne présente jamais de tubercules et finalement d’*E. gilli* sp. nov.. Malheureusement, l’holotype désigné par Jessop est bien un *E. cayennensis*, quoique l’illustration (fig. 60, p. 1108) du fémur postérieur soit celle d’un *E. vastiorum*. Si ce dernier spécimen avait été l’holotype, l’espèce de Martínez serait donc devenue synonyme plus récent d’*E. confusus*, ayant été décrite en 1988. Mais comme ce n’est pas le cas, je suis donc ici dans l’obligation de mettre en synonymie l’espèce de Jessop plutôt que celle de Martínez afin de respecter la désignation de type.

Eurysternus gilli Génier sp. nov.
(Figs. 75-78, 179)

ÉTYMOLOGIE. *Gilli* (de Gill) est un patronyme en hommage à Bruce D. Gill, scarabéologue d'Ottawa. Bruce Gill m'a aimablement fourni pour étude les seuls spécimens boliviens connus de cette espèce.

DESCRIPTION. **Longueur**. 8,0-10,5 mm. **Couleur**. Brun foncé à noir, présentant des reflets verdâtres sur la majorité du tégument et cuivrés par endroits, tête, pronotum un peu moins foncés que les élytres. **Tête**. Semblable dans les deux sexes; clypéus largement arqué latéralement, le tiers médian droit en vue dorsale, le milieu sinueusement arrondi vers le bas, rebord finement caréné antérieurement vers le haut et sans dents de chaque côté; yeux étroits et bien visibles sur le dessus; joues un peu déprimées en avant des yeux; surface de la tête couverte de points ocellés devenant simples près de la marge antérieure, ces points à peu près égaux en diamètre et en majorité séparés par environ 2 à 4 fois leurs diamètres, chaque point muni d'une soie; massue antennaire brune. **Pronotum**. Arêtes latérales s'élargissant vers l'avant jusqu'au tiers antérieur, rétrécissant en ligne droite sur le tiers antérieur; angles antérieurs subaigus; surface un peu irrégulière, densément couverte de points ocellés, les points un peu plus petits au milieu à l'avant, la microsculpture en forme de réseau interrompu entre les points, les soies brunes et squameuses sur le disque, un peu plus claires sur l'arête des angles antérieurs, en majorité courtes sur le disque, quelques longues soies plus ou moins recourbées à l'apex sur la région antérieure du disque et de chaque côté de la ligne médiane. **Élytres**. Arête latérale un peu arquée; carène humérale courte; stries fortes et larges, munies d'une étroite carène lustrée au milieu; interstries recouverts d'une forte microsculpture en forme de réseau interrompu, interstries assez régulièrement couverts de soies modérément squameuses de chaque côté; troisième interstrie sans petit tubercule aigu à l'apex; tubercule apical muni d'une rangée de longues soies sur le cinquième et le septième interstrie; troisième interstrie muni d'une touffe de longues soies. **Sternites thoraciques**. Carènes du proépisternum modérément arquées et rejoignant l'arête latérale à l'angle antérieur; prosternum derrière les hanches antérieures muni de quelques soies sur le disque et l'arête postérieure; lobe médian du métasternum légèrement concave de chaque côté de la ligne médiane, le milieu étroitement sillonné sur le tiers antérieur; surface régulièrement couverte de grands points ocellés fortement imprimés, chaque point muni d'une fine soie claire couchée; la surface entre les points recouverte d'une forte microsculpture intermédiaire entre alvéolée et en forme de réseau. **Pattes**. Fémur antérieur concave sur la moitié antérieure, muni d'une courte carène sur le quart distal de la face ventrale, arête antérieure mâle munie de 3 à 4 grosses crénelures au milieu chez les individus

bien développés, arête antérieure finement et assez régulièrement crénelée chez les petits mâles et les femelles; tibia antérieur mâle grêle, arête latérale non modifiée, finement dentelée et munie de trois dents sur la moitié distale, l'angle apical interne arrondi, arête interne mâle un peu arquée et munie de 14 à 16 petits tubercules; tibia antérieur femelle modérément robuste, non modifié, arête interne légèrement arquée; fémur postérieur mâle muni d'un lobe pubescent sur la face dorsale juste avant l'apex, surface ventrale convexe, couverte de petits points râpeux, arête postéroventrale nette, sinueuse et tranchante sur presque toute la longueur, arête postérodorsale nette; tibia postérieur mâle sinué en vue latérale, arête interne presque plane, munie d'une rangée de petits tubercules mal définis, chaque tubercule muni postérieurement d'une fine soie claire, carène ventrolatérale estompée, la surface lustrée latéralement, reste de la surface ventrale recouverte d'une microsculpture estompée, carène non interrompue par la rangée de soies, moitié distale interne dilatée et presque plane; fémur postérieur femelle semblable à celui des mâles; tibia postérieur femelle à peine sinué en vue latérale, arête interne non modifiée, carène ventrolatérale estompée, la surface lustrée latéralement, reste de la surface ventrale recouverte d'une microsculpture estompée, carène non interrompue par la rangée de soies testacées situées sur son côté externe. **Abdomen**. Segment 3 terminé en pointe subaigüe antérieurement entre les hanches postérieures; segments 4 à 7 plats sur le disque, munis de deux ou trois rangées de points ocellés sur la région antérieure; segment 8 couvert de points et soies semblables à ceux du reste de la surface; région postérieure du segment délimitée par une forte carène tranchante latéralement, surface glabre, tégument seulement couvert d'une microsculpture semblable à celle du reste de la surface; pygidium muni de quelques grandes soies squamiformes.

Holotype ♂ (CMNC) : BRESIL, Rio Negro, iv.82 / HOLOTYPE ♂, *Eurysternus gilli* sp. nov., F. Génier. Édéage et sac interne de l'édéage extrait.

Allotype ♀ (CMNC) : Même données que l'holotype.

MATÉRIEL EXAMINÉ. Répartition géographique Fig. 179; 37ex. : **[PAYS NON SPÉCIFIÉ]** : Amazon, [sans date], Bates – 1 ♀ (paratype) (BMNH); Upper Amazon, [sans date], [anonyme] – 1 ♂ (paratype) (MNHN). **BOLIVIE** : SANTA CRUZ, El Refugio Reserve, (14°46'S, 61°2'O), x.1994, A. Forsyth – 2 ♀♀, 1 ♂ (paratypes) (AFIC, BDGC); Los Fieros, (14°46'S, 61°2'O), x.1994, A. Forsyth – 2 ♀♀, 4 ♂♂ (6 paratypes) (AFIC, BDGC); Los Fieros, Parque Nacional Noel Kempff Mercado, (14°33.5'S, 60°55.9'O), 20-30.i.1997, B.D. Gill & A. Forsyth – 2 ♀♀, 1 ♂ (paratypes) (BDGC); **BRÉSIL** : [sans localité], [sans date], [anonyme] – 1 ♂ (paratype) (BMNH); AMAZONAS, Ega [=Tefé], (3°22'S, 64°42'O), [sans date], de

Mathan – 1 ♂ (paratype) (MNHN); même localité, [sans date], [anonyme] – 1 ♂ (paratype) (MNHN); Rio Negro, iv.1982, [anonyme] – 3 ♀♀, 3 ♂♂ (holotype, allotype, 4 paratypes) (PAIC); PARÁ, [sans localité], [sans date], [anonyme] – 1 ♀, 1 ♂ (paratypes) (BMNH); **COLOMBIE** : VAUPÉS, Caparú, 100 m (1°5'S, 69°32'O), 1.xii.1995, J.C. Bello – 1 ♀, 3 ♂♂ (4 paratypes) (AFIC); Reserva Natural Mosiro-Itajura, Caparú, 100 m (1°4'S, 69°31'O), xi.1995, D. Forero – 6 ♀♀ (6 paratypes) (OUMNH); même localité, 1.xii.1995, D. Forero – 2 ♀♀ (2 paratypes) (IAVH).

CONDITION DE CAPTURE. Spécimens capturés à l'aide de pièges à fosse appâtés avec des excréments humains et dans des excréments non spécifiés.

HABITAT. Forêt amazonienne de basse altitude.

PHÉNOLOGIE. Spécimens capturés en avril, octobre, novembre et décembre.

REMARQUES. Les exemplaires mâles de Bolivie diffèrent par leur tibia antérieur un peu plus gracile et par la marge supéropostérieure du fémur postérieur qui est un peu lobé près du milieu. Les paramères et le crochet du sac interne de l'édéage de ces deux formes ne présentent aucune différence notable.

Eurysternus gracilis Génier sp. nov.

(Fig. 180)

ÉTYMOLOGIE. *Gracilis* (gracile) est un adjectif latin se rapportant à l'aspect du tibia postérieur de cette espèce.

DESCRIPTION. **Longueur**. 6,5-8,5 mm. **Couleur**. Brun rougeâtre à brun foncé. **Tête**. Sexuellement dimorphique; clypéus largement arqué en vue dorsale, le milieu sinueusement arrondi vers le bas; le tiers médian mâle finement caréné vers le haut et sans dents de chaque côté; le tiers médian femelle caréné et muni de deux petites dents aigües de chaque côté de la carène qui forme un arc de cercle; les yeux étroits et bien visibles sur le dessus; joues un peu déprimées en avant des yeux; surface de la tête couverte de points ocellés, ces points à peu près égaux en diamètre, sans soies vers l'avant; massue antennaire brune. **Pronotum**. Arêtes latérales s'élargissant vers l'avant, formant un lobe sur le tiers antérieur; angles antérieurs droits; surface un peu irrégulière, densément couverte de points ocellés, les points un peu plus petits au milieu à l'avant, la microsculpture alvéolée et formant un réseau entre les points, les soies brunes et squameuses, en majorité courtes sur le disque, quelques longues soies plus ou moins recourbées à l'apex sur la région antérieure du disque et de

chaque côté de la ligne médiane, soies foncées sur l'arête des angles antérieurs. **Élytres**. Arête latérale un peu arquée; carène humérale courte; stries assez profondes et larges, munies d'une étroite carène lustrée au milieu; interstries recouverts d'une forte microsculpture intermédiaire entre alvéolée et en forme de réseau, interstries assez régulièrement couverts de soies squameuses de chaque côté; troisième interstrie sans petit tubercule aigu à l'apex; tubercule apical muni d'une rangée de longues soies sur les cinquième et septième interstries; troisième interstrie muni d'une touffe de longues soies vers l'apex. **Sternites thoraciques**. Carène proépisternale peu arquée et rejoignant l'arête latérale à l'angle antérieur; prosternum, derrière les hanches antérieures, muni de quelques soies écartées sur le disque et l'arête postérieure; lobe médian du métasternum faiblement convexe, le milieu sans sillon distinct; surface régulièrement couverte de grands points ocellés fortement imprimés, chaque point muni d'une fine soie claire couchée; la surface entre les points recouverte d'une forte microsculpture intermédiaire entre alvéolée et en forme de réseau. **Pattes**. Fémur antérieur convexe, muni d'une carène sur le tiers distal de la face ventrale, arête antérieure mâle munie d'une dent recourbée vers le bas chez les individus bien développés, arête antérieure femelle sans dent; tibia antérieur mâle grêle, arête latérale non modifiée, finement dentelée et munie de trois dents sur le tiers distal, l'angle apical interne arrondi, arête interne mâle un peu arquée et munie de 8 à11 petits tubercules; tibia antérieur femelle grêle, non modifié, arête interne presque droite; fémur postérieur mâle simplement convexe, surface ventrale couverte de petits points simples, arête postéroventrale nette et tranchante sur presque toute la longueur, arête postérodorsale bien nette; tibia postérieur mâle sinué en vue latérale, arête interne presque plane, munie d'une rangée de petits tubercules mal définis, chaque tubercule muni postérieurement d'une fine soie claire, carène ventrolatérale forte et lustrée, tranchant fortement sur le reste de la surface qui est opaque, non interrompue par la rangée soies; fémur postérieur femelle semblable à celui des mâles; tibia postérieur femelle presque rectiligne en vue latérale, arête interne non modifiée, carène ventrolatérale fine, lustrée, non interrompue par la rangée de fines soies claires qui est située sur son côté externe. **Abdomen**. Segment 3 terminé en pointe subaigüe antérieurement entre les hanches postérieures; segments 4 à 7 plats sur le disque, munis de deux rangées de points ocellés sur la région antérieure, ces points plus petits et effacés sur le disque; segment 8 couvert de soies semblables à celle du reste de la surface; région postérieure du segment latéralement délimitée par une forte carène, surface glabre, tégument seulement couvert d'une microsculpture semblables à celle du reste de la surface; pygidium muni de quelques grandes soies squamiformes mélangées de soies plus petites.

Holotype ♂ (CMNC) : PERU : LORETO, 1.5 km N., Teniente López, 2°35'39.6"S 76°06'55"W, 230-305m, 18-26.vii.1993, R. Leschen, *ex* FIT / COLLECTION

François GÉNIER, P.Q., CANADA / HOLOTYPE ♂, *Eurysternus gracilis* sp. nov., F. Génier. Édéage et sac interne de l'édéage extrait.

Allotype ♀ (BMNH) : PERU : LORETO, Iquitos, Rio Napo – Rio Sucusari, 03°26'46"S 73°15'49"W, xii.1997, lowland forest, coll. MVL Barclay, BMNH{E} 2003-49 / ALLOTYPE ♀, *Eurysternus gracilis* sp. nov. F. Génier.

MATÉRIEL EXAMINÉ. Répartition géographique Fig. 180; 15 ex. : **[PAYS NON SPÉCIFIÉ]** : Amazon, [sans date], [anonyme] – 1 ♂ (paratype) (MNHN). **BRÉSIL** : AMAZONAS, Borba, (4°23'20"S, 59°35'37"O), iii.1943, [anonyme] – 1 ♀ (paratype) (IBSP); même localité, ii.1943, [anonyme] – 1 ♀ (paratype) (MZSP); Guajará, Rio Madeira, Minicipio Borba, (4°23'20"S, 59°35'37"O), iii.1943, A. Parko – 1 ♀ (paratype) (IBSP); PARÁ, Santaremsinho, Municipio de Itaituba, Rio Tapajos, (4°13'S, 56°1'O), xii.1961, Dirings – 1 ♂ (paratype) (MZSP); Tapará, (1°38'S, 52°5'O), ix.1922, [unreadable] – 1 ♀ (paratype) (MZSP); **COLOMBIE** : AMAZONAS, Leticia, 215 m (4°11'20"S, 69°56'9"O), 24-28.ii.1974, S. Peck – 1 ♂ (paratype) (CMNC); **PÉROU** : near Ramón Castilla, 24.ii.1972, H. & A. Howden – 1 ♂ (paratype) (ROME); même localité, 26.ii.1974, R.H. Parry – 1 ♂ (paratype) (CMNC); [sans localité], [sans date], [anonyme] – 1 ♂ (paratype) (MNHN); LORETO, 1.5 km N Teniente López, 230-305 m (2°35'39.6"S, 76°6'55"O), 18-26.vii.1993, R. Leschen – 1 ♂ (holotype) (CMNC); Iquitos, (3°42'30"S, 73°15'30"O), 19.iii.1969, B.K. Dozier – 1 ♀ (paratype) (FSCA); Iquitos, Río Napo – Río Sucusari, (3°26'46"S, 73°15'49"O), xii.1997, M.V.L. Barclay – 1 ♀ allotype (BMNH); MADRE DE DIOS, Los Amigos Base Camp, Río Madre de Dios, 250 m (12°34'10"S, 70°6'1.4"O), 1-2.v.2000, T. Larsen – 1 ♂ (paratype) (AFIC); Tambopata Wldlf. Res., 30 km SW Pto. Maldonado, 290 m (12°50'S, 69°20'O), 26.ii.1982, N.E. Stork – 1 ♀ (paratype) (BMNH).

CONDITION DE CAPTURE. Spécimens capturés à l'aide de pièges à interception de vol.

HABITAT. Les seules données d'habitat disponibles indiquent que certains spécimens ont été capturés en forêt amazonienne primaire inondable et en forêt de basse altitude.

PHÉNOLOGIE. Spécimens capturés en février, mars, mai, juillet, septembre et décembre.

REMARQUES. 1) Les quatre mâles connus de cette espèce ont été disséqués et le sac interne de l'édéage a été comparé. Les paramères du spécimen de Municipio

de Itaituba sont un peu plus courts et moins rétrécis à l'apex en vue latérale que ceux des trois autres mâles. Comme le crochet du sac interne de ce spécimen est en tous points identique aux autres mâles connus de cette espèce, je considère cette variation comme intraspécifique.

2) Les quatre femelles connues de cette espèce proviennent de captures n'impliquant pas de mâles. Il faut donc souligner ici la possibilité qu'elles appartiennent à une espèce différente, mais très voisine.

3) L'allotype avait été désigné comme holotype d'*E. armatus* sp. nov. par Navajas, nom resté *in litteris*.

Eurysternus vastiorum Martínez, 1988

(Figs. 2, 43, 49, 71, 80-82, 181)

Eurysternus vastiorum Martínez
1988 Martínez, *Ent. Basil.* 12 : 287
2004 Celi et al., *Lyonia* 7 : 45 (faunistique)

ÉTYMOLOGIE. Patronyme en hommage à Aldo et Yvonne Vasti.

DIAGNOSE. Longueur 7,0-10,0 mm. Soies des points du pronotum insérées contre le rebord antérieur de chaque point. Pronotum couvert d'une microsculpture intermédiaire entre fovéolée et en réseau; marges latérales régulièrement arrondies antérieurement. Lobe médian du métasternum sans point ombiliqué. Hanches postérieures présentant une tache claire au centre et près de l'insertion du trochanter. Tibia antérieur sans petite carène oblique à l'apex sur la face ventrale chez les mâles; marge interne échancrée sur le tiers basal, muni de crénelure régulière et modérément grosse sur la face ventrale chez les mâles; marge interne échancrée sur la moitié basale et très finement crénelée chez les femelles. Extrémité du crochet du sac interne de l'édéage en pointe émoussée.

Holotype ♂ (MACN): PERU : Dº Huánuco, Tingo Maria, Universidad, Dic. 974, Coll. Martínez. Holotype non examiné, évidence suffisante.

MATÉRIEL EXAMINÉ. Répartition géographique Fig. 181; 1364 ex. : **BOLIVIE** : COCHABAMBA, Estación Biológica El Valle del Sajta, Universidad Mayor de San Simón, 67.5 km E Villa Tunari, 300 m (17°6'19"S, 64°46'57"O), 7-9.ii.1999, R. Hanley (1999-57) – 2 ex. (CMNC); même localité, 7-9.ii.1999, F. Génier (1999-41) – 4 ex. (CMNC); même localité, 7-9.ii.1999, F. Génier (1999-42) – 2 ex. (CMNC); même localité, 7-9.ii.1999, F. Génier (1999-43) – 20 ex. (CMNC); même

localité, 7-9.ii.1999, F. Génier (1999-44) – 38 ex. (CMNC); même localité, 7-9. ii.1999, F. Génier (1999-45) – 28 ex. (CMNC); même localité, 7-9.ii.1999, F. Génier (1999-46) – 2 ex. (CMNC); même localité, 7-9.ii.1999, F. Génier (1999-47) – 3 ex. (CMNC); même localité, 7-9.ii.1999, F. Génier (1999-48) – 3 ex. (CMNC); même localité, 9-13.ii.1999, F. Génier (1999-68) – 7 ex. (CMNC); même localité, 9-13.ii.1999, F. Génier (1999-70) – 31 ex. (CMNC); même localité, 9-13.ii.1999, F. Génier (1999-71) – 50 ex. (CMNC); même localité, 9-13.ii.1999, F. Génier (1999-72) – 15 ex. (CMNC); même localité, 9-13.ii.1999, F. Génier (1999-73) – 1 ♀, 1 ♂, 42 ex. (CMNC, OUMNH); même localité, 9-13.ii.1999, F. Génier (1999-74) – 1 ex. (CMNC); même localité, 9-13.ii.1999, F. Génier (1999-75) – 2 ex. (CMNC); Provincia Chapare, Chimoré, 250 m (16°59'56"S, 65°9'17"O), i.1972, A. Martínez – 1 ♀, 2 ♂♂ (3 paratypes) (CMNC); San Francisco del Chipiriri, 400 m, vi.1953, A. Martínez – 1 ♂ (paratype) (CMNC); Villa Tunari, (16°58'48"S, 65°25'43"O), xii.1985, Martínez – 2 ♂♂, 4 ex. (CMNC); LA PAZ, Río Inicua, (15°19'S, 67°34'O), i.1976, L. Peña – 3 ex. (PAIC); San Miguel de Huachi, (15°40'29"S, 67°15'6"O), vi.1925, G.L. Harrington – 1 ex. (USNM); Tumupasa, (14°8'23"S, 67°53'26"O), xii[1921-1922], W.M. Mann – 2 ex. (USNM); Provincia Sud Yungas, [sans localité], [sans date], [anonyme] – 9 ex. (AFIC); PANDO, Manopiri, 1997, [anonyme] – 5 ex. (AFIC); SANTA CRUZ, Rurrenabaque, Río Beni, (14°28'S, 67°34'O), x[1921-1922], W.M. Mann – 6 ex. (USNM); même localité, viii.1925, G.L. Harrington – 2 ex. (USNM); **BRÉSIL** : AMAPÁ, Quaruba, 100 m (0°1'S, 52°17'O), iii-iv.2005, T.A. Gardner & M.I.M. Hernández – 1 ♀ (WDEC); AMAZONAS, Benjamin Constant, (4°23'25"S, 70°2'19"O), iii.1942, [anonyme] – 1 ♂ (MZSP); Reserva Florestal Adolpho Ducke, 26 km NE Manaus, 80 m (2°57'S, 59°57'O), 4-12.iii.1966, W.D. Edmonds – 1 ex. (WDEC); PARÁ, Óbidos, (1°54'30"S, 55°31'8"O), xii.1955, Dirings – 2 ex. (IBSP); même localité, ii.1960, Dirings – 1 ♂, 4 ex. (MZSP); même localité, i.1956, Dirings – 3 ex. (MZSP); même localité, iv.1960, Dirings – 1 ex. (MZSP); même localité, viii.1960, Dirings – 4 ex. (MZSP); même localité, xi.1956, Dirings – 3 ex. (MZSP); même localité, xi.1955, Dirings – 1 ex. (MZSP); même localité, xii.1957, Dirings – 1 ex. (MZSP); même localité, i.1956, F. M. Oliveira – 2 ex. (MZSP); même localité, xi.1953, F.M. Oliveira – 1 ex. (MZSP); même localité, vi.1958, Dirings – 2 ex. (MZSP); même localité, xii.1961, Dirings – 1 ex. (MZSP); même localité, 12.xi.1952, P.A. Telles – 1 ex. (MZSP); Santaremsinho, Municipio de Itaituba, Rio Tapajos, (4°13'S, 56°1'O), vi.1951, Dirings – 1 ex. (MZSP); Tucuruí, (3°46'26"S, 49°41'19"O), 22-28.x.1983, [anonyme] – 15 ex. (PAIC); SANTA CATARINA, Joinville, (26°22'50"S, 48°48'18"O), ii.1954, Dirings – 1 ex. (MZSP); São Bento do Sul, (26°15'4"S, 49°22'49"O), ii.1952, Dirings – 1 ex. (IBSP); **COLOMBIE** : AMAZONAS, Leticia, 215 m (4°11'20"S, 69°56'9"O), 11.vii.1970, J.M. Campbell – 1 ex. (CNC); même localité, 20-25.ii.1972, Peck & Howden – 9 ex. (CMNC, CNC, ROME,

WBWC); même localité, 25.ii.1972, S. & J. Peck – 1 ex. (CNC); même localité, 23.ii.-2.iii.1974, J.D. Glaser – 1 ex. (CMNH); même localité, 23.ii.-1.iii.1974, B.C. Ratcliffe – 1 ex. (UNSM); **ÉQUATEUR** : MORONA-SANTIAGO, Bosque Domono, 1650 m (2°18'41"S, 78°6'59"O), 22.viii.1997, C. Carpio – 1 ex. (QCAZ); Via Mendez-Paute Km 8, 1250 m, 23.viii.1997, C. Carpio – 15 ex. (QCAZ); NAPO, 20 km S Tena, 600 m (1°8'58"S, 77°50'26"O), 11.vii.1976, S. Peck – 2 ex. (CMNC, ROME); 3.3 km E Puerto Napo, 400 m (1°3'10"S, 77°42'42"O), 13.vii.1994, F. Génier – 2 ex. (CMNC); 5 km O Tena, 500 m (0°58'9"S, 77°51'35"O), 6-9.vii.1976, S. Peck – 1 ex. (ROME); Estación Biológica Jatun Sacha, 450 m (1°4'S, 77°37'O), 24-26.vii.1998, Ratcliffe, Jameson, Smith, Villatoro – 1 ex. (ABTS); Estación Biológica Jatun Sacha, 21 km E Puerto Napo, 400 m (1°3'46"S, 77°36'37"O), 9.vii.1994, F. Génier – 2 ex. (CMNC); même localité, 15.vii.1994, Levy & Génier – 5 ex. (CMNC); même localité, 18.vii.1994, Levy & Génier – 7 ex. (CMNC); même localité, 20.vii.1994, Levy & Génier – 9 ex. (CMNC); Hostería Misahualli Jungle Lodge, (1°2'4"S, 77°39'49"O), 8-20.ix.1997, D.G. Marqua – 1 ex. (EGRC); Misahualli Jungle lodge area, junction of Rio Napo & Rio Misahualli, 579 m (1°2'4.2"S, 77°39'49.2"O), 13-20.ix.1998, C. & K. Messenger – 1 ex. (UNSM); Puerto Misahualli, 350 m (1°2'3"S, 77°40'5"O), 18-22.ii.1983, M. Sharkey – 1 ex. (CMNC); Río Aguarico, 150 m, 25.ix.1977, L. Peña – 1 ex. (CMNH); Tena, 400-500 m (0°59'21"S, 77°48'55"O), 23.v.1977, W.E. Steiner – 1 ex. (USNM); même localité, 16-17.ii.1983, M. Sharkey – 1 ex. (CMNC); même localité, 15-21.ii.1986, F. Génier – 1 ♂, 8 ex. (CMNC); ORELLANA, Estación Científica Yasuní (PUCE), (0°40'16.5"S, 76°24'1.8"O), 27.vii.-1.viii.1998, Ratcliffe, Jameson, Smith, Villatoro – 1 ex. (UNSM); même localité, 5-10.ix.1999, E.G. Riley – 9 ex. (TAMU); même localité, 9-17.ix.1999, D.G. Marqua – 2 ex. (DGMF); Estación de Biodiversidad Tiputini (USFQ), Parque Nacional Yasuní, 220 m (0°38'S, 76°9'O), ix.2000, D. Inward – 10 ex. (BMNH); même localité, 14-19.ii.1998, field course per D.C. Darling (ROM 980005) – 1 ex. (ROME); Yuturi Lodge, (0°32'51"S, 76°2'28"O), 21.iii.1999, R. Brooks – 6 ex. (CMNC); PASTAZA, Villano, (1°29'7"S, 77°32'18"O), 3.vii.1996, J. Naranjo – 1 ex. (QCAZ); SUCUMBÍOS, 2 km N Limoncocha, 250 m (0°23'17"S, 76°37'15"O), 22-28.vi.1976, S. Peck – 2 ex. (CMNC); 30 km E Lago Agrio, Via a Tarapoa, (0°0'5"S, 76°39'8"O), 17.x.1975, A. Langley – 3 ex. (USNM); Limoncocha, 250 m (0°24'38"S, 76°37'37"O), 9.iii.1976, J.M. Campbell – 1 ex. (CMNC); même localité, 11.iii.1976, J.M. Campbell – 1 ♂, 8 ex. (CMNC, CNC); même localité, 13.iii.1976, J.M. Campbell – 1 ex. (CMNC); même localité, 21-28.vi.1976, S. Peck – 2 ex. (CMNC); même localité, 21.vi.1976, S. & J. Peck – 1 ex. (CMNC); même localité, 25.vi.1976, S. & J. Peck – 1 ♀ (CNC); même localité, 26-28.vi.1976, S. Peck – 1 ex. (ROME); même localité, 28.vi.1976, S. & J. Peck (ber. 349) – 1 ex. (CMNC); même localité, 21.vii.1976, S. & J. Peck – 1 ex. (CMNC); même localité,

3.vi.1977, P.J. Spangler & D.R. Givens – 1 ex. (BCRC); même localité, 3.vi.1977, W.E. Steiner – 1 ex. (USNM); même localité, 5.vi.1977, W.E. Steiner – 2 ex. (USNM); même localité, 9.vi.1977, P.J. Spangler & D.R. Givens (108) – 2 ex. (USNM); même localité, 15.vi.1977, P.J. Spangler & D.R. Givens (127) – 1 ex. (USNM); Sacha Lodge, 270 m (0°28'14"S, 76°27'35"O), 24.iii.1999, R. Brooks – 2 ex. (CMNC); ZAMORA-CHINCHIPE, Via Cumbaritza-Gualaquiza Km 1, 1100 m (3°59'2"S, 78°51'48"O), 26.viii.1997, C. Carpio – 4 ex. (QCAZ); Via Namirez-Zamora Km 1, 1000 m (3°57'47"S, 78°51'28"O), 26.viii.1997, C. Carpio – 1 ex. (QCAZ); Via Zumbi-Yantzaga Km 4, 900 m (3°51'56"S, 78°45'53"O), 25. viii.1997, C. Carpio – 3 ex. (QCAZ); **GUYANE FRANÇAISE** : CAYENNE, 18.4 km SSE Roura, 240 m (4°36'38"N, 52°13'25"O), 25-29.v.1997, J. Ashe & R. Brooks (1997-81) – 1 ex. (CMNC); 27.4 km SSE Roura, 280 m (4°44'20"N, 52°13'25"O), 10.vi.1997, J. Ashe & R. Brooks (1997-177) – 1 ♂, 1 ex. (CMNC); 39.4 km SSE Roura, 270 m (4°32'43"N, 52°8'26"O), 29.v.-10.vi.1997, J. Ashe & R. Brooks (1997-172) – 1 ex. (CMNC); 8.4 km SSE, Roura, 200 m (4°40'41"N, 52°13'25"O), 29.v.-10.vi.1997, J. Ashe & R. Brooks (1997-182) – 1 ex. (CMNC); Amazone Nature Lodge, 30 km SE Roura on Kaw Road, 300 m (4°33'34"N, 52°12'26"O), 3-10.vi.2005, J.E. Eger – 3 ex. (FSCA); Fourgassie, (4°37'N, 52°19'O), 12-18.iii.1996, I. Jeniš – 3 ex. (MHNG); Kourou, Montagne des Singes, (5°9'N, 52°39'O), ii.1984, P. Arnaud – 6 ex. (PAIC); Lac du Rorota, (4°52'53"N, 52°15'11"O), ii.1976, P. Arnaud – 3 ex. (PAIC); Montagne Kaw, Fourgassié, (4°33'N, 52°10'O), 15.ix.-1.x.1995, N. Kocian – 12 ex. (MHNG); PK 2, Piste de Coralie, (4°31'N, 52°21'O), 29.ix.1992, D.C. Carlson, F.T. Hovore & P.H. Sullivan – 1 ♀ (BDGC); Roura, route de Kaw, point kilo. 13.5, ix.1997, F. Lavalette – 6 ex. (CMNC); SAINT-LAURENT-DU-MARONI, along Rue de Belizon trail, 2.9 km NW Les Eaux Claires, 7 km N Saül, 220-240 m (3°39'46"N, 53°13'19"O), 31.v.-3. vi.1997, Ashe & Brooks (122) – 2 ex. (CMNC); Les Eaux Claires, 7 km N Saül, 220 m (3°39'46"N, 53°13'19"O), 31.v.-3.vi.1997, J. Ashe & R. Brooks (1997-126) – 2 ex. (CMNC); Saint-Laurent-du-Maroni, (5°29'11"N, 54°0'29"O), xii.1975, P. Arnaud – 2 ex. (PAIC); Saül, (3°37'N, 53°12'O), ii.1977, P. Arnaud – 12 ex. (PAIC); même localité, xi.1991, P. Arnaud – 22 ex. (PAIC); même localité, 13. ix.1976, N. Dégallier – 2 ex. (CMNH); même localité, 4-10.iii.1996, I. Jeniš – 18 ex. (MHNG); **PÉROU** : near Ramón Castilla, 24.ii.1972, H. & A. Howden – 2 ♂♂ (CMNC); Pachitea, [sans date], [anonyme] – 1 ex. (IBSP); Río Santiago, 11. xi.1924, H. Bassler – 1 ♂ (MZSP); même localité, 21.xi.1924, H. Bassler – 1 ex. (MZSP); HUANUCO, 5 mi. SW Las Palmas, 1000 m (9°22'44"S, 75°55'58"O), 5.xii.1954, E.I. Schlinger & E.S. Ross – 1 ex. (IBSP); Cucharas, Huallaga Valley, vi.1954, F. Woytkowski – 1 ex. (CMNC); Leon Pampa Region, (9°32'S, 75°57'O), xii.1937, F. Woytkowski – 1 ex. (SEMC); Monson Valley, Tingo María, (9°19'13"S, 76°1'14"O), 3.xi.1954, E.I. Schlinger & E.S. Ross – 2 ex. (IBSP, MZSP); même

localité, 10.xi.1954, E.I. Schlinger & E.S. Ross – 1 ex. (IBSP); même localité, 16.xi.1954, E.I. Schlinger & E.S. Ross – 1 ex. (MZSP); même localité, 2.xii.1954, E.I. Schlinger & E.S. Ross – 1 ex. (MZSP); même localité, 9.xii.1954, E.I. Schlinger & E.S. Ross – 1 ex. (IBSP); Parque Nacional Tingo María, Tingo María, 660 m (9°10'S, 76°0'O), 11-17.iv.1987, J.E. Eger – 1 ex. (FSCA); Tingo María, 700-740 m (9°10'S, 76°0'O), x.1977, P. Arnaud – 2 ex. (PAIC); même localité, 1-10.v.1937, F. Woytkowski – 1 ex. (SEMC); Tingo María Region, (9°10'N, 76°0'O), 15-24.vi.1937, F. Woytkowski – 1 ex. (SEMC); même localité, 25.vi.-5.vii.1937, F. Woytkowski – 1 ex. (SEMC); Universidad, Tingo María, (9°10'S, 76°0'O), xii.1974, Martínez – 4 ♂♂ (4 paratypes) (CMNC); LORETO, 1.5 km N Teniente López, 210-240 m (2°35.66'S, 76°6.92'O), 17.vii.1993, R. Leschen (1993-113) – 1 ex. (SEMC); même localité, 18-26.vii.1993, R. Leschen – 6 ex. (CMNC); même localité, 18.vii.1993, R. Leschen (1993-121) – 1 ex. (SEMC); même localité, 23.vii.1993, R. Leschen (1993-191) – 1 ex. (SEMC); même localité, 24.vii.1993, R. Leschen (1993-189) – 1 ex. (SEMC); Campamento El Fuerte, Cerros de Orellana, 19.vii.1988, P. Hocking – 1 ♂ (CMNC); Explorama Lodge, 1 km from Río Amazonas on Río Yanamono, 80 km NE Iquitos, (3°24'16"S, 72°46'33"O), 1-5.ix.1992, Castner & Skelley – 1 ex. (WBWC); Iquitos, (3°42'30"S, 73°15'30"O), ii.1907, N. Iconnicoff – 2 ♀♀, 1 ♂ (ZMHB); même localité, 20.iii.1969, B.K. Dozier – 1 ex. (FSCA); Río Morona, (4°44'43"S, 77°3'48"O), 19.i.1925, H. Bassler – 1 ex. (MZSP); MADRE DE DIOS, Estación Biológica Cocha Cashu, Parque Nacional de Manú, 380 m (11°53'45"S, 71°24'24"O), 17-19.x.2000, R. Brooks (2000-42) – 1 ex. (CMNC); Reserva Cuzco Amazonica, 15 km NE Puerto Maldonado, 200 m (12°33'S, 69°3'O), 13.vi.1989, J.S. Ashe & R.A. Leschen (1989-37) – 19 ex. (SEMC); même localité, 15.vi.1989, Ashe & Leschen – 18 ex. (CMNC); même localité, 15.vi.1989, Ashe & Leschen – 5 ex. (CMNC); même localité, 15.vi.1989, Ashe & Leschen – 12 ex. (CMNC); même localité, 15.vi.1989, J.S. Ashe & R.A. Leschen (1989-75) – 2 ex. (SEMC); même localité, 17.vi.1989, Ashe & Leschen – 9 ex. (CMNC); même localité, 17.vi.1989, Ashe & Leschen – 1 ex. (CMNC); même localité, 20.vi.1989, Ashe & Leschen – 39 ex. (CMNC); même localité, 20.vi.1989, Ashe & Leschen – 5 ex. (CMNC); même localité, 20.vi.1989, Ashe & Leschen – 12 ex. (CMNC); même localité, 22.vi.1989, Ashe & Leschen – 9 ex. (CMNC); même localité, 22.vi.1989, Ashe & Leschen – 10 ex. (CMNC); même localité, 22.vi.1989, J.S. Ashe & R.A. Leschen (1989-193) – 4 ex. (SEMC); même localité, 22.vi.1989, J.S. Ashe & R.A. Leschen (1989-199) – 8 ex. (SEMC); même localité, 22.vi.1989, J.S. Ashe & R.A. Leschen (1989-205) – 2 ex. (SEMC); même localité, 24.vi.1989, Ashe & Leschen – 22 ex. (CMNC); même localité, 24.vi.1989, R. Leschen – 15 ex. (CMNC); même localité, 24.vi.1989, J.S. Ashe & R.A. Leschen (1989-237) – 41 ex. (SEMC); même localité, 24.vi.1989, J.S. Ashe & R.A. Leschen (1989-240) – 3 ex. (SEMC); même localité, 25.vi.1989, J.S.

Ashe & R.A. Leschen (1989-269) – 1 ex. (SEMC); même localité, 26.vi.1989, Ashe & Leschen – 12 ex. (CMNC); même localité, 26.vi.1989, J.S. Ashe & R.A. Leschen (1989-281) – 8 ex. (SEMC); même localité, 28.vi.1989, Leschen & Silva – 2 ex. (CMNC); même localité, 28.vi.1989, D. Silva & R.A. Leschen (1989-314) – 2 ex. (SEMC); même localité, 30.vi.1989, Ashe & Leschen – 1 ♂, 16 ex. (CMNC); même localité, 30.vi.1989, Ashe & Leschen – 1 ♂, 22 ex. (CMNC); même localité, 30.vi.1989, J.S. Ashe & R.A. Leschen (1989-327) – 1 ex. (SEMC); même localité, 4.vii.1989, Ashe & Leschen – 33 ex. (CMNC); même localité, 4. vii.1989, J.S. Ashe & R.A. Leschen (1989-386) – 1 ex. (SEMC); même localité, 7. vii.1989, J.S. Ashe & R.A. Leschen (1989-438) – 5 ex. (SEMC); même localité, 10.vii.1989, Ashe & Leschen – 1 ex. (CMNC); même localité, 13.vii.1989, Ashe & Leschen – 22 ex. (CMNC); même localité, 16.vii.1989, Ashe & Leschen – 27 ex. (CMNC); Tambopata, 15 km NE Puerto Maldonado, 200 m (12°33'S, 69°3'O), 22.vi.1989, D. Silva (1989-198) – 9 ex. (SEMC); même localité, 22. vi.1989, J. Ashe & R. Leschen (1989-200) – 4 ex. (SEMC); même localité, 24.vi.1989, J. Ashe & R. Leschen (1989-267) – 1 ex. (SEMC); Ccolpa de Guacamayos, Río Tambopata, 300 m (13°8.5'S, 69°36.4'O), x.1995, A. Forsyth – 129 ex. (AFIC, USNM); SAN MARTÍN, Achinamiza, (6°25'S, 75°54'O), 10.xii.1925, H. Bassler – 1 ex. (MZSP); même localité, 27.xii.1925, H. Bassler – 1 ex. (MZSP); même localité, 9.i.1926, H. Bassler – 1 ex. (MZSP); même localité, 14.i.1926, H. Bassler – 2 ex. (MZSP); même localité, 15.i.1926, H. Bassler – 1 ex. (MZSP); **SURINAME** : MAROWIJNE, Nassau Mountains, 500 m (4°48'36"N, 54°31'16"O), 4.vi.1999, Z. Falin – 1 ex. (CMNC).

CONDITION DE CAPTURE. Certains spécimens ont été capturés à l'aide de pièges à interception de vol ou de pièges à fosse appâtés avec des excréments ou de la viande en décomposition. Près de Puerto Maldonado (Pérou), un spécimen a été capturé sur un amoncèlement de fourmis mortes et deux autres sur des fruits de liane tombés sur le sol. Un spécimen a été capturé dans un nid de termites endommagé.

HABITAT. Cette espèce semble préférer les forêts humides primaires, inondables ou non, de basse à moyenne altitude. Quelques spécimens ont été capturés dans de la broussaille secondaire.

PHÉNOLOGIE. Spécimens capturés toute l'année.

REMARQUES. Cette espèce est assez variable et semble former trois populations plus ou moins distinctes. Cette variation s'observe essentiellement pour les caractères sexuels secondaires, soit : la longueur du tibia antérieur; la présence et le

développement des carènes de la face ventrale et de l'éperon de l'arête antérieure du fémur antérieur; le nombre et la grosseur des tubercules de la face postérieure du tibia postérieur; la forme du fémur postérieur et la longueur, la forme et la densité des soies de la face postérieure du fémur postérieur. Les mâles de ces trois populations se distinguent par les caractères suivants :

a) première population (forme nominale) : coloration habituellement en majeure partie fauve ou brun pâle; tibia antérieur court et large; face ventrale du fémur antérieur muni d'une forte carène lustrée couvrant plus de la moitié de la longueur du fémur sur le disque; fémur postérieur plus grêle, face dorsale distinctement recourbée en vue postérieure; l'arête postéroventrale distinctement sinuée, estompée sur le tiers basal, flanquée d'une rangée de longues soies squameuses très denses, les plus longues de ces soies aussi ou plus longues que la largeur de la base du fémur juste après l'insertion du trochanter; province de Huanuco, Pérou.

b) deuxième population : coloration variable, mais habituellement en majeure partie fauve ou brun pâle; tibia antérieur de longueur intermédiaire; face ventrale du fémur antérieur munie d'une carène lustrée et nette couvrant habituellement moins de la moitié de la face ventrale du fémur; fémur postérieur plus robuste, face dorsale moins recourbée en vue postérieure; l'arête postéroventrale presque droite, nette sur presque toute la longueur, flanquée d'une rangée de soies peu squameuses devenant graduellement plus longues vers le milieu, les plus longues soies aussi longues que la moitié de la largeur de la base du fémur juste après l'insertion du trochanter en vue ventrale; Amazonie et deux exemplaires de l'État de Santa Catarina, Brésil.

c) troisième population : coloration en majeure partie brune à brun foncé; tibia antérieur, long et grêle; face ventrale du fémur antérieur sans carène lustrée bien nette; fémur postérieur plus grêle, face dorsale moins recourbée en vue postérieure; l'arête postéroventrale presque droite, bien nette sur presque toute la longueur, flanquée d'une rangée de soies peu squameuses devenant graduellement plus longues vers le milieu, les plus longues soies de cette rangée aussi longues que le tiers de la largeur de la base du fémur juste après l'insertion du trochanter en vue ventrale; province du Napo, Équateur et région adjacente du Département de Loreto, Pérou.

Une série d'exemplaires représentatifs a été disséquée et le crochet du sac interne de l'édéage présente une certaine variabilité. Cependant, ces différences ne semblent pas assez importantes pour justifier une reconnaissance taxonomique formelle. Il est possible qu'un échantillonnage beaucoup plus important permette de définir ces variations de façon beaucoup plus claire. Étant donné que certains exemplaires étudiés capturés dans les régions limitrophes de ces différentes populations présentent des formes intermédiaires, je considérerai donc cette variation comme intraspécifique.

Eurysternus ventricosus Gill, 1990

(Fig. 182)

Eurysternus ventricosus Gill
1990 Gill, *Col. Bull.* 44 : 358

ÉTYMOLOGIE. *Ventricosus* (ventru), un adjectif latin se rapportant à la projection médiane du septième sternite abdominal.

DIAGNOSE. Longueur 7,0-9,5 mm. Soies des points du pronotum insérées contre le rebord antérieur de chaque point. Pronotum couvert d'une microsculpture intermédiaire entre fovéolée et en réseau; marges latérales régulièrement arrondies antérieurement. Lobe médian du métasternum sans point ocellé. Hanches postérieures présentant une tache claire au milieu et une autre près de l'insertion du trochanter. Tibia antérieur muni d'une petite carène oblique à l'apex sur la face ventrale chez les mâles; marge interne échancrée sur le tiers basal et munie de crénelures régulières assez grosses sur la face ventrale chez les mâles; marge interne échancrée sur la moitié basale et finement crénelée sur la face ventrale chez les femelles; extrémité du crochet du sac interne de l'édéage tronquée, fortement aplati latéralement.

Holotype ♂ (MIZA) : VENEZUELA : Bolivar, 120 km S El Dorado, 20-27.xii.1987, B.D. Gill. Holotype non examiné, évidence suffisante.

Allotype ♀ (MIZA) : Mêmes données que l'holotype.

MATÉRIEL EXAMINÉ. Répartition géographique Fig. 182; 107 ex. : **BOLIVIE** : PANDO, near Guayamerin, 120 m (11°50'S, 65°22'O), ii.1996, [anonyme] – 1 ♀, 1 ♂ (AFIC); SANTA CRUZ, Lago Caiman, Parque Nacional Noel Kempff Mercado, (13°36'S, 60°54.9'O), 13-20.i.1997, S. Spector & S. Ayazama – 5 ex. (BDGC); **BRÉSIL** : AMAPÁ, Serra do Navio, (0°53'31"N, 52°0'10"O), ix.1957, P. Pereira – 1 ♀, 1 ♂ (paratypes) (CMNC); AMAZONAS, 90 km N Manaus, (2°14'40"S, 60°2'0"O), xi.1997, E. Andresen – 4 ♀♀, 15 ♂♂ (FVMC); AM 010, Km 244, (5°3'S, 58°27'O), 20.i.1977, B.C. Ratcliffe – 3 ex. (BCRC); Benjamin Constant, Rio Javari, (4°22'28"S, 70°1'47"O), iii.1960, Dirings – 1 ♀ (MZSP); Fazenda Dimona, 70 km N manaus, (2°19'S, 60°5'O), 19.vi.1986, B. Klein – 2 ♀♀ (CMNC, FSCA); même localité, 20.vi.1986, B. Klein – 4 ♂♂ (FSCA); même localité, 21.vi.1986, B. Klein – 1 ♀ (FSCA); Fazenda Esteio, 70 km N Manaus, (2°24'S, 59°52'O), 31.v.1986, B. Klein – 1 ♀ (FSCA); même localité, 2.vi.1986, B. Klein – 1 ♀ (FSCA); même localité, 7.vi.1986, B. Klein – 2 ♀♀, 1 ♂ (FSCA);

Fazenda Porto Alegre, 70 km N Manaus, (2°19'S, 60°5'O), 15.vi.1986, B. Klein – 3 ♀♀ (CMNC, FSCA); même localité, 16.vi.1986, B. Klein – 1 ♀, 4 ♂♂ (FSCA); Manaus, (3°6'48"S, 60°1'31"O), viii.1962, K. Lenko – 1 ♀ (MZSP); Reserva Florestal Adolpho Ducke, 26 km NE Manaus, 80 m (2°57'S, 59°57'O), 4-12.iii.1966, W.D. Edmonds – 1 ♀ (IBSP); même localité, 20.x.1977, B.C. Ratcliffe – 1 ex. (UNSM); même localité, 25.x.1977, B.C. Ratcliffe – 1 ex. (UNSM); même localité, 21.iii.1978, B.C. Ratcliffe – 1 ex. (UNSM); Rio Javari, Estado do ÉQUATEUR, x.1979, M. Alvarenga – 1 ♂ (CMNC); Rio Negro, iv.1982, [anonyme] – 1 ♀ (PAIC); Tapuruquara, Rio Negro, (0°24'47"S, 65°1'47"O), 25-27.xi.1962, J. Bechyné – 1 ♀ (IBSP); PARÁ, Carajás, (2°56'55"S, 51°51'17"O), 29.iii.-6.iv.1989, [anonyme] – 1 ♀ (CMNC); Carajás, Serra Norte, (2°57'S, 51°52'O), vi.1984, [anonyme] – 1 ♀ (PAIC); Óbidos, (1°54'30"S, 55°31'8"O), i.1956, F.M. Oliveira – 1 ♀ (IBSP); même localité, iv.1960, Dirings – 1 ♀ (MZSP); même localité, xi.1953, F.M. Oliveira – 1 ♀ (MZSP); même localité, xii.1965, A. Maller – 1 ♂ (MZSP); Santaremsinho, Municipio de Itaituba, Rio Tapajos, (4°13'S, 56°1'O), vi.1961, Dirings – 1 ♂ (MZSP); **GUYANA** : CUYUNI-MAZARUNI, Bartica District, (6°23'18"N, 58°37'49"O), 15.iv.1924, [anonyme] – 2 ♀♀ (CMNH); POTARO-SIPARUNI, Kangaruma, (5°20'N, 59°12'O), 13.vii.1911, [anonyme] – 1 ♂ (MZSP); **GUYANE FRANÇAISE** : CAYENNE, 18.4 km SSE Roura, 240 m (4°36'38"N, 52°13'25"O), 22-24.v.1997, J. Ashe & R. Brooks (1997-24) – 1 ♂ (CMNC); même localité, 25-29.v.1997, J. Ashe & R. Brooks (1997-81) – 1 ♂ (CMNC); 20 km SW Cayenne, 30 m (4°48'18"N, 52°28'41"O), 29.v.-9.vi.1997, J. Ashe & R. Brooks (1997-171) – 1 ♀ (CMNC); 39.4 km SSE Roura, 270 m (4°32'43"N, 52°8'26"O), 25-29.v.1997, J. Ashe & R. Brooks (1997-76) – 1 ♀ (CMNC); même localité, 29.v.-10.vi.1997, J. Ashe & R. Brooks (1997-172) – 1 ♂ (CMNC); Cayenne, (4°54'3"N, 52°18'12"O), xi.1951, [anonyme] – 1 ♀ (MZSP); Kourou, Montagne des Singes, (5°9'N, 52°39'O), ii.1984, P. Arnaud – 2 ♂♂ (PAIC); Montagne Kaw, Fourgassié, (4°33'N, 52°10'O), 15.ix.-1.x.1995, N. Kocian – 1 ♀, 5 ♂♂ (MHNG); SAINT-LAURENT-DU-MARONI, Fleuve Mana, (5°15'N, 53°38'O), vi.1917, [anonyme] – 1 ♀ (CMNH); Saint-Laurent-du-Maroni, (5°29'11"N, 54°0'29"O), iv.1976, P. Arnaud – 6 ♀♀, 3 ♂♂ (PAIC); même localité, viii.1975, P. Arnaud – 1 ♀ (PAIC); Saül, (3°37'N, 53°12'O), xi.1991, P. Arnaud – 3 ♂♂ (PAIC); **VENEZUELA** : AMAZONAS, Marahuaca-Macizo Central, Parque Nacional Duida-Marahuaca, 1040 m (3°40'N, 65°28'O), 2-6.iii.1985, Exp. Marawaca – 2 ex. (MIZA); même localité, 9.iii.1985, Exp. Marawaca – 1 ♂ (MIZA); Atures, San Jose de Camani, 120 m (5°3'2"N, 66°20'3"O), vi.1979, A. Martínez – 2 ♀♀ (CMNC); BOLIVAR, 12 km N Luepa, Grand Sabana, 1500 m (5°49'N, 61°29'16"O), 1-11.xii.1987, S. & J. Peck – 1 ♀ (paratype) (CMNC); 120 km S El Dorado, 20-27.xii.1987, B.D. Gill – 2 ♂♂ (2 paratypes) (CMNC); Río Surucún, Carretera Santa Elena-Icabaru, 850 m, 19-31.i.1985, F. Fernandez Y., A. Chacon, J. Demarmels – 1 ex. (MIZA).

CONDITION DE CAPTURE. Certains spécimens ont été capturés à l'aide de pièges appâtés avec de la viande en décomposition ou avec des excréments humains, placés dans une forêt mature. Un spécimen a été capturé dans une forêt de brouillard à 1500 m à l'aide d'un piège appâté avec de la viande en décomposition.

HABITAT. Forêt humide de basse altitude dans toute l'Amazonie et forêt du bouclier guyanais jusqu'à une altitude de 1500 m au Venezuela.

PHÉNOLOGIE. Spécimens capturés toute l'année sauf en mai.

REMARQUES. La coloration de cette espèce est assez variable. La couleur du pronotum varie de brun rougeâtre à brun, le disque étant toujours un peu plus foncé que la région des marges latérales et antérieures; chez certains autres exemplaires le pronotum est d'un beau rouge orangé vif. La coloration des élytres varie entre entièrement brun rougeâtre à noirâtre. Chez certains individus, les interstries 1 et 5 sont brun rougeâtre à la base, et chez quelques autres, les interstries 1, 3-6 sont brun rougeâtre à la base. En outre, la ponctuation du pronotum, du métasternum et du fémur médian et postérieur, assez variable, est tantôt estompée et assez écartée chez les exemplaires du bouclier guyanais, tantôt bien définie, confluente et portant de courtes soies squamiformes chez les exemplaires du sud de l'Amazonie. Le prosternum de certains individus comporte une carène longitudinale tranchante. Le petit nombre de spécimens étudiés ne me permet pas de me faire une idée juste ed la signification de la variabilité de tous ces caractères. Je me bornerai donc à considérer ces variations comme intraspécifiques, et je reverrai ce statut lorsque du matériel additionnel sera disponible.

GROUPE DEPLANATUS

DIAGNOSE. Taille petite à moyenne (8,0 -14,0 mm). Yeux assez larges et bien visibles sur le dessus. Pronotum recouvert d'une ponctuation simple sur toute la surface; microsculpture alvéolée. Élytres recouverts d'une microsculpture alvéolée chez *E. deplanatus*, ou arrangée en réseau longitudinal chez *E. parallelus*; tubercule huméral court. Fémur postérieur inerme sur la face postérieure; arête postéroventrale carénée, chez *E. deplanatus* cette carène forme un petit lobe au milieu. Éperon du tibia postérieur mâle articulé.

Eurysternus deplanatus (Germar), 1824
(Fig. 183)

Eurysternus deplanatus Germar [*Onitis*]
1824 Germar, *Ins. Sp. Nov. Min. Cog. I* : 109
1840 Castelnau, *Hist. Nat. Ins.* 2 : 93 (commentaire)
1869 Gemminger & Harold, *Cat. Col.* 4 : 1024 (catalogue)
1911 Gillet, *Col. Cat.* 38 : 25 (catalogue)
1944 Blackwelder, *U. S. Nat. Mus. Bull.* 185 : 197 (catalogue)
1959 Martínez, *Rev. Mus. Arg. Cien. Nat. Bern. Rivad.* 5 : 20 (catalogue)
1966 Halffter & Matthews, *Folia Ent. Mex.* 12-14 : 173 (association avec acariens)
1985 Jessop, *J. Nat. Hist.* 19 : 1104 (désignation de type)
2003 Huerta et al., *Acta Zool. Mex. (n.s.)* 88 : 30 (biologie)

ÉTYMOLOGIE. *Deplanatus* (égal, plat, nivelé), un adjectif latin qualifiant probablement la face dorsale de cette espèce.

DIAGNOSE. Longueur 8,0-11,0 mm. Tibia antérieur ayant l'arête interne presque simple sur la moitié antérieure de la face ventrale chez les mâles. Pronotum muni d'une dépression triangulaire bien délimitée sur la région postérieure, la surface de cette dépression est opaque, glabre et contraste fortement avec le reste de la surface qui est en majeure partie lustrée, pubescente et convexe (cette surface est vaguement délimitée chez *E. parallelus*). Élytres ayant le cinquième interstrie plus haut que l'arête latérale (plus bas que l'arête latérale des élytres chez *E. parallelus*). Tibia postérieur peu prolongé à l'angle apical interne, au plus atteignant chez les mâles le tiers ou chez les femelles le quart de longueur du premier segment du tarse (cet angle atteint chez les mâles les trois quarts ou chez les femelles la moitié du premier segment du tarse chez *E. parallelus*). Lobe médian du métasternum couvert d'une ponctuation très allongée, bien imprimée, confluente et couverte d'une microsculpture alvéolée, tranchant fortement sur le reste de la surface qui est lustrée (ponctuation petite et estompée chez *E. parallelus*).

Lectotype ♂ (ZMHB) : LECTOTYPE (disque à bordure bleue) / 26790 / Brasil, v Olf., nr. 26790 (carton vert) / Typus (carton rouge) / Zool. Mus. Berlin / *Eurysternus deplanatus* Germar, LECTOTYPE, det. L. Jessop 1986 / *Eurysternus deplanatus* (Germar), 1824, vid. F. Génier, 1999. Lectotype examiné, non disséqué.

MATÉRIEL EXAMINÉ. Répartition géographique Fig. 183; 26 ex. : **BRÉSIL** : [sans localité], [sans date], [anonyme] – 2 ♂♂ (lectotype, 1 paralectotype) (ZMHB); MINAS GERAIS, Lambari, (21°58'2"S, 45°20'48"O), xi.1924, J. Halik – 1 ♀ (USNM); Monte Verde, (22°51'51"S, 46°2'2"O), 15.iv.1960, J. Halik – 2 ♀♀,

3 ♂♂ (USNM); même localité, 18.iv.1966, J. Halik – 1 ♂ (CMNC); même localité, 19.iv.1966, J. Halik – 1 ♂ (CMNC); même localité, 20.iv.1966, J. Halik – 2 ♀♀ (CMNC); Pocinhos [do Rio Verde], (21°56'S, 46°25'O), 10.x.1935, J. Halik – 1 ♂ (USNM); PARANÁ, Barigui, (25°32'S, 49°23'O), xi.1950, R. Lange – 1 ♂ (IBSP); même localité, v.1941, R. Lange – 1 ♂ (IBSP); Bauçui, xi.1950, R. Lange – 1 ♀ (CMNC); Curitiba, (25°25'42"S, 49°16'24"O), iv.1948, Claret. – 1 ♀ (IBSP); même localité, iv.1942, Hatschbach – 1 ♀ (IBSP); RIO DE JANEIRO, Maromba, Itatiaia, (22°27'9"S, 44°36'42"O), ii.1957, Martínez – 1 ♂ (CMNC); RIO GRANDE DO SUL, Canela Vale da Ferradura, (29°16'6"S, 50°50'48"O), 18-24.x.1989, [anonyme] – 1 ♂ (CMNC); São Francisco de Paula, (29°26'49"S, 50°34'45"O), i.1935, [anonyme] – 1 ♀ (IBSP); [sans localité], [sans date], [anonyme] – 1 ♂ (USNM); même localité, 5.ii.1948, [anonyme] – 2 ♂♂ (MHNG); SANTA CATARINA, São Bento do Sul, (26°15'4"S, 49°22'49"O), ii.1952, Dirings – 1 ex. (IBSP); SÃO PAULO, Estação Biológica de Boracéia, Salesópolis, (23°38'55"S, 45°52'20"O), 23.ix.1965, [anonyme] – 1 ♂ (WDEC).

CONDITION DE CAPTURE. Un spécimen a été capturé sous une bouse de vache.

HABITAT. La répartition connue de cette espèce correspond grosso modo à la forêt atlantique d'altitude et de transition forêt-cerrado et forêt-campo d'altitude, habituellement à plus de 1000 m. Dans le sud de sa répartition elle se trouve à plus basse altitude, la latitude compensant pour l'altitude.

PHÉNOLOGIE. Spécimens capturés en janvier, février, avril, septembre, novembre et décembre.

Eurysternus parallelus Castelnau, 1840

(Figs. 3, 38, 50-51, 83, 184)

Eurysternus parallelus Castelnau
1840 Castelnau, *Hist. Nat. Ins.* 2 : 92
1869 Gemminger & Harold, *Cat. Col.* 4 : 1024 (catalogue)
1911 Gillet, *Col. Cat.* 38 : 26 (catalogue)
1911 Bruch, *Rev. Mus. La Plata* 17 : 182 (catalogue)
1941 Pessôa & Lane, *Arq. Zool. S. Paulo* 2 : 410 (diagnose)
1944 Blackwelder, *U. S. Nat. Mus. Bull.* 185 : 197 (catalogue)
1959 Martínez, *Rev. Mus. Arg. Cien. Nat. Bern. Rivad.* 5 : 20 (catalogue)
1985 Jessop, *J. Nat. Hist.* 19 : 1105 (désignation de type)
2005 Falqueto et al., *Ecol. Aust.* 15 : 20 (biologie)

Eurysternus femoralis Lucas [synonymie : Jessop 1985 : 1105]
1859 Lucas, *Anim. Nouv. Rares* : 107
1869 Gemminger & Harold, *Cat. Col.* 4 : 1024 (catalogue)
1911 Gillet, *Col. Cat.* 38 : 25 (catalogue)
1941 Pessôa & Lane, *Arq. Zool. S. Paulo* 2 : 408 (diagnose)
1944 Blackwelder, *U. S. Nat. Mus. Bull.* 185 : 197 (catalogue)
1985 Jessop, *J. Nat. Hist.* 19 : 1105 (désignation de type, synonymie)

ÉTYMOLOGIE. *Parallelus* (parallèle, également distant l'un de l'autre), un adjectif latin se rapportant vraisemblablement à l'aspect des arêtes latérales de cet insecte.

DIAGNOSE. Longueur 9,5-14,0 mm. Tibia antérieur ayant l'arête interne munie d'assez grosses crénelures sur la moitié antérieure de la face ventrale chez les mâles. Pronotum muni d'une dépression triangulaire vaguement délimitée sur la région postérieure, la microsculpture de la surface de cette dépression semblable à celle du reste du pronotum. Élytres ayant le cinquième interstrie plus bas que l'arête latérale. Tibia postérieur prolongé à l'angle apical interne, atteignant chez les mâles les trois quarts ou chez les femelles la moitié du premier segment du tarse. Lobe médian du métasternum couvert d'une ponctuation simple, estompée, espacée, la surface des points opaque comme le reste de la surface.

Eurysternus parallelus Castelnau :
Néotype ♀ (MNHN) : NEOTYPE (disque à bordure rouge) / 5799 / coll. J. Thomson / Euryster. parallelus, Cast. Bras (écriture manuscrite) / Muséum Paris, Collection Léon Fairmaire 1906 (carton vert) / *Eurysternus parallelus* Cast., NEOTYPE, det. L. Jessop 1984. Néotype examiné.

Eurysternus femoralis Lucas :
Lectotype ♀ (MNHN) : LECTOTYPE (disque à bordure violette) / 11 14 (disque de papier blanc) / Museum Paris, RIO, De CASTELNAU, 1844 (carton vert) / *Eurysternus femoralis*, Luc. (écriture manuscrite) / TYPE (carton rouge) / *Eurysternus femoralis* Luc., LECTOTYPE ♀, P. Arnaud DET 1983 / *Eurysternus femoralis* Lucas, LECTOTYPE, det. L. Jessop 1984. Lectotype examiné.

MATÉRIEL EXAMINÉ. Répartition géographique Fig. 184; 467 ex. : **ARGENTINE** : [sans localité], [sans date], [anonyme] – 1 ex. (USNM); CORRIENTES, Isla Apipé Grande, 60 m (27°30'S, 56°51'O), xi.1945, Martínez – 1 ex. (CMNC); MISIONES, 15 km SE Puerto Iguazú, (25°42'53"S, 54°26'43"O), 27.xii.1990-6.i.1991, S. & J. Peck (1990-139) – 1 ♂, 3 ex. (CMNC); Barra del Yacuí, x.1947, J.P. Duret – 1 ex.

(CMNC); Cataratas del Iguazú, 170 m (25°41'3"S, 54°26'49"O), xi.1944, J.J. Boer – 1 ♂ (CMNC); même localité, xi.1945, Duret – 1 ex. (CMNC); même localité, xi.1945, Martínez – 7 ex. (CMNC); même localité, xii.1958, Martínez – 1 ex. (CMNC); Centro Ecológico, Parque Nacional Iguazú, 24.xii.1990-6.i.1991, S. & J. Peck (1990-131) – 1 ex. (CMNC); Dos de Mayo, (27°1'39"S, 54°40'3"O), xi.1973, Martínez – 1 ex. (CMNC); même localité, xii.1967, J. Foerster – 4 ex. (WDEC); même localité, i.1966, J. Foerster – 2 ex. (WDEC); El Dorado, (26°25'38"S, 54°36'50"O), xii.1938, Bosq – 2 ex. (CMNC); Empalme 101, Parque Nacional Iguazú, 206 m, 8.xii.1990-6.i.1991, S. & J. Peck (1990-95) – 1 ex. (CMNC); Iguazú, (25°40'30"S, 54°29'52"O), 30.i.1985, J.E. Barriga – 2 ex. (CMNH); Loreto, (27°18'22"S, 55°32'10"O), [sans date], D.G. Loblin – 1 ex. (CMNC); même localité, ix.1963, [anonyme] – 4 ex. (USNM); Parque Nacional Iguazú, 200 m (25°43'S, 54°33'O), 24-26.xii.1990, S. & J. Peck (1990-132) – 2 ex. (CMNC); Parque Nacional Iguazú, Puerto Canoas, (25°42'S, 54°25'O), 8. xii.1990-6.i.1991, S. & J. Peck (1990-91) – 10 ex. (CMNC); même localité, 8.xii.1990-6-.i.1991, S. & J. Peck (1990-93) – 2 ex. (CMNC); Pastoreo Grande, (27°16'39"S, 55°24'0"O), ii.1954, F.H. Waltz – 1 ex. (CMNC); Puerto Esperanza, (26°1'15"S, 54°36'38"O), x.1978, M.A. Fritz – 1 ex. (CMNC); Puerto Iguazú, (25°36'S, 54°34'O), ix.1947, Duret – 1 ex. (CMNC); même localité, xi.1945, Prosen – 1 ex. (CMNC); Santa María, (27°54'S, 55°24'O), [sans date], M.J. Viana – 3 ex. (CMNC); Sendero Macuco, Parque Nacional Iguazú, 180 m (25°39'32"S, 54°27'28"O), 8-10.xii.1990, S. & J. Peck (1990-98) – 4 ex. (CMNC); [sans localité], 26.viii.1971, Kovec – 1 ♀ (MHNG); **BRÉSIL** : GOIÁS, Goiatuba, (18°0'40"S, 49°22'10"O), ii.1943, J. Guérin – 1 ex. (CMNC); MATO GROSSO DO SUL, Ytaum, (22°5'1"S, 55°21'4"O), iii.1974, Alvarenga – 2 ex. (CMNC); MINAS GERAIS, Carmo do Rio Claro, (20°58'23"S, 46°7'8"O), i.1978, Carvalho & Schaffner – 1 ex. (TAMU); Lambari, (21°58'2"S, 45°20'48"O), xi.1924, J. Halik – 3 ex. (USNM); Mata do Paraíso, Viçosa, 750 m (20°48'18"S, 42°51'20"O), 3.ii.2000, F. Génier (2000-59) – 3 ex. (CMNC); même localité, 4.ii.2000, F. Génier (2000-63) – 1 ♀, 1 ♂, 7 ex. (CMNC, OUMNH); Pocinhos [do Rio Verde], (21°56'S, 46°25'O), x.1935, J. Halik – 2 ex. (USNM); même localité, 7.x.1935, J. Halik – 1 ex. (USNM); Poços de Caldas, (21°46'25"S, 46°33'42"O), xii.1967, O. Leoncini – 2 ex. (CMNH); PARANÁ, Mata Godoy, Londrina, (23°27'S, 51°15'O), 31.i.1985, J. Lopes – 2 ex. (UNSM); même localité, 14.ii.1985, J. Lopes – 7 ex. (UNSM); même localité, 28-31.i.1990, S.A. Marshall – 4 ex. (CMNC); Matelândia, (25°14'32"S, 53°58'54"O), ii.1962, [anonyme] – 1 ex. (CMNC); Parque Nacional do Iguaçu, 200 m (25°38'41"S, 54°26'24"O), 10.ii.1970, J.M. & B.A. Campbell – 1 ♀ (CNC); Ponta Grossa, (25°6'3"S, 50°9'54"O), ix.1943, Hatsch – 1 ex. (CMNC); même localité, iii.1945, F. Justus – 4 ex. (CMNC); RIO DE JANEIRO, Petropolis, (22°29'55"S, 43°10'33"O), iii.1938, Shannon – 2 ex. (USNM); RIO GRANDE DO SUL, Canela Vale da Ferradura, (29°16'6"S, 50°50'48"O), 18-24.x.1989, [anonyme] – 3 ex. (CMNC); Santo Augusto, (27°51'5"S, 53°46'38"O), x.1966, O. Roppa – 40 ex. (CMNC, CMNH);

même localité, 7.x.1966, O. Rojas – 2 ex. (CMNH); Torres, (29°20'54"S, 49°45'19"O), i.1959, K.E. Hüdepohl – 1 ♀ (CNC); [sans localité], [sans date], [anonyme] – 2 ex. (USNM); SANTA CATARINA, Nova Teutônia, 300-500 m (27°11'S, 52°23'O), xi.1970, [anonyme] – 1 ex. (CMNC); même localité, xii.1970, [anonyme] – 1 ex. (CMNC); même localité, iii.1975, F. Plaumann – 1 ♀ (CNC); même localité, xii.1967, F. Plaumann – 1 ♀ (CNC); même localité, xi.1968, F. Plaumann – 1 ♂ (CNC); même localité, xi.1951, F. Plaumann – 1 ♀ (MHNG); même localité, xi.1975, F. Plaumann – 1 ex. (PAIC); même localité, xi.1963, F. Plaumann – 1 ex. (PAIC); même localité, 1. vii.1936, F. Plaumann – 1 ex. (USNM); même localité, 3.xii.1957, F. Plaumann – 1 ex. (ROME); même localité, 13.xi.1963, F. Plaumann – 1 ♂, 4 ex. (CMNC, CNC); même localité, 15.xi.1963, F. Plaumann – 2 ♀♀, 1 ♂ (CNC); même localité, 19.xi.1963, F. Plaumann – 1 ex. (CMNH); São Joaquim, (26°37'S, 51°36'O), xi.1969, O. Roppa – 1 ex. (CMNH); SÃO PAULO, Anhembi, (22°47'19"S, 48°7'39"O), xi.1965, Edmonds – 43 ex. (WDEC); même localité, xi.1965, Edmonds – 12 ex. (WDEC); Cantareira, São Paulo, (23°27'49"S, 46°38'0"O), 23.x.1932, J. Halik – 1 ex. (USNM); Estação Biológica de Boracéia, 50 km SE Mogi das Cruzes, Serra do Mar, 800-900 m (23°38'55"S, 45°52'20"O), 28-30.iv.1997, F. Génier & S. Ide – 3 ex. (CMNC); Estação Biológica de Boracéia, Salesópolis, (23°38'55"S, 45°52'20"O), 23.ix.1965, [anonyme] – 2 ex. (WDEC); même localité, 1.x.1965, [anonyme] – 1 ex. (WDEC); même localité, 5.x.1965, [anonyme] – 2 ex. (WDEC); même localité, 6.x.1965, [anonyme] – 1 ex. (WDEC); même localité, 17-26.xii.1969, J.M. & B.A. Campbell – 1 ♀, 2 ♂♂ (CNC); Fazenda Campininas, Mogi Guaçu, (22°22'22"S, 46°55'5"O), 1-8.i.1970, J.M. & B.A. Campbell – 1 ♀, 2 ♂♂ (CNC); Fazenda Pau d'Alho, Itú, (23°20'56"S, 47°9'49"O), i.1966, [anonyme] – 6 ex. (WDEC); Fazenda Rhodia, Paulínia, (22°45'S, 47°9'O), xii.1991, P. & L. Arnaud – 5 ex. (PAIC); Horto Florestal, São Paulo Capital, 25.iii.1960, J. Halik – 1 ex. (USNM); Itú, (23°15'56"S, 47°17'57"O), 16.i.1966, Edmonds – 10 ex. (WDEC); Jundiaí, (23°13'S, 46°53'56"O), 26.xi.1963, J. Halik – 1 ex. (USNM); Parque Jabaquara, (23°39'21"S, 46°37'47"O), xii.1948, Nick – 1 ex. (CMNC); même localité, 25.i.1934, J. Halik – 2 ex. (USNM); Pôrto Tibiriçá, (21°49'S, 52°10'O), xii.1947, G.H. Nick – 1 ex. (CMNC); Presidente Epitácio, (21°46'41"S, 52°8'4"O), xii.1945, J. Guérin – 1 ex. (CMNC); Reg. Feijó, i.1925, [anonyme] – 1 ex. (USNM); [sans localité], [sans date], Hammar – 2 ex. (USNM); même localité, [sans date], [anonyme] – 1 ex. (USNM); **PARAGUAY** : Chaco, Colonia Ferenheim, 12.xii.1947, Hunger – 2 ex. (CMNC); ALTO PARANÁ, [sans localité], 16-20.xi.1990, G. Arriagada – 12 ex. (CMNC); même localité, 18.xi.1991, G. Arriagada – 1 ex. (CMNC); CAAGUAZÚ, Caaguazú, (25°26'48"S, 56°1'43"O), x.1948, F.H. Schade – 3 ex. (CMNC); Yhú, (25°3'33"S, 55°55'23"O), x.1948, F.H. Schade – 5 ex. (CMNC); CAAZAPÁ, Hermosa, prop. López Family, San Rafael Reserve, 80 m (26°18'29"S, 55°45'3"O), 1-3.xii.2000, Z.H. Falin – 2 ex. (CMNC); Hermosa, Sosa Family, San Rafael Reserve, 90 m (26°19'15"S, 55°44'55"O), 3-6.xii.2000, Z.H. Falin – 6 ex. (CMNC); CANINDEYÚ, Jejuí-Mí, Re-

serva Natural Bosque Mbaracayú, (24°8'S, 55°25'O), 10-21.i.1997, C. Aguilar – 4 ex. (WDEC); même localité, 14.i.1997, C. Aguilar J. – 2 ex. (CMNC); La Morena, Reserva Natural Bosque Mbaracayú, (24°8'S, 55°25'O), 16.i.1997, C. Aguilar J. – 25 ex. (CMNC, WDEC); CENTRAL, Areguá, 20 mi. E Asunción, (25°18'51"S, 57°23'10"O), 1.v.1980, D.C. Lowrie – 1 ex. (USNM); CONCEPCION, Horqueta, (23°19'41"S, 57°3'59"O), xii.1934, Schulze – 4 ex. (CMNC); CORDILLERA, Caacupé, (25°23'16"S, 57°9'3"O), x.1975, Martínez – 3 ex. (CMNC); Instituto Agronómico Nacional en Caacupé, (25°23'13"S, 57°8'5"O), x.1980, R.D. Cave – 1 ex. (WBWC); même localité, 2.i.1981, R. Cave – 2 ex. (FSCA); même localité, 5.i.1981, R.D. Cave – 12 ex. (FSCA, USNM); même localité, 17-20.i.1983, E.G. Riley – 34 ex. (EGRC, WBWC); Piribebuy, (25°28'5"S, 57°2'37"O), xi.1940, Schade – 1 ex. (CMNC); San Bernardino, (25°15'27"S, 57°14'44"O), xii.1929, K. Fiebrig – 1 ex. (USNM); même localité, xi.1923, K. Fiebrig – 1 ex. (USNM); GUAIRÁ, Farm P. Jorgensen, Villarrica, (25°47'4"S, 56°27'2"O), iii.1922, [anonyme] – 1 ex. (USNM); Independencia, (25°43'S, 56°15'O), 15.ii.1946, F.H. Schodell – 1 ex. (CMNC); ITAPÚA, Hohenau, (27°4'56"S, 55°38'55"O), xii.1940, Schade – 1 ex. (CMNC); Karonay, 17 km O San Rafael Reserve, 90-110 m (26°45'53"S, 55°50'37"O), 18-20.x.2000, Z.H. Falin – 4 ex. (CMNC); Puerto Cantera, (27°13'44"S, 55°36'9"O), iv.1956, Chassot – 2 ♀♀, 2 ♂♂ (MHNG); San Pedro Mí, San Rafael Reserve, 90 m (26°31'24"S, 55°48'18"O), 27-30.xi.2000, Z.H. Falin – 12 ex. (CMNC); Yataí, San Rafael Reserve, 100 m (26°38'17"S, 55°39'50"O), 21-25.ix.2000, Z.H. Falin – 3 ex. (CMNC); PARAGUARÍ, Parque Nacional Ybycuí, (26°4'35"S, 56°51'5"O), 21.i.1981, R.D. Cave – 2 ex. (USNM); même localité, 22.i.1981, R.D. Cave – 4 ex. (USNM); même localité, 23.i.1981, R.D. Cave – 2 ex. (USNM); même localité, 24.i.1981, R.D. Cave – 2 ex. (USNM); Sapucay, (25°39'44"S, 56°57'4"O), 1903, W. Foster – 1 ♂ (CNC); même localité, iii, W.T. Foster – 1 ex. (USNM).

CONDITION DE CAPTURE. Certains spécimens ont été capturés à l'aide de pièges à interception de vol placés dans une forêt près d'une rivière ou dans une forêt vallonnée, dans une forêt de palmiers, à la lisière de la forêt et près d'une route. Certains autres spécimens ont été capturés à l'aide de pièges appâtés avec des excréments ou de la viande en décomposition placés dans une forêt. On a aussi capturé certains exemplaires dans de la bouse de vache où elle semble commune et du crottin de cheval en forêt.

HABITAT. Cette espèce semble inféodée à la forêt de type Parana, au sud-est du cerrado et de la forêt atlantique. On la capture aussi dans les pâturages, mais toujours en bordure de forêt (Vaz de Mello, comm. pers.). Elle semble aussi bien adaptée aux habitats dégradés.

PHÉNOLOGIE. Spécimens capturés toute l'année sauf en juin et aout.

GROUPE INFLEXUS

DIAGNOSE. Taille petite à moyenne (8,0-13,0 mm). Coloration en grande partie pâle. Yeux étroits et bien visibles du dessus. Disque du pronotum sans grosse ponctuation ocellée confluente (ponctuation ocellée mais non confluent chez *E. inflexus*); soies courtes, plus ou moins squamiformes, semblables en longueur. Élytres recouverts de pubescence très courte et foncée sur le disque. Sternite abdominal 3 terminé en pointe antérieurement entre les hanches. Abdomen muni d'une série de taches foncées de chaque côté des régions suturales près des élytres. Éperon du tibia postérieur mâle articulé.

Eurysternus inflexus (Germar), 1824

(Figs. 4, 52, 84-87, 185)

Eurysternus inflexus Germar, 1824 : 109 [*Onitis*]
1824 Germar, *Ins. Sp. Nov. Min. Cog. I* : 109
1840 Castelnau, *Hist. Nat. Ins.* 2 : 93 (commentaire)
1869 Gemminger & Harold, *Cat. Col.* 4 : 1024 (catalogue)
1911 Gillet, *Col. Cat.* 38 : 25 (catalogue)
1944 Blackwelder, *U. S. Nat. Mus. Bull.* 185 : 197 (catalogue)
1998 Forsyth et al., *RAP Work. Pap.* 10 : 370 (faunistique)
2003 Huerta et al., *Acta Zool. Mex. (n.s.)* 88 : 30 (biologie)

Eurysternus rufescens Dalman [synonymie : Gemminger & Harold, 1869 : 1024]
1824 Dalman, *Ephem. Entomol.* : 12
1840 Castelnau, *Hist. Nat. Ins.* 2 : 93 (diagnose)
1869 Gemminger & Harold, *Cat. Col.* 4 : 1024 (catalogue)
1911 Gillet, *Col. Cat.* 38 : 25 (catalogue)
1944 Blackwelder, *U. S. Nat. Mus. Bull.* 185 : 197 (catalogue)

Eurysternus opatrinus Perty [synonymie : Castelnau, 1840 : 93]
1830 Perty, *Delec. Anim.* : 39
1840 Castelnau, *Hist. Nat. Ins.* 2 : 93 (synonymie)
1869 Gemminger & Harold, *Cat. Col.* 4 : 1024 (catalogue)
1911 Gillet, *Col. Cat.* 38 : 25 (catalogue)
1944 Blackwelder, *U. S. Nat. Mus. Bull.* 185 : 197 (catalogue)
1985 Jessop, *J. Nat. Hist.* 19 : 1104 (désignation de type)

Eurysternus planipennis Lucas [synonymie : Jessop, 1985 : 1104]
1859 Lucas, *Anim. Nouv. Rares* : 107
1869 Gemminger & Harold, *Cat. Col.* 4 : 1024 (catalogue)
1911 Gillet, *Col. Cat.* 38 : 26 (catalogue)
1944 Blackwelder, *U. S. Nat. Mus. Bull.* 185 : 197 (catalogue)
1985 Jessop, *J. Nat. Hist.* 19 : 1104 (désignation de type, synonymie)

ÉTYMOLOGIE. *Inflexus* (courbé, recourbé, ployé) est un adjectif latin se rapportant certainement à l'aspect des tibia antérieur et postérieur de cette espèce.

DIAGNOSE. Longueur 9,0-12,0 mm. Vertex muni de deux touffes de longues soies au milieu à l'arrière. Pronotum ayant les angles latéraux anguleusement dilatés; surface couverte d'une ponctuation finement ocellée, assez petite et non confluente; région antérieure munie d'une surface triangulaire glabre et bien délimitée par des soies plus longues que sur le reste du disque; surface mate, sans microsculpture distincte même à fort grossissement (50X); points de la région médiane postérieure fusionnés et formant un sillon plus ou moins large et régulier. Lobe médian du métasternum convexe dans son ensemble. Tibia postérieur muni de peignes de soies; tiers distal anguleux chez les mâles. Sternite abdominal 3 simple, sans carène ou petit tubercule plat chez les mâles.

Onitis inflexus Germar :
Holotype ♀ (MNHN) : typ. Germar *inflexus* (écriture manuscrite) / Brasilia, *E. inflexus* typ. Germar (étiquette manuscrite de Harold) / *inflexus* m., (illisible), 213, Bras. (carton vert, écriture manuscrite de Germar?) / *Eurysternus inflexus* Germ. Lectotype ♀, P. Arnaud DET 1983/ TYPE (carton rouge) / NEOTYPE of *Eurysternus opatrinus* Perty AND Holotype of *Eurysternus inflexus* (Germar). Holotype examiné.

Eurysternus rufescens Dalman :
Holotype ♀ (NHRS) : Brasilia, Freyreiss (écriture manuscrite) / Typus (carton rouge) / *Eurysternus rufescens* Dalman (écriture manuscrite) / 96 (papier rouge) / *Eurysternus inflexus* (Germ.) Nav. det. 1955 / 288, 80 (papier rouge) / 360, 84 (papier rouge) / *Eurysternus rufescens* Dalm. Holotype, det. L. Jessop 1984. Holotype examiné, non disséqué.

Eurysternus opatrinus Perty :
Néotype ♀ (MNHN) : Mêmes données que l'holotype de *Onitis inflexus* Germar. Néotype examiné.

Eurysternus planipennis Lucas :

Lectotype ♂ (MNHN) : 10 44 (disque) / *Eurysternus planipennis* Luc. (écriture manuscrite) / MUSEUM PARIS, RIO, DE CASTELNAU, 1844 (carton vert) / *Eurysternus planipennis* Luc., LECTOTYPE ♂, P. ARNAUD DET 1984 / *Eurysternus planipennis* Lucas, LECTOTYPE, det. L. Jessop 1984. Lectotype examiné.

MATÉRIEL EXAMINÉ. Répartition géographique Fig. 185; 52 ex. : **BRÉSIL** : [sans localité], [sans date], M. Blanchet – 1 ♂ (MHNG); même localité, [sans date], [anonyme] – 1 ♀, 2 ♂♂ (MZSP, ZMHB); ESPIRITO SANTO, Parque estadual da Pedra Azul, Domingos Martins, 1500 m (20°24'7"S, 41°1'23"O), i.2000, Lopez-Andrade & Vaz-de-Mello – 1 ♀, 1 ♂ (FVMC); GOIÁS, Goiás, (15°55'40"S, 50°9'27"O), [sans date], Spitz – 1 ♀ (MZSP); RIO DE JANEIRO, Itatiaia, 700 m (22°28'25"S, 44°34'43"O), i.1960, Dirings – 1 ♂ (MZSP); même localité, 25.xii.1924, J.F. Zikan – 1 ♀ (MZSP); même localité, 11.i.1926, J.F. Zikan – 1 ♂ (MZSP); même localité, 16.iii.1933, J.F. Zikán – 1 ♂ (FVMC); même localité, 19.x.1933, J.F. Zikán – 1 ♀ (FVMC); même localité, 2.iv.1935, J.F. Zikan – 1 ♀ (MZSP); Mangaratiba, (22°57'36"S, 44°2'14"O), x-xi.1938, R.C. Shannon – 1 ♀ (USNM); Maromba, Itatiaia, (22°27'9"S, 44°36'42"O), 26.xii.1953, Seabra & Alvarenga – 1 ♂ (MZSP); Rio de Janeiro, (22°57'S, 43°13'O), x-i.1937-1938, R.C. Shannon – 1 ♀ (USNM); SÃO PAULO, Cananéa, (25°0'55"S, 47°56'34"O), 15.i.1935, [anonyme] – 1 ♀ (IBSP); Cantareira, São Paulo, (23°27'49"S, 46°38'0"O), 1960, F. Lane – 1 ♀ (MZSP); Estação Biológica de Boracéia, 50 km SE Mogi das Cruzes, Serra do Mar, 800-900 m (23°38'55"S, 45°52'20"O), 28-30.iv.1997, F. Génier & S. Ide – 12 ♀♀, 15 ♂♂ (CMNC, OUMNH); Horto Florestal, São Paulo Capital, i.1968, Martínez – 1 ♂ (CMNC); São Paulo, (23°32'S, 46°37'O), [sans date], [anonyme] – 3 ♀♀, 1 ♂ (MZSP); Serra da Cantareira, Chapadão, 16.xi.1946, F. Lane – 1 ♂ (IBSP); même localité, 16.xi.1946, F. Lane – 1 ♀ (MZSP).

CONDITION DE CAPTURE. Certains spécimens ont été capturés dans une forêt de montagne (800-900 m) à l'aide de pièges à fosses appâtés avec des excréments ou de la charogne.

HABITAT. Espèce typique de la forêt atlantique de moyenne et haute altitude, comme pour *E. deplanatus*, on la retrouve probablement à plus basse altitude dans le sud de sa répartition, où la latitude compense pour l'altitude. Une capture douteuse du cerrado de l'état de Goiás.

PHÉNOLOGIE. Spécimens capturés en janvier, mars, avril, octobre, novembre et décembre.

Eurysternus wittmerorum Martínez, 1988

(Figs. 5, 186)

Eurysternus wittmerorum Martínez
1988 Martínez, *Ent. Basil.* 12 : 284

ÉTYMOLOGIE. *Wittmerorum* (des Wittmer) patronyme en hommage à Inge et Walter Wittmer.

DIAGNOSE. Longueur 8,0-12,5 mm. Vertex muni de deux touffes de longues soies au milieu à l'arrière. Pronotum ayant les angles latéraux peu dilatés, simplement arqués; surface recouverte d'une ponctuation petite, finement ocellée, la distance entre les points équivalente en général à au moins deux diamètres, la marge postérieure de chaque point mal définie; région antérieure munie d'une petite étendue glabre ovale mal délimitée par les soies adjacentes identiques en longueur à celles du reste de la surface du disque; surface recouverte d'une microsculpture intermédiaire entre alvéolée et en réseau bien visible à fort grossissement (50X); points de la région médiane postérieure à peine indiqués, ne formant pas de sillon distinct. Lobe médian du métasternum concave dans son ensemble chez les mâles ou presque plat chez les femelles. Tibia postérieur muni de peignes de soies; simplement arqué dans son ensemble chez les mâles. Sternite abdominal 3 muni d'un petit tubercule plat au milieu chez les mâles, l'arête postérieure de ce tubercule est un peu arquée et tranchante.

Holotype ♂ (MACN) : Ecuador, provincia de Napo, Lago Agrio, 250m a, vi.1976 (A. Martínez-coll). Holotype non examiné, évidence suffisante.

MATÉRIEL EXAMINÉ. Répartition géographique Fig. 186; 463 ex. : **BOLIVIE** : COCHABAMBA, Estación Biológica El Valle del Sajta, Universidad Mayor de San Simón, 67.5 km E Villa Tunari, 300 m (17°6'19"S, 64°46'57"O), 7-9.ii.1999, F. Génier (1999-43) – 3 ♀♀ (CMNC); même localité, 7-9.ii.1999, F. Génier (1999-44) – 1 ♀, 1 ♂ (CMNC); même localité, 7-9.ii.1999, F. Génier (1999-45) – 2 ♀♀, 2 ♂♂ (CMNC); même localité, 9-13.ii.1999, F. Génier (1999-70) – 1 ♀, 1 ♂ (CMNC); même localité, 9-13.ii.1999, F. Génier (1999-71) – 2 ♀♀, 6 ♂♂ (CMNC); même localité, 9-13.ii.1999, F. Génier (1999-72) – 5 ♀♀, 1 ♂ (CMNC); même localité, 9-13.ii.1999, F. Génier (1999-68) – 1 ♂ (CMNC); Provincia Chapare, Agrigento, xii.1986, Martínez – 1 ♂ (CMNC); Cristal Mayu, 600 m (17°5.76'S, 65°46.1'O), iii.1970, F. Steinbach – 2 ♀♀, 2 ♂♂ (WDEC); même localité, 30.xi.1949, [anonyme] – 1 ♂ (IBSP); PANDO, [sans localité], 1997, [anonyme] – 2 ♀♀, 3 ♂♂ (AFIC); **BRÉSIL** : ACRE, Feijó, (8°9'15"S, 70°21'12"O), xii.1956, Werner – 1 ♂ (MZSP); AMAZONAS, Maués, (3°22'54"S, 57°42'55"O), ii.1937, [anonyme] – 1 ♀, 1 ♂

(MZSP); MATO GROSSO, Reserva Humboldt, (10°11'S, 59°48'O), 16-22.iii.1977, B.C. Ratcliffe – 1 ex. (BCRC); MINAS GERAIS, Sinópolis, x.1974, Alvarenga – 1 ♂ (paratype) (CMNC); PARÁ, Altamira, (3°11'51"S, 52°13'38"O), v.1985, Dégallier – 1 ♀, 4 ♂♂ (USNM); Carajás, (2°56'55"S, 51°51'17"O), 29.iii.-6.iv.1989, [anonyme] – 2 ♀♀, 4 ♂♂ (CMNC); Carajás, Serra Norte, (2°57'S, 51°52'O), 2.xii.1987, N. Dégallier – 4 ♀♀, 4 ♂♂ (PAIC); Santarém, (2°27'10"S, 54°43'9"O), [sans date], [anonyme] – 1 ♀, 6 ♂♂ (CMNH); Serra dos Carajás, (5°59'S, 50°22'O), ii.1988, Roppa & Magno – 9 ♂♂ (MNRJ); même localité, 22-28.i.1984, [anonyme] – 1 ♀ (PAIC); Serra Norte, (6°0'S, 50°18'O), 23.iii.1986, M. Martins – 2 ♀♀ (CMNC); Tucuruí, (3°46'26"S, 49°41'19"O), iv.1988, Dégallier – 2 ♀♀, 2 ♂♂ (USNM); même localité, 22-28.x.1983, [anonyme] – 1 ♀ (PAIC); Tucuruí, Rio Tocantins, (3°48'25"S, 49°39'25"O), viii.1984, N. Dégallier – 4 ♂♂ (PAIC); RONDÔNIA, Fazenda Rancho Grande, 62 km S Ariquemes, (10°18'28"S, 62°52'26"O), 15.iii.1991, F.W. Skillman – 1 ♀ (WBWC); même localité, 17.iii.1991, F.W. Skillman – 1 ♀, 2 ♂♂ (WBWC); même localité, 11-22.xi.1991, B.C. Ratcliffe – 2 ex. (UNSM); near Fazenda Rancho Grande, 62 km SW Ariquemes, (10°32'S, 62°48'O), 8-20.xi.1994, J.E. Eger – 4 ♀♀, 1 ♂ (FSCA); même localité, 8-20.xi.1994, J.E. Eger & L.B. & C.W. O'Brien – 1 ♀ (FSCA); même localité, 3-15.xii.1996, J.E. Eger – 10 ♀♀, 6 ♂♂ (FSCA); même localité, 20-31.x.1997, B.K. Dozier – 3 ♀♀, 4 ♂♂ (FSCA); même localité, 1-17.xi.1997, B.K. Dozier – 17 ♀♀, 22 ♂♂ (FSCA); même localité, 4-16.xi.1997, J.E. Eger – 88 ♀♀, 63 ♂♂ (FSCA); Rio Madeira, Madeira-Mamore R. R. Co. Camp 41, (10°11'S, 65°17'O), [sans date], Mann & Baker – 1 ♀, 1 ♂ (USNM); Via Rondônia (378 km S de Porto Velho), (11°9'35"S, 61°54'8"O), 25.i.1961-9.ii.1969, Pereira & Machado – 2 ♀♀, 1 ♂ (MZSP); **COLOMBIE** : AMAZONAS, Leticia, 215 m (4°11'20"S, 69°56'9"O), 20-25.ii.1972, Peck & Howden – 5 ♀♀, 8 ♂♂ (CMNC, CMNH, ROME); même localité, 23.ii.-1.iii.1974, B.C. Ratcliffe – 1 ex. (BCRC); même localité, 23.ii.-2.iii.1974, Howden & Nealis – 1 ♂ (CMNC); même localité, 23.ii.-2.iii.1974, J.D. Glaser – 1 ♂ (CMNH); Los Alpes, Leticia, 213 m (4°4'25"S, 70°0'5"O), 23.ii.-2.iii.1974, S. Peck – 1 ♀, 2 ♂♂ (CMNC, ROME); CAQUETÁ, Puerto Solano, PNN La Serranía de Chiribiquete, Río Sararamano, 250 m (0°10'2"N, 72°36'35"O), 8.iv.2000, E. González (M.93) – 1 ♀ (IAVH); même localité, 8.iv.2000, E. González (M.94) – 1 ♂ (IAVH); même localité, 18.iv.2000, E. González (M.143) – 1 ♂ (IAVH); META, Centro de Investigaciones Ecológicas Macarena [=CIEM], Río Duda, Parque Nacional Natural Tinigua, 350 m (2°40'N, 74°10'O), i.1996, I. Jiménez – 1 ♀, 1 ♂ (IAVH); VAUPÉS, Reserva Natural Mosiro-Itajura, Caparú, 100 m (1°4'S, 69°31'O), 1.xii.1995, D. Forero – 1 ♂ (IAVH); **ÉQUATEUR** : NAPO, Scyasuni, 200 m, 20-21.x.1997, D. Padilla & I. Tapia – 1 ♀ (QCAZ); ORELLANA, Estación Científica Yasuní (PUCE), 250 m (0°40'16.7"S, 76°24'1.8"O), 20-22.iii.1995, M. Bass & N. Pitman – 1 ♀ (USNM); même localité, 27-29.iii.1995, M. Bass & N. Pitman – 2 ♀♀, 3 ♂♂ (USNM); même

localité, 27.vii.-1.viii.1998, Ratcliffe, Jameson, Smith, Villatoro – 2 ex. (UNSM); même localité, 5-10.ix.1999, E.G. Riley – 4 ♀♀, 5 ♂♂ (TAMU); même localité, 9-17.ix.1999, D.G. Marqua – 7 ♀♀, 8 ♂♂ (DGMF); Estación de Biodiversidad Tiputini (USFQ), Parque Nacional Yasuní, 220 m (0°38'S, 76°9'O), ix.2000, D. Inward – 8 ex. (BMNH); même localité, 14-18.ii.1999, D.C. Darling – 1 ♀, 1 ♂ (ROME); SUCUMBÍOS, 2 km N Limoncocha, 250 m (0°23'17"S, 76°37'15"O), 22-28.vi.1976, S. Peck – 4 ♀♀, 2 ♂♂ (CMNC); Dureno, Río Aguarico, 150 m (0°2'40"N, 76°41'50"O), 23-28.ix.1977, L. Peña – 1 ♀ (CMNC); Limoncocha, 250 m (0°24'38"S, 76°37'37"O), 18-24.vi.1976, S. Peck – 1 ♀ (CMNC); **PÉROU** : HUANUCO, Universidad, Tingo María, (9°10'S, 76°0'O), vii.1974, Martínez – 1 ♀ (CMNC); LORETO, Campamento San Jacinto, 175-215 m (2°18.75'S, 75°51.77'O), 3-12.vii.1993, R. Leschen – 1 ♀, 1 ♂ (CMNC); même localité, 5.vii.1993, R. Leschen (1993-31) – 1 ♂ (SEMC); même localité, 7.vii.1993, R. Leschen (1993-45) – 1 ♂ (SEMC); même localité, 9.vii.1993, R. Leschen (1993-67) – 1 ♀ (SEMC); MADRE DE DIOS, Pantiacolla Lodge, Alto Madre de Dios River, 400 m (12°39'22"S, 71°13'55"O), 23-26.x.2000, R. Brooks (2000-99) – 1 ♀ (CMNC); Parque Nacional del Manú, (12°15'S, 71°45'O), [sans date], A. Forsyth – 4 ♀♀ (AFIC); même localité, 15-30.viii.1986, A. Forsyth – 1 ♀, 4 ♂♂ (CMNC); Ccolpa de Guacamayos, Río Tambopata, 300 m (13°8.5'S, 69°36.4'O), x.1995, A. Forsyth – 26 ♀♀, 26 ♂♂ (AFIC, USNM).

CONDITION DE CAPTURE. Certains spécimens ont été capturés à l'aide de pièges à fosse appâtés avec des excréments et de la charogne de poisson ou des pièges à interception de vol placés dans la forêt amazonienne primaire. Une série de 26 spécimens a été capturée, par l'auteur, à la station de biologie Valle Sajta (Bolivie) dans des pièges appâtés avec des excréments humains. Certains de ces pièges avaient attiré de grands escargots terrestres qui s'y sont noyés et c'est précisément dans ces pièges que plus de 90 % des individus ont été capturés. Une série de 106 individus a été aussi capturée (Rondônia) à l'aide d'une charogne de poisson, ce qui semble supposer une nette préférence pour la nécrophagie. Ce fait donne à penser que cette espèce pourrait, d'une façon ou d'une autre, être associée aux cadavres des grands escargots terrestres durant son cycle biologique.

HABITAT. Forêt inondable ou non du bassin de l'Amazone. Absente des forêts du bouclier guyanais. Son absence du centre de la forêt amazonienne pourrait être un artéfact de collection, car il est étonnant de constater que les récoltes intensives dans la Reserva Florestal Adolpho Ducke n'aient jamais permis la capture de cette espèce.

PHÉNOLOGIE. Spécimens capturés toute l'année sauf en janvier et mai.

Eurysternus jessopi Martínez, 1988
(Figs. 6, 29, 42, 53, 88-90, 187)

Eurysternus jessopi Martínez
1988 Martínez, *Ent. Basil.* 12 : 301
2003 Huerta et al., *Acta Zool. Mex. (n.s.)* 88 : 31 (biologie)

ÉTYMOLOGIE. *Jessopi* (de Jessop), un patronyme en hommage à Les Jessop, auteur d'une révision du genre *Eurysternus* publiée en 1985.

DIAGNOSE. Longueur 9,0-13,0 mm. Vertex muni d'une rangée de soies un peu plus longues et fortement squameuses au milieu à l'arrière. Pronotum ayant les angles latéraux peu dilatés, simplement arqués; ponctuation estompée, assez petite et en majorité séparée par environ l'équivalent d'un diamètre; chaque point muni d'un fort squamule orienté obliquement, ces squamules manquent dans les concavités; région antérieure munie d'une petite étendue ovale concave, foncée, bien délimitée et rejoignant l'arête antérieure, les soies adjacentes identiques en longueur à celles du reste de la surface du disque; surface recouverte d'une microsculpture intermédiaire entre alvéolée et en réseau bien visible à fort grossissement (50X); point de la région médiane postérieure estompée, ne formant pas de sillons distincts. Lobe médian du métasternum plat dans son ensemble chez les mâles ou à peine convexe chez les femelles; région adjacente aux hanches médianes distinctement concave dans les deux sexes. Tibia postérieur muni d'assez longues soies isolées et rigides, certaines de ces soies sont flanquées de 1-3 soies semblables, mais plus courtes; tibia postérieur presque droit chez les mâles. Sternite abdominal munie d'un petit tubercule plat au milieu chez les mâles, l'arête postérieure de ce tubercule est un peu arquée et tranchante.

Holotype ♂ (MACN) : Bolivia: Departamento Santa Cruz de la Sierra, provincia Ichilo, Buenavista (Tacú), iii.1959. Holotype non examiné, évidence suffisante.

MATÉRIEL EXAMINÉ. Répartition géographique Fig. 187; 83 ex. : **BOLIVIE** : SANTA CRUZ, Provincia del Sara, Santa Rosa, xi.1969, Martínez – 2 ♂♂ (AFIC, CMNC); Provincia Ichilo, Tacú, Buena Vista, (17°31'S, 63°39'O), iii.1951, Martínez – 1 ♂ (paratype) (CMNC); Provincia Velasco, Huanchaca I, Parque Nacional Noel Kempff Mercado, 780 m (13°54'12.5"S, 60°48'57.1"O), 26-31.x.1999, S. Spector – 3 ♂♂ (UASC); **BRÉSIL** : BAHIA, Salvador, (12°55'13"S, 38°25'34"O), 11.i.1946, J. Becker – 1 ♀ (IBSP); GOIÁS, Campinas [=Campinorte], (14°18'52"S, 49°9'30"O), xii.1935, Borgmeier & S. Lopes – 1 ♂ (MZSP); Jatahy, (17°53'S, 51°43'O), 1895-96, Ch. Pujol – 2 ♀♀, 4 ♂♂ (PAIC); même localité, 1898, Ch. Pujol – 1 ♂ (PAIC); MATO GROSSO, Chapada dos Guimarães, (15°26'54"S, 55°45'49"O), x, [ano-

nyme] – 2 ♀♀ (CMNH); Maracajú, (21°37'8"S, 55°10'2"O), vi.1937, R.C. Shannon – 1 ♂ (USNM); MATO GROSSO DO SUL, Fazenda Floresta, Mun. Três Lagoas, (20°45'24"S, 51°47'47"O), 13-20.ix.1964, Exp. Depto. Zool. – 1 ♂ (MZSP); Pôrto Murtinho, (21°42'53"S, 57°53'3"O), xii-i.1930, R. Spitz – 1 ♂ (MZSP); MINAS GERAIS, Paracatu, (17°13'21"S, 46°52'31"O), xii.1997, S. Lourenço jr. – 1 ♀ (FVMC); Viçosa, (20°45'S, 42°52'O), vii.1995, F. Vaz de Mello & J. Louzada – 1 ♀, 1 ♂ (CMNC); RIO DE JANEIRO, Cantagallo, (21°58'43"S, 42°22'1"O), xi.1956, Dirings – 1 ♀, 1 ♂ (MZSP); SÃO PAULO, Barueri, (23°31'7"S, 46°52'42"O), 4.ix.1954, K. Lenko – 3 ♀♀ (MZSP); même localité, 12.xi.1954, K. Lenko – 1 ♀ (IBSP); même localité, 27.viii.1960, K. Lenko – 1 ♀ (MZSP); Franca, (20°33'33"S, 47°25'29"O), [sans date], [anonyme] – 7 ♀♀, 2 ♂♂ (IBSP, MZSP); Porto Cabral, Rio Paraná, (22°16'49"S, 52°34'56"O), 20-31.iii.1944, Trav. Fo. Carrera & E. Dente – 1 ♂ (MZSP); Presidente Epitácio, (21°46'41"S, 52°8'4"O), 7.xii.1936, H. Zellibor – 1 ♀ (MZSP); **PARAGUAY** : [sans localité], [sans date], C. Fiebrig – 2 ♀♀ (ZMHB); CAAGUAZÚ, Caaguazú, (25°26'48"S, 56°1'43"O), xii.1977, Martínez & Fritz – 17 ♀♀, 21 ♂♂ (CMNC, OUMNH); CENTRAL, Colonia Nueva Italia, (25°37'5"S, 57°30'3"O), [sans date], [anonyme] – 2 ♀♀ (IBSP, MZSP).

CONDITION DE CAPTURE. Deux spécimens capturés dans de la bouse de vache à Viçosa (Minas Gerais, Brésil).

HABITAT. Espèce forestière des zones plus humides du cerrado et en forêt de type parana.

PHÉNOLOGIE. Cette espèce opportuniste utilise la saison sèche pour se reproduire; on ne la retrouve que très rarement en saison humide (Vaz de Mello, comm. pers.). Spécimens capturés en janvier, mars, juillet, aout, novembre, décembre.

REMARQUES. Cette espèce est la forme d'*E. inflexus* à taches foncées de Jessop (1985).

GROUPE NAVAJASI

DIAGNOSE. Une seule espèce. Taille très petite (5,5-7,0 mm). Yeux étroits et bien visibles sur le dessus. Pronotum et élytres recouverts d'une microsculpture en réseau. Tibia postérieur muni de soies spiniformes très longues et isolées. Éperon du tibia postérieur presque aussi long que les deux premiers articles du tarse postérieur; articulé chez les mâles.

REMARQUES. 1) La seule espèce incluse dans ce groupe a une certaine affinité avec les espèces du groupe *hirtellus* (taille, pubescence, microsculpture); cependant, la carène simple du proépisternum, les yeux étroits et bien visibles sur le dessus, l'éperon du tibia postérieur non fusionné au tibia chez les mâles et la configuration des stries des élytres l'exclut.
2) Martínez (1988) a créé un nouveau sous-genre pour *E. navajasi* et *E. jessopi* (cette dernière espèce est ici incluse dans le groupe *inflexus*). Martínez caractérise son sous-genre comme suit : écusson deux fois plus long que large, soies du tibia médian et postérieur spiniformes et éloignées les unes des autres et l'éperon du tibia postérieur plus grand que le premier article des tarses. La configuration des soies du tibia médian et postérieur et de l'éperon du tibia postérieur est en effet semblable chez ces deux espèces. Cependant, tous les autres caractères retenus par Martínez (taille, pubescence, ponctuation, microsculpture) sont peu pertinents. *Eurysternus jessopi* possède un caractère unique (apomorphie) dans le genre (une petite carène transverse située au milieu de l'arête postérieure du premier segment abdominal chez les mâles), caractère qui n'est partagé qu'avec une autre espèce : *E. wittmerorum* Martínez, qui fait partie du groupe *inflexus*. Les soies du tibia postérieur d'*E. wittmerorum* montrent une configuration intermédiaire entre la forme primitive et la forme dérivée extrême que l'on retrouve chez *E. jessopi,* ce qui semble encore confirmer cette relation. J'estime donc que la ressemblance en ce qui concerne le tibia et permettant tarse chez *E. navajasi* et *E. jessopi* résulte d'une évolution convergente permettant d'exploiter une ressource alimentaire dans des conditions semblables. Je crois que Martínez a réuni ces espèces dans un groupe artificiel. Pour les raisons mentionnées précédemment et pour garder l'uniformité des niveaux taxonomiques du genre, le sous-genre *Eurysternus (Pareurysternus)* Martínez, 1988 : 282 est ici invalidé et mis en synonymie avec *Eurysternus* Dalman [**nouvelle synonymie**].

Eurysternus navajasi Martínez, 1988

(Figs. 7, 188)

Eurysternus navajasi Martínez
1988 Martínez, *Ent. Basil.* 12 : 298

ÉTYMOLOGIE. *Navajasi* (de Navajas), patronyme en hommage à Eduardo Navajas, entomologiste brésilien qui a entrepris de réviser le genre *Eurysternus,* mais est décédé prématurément.

DIAGNOSE. Voir diagnose pour le groupe d'espèces.

Holotype ♂ (MACN) : Argentina, provincia Misiones, departamento Candelaria, Loreto, xi.1951, A. Martínez-coll. Holotype non examiné, évidence suffisante.

MATÉRIEL EXAMINÉ. Répartition géographique Fig. 188; 25 ex. : **ARGENTINE** : MISIONES, Loreto, (27°18'22"S, 55°32'10"O), [sans date], D.G. Loblin – 1 ♂ (IBSP); **BRÉSIL** : GOIÁS, Jatahy, (17°53'S, 51°43'O), 1898, Ch. Pujol – 1 ♂, 3 ex. (MNHN, PAIC); même localité, 1895-96, Ch. Pujol – 3 ex. (MNHN); MATO GROSSO, Chapada dos Guimarães, (15°26'54"S, 55°45'49"O), iv, [anonyme] – 1 ♀ (CMNH); MATO GROSSO DO SUL, Fazenda Dr. José Mendes, Três Lagoas, (20°48'S, 51°43'O), x.1964, Exp. Depto. Zool. – 3 ♀♀ (MZSP); PARÁ, Santarém, (2°27'10"S, 54°43'9"O), [sans date], [anonyme] – 2 ♂♂ (CMNH); RIO GRANDE DO SUL, Santo Augusto, (27°51'5"S, 53°46'38"O), x.1966, O. Roppa – 1 ♀ (CMNH); Sobradinho, (29°25'S, 53°1'O), 14.ii.1948, J. Becker – 1 ♀ (paratype) (CMNC); **PARAGUAY** : Central, 1885, P. Germain – 2 ex. (MNHN); CENTRAL, Colonia Nueva Italia, (25°37'5"S, 57°30'3"O), [sans date], [anonyme] – 2 ♀♀ (1 paratype) (CMNC, MZSP); CONCEPCION, Horqueta, (23°19'41"S, 57°3'59"O), xii.1934, Schulze – 1 ♂ (MZSP); GUAIRÁ, Villarrica, (25°47'S, 56°27'O), i.1946, F.H. Schade – 1 ♂ (paratype) (CMNC); SAN PEDRO, Cororó, (23°26'20"S, 56°30'5"O), 10.iii.1992, C. Aguilar J. – 1 ♀ (CMNC); Cororó, Río Ypané, (23°25'38"S, 56°29'57"O), xi.1979, Martínez – 1 ♀, 1 ♂ (CMNC).

CONDITION DE CAPTURE. Aucune donnée.

HABITAT. La répartition connue donne à penser que cette espèce est inféodée au cerrado et du chaco.

PHÉNOLOGIE. Spécimens capturés en janvier, février, mars, octobre, novembre et décembre.

REMARQUES. Je considère ici comme erronément étiquetés les trois spécimens portant les données suivantes « Santarem Brasil, Acc No. 2966 » du CMNH. Je les exclus donc de la répartition géographique de l'espèce.

GROUPE HIRTELLUS

DIAGNOSE. Taille très petite à petite (4,5-8,0 mm). Yeux étroits et bien visibles à semi-circulaires et peu visibles sur le dessus. Pronotum en majeure partie recouvert d'une grosse ponctuation ocellée confluente. Pronotum et élytres recouverts

d'une microsculpture en réseau; ce réseau est aligné transversalement sur le disque des élytres. Carène du tubercule huméral des élytres courte. Fémur postérieur mâle sans tubercule ou carène sur la face postérieure; l'arête postéroventrale plus ou moins nette; fémur postérieur femelle semblable à celui des mâles. Éperon du tibia postérieur mâle fusionné au tibia.

Eurysternus nanus Génier sp. nov.

(Fig. 189)

ÉTYMOLOGIE. *Nanus* (nain) est un adjectif latin se rapportant à la taille de la plus petite espèce du genre.

DESCRIPTION. **Longueur**. 4,5-5,0 mm. **Couleur**. Brun à brun foncé; métasternum muni d'une bande jaunâtre longeant les hanches médianes, présentant quelques reflets vert métallique sur le disque; hanches postérieures présentant une tache claire au milieu de la moitié antérieure. **Tête**. Sexuellement dimorphique; arête antérieure du clypéus mâle largement et régulièrement arquée en vue dorsale, le milieu sinueusement arrondi vers le bas, sinuosité médiane démunie de dents de chaque côté; arête antérieure du clypéus femelle régulièrement arquée en vue dorsale, le tiers médian régulièrement arrondi vers le bas, l'arête du tiers médian tranchante, recourbée vers le haut et flanquée de deux petites dents obtuses; les yeux étroits et bien visibles sur le dessus; joues fortement déprimées un peu en avant des yeux; surface de la tête couverte de points ocellés, ces points plus petits et munis de soies même à l'avant; massue antennaire brun pâle. **Pronotum**. Arêtes latérales presque parallèles; angles antérieures étroitement arrondis; surface un peu irrégulière, densément couverte de points ocellés, les points un peu plus petits au milieu à l'avant, la microsculpture en forme de réseau entre les points, les soies brunes et peu squameuses, en majorité courtes et recourbées, mêlées de quelques longues soies presque droites sur le disque et l'arête latérale. **Élytres**. Arêtes latérales arquées, presque parallèles; carène humérale courte; stries fortes et larges, munies d'une carène lustrée au milieu sur toute la longueur, cette carène élargie au niveau des points; interstries recouverts d'une forte microsculpture en réseau transverse, chaque interstrie muni d'une rangée de soies testacées un peu squameuses, presque droites ou obliques, les soies des interstries impairs un peu plus longues; troisième interstrie muni d'un petit tubercule obtus à l'apex; tubercule apical, interstrie juxtasutural et troisième interstrie munis d'une touffe de longues soies claires. **Sternites thoraciques**. Carènes du proépisternum simples; prosternum derrière les hanches antérieures présentant quelques soies testacées et très espacées; lobe médian du métasternum faiblement convexe, le milieu avec un sillon

longitudinal peu profond; surface assez régulièrement couverte de points ocellés, les points plus petits et denses vers l'arrière, chaque point muni d'une courte et fine soie claire recourbée, les soies plus longues vers l'avant; la surface entre les points recouverte d'une forte microsculpture en réseau; le disque présentant des reflets vert métallique plus ou moins prononcés et une bande testacée longeant les hanches médianes. **Pattes**. Fémur antérieur convexe, sans carène; tibia antérieur mâle grêle, arête latérale non recourbée vers le bas sur la moitié basale, finement dentelée, munie de deux petites dents sur le quart distal, l'angle apical interne fortement recourbé vers le bas et formant une forte dent perpendiculaire, cette dent flanquée d'une petite brosse de soies du côté externe; tibia antérieur femelle grêle, non modifié; fémur postérieur mâle simplement convexe, surface ventrale couverte de gros points ocellées semblables à ceux du métasternum, arête postéroventrale estompée sur toute la longueur, démunie de soies, arête postérodorsale nette, munie d'une rangée de courtes soies espacées, squameuses et testacées; tibia postérieur mâle presque droit en vue latérale, arête interne munie d'une rangée assez régulière de tubercules tranchants, chaque tubercule muni d'une grosse soie testacée à son côté postérieure, carène ventrolatérale faiblement indiquée, microsculpture semblable à celle du reste de la surface, interrompue par une rangée de grosses soies sur toute la longueur; fémur postérieur femelle semblable à celui des mâles; tibia postérieur femelle presque rectiligne en vue latérale; arête interne munie d'une rangée de petits tubercules aigus, chacun flanqué d'une grosse soie à son bord postérieur; carène ventrolatérale semblable à celle des mâles. **Abdomen**. Segment 3 tronqué antérieurement entre les hanches postérieures, la partie tronquée un peu plus large que les plus gros points du lobe médian du métasternum; segments 4 à 7 plats, présentant une rangée de gros points ocellés sur la région médiane; segment 8 couvert de soies semblables à celles du reste de la surface, région postérieure du segment 8 bien délimité latéralement par une fine carène, surface glabre, tégument seulement couvert d'une forte microsculpture en réseau; pygidium muni de quelques grandes soies droites, plus denses sur la moitié basale.

Holotype ♂ (MZSP) : Estado do Bahia, Brazil, G. Bondar leg. / Pegado na Mata, 16/8/936 (écriture manuscrite) / HOLOTYPE ♂, *Eurysternus nanus* sp. nov., F. Génier. Remarque : ce spécimen disséqué par Navajas porte le nom manuscrit *E. tenuicollis*.

Allotype ♀ (MNHN) : Bras[i]l (écriture manuscrite) / Ex Musæo Thorey / ALLOTYPE ♀, *Eurysternus nanus* sp. nov., F. Génier.

MATÉRIEL EXAMINÉ. Répartition géographique Fig. 189; 6 ex. : **BRÉSIL** : [sans localité], [sans date], [anonyme] – 2 ♀♀, 2 ♂♂ (allotype, 3 paratypes)

(CMNC, MNHN, USNM); BAHIA, [sans localité], [sans date], Reed – 1 ♀ (paratype) (BMNH); [sans localité], 16.viii.1936, G. Bondar – 1 ♂ (holotype) (MZSP).

CONDITION DE CAPTURE. Un spécimen en forêt.

HABITAT. Une seule indication « mata » (forêt), mais il s'agit probablement d'une espèce de la caatinga ou du nord de la forêt atlantique.

PHÉNOLOGIE. Aucune donnée.

REMARQUES. On ne connait rien de cette espèce, si ce n'est qu'elle a été capturée en forêt, dans l'État de Bahia, et qu'elle n'a pas été retrouvée depuis 1936. Il est fort probable qu'elle soit déjà éteinte.

Eurysternus hirtellus Dalman, 1824

(Figs. 8, 40-41, 91, 97-98, 190)

Eurysternus hirtellus Dalman
1824 Dalman, *Ephem. Entomol.* : 12
1840 Castelnau, *Hist. Nat. Ins.* 2 : 93 (diagnose)
1869 Gemminger & Harold, *Cat. Col.* 4 : 1024 (catalogue)
1911 Gillet, *Col. Cat.* 38 : 25 (catalogue)
1944 Blackwelder, *U. S. Nat. Mus. Bull.* 185 : 197 (catalogue)
1985 Jessop, *J. Nat. Hist.* 19 : 1103 (désignation de type)
1988 Martínez, *Ent. Basil.* 12 : 283 (commentaire)
1999 Vaz de Mello, *An. Soc. Entomol. Brasil* : 449 (faunistique)

Eurysternus cirratus Harold [synonymie : Jessop, 1985 : 1103]
1883 Harold, *Stett. Ent. Zeit.* 44 : 429
1911 Gillet, *Col. Cat.* 38 : 25 (catalogue)
1944 Blackwelder, *U. S. Nat. Mus. Bull.* 185 : 197 (catalogue)
1959 Martínez, *Rev. Mus. Arg. Cien. Nat. Bern. Rivad.* 5 : 20 (catalogue)
1985 Jessop, *J. Nat. Hist.* 19 : 1103 (désignation de type, synonymie)

ÉTYMOLOGIE. *Hirtellus*, forme diminutive de l'adjectif latin *hirtus*, se rapportant vraisemblablement à l'aspect hirsute de cette espèce.

DIAGNOSE. Taille petite (6,0-7,5 mm); proépisternum muni d'une seule carène; tibia antérieur muni de trois dents latérales; pubescence du pronotum et du disque

des élytres constituée d'un mélange de très courtes soies claires presque couchées sur la surface du tégument et de très longues et minces soies testacées assez denses et fortement recourbées sur le tiers distal.

Eurysternus hirtellus Dalman :

Néotype ♂ (NHRS) : NEOTYPE / Itatiaya, Est. do Rio, 18-1-1927, 700m, J.F. Zikan / 39 IOC / hirt ♂ / *Eurysternus hirtellus* Dalm., NEOTYPE, det. L. Jessop 1984. Néotype examiné, non disséqué.

Eurysternus cirratus Harold :

Lectotype ♂ (MNHN) : LECTOTYPE / *cirratus* typ. Bahia (écriture manuscrite de Harold) / Ex Musæo E. Harold / *Eurysternus cirratus* Harold, LECTOTYPE, det. L. Jessop 1984. Lectotype examiné, disséqué.

MATÉRIEL EXAMINÉ. Répartition géographique Fig. 190; 25 ex. : **[PAYS NON SPÉCIFIÉ]** : [sans localité], [sans date], [anonyme] – 2 ex. (MNHN). **BRÉSIL** : R. Ciganos, 24.viii.1961, H. Schubart – 1 ♀ (MZSP); [sans localité], [sans date], [anonyme] – 1 ex. (MNHN); BAHIA, même localité, [sans date], [anonyme] – 1 ♂ (lectotype) (MNHN); ESPIRITO SANTO, Corrego Itá, (18°45'S, 40°52'O), x.1954, W. Zikan – 1 ♀ (IBSP); Fazenda Lagoa do Macuco, Municipio Linhares, 10 m (19°3'50"S, 39°58'43"O), 27.i.2000, F. Génier & S. Ide (2000-43) – 2 ♂♂ (CMNC); Morro do Moscoso, Vitória, (20°18'20"S, 40°20'14"O), x.1982, B. Silsa – 1 ♂ (MNRJ); MINAS GERAIS, Lavras, (21°14'45"S, 44°59'59"O), v.1997, J. Louzada – 1 ♂ (FVMC); [sans localité], [sans date], Fruhstorfer – 1 ♂ (MNHN); RIO DE JANEIRO, Corcovado, (22°56'50"S, 43°13'2"O), xii.1958, Martínez, Alvarenga & Seabra – 1 ♂ (CMNC); même localité, 26.viii.1945, L. Wygodzinsky – 1 ♂ (IBSP); même localité, 27.x.1975, M.A. Monné & C.A. Campos Seabra – 1 ♀ (MNRJ); Itatiaia, 700 m (22°28'25"S, 44°34'43"O), ii-iii.1930, J.F. Zikan – 1 ♂ (MZSP); même localité, 24.i.1931, J.F. Zikán – 1 ♀ (FVMC); Paineiras, Parque Nacional da Tijuca, (22°57'21"S, 43°14'53"O), 1961, H. Schubart – 1 ♂ (MNRJ); Parque da Cidade, Rio de Janeiro, (22°58'14"S, 43°15'24"O), x.1992, F. Z. Vaz de Mello – 1 ♂ (FVMC); Parque Lage, Rio de Janeiro, (22°57'35"S, 43°12'40"O), i.1992, F. Vaz de Mello – 2 ♂♂ (CMNC); même localité, ix.1988, L. Beduin – 1 ♂ (FVMC); même localité, iv.1992, F. Z. Vaz de Mello – 1 ♂ (FVMC); même localité, iii.1991, Fernando – 1 ♂ (MNRJ); RCP, Rio Grande, ix.1967, P.M. Oliveira – 1 ♀ (MNRJ); Rio de Janeiro, (22°57'S, 43°13'O), [sans date], [anonyme] – 1 ex. (MNHN).

CONDITION DE CAPTURE. Deux spécimens ont été capturés dans la forêt atlantique primaire établie sur un substrat de sable en zone côtière (Fazenda Lagoa

do Macuco, Municipio de Linhares) à l'aide de pièges à fosse appâtés avec de la charogne. Aucun des pièges que nous avions appâtés avec des excréments et disposés au même endroit n'a attiré d'individus de cette espèce.

HABITAT. Espèce de la forêt atlantique et de la forêt de la zone de transition avec le cerrado. Cette espèce assez tolérante se retrouve fréquemment en forêt secondaire ou en zone fortement perturbée (Vaz de Mello, comm. pers.).

PHÉNOLOGIE. Spécimens capturés en janvier, mars, avril, mai, aout et octobre.

REMARQUES. Le néotype d'*E. hirtellus* Dalman et le lectotype d'*E. cirratus* Harold diffèrent par la taille (un exemplaire de grande taille pour *E. hirtellus*) et les soies du lobe médian (plus longues et plus denses chez *E. hirtellus*).

Eurysternus squamosus Génier sp. nov.

(Figs. 93-94, 191)

ÉTYMOLOGIE. *Squamosus* (écailleux), un adjectif latin se rapportant à l'aspect des soies du dernier sternite abdominal de cette espèce.

DESCRIPTION. **Longueur**. 6,0-8,0 mm. **Couleur**. Brun rougeâtre à brun foncé. **Tête**. Identique dans les deux sexes; clypéus largement arqué en vue dorsale, le milieu sinueusement arrondi vers le bas, sans dents; les yeux à peine visibles sur le dessus; joues fortement déprimées un peu en avant des yeux; surface de la tête couverte de gros points ocellés, ces points plus petits et sans soies vers l'avant; massue antennaire brun pâle. **Pronotum**. Arêtes latérales presque parallèles; angles antérieurs étroitement arrondis; surface un peu irrégulière, densément couverte de points ocellés, les points un peu plus petits au milieu à l'avant, la microsculpture en forme de réseau entre les points, les soies brunes et squameuses, testacées sur l'arête des angles antérieurs, en majorité courtes sur le disque, mélangées de quelques longues soies recourbées. **Élytres**. Arête latérale un peu arquée; carène humérale courte; stries fortes et larges, munies d'une fine carène lustrée au milieu; interstries recouverts d'une forte microsculpture en réseau transverse, interstries impairs munis d'une rangée de longues soies espacées squameuses plus ou moins recourbées vers l'extérieure à l'apex; troisième interstrie muni d'un petit tubercule aigu à l'apex; tubercule apical muni d'une dizaine de très longues soies; interstrie juxtasutural et troisième interstrie munis d'une touffe de très longues soies. **Sternites thoraciques**. Carènes du proépisternum fusionnées sur les deux tiers internes; prosternum derrière les hanches antérieu-

res habituellement sans rangée de soies sur l'arête postérieure, avec au plus 1 à 4 soies au milieu de cette arête; lobe médian du métasternum faiblement convexe, le milieu muni d'un sillon peu profond; surface régulièrement couverte de grands points ocellés, sauf dans le sillon médian, chaque point muni d'une courte et fine soie claire; la surface entre les points recouverte d'une forte microsculpture en réseau. **Pattes**. Fémur antérieur convexe, sans carène; tibia antérieur mâle grêle, arête latérale non modifiée, finement dentelée, plus haute que la face ventrale sur la moitié basale, munie de trois petites dents sur le quart distal, l'angle apical interne fortement recourbé vers le bas formant une forte dent, cette dent flanquée d'une petite touffe de soies du côté externe; tibia antérieur femelle grêle, non modifié; fémur postérieur mâle simplement convexe, surface ventrale couverte de gros points ocellés semblables à ceux du métasternum, arête postéroventrale bien nette sur toute la longueur, munie d'une rangée de courtes soies squameuses claires, arête postérodorsale nette, aigüe, munie d'une rangée très dense de courtes soies squameuses claires; tibia postérieur mâle presque droit en vue latérale, arête interne munie d'une seule rangée de courtes et très denses soies claires sur la moitié basale, ces soies devenant plus espacées, fortes et foncées sur la moitié distale, carène ventrolatérale fine, microsculpture semblable à celle du reste de la surface, interrompue par une rangée de fines soies claires sur les deux tiers basaux; fémur postérieur femelle semblable à celui des mâles; tibia postérieur femelle presque rectiligne en vue latérale, arête interne non modifiée, carène ventrolatérale fine, lustrée, non interrompue par une rangée de fines soies claires sur son côté externe. **Abdomen**. Segment 3 antérieurement terminé en pointe aigüe entre les hanches postérieures; segments 4 à 7 un peu transversalement convexes, présentant une ou deux rangées de gros points ocellés sur la région antérieure; segment 8 densément couvert de grosses soies squamiformes sur la moitié basale, les soies voilant presque totalement la surface du tégument; région postérieure du segment délimitée par une forte carène, surface glabre, tégument seulement couvert d'une forte microsculpture en réseau; pygidium couvert de quelques grandes soies squamiformes, plus denses vers l'apex.

Holotype ♂ (CMNC) : PERU : LORETO, Campamento San Jacinto, 2°18'44"S 75°51'46"W, 175-215m, 3-12.vii.1993, R. Leschen, ex FIT / COLLECTION François GÉNIER, P.Q. CANADA / HOLOTYPE ♂, *Eurysternus squamosus* sp. nov., F. Génier. Édéage extrait.

Allotype ♀ (CMNC) : Mêmes données que l'holotype.

MATÉRIEL EXAMINÉ. Répartition géographique Fig. 191; 44 ex. : **COLOMBIE** : AMAZONAS, Leticia, 215 m (4°11'20"S, 69°56'9"O), 11.vii.1970, H. &

A. Howden – 2 ♀♀, 1 ♂ (paratypes) (CMNC); même localité, 20-25.ii.1972, Peck & Howden – 6 ♀♀, 9 ♂♂ (15 paratypes) (CMNC, CMNH, OUMNH, ROME); même localité, 23.ii.-2.iii.1974, Howden & Nealis – 1 ♀ (paratype) (CMNC); Los Alpes, Leticia, 213 m (4°4'25"S, 70°0'5"O), 23.ii.-2.iii.1974, S. Peck – 1 ♀, 2 ♂♂ (3 paratypes) (CMNC); Road End, Leticia, 213 m (4°4'9"S, 69°59'56"O), 23.ii.-2.iii.1974, S. Peck – 1 ♀ (paratype) (CMNC); CAQUETÁ, Puerto Solano, Río Cuñare-Amú, Parque Nacional Natural La Serranía de Chiribiquete, 250 m (0°12'42.8"N, 72°25'3.2"O), 21.ii.2001, E. González & M. Ospina (M.315) – 1 ♀ (paratype) (IAVH); Puerto Solano, Río Cuñare, Parque Nacional Natural La Serranía de Chiribiquete, 250 m (0°30'N, 72°37'50"O), 2-4.xi.2000, E. González & M. Ospina (M.161) – 1 ♀ (paratype) (IAVH); Sabana de Gongylolepis, Est. Puerto Abeja, PNN Chiribiquete, Solano, 200 m (0°4'27"N, 72°27'.5"O), vii.1999, M. Alvarez & G. Mejía – 1 ♂ (paratype) (IAVH); GUAINÍA, Caño Bocón, Santa Rosa, 100 m (3°4'46"N, 68°2'26"O), xi.1996, S. Amezquita & A. Lopera – 1 ♂ (paratype) (IAVH); VAUPÉS, Caparú, 100 m (1°5'S, 69°32'O), 29.xi.1995, A. Solís – 1 ♀, 1 ♂ (paratypes) (AFIC); Caparú Terraza, 100 m, xi.1995, A. Solís – 1 ♂ (paratype) (IAVH); **ÉQUATEUR** : NAPO, Río Napo-Río Aguarico, 76-77°W, ix-x.1977, L. Peña – 1 ♀ (paratype) (MNHN); **PÉROU** : LORETO, 1.5 km N Teniente López, 230-305 m (2°35'39.6"S, 76°6'55"O), 18-26.vii.1993, R. Leschen – 1 ♀, 1 ♂ (paratypes) (CMNC); même localité, 20.vii.1993, R. Leschen (1993-211) – 1 ♀ (paratype) (SEMC); même localité, 22.vii.1993, R. Leschen (1993-165) – 1 ♀ (paratype) (SEMC); même localité, 23.vii.1993, R. Leschen (1993-191) – 1 ♀ (paratype) (SEMC); même localité, 26.vii.1993, R. Leschen (1993-213) – 1 ♂ (paratype) (SEMC); Campamento San Jacinto, 175-215 m (2°18.75'S, 75°51.77'O), 3-12.vii.1993, R. Leschen – 1 ♀, 3 ♂♂ (holotype, 2 paratypes) (CMNC); Explornapo Camp, 2 km from Río Napo on Río Sucusari, 160 km NE Iquitos, (3°11'S, 72°53'O), 27-31.viii.1992, P. Skelley – 1 ♀ (paratype) (FSCA); La Granja UNAP, Iquitos, 9.ii.1984, L. Huggert – 1 ♂ (paratype) (BDGC); Teniente López, 210-240 m (2°35.66'S, 76°6.92'O), 23.vii.1993, R. Leschen (1993-190) – 1 ♀ (paratype) (SEMC).

CONDITION DE CAPTURE. Plusieurs spécimens capturés à l'aide de pièges à fosses appâtés avec des excréments humains et de pièges à interception de vol. Trois spécimens capturés perchés sur le feuillage le long d'un sentier.

HABITAT. Forêt amazonienne du nord-est de l'Amazonie correspondant à peu près aux provinces biogéographiques du Napo, de l'Imeri, du Madeira et à une partie de la Várzea, telle que définie par Morrone (2006). Un spécimen indiquant une capture en forêt non inondable (terra firme).

PHÉNOLOGIE. Spécimens capturés en février, juillet, aout et novembre.

Eurysternus lanuginosus Génier sp. nov.

(Figs. 9, 37, 96, 99-100, 103, 110-111, 192)

ÉTYMOLOGIE. *Lanuginosus* (laineux), un adjectif latin se rapportant aux touffes de soies claires du tibia postérieur chez les mâles.

DESCRIPTION. **Longueur**. 6,0-9,0 mm. **Couleur**. Brun rougeâtre à noir. **Tête**. Identique dans les deux sexes; clypéus largement arqué, le milieu sinueusement arrondi vers le bas, sans dents; les yeux à peine visibles sur le dessus; joues peu déprimées en avant des yeux; surface de la tête couverte de gros points ocellés, ces points plus petits et munis de courtes soies vers l'avant; massue antennaire brun foncé. **Pronotum**. Arêtes latérales presque parallèles; angles antérieurs variant d'étroitement arrondis à obliquement tronqués en vue dorsale chez les mâles ou prolongés en une petite dent recourbée vers le haut et dont la surface ventrale est lustrée chez les femelles; surface à peine irrégulière, densément couverte de points ocellés, les points à peine plus petits au milieu à l'avant, la microsculpture en forme de réseau entre les points, les soies brunes et fines sur toute la surface, en majorité courtes sur le disque, mélangées de quelques longues et fines soies droites. **Élytres**. Arête latérale à peine arquée; carène humérale courte; stries fortes et larges, munies d'une fine carène lustrée et ornée de points espacés peu distincts au milieu; interstries recouverts d'une forte microsculpture en réseau transverse, interstries impairs munis d'une rangée de longues soies espacées, fines et droites; interstries pairs possédant quelques courtes soies espacées, troisième interstrie sans petit tubercule aigu à l'apex; calus apical, interstrie juxtasutural et troisième interstrie munis d'une touffe de longues soies un peu plus claires. **Sternites thoraciques**. Carènes du proépisternum fusionnées sur la moitié interne; prosternum derrière les hanches antérieures habituellement sans rangée de soies sur l'arête postérieure, avec au plus 1 à 4 soies au milieu de cette arête; lobe médian du métasternum faiblement convexe, le milieu muni d'un sillon à peine perceptible; surface régulièrement couverte de grands points ocellés, sauf dans le sillon médian, chaque point muni d'une courte et fine soie claire; la surface entre les points recouverte d'une forte microsculpture en réseau. **Pattes**. Fémur antérieur convexe, sans carènes; tibia antérieur mâle grêle, arête latérale non modifiée, finement dentelée, plus haute que la face ventrale sur la moitié basale, munie d'une seule dent sur le quart distal, l'arête apicale fortement recourbée vers le bas formant une large dent bilobée, munie d'une brosse de soies sur toute la largeur; tibia antérieur femelle grêle, non modifié; fémur postérieur mâle simplement convexe, surface ventrale couverte de gros points ocellés semblables à ceux du métasternum, arête postéroventrale estompée sur les deux tiers basaux, munie d'une rangée de courtes soies squameuses claires, arête postérodorsale nette, aigüe, munie d'une rangée de courtes soies claires; tibia postérieur mâle un peu sinueux en

vue latérale, arête interne munie d'une grosse touffe de soies claires très denses et composée de plusieurs rangées serrées sur le tiers médian, chez quelques individus ces soies sont disposées sur une seule rangée, les soies sont normales de chaque côté de cette touffe, carène ventrolatérale forte, non interrompue par la rangée de soies, sa surface lustrée, tranchant fortement sur le reste de la surface ventrale qui est opaque; fémur postérieur femelle semblable à celui des mâles; tibia postérieur femelle presque rectiligne en vue latérale, arête interne non modifiée, carène ventrolatérale semblable à celui des mâles. **Abdomen**. Segment 3 étroitement tronqué antérieurement entre les hanches postérieures; segments 4 à 7 plats, présentant une ou deux rangées de gros points ocellés sur la région antérieure; segment 8 couvert de soies semblables à celles du reste de la surface, les points très profonds; région postérieure du segment plus ou moins délimité latéralement par une carène, surface glabre, tégument seulement couvert d'une forte microsculpture en réseau; pygidium couvert de quelques grandes soies droites, plus denses près de la marge.

Holotype ♂ (CMNC) : ECUADOR : PAST[AZA], 1000m, Llandia (17 km N. Puyo), 19.vii.1994, F. Génier, remnant rain for. feces tp. / HOLOTYPE ♂, *Eurysternus lanuginosus* sp. nov., F. Génier. Spécimen non disséqué.

Allotype ♀ (CMNC) : Mêmes données que l'holotype.

MATÉRIEL EXAMINÉ. Répartition géographique Fig. 192; 236 ex. : **BOLIVIE** : COCHABAMBA, Cordillera Mosetenes, Parque Nacional Isiboro-Securé, 1310 m (16°13'58"S, 66°24'54"O), 1-4.ix.2003, A.C. Hamel L. – 1 ♀, 2 ♂♂ (3 paratypes) (OUMNH); même localité, 1-4.ix.2003, A.C. Hamel L. – 7 ♂♂ (7 paratypes) (OUMNH); même localité, 2-5.ix.2003, A.C. Hamel L. – 1 ♀ (paratype) (OUMNH); même localité, 7-16.ix.2003, A.C. Hamel L. – 5 ♀♀, 6 ♂♂ (11 paratypes) (OUMNH); **COLOMBIE** : PUTUMAYO, Puerto Asis – Puerto Vega, Río Putumayo, 4-27.vii.1996, V. Malý – 1 ♀, 1 ♂ (paratypes) (VMPC); **ÉQUATEUR** : MORONA-SANTIAGO, Macas, (2°19'20"S, 78°6'58"O), [sans date], [anonyme] – 1 ♂ (paratype) (MNHN); Untsuants sitio 1, 700 m (2°32'59"S, 77°54'12"O), 7.xii.2001, J. Celi & J. Torres – 1 ♀, 6 ♂♂ (7 paratypes) (CMNC); NAPO, 12 km WSW Tena, 600 m (1°3'46"S, 77°53'53"O), 8-11.vii.1976, S. Peck – 1 ♀, 5 ♂♂ (6 paratypes) (CMNC, ROME); 20 km S Tena, 600 m (1°8'58"S, 77°50'26"O), 9-11.vii.1976, S. Peck – 1 ♀ (paratype) (CMNC); 5 km O Tena, 500 m (0°58'9"S, 77°51'35"O), 6-9.vii.1976, S. Peck – 1 ♂ (paratype) (CMNC); Estación Biológica Jatun Sacha, 450 m (1°4'S, 77°37'O), 10-12.ii.1995, M. Bass & N. Pitman – 1 ♂ (paratype) (BDGC); même localité, 24-26.vii.1998, Ratcliffe, Jameson, Smith, Villatoro – 1 ♀, 1 ♂ (paratypes) (ABTS, UNSM); Estación Biológica Jatun Sacha, 21 km E Puerto Napo, 400 m (1°3'46"S, 77°36'37"O), 9.vii.1994, F. Génier – 2 ♂♂

(2 paratypes) (CMNC); même localité, 11.vii.1994, F. Génier – 2 ♂♂ (2 paratypes) (CMNC); même localité, 15.vii.1994, Levy & Génier – 1 ♀ (paratype) (CMNC); Km 11.1 Sarayacu-Loreto road, 1200 m (0°42'37"S, 77°43'10"O), 20.vii.1994, F. Génier – 3 ♂♂ (3 paratypes) (CMNC); Km 25.4 Sarayacu-Loreto road, 950 m (0°43'6"S, 77°37'18"O), 12.vii.1994, F. Génier – 2 ♂♂ (2 paratypes) (CMNC); Km 7.3 Sarayacu-Loreto road, 1200 m (0°43'2"S, 77°44'11"O), 14.vii.1994, F. Génier – 1 ♂ (paratype) (CMNC); même localité, 20.vii.1994, F. Génier – 4 ♀♀, 5 ♂♂ (9 paratypes) (CMNC); Tena, 400-500 m (0°59'21"S, 77°48'55"O), 14.vii.1994, F. Génier – 1 ♂ (paratype) (CMNC); Yampona, 23.i.1989, Sandoval – 1 ♂ (paratype) (BDGC); ORELLANA, Daimi [= pozo petrolero Daimi], (0°55'S, 76°11'O), 20.ix.1989, S. Sandoval – 1 ♀ (paratype) (BDGC); Estación Científica Yasuní (PUCE), 215 m (0°40'16.7"S, 76°24'1.8"O), 5-10.ix.1999, E.G. Riley – 1 ♂ (paratype) (TAMU); Estación de Biodiversidad Tiputini (USFQ), Parque Nacional Yasuní, 220 m (0°38'S, 76°9'O), ix.2000, D. Inward – 6 ♀♀, 13 ♂♂ (19 paratypes) (BMNH); Zancudo Cocha, (0°35'36"S, 75°30'0"O), 15.xi.1985, L. de la Torre – 1 ♀ (paratype) (QCAZ); PASTAZA, 1 km E Mera, 1100 m (1°27'12"S, 78°6'31"O), 13-17.vii.1976, S. Peck – 2 ♀♀ (2 paratypes) (CMNC); 22 km SE Puyo, 900 m (1°37'11"S, 77°50'40"O), 12-16.vii.1976, S. Peck – 2 ♂♂ (2 paratypes) (CMNC); 25 km NNE Puyo, 1000 m (1°18'19"S, 77°52'59"O), 4-13.vii.1976, S. Peck – 2 ♂♂ (2 paratypes) (CMNC); 9 km ESE Veracruz, 900 m (1°33'49"S, 77°53'8"O), 22-24.viii.1975, R. Webster – 1 ♂ (paratype) (CMNC); Amazanga, near Puyo, 1000 m, 19-22.xi.2001, V. Malý (E-42) – 4 ♀♀, 6 ♂♂ (10 paratypes) (VMPC); Arajuno (environ), 750 m (1°14'S, 77°40'O), 3-11.xii.2000, V. Malý (E-37) – 1 ♀, 2 ♂♂ (3 paratypes) (VMPC); Llandia, 17 km N Puyo, 1000 m (1°21'3"S, 77°58'4"O), 16.vii.1994, F. Génier – 1 ♂ (paratype) (CMNC); même localité, 19.vii.1994, F. Génier – 4 ♀♀, 6 ♂♂ (holotype, 8 paratypes) (CMNC); même localité, 20.vii.1994, F. Génier – 3 ♂♂ (3 paratypes) (CMNC); SUCUMBÍOS, 2 km N Limoncocha, 250 m (0°23'17"S, 76°37'15"O), 22-28.vi.1976, S. Peck – 8 ♂♂ (8 paratypes) (CMNC); Dureno, Río Aguarico, 150 m (0°2'40"N, 76°41'50"O), 23-30.ix.1977, L. Peña – 4 ♂♂ (4 paratypes) (CMNC, ROME); Limoncocha, 250 m (0°24'38"S, 76°37'37"O), 31.iii.1974, H.P. Stockwell – 3 ♀♀ (3 paratypes) (CMNC); même localité, 10-15.iii.1975, J.M. Campbell – 2 ♀♀, 5 ♂♂ (7 paratypes) (CMNC, ROME); même localité, 11.iii.1976, J.M. Campbell – 1 ♀, 2 ♂♂ (3 paratypes) (CMNC, CNC); même localité, 15.iii.1976, J.M. Campbell – 4 ♂♂ (4 paratypes) (CNC); même localité, 18-24.vi.1976, S. Peck – 9 ♀♀, 30 ♂♂ (39 paratypes) (BDGC, CMNC, ROME); même localité, 21-28.vi.1976, S. Peck – 3 ♀♀, 2 ♂♂ (5 paratypes) (CMNC, ROME); même localité, 25.vi.1976, S. & J. Peck – 1 ♂ (paratype) (CNC); même localité, 26-28.vi.1976, S. Peck – 1 ♂ (paratype) (CMNC); même localité, 21.vii.1976, S. & J. Peck – 2 ♂♂ (2 paratypes) (CMNC); même localité, 5.vi.1977, W.E. Steiner – 1 ♀ (paratype) (USNM); même localité, 7.vi.1977, W.E. Steiner – 1 ♂ (paratype) (USNM); même localité, 13.vi.1977, P.J. Spangler &

D.R. Givens (120) – 1 ♂ (paratype) (USNM); Reserva Biológica Limoncocha, 215 m (0°24'38"S, 76°37'37"O), 10.viii.1997, A.R. Gillogly – 1 ♀ (paratype) (TAMU); Sacha Lodge, 270 m (0°28'14"S, 76°27'35"O), 24.iii.1999, R. Brooks – 1 ♀, 1 ♂ (paratypes) (CMNC); TUNGARAHUA, 8 km E Río Negro, 10 km O Pastaza [=Shell], 1400 m (1°26'40"S, 78°10'28"O), 13-17.vii.1976, S. Peck – 4 ♂♂ (4 paratypes) (CMNC); même localité, 13-17.vii.1976, S. Peck – 1 ♀, 2 ♂♂ (3 paratypes) (ROME); **PÉROU** : AMAZONAS, Río Comainas, 21.vii.1994, A. Forsyth – 1 ♂ (paratype) (BDGC); CUZCO, near Chontachaca, 1000 m (13°1'45"S, 71°29'59"O), 5-6.xii.1999, T. Larsen – 1 ♂ (paratype) (AFIC); même localité, 6-7.xii.1999, T. Larsen – 4 ♂♂ (4 paratypes) (AFIC); Santuario Nacional Megantoni, 1350-1900 m (12°11'14"S, 72°28'14"O), v.2004, T. Larsen – 2 ♀♀, 4 ♂♂ (6 paratypes) (AFIC); JUNÍN, El Tirol, San Ramón, 820-1000 m (11°8'23"S, 75°20'13"O), vii.2002, C. Torpoco – 1 ♂ (paratype) (CMNC); LORETO, Iquitos, (3°42'30"S, 73°15'30"O), xi.1979, M. de Mathan – 1 ♀ (paratype) (MNHN); MADRE DE DIOS, Cocha Salvador, Parque Nacional del Manú, 310 m (12°0'13"S, 71°31'36"O), 20-21.x.2000, R. Brooks (2000-70) – 1 ♀ (paratype) (CMNC); Estación Biológica Cocha Cashu, Parque Nacional de Manú, 380 m (11°53'45"S, 71°24'24"O), 20-22.viii.1986, D.C. Darling (ROM#863547) – 1 ♂ (paratype) (ROME); near Salvación, 650 m (12°50'27"S, 71°19'57"O), 29-30.xi.1999, T. Larsen – 2 ♀♀, 1 ♂ (paratypes) (AFIC); même localité, 30.xi.-1.xii.1999, T. Larsen – 1 ♀, 2 ♂♂ (3 paratypes) (AFIC); même localité, 1-2.xii.1999, T. Larsen – 1 ♀, 2 ♂♂ (3 paratypes) (AFIC).

CONDITION DE CAPTURE. La majorité des spécimens capturés aux pièges à excréments humains, quelques spécimens capturés avec de la charogne comme appât. Un spécimen dans un piège à fosse appâté avec des excréments bovins, deux spécimens dans une termitière brisée et deux autres dans un nid d'abeilles sauvages (*Melipona sp.*) sur le sol.

HABITAT. Forêt de l'ouest de l'Amazonie comprenant à peu près les provinces du Napo, de l'Ucayali et du Pantanal.

PHÉNOLOGIE. Spécimens capturés toute l'année sauf en avril et octobre.

REMARQUES. Espèce assez variable et qui semble former plusieurs populations. Les spécimens du sud de l'aire de répartition ont la touffe de soies du tibia postérieur mâle réduite à une simple rangée, le tibia est moins sinueux et la configuration des angles antérieurs du pronotum varie. En outre, les exemplaires capturés à plus haute altitude au Pérou ont les paramères plus allongés et la région membraneuse dorsale est plus étroite. Les femelles sont cependant impossibles à caractériser et je considère ces variations comme intraspécifiques.

Eurysternus strigilatus Génier sp. nov.
(Fig. 193)

ÉTYMOLOGIE. *Strigilatus* (munie d'un racloir), un adjectif latin se rapportant à la configuration de l'arête antérieure du fémur antérieur.

DESCRIPTION. **Longueur**. 6,0-8,0 mm. **Couleur**. Brun rougeâtre à noir. **Tête**. Identique dans les deux sexes; clypéus largement arqué, le milieu sinueusement arrondi vers le bas, sans dents; les yeux à peine visibles sur le dessus; joues déprimées un peu en avant des yeux; surface de la tête couverte de points ocellés denses, ces points un peu plus petits et munis de courtes soies vers l'avant; massue antennaire testacée. **Pronotum**. Arêtes latérales s'élargissant vers l'avant; angles antérieurs largement arrondis; surface un peu irrégulière, densément couverte de points ocellés, les points un peu plus petits au milieu à l'avant, la microsculpture en forme de réseau entre les points, les soies brunes et squameuses, testacées sur l'arête des angles antérieurs, en majorité courtes sur le disque, mélangées de quelques longues soies recourbées. **Élytre**. Arête latérale un peu arquée; carène humérale courte; stries fortes et larges, munies d'une fine carène lustrée au milieu; interstries recouverts d'une forte microsculpture en réseau transverse, interstries impairs munis d'une rangée de longues soies espacées et squameuses recourbées vers l'extérieure à l'apex; troisième interstrie muni d'un très petit tubercule aigu à l'apex; tubercule apical muni d'une rangée de très longues soies; interstrie juxtasutural et troisième interstrie munis d'une touffe de très longues soies. **Sternites thoraciques**. Carènes du proépisternum distinctes sur toute la longueur, non fusionnées; prosternum derrière les hanches antérieures habituellement sans rangée de soies sur l'arête postérieure, avec au plus 1 à 4 soies au milieu de cette arête; lobe médian du métasternum presque plat, le milieu sans sillon distinct, présentant une étroite bande longitudinale glabre; surface régulièrement couverte de grands points ocellés, sauf dans le sillon médian, chaque point muni d'une courte et fine soie claire; la surface entre les points recouverte d'une forte microsculpture en réseau. **Pattes**. Fémur antérieur convexe, sans carènes sur le disque; marge antérieure rebordée sur presque toute la longueur, arête recourbée vers le bas et tranchante; tibia antérieur mâle grêle, arête latérale non modifiée, finement dentelée, plus haute que la face ventrale sur la moitié basale, munie de trois dents recourbées vers le bas sur le quart distal, l'arête apicale fortement recourbée vers le bas formant une forte dent oblique, cette dent bordée de soies sur toute sa largeur; tibia antérieur femelle grêle, non modifié; fémur postérieur mâle simplement convexe, surface ventrale couverte de gros points ocellés semblables à ceux du métasternum, arête postéroventrale estompée sur la moitié basale, munie d'une rangée de courtes soies claires, arête postérodorsale bien nette, aigüe, munie d'une

rangée de courtes soies claires; tibia postérieur mâle un peu arqué vers le bas en vue latérale, arête interne possédant une seule rangée de soies claires sur la moitié basale, ces soies devenant plus espacées, fortes et foncées sur la moitié distale, carène ventrolatérale forte, non interrompue par la rangée de soies, la surface lustrée, tranchant fortement sur le reste de la surface ventrale qui est opaque; fémur postérieur femelle semblable à celui des mâles; tibia postérieur femelle un peu arqué vers le bas en vue latérale, arête interne munie de quelques grandes soies claires sur la moitié basale, les soies plus courtes, denses et foncées sur la moitié distale, carène ventrolatérale semblable à celle des males. **Abdomen**. Segment 3 terminé en pointe fine antérieurement entre les hanches postérieures; segments 4 à 7 plats, garnis d'une ou deux rangées de gros points ocellés sur la région antérieure; segment 8 couvert de soies semblables à celles du reste de la surface, les points très profonds; région postérieure du segment délimité latéralement par une forte carène, surface glabre, tégument seulement couvert d'une forte microsculpture en réseau; pygidium couvert de quelques grandes soies recourbées, plus denses près de la marge.

Holotype ♂ (CMNC) : PERU : MADRE DE DÍOS, 15km N.E. Puerto Maldonado, Reserva Cuzco Amazonica, 200m, 12°33'S 69°03'W, 24.vi.1989, R. Leschen, swamp forest, F.I.T. / COLLECTION François GÉNIER, P.Q. CANADA / HOLOTYPE ♂, *Eurysternus strigilatus* sp. nov., F. Génier. Édéage extrait.

Allotype ♀ (CMNC) : mêmes données que l'holotype.

MATÉRIEL EXAMINÉ. Répartition géographique Fig. 193; 71 ex. : **[PAYS NON SPÉCIFIÉ]** : Amazon, [sans date], Bates – 1 ♂ (paratype) (BMNH). **BRÉSIL** : ACRE, Fazenda Catuaba, Rio Branco, (10°4'S, 67°37'O), ii.1997, F. Z. Vaz de Mello – 2 ♂♂ (2 paratypes) (FVMC); Parque Zoobotânico da Universidade Federal do Acre, Rio Branco, (9°57'8"S, 67°52'23"O), ii.1997, F. Z. Vaz de Mello – 1 ♀, 2 ♂♂ (3 paratypes) (FVMC); AMAZONAS, Benjamin Constant, (4°23'25"S, 70°2'19"O), v.1942, Pohl – 1 ♀ (paratype) (MZSP); même localité, iv.1947, Pohl – 1 ♀ (paratype) (MZSP); même localité, xi.1962, A. Silva – 1 ♀ (paratype) (MZSP); Benjamin Constant, Rio Javari, (4°22'28"S, 70°1'47"O), iii.1942, B. Pohl – 1 ♂ (paratype) (MZSP); Ega [=Tefé], (3°22'S, 64°42'O), [sans date], [anonyme] – 1 ♀ (paratype) (MNHN); Eirunepé, (6°39'22"S, 69°51'38"O), vi.1950, J.C.M. Carvalho – 1 ♀ (paratype) (MZSP); Fonte Boa, (2°31'49"S, 66°5'34"O), [sans date], [anonyme] – 1 ♀, 2 ♂♂ (3 paratypes) (BMNH, MNHN); Rio Javari, Estado do ÉQUATEUR, x.1979, M. Alvarenga – 1 ♂ (paratype) (CMNC); São Paulo de Olivença, (3°28'49"S, 68°56'49"O), [sans date], [anonyme] – 1 ♀, 1 ♂

(paratypes) (BMNH, MNHN); même localité, iv.1923, S. Klages – 1 ♂ (paratype) (CMNH); même localité, iv.1961, Dirings – 1 ♂ (paratype) (MZSP); même localité, 10.vii.1935, [anonyme] – 2 ♀♀, 1 ♂ (paratypes) (MZSP); SANTA CATARINA, Timbó, (26°50'17"S, 49°17'50"O), viii.1963, Dirings – 1 ♂ (paratype) (MZSP); **PÉROU** : LORETO, Iquitos, (3°42'30"S, 73°15'30"O), 15.iii.1969, B.K. Dozier – 1 ♀ (paratype) (FSCA); Yurimaguas, (5°55'9"S, 76°6'4"O), [sans date], [anonyme] – 1 ♀ (paratype) (MNHN); MADRE DE DIOS, Reserva Cuzco Amazonica, 15 km NE Puerto Maldonado, 200 m (12°33'S, 69°3'O), 13.vi.1989, J.S. Ashe & R.A. Leschen (1989-37) – 1 ♂ (paratype) (SEMC); même localité, 15.vi.1989, Ashe & Leschen – 3 ♀♀, 3 ♂♂ (6 paratypes) (CMNC, OUMNH); même localité, 15.vi.1989, Ashe & Leschen – 1 ♀ (paratype) (CMNC); même localité, 15.vi.1989, Ashe & Leschen – 1 ♂ (paratype) (CMNC); même localité, 20.vi.1989, Ashe & Leschen – 1 ♂ (paratype) (CMNC); même localité, 20.vi.1989, Ashe & Leschen – 1 ♂ (paratype) (SEMC); même localité, 22.vi.1989, J.S. Ashe & R.A. Leschen (1989-199) – 2 ♀♀, 4 ♂♂ (6 paratypes) (SEMC); même localité, 24.vi.1989, R. Leschen – 2 ♀♀, 5 ♂♂ (holotype, allotype, 5 paratypes) (CMNC); même localité, 24.vi.1989, J.S. Ashe & R.A. Leschen (1989-237) – 2 ♀♀ (2 paratypes) (SEMC); même localité, 24.vi.1989, J.S. Ashe & R.A. Leschen (1989-248) – 1 ♂ (paratype) (SEMC); même localité, 26.vi.1989, Ashe & Leschen – 1 ♀, 4 ♂♂ (5 paratypes) (CMNC); même localité, 30.vi.1989, Ashe & Leschen – 1 ♀, 3 ♂♂ (4 paratypes) (CMNC, SEMC); même localité, 13.vii.1989, Ashe & Leschen – 1 ♀ (paratype) (CMNC); Ccolpa de Guacamayos, Río Tambopata, 300 m (13°8.5'S, 69°36.4'O), x.1995, A. Forsyth – 1 ♀, 3 ♂♂ (4 paratypes) (AFIC, USNM); UCAYALI, Pucallpa, (8°23'58"S, 74°34'39"O), 21.ix.1973, J. Schunke L. – 1 ♂ (paratype) (CMNC); même localité, 19.ii.1974, J. Schunke L. – 1 ♀ (paratype) (CMNC); même localité, 18.xi.1981, J. Schunke L. – 1 ♀ (paratype) (MIZA); Río Ucayali, 19.i.1927, [anonyme] – 1 ♂ (paratype) (MZSP).

CONDITION DE CAPTURE. Plus de la moitié des spécimens capturés au piège à interception de vol. Seuls deux spécimens au piège à fosse dont l'appât n'est pas spécifié.

HABITAT. Forêt primaire et secondaire de l'ouest et du centre de l'Amazonie correspondant à peu près aux provinces de l'Ucayali, du Madeira et du Pantanal. En zone terra firme aussi bien qu'en zone inondable.

PHÉNOLOGIE. Spécimens capturés toute l'année sauf en avril et décembre.

REMARQUES. Le spécimen étiqueté État de Santa Catarina (Brésil) est assurément une erreur d'étiquetage.

Eurysternus martinsi Génier sp. nov.
(Fig. 194)

ÉTYMOLOGIE. *Martinsi* (de Martins) est un patronyme en hommage à Ubirajara Martins, du Musée de Zoologie de l'Université de São Paulo. Ubirajara Martins a capturé un des rares exemplaires connus de cette espèce.

DESCRIPTION. **Longueur**. 6,0-6,5 mm. **Couleur**. Noir, présentant des reflets métalliques diffus sur la région antérieure du clypéus, ces reflets sont verdâtres, virant au rouge postérieurement, interstrie juxtasutural présentant quelques faibles reflets verdâtres près de la suture, le reste de la surface exhibant quelques reflets rougeâtres visibles seulement sous certains angles. **Tête**. Identique dans les deux sexes; arête antérieure du clypéus semi-hexagonale en vue dorsale, le quart médian régulièrement arrondi vers le bas et flanqué de deux dents; yeux à peine visibles sur le dessus; joues fortement déprimées un peu en avant des yeux; surface de la tête couverte de gros points ocellés plus ou moins serrés, surface entre les points ocellés couverte d'une microsculpture estompée, les points de la région antérieure simples, plus petits et munis chacun d'une petite soie non squameuse, la surface entre ces points est nettement mate; massue antennaire brune. **Pronotum**. Arêtes latérales presque parallèles; angles antérieurs largement arrondis chez les mâles, arête latérale distinctement émarginée en arrière de l'angle antérieur chez les femelles; la carène supérieure de l'angle antérieur adjacente à la carène inférieure; surface à peine irrégulière, munie d'un sillon longitudinal médian mal défini sur la moitié postérieure, le sillon médian flanqué de deux dépressions sur le tiers postérieur, surface densément couverte de points ocellés, les points un peu plus petits au milieu à l'avant, la majeure partie de la microsculpture à peine indiquée entre les points, les soies uniformément noires, faiblement squameuses, courtes et couchées, mélangées de quelques soies plus longues et dressées sur le disque. **Élytres**. Arêtes latérales un peu arquées, presque parallèles; carène humérale courte; stries fortes et larges, munies sur toute la longueur de l'élytre d'une fine carène lustrée; interstries recouverts d'une forte microsculpture en réseau transverse, interstrie juxtasutural complètement lustré sur la moitié distale, deuxième interstrie couvert d'une microsculpture sur toute la longueur, interstries impairs munis d'une rangée de longues soies espacées squameuses recourbées à l'apex, troisième interstrie sans petit tubercule obtus à l'apex; tubercule apical, interstrie juxtasutural et troisième interstrie munis d'une touffe de longues soies noires. **Sternites thoraciques**. Carènes du proépisternum non fusionnées sur la moitié interne, carène postérieure arquée sur la moitié distale; prosternum muni d'une rangée espacée de grandes soies noires derrière les hanches antérieures; lobe médian du métasternum convexe, avec une fovéole assez profonde en son milieu, le milieu de la région antérieure distinctement sillonné, la région adjacente aux hanches

médianes fortement sillonnées, sa surface irrégulièrement couverte de grands points ocellés, plus gros dans les dépressions adjacentes aux hanches, chaque point muni d'une soie; la surface entre les points uniformément couverte d'une microsculpture nette. **Pattes**. Fémur antérieur fortement convexe, sans carène; tibia antérieur mâle court et assez robuste, arête latérale recourbée vers le bas sur la moitié basale, finement dentelée et plus basse que la face ventrale munie de trois dents de même taille sur le tiers distal, l'angle apical interne fortement recourbé vers le bas formant une forte dent aigüe, cette dent flanquée d'une plus grosse dent triangulaire et d'une petite brosse de soies du côté externe; tibia antérieur femelle modérément robuste, non modifié; fémur postérieur simplement convexe, surface ventrale couverte de gros points ocellés contigus, arête postéroventrale estompée, munie d'une rangée espacée de courtes soies plus ou moins squameuses, arête postérodorsale nette, tranchante, munie d'une rangée espacée de courtes soies squameuses; tibia postérieur faiblement arqué sur la moitié basale en vue dorsale; arête interne un peu dilatée, crénelée sur toute la longueur et munie d'une seule rangée de soies noires sur le tiers médian, ces soies prenant naissance au coté postérieur de chaque dent, devenant plus espacées et fortes sur le tiers distal, quelques soies plus fines, longues et espacées sur le tiers basal, carène ventrolatérale interrompue par une rangée de grosses soies sur toute la longueur; fémur postérieur femelle semblable à celui des mâles; tibia postérieur femelle rectiligne en vue dorsale, arête interne non modifiée, carène ventrolatérale semblable à celle des mâles. **Abdomen**. Segment 3 étroitement tronqué antérieurement entre les hanches postérieures; segments 4 à 7 plats, présentant deux rangées de points ocellés sur la région antérieure, les points proches de la suture antérieure sont plus petits et munis d'une très courte soie; segment 8 couvert d'une ponctuation ocellée et de soies semblables à celles du reste de la surface; région postérieure du segment bien délimitée latéralement par une fine carène, surface glabre, tégument seulement couvert d'une forte microsculpture en réseau; pygidium couvert de quelques grandes soies droites, plus denses près de la marge.

Holotype ♂ (MZSP) : Serra Caraça – 1380m, MG-Brasil- xi -961, Kloss, Lenko, Martins & Silva col. / HOLOTYPE ♂, *Eurysternus martinsi* sp. nov., F. Génier. Édéage et sac interne de l'édéage extrait.

Allotype ♀ (CMNC) : BRASIL: MINAS GERAIS, Mun. Santana do Riacho, P.N. Serra do Cipó, Alto Palacio, 1300m, 19°17'33"S 43°33'50"W, 20.i.2001, Vaz-de-Mello & Génier, rupestrian field, ex. dung tp. 2, 2001-65 / ALLOTYPE ♀, *Eurysternus martinsi* sp. nov., F. Génier.

MATÉRIEL EXAMINÉ. Répartition géographique Fig. 194; 2 ex. : Types primaires seulement.

CONDITION DE CAPTURE. Un exemplaire au piège à fosse appâté avec des excréments humains.

HABITAT. Nous avons capturé l'allotype à 1300 m d'altitude dans un champ rupestre.

PHÉNOLOGIE. Spécimens capturés en janvier et novembre.

REMARQUES. La coloration noire de cette espèce semble être une adaptation aux habitats alpins.

Eurysternus nigrovirens Génier sp. nov.

(Figs. 10, 92, 102, 105, 195)

ÉTYMOLOGIE. *Nigrovirens* (*nigro*, noircir, rendre noir et *virens*, verdoyant) est un adjectif latin se rapportant à la coloration du tégument de cette espèce.

DESCRIPTION. **Longueur**. 5,0-7,5 mm. **Couleur**. Brun foncé à noir, présentant des reflets métalliques verts, rarement cuivré ou rougeâtre par endroits chez certains individus, reflets toujours présents sur la région antérieure du clypéus, et la presque totalité de l'interstrie juxtasutural, le reste de la surface présente des reflets métalliques plus ou moins prononcés selon les individus. **Tête**. Sexuellement dimorphique; arête antérieure du clypéus mâle largement et régulièrement arquée en vue dorsale ou plus ou moins semi-hexagonale chez certains individus, le milieu sinueusement arrondi vers le bas, la sinuosité médiane démunie de dents ou munie d'une plus ou moins grosse dent de chaque côté chez certains individus; arête antérieure du clypéus femelle semi-hexagonale en vue dorsale, le quart médian régulièrement arrondi vers le bas et flanqué de deux dents; yeux à peine visibles sur le dessus; joues fortement déprimées un peu en avant des yeux; surface de la tête couverte de gros points ocellés plus ou moins serrés, surface entre les points en majeure partie couverte d'une forte microsculpture, sauf une étroite bande lustrée près de l'arête antérieure au milieu, les points de la région antérieure simples, plus petits et munis chacun d'une petite soie non squameuse; massue antennaire testacée. **Pronotum**. Arêtes latérales presque parallèles; forme des angles antérieurs variable, angle antérolatéral un peu angulaire chez les femelles; la carène supérieure de l'angle antérieur presque fusionnée avec la carène inférieure; surface irrégulière, munie d'un sillon longitudinal médian sur la moitié postérieure, le sillon médian flanqué de deux dépressions sur le tiers postérieur, surface densément couverte de points ocellés, les points un peu plus petits au milieu à l'avant et un peu moins dense dans le sillon médian, microsculpture en grande partie présente

et forte entre les points, les soies du disque brunes à noires, celles de l'arête antérolatérale et de la région de la marge antérieure plus pâles que celles du disque, les soies plus ou moins squameuses selon les populations, les soies courtes un peu plus nombreuses que les soies longues sur le disque. **Élytres**. Arêtes latérales un peu arquées, presque parallèles; carène humérale courte; stries fortes et larges, munies sur toute la longueur des élytres d'une fine carène lustrée; interstries recouverts d'une forte microsculpture en réseau transverse sur le milieu, l'interstrie juxtasutural complètement lustré sur les deux tiers distaux, le deuxième interstrie lustré sur la moitié distale, interstries impairs munis d'une rangée de longues soies espacées, plus ou moins squameuses recourbées à l'apex, troisième interstrie muni d'un petit tubercule obtus à l'apex; tubercule apical, interstrie juxtasutural et troisième interstrie munis d'une touffe de longues soies plus pâles que celles du disque de l'élytre. **Sternites thoraciques**. Carènes du proépisternum non fusionnées sur la moitié interne, carène postérieure arquée; prosternum garni d'une rangée de grandes soies espacées derrière les hanches antérieures, quelques grandes soies supplémentaires sur le disque chez certains individus; lobe médian du métasternum convexe, avec une fovéole assez profonde en son milieu, le milieu de la région antérieure distinctement sillonné, la région adjacente aux hanches médianes fortement sillonnée; la surface irrégulièrement couverte de grands points ocellés, ces derniers plus gros dans les dépressions adjacentes aux hanches, chaque point muni d'une soie, les soies beaucoup plus courtes dans les points des dépressions; la surface entre les points recouverte d'une plus ou moins forte microsculpture en réseau. **Pattes**. Fémur antérieur fortement convexe, sans carène; tibia antérieur mâle court et assez robuste, arête latérale recourbée vers le bas sur la moitié basale, finement dentelée et plus basse que la face ventrale, munie de trois dents sur le tiers distal, la dent médiane plus petite que les deux autres, l'angle apical interne fortement recourbé vers le bas formant une forte dent, cette dent flanquée d'une plus petite dent et d'une petite brosse de soies du côté externe; tibia antérieur femelle modérément robuste, non modifié; fémur postérieur mâle simplement convexe, surface ventrale couverte de gros points ocellés contigus, arête postéroventrale estompée sur le tiers basal, munie d'une rangée de courtes soies espacées plus ou moins squameuses, arête postérodorsale nette, tranchante, munie d'une rangée espacée de courtes soies squameuses; tibia postérieur mâle distinctement recourbé en vue dorsale, arête interne non dilatée et présentant une seule rangée contiguë de courtes soies claires sur le tiers médian, ces soies devenant plus espacées, fortes et foncées sur le tiers distal, quelques soies un peu plus longues, espacées et plus ou moins claires sur le tiers basal, carène ventrolatérale interrompue par une rangée de grosses soies sur toute la longueur; fémur postérieur femelle semblable à celui des mâles; tibia postérieur femelle rectiligne en vue dorsale, arête interne non modifiée, carène ventrolatérale semblable à celle des mâles. **Abdomen**. Segment 3 étroitement tronqué antérieurement entre les hanches postérieures; segments 4 à 7 plats, présentant deux rangées de points ocellés sur la région antérieure,

les points près de la suture antérieure plus petits et munis d'une très courte soie; segment 8 couvert d'une ponctuation ocellée et de soies semblables à celles du reste de la surface; région postérieure du segment bien délimité latéralement par une fine carène, surface glabre, tégument seulement couvert d'une forte microsculpture en réseau; pygidium couvert de quelques grandes soies droites, plus denses près de la marge.

Holotype ♂ (CMNC) : PARAGUAY : Ybycuí, 15-19.xii.1990, G. Arriagada / COLLECTION François GÉNIER, P.Q. CANADA / HOLOTYPE ♂, *Eurysternus nigrovirens* sp. nov., F. Génier. Édéage et sac interne de l'édéage extrait.

Allotype ♀ (CMNC) : Mêmes données que l'holotype.

MATÉRIEL EXAMINÉ. Répartition géographique Fig. 195; 186 ex. : **ARGENTINE** : SALTA, San Martín, Pocitos, (22°4'S, 63°43'O), xii.1971, Martínez – 1 ♀, 7 ♂♂ (8 paratypes) (CMNC); même localité, xi.1971, Martínez – 9 ♂♂ (9 paratypes) (CMNC); **BOLIVIE** : SANTA CRUZ, Río Seco Km 435, ii.1959, Martínez – 3 ♀♀ (3 paratypes) (CMNC); Saavadra, CIMCA [= Centro Integral de Manejo del Comportamiento Animal?], 9.ix.1988, C.J. Pruett – 1 ♀, 1 ♂ (paratypes) (ABTS); Provincia Chiquitos, Santiago, (18°20'17"S, 59°35'37"O), xi.1959, [anonyme] – 1 ♂ (paratype) (WDEC); Provincia Ichilo, 3-5 km SSE Buena Vista, 440 m (17°29'56"S, 63°39'13"O), 5-12.ii.2000, W.B. Warner – 1 ♀ (paratype) (WBWC); Provincia Velasco, Huanchaca I, Parque Nacional Noel Kempff Mercado, 780 m (13°54'12.5"S, 60°48'57.1"O), 26-31.x.1999, S. Spector – 2 ♀♀, 3 ♂♂ (5 paratypes) (UASC); **BRÉSIL** : [sans localité], [sans date], [anonyme] – 1 ♀, 1 ♂ (paratypes) (MNHN); ESPIRITO SANTO, Vitória, (20°19'S, 40°21'O), 13.ix.1904, F. Ohaus S. – 3 ♂♂ (3 paratypes) (BMNH, MNHN); GOIÁS, Jatahy, (17°53'S, 51°43'O), 1895-96, Ch. Pujol – 1 ♀ (paratype) (MNHN); Rio Araguaya, i.1939, Nick – 1 ♀ (paratype) (CMNC); MATO GROSSO, 12°50'S, 51°47'O, (12°50'S, 51°47'O), 19.iii.1968, O.W. Richards – 1 ♀ (paratype) (BMNH); 25 km N Posto do Gil on BR-163, Municipio Diamantino, 500 m (14°22'29"S, 56°7'28"O), 11.i.2001, Génier & Vaz de Mello (2001-09) – 1 ♀ (paratype) (CMNC); même localité, 13.i.2001, Génier & Vaz de Mello (2001-57) – 1 ♀, 2 ♂♂ (3 paratypes) (CMNC, FVMC); Chapada dos Guimarães, (15°26'54"S, 55°45'49"O), xi, [anonyme] – 1 ♀ (paratype) (CMNH); même localité, xi.1963, Alvarenga & Werner – 1 ♀, 4 ♂♂ (5 paratypes) (MZSP); Tapirapeí, [sans date], [anonyme] – 1 ♀ (paratype) (MZSP); MATO GROSSO DO SUL, Corumbá (highland), (19°2'1"S, 57°34'54"O), iii, [anonyme] – 1 ♀ (paratype) (CMNH); MINAS GERAIS, Açucena, (19°3'21"S, 42°33'12"O), ii.1952, A.B. Machado – 2 ♀♀ (2 paratypes) (MZSP); Arinos, (15°55'S, 46°4'O), v.1994, [anonyme] – 6 ♀♀, 3 ♂♂ (9 paratypes) (PAIC); Belo Horizonte, UFMG, (19°52'46"S, 43°58'20"O), 15.i.1998, D. Yanega – 2 ♂♂ (2 paratypes) (UNSM); Estação Eco-

lógica da Universidade Federal de Minas Gerais, UFMG Campus, Pampulha, 830 m (19°52'S, 43°58'O), 14.xii.1996, [anonyme] – 1 ♀, 1 ♂ (paratypes) (UNSM); Lambari, (21°58'2"S, 45°20'48"O), xi.1924, J. Halik – 1 ♀ (paratype) (USNM); Municipio Santana do Riacho, P.N. Serra do Cipó, 780 m (19°20'58"S, 43°37'8"O), 21.i.2001, Vaz de Mello & Génier (2001-71) – 1 ♀ (paratype) (CMNC); même localité, 21.i.2001, Vaz de Mello & Génier (2001-72) – 3 ♀♀, 1 ♂ (paratypes) (CMNC, FVMC); même localité, 21.i.2001, Vaz de Mello & Génier (2001-73) – 1 ♀, 3 ♂♂ (4 paratypes) (CMNC, FVMC); même localité, 21.i.2001, Vaz de Mello & Génier (2001-74) – 2 ♀♀, 1 ♂ (paratypes) (CMNC, FVMC); même localité, 21.i.2001, Vaz de Mello & Génier (2001-75) – 4 ♀♀, 5 ♂♂ (9 paratypes) (CMNC, FVMC); PARAÍBA, Mamanguape, (6°50'19"S, 35°8'11"O), vii.1957, Exp. Dep. Zoologia – 2 ♂♂ (2 paratypes) (IBSP); PIAUÍ, Parque Nacional da Serra da Capivara, São Raimundo Nonato, (8°52'25"S, 42°41'10"O), i.1999, C.A. Matrangolo – 2 ♀♀, 2 ♂♂ (4 paratypes) (FVMC); RIO DE JANEIRO, Itatiaia, 700 m (22°28'25"S, 44°34'43"O), 2.vi.1928, J.F. Zikan – 1 ♀ (paratype) (MZSP); SÃO PAULO, Fazenda Campininas, Mogi Guaçu, (22°22'22"S, 46°55'5"O), 1-8.i.1970, J.M. & B.A. Campbell – 5 ♀♀, 9 ♂♂ (14 paratypes) (CNC); Fazenda Itaquerê, Bôa Esperança do Sul, (21°58'44"S, 48°23'10"O), 25.i.1964, K. Lenko – 1 ♂ (paratype) (MZSP); même localité, 27.i.1964, K. Lenko – 1 ♀, 1 ♂ (paratypes) (MZSP); Fazenda Pau d'Alho, Itú, (23°20'56"S, 47°9'49"O), i.1966, [anonyme] – 1 ♀ (paratype) (IBSP); Ipiranga, (23°35'28"S, 46°36'32"O), [sans date], Lüderwaldt – 1 ♀ (paratype) (MZSP); même localité, 1.ii.1937, F. Lane – 1 ♂ (paratype) (MZSP); Itirapina, (22°15'S, 47°49'O), 15.xii.1992, P.W. Kovarik – 1 ♂ (paratype) (FSCA); Jundiaí, (23°13'S, 46°53'56"O), 6.iv.1962, J. Halik – 1 ♀ (paratype) (USNM); même localité, 25.i.1966, J. Halik – 4 ♂♂ (4 paratypes) (MZSP); même localité, 29.iii.1967, J. Halik – 6 ♀♀, 10 ♂♂ (16 paratypes) (MZSP); Porto Cabral, Rio Paraná, (22°16'49"S, 52°34'56"O), 20-31.iii.1944, Trav. Fo. Carrera & E. Dente – 2 ♀♀, 1 ♂ (paratypes) (MZSP); même localité, 1-25.iv.1944, Trav. Fo. Carrera & E. Dente – 2 ♂♂ (2 paratypes) (MZSP); Presidente Epitácio, (21°46'41"S, 52°8'4"O), xii.1936, H. Zellibor – 1 ♀ (paratype) (IBSP); **PARAGUAY** : CANINDEYÚ, Lagunita, Reserva Natural Bosque Mbaracayú, (24°8'S, 55°25'O), 10.xi.1991, C. Aguilar J. – 2 ♂♂ (2 paratypes) (CMNC); CONCEPCION, Horqueta, (23°19'41"S, 57°3'59"O), xii.1934, Schulze – 4 ♀♀, 7 ♂♂ (11 paratypes) (CMNC, IBSP, MZSP); PARAGUARÍ, Ybycuí, (26°0'57"S, 57°0'33"O), 15-19.xii.1990, G. Arriagada – 2 ♀♀, 3 ♂♂ (holotype, allotype, 3 paratypes) (CMNC); SAN PEDRO, Cororó, (23°26'20"S, 56°30'5"O), 10.iii.1992, C. Aguilar J. – 2 ♂♂ (2 paratypes) (CMNC); Cororó, Río Ypané, (23°25'38"S, 56°29'57"O), xi.1979, Martínez – 5 ♀♀, 10 ♂♂ (15 paratypes) (CMNC, OUMNH); **PÉROU** : MADRE DE DIOS, near Salvación, 650 m (12°50'27"S, 71°19'57"O), 29-30.xi.1999, T. Larsen – 1 ♀, 3 ♂♂ (4 paratypes) (AFIC); même localité, 30.xi.-1.xii.1999, T. Larsen – 2 ♂♂ (2 paratypes) (AFIC);

Ccolpa de Guacamayos, Río Tambopata, 300 m (13°8.5'S, 69°36.4'O), x.1995, A. Forsyth – 1 ♀, 3 ♂♂ (4 paratypes) (AFIC, BDGC, CMNC).

CONDITION DE CAPTURE. Les rares spécimens qui comportent des données ont été capturés au piège à fosse appâté avec des excréments humains. Un spécimen prit dans des excréments bovins.

HABITAT. L'aire de répartition de cette espèce semble coïncider avec le cerrado et le pantanal ou les habitats plus ouverts. Il faut cependant ajouter une population répartie dans les forêts denses amazoniennes du sud du Pérou.

PHÉNOLOGIE. Spécimens capturés toute l'année sauf en aout.

REMARQUES. Les spécimens du Pérou diffèrent des autres par leur taille moyenne plus petite, par la rangée de soies du tibia postérieur mâle qui est non contigu sur le tiers médian et par la microsculpture qui est présente sur toute la moitié basale de l'interstrie juxtasutural. On a capturé ces spécimens dans la forêt amazonienne et, malgré les quelques petites différences du tibia postérieur chez les mâles, la possibilité qu'il s'agisse d'une espèce différente me paraît difficile a justifier. Deux autres spécimens capturés en Bolivie présentent une configuration intermédiaire, ce qui donne à penser que la variation des spécimens péruviens est de nature clinale.

Eurysternus aeneus Génier sp. nov.

(Figs. 36, 101, 106-107, 196)

ÉTYMOLOGIE. *Aeneus* (qui est fait de cuivre, de bronze) est un adjectif latin se rapportant à la coloration du tégument de cette espèce.

DESCRIPTION. **Longueur**. 5,5-8,0 mm. **Couleur**. Brun à brun foncé, présentant des reflets métalliques cuivrés, rarement verdâtres chez certains individus, reflets toujours présents sur la région antérieure du clypéus, et sur la presque totalité de l'interstrie juxtasutural, le reste de la surface présentant des reflets métalliques plus ou moins prononcés selon les individus. **Tête**. Sexuellement dimorphique; arête antérieure du clypéus mâle largement et régulièrement arquée en vue dorsale ou plus ou moins semi-hexagonale chez certains spécimens, le milieu sinueusement arrondi vers le bas, sinuosité médiane démunie de dents ou munie d'une plus ou moins grosse dent de chaque côté chez certains spécimens; arête antérieure du clypéus femelle semi-hexagonal en vue dorsale, le quart médian régulièrement arrondi vers le bas et flanqué de deux dents; yeux à peine visibles sur le dessus;

joues fortement déprimées un peu en avant des yeux; surface de la tête couverte de gros points ocellés plus ou moins serrés, surface entre les points complètement lustrée, rarement quelques traces d'une microsculpture estompée près de la suture clypéogénale, les points de la région antérieure simples, plus petits et munis chacun d'une petite soie non squameuse; massue antennaire brun pâle. **Pronotum**. Arêtes latérales presque parallèles; configuration de l'angle antérieur variable, arête antérolatérale un peu angulaire chez les femelles; la carène supérieure de l'angle antérieur habituellement fusionnée avec la carène inférieure; surface irrégulière, munie d'un sillon longitudinal médian sur la moitié postérieure, ce sillon flanqué de deux dépressions sur le tiers postérieur, surface densément couverte de points ocellés un peu plus petits au milieu à l'avant et un peu moins dense dans le sillon médian, microsculpture en grande partie absente entre les points, les soies uniformes en coloration sur toute la surface, testacées à brunes, plus ou moins squameuses selon les populations, sur le disque les soies courtes et couchées un peu plus nombreuses que les soies longues et dressées. **Élytres**. Arêtes latérales un peu arquées, presque parallèles; carène humérale courte; stries fortes et larges, munies sur toute la longueur des élytres d'une fine carène lustrée; interstries recouverts d'une forte microsculpture en réseau transverse sur le milieu, l'interstrie juxtasutural complètement lustré sur les deux tiers distaux, le deuxième interstrie lustré sur la moitié distale, interstries impairs munis d'une rangée de longues soies espacées plus ou moins squameuses recourbées à l'apex; troisième interstrie muni d'un petit tubercule obtus à l'apex; tubercule apical, interstrie juxtasutural et troisième interstrie munis d'une touffe de longues soies de même couleur que celles du disque de l'élytre. **Sternites thoraciques**. Carènes du proépisternum non fusionnées sur la moitié interne, carène postérieure arquée; prosternum, derrière les hanches antérieures, muni d'une rangée de grandes soies espacées, parfois quelques grandes soies supplémentaires sur le disque; lobe médian du métasternum convexe, présentant une fovéole assez profonde en son milieu, le milieu de la région antérieure distinctement sillonné, surface adjacente aux hanches médianes modérément déprimée; toute la surface assez régulièrement couverte de grands points ocellés, les points plus gros dans les dépressions adjacentes aux hanches, chaque point muni d'une soie, les soies un peu plus courtes dans les points des dépressions; la surface entre les points recouverte d'une plus ou moins forte microsculpture en réseau, chez certains individus cette microsculpture est absente au milieu de la région postérieure. **Pattes**. Fémur antérieur fortement convexe, sans carènes; tibia antérieur mâle court et assez robuste, arête latérale recourbée vers le bas sur la moitié basale, finement dentelée et plus basse que la face ventrale, muni de trois dents sur le tiers distal, la dent médiane plus petite que les deux autres, l'angle apical interne fortement recourbé vers le bas et formant une forte dent, cette dent flanquée d'une plus petite dent et d'une petite brosse de soies du côté externe; tibia antérieur femelle

modérément robuste, non modifié; fémur postérieur mâle simplement convexe, surface ventrale couverte de gros points ocellés contigus, arête postéroventrale plus ou moins nette, munie d'une rangée de soies espacées semblables à celles du reste de la surface, arête postérodorsale nette, tranchante, munie d'une rangée espacée de courtes soies dressées; tibia postérieure mâle presque droit en vue dorsale, arête interne un peu dilatée et munie d'une seule rangée contiguë de courtes soies claires sur le tiers médian, ces soies devenant plus espacées, fortes et foncées sur le tiers distal, quelques soies un peu plus longues, espacées et plus ou moins claires sur le tiers basal, carène ventrolatérale interrompue par une rangée de grosses soies sur toute la longueur; fémur postérieur femelle semblable à celui des mâles; tibia postérieur femelle rectiligne en vue dorsale, arête interne non modifiée, carène ventrolatérale semblable à celle des mâles. **Abdomen**. Segment 3 étroitement tronqué antérieurement entre les hanches postérieures; segments 4 à 7 plats, possédant deux rangées de points ocellés sur la région antérieure, les points près de la suture antérieure sont plus petits et munis d'une très courte soie; segment 8 couvert d'une ponctuation ocellée et de soies semblables à celles du reste de la surface; région postérieure du segment bien délimitée latéralement par une fine carène, surface glabre, tégument seulement couvert d'une forte microsculpture en réseau; pygidium couvert de quelques grandes soies dressées, plus denses près de la marge.

Holotype ♂ (CMNC) : PARAGUAY : Ybycuí, 15-19.xii.1990, G. Arriagada / COLLECTION François GÉNIER, P.Q. CANADA / HOLOTYPE ♂, *Eurysternus aeneus* sp. nov., F. Génier. Édéage et sac interne de l'édéage extrait.

Allotype ♀ (CMNC) : Mêmes données que l'holotype.

MATÉRIEL EXAMINÉ. Répartition géographique Fig. 196; 91 ex. : **ARGENTINE** : CORRIENTES, Ituzaingó, Puerto Valle, (27°37'37"S, 56°24'41"O), iii.1982, Martínez – 7 ♂♂ (7 paratypes) (CMNC); MISIONES, Loreto, (27°18'22"S, 55°32'10"O), viii.1955, F.H. Walz – 1 ♀, 1 ♂ (paratypes) (CMNC); Pastoreo Grande, (27°16'39"S, 55°24'0"O), ii.1954, F.H. Waltz – 1 ♀, 1 ♂ (paratypes) (CMNC); Puerto Bemberg, (25°54'48"S, 54°37'7"O), xi.1954, Prosen – 1 ♀ (paratype) (CMNC); **BRÉSIL** : RIO GRANDE DO SUL, Sobradinho, (29°25'S, 53°1'O), 14.ii.1948, J. Becker – 2 ♀♀ (2 paratypes) (CMNC); SÃO PAULO, Tibiriçá, (22°14'S, 49°15'O), 20.x.1926, F. Ohaus S. – 1 ♂ (paratype) (MNHN); **PARAGUAY** : [sans localité], [sans date], [anonyme] – 1 ♂ (paratype) (MZSP); CAAGUAZÚ, Caaguazú, (25°26'48"S, 56°1'43"O), xii.1977, Martínez & Fritz – 1 ♀, 5 ♂♂ (6 paratypes) (CMNC); CAAZAPÁ, Caazapá, (26°11'46"S, 56°22'4"O), 1-8.xii.1990, G. Arriagada – 5 ♀♀, 16 ♂♂ (21 paratypes) (CMNC); CENTRAL, Asunción, (25°18'17"S, 57°39'44"O), 21.ix.1980, D.C. Lowrie – 1 ♂ (paratype) (USNM); Santa Clara, Rio

Confuso, (25°39’20”S, 57°39’49”O), xii-i, [anonyme] – 2 ♀♀, 4 ♂♂ (6 paratypes) (MNHN); CONCEPCION, Estancia Laguna Negra, (23°3’42”S, 57°0’7”O), 17.x.1985, Expéd. Muséum Genève – 1 ♀ (paratype) (MHNG); CORDILLERA, Caacupé, (25°23’16”S, 57°9’3”O), x.1975, Martínez – 1 ♀, 2 ♂♂ (3 paratypes) (CMNC); Compañia Naranjo, 28.iii.1997, C. Aguilar – 3 ♀♀, 7 ♂♂ (10 paratypes) (WDEC); San Bernardino, (25°15’27”S, 57°14’44”O), xi.1923, K. Fiebrig – 1 ♀ (paratype) (USNM); GUAIRÁ, Villarrica, (25°47’S, 56°27’O), i.1946, F.H. Schade – 1 ♀ (paratype) (CMNC); PARAGUARÍ, Ybycuí, (26°0’57”S, 57°0’33”O), 5-7.xi.1990, G. Arriagada – 3 ♀♀, 17 ♂♂ (20 paratypes) (CMNC, OUMNH); même localité, 15-19.xii.1990, G. Arriagada – 2 ♀♀, 2 ♂♂ (holotype, allotype, 2 paratypes) (CMNC); même localité, 16.xii.1990, G. Arriagada – 1 ♂ (paratype) (CMNC).

CONDITION DE CAPTURE. Aucun spécimen comportant des données de capture.

HABITAT. Aucune donnée d’habitat, mais la répartition correspond au sud de la forêt de type parana et à l’extrême ouest du Chaco. Il y a aussi des incursions en zone de pampa et de cerrado.

PHÉNOLOGIE. Spécimens capturés en janvier, février, mars, septembre, octobre, novembre et décembre, période correspondant à l’été austral.

REMARQUES. Une série de 18 spécimens (CMNC) qui provient du Parque National Chaco (100 km nord-ouest Resistencia) diffère, entre autres, par la configuration des angles antérieurs du pronotum, qui sont plus arrondis, par le tibia postérieur des mâles, qui est distinctement courbé à la base, et les paramères qui sont plus allongés et parallèles en vue latérale. Comme ils se retrouvent à la limite de répartition d’*E. aeneus*, je préfère exclure ces spécimens de la série typique. Il est probable qu’ils appartiennent à une espèce distincte, circonscrite au Chaco.

Eurysternus atrosericus Génier sp. nov.

(Figs. 104, 108-109, 197)

ÉTYMOLOGIE. *Atrosericus* (noir et soyeux) est un adjectif latin se rapportant à l’aspect du tégument de cette espèce.

DESCRIPTION. **Longueur**. 5,5-7,0 mm. **Couleur**. Brun foncé à noir. **Tête**. Sexuellement dimorphique; arête du clypéus largement et régulièrement arquée, le milieu sinueusement arrondi vers le bas, sans dents chez les mâles, l’échancrure

médiane régulièrement arrondie, occupant environ le cinquième de la largeur de la tête et flanquée de deux petites dents chez les femelles; yeux à peine visibles sur le dessus; joues fortement déprimées un peu en avant des yeux; surface de la tête couverte de gros points ocellés, ces points plus petits à l'avant mais également munis de soies; massue antennaire brun pâle. **Pronotum**. Arêtes latérales presque parallèles; angles antérieurs étroitement arrondis, la carène supérieure bien séparée et un peu plus vers l'arrière que la carène inférieure; surface presque simplement convexe, densément couverte de points ocellés, les points un peu plus petits au milieu à l'avant, la microsculpture en forme de réseau entre les points, les soies brunes et peu squameuses, testacées sur l'arête de l'angle antérieur, en majorité longues et droites sur le disque. **Élytres**. Arêtes latérales un peu arquées, presque parallèles; carène humérale courte; stries fortes et larges, munies d'une fine carène lustrée au milieu sur la moitié antérieure, irrégulières sur la moitié postérieure; interstries recouverts d'une forte microsculpture en réseau transverse, interstries impairs munis d'une rangée espacée de longues soies noires un peu squameuses, presque droites et peu recourbées à l'apex; troisième interstrie muni d'un petit tubercule aigu à l'apex; tubercule apical, interstrie juxtasutural et troisième interstrie munis d'une touffe de longues soies claires. **Sternites thoraciques**. Carènes du proépisternum presque fusionnées sur la moitié interne, carène postérieure droite sur la moitié externe; prosternum possédant quelques grandes soies foncées et espacées derrière les hanches antérieures; lobe médian du métasternum faiblement convexe, le milieu présentant une petite fovéole peu profonde; surface assez régulièrement couverte de grands points ocellés, les points un peu plus denses vers l'arrière, chaque point muni d'une courte et fine soie claire, les soies plus longues vers l'avant, les points situés dans la fovéole plus petits et presque contigus; la surface entre les points recouverte d'une forte microsculpture en réseau. **Pattes**. Fémur antérieur convexe, sans carène; tibia antérieur mâle grêle, arête latérale recourbée vers le bas sur la moitié basale, finement dentelée et plus basse que la face ventrale, munie de trois petites dents sur le quart distal, la dent médiane plus petite que les deux autres, l'angle apical interne fortement recourbé vers le bas formant une forte dent, cette dent flanquée d'une petite brosse de soies du côté externe; tibia antérieur femelle grêle, non modifié; fémur postérieur mâle simplement convexe; surface ventrale couverte de gros points ocellés semblables à ceux du métasternum; arête postéroventrale nette sur toute la longueur, munie d'une rangée espacée de courtes soies squameuses claires; arête postérodorsale nette, aigüe, munie d'une rangée espacée de courtes soies squameuses claires; tibia postérieur mâle presque droit en vue latérale; arête interne possédant une seule rangée contiguë de courtes soies claires sur la moitié médiane, ces soies devenant plus espacées, fortes et foncées sur le quart distal, quelques soies très longues, espacées et claires sur le quart basal; carène ventrolatérale fine, microsculpture semblable à celle du reste de la

surface, interrompue par une rangée de grosses soies sur toute la longueur; fémur postérieur femelle semblable à celui des mâles; tibia postérieur femelle presque rectiligne en vue latérale; arête interne non modifiée; carène ventrolatérale fine, un peu plus lustrée sur la moitié distale, interrompue par une rangée de soies claires située sur cette carène, ces soies plus foncées et situées très légèrement à l'extérieur de la carène sur sa moitié distale. **Abdomen**. Segment 3 étroitement tronqué antérieurement entre les hanches postérieures; segments 4 à 7 plats, présentant une ou deux rangées de gros points ocellés sur la région antérieure; segment 8 couvert de soies semblables à celles du reste de la surface; région postérieure du segment plus ou moins bien délimitée latéralement par une fine carène, surface glabre, tégument seulement couvert d'une forte microsculpture en réseau; pygidium couvert de quelques grandes soies droites, plus denses près de la marge.

Holotype ♂ (MZSP) : BRASIL, Obidos = PA[RÁ], ii-60, Diring / HOLOTYPE ♂, *Eurysternus atrosericus* sp. nov., F. Génier. Spécimen disséqué.

Allotype ♀ (MZSP) : Mêmes données que l'holotype.

MATÉRIEL EXAMINÉ. Répartition géographique Fig. 197; 341 ex. : **[PAYS NON SPÉCIFIÉ]** : Amazon, [sans date], [anonyme] – 1 ♂ (paratype) (MNHN); **BRÉSIL** : [sans localité], [sans date], [anonyme] – 1 ♀ (paratype) (BMNH); AMAPÁ, Serra do Navio, (0°53'31"N, 52°0'10"O), x.1957, K. Lenko – 1 ♀ (paratype) (CMNC); AMAZONAS, 15 km E Manaus, (2°59'14"S, 59°48'13"O), 4.viii.1993, A.M. & N.D. Penny – 1 ♀ (paratype) (UNSM); 90 km N Manaus, (2°14'40"S, 60°2'0"O), xi.1997, E. Andresen – 2 ♀♀, 2 ♂♂ (4 paratypes) (FVMC); Benjamin Constant, Rio Javari, (4°22'28"S, 70°1'47"O), iii.1960, Dirings – 3 ♀♀, 3 ♂♂ (6 paratypes) (MZSP); même localité, xi.1962, Dirings – 2 ♀♀, 1 ♂ (paratypes) (MZSP); même localité, xi.1960, Dirings – 1 ♂ (paratype) (MZSP); Borba, Rio Madeira, (4°25'18"S, 59°35'37"O), iii.1943, B. Pohl – 1 ♀ (paratype) (MZSP); Ega [=Tefé], (3°22'S, 64°42'O), [sans date], [anonyme] – 1 ♂ (paratype) (MNHN); Fazenda Esteio, Rd. ZF3 Km 23, (2°24'S, 59°52'O), 5.vii.1985, B. Klein – 2 ♀♀, 22 ♂♂ (24 paratypes) (FSCA); même localité, 6.vii.1985, B. Klein – 12 ♂♂ (12 paratypes) (FSCA); même localité, 7.vii.1985, B. Klein – 3 ♀♀, 8 ♂♂ (11 paratypes) (FSCA); même localité, 8.vii.1985, B. Klein – 1 ♀, 4 ♂♂ (5 paratypes) (FSCA); même localité, 19.vii.1985, B. Klein – 6 ♀♀, 18 ♂♂ (24 paratypes) (CMNC, FSCA); même localité, 20.vii.1985, B. Klein – 4 ♀♀, 8 ♂♂ (12 paratypes) (FSCA); même localité, 22.vii.1985, B. Klein – 4 ♂♂ (4 paratypes) (CMNC, FSCA); Itacoatiara, (3°5'29"S, 58°26'38"O), i.1962, Dirings – 2 ♂♂ (2 paratypes) (MZSP); même localité, xi.1965, Dirings – 1 ♂ (paratype) (MZSP); Manaus, (3°6'48"S, 60°1'31"O), viii.1962, K. Lenko – 1 ♂ (paratype) (MZSP); même localité, 29.xi.1977, B.C. Rat-

cliffe – 1 ♂ (paratype) (UNSM); même localité, 6.xii.1977, B.C. Ratcliffe – 2 ♀♀, 1 ♂ (paratypes) (UNSM); Manes [=Maués], (3°23'22"S, 57°42'29"O), 1880, Hahnel – 2 ♂♂ (2 paratypes) (MNHN); Massanary [= Maçauary], (4°8'S, 57°35'O), [sans date], Hahnel – 1 ♀, 1 ♂ (paratypes) (MNHN); Mata de Borba, Rio Madeira, Municipio Borba, (4°24'41"S, 59°42'47"O), iv.1943, A. Parko – 1 ♂ (paratype) (MZSP); Maués, (3°22'54"S, 57°42'55"O), iv.1940, [anonyme] – 2 ♂♂ (2 paratypes) (MZSP); Reserva Florestal Adolpho Ducke, 26 km NE Manaus, 80 m (2°57'S, 59°57'O), ii.1995, M.G.V. Barbosa – 2 ♂♂ (2 paratypes) (BMNH); même localité, xi.1995, M.G.V. Barbosa – 2 ♂♂ (2 paratypes) (BMNH); même localité, 4-12. iii.1966, W.D. Edmonds – 1 ♀, 1 ♂ (paratypes) (MZSP); même localité, 15.xi.1977, B.C. Ratcliffe – 1 ♂ (paratype) (UNSM); même localité, 31.i.1978, B.C. Ratcliffe – 1 ♀, 5 ♂♂ (6 paratypes) (BCRC, UNSM); même localité, 14.iii.1978, B.C. Ratcliffe – 1 ♂ (paratype) (UNSM); même localité, 1.iv.1978, B.C. Ratcliffe – 3 ♀♀, 3 ♂♂ (6 paratypes) (MLJC); même localité, 18.iv.1978, B.C. Ratcliffe – 6 ♀♀, 7 ♂♂ (13 paratypes) (BCRC, BDGC, UNSM); même localité, 2.v.1978, B.C. Ratcliffe – 2 ♀♀, 5 ♂♂ (7 paratypes) (BCRC, UNSM); Rio Negro, iv.1982, [anonyme] – 2 ♂♂ (2 paratypes) (PAIC); Rio Tucano, Serra da Neblina, 230 m (0°5'N, 66°0'O), 4.xii.1965, E. Dente – 1 ♀ (paratype) (MZSP); São Gabriel [da Cachoeira], Rio Negro, (0°7'40"S, 67°5'0"O), 22.viii.1927, J.F. Zikán – 1 ♀ (paratype) (MZSP); Tapuruquara, Rio Negro, (0°24'47"S, 65°1'47"O), 25-27.xi.1962, J. Bechyné – 1 ♂ (paratype) (IBSP); CEARA, Carquejos, (3°52'S, 40°44'O), iii.1965, Dirings – 1 ♀, 1 ♂ (paratypes) (MZSP); GOIÁS, Campinas [=Campinorte], (14°18'52"S, 49°9'30"O), 1935, [anonyme] – 1 ♂ (paratype) (MZSP); MATO GROSSO, Reserva Humboldt, (10°11'S, 59°48'O), 16-22.iii.1977, B.C. Ratcliffe – 2 ♀♀, 1 ♂ (paratypes) (BCRC, CMNC); PARÁ, Altamira, (3°11'51"S, 52°13'38"O), v.1985, Dégallier – 7 ♂♂ (7 paratypes) (PAIC); Bituba, 180 m (1°11'S, 52°38'O), iii-iv.2005, T.A. Gardner & M.I.M. Hernández – 1 ♀ (paratype) (WDEC); Fazenda Taperinha, prox. Santarém, (2°31'37"S, 54°45'31"O), 1-11.ii.1968, Exp. Perm Amaz. – 1 ♂ (paratype) (MZSP); Itaituba, (4°13'22"S, 55°59'56"O), [sans date], Hahnel – 1 ♀ (paratype) (MNHN); Itaituba, Rio Tapajos, (4°13'22"S, 55°59'56"O), viii.1960, Dirings – 1 ♀ (paratype) (IBSP); Óbidos, (1°54'30"S, 55°31'8"O), i.1960, Dirings – 8 ♀♀, 12 ♂♂ (20 paratypes) (CMNC, MZSP); même localité, iv.1960, Dirings – 4 ♀♀, 5 ♂♂ (9 paratypes) (CMNC, MZSP); même localité, i.1961, Dirings – 4 ♀♀, 5 ♂♂ (9 paratypes) (CMNC, MZSP); même localité, iv.1962, Dirings – 6 ♀♀, 7 ♂♂ (13 paratypes) (CMNC, MZSP); même localité, ii.1960, Dirings – 1 ♀, 1 ♂ (holotype, allotype) (MZSP); même localité, xi.1955, Dirings – 1 ♀ (paratype) (MZSP); même localité, vi.1958, Dirings – 1 ♀ (paratype) (MZSP); même localité, ix.1959, Dirings – 2 ♀♀, 3 ♂♂ (5 paratypes) (MZSP); même localité, viii.1960, Dirings – 1 ♀, 6 ♂♂ (7 paratypes) (MZSP); même localité, xii.1955, Dirings – 1 ♂ (paratype) (MZSP); même localité, i.1956, Dirings – 2 ♂♂ (2 paratypes) (MZSP);

même localité, xii.1957, Dirings – 1 ♂ (paratype) (MZSP); même localité, xii.1959, Dirings – 1 ♂ (paratype) (MZSP); même localité, vii.1962, Dirings – 1 ♂ (paratype) (MZSP); Rio Branco, Municipio Óbidos, 12.xi.1952, P.A. Telles – 1 ♂ (paratype) (MZSP); Rio Paru, (1°21'59"S, 56°4'45"O), vii.1952, J.C.M.C. – 1 ♂ (paratype) (MZSP); Santarém, (2°27'10"S, 54°43'9"O), [sans date], [anonyme] – 7 ♀♀, 9 ♂♂ (16 paratypes) (BMNH, CMNH, UNSM, USNM); même localité, vi.1919, S.M. Klages – 1 ♀, 1 ♂ (paratypes) (CMNH); même localité, vii.1919, S.M. Klages – 1 ♂ (paratype) (CMNH); Santaremsinho, Municipio de Itaituba, Rio Tapajos, (4°13'S, 56°1'O), iii.1961, Dirings – 1 ♀ (paratype) (MZSP); même localité, vi.1961, Dirings – 1 ♀, 3 ♂♂ (4 paratypes) (MZSP); même localité, iv.1961, Dirings – 1 ♂ (paratype) (MZSP); même localité, viii.1961, Dirings – 1 ♂ (paratype) (MZSP); Tapajós, (3°40'20"S, 55°17'53"O), [sans date], [anonyme] – 1 ♀, 3 ♂♂ (4 paratypes) (CNC, MNHN); Taperinha, (2°31'55"S, 54°17'41"O), [sans date], [anonyme] – 1 ♀ (paratype) (CMNH); Tucuruí, Rio Tocantins, (3°48'25"S, 49°39'25"O), viii.1984, N. Dégallier – 1 ♂ (paratype) (PAIC); RONDÔNIA, Fazenda Rancho Grande, 62 km S Ariquemes, (10°18'28"S, 62°52'26"O), 11-22.xi.1991, B.C. Ratcliffe – 3 ♀♀, 9 ♂♂ (12 paratypes) (CMNC, UNSM); même localité, 12-22. xi.1991, L.G. Bezark & D.E. Russell – 1 ♂ (paratype) (BDGC); near Fazenda Rancho Grande, 62 km SW Ariquemes, (10°32'S, 62°48'O), 6-15.xii.1990, D.A. Rider & J.E. Eger – 2 ♂♂ (2 paratypes) (EGRC); même localité, 8-20.xi.1994, J.E. Eger & L.B. & C.W. O'Brien – 2 ♀♀, 1 ♂ (paratypes) (FSCA); même localité, 8-20. xi.1994, J.E. Eger – 3 ♂♂ (3 paratypes) (FSCA); même localité, 3-15.xii.1996, J.E. Eger – 2 ♀♀, 1 ♂ (paratypes) (FSCA); même localité, 20-31.x.1997, B.K. Dozier – 1 ♀ (paratype) (FSCA); Pimenta Bueno, (11°39'57"S, 61°12'25"O), xi.1960, M. Alvarenga – 1 ♂ (paratype) (MZSP); Pôrto Velho, Rio Madeira, (8°46'S, 63°54'O), [sans date], Stanford Exped. – 1 ♂ (paratype) (BMNH); Vilhena, (12°46'16"S, 60°8'52"O), xi.1987, P. Magno – 1 ♀, 2 ♂♂ (3 paratypes) (MNRJ); RORAIMA, Cantá, (2°36'41"N, 60°36'11"O), ix.1997, Ribeiro & Vaz-de-Mello – 1 ♂ (paratype) (FVMC); Caracaraí, (1°49'13"N, 61°7'57"O), vii.1997, F. Z. Vaz de Mello – 3 ♂♂ (3 paratypes) (FVMC); Colônia do Apiaú, (2°25'N, 60°55'O), vii.1997, F. Z. Vaz de Mello – 2 ♂♂ (2 paratypes) (FVMC); **ÉQUATEUR** : Chimborazo – Pichincha, 1853, Mandeville – 1 ♂ (paratype) (MNHN); **GUYANA** : UPPER DEMERARA-BERBICE, kurupukari, (4°40'N, 58°40'O), iv-xi.1992, [anonyme] – 1 ♂ (paratype) (BMNH); **VENEZUELA** : AMAZONAS, La Esmeralda, Alto Orinoco, (3°10'26"N, 65°32'48"O), 24.vii.1951, Exp. Fco. Ven. – 1 ♂ (paratype) (USNM); Puerto Ayacucho, (5°39'33"N, 67°37'12"O), v.2000, [anonyme] – 1 ♂ (paratype) (WDEC); Atures, 40 km SE Puerto Ayacucho, El Tobogon de la Selva, (5°32'8"N, 67°21'56"O), 18-26.i.1989, C.B. Barr – 2 ♀♀, 2 ♂♂ (4 paratypes) (USNM); Río Negro, Río Baria, 140 m (0°56'N, 66°10'O), 4-11.ii.1984, L. J. Joly & A. Chacón – 1 ♂ (paratype) (MIZA).

CONDITION DE CAPTURE. Capturé autant au piège à fosse appâté avec des excréments que de la charogne de mammifère pour les rares spécimens ayant des données. Trois spécimens capturés à l'aide de charogne de poisson.

HABITAT. Forêt primaire du centre et de l'ouest du bassin de l'Amazone et du sud du bouclier guyanais. Les trois spécimens de la province biogéographique du cerrado sont certainement des erreurs d'étiquetage.

PHÉNOLOGIE. Spécimens capturés toute l'année.

REMARQUES. En plus des caractères donnés dans la clé, cette espèce diffère d'*E. cavatus* sp. nov., *E. cambeforti* sp. nov. et *E. fallaciosus* sp. nov. par les soies du disque des élytres qui sont plus foncées, la surface du pronotum qui est presque simplement convexe et par les tarses qui sont plus robustes. On exclut de la série typique une femelle capturée à Juinà (Mato Grosso). Cette dernière diffère notamment des femelles typiques de cette espèce par l'échancrure médiane du clypéus qui est plus large et par les carènes du proépisternum qui sont plus éloignées l'une de l'autre à l'avant. Le mâle étiqueté d'Équateur (MNHN) est bien un *E. atrosericus*, mais la présence de cette espèce en Équateur reste à confirmer.

Eurysternus cavatus Génier sp. nov.

(Figs. 27, 95, 112, 198)

ÉTYMOLOGIE. *Cavatus* (creusé, évidé) est un adjectif latin se rapportant à l'aspect du proépisternum de cette espèce.

DESCRIPTION. **Longueur**. 5,0-6,5 mm. **Couleur**. Brun rougeâtre à brun foncé. **Tête**. Semblable chez le mâle et la femelle; arête antérieure de la tête trapézoïdale en vue dorsale, troncature médiane régulièrement arrondie vers le bas, occupant environ le tiers de la largeur de la tête et flanquée de deux petites dents, ces dents plus fortes chez les femelles; yeux à peine visibles sur le dessus; joues fortement déprimées un peu en avant des yeux; surface de la tête couverte de points ocellés variables en diamètre et irrégulièrement répartis, ces points devenant simples, petits et mal définis sur le quart antérieur, chaque point muni d'une soie même à l'avant; massue antennaire jaunâtre à brune. **Pronotum**. Arêtes latérales presque parallèles; angles antérieurs arrondis ou brièvement tronqués, la carène supérieure fusionnée avec la carène inférieure; surface irrégulière, munie d'un sillon longitudinal médian sur presque toute la longueur, le sillon médian flanqué de deux dépressions sur le tiers postérieur, région des angles antérieurs concave, surface densément couverte

de points ocellés, les points confluents et un peu plus petits par endroits, la microsculpture en forme de réseau entre les points, les soies brunes et peu squameuses, un peu plus pâles sur l'arête de l'angle antérieur, en majorités longues et recourbées sur le disque. **Élytres**. Arêtes latérales un peu arquées, presque parallèles; carène humérale courte; stries fortes et larges, munies d'une fine carène lustrée au milieu sur toute la longueur; interstries recouverts d'une forte microsculpture en réseau transverse, interstries impairs munis d'une rangée de longues soies espacées brun foncé et un peu squameuses, peu recourbées à l'apex; troisième interstrie muni d'un petit tubercule à l'apex; tubercule apical, interstrie juxtasutural et troisième interstrie munis d'une touffe de longues soies claires sur la moitié distale. **Sternites thoraciques**. Carènes du proépisternum presque fusionnées sur la moitié interne, carène postérieure fortement sinuée sur la moitié externe, proépisternum profondément creusé à l'arrière de la carène postérieure; prosternum possédant quelques courtes soies claires sur le disque derrière les hanches antérieures, la marge postérieure munie d'une rangée de longues soies testacées espacées; lobe médian du métasternum faiblement convexe, le milieu présentant une fovéole, milieu de la région postérieure munie d'un petit tubercule triangulaire chez la femelle; surface assez régulièrement couverte de grands points ocellés, les points plus petits et confluents dans la fovéole médiane, chaque point muni d'une assez longue soie claire, les soies plus longues de chaque côté vers l'avant, celles des points de la fovéole très courtes; la surface entre les points recouverte d'une forte microsculpture en réseau. **Pattes**. Fémur antérieur convexe, sans carène; tibia antérieur mâle grêle, arête latérale recourbée vers le bas sur la moitié basale, finement dentelée et plus basse que la face ventrale, munie de trois petites dents sur le tiers distal, la dent médiane plus petite que les deux autres, l'angle apical interne fortement recourbé vers le bas et formant une assez longue dent triangulaire, cette dent flanquée d'un petit lobe muni d'une petite brosse de soies à l'avant; tibia antérieur femelle grêle, non modifié; fémur postérieur mâle simplement convexe; surface ventrale couverte de gros points ocellés semblables à ceux du métasternum; arête postéroventrale nette et tranchante sur toute la longueur, munie d'une rangée de soies espacées semblables à celles de la face ventrale; arête postérodorsale nette, tranchante, munie d'une rangée de soies espacées un peu plus courtes, dressées et jaunâtres; tibia postérieur mâle presque droit en vue latérale; arête interne avec une seule rangée de courtes soies claires presque contiguë sur la moitié médiane, ces soies devenant plus espacées, fortes et foncées sur le quart distal, quelques soies très longues, espacées et claires sur le quart basal; carène ventrolatérale réduite à une série de tubercules, microsculpture semblable à celle du reste de la surface, interrompue par une rangée de grosses soies sur toute la longueur; fémur postérieur femelle semblable à celui des mâles; tibia postérieur femelle presque rectiligne en vue latérale; arête interne non modifiée; carène ventrolatérale fine, un peu plus lustrée sur la moitié distale,

interrompue par une rangée de soies claires située sur la carène, ces soies sont plus foncées et situées à peine vers l'extérieur sur la moitié distale. **Abdomen**. Segment 3 étroitement tronqué antérieurement entre les hanches postérieures; segments 4 à 7 faiblement convexes, présentant deux rangées de points ocellés sur la région antérieure, la rangée juxtasuturale composée de points plus petits, munis chacun d'une très courte soie; segment 8 couvert de soies semblables à celles du reste de la surface; région postérieure du segment plus ou moins bien délimitée latéralement par une fine carène, surface glabre, tégument seulement couvert d'une forte microsculpture en réseau; pygidium couvert de quelques grandes soies droites entremêlées de soies plus courtes.

Holotype ♂ (CMNC) : BRÉSIL : PARÁ, Tucuruí, 3°42'N 49°44'W, iv.1988 / HOLOTYPE ♂, *Eurysternus cavatus* sp. nov., F. Génier. Édéage extrait.

Allotype ♀ (CMNC) : Mêmes données que l'holotype.

MATÉRIEL EXAMINÉ. Répartition géographique Fig. 198; 35 ex. : **BRÉSIL** : PARÁ, Carajás, (2°56'55"S, 51°51'17"O), xi.1987, [anonyme] – 1 ♂ (paratype) (PAIC); même localité, 29.iii.-6.iv.1989, [anonyme] – 1 ♂ (paratype) (PAIC); Carajás, Serra Norte, (2°57'S, 51°52'O), 2.xii.1987, N. Dégallier – 1 ♀, 3 ♂♂ (4 paratypes) (PAIC); Estação de pesquisas Pinkaití, Area Indigena Kayapo, Redenção, (7°46'S, 51°58'O), xi.1999, P.Y. Scheffler – 1 ♂ (paratype) (FVMC); IPEAN [=Instituto de Pesquisas e Experimentação Agropecuárias do Norte], Belem, (1°26'32"S, 48°25'59"O), v.1985, [anonyme] – 1 ♀ (paratype) (PAIC); Tucuruí, (3°46'26"S, 49°41'19"O), iv.1988, [anonyme] – 16 ♀♀, 9 ♂♂ (holotype, 23 paratypes) (CMNC, PAIC); même localité, 22-28.x.1983, [anonyme] – 1 ♀ (paratype) (PAIC); même localité, 1-15.x.1987, N. Dégallier – 1 ♂ (paratype) (PAIC).

CONDITION DE CAPTURE. Aucune donnée à l'exception du spécimen capturé au piège à interception de vol.

HABITAT. Aucune donnée, mais la répartition semble correspondre à la forêt de la province Tapajos-Xingu du centre-nord du Brésil.

PHÉNOLOGIE. Spécimens capturés en mars, avril, mai, octobre, novembre et décembre.

REMARQUES. La configuration de la région des angles antérieurs du pronotum est variable chez cette espèce. L'arête latérale varie de simplement arquée à plus ou moins profondément émarginée avant l'angle antérieur.

Eurysternus cambeforti Génier sp. nov.
(Fig. 199)

ÉTYMOLOGIE. *Cambeforti* (de Cambefort) est un patronyme en hommage à Yves Cambefort, éminent spécialiste des Scarabaeidae. Le professeur Cambefort m'a aimablement communiqué les types indispensables à cette étude. Il a su me guider dans les dédales du Muséum national d'Histoire naturelle de Paris lors de mes diverses visites et m'a toujours prodigué de judicieux conseils.

DESCRIPTION. **Longueur**. 5,5-7,0 mm. **Couleur**. Brun rougeâtre à brun foncé. **Tête**. Semblable chez le mâle et la femelle; arête antérieure de la tête trapézoïdale en vue dorsale, troncature médiane régulièrement arrondie vers le bas, occupant environ le tiers de la largeur de la tête et flanquée de deux très petites dents obtuses, ces dents plus fortes chez les femelles; yeux à peine visibles sur le dessus; joues fortement déprimées un peu en avant des yeux; surface de la tête couverte de points ocellés variables en diamètre et irrégulièrement répartis, ces points devenant simples, petits et mal définis sur le quart antérieur, chaque point muni d'une soie même à l'avant; massue antennaire brun rougeâtre à brune. **Pronotum**. Arêtes latérales un peu divergentes vers l'avant; arête antérieure arrondie ou brièvement tronquée avant l'angle antérieur, la carène supérieure fusionnée avec la carène inférieure; surface irrégulière, munie d'un sillon longitudinal médian mal défini sur la moitié postérieure, ce sillon flanqué de deux dépressions sur le tiers postérieur, région des angles antérieurs concave, surface densément couverte de points ocellés, les points confluents et un peu plus petits par endroits, la microsculpture en forme de réseau entre les points, les soies brunes et peu squameuses, un peu plus pâles sur l'arête de l'angle antérieur, en majorités longues et recourbées sur le disque. **Élytres**. Arêtes latérales un peu arquées, presque parallèles; carène humérale courte; stries fortes et larges, munies sur toute la longueur d'une fine carène lustrée au milieu; interstries recouverts d'une forte microsculpture en réseau transverse, interstries impairs munis d'une rangée de longues soies brun foncé espacées, un peu squameuses, peu recourbées à l'apex; troisième interstrie muni d'un petit tubercule mal défini à l'apex; tubercule apical, interstrie juxtasutural et troisième interstrie munis d'une touffe de longues soies un peu plus claires que celles du reste de la surface. **Sternites thoraciques**. Carènes du proépisternum presque fusionnées sur la moitié interne, carène postérieure à peine sinuée sur la moitié externe, proépisternum sillonné à l'arrière de la carène postérieure; prosternum possédant quelques courtes soies claires sur le disque derrière les hanches antérieures, la marge postérieure munie d'une rangée de longues soies testacées espacées; lobe médian du métasternum faiblement convexe, présentant une fovéole en son milieu, région postérieure femelle munie d'un petit tubercule triangulaire

au milieu; surface assez régulièrement couverte de grands points ocellés, les points plus petits et confluents dans la fovéole médiane, chaque point muni d'une assez longue soie claire, les soies plus longues et un peu plus foncées de chaque côté vers l'avant, soies des points de la fovéole très courtes; la surface entre les points recouverte d'une forte microsculpture en réseau. **Pattes**. Fémur antérieur convexe sur la région médiane, presque plat sur la moitié antérieure basale qui est assez dilatée, sans carène; tibia antérieur mâle grêle, arête latérale recourbée vers le bas sur la moitié basale, finement dentelée et plus basse que la face ventrale, munie de trois petites dents sur le tiers distal, la dent médiane plus petite que les deux autres, l'angle apical interne fortement recourbé vers le bas et formant une assez longue dent triangulaire, cette dent flanquée d'un petit lobe muni d'une petite brosse de soies à l'avant; tibia antérieur femelle grêle, non modifié; fémur postérieur mâle simplement convexe; surface ventrale couverte de gros points ocellés semblables à ceux du métasternum, ces points sont plus petits et moins bien définis chez certains individus; arête postéroventrale nette et tranchante sur toute la longueur, munie d'une rangée de soies espacées semblables à celles de la face ventrale; arête postérodorsale nette, tranchante, munie d'une rangée de soies espacées un peu plus courtes, dressées et jaunâtres; tibia postérieur mâle presque droit en vue latérale; arête interne possédant une seule rangée presque contiguë de courtes soies claires sur la moitié médiane, ces soies devenant plus espacées, fortes et foncées sur le quart distal, quelques soies très longues, espacées et claires sur le quart basal; carène ventrolatérale réduite à une série de tubercules, interrompue par une rangée de grosses soies sur toute la longueur, microsculpture semblable à celle du reste de la surface; fémur postérieur femelle semblable à celui des mâles; tibia postérieur femelle presque rectiligne en vue latérale, arête interne non modifiée, carène ventrolatérale semblable à celle des mâles, interrompue par une rangée de soies claires située sur la carène, ces soies plus foncées et situées à peine vers l'extérieur sur la moitié distale. **Abdomen**. Segment 3 étroitement tronqué antérieurement entre les hanches postérieures; segments 4 à 7 faiblement convexes, présentant deux rangées de points ocellés sur la région antérieure, la rangée juxtasuturale composée de points plus petits, munis chacun d'une très courte soie; segment 8 couvert de soies semblables à celles du reste de la surface; région postérieure du segment plus ou moins bien délimitée latéralement par une fine carène, surface glabre, tégument seulement couvert d'une forte microsculpture en réseau; pygidium couvert de quelques grandes soies droites entremêlées de soies plus courtes.

Holotype ♂ (CMNC) : FRENCH GUIANA : Saül (7km N), Les Eaux Claires, 220m, 3°39'46"N 53°13'19"W, 31.v-3.vi.1997, J. Ashe & R. Brooks, FG1AB97, #123, *ex.* : f.i.t. / HOLOTYPE ♂, *Eurysternus cambeforti* sp. nov., F. Génier. Édéage et sac interne extraits.

Allotype ♀ (CMNC) : FRENCH GUIANA : Saül (7km N), 3km NW Les Eaux Claires, Mt. La Fumée, 490m, 3°39'46"N 53°13'19"W, 1-8.vi.1997, J. Ashe & R. Brooks, FG1AB97, #162, *ex.* : f.i.t. / ALLOTYPE ♀, *Eurysternus cambeforti* sp. nov., F. Génier.

MATÉRIEL EXAMINÉ. Répartition géographique Fig. 199; 22 ex. : **GUYANE FRANÇAISE** : CAYENNE, 39.4 km SSE Roura, 270 m (4°32'43"N, 52°8'26"O), 25-29.v.1997, J. Ashe & R. Brooks (1997-76) – 1 ♀ (paratype) (CMNC); Crique Plomb, (4°47'N, 52°47'O), 24-25.ix.1992, D.C. Carlton, F.T. Hovore, P.H. Sullivan – 1 ♀ (paratype) (BDGC); PK 2, Piste de Coralie, (4°31'N, 52°21'O), 29.ix.1992, D.C. Carlson, F.T. Hovore & P.H. Sullivan – 1 ♀ (paratype) (BDGC); SAINT-LAURENT-DU-MARONI, Les Eaux Claires, 7 km N Saül, 220 m (3°39'46"N, 53°13'19"O), 31.v.-3.vi.1997, J. Ashe & R. Brooks (1997-123) – 1 ♂ (holotype) (CMNC); Mont La Fumée, 3 km NW Les Eaux Claires, 7 km N Saül, 490 m (3°39'46"N, 53°13'19"O), 1-8.vi.1997, J. Ashe & R. Brooks (1997-162) – 1 ♀ allotype (CMNC); Saül, (3°37'N, 53°12'O), vii.1979, P. Arnaud – 8 ♀♀, 2 ♂♂ (10 paratypes) (PAIC); Station Nouragues, (4°3'N, 53°42'O), 4.xii.1995, [anonyme] – 1 ♀, 4 ♂♂ (5 paratypes) (MNHN); **SURINAME** : BROKOPONDO, Brownsberg Natuurpark, 440 m (4°56'55"N, 55°10'53"O), 25.vi.1999, Z. Falin (FIT121) – 1 ♂ (paratype) (CMNC); COMMEWIJNE, Akintosoel, CELOS camp, road to Redi Doli, 50 m (5°16'17"N, 54°55'15"O), 3.vii.1999, Z. Falin – 1 ♀ (paratype) (CMNC).

CONDITION DE CAPTURE. Quatre spécimens capturés au piège à interception et deux autres au piège à excréments.

HABITAT. Forêt humide de la province guyanaise humide.

PHÉNOLOGIE. Spécimens capturés en mai, juin, juillet, septembre et décembre.

REMARQUES. On exclut de la série typique un mâle provenant de Saül (Mt. La Fumée). Cet exemplaire mâle présente un clypéus bidenté semblable à celui des femelles et, en outre, une ponctuation céphalique et pronotale plus espacée. Les paramères de cet exemplaire sont cependant identiques à ceux de l'holotype.

Eurysternus fallaciosus Génier sp. nov.

(Fig. 200)

ÉTYMOLOGIE. *Fallaciosus* (trompeur) est un adjectif latin relatant la grande similarité de cette espèce avec les espèces *E. cavatus* sp. nov. et *E. cambeforti* sp. nov.

DESCRIPTION. **Longueur**. 6,0-6,5 mm. **Couleur**. Brun foncé à noir. **Tête**. Semblable chez le mâle et la femelle; arête antérieure de la tête trapézoïdale en vue dorsale, troncature médiane régulièrement arrondie vers le bas, occupant environ le tiers de la largeur de la tête et flanquée de deux petites dents obtuses, ces dents plus fortes chez les femelles; yeux à peine visibles sur le dessus; joues modérément déprimées un peu en avant des yeux; surface de la tête couverte de points ocellés variables en diamètre et irrégulièrement répartis, ces points devenant simples, petits et mal définis sur le quart antérieur, chaque point muni d'une soie même à l'avant; massue antennaire testacée à brun. **Pronotum**. Arêtes latérales un peu divergentes vers l'avant; angles antérieurs arrondis chez les mâles, munis d'un petit lobe recourbé vers le haut chez les femelles, l'arête antérieure lustrée et présentant des reflets métalliques cuivrés; chez les femelles, l'arête supérieure proche, mais non fusionnée à l'arête inférieure; surface irrégulière, munie d'un sillon longitudinal médian mal défini sur la moitié postérieure, le sillon médian flanqué de deux dépressions sur le tiers postérieur, région des angles antérieurs concave, surface densément couverte de points ocellés confluents et un peu plus petits par endroits, la microsculpture en forme de réseau entre les points, les soies brunes et peu squameuses, un peu plus pâles sur l'arête de l'angle antérieur, en majorité longues et légèrement recourbées sur le disque. **Élytres**. Arêtes latérales un peu arquées, presque parallèles; carène humérale courte; stries fortes et larges, munies sur toute la longueur d'une fine carène lustrée au milieu; interstries recouverts d'une forte microsculpture en réseau transverse, interstries impairs munis d'une rangée de longues soies espacées brun foncé, un peu squameuses, peu recourbées à l'apex; troisième interstrie muni d'un petit tubercule mal défini à l'apex; tubercule apical, interstrie juxtasutural et troisième interstrie munis d'une touffe de longues soies un peu plus claires que celles du reste de la surface. **Sternites thoraciques**. Carènes du proépisternum bien séparées sur la moitié interne, carène postérieure largement arquée dans son ensemble, l'arête peu éloignée de la surface adjacente du proépisternum, ne présentant pas de sillon ou dépression bien marqués; prosternum possédant quelques soies testacées sur le disque derrière les hanches antérieures, la marge postérieure munie d'une rangée de longues soies testacées espacées; lobe médian du métasternum faiblement convexe, avec une fovéole en son milieu, région postérieure femelle munie au milieu d'un assez gros et long tubercule triangulaire; surface assez régulièrement couverte de grands points ocellés, plus petits et confluents dans la fovéole médiane, chaque point muni d'une soie testacée, les soies plus longues et un peu plus foncées de chaque côté vers l'avant, les soies des points de la fovéole très courtes; la surface entre les points recouverte d'une forte microsculpture en réseau. **Pattes**. Fémur antérieur convexe sur la région médiane, presque plat sur la moitié antérieure basale qui est peu dilatée, sans carène; tibia antérieur mâle grêle, arête latérale

recourbée vers le bas sur la moitié basale, finement dentelée et plus basse que la face ventrale, munie de trois petites dents sur le tiers distal, la dent médiane plus petite que les deux autres, l'angle apical interne fortement recourbé vers le bas et formant une assez longue dent triangulaire, cette dent flanquée d'un petit lobe muni d'une petite brosse de soies à l'avant; tibia antérieur femelle grêle, non modifié; fémur postérieur mâle simplement convexe; surface ventrale couverte de gros points ocellés semblables à ceux du métasternum; arête postéroventrale estompée sur toute la longueur, munie d'une rangée de soies espacée semblables à celles de la face ventrale; arête postérodorsale nette, tranchante, munie d'une rangée de soies espacées un peu plus courtes, dressées et jaunâtres; tibia postérieur mâle droit en vue latérale; arête interne possédant une seule rangée contiguë de soies claires sur la moitié médiane, ces soies devenant plus espacées, fortes et foncées sur le quart distal, quelques soies très longues, espacées et claires sur le quart basal; carène ventrolatérale réduite à une série de tubercules, microsculpture semblable à celle du reste de la surface, interrompue par une rangée de grosses soies sur toute la longueur; fémur postérieur femelle semblable à celui des mâles; tibia postérieur femelle presque rectiligne en vue latérale; arête interne non modifiée; carène ventrolatérale semblable à celle des mâles, interrompue par une rangée de soies claires qui est située sur la carène, ces soies sont plus foncées et situées à peine vers l'extérieur sur la moitié distale. **Abdomen**. Segment 3 assez largement tronqué antérieurement entre les hanches postérieures; segments 4 à 7 faiblement convexes, présentant deux rangées de points ocellés sur la région antérieure, la rangée juxtasuturale composée de points plus petits, munis chacun d'une très courte soie; segment 8 couvert de soies semblables à celles du reste de la surface; région postérieure du segment plus ou moins bien délimitée latéralement par une fine carène, surface glabre, tégument seulement couvert d'une forte microsculpture en réseau; pygidium couvert de quelques grandes soies droites entremêlées de soies plus courtes.

Holotype ♂ (MNHN) : Bragance (Para), M. de Mathan / HOLOTYPE ♂, *Eurysternus fallaciosus* sp. nov., F. Génier. Édéage et sac interne extrait.

Allotype ♀ (MNHN) : Mêmes données que l'holotype.

MATÉRIEL EXAMINÉ. Répartition géographique Fig. 200; 4 ex. : **BRÉSIL** : MARANHÃO, Igarapé Gurupí-Uma, Aldeia Araçu, 50 km E Canindé, (2°33'36"S, 46°28'48"O), v.1963, Malkin – 2 ♂♂ (2 paratypes) (MZSP); PARÁ, Bragança, (1°2'6"S, 46°45'47"O), [sans date], M. de Mathan – 1 ♀, 1 ♂ (holotype, allotype) (MNHN).

CONDITION DE CAPTURE. Aucune donnée.

HABITAT. Forêt amazonienne de l'est du Brésil, dans la province biogéographique du Pará.

PHÉNOLOGIE. Spécimens capturés en mai.

REMARQUES. 1) La seule femelle connue de cette espèce présente une pubescence plus courte et une ponctuation plus éparse que chez les mâles. Tous les autres caractères concordent bien avec ceux des mâles et il semble que cet exemplaire femelle ait été capturé en même temps que l'holotype mâle de même provenance.
2) Les femelles d'*E. fallaciosus* diffèrent des femelles d'*E. cavatus* et d'*E. cambeforti* par la configuration du lobe médian du métasternum, qui présente un tubercule triangulaire plus développé et lisse, et par le disque, qui ne possède pas de carènes longitudinales obliques distinctes.

GROUPE CALLIGRAMMUS

DIAGNOSE. Taille moyenne à assez grande (9,5-15,0 mm). Corps et pattes brun foncé à noir, présentant habituellement des reflets métalliques bleus, verts et quelquefois cuivrés, violacés ou rougeâtres par endroits. Yeux semi-circulaires et peu visibles sur le dessus. Menton profondément échancré et formant deux lobes longitudinaux et orientés vers le bas, la face ventrale de cette échancrure en partie recouverte d'une fine pubescence claire couchée. Pronotum à ponctuation ocellée assez uniforme, plus grosse et confluente chez *E. arnaudi* et *E. balachowskyi* ou plus petite et écartée chez *E. calligrammus* et *E. cyanescens*; soies peu squamiformes, de longueur uniforme; arête latérale munie d'une fine carène tranchante sur toute la longueur. Élytres à pubescence courte, foncée et espacée sur le disque; carène du pseudépipleure fortement saillante vers le haut et tranchante au milieu. Sternite abdominal 3 tronqué antérieurement entre les hanches. Tarse du tibia antérieur présent. Hanche postérieure unicolore. Éperon du tibia postérieur mâle soudé. Fémur postérieur femelle muni d'un tubercule ou d'un assez long denticule (mutique chez *E. arnaudi*). Paramères munis de fines soies claires du côté interne de la région distale.

Eurysternus arnaudi Génier sp. nov.
(Figs. 11, 201)

ÉTYMOLOGIE. *Arnaudi* (de Arnaud) est un patronyme en hommage à mon indéfectible ami Patrick Arnaud, scarabéidologue enthousiaste et chasseur téméraire de scarabées tropicaux.

DESCRIPTION. **Longueur**. 10,0-11,0 mm. **Couleur**. Brun foncé à noir présentant des reflets métalliques modérés bleus, verts et quelquefois rougeâtres par endroits. **Tête**. Semblable chez le mâle et la femelle; arête antérieure semi-circulaire en vue dorsale, le milieu sinueusement arrondi vers le bas; yeux à peine visibles sur le dessus; joues faiblement déprimées un peu en avant des yeux; surface à ponctuation ocellée légèrement variable en diamètre et assez régulièrement répartie, les points devenant simples, plus petits et mal définis sur la moitié antérieure, sauf sur une étroite bande adjacente à l'arête antérieure, où ils sont plus denses, chaque point muni d'une soie même à l'avant; massue antennaire testacée à brune. **Pronotum**. Arêtes latérales divergentes vers l'avant; angles antérieurs obtus, un peu plus arrondis chez les mâles; angle latéral arrondi; carènes de l'arête latérale interrompue sur une courte distance avant la marge postérieure; surface assez régulièrement convexe, munie d'un sillon longitudinal médian mal défini sur la moitié postérieure, le sillon médian flanqué de deux très faibles dépressions sur le tiers postérieur; région des angles antérieurs concaves, surface densément couverte de gros points ocellés confluents, les points plus petits et écartés au milieu à l'avant, chaque point muni d'une courte soie dressée brun foncé, squameuse sur les déclivités latérales et à l'arrière, les soies devenant longues et peu squameuses au milieu à l'avant; soies de l'arête latérale contiguës, brunes et plus longues sur l'angle latéral; microsculpture entre les points, en forme de réseau mal défini sur les déclivités latérales et sur une étroite bande à l'arrière, cette microsculpture devenant alvéolée non confluent sur le disque. **Élytres**. Arête latérale largement arquée; huitième interstrie plat après le calus huméral; stries fortes et larges, délimitées de chaque côté par une assez large surface lustrée, munies au milieu sur toute la longueur d'une fine carène lustrée; troisième interstrie beaucoup plus étroit que le quatrième sur le tiers médian; interstries recouverts d'une microsculpture alvéolée confluente, pourvus de chaque côté d'une rangée de soies noirâtres, peu squameuses et dressées; troisième interstrie sans petit tubercule à l'apex; calus apical, troisième interstrie et interstries suturaux munis de quelques soies un peu plus longues que celles du reste de la surface. **Sternites thoraciques**. Carène proépisternale presque droite et rejoignant l'arête latérale bien avant l'angle antérieur; prosternum longitudinalement tectiforme, distinctement et assez largement marginé postérieurement, surface recouverte d'une ponctuation ocellée

confluente au milieu, chaque point muni d'une courte soie testacée; surface entre les points recouverte d'une forte microsculpture; arête postérieure munie d'une rangée de soies claires et très fines; lobe médian du métasternum convexe dans son ensemble, le milieu avec un étroit sillon longitudinal mal défini, la région adjacente aux hanches médianes déprimée, surface à ponctuation fine et estompée au milieu devenant forte, ocellée et confluente le long des hanches médianes, chaque point muni d'une courte soie claire, ces soies à peu près identiques en longueur sur toute la surface, surface entre les points présentant une microsculpture alvéolée sur le disque, cette microsculpture prend l'aspect d'un réseau le long des hanches médianes. **Pattes**. Fémur antérieur modérément convexe dans son ensemble, presque plat sur la moitié antérieure, surface à grosse ponctuation ocellée au milieu, devenant plus petite et écartée vers l'avant et petite, écartée et râpeuse vers l'arrière, muni d'une petite carène longitudinale sur la moitié distale; tibia antérieur mâle médiocrement robuste, arête latérale munie de trois dents sur la moitié distale, la dent apicale plus grosse que les deux autres, l'arête apicale recourbée perpendiculairement vers le bas et formant une assez longue dent triangulaire, cette dent garnie d'une brosse de soies sur l'arête et sur le milieu de la face antérieure; tibia antérieur femelle médiocrement robuste, non modifié; fémur postérieur montrant peu de dimorphisme sexuel, aplati sur la moitié antérieure et sur la région distale de la moitié postérieure, surface ventrale à ponctuation ocellée et écartée sur la déclivité postérieure, devenant simple et confluente au milieu, puis râpeuse et écartée sur la déclivité antérieure, surface entre les points lustrée sur le disque, arête postéroventrale bien nette sur toute la longueur, munie d'une rangée espacée de courtes soies squamiformes testacées sur la moitié basale, arête postérodorsale nette, tranchante, munie de quelques très petites soies espacées; tibia postérieur montrant peu de dimorphisme sexuel, presque droit en vue latérale, arête interne munie de deux rangées de longues soies non contiguës, régulièrement espacées et disposées de chaque côté de la série de petits tubercules, ces soies devenant un peu plus courtes, obliques et spiniformes vers l'apex, carène ventrolatérale fine et lustrée, interrompue par les soies sur le tiers basal. **Abdomen**. Segment 3 tronqué antérieurement entre les hanches postérieures. Segments 4 à 7 plats; garnis de points ocellés non alignés et de taille variable sur la région antérieure, les soies des points de taille assez uniforme; région adjacente à l'élytre munie de quelques grosses soies spiniformes noirâtres. Segment 8 à ponctuation ocellée assez dense au milieu et sur la région basale, les soies des points plus longues que celles des autres segments, région postérieure délimitée par une carène lustrée latéralement, cette carène flanquée d'une rangée de soies spiniformes noirâtres; pygidium à ponctuation ocellée variable en taille et irrégulièrement répartie, chaque point muni d'une soie droite noirâtre proportionnelle en taille à la grosseur du point.

Holotype ♂ (UNSM) : BRASIL : Mato Grosso, Reserva Humboldt, 10°11'S 59°48'W, 13-19.vii.1977, B.C. Ratcliffe / HOLOTYPE ♂, *Eurysternus arnaudi* sp. nov., F. Génier. Édéage et sac interne de l'édéage extraits.

Allotype ♀ (UNSM) : Mêmes données que l'holotype excepté : 16-22.vii.1977.

MATÉRIEL EXAMINÉ. Répartition géographique Fig. 201; 28. ex. : **BRÉSIL** : ACRE, Fazenda Catuaba, Rio Branco, (10°4'S, 67°37'O), ii.1997, F. Z. Vaz de Mello – 3 ♀♀, 4 ♂♂ (7 paratypes) (FVMC); AMAZONAS, Borba, Rio Madeira, (4°25'18"S, 59°35'37"O), iv.1944, Parko – 1 ♂ (paratype) (CMNC); Km 275, BR319, (4°26'S, 61°1'O), 18-20.v.1978, B.C. Ratcliffe – 1 ♂ (paratype) (UNSM); Manes [=Maués], (3°23'22"S, 57°42'29"O), 1880, Hahnel – 2 ♀♀ (2 paratypes) (MNHN); Massanary [= Maçauary], (4°8'S, 57°35'O), [sans date], Hahnel – 1 ♀ (paratype) (MNHN); Maués, (3°22'54"S, 57°42'55"O), iv.1940, [anonyme] – 1 ♀, 4 ♂♂ (5 paratypes) (IBSP, MZSP); MATO GROSSO, Reserva Humboldt, (10°11'S, 59°48'O), 16-22.iii.1977, B.C. Ratcliffe – 3 ♀♀, 2 ♂♂ (holotype, 4 paratypes) (BCRC, CMNC, UNSM); même localité, 13-19.vii.1978, B.C. Ratcliffe – 1 ♀ allotype (BCRC); PARÁ, Itaituba, (4°13'22"S, 55°59'56"O), [sans date], Hahnel – 1 ♂ (paratype) (MNHN); Villa Braga, (4°24'26"S, 56°18'32"O), xii.1919, [anonyme] – 1 ♀ (paratype) (CMNH); RONDÔNIA, Pôrto Velho, (8°45'43"S, 63°54'7"O), xii.1977, E. Lima – 1 ♀ (paratype) (MNRJ); même localité, iv.1944, Pohl – 1 ♂ (paratype) (MZSP); Via Rondônia (378 km S de Porto Velho), (11°9'35"S, 61°54'8"O), 25.i.1961-9.ii.1969, Pereira & Machado – 1 ♀ (paratype) (BCRC).

CONDITION DE CAPTURE. Aucune donnée rattachée aux spécimens examinés. Dans des pièges à fosses appâtés avec des excréments humains (Vaz de Mello, comm. pers.).

HABITAT. Aucune donnée, mais d'après la répartition, il s'agit d'une espèce de forêt amazonienne.

PHÉNOLOGIE. Spécimens capturés en février, mars, avril, juillet et décembre.

REMARQUES. Il s'agit de l'espèce *E. malaisei* Navajas resté *in litteris*.

Eurysternus balachowskyi Halffter & Halffter, 1977
(Figs. 55, 63, 113, 115-118, 202)

Eurysternus balachowskyi Halffter & Halffter
1977 Halffter & Halffter, *Folia Ent. Mex.* 37 : 65
1980 Halffter et al., *Quaest. Ent.* : 613 (biologie)
1982 Halffter & Edmonds, *Nest. Behav. Dung Beetl.* 10 : 46 (biologie)
2003 Huerta et al., *Acta Zool. Mex. (n.s.)* 88 : 15 (biologie)

Eurysternus balthasari Martínez [**nouvelle synonymie**]
1988 Martínez, *Ent. Basil.* 12 : 294

ÉTYMOLOGIE. *Balachowskyi* (de Balachowsky) patronyme en hommage à Alfred S. Balakowsky, anciennement professeur d'entomologie générale et appliquée au Muséum national d'Histoire naturelle de Paris.

DIAGNOSE. Taille moyenne (9,5-11,5 mm). Corps brun foncé à noir présentant des reflets modérés verts ou bleu métallique et quelquefois cuivrés par endroits sur le pronotum et la face ventrale. Tête à microsculpture en réseau très serré. Pronotum présentant une étroite bande longitudinale assez bien délimitée sans points à l'avant au milieu, cette bande faiblement, mais nettement convexe; arête latérale arquée entre l'angle antérieur et l'angle latéral; carène de l'arête latérale rejoignant la carène de la marge postérieure, ponctuation confluente au milieu à l'avant. Élytre à stries rebordées par une étroite bande lustrée; cinquième interstrie un peu plus élevé que le sixième sur la moitié antérieure; troisième interstrie aussi ou presque aussi large que le quatrième au niveau du tiers médian. Tibia antérieur mâle obliquement recourbé vers le bas à l'apex, l'arête antérieure de la dent largement tronquée. Fémur postérieur muni d'une assez longue dent spiniforme sur la face postérieure au niveau du tiers distal, cette dent manquant seulement chez les individus extrêmement petits; le milieu de la face postérieure garni d'une rangée de fortes soies spiniformes noirâtres. Tibia postérieur mâle coudé au niveau du tiers basal, l'arête interne munie d'une seule rangée de soies sur le tiers basal.

Eurysternus balachowskyi Halffter & Halffter :
Holotype ♂ (MNHN) : *Eurysternus balachowskyi* Halffter / GUYANE : FLEUVE OYAPOK, MASSIKIRI, 16-XI-69, G. Halffter col. / HOLOTYPE (carton rouge). Holotype examiné, non disséqué.

Allotype ♀ (MNHN) : Mêmes donnés que l'holotype. Allotype examiné.

Eurysternus balthasari Martínez :
Holotype ♂ (MACN) : BRASIL : Amapá, S. de Navio, ix.1957, P. Pereira, Coll. A. Martínez. Holotype non examiné, évidence suffisante.

MATÉRIEL EXAMINÉ. Répartition géographique Fig. 202; 97 ex. : *Eurysternus balachowskyi* : **BRÉSIL** : AMAPÁ, Serra do Navio, (0°53'31"N, 52°0'10"O), i.1957, Pereira & Machado – 1 ♂ (MZSP); AMAZONAS, 60 km N Manaus on ZF3, 23 km, (2°23'S, 60°2'O), 9-12.vi.1980, B.C. Ratcliffe – 1 ex. (UNSM); Fazenda Dimona, 70 km N manaus, (2°19'S, 60°5'O), 21.vi.1986, B. Klein – 1 ♀ (FSCA); Fazenda Esteio, 70 km N Manaus, (2°24'S, 59°52'O), 10.vi.1986, B. Klein – 1 ♀, 1 ♂ (CMNC, FSCA); Fazenda Esteio, Rd. ZF3 Km 23, (2°24'S, 59°52'O), 6.vii.1985, B. Klein – 1 ♀ (FSCA); même localité, 8.vii.1985, B. Klein – 1 ♀ (FSCA); même localité, 20.vii.1985, B. Klein – 1 ♂ (CMNC); Reserva Ducke, BR 010, km 26, (2°47'51"S, 59°53'7"O), 20.xii.1977, B.C. Ratcliffe – 1 ex. (UNSM); Reserva Florestal Adolpho Ducke, 26 km NE Manaus, 80 m (2°57'S, 59°57'O), 4-12.iii.1966, W.D. Edmonds – 1 ♀, 1 ♂ (WDEC); même localité, 8.xi.1977, B.C. Ratcliffe – 1 ex. (UNSM); même localité, 15.xi.1977, B.C. Ratcliffe – 1 ex. (UNSM); même localité, 13.xii.1977, B.C. Ratcliffe – 1 ex. (UNSM); même localité, 7.iii.1978, B.C. Ratcliffe – 3 ex. (BCRC, UNSM); même localité, 21.iii.1978, B.C. Ratcliffe – 1 ex. (UNSM); même localité, 4.iv.1978, B.C. Ratcliffe – 1 ex. (UNSM); même localité, 18.iv.1978, B.C. Ratcliffe – 2 ex. (UNSM); même localité, 25.iv.1978, B.C. Ratcliffe – 1 ex. (UNSM); même localité, 16.v.1978, B.C. Ratcliffe – 1 ex. (UNSM); même localité, 30.v.1978, B.C. Ratcliffe – 1 ex. (UNSM); même localité, 25.vii.1978, B.C. Ratcliffe – 2 ex. (BCRC, UNSM); MATO GROSSO DO SUL, Fazenda Dr. José Mendes, Três Lagoas, (20°48'S, 51°43'O), x.1964, Exp. Depto. Zool. – 1 ♀ (MZSP); PARÁ, Altamira, (3°11'51"S, 52°13'38"O), v.1985, Dégallier – 3 ♂♂ (PAIC); Altamira, Rio Xingu, (3°11'55"S, 52°13'38"O), iii.1964, Dirings – 1 ♂ (MZSP); Bituba, 180 m (1°11'S, 52°38'O), vii.2004, T.A. Gardner & M.I.M. Hernández – 1 ♂ (WDEC); Santarém, (2°27'10"S, 54°43'9"O), vi.1919, S.M. Klages – 2 ♀♀, 3 ♂♂ (CMNH); même localité, vii.1919, S.M. Klages – 1 ♀ (CMNH); Tucuruí, (3°46'26"S, 49°41'19"O), 22-28.x.1983, [anonyme] – 3 ♀♀, 1 ♂ (PAIC); **GUYANA** : [sans localité], ix, [anonyme] – 3 ♀♀ (CMNH); CUYUNI-MAZARUNI, Bartica District, (6°23'18"N, 58°37'49"O), 15.iv.1924, [anonyme] – 1 ♀ (CMNH); **GUYANE FRANÇAISE** : CAYENNE, 18.4 km SSE Roura, 240 m (4°36'38"N, 52°13'25"O), 29.v.-10.vi.1997, J. Ashe & R. Brooks (1997-180) – 1 ♂ (CMNC); Amazone Nature Lodge, 30 km SE Roura on Kaw Road, 300 m (4°33'34"N, 52°12'26"O), 3-10.vi.2005, J.E. Eger – 1 ♂ (FSCA); même localité, 11-13.vi.2005, J.E. Eger – 1 ♀, 1 ♂ (FSCA); Barrage de Petit Saut, Commune de Sinnamary, (5°22'N, 52°57'O), 21.viii.1997, P. Cerdan & F. Lavalette – 5 ♀♀, 1 ♂ (CMNC, OUMNH); Fleuve Oyapock, Massikiri, (2°56'N, 52°24'O), 16.xi.1969, G.

Halffter – 2 ♂♂, 1♀ (holotype, allotype, paratype) (CMNC); Kourou, Montagne des Singes, (5°9'N, 52°39'O), ii.1984, P. Arnaud – 1 ♀ (PAIC); Montagne Kaw, Fourgassié, (4°33'N, 52°10'O), 15.ix.-1.x.1995, N. Kocian – 2 ♀♀ (MHNG); Roura, route de Kaw, point kilo. 13.5, viii.1997, F. Lavalette – 5 ♀♀, 4 ♂♂ (CMNC); SAINT-LAURENT-DU-MARONI, Fleuve Mana, (5°15'N, 53°38'O), v.1917, [anonyme] – 1 ♂ (CMNH); Les Eaux Claires, 7 km N Saül, 220 m (3°39'46"N, 53°13'19"O), 30.v.-4.vi.1997, J. Ashe & R. Brooks (1997-143B) – 1 ♂ (CMNC); Saint-Laurent-du-Maroni, (5°29'11"N, 54°0'29"O), v.1993, Merek & Seidl – 1 ♀ (MHNG); même localité, iv.1976, P. Arnaud – 1 ♀ (PAIC); Saül, (3°37'N, 53°12'O), xi.1991, P. Arnaud – 1 ♀, 5 ♂♂ (PAIC); même localité, 4-10.iii.1996, I. Jeniš – 4 ♂♂ (MHNG); **SURINAME** : BROKOPONDO, Brownsberg Natuurpark, 300 m (4°56'N, 55°10'O), 18-21.vii.1966, S. Bass – 1 ♀ (FSCA); Brownsberg Natuurpark, Mazaroni Plateau, 400-500 m (4°56'N, 55°10'O), 22.viii.1982, Collins, Early, Oberman, Pollock, Putnam, Steiner – 1 ♀ (USNM); SARAMACCA, 178 km WSW Zanderij Airport, 25 m (4°59'6"N, 56°18'48"O), 14.vi.1999, Z. Falin – 1 ♂ (CMNC); **VENEZUELA** : BOLIVAR, El Bochinche, Reserva Forestal Imataca, 200 m (7°30'N, 61°0'O), 16-18.v.1984, Exp. Instituto Zool. Agricola – 1 ♂ (MIZA); Km 83 El Dorado Rio La Clarita, 25-28.vi.1984, J.D. Glaser – 1 ex. (CMNH); Río Surucún, Carretera Santa Elena-Icabaru, 850 m, 19-31.i.1985, F. Fernandez Y., A. Chacon, J. Demarmels – 5 ♀♀, 1 ♂ (MIZA).

Eurysternus balthasari : **BRÉSIL** : AMAPÁ, Serra do Navio, (0°53'31"N, 52°0'10"O), ix.1957, P. Pereira – 1 ♀ (paratype) (CMNC).

CONDITION DE CAPTURE. Certains spécimens ont été capturés à l'aide de pièges à interception de vol, pièges à fosse appâtés avec des excréments humains, de la viande de boeuf ou des poissons en décomposition.

HABITAT. Forêt amazonienne et du bouclier guyanais des provinces guyanaise humide et de l'est du bassin de l'Amazone. Le spécimen du cerrado (Mato Grosso do Sul) est assurément une erreur d'étiquetage.

PHÉNOLOGIE. Spécimens capturés toute l'année sauf en février.

REMARQUES. 1) L'examen d'un paratype femelle d'*E. balthasari* Martínez, déposé dans la collection du Musée canadien de la nature, m'a permis de constater que cette espèce est conspécifique avec *E. balachowskyi* Halffter & Halffter. Le paratype d'*E. balachowskyi* examiné, qui est aussi déposé dans la collection du Musée canadien de la nature, est un très petit mâle (9,5 mm) qui ne présente pas de dent spiniforme sur la face postérieure du fémur postérieur. Toutefois, la description et

l'illustration de Halffter & Halffter indiquent la présence de cette dent chez les spécimens normalement développés de cette espèce. Un des caractères les plus distinctifs de cette espèce est la série de grosses soies spiniformes noirâtres qui s'étend sur la moitié médiane de la face postérieure du fémur postérieur. Ces soies sont bien illustrées dans Halffter & Halffter (1977 : 68, fig. 18) et Martínez (1988 : 296, fig. 9). Il faut aussi noter que *E. balthasari* est décrit d'après des spécimens provenant de l'État d'Amapá au Brésil et que cet État est adjacent au Suriname et à la Guyane française. Ces régions font toutes partie du bouclier guyanais, ce qui semble exclure une possible isolation géographique. *Eurysternus balthasari* Martínez, 1988 devient donc synonyme plus récent d'*Eurysternus balachowskyi* Halffter & Halffter, 1977.
2) Les spécimens provenant de l'État de Bolivar (Venezuela) semblent former une population distincte. Ces spécimens (2♂♂, 5♀♀) diffèrent de la forme typique, entre autres, par les caractères suivants : pronotum lustré entre les points sur une petite aire au milieu du disque; marge antérieure du pronotum muni d'un petit bourrelet triangulaire lustré et présentant des reflets métalliques verts; surface des élytres un peu plus lustrée dans la région du calus apical; deuxième strie des élytres droite ou recourbée vers l'intérieur au niveau de la déclivité apicale chez les mâles; paramères un peu plus robustes en vue latérale et présentant un court repli membraneux entre les deux extrémités distales. Pour le moment, en attendant qu'un matériel plus abondant permette de vérifier s'il s'agit de l'extrême d'un cline, je considérerai que ces variations sont intraspécifiques.

Eurysternus calligrammus Dalman, 1824

(Figs. 62, 119, 203)

Eurysternus calligrammus Dalman
1824 Dalman, *Ephem. Entomol.* : 11
1840 Castelnau, *Hist. Nat. Ins.* 2 : 92 (diagnose)
1869 Gemminger & Harold, *Cat. Col.* 4 : 1023 (catalogue)
1911 Gillet, *Col. Cat.* 38 : 25 (catalogue)
1941 Pessôa & Lane, *Arq. Zool. S. Paulo* 2 : 407 (redescription)
1944 Blackwelder, *U. S. Nat. Mus. Bull.* 185 : 197 (catalogue)
1966 Halffter & Matthews, *Folia Ent. Mex.* 12-14 : 173 (association avec acariens)
2005 Falqueto et al., *Ecol. Aust.* 15 : 20 (biologie)

Eurysternus scotinoides Castelnau [**nouvelle synonymie**]
1840 Castelnau, *Hist. Nat. Ins.* 2 : 93
1869 Gemminger & Harold, *Cat. Col.* 4 : 1024 (catalogue)
1911 Gillet, *Col. Cat.* 38 : 26 (catalogue)

1941 Pessôa & Lane, *Arq. Zool. S. Paulo* 2 : 410 (diagnose)
1944 Blackwelder, *U. S. Nat. Mus. Bull.* 185 : 197 (catalogue)
1985 Jessop, *J. Nat. Hist.* 19 : 1106 (commentaire)

Eurysternus opacus Lucas [synonymie : Jessop, 1985 : 1105]
1859 Lucas, *Anim. Nouv. Rares* : 107
1869 Gemminger & Harold, *Cat. Col.* 4 : 1024 (catalogue)
1911 Gillet, *Col. Cat.* 38 : 26 (catalogue)
1941 Pessôa & Lane, *Arq. Zool. S. Paulo* 2 : 410 (diagnose)
1944 Blackwelder, *U. S. Nat. Mus. Bull.* 185 : 197 (catalogue)
1985 Jessop, *J. Nat. Hist.* 19 : 1105 (synonymie)

ÉTYMOLOGIE. *Calligrammus* (beau et ligne, motif), épithète évoquant probablement les stries élytrales ondoyantes de cette espèce.

DIAGNOSE. Taille assez grande (12,0-13,5 mm). Corps noir présentant des reflets verts ou bleu métallique et quelquefois violacés par endroits sur le pronotum et la face ventrale. Tête à microsculpture alvéolée, grosse et confluente à l'avant, devenant plus petite et écartée vers l'arrière. Pronotum présentant une étroite bande longitudinale vaguement délimitée et sans points à l'avant au milieu, cette bande au plus légèrement convexe chez certains individus; arête latérale droite entre l'angle antérieur et l'angle latéral, l'arête plus ou moins crénelée chez certains individus; carène de l'arête latérale rejoignant la carène de la marge postérieure; ponctuation assez écartée au milieu à l'avant, confluente seulement dans la région de l'angle antérieur. Élytre à stries rebordées par une étroite bande lustrée; cinquième interstrie un peu plus élevé que le sixième sur presque toute la longueur; troisième interstrie aussi, ou presque aussi large que le quatrième au niveau du tiers médian. Suture mésométasternale carénée latéralement. Tibia antérieur mâle obliquement recourbé vers le bas à l'apex, l'arête antérieure de la dent largement tronquée. Fémur postérieur mâle muni d'un denticule sur la face postérieure au niveau du tiers distal, cette dent très réduite ou plus souvent mutique chez les femelles; le milieu de la face postérieure glabre. Tibia postérieur mâle assez robuste, modérément coudé au niveau du tiers basal, la face externe régulièrement bombée, l'arête interne munie de deux rangées de très courtes soies espacées sur le tiers basal.

Eurysternus calligrammus Dalman :
Holotype ♀ (NHRS) : Brasilien, Spence (écriture manuscrite)/ Typus (carton rouge)/ *Eurysternus calligrammus* Dalman (écriture manuscrite)/ 95 (papier rouge)/ 287, 80 (papier rouge)/ 358, 84 (papier rouge)/ *Eurysternus calligrammus* Dalm. Holotype, det. L. Jessop 1984. Holotype étudier, non disséqué.

Eurysternus scotinoides Castelnau :
Néotype ♂ (MNHN) : Minas Gerais (écriture manuscrite) / Ex. Musæo H.W. Bates, 1892 / NEOTYPE (carton rouge) / Néotype, *Eurysternus scotinoides* Castelnau, 1840, dés. F. Génier, 1998. **Désignation présente**.

Eurysternus opacus Lucas :
Holotype ♀ (MNHN) : 10 44 (disque) / *Eurysternus opacus*, Luc. (écriture manuscrite) / Museum Paris, RIO, DE CASTELNAU 1844 (carton vert) / TYPE (carton rouge) / *Eurysternus opacus* Luc. LECTOTYPE ♀, P. ARNAUD DET 1983 / *Eurysternus opacus* HOLOTYPE, det. L. Jessop 1984. Holotype examiné.

MATÉRIEL EXAMINÉ. Répartition géographique Fig. 203; 29 ex. : **BRÉSIL** : [sans localité], [sans date], [anonyme] – 1 ♀ (USNM); MINAS GERAIS, Açucena, (19°3'21"S, 42°33'12"O), ii.1952, A.B. Machado – 1 ♀, 3 ♂♂ (MZSP); Coronel Fabriciano, (19°30'47"S, 42°38'18"O), iv.1959, Machado – 3 ♀♀, 2 ♂♂ (MZSP); Mata do Paraíso, Viçosa, 750 m (20°48'18"S, 42°51'20"O), 3.ii.2000, F. Génier (2000-59) – 2 ♀♀, 2 ♂♂ (CMNC); même localité, 4.ii.2000, F. Génier (2000-63) – 3 ♀♀ (CMNC); Viçosa, (20°45'S, 42°52'O), i.1994, J.N.C. Louzada – 2 ♀♀ (FVMC); RIO DE JANEIRO, Engenho de Dentro, Guanabara, Rio de Janeiro, (22°53'50"S, 43°17'48"O), iii.1937, A.P.F. – 1 ♂ (MZSP); Rio de Janeiro, (22°57'S, 43°13'O), x, [anonyme] – 1 ♀, 2 ♂♂ (CMNH); même localité, xi, [anonyme] – 3 ♂♂ (CMNH, USNM); même localité, ii.1935, D. Mendes – 1 ♀ (MZSP); **GUYANE FRANÇAISE** : CAYENNE, Cayenne, (4°54'3"N, 52°18'12"O), [sans date], [anonyme] – 1 ♂ (MZSP).

CONDITION DE CAPTURE. Aucune donnée, sauf pour les sept spécimens que nous avons capturés à Viçosa à l'aide de pièges à fosse appâtés avec des excréments et disposés dans une parcelle de forêt atlantique primaire semidécidue.

HABITAT. Forêt atlantique de basse altitude, moins de 700 m.

PHÉNOLOGIE. Spécimens capturés en janvier, février, mars, avril.

REMARQUES. 1) On désigne ici un néotype pour l'espèce *Eurysternus scotinoides* Castelnau. La description de Castelnau, qui est assez vague, permet toutefois de situer cette espèce près d'*E. calligrammus*. Ce groupe est le seul qui possède la combinaison de caractères suivante : « (coloration) noire, élytres plans, à côte marginale saillante ». La description de Castelnau fait aussi mention des caractères suivants : « corselet..., à angles antérieurs avancés et coupés un peu obliquement », ce qui permet d'exclure les espèces *E. arnaudi* et *E. balachowskyi*, chez lesquelles ces angles sont régulièrement arqués. Il reste donc *E. calligrammus* et *E. cyanescens*

comme possibilités. La mise en synonymie d'*E. scotinoides* sous *E. calligrammus* est ici préféré, car elle évite la mise en synonymie du nom de Balthasar, qui est déjà confirmé depuis le travail de Jessop.
2) La capture de cette espèce à Cayenne, basée sur un seul mâle (MZSP) sans indication plus précise, semble due à une erreur d'étiquetage. Cette localité est exclue de la répartition de cette espèce jusqu'à ce qu'une capture fiable la corrobore.

Eurysternus cyanescens Balthasar, 1939

(Figs. 12, 114, 120-122, 204)

Eurysternus cyanescens Balthasar
1939 Balthasar, *Ent. Blätt.* 35 : 112
1944 Blackwelder, *U. S. Nat. Mus. Bull.* 185 : 197 (catalogue)
1985 Jessop, *J. Nat. Hist.* 19 : 1104 (désignation de type)
2005 Falqueto et al., *Ecol. Aust.* 15 : 20 (biologie)

ÉTYMOLOGIE. *Cyanescens* (*cyano*, bleu foncé et *-escens*, commencement) un adjectif grec se rapportant certainement à la coloration de cette espèce.

DIAGNOSE. Taille assez grande (10,0-15,0 mm). Corps noir présentant de forts reflets vert ou bleu métallique uniforme. Tête à microsculpture alvéolée à peine plus grosse près de l'arête antérieure. Pronotum présentant une étroite bande longitudinale sans ponctuation vaguement délimitée à l'avant au milieu, cette bande un peu concave chez certains individus; arête latérale droite entre l'angle antérieur et l'angle latéral, l'arête plus ou moins crénelée chez certains individus; carène de l'arête latérale, parfois à peine indiquée, rejoignant la carène de la marge postérieure; ponctuation assez écartée au milieu à l'avant, confluente et plus grosse seulement dans la région des angles antérieurs. Élytres à stries rebordées par une étroite bande lustrée; cinquième interstrie un peu plus élevé que le sixième sur le tiers basal; troisième interstrie aussi ou presque aussi large que le quatrième au niveau du tiers médian. Suture mésométasternale nivelée latéralement. Tibia antérieur mâle perpendiculairement recourbé vers le bas à l'apex, l'arête antérieure en grosse dent triangulaire. Fémur postérieur mâle muni d'un denticule obtus à peine indiqué ou d'un denticule aigu flanqué de quelques soies spiniformes noires sur la face postérieure au niveau du cinquième distal, cette dent située plus en retrait de l'apex, développée et habituellement spiniforme chez les femelles; le milieu de la face postérieure glabre, au plus avec une rangée espacée de courtes soies spiniformes noires près de l'arête ventrale et dorsale. Tibia postérieur à peine coudé au niveau du tiers basal chez les individus présentant un petit denticule ou fortement

coudé chez les individus présentant un denticule aigu ou spiniforme; la face externe subcarénée; l'arête interne munie d'une rangée de soies devenant plus courtes et espacées vers la base, les soies absentes sur le quart basal.

Lectotype ♂ (SMF) : Brazil. Lectotype non examiné, évidence suffisante.

MATÉRIEL EXAMINÉ. Répartition géographique Fig. 204; 193 ex. : **ARGENTINE** : MISIONES, Santa María, (27°54'S, 55°24'O), [sans date], M.J. Viana – 1 ♂ (CMNC); SANTIAGO DEL ESTERO, Colonia Dora, (28°37'S, 62°57'O), xi.1978, P. Arnaud – 1 ♂ (PAIC); **BRÉSIL** : [sans localité], [sans date], Benske – 1 ♀ (paralectotype) (NMPC); même localité, [sans date], [anonyme] – 1 ♂ (USNM); BAHIA, Encruzilhada, (15°31'47"S, 40°54'43"O), xii.1980, A. Martínez & M. Alvarenga – 1 ♀, 1 ♂ (CMNC); ESPIRITO SANTO, Sooretama, (19°1'9"S, 40°6'29"O), viii.1961, F.M. Oliveira – 1 ♂ (MZSP); MINAS GERAIS, Cambuguira, (21°51'27"S, 45°16'58"O), [sans date], [anonyme] – 1 ♂ (MZSP); Caxambu, (22°29'11"S, 45°54'44"O), iii.1994, A. Bello – 4 ♀♀, 2 ♂♂ (CMNC); Coronel Fabriciano, (19°30'47"S, 42°38'18"O), iv.1959, Machado – 1 ♀ (FVMC); Maria da Fé, (22°17'38"S, 45°22'58"O), xi.1980, [anonyme] – 1 ♀ (MNRJ); Pocinhos [do Rio Verde], (21°56'S, 46°25'O), 4.x.1935, J. Halik – 1 ♂ (MZSP); Poços de Caldas, (21°46'25"S, 46°33'42"O), xii.1967, O. Leoncini – 3 ♀♀, 1 ♂ (CMNC, CMNH); Pouso Alegre, (22°13'24"S, 45°57'22"O), xii.1952, P. Pereira – 1 ♂ (IBSP); PARANÁ, 30 km SE Curitiba on BR277, (25°34'51"S, 48°52'22"O), 6-9.ii.1990, S.A. Marshall – 4 ♀♀, 6 ♂♂ (CMNC); Curitiba, (25°25'42"S, 49°16'24"O), 2.ii.1944, Claret. – 1 ♂ (MZSP); Mata Godoy, Londrina, (23°27'S, 51°15'O), 18.iii.1985, J. Lopes – 1 ex. (BCRC); même localité, 28-31.i.1990, S.A. Marshall – 1 ♀ (CMNC); RIO DE JANEIRO, 17 km E Nova Friburgo, 750 m (22°23'4"S, 42°33'30"O), 21.i.2000, F. Génier & S. Ide (2000-04) – 2 ♀♀, 1 ♂ (CMNC); même localité, 21.i.2000, F. Génier & S. Ide (2000-05) – 1 ♀, 2 ♂♂ (CMNC); même localité, 21.i.2000, F. Génier & S. Ide (2000-07) – 2 ♀♀ (CMNC); même localité, 21.i.2000, F. Génier & S. Ide (2000-08) – 1 ♀ (CMNC); même localité, 23.i.2000, F. Génier & S. Ide (2000-17) – 1 ♀, 1 ♂ (CMNC); même localité, 23.i.2000, F. Génier & S. Ide (2000-18) – 3 ♀♀ (CMNC); même localité, 23.i.2000, F. Génier & S. Ide (2000-20) – 2 ♀♀, 2 ♂♂ (CMNC); même localité, 23.i.2000, F. Génier & S. Ide (2000-22) – 1 ♀, 2 ♂♂ (CMNC); même localité, 23.i.2000, F. Génier & S. Ide (2000-19) – 1 ♂ (CMNC); même localité, 29.i.2000, F. Génier & S. Ide (2000-57) – 6 ♀♀, 5 ♂♂ (CMNC); Itatiaia, 700 m (22°28'25"S, 44°34'43"O), i.1960, Dirings – 1 ♀ (MZSP); même localité, 5.ix.1962, J. Halik – 1 ♂ (USNM); Mury, 8 km E Nova Friburgo, 1150 m (22°21'49"S, 42°33'7"O), 22.i.2000, F. Génier & S. Ide (2000-12) – 1 ♀, 1 ♂ (CMNC); même localité, 22.i.2000, F. Génier & S. Ide (2000-13) – 1 ♀ (CMNC); Petropolis, (22°29'55"S, 43°10'33"O), 7.viii.1898, F. Ohaus

S. – 1 ♂ (paralectotype) (NMPC); même localité, 17.xii.1993, E. Courado – 1 ♂ (MNRJ); Rio de Janeiro, (22°57'S, 43°13'O), x, [anonyme] – 1 ♂ (CMNH); même localité, 1938, R.C. Shannon – 1 ♀ (USNM); même localité, 8.iii.1953, J. Becker – 1 ♀ (MZSP); SANTA CATARINA, Blumenau, (26°55'25"S, 49°4'34"O), [sans date], F. Plaumann – 1 ♀ (CMNC); Nova Teutônia, 300-500 m (27°11'S, 52°23'O), ii.1965, F. Plaumann – 1 ♂ (MZSP); même localité, x.1965, F. Plaumann – 1 ♂ (MZSP); même localité, 15.ii.1963, F. Plaumann – 1 ex. (ABTS); Rio Vermelho, (26°16'52"S, 49°19'29"O), i.1961, Dirings – 1 ♀ (MZSP); SÃO PAULO, Cantar [=Serra da Cantareira], (23°26'S, 46°38'O), 5.xii.1934, [anonyme] – 1 ♂ (IBSP); même localité, 23.ii.1936, [anonyme] – 1 ♀, 1 ♂ (IBSP); Cantareira, São Paulo, (23°27'49"S, 46°38'0"O), 1960, F. Lane – 1 ♀ (MZSP); même localité, 16.x.1932, J. Halik – 1 ♂ (USNM); même localité, 23.x.1932, J. Halik – 1 ♂ (USNM); même localité, 29.ix.1946, F. Lane – 1 ♂ (MZSP); même localité, 8.iv.1963, J. Halik – 1 ♀ (USNM); Casa Grande, Estação Biológica de Boracéia, (23°38'S, 45°52'O), 17.i.1975, [anonyme] – 1 ♀, 1 ♂ (FSCA); même localité, 8.ii.1975, T.E. Rogers – 1 ♂ (FSCA); Cidade Jardim, São Paulo, 23.ii.1941, F. Lane – 1 ♂ (MZSP); Estação Biológica de Boracéia, 50 km SE Mogi das Cruzes, Serra do Mar, 800-900 m (23°38'55"S, 45°52'20"O), 28-30.iv.1997, F. Génier & S. Ide – 39 ♀♀, 35 ♂♂ (CMNC, OUMNH); Estação Biológica de Boracéia, Salesópolis, (23°38'55"S, 45°52'20"O), 8.ii.1962, L. Travassos – 1 ♀ (MZSP); même localité, 21.i.1966, L.R. Silva – 1 ♂ (MZSP); même localité, 17-26.xii.1969, J.M. & B.A. Campbell – 2 ♀♀, 2 ♂♂ (CNC); Fazenda Campininas, Mogi Guaçu, (22°22'22"S, 46°55'5"O), 1-8.i.1970, J.M. & B.A. Campbell – 1 ♂ (CNC); Fazenda Rhodia, Paulínia, (22°45'S, 47°9'O), xii.1991, P. & L. Arnaud – 2 ♀♀, 6 ♂♂ (PAIC); Ilha de Santo Amaro, (23°57'13"S, 46°21'33"O), 18.iv.1912, G.E. Bryant – 1 ♂ (CNC); Itapetininga, (23°40'5"S, 48°2'2"O), 1.ii.1967, E.X. Rabello – 3 ♀♀, 2 ♂♂ (CMNC, MZSP); Peruíbe, (24°15'12"S, 46°58'26"O), 10.xii.1940, H. Zellibor – 1 ♂ (MZSP); São Paulo, (23°32'S, 46°37'O), 3.x.1934, [anonyme] – 1 ♀ (IBSP); [sans localité], [sans date], E. Rivier – 1 ♀ (MHNG).

CONDITION DE CAPTURE. Certains spécimens ont été capturés à l'aide de pièges à fosse appâtés avec de la charogne ou des excréments, placés dans la forêt atlantique primaire et secondaire.

HABITAT. Forêt atlantique primaire et secondaire et zone de transition avec le cerrado. Certaines captures en forêt de type parana et dans le Chaco. Ce dernier habitat demande à être confirmé.

PHÉNOLOGIE. Spécimens capturés en janvier, février, mars, avril, aout, septembre, octobre, novembre et décembre.

REMARQUES. 1) L'examen du lectotype d'*E. cyanescens*, par Damir Kovac, de Francfort, confirme que cette espèce est bien celle qui ne possède pas de suture mésométasternale carénée.
2) La configuration des pattes postérieures de cette espèce prend deux formes différentes selon la localité où les exemplaires ont été échantillonnés. Les exemplaires qui ne présentent pas de dent ou une dent obtuse à la face postérieure du fémur postérieur ont toujours le tibia largement arqué et la face ventrale du fémur postérieur convexe vers l'apex. Par contre, les exemplaires qui possèdent une dent aigüe ont le tibia nettement coudé au niveau du tiers basal et la face ventrale du fémur postérieur distinctement tectiforme vers l'apex. L'édéage et le sac interne de ces deux formes ne présentent aucune différence notable. De plus, une série d'exemplaires de Itapetininga (État de São Paulo, Brésil) exhibent une configuration intermédiaire des pattes postérieures. Malgré ces différences par rapport aux caractères sexuels secondaires externes, rien ne semble justifier la séparation de ces deux formes en espèces différentes.

GROUPE VELUTINUS

DIAGNOSE. Taille moyenne à grande (15,0-21,0 mm). Corps et pattes en grande partie bruns à vert olive, certaines espèces présentant d'assez forts reflets métalliques sur la face ventrale, les pattes et le pronotum, tégument en grande partie mat chez les espèces brunâtres et verdâtres, plus lustré chez les espèces présentant des reflets métalliques. Yeux semi-circulaires et peu visibles sur le dessus. Menton profondément échancré et formant deux lobes longitudinaux et orientés vers le bas, la face ventrale de cette échancrure en partie recouverte d'une fine pubescence claire couchée. Pronotum à ponctuation en grande partie ocellée assez uniforme; soies lancéolées, semblables en longueur sur toute la surface; arête latérale munie d'une fine carène tranchante sur toute la longueur. Élytres à pubescence plus ou moins courte, de couleur variable selon les espèces et très espacée sur le disque; carène du pseudépipleure au même niveau que le 9e interstrie et peu tranchante au milieu. Sternum abdominal 3 largement tronqué antérieurement entre les hanches qui sont séparées par plus de la longueur du trochanter. Tarse du tibia antérieur présent. Hanche postérieure unicolore. Éperon du tibia postérieur mâle fusionné. Fémur postérieur mâle et femelle inerme, l'arête postéroventrale plus ou moins fortement sinuée. Paramères présentant une projection lamellaire ventrale près de l'apex et munis de soies claires du côté interne de la région distale.

Eurysternus superbus Génier sp. nov.

(Fig. 205)

ÉTYMOLOGIE. *Superbus* (splendide) est un adjectif latin se rapportant à l'aspect chatoyant que présente cette espèce.

DESCRIPTION. **Longueur**. 15,0 -18,0 mm. **Couleur**. Brun à brun foncé, présentant des reflets métalliques verts et rougeâtres ou cuivrés sur toute la surface, la surface ventrale plus lisse et présentant des reflets plus prononcés que ceux de la surface dorsale. **Tête**. Sans dimorphisme sexuel. Arête antérieure approximativement semi-hexagonale en vue dorsale, le milieu faiblement recourbé vers le bas. Les yeux visibles sur le dessus. Joues déprimées près des yeux. Surface à ponctuation simple et écartée, quelques points un peu plus gros et confluents sur une très petite région adjacente aux yeux sur le vertex; chaque point muni d'une fine et courte soie même à l'avant. Massue antennaire testacée. **Pronotum**. Arêtes latérales divergentes vers l'avant jusqu'aux angles latéraux. Angles antérieurs obtus. Angles latéraux arrondis. Arête entre les angles latéraux et antérieurs presque droite. Carène de l'arête latérale nette sur toute la longueur. Surface régulièrement convexe; muni d'un sillon longitudinal médian mal défini sur le tiers postérieur; région des angles antérieurs convexes; la région antérieure munie d'une carène estompée et rejoignant l'arête antérieure au milieu, et de deux petits calus vert métallique mal définis et plus lisses que la surface adjacente qui présente des reflets cuivrés. Surface en majorité couverte de gros points ocellés séparés par l'équivalent d'un diamètre, les points plus petits et écartés au milieu à l'avant. La microsculpture alvéolée entre les points, cette microsculpture devenant moins nette au milieu du disque où la surface entre les points est convexe. Chaque point muni d'une soie oblique à dressée, testacée, peu squameuse. Soies de l'arête latérale contiguë, brunes et plus longues sur l'angle latéral. **Élytres**. Arête latérale médiocrement arquée en vue dorsale. Huitième interstrie fortement convexe entre les calus huméraux et apicaux. Stries modérément larges, délimitées de chaque côté par une étroite bande lustrée; sans fine carène lustrée au milieu. Interstries recouverts d'une microsculpture alvéolée confluente; garnis de soies noirâtres, dressées et légèrement squameuses, plus ou moins alignées selon les interstries. Troisième interstrie sans tubercule distinct à l'apex. Interstries impairs munis à l'apex de soies un peu plus longues et denses que celles du reste de la surface. **Sternites thoraciques**. Carène proépisternale arquée et rejoignant l'arête latérale à l'angle antérieur. Prosternum tectiforme, l'arête longitudinale médiane émoussée; la région postérieure non marginée; surface munie de quelques points simples très fins au milieu, chaque point muni d'une courte soie testacée à peine visible; surface entre les points lustrée sur le disque et présentant de chaque côté une microsculpture en réseau transverse estompée; l'arête postérieure munie d'une rangée de soies testacées et très fines. Lobe

médian du métasternum convexe dans son ensemble; le milieu avec un large sillon longitudinal mal défini, plus large et profond à l'arrière; surface à ponctuation fine et estompée sur le disque, chaque point muni d'une courte soie claire, ces dernières à peu près identiques en longueur sur toute la surface; la surface presque lisse, à microsculpture alvéolée estompée. **Pattes**. Fémur antérieur modérément convexe dans son ensemble, plats sur la moitié distale postérieure; surface à grosse ponctuation nette au milieu, devenant plus petite et écartée vers l'avant, plus grosse et râpeuse vers l'arrière; la région antérieure mâle recouverte d'une ponctuation très fine et dense, l'arête antérieure munie d'une rangée de tubercules acérés irréguliers, la face ventrale non marginée antérieurement; sans carène longitudinale nette sur la moitié distale. Tibia antérieur mâle médiocrement robuste; arête latérale munie de trois dents sur la moitié distale, la dent apicale plus longue que les deux autres; région interne de l'arête apicale recourbée vers le bas et formant une assez longue dent triangulaire, cette dent flanquée d'une brosse de soies rejoignant presque la dent latérale apicale; la face ventrale assez lisse, présentant une forte dent près du tiers basal. Tibia antérieur femelle médiocrement robuste, non modifié. Fémur médian à surface ventrale lustrée et finement ponctuée, sauf sur le quart postérieur où la surface est un peu moins lustrée et les points sont plus gros et ombiliqués. Trochanter postérieur mâle fortement denté à l'apex, l'arête simplement arrondie chez les femelles. Fémur postérieur à faible dimorphisme sexuel; face ventrale à peine convexe sur le tiers distal; surface ventrale à ponctuation circulaire nette près de l'arête postérieure, devenant éparse et petite vers l'avant, puis râpeuse à l'avant de la moitié distale; surface entre les points lustrée sur la moitié basale devenant distinctement mate à l'apex; arête postéroventrale nette sur toute la longueur, face postérieure munie de quelques soies testacées plus ou moins espacées et longues sur la moitié basale; arête postérodorsale nette. Tibia postérieur mâle arqué en vue ventrale sur le tiers distal; arête postérieure munie d'une rangée de 7-10 tubercules espacés, chaque tubercule flanqué de 2 à 3 longues soies; l'apex fortement élargi en vue ventrale, angle apical interne dirigé en ligne droite vers l'arrière. Tibia postérieur femelle presque droit en vue ventrale; arête dorsale munie d'une rangée de longues soies non contiguës et régulièrement espacées; carène ventrolatérale large convexe et lustrée, non interrompue par les soies adjacentes qui sont de taille variable. **Abdomen**. Segment 3 très largement tronqué antérieurement entre les hanches postérieures. Segments 4 à 7 plats; garnis de points ocellés non alignés, de taille variable latéralement, les soies des points de taille assez uniforme; région adjacente à l'élytre munie de quelques grosses soies testacées plus longues. Segment 8 à ponctuation nette au milieu, les points devenant râpeux sur l'arrière des côtés; région postérieure marginée sur les côtés. Pygidium à ponctuation ocellée, variable en taille et irrégulièrement répartie, chaque point muni d'une soie droite noirâtre proportionnelle en taille à la grosseur du point; sillon basal modérément profond, sans courte pubescence veloutée le long de la base; marge la-

térale nette. **Édéage**. Apex des paramères distinctement concaves et présentant des granules à l'angle dorsal; arête ventrale munie de deux lames transverses aux arêtes latérales nettes. Crochet de la lamelle accessoire du sac interne spiniforme.

Holotype ♂ (CMNC) : VENEZUELA : Aragua, Rancho Grande,1100m, 6-8.iii.1988, F. Génier, *ex*. human feces trap / HOLOTYPE ♂ *Eurysternus superbus* sp. nov, F. Génier (carton rouge). Spécimen non disséqué.

Allotype ♀ (CMNC) : Mêmes données que l'holotype.

MATÉRIEL EXAMINÉ. Répartition géographique Fig. 205; 92 ex. : **VENEZUELA** : [sans localité], [sans date], [anonyme] – 1 ♀, 2 ♂♂ (3 paratypes) (BMNH); ARAGUA, Estación Biológica Dr. Alberto Fernández Yépez "Rancho Grande", Parque Nacional Henri Pittier, 1100 m (10°20'N, 67°41'O), 7-13.vi.1999, Ratcliffe, Jameson, Smith, Villatoro – 1 ♂ (paratype) (UNSM); même localité, 21-24.vi.1999, Ratcliffe, Jameson, Smith, Villatoro – 9 ♀♀, 7 ♂♂ (16 paratypes) (UNSM); Portachuelo Pass, Parque Nacional Henri Pittier, 1200 m (10°20'51"N, 67°41'15"O), 7-13.vi.1999, Ratcliffe, Jameson, Smith, Villatoro – 1 ♀ (paratype) (ABTS); Portachuelo, Rancho Grande, 1100 m (10°20'51"N, 67°41'15"O), x.1972, Martínez – 1 ♀, 1 ♂ (paratypes) (CMNC); même localité, 19-21.ii.1971, S. Peck – 8 ♀♀, 7 ♂♂ (15 paratypes) (CMNC, ROME); même localité, 21-24.ii.1971, S. Peck – 8 ♀♀, 7 ♂♂ (15 paratypes) (CMNC, OUMNH, ROME); Rancho Grande, 1300 m (10°20'58"N, 67°41'8"O), vi.1963, Martínez – 3 ♀♀, 5 ♂♂ (8 paratypes) (CMNC); même localité, 21-25.ii.1971, S. Peck – 4 ♀♀, 3 ♂♂ (7 paratypes) (CMNC, ROME); même localité, 27-30.viii.1983, B. Gill – 1 ♀, 4 ♂♂ (5 paratypes) (BDGC); même localité, 4.vii.-9.viii.1986, B. Gill – 1 ♂ (paratype) (BDGC); même localité, 1-10.viii.1987, Bordon & Peck – 2 ♂♂ (2 paratypes) (CMNC); même localité, 6-8.iii.1988, F. Génier – 4 ♀♀, 4 ♂♂ (holotype, allotype, 6 paratypes) (CMNC); même localité, 3.ix.1992, L. Masner – 1 ♀ (paratype) (CMNC); CARABOBO, Estanquillo Borburata, (10°22'N, 68°0'O), 7.iv.1950, F.F.Y. & C.J.R. – 2 ♀♀, 1 ♂ (paratypes) (MZSP); LARA, Parque Nacional Yacambú, 17.4 km SE Sanaré, 1510 m (9°42'26"N, 69°34'34"O), 17-18.v.1998, J. Ashe, R. Brooks & R. Hanley (1998-74) – 1 ♂ (paratype) (SEMC); même localité, 18.v.-1.vi.1998, J. Ashe, R. Brooks & R. Hanley (1998-170) – 3 ♂♂ (3 paratypes) (SEMC).

CONDITION DE CAPTURE. La majorité des spécimens capturés au piège à fosse appâté avec des excréments humains.

HABITAT. Forêt de brouillard de 1100-1510 m dans la cordillère de la Costa et de la cordillère de Mérida, au Vénézuéla.

PHÉNOLOGIE. Spécimens capturés en février, mars, avril, juin, aout, septembre et octobre.

Eurysternus contractus Génier sp. nov.

(Figs. 28, 32, 125, 127-129, 206)

ÉTYMOLOGIE. *Contractus* (comprimé) est un adjectif latin se rapportant à la configuration de l'arête latérale de la projection ventrale du paramère.

DESCRIPTION. **Longueur**. 16,0-19,5 mm. **Couleur**. Brun à brun foncé présentant des reflets vert olivâtre par endroits, la surface ventrale un peu plus lisse et présentant des reflets plus prononcés que ceux de la surface dorsale; chez de rares individus, la surface est complètement violacée, à reflets verdâtre. **Tête**. Sans dimorphisme sexuel. Arête antérieure approximativement semi-hexagonale en vue dorsale, le milieu faiblement recourbé vers le bas. Les yeux visibles sur le dessus. Joues déprimées près des yeux. Surface à ponctuation simple et écartée, quelques points un peu plus gros le long de l'arête latérale des joues et sur une très petite région adjacente aux yeux sur le vertex; chaque point muni d'une fine et courte soie même à l'avant. Massue antennaire testacée. **Pronotum**. Arêtes latérales divergentes vers l'avant jusqu'aux angles latéraux. Angles antérieurs obtus. Angles latéraux arrondis. Arête presque droite entre l'angle latéral et l'angle antérieur. Carène de l'arête latérale nette sur toute la longueur. Surface régulièrement convexe; muni d'un sillon longitudinal médian mal défini sur le tiers postérieur; région des angles antérieurs faiblement convexe; la région antérieure munie d'une carène estompée et rejoignant l'arête antérieure au milieu et de deux petits calus mal définis et dont la microsculpture et la coloration sont semblables à celles de la surface adjacente. Surface en majorité couverte de gros points ocellés séparés par un peu moins d'un diamètre, les points plus petits et écartés au milieu à l'avant. La microsculpture, nette sur toute la surface, alvéolée entre les points. Chaque point muni d'une soie testacée oblique à dressée, peu squameuse. Soies de l'arête latérale contiguës, testacées plus longues sur l'angle latéral. **Élytres**. Arête latérale médiocrement arquée en vue dorsale. Huitième interstrie faiblement convexe entre les calus huméraux et apicaux. Stries modérément larges, délimitées de chaque côté par une étroite bande lustrée; sans fine carène lustrée au milieu. Interstries recouverts d'une microsculpture alvéolée confluente; garnis de soies brunes, dressées et légèrement squameuses, plus ou moins alignées selon les interstries. Troisième interstrie sans tubercule distinct à l'apex. Interstries 5 et 7 munis sur les calus apicaux de soies plus longues et denses que celles du 6e interstrie. **Sternites thoraciques**. Carène proépisternale arquée et rejoignant l'arête latérale à l'angle antérieur. Prosternum tectiforme, arête longitudinale médiane émoussée;

la région postérieure non marginée; surface munie de quelques points simples au milieu, chaque point muni d'une courte soie testacée à peine visible; surface entre les points soyeuse sur le disque et présentant une microsculpture en réseau transverse mal défini de chaque côté; arête postérieure munie d'une rangée de soies testacées et très fines. Lobe médian du métasternum convexe dans son ensemble; le milieu avec un large sillon longitudinal mal défini, plus large et profond à l'arrière; la région adjacente aux hanches médianes plane; surface à ponctuation fine et estompée sur le disque, les points munis de courtes soies claires à peu près identiques en longueur sur toute la surface; cette dernière à microsculpture alvéolée estompée. **Pattes**. Fémur antérieur modérément convexe dans son ensemble, légèrement concave sur la moitié distale postérieure; surface à ponctuation nette au milieu, devenant plus petite et écartée vers l'avant, plus grosse et râpeuse vers l'arrière; la région antérieure mâle recouverte d'une ponctuation très fine et dense, l'arête antérieure munie d'une rangée de tubercules acérés irréguliers, la face ventrale non marginée antérieurement chez les mâles; sans carène longitudinale nette sur la moitié distale. Tibia antérieur mâle médiocrement robuste; arête latérale munie de trois dents sur la moitié distale, la dent apicale plus longue que les deux autres; région interne de l'arête apicale recourbée vers le bas et formant une assez longue dent triangulaire, cette dent flanquée d'une brosse de soies rejoignant presque la dent latérale apicale; la face ventrale assez lisse, présentant une assez forte dent près du tiers basal. Tibia antérieur femelle médiocrement robuste, non modifié. Fémur médian à surface ventrale soyeuse et finement ponctuée, sauf sur le quart postérieur à surface un peu plus mate et à points plus gros et ombiliqués. Trochanter postérieur denté à l'apex chez les mâles, l'arête simplement arrondie chez les femelles. Fémur postérieur à faible dimorphisme sexuel, un peu plus grêle chez les femelles; face ventrale à peine convexe sur le tiers distal; surface ventrale à ponctuation circulaire et nette près de l'arête postérieure, devenant éparse et petite vers l'avant, puis râpeuse à l'avant de la moitié distale; surface entre les points soyeuse sur la moitié basale devenant distinctement mate à l'apex; arête postéroventrale nette sur toute la longueur, sans soies sur la face postérieure; arête postérodorsale nette. Tibia postérieur mâle arqué sur le tiers distal en vue ventrale; arête postérieure munie d'une rangée de 6 à 10 tubercules espacés, chaque tubercule flanqué d'une longue soie; l'apex un peu élargi en vue ventrale, angle apical interne dirigé en ligne droite vers l'arrière. Tibia postérieur femelle presque droit en vue ventrale; l'arête dorsale munie d'une rangée de courtes soies contiguës sur le tiers basal et plus espacées sur les deux tiers postérieurs; carène ventrolatérale étroite peu convexe et lustrée, non interrompue par les soies adjacentes, qui sont courtes. **Abdomen**. Segment 3 très largement tronqué antérieurement entre les hanches postérieures. Segments 4 à 7 plats; garnis de points ocellés non alignés et assez petits latéralement, soies des points courtes; région adjacente à l'élytre munie de quelques grosses soies un peu plus longues. Segment 8 à ponctuation nette au milieu, les points devenant

râpeux et espacés sur les côtés; région postérieure indistinctement marginée sur les côtés. Pygidium à ponctuation ocellée assez uniforme, chaque point muni d'une courte soie testacée; sillon basal modérément profond, sans courte pubescence veloutée le long de la base; marge latérale nette. **Édéage**. Apex des paramères plat ou légèrement convexe et présentant des granules à l'angle dorsal; arête ventrale munie de deux lames transverses aux arêtes latérales peu développées et couvertes de petits granules. Crochet de la lamelle accessoire du sac interne spiniforme.

Holotype ♂ (CMNC) : ECUADOR : PAST. 1000m, Llandia (17 km N. Puyo), 19.vii.1994, F. Génier, remnant rain for., carrion trap / HOLOTYPE ♂, *Eurysternus contractus* sp. nov., F. Génier. Spécimen non disséqué.

Allotype ♀ (CMNC) : Mêmes données que l'holotype.

MATÉRIEL EXAMINÉ. Répartition géographique Fig. 206; 134 ex. : **COLOMBIE** : NARIÑO, Ipiales, Territorio Kofán Cuenca alta de los ríos Rumiyaco-Rancheria, 1250 m (0°30'N, 77°13'O), x.1998, F. Escobar – 1 ♂ (paratype) (IAVH); **ÉQUATEUR** : LOJA, Loja, (3°59'30"S, 79°11'36"O), [sans date], Abbé Gaujon – 6 ♀♀, 10 ♂♂ (16 paratypes) (MNHN); Loja/Zamora, 1400 m, ii.1987, [anonyme] – 2 ♂♂ (2 paratypes) (PAIC); MORONA-SANTIAGO, Ángel Rouby, sitio 8, 1300 m (2°21'39"S, 78°2'2"O), 2.ii.2002, J. Celi – 1 ♀, 1 ♂ (paratypes) (CMNC); NAPO, Chonta Yacu, via Tena-Coca, 1100 m, 27.xi.-1.xii.2000, V. Malý (E-34) – 2 ♀♀ (2 paratypes) (VMPC); Km 11.1 Sarayacu-Loreto road, 1200 m (0°42'37"S, 77°43'10"O), 14.vii.1994, F. Génier – 7 ♀♀, 4 ♂♂ (11 paratypes) (CMNC); même localité, 20.vii.1994, F. Génier – 2 ♂♂ (2 paratypes) (CMNC); Km 25.4 Sarayacu-Loreto road, 950 m (0°43'6"S, 77°37'18"O), 14.vii.1994, F. Génier – 1 ♀, 2 ♂♂ (3 paratypes) (CMNC); Km 7.3 Sarayacu-Loreto road, 1200 m (0°43'2"S, 77°44'11"O), 11.vii.1994, F. Génier – 1 ♀, 1 ♂ (paratypes) (CMNC); même localité, 14.vii.1994, F. Génier – 4 ♀♀, 4 ♂♂ (8 paratypes) (CMNC); même localité, 20.vii.1994, F. Génier – 1 ♀, 2 ♂♂ (3 paratypes) (CMNC); Río Chonta Yacu, via Tena-Coca, 1100 m, 15-18.xi.2001, V. Malý (E-41) – 2 ♀♀ (2 paratypes) (VMPC); PASTAZA, 1 km E Mera, 1100 m (1°27'12"S, 78°6'31"O), 13-17.vii.1976, S. Peck – 1 ♀, 4 ♂♂ (5 paratypes) (CMNC, ROME); 22 km SE Puyo, 900 m (1°37'11"S, 77°50'40"O), 12-16.vii.1976, S. Peck – 12 ♀♀, 11 ♂♂ (23 paratypes) (BDGC, CMNC, ROME); 25 km NNE Puyo, 1000 m (1°18'19"S, 77°52'59"O), 4-13.vii.1976, S. Peck – 1 ♀, 1 ♂ (paratypes) (CMNC); Arajuno, 400-500 m (1°14'12"S, 77°41'9"O), X.1960, Forster – 1 ♂ (paratype) (CMNC); Cerros de Abitagua, 1200 m (1°23'S, 78°5'O), viii, Mac Intyre – 1 ♀ (paratype) (MZSP); Llandia, 17 km N Puyo, 1000 m (1°21'3"S, 77°58'4"O), 16.vii.1994, F. Génier – 1 ♂ (paratype) (CMNC); même localité, 19.vii.1994, F. Génier – 11 ♀♀, 23 ♂♂ (holotype, allotype, 32 paratypes) (CMNC, OUMNH, VMPC);

même localité, 20.vii.1994, F. Génier – 1 ♂ (paratype) (CMNC); Puyo (environ), (1°29'19"S, 78°0'8"O), 11-15.xii.2000, V. Malý (E-38) – 1 ♀ (paratype) (VMPC); SUCUMBÍOS, Lombaquí, 800 m (0°4'54"N, 77°20'14"O), viii.1976, Martínez – 1 ♀, 1 ♂ (paratypes) (CMNC); TUNGARAHUA, 8 km E Río Negro, 10 km O Pastaza [=Shell], 1400 m (1°26'40"S, 78°10'28"O), 13-17.vii.1976, S. Peck – 3 ♀♀, 1 ♂ (paratypes) (CMNC, ROME); même localité, 13-17.vii.1976, S. Peck – 2 ♀♀ (2 paratypes) (CMNC, ROME); ZAMORA-CHINCHIPE, Via Namirez-Zamora Km 1, 1000 m (3°57'47"S, 78°51'28"O), 26.viii.1997, C. Carpio – 1 ♂ (paratype) (QCAZ); **PÉROU** : [sans localité], [sans date], [anonyme] – 2 ♀♀ (2 paratypes) (BMNH).

CONDITION DE CAPTURE. Les spécimens qui comportent des données ont été capturés au piège à fosse appâté avec des excréments humains ou de la charogne.

HABITAT. Forêt de brouillard de 800-1400 m, sur le versant ouest de la cordillère des Andes, en Colombie et en Équateur.

PHÉNOLOGIE. Spécimens capturés en février, juillet, aout, novembre et décembre.

REMARQUES. La mention du Pérou, basée sur deux anciens spécimens de la collection Fry, demande à être confirmée. Des pièges installés dans la forêt sempervirente de montagne à 22 km au sud-est de Puyo (900 m) en Équateur (Province de Pastaza), ont permis de capturer *E. contractus* et *E. hypocrita* simultanément. Il semble donc que la répartition de ces deux espèces soit parapatrique à cette altitude. Ce fait semble confirmer que les espèces appartenant au groupe *velutinus* reconnues ici sont bien distinctes et non des sous-espèces ou formes. Ces espèces forment un groupe morphologiquement très homogène.

Eurysternus olivaceus Génier sp. nov.

(Fig. 207)

ÉTYMOLOGIE. *Olivaceus* (olivacé) est un adjectif latin se rapportant à la coloration de cette espèce.

DESCRIPTION. **Longueur**. 18,0-19,0 mm. **Couleur**. Vert olive foncé, la surface ventrale un peu plus lisse et présentant des reflets cuivreux par endroits. **Tête**. Sans dimorphisme sexuel. Arête antérieure approximativement semi-circulaire en vue dorsale, le milieu un peu recourbé vers le bas. Les yeux visibles sur le dessus. Joues déprimées près des yeux. Surface à ponctuation simple et écartée, quelques points un peu plus

gros le long de l'arête latérale des joues et sur une très petite région adjacente aux yeux sur le vertex; chaque point muni d'une fine et courte soie même à l'avant. Massue antennaire brunâtre. **Pronotum**. Arêtes latérales divergentes vers l'avant jusqu'aux angles latéraux. Angles antérieurs obtus. Angles latéraux arrondis. Arête entre les angles latéraux et antérieur presque droite. Carène de l'arête latérale nette sur toute la longueur. Surface régulièrement convexe; munie d'un sillon longitudinal médian mal défini sur le tiers postérieur; région des angles antérieurs peu convexes; la région antérieure munie d'une carène estompée et rejoignant l'arête antérieure au milieu et de deux petits calus mal définis dont la microsculpture et la coloration sont semblables à celle de la surface adjacente. Surface en majorité couverte de gros points ocellés séparés par un espace équivalant à au moins un diamètre, les points plus petits au mileu à l'avant, indistinctement ocellés et séparés par l'équivalent de deux ou trois diamètres. La microsculpture alvéolée entre les points, nette sur toute la surface. Chaque point muni d'une soie oblique testacée, peu squameuse. Soies de l'arête latérale contiguës, testacées plus longues à l'angle latéral. **Élytres**. Arête latérale médiocrement arquée en vue dorsale. Huitième interstrie faiblement convexe entre les calus huméraux et apicaux. Stries modérément larges, délimitées de chaque côté par une étroite bande plus ou moins lustrée de chaque côté; sans fine carène lustrée au milieu. Interstries recouverts d'une microsculpture alvéolée confluente; munis de soies brunes dressées et légèrement squameuses, plus ou moins alignées selon les interstries. Troisième interstrie sans tubercule distinct à l'apex. Interstries 5 et 7 munis sur les calus apicaux de soies plus longues et denses que celles du 6e interstrie. **Sternites thoraciques**. Carène proépisternale arquée et rejoignant l'arête latérale à l'angle antérieur. Prosternum tectiforme, arête longitudinale médiane émoussée; la région postérieure non marginée; surface munie de quelques petits points simples au milieu, chaque point muni d'une courte soie testacée à peine visible; surface entre les points soyeuse sur toute la surface; l'arête postérieure munie d'une rangée de soies claires et très fines. Lobe médian du métasternum convexe dans son ensemble; le milieu avec un large sillon longitudinal mal défini, plus large et profond à l'arrière; la région adjacente aux hanches médianes plane; surface à ponctuation fine et estompée sur le disque, les points munis d'une courte soie claire, ces dernières à peu près identique en longueur sur toute la surface; cette dernière à microsculpture alvéolée estompée. **Pattes**. Fémur antérieur modérément convexe dans son ensemble, légèrement concave sur la moitié distale postérieure; surface à ponctuation nette au milieu, devenant plus petite et écartée vers l'avant et plus grosse et râpeuse vers l'arrière; la région antérieure mâle recouverte d'une ponctuation très fine et dense, arête antérieure munie d'une rangée de tubercules irréguliers, la face ventrale non marginée antérieurement chez les mâles; avec une carène longitudinale nette sur la moitié distale. Tibia antérieur mâle médiocrement robuste; arête latérale munie de trois dents sur la moitié distale, la dent apicale plus longue que les deux autres; région interne de l'arête apicale recourbée vers le bas et formant une assez longue dent triangulaire, cette dent

flanquée d'une brosse de soies rejoignant presque la dent latérale apicale; la face ventrale assez lisse, présentant une forte dent près du tiers basal. Tibia antérieur femelle médiocrement robuste, non modifié. Fémur médian à surface ventrale soyeuse et finement ponctuée, sauf sur le quart postérieur à surface est un peu plus mate et points plus gros et ombiliqués. Trochanter postérieur muni d'un tubercule à l'apex chez les mâles, l'arête simplement arrondie chez les femelles. Fémur postérieur à faible dimorphisme sexuel, un peu plus grêle chez les femelles; face ventrale à peine convexe sur le tiers distal; surface ventrale à ponctuation ovale et nette près de l'arête postérieure, devenant éparse et petite vers l'avant, puis petite et râpeuse à l'avant de la moitié distale; surface entre les points soyeuse sur la moitié basale devenant mate à l'apex; arête postéroventrale nette sur toute la longueur, sans, ou avec seulement quelques soies éparses sur la face postérieure; arête postérodorsale nette. Tibia postérieur mâle arqué en vue ventrale sur le tiers distal; arête postérieure munie d'une rangée de 9 à 10 tubercules espacés, chaque tubercule flanqué d'une touffe de longues soies; l'apex élargi en vue ventrale, angle apical interne dirigé en ligne droite vers l'arrière. Tibia postérieur femelle presque droit en vue ventrale; l'arête dorsale munie d'une rangée de courtes soies contiguës sur le quart basal et plus espacées sur les trois quarts distaux; carène ventrolatérale étroite peu convexe et lustrée, non interrompue par les soies adjacentes qui sont courtes. **Abdomen**. Segment 3 très largement tronqué antérieurement entre les hanches postérieures. Segments 4 à 7 plats; garnis de points ocellés non alignés et assez petits latéralement, les soies des points courtes; région adjacente à l'élytre munie de quelques soies un peu plus longues. Segment 8 à ponctuation nette au milieu, les points devenant espacés et râpeux sur les côtés; région postérieure indistinctement marginée sur les côtés. Pygidium à ponctuation ocellée assez uniforme, chaque point muni d'une courte soie testacée; sillon basal modérément profond, sans courte pubescence veloutée le long de la base; marges latérales nettes. **Édéage**. Apex des paramères plat ou légèrement convexe et présentant des granules à l'angle dorsal; arête ventrale munie de deux lames transverses aux arêtes latérales peu développées et couvertes de petits granules. Crochet de la lamelle accessoire du sac interne spiniforme.

Holotype ♂ (CNC) : PANAMA: Chiriqui, Cerro Hornito, 15km NE Gualaca, 16.vii-2.viii.1982, B. Gill 1200m / HOLOTYPE ♂, *Eurysternus olivaceus* sp. nov., F. Génier. Spécimen disséqué.

Allotype ♀ (CMNC) : PANAMA: Chiriqui, La Fortuna Dam, 27.vi-17.vii.1982, B. Gill 1200m / ALLOTYPE ♀, *Eurysternus olivaceus* sp. nov., F. Génier.

MATÉRIEL EXAMINÉ. Répartition géographique Fig. 207; 11 ex. : **COSTA RICA** : ALAJUELA, Río San Lorencito, 5 km N Colonia Palmareña, 900 m (10°13'10"N, 84°36'3"O), 13-18.vi.1993, I Curso Scarabaeidae – 1 ♀ (paratype)

(INBio); Río San Lorencito, San Ramón, 800 m (10°13'39"N, 84°36'2"O), 2.xi.1986, A. Solís B. – 1 ♀ (paratype) (INBio); CARTAGO, Grano de Oro, Chirripó, Turrialba, A.C. Amistad, 1120 m (9°49'6"N, 83°27'33"O), 19-30.vi.1993, P. Campos (2173) – 1 ♂ (paratype) (INBio); GUANACASTE, Estación Pitilla, 9 Km S Santa Cecilia, Parque Nacional Guanacaste, 700 m (10°59'33"N, 85°25'46"O), vi.1994, C. Moraga (3002) – 1 ♀ (paratype) (INBio); même localité, 21.i.1988, A. Solís B. – 1 ♂ (paratype) (INBio); même localité, 27.vii.-14.viii.1992, P. Rios – 1 ♂ (paratype) (INBio); même localité, 9-20.xi.1993, C. Moraga (2449) – 1 ♂ (paratype) (INBio); **PANAMA** : CHIRIQUÍ, Cerro Hornito, 15 km NE Gualaca, 1200 m (8°37'21"N, 82°13'18"O), 16.vii.-2.viii.1982, B. Gill – 1 ♂ (holotype) (CMNC); Fortuna, (8°34'30"N, 82°18'41"O), 13-15.vi.1985, E.G. Riley & D. Rider – 1 ♂ (paratype) (EGRC); La Fortuna Dam, 1200 m (8°34'30"N, 82°18'41"O), 27.vi.-17.vii.1982, B. Gill – 2 ♀♀ (allotype, 1 paratype) (CMNC).

CONDITION DE CAPTURE. Aucune donnée.

HABITAT. Aucune donnée, probablement forêt de montage de moyenne altitude, 700-1200 m d'après le peu de données disponibles.

PHÉNOLOGIE. Spécimens capturés en janvier, juin, juillet et novembre.

REMARQUES. Cette espèce est très voisine d'*E. velutinus,* mais s'en distingue, en plus des caractères donnés dans la clé, par la ponctuation du pronotum, qui est beaucoup plus écartée et petite au milieu à l'avant, les points en majorité séparés par trois à cinq fois leur diamètre (une à deux fois chez *E. velutinus*) et par les soies du tibia postérieur qui sont très courtes chez les femelles, ces soies étant beaucoup moins longues que la largeur du tibia (aussi longues ou plus longues que la largeur du tibia chez *E. velutinus*). Il est étonnant de constater que le travail de terrain intensif effectué au Costa Rica et au Panama ces dernières années a permis l'échantillonage de seulement 11 spécimens de cette espèce.

Eurysternus uniformis Génier sp. nov.

(Fig. 208)

ÉTYMOLOGIE. *Uniformis* (uniforme) est un adjectif latin se rapportant à l'aspect des soies de cette espèce.

DESCRIPTION. **Longueur**. 17,5-21,0 mm. **Couleur**. Brun verdâtre à brun rougeâtre, la surface ventrale un peu plus lisse et présentant de faibles reflets ver-

dâtres à rougeâtres par endroits. **Tête**. Sans dimorphisme sexuel. Arête antérieure approximativement semi-hexagonale en vue dorsale, le milieu un peu recourbé vers le bas. Yeux visibles sur le dessus. Surface des joues déprimée et lisse près des yeux. Surface à ponctuation simple et uniforme; chaque point muni d'une fine et longue soie lancéolée sauf à l'avant. Massue antennaire brunâtre. **Pronotum**. Arêtes latérales divergentes vers l'avant jusqu'à l'angle latéral. Angles antérieurs obtus. Angle latéral arrondi. Arête entre l'angle latéral et l'angle antérieur droite ou à peine sinueuse. Carène de l'arête latérale estompée à l'avant. Surface régulièrement convexe; muni d'un sillon longitudinal médian mal défini sur le tiers postérieur; région de l'angle antérieur plane ou légèrement déprimée à l'avant de la fossette latérale; la région antérieure sans carène, au plus avec une étroite bande glabre et un peu plus lisse que le reste de la surface, sans trace de calus de chaque côté du milieu. Surface couverte de gros points ocellés en majorité confluents, les points un peu plus petits, indistinctement ocellés et séparés au milieu à l'avant par un espace un peu supérieur au diamètre. La microsculpture alvéolée entre les points, nette sur toute la surface. Chaque point muni d'une soie oblique brune, fortement squameuse. Soies de l'arête latérale contiguës, brunes et plus longues à l'angle latéral. **Élytres**. Arête latérale médiocrement arquée en vue dorsale. Huitième interstrie plat entre les calus huméraux et apicaux. Stries larges, délimitées de chaque côté par une étroite bande plus ou moins lustrée de chaque côté; sans fine carène lustrée au milieu. Interstries recouverts d'une microsculpture alvéolée confluente; munis de soies brunes, dressées, squameuses, régulièrement réparties sur tous les interstries. Troisième interstrie sans tubercule distinct à l'apex. Interstries 5, 6 et 7 munis de soies plus denses sur le calus apical. Carène du neuvième interstrie très large et proéminente. **Sternites thoraciques**. Carène proépisternale droite et rejoignant l'arête latérale avant l'angle antérieur. Prosternum tectiforme, arête longitudinale médiane émoussée; la région postérieure non marginée; surface munie au milieu de quelques petits points simples, chacun avec une soie courte testacée bien visible; surface soyeuse entre les points; l'arête postérieure munie d'une rangée de soies brunes et assez longues. Lobe médian du métasternum convexe dans son ensemble; le milieu avec un large sillon longitudinal mal défini, plus large et profond à l'arrière; la région adjacente aux hanches médianes plane; surface à ponctuation fine et estompée sur le disque, les points munis d'une courte soie testacée à peu près identique en longueur sur toute la surface; cette dernière presque lisse. **Pattes**. Fémur antérieur convexe dans son ensemble, plat sur le tiers distal postérieur; surface à ponctuation grosse et profonde sur presque toute la surface; la région antérieure mâle sans ponctuation très fine et dense, l'arête antérieure munie d'une rangée de tubercules irréguliers, la face ventrale non marginée antérieurement chez les mâles; sans carène longitudinale nette sur la moitié distale. Tibia antérieur mâle médiocrement robuste; arête latérale munie de trois dents sur la moitié distale, la dent apicale plus longue que

les deux autres; région interne de l'arête apicale recourbée vers le bas et formant une assez longue dent triangulaire, cette dent flanquée d'une brosse de soies rejoignant presque la dent latérale apicale; la face ventrale lisse, dent du tiers basal très réduite. Tibia antérieur femelle médiocrement robuste, non modifié. Fémur médian à surface ventrale soyeuse, ponctuation petite et estompée devenant très grosse, confluente et profonde près de la marge postérieure. Trochanter postérieur subanguleux à l'apex chez les mâles, l'arête simplement arrondie chez les femelles. Fémur postérieur un peu plus grêle chez les femelles; face ventrale à peine convexe sur le tiers distal; surface et ponctuation semblables à celles du fémur médian; arête postéroventrale nette sur toute la longueur chez les mâles, face postérieure sur la moitié basale munie d'une rangée alignée de soies squameuses le long de l'arête ventrale; arête postérodorsale nette. Tibia postérieur mâle régulièrement arqué en vue ventrale; arête postérieure munie d'une rangée de 5 à 8 tubercules espacés, chaque tubercule flanqué d'une touffe de longues soies; l'apex élargi en vue ventrale, angle apical interne dirigé en ligne droite vers l'arrière. Tibia postérieur des femelles faiblement arqué sur la moitié distale; l'arête dorsale munie d'une rangée de longues soies contiguës sur toute la longueur; carène ventrolatérale étroite peu convexe et lustrée, non interrompue par les longues soies adjacentes. **Abdomen**. Segment 3 très largement tronqué antérieurement entre les hanches postérieures. Segments 4 à 7 plats, garnis de quelques petits points ocellés non alignés latéralement, les soies des points courtes; région adjacente à l'élytre munie de quelques soies un peu plus denses. Segment 8 à ponctuation nette, les points à peine râpeux sur les côtés; région postérieure indistinctement marginée sur les côtés. Pygidium à ponctuation ocellée assez uniforme, chaque point muni d'une soie testacée semblable à celles des élytres; sillon basal modérément profond, sans courte pubescence veloutée le long de la base; marges latérales nettes, estompées à l'apex. **Édéage**. Apex des paramères plat et présentant quelques très fins granules à l'angle dorsal; arête ventrale munie de deux lames transverses aux arêtes latérales à peine saillantes et plus ou moins rugueuses. Crochet de la lamelle accessoire du sac interne en lame étroite recourbée.

Holotype ♂ (CMNC) : BRÉSIL S. Norte, Carajas, 2.12.87, N. Dégallier leg / HOLOTYPE ♂, *Eurysternus uniformis* sp. nov., F. Génier. Spécimen disséqué.

Allotype ♀ (CMNC) : Mêmes données que l'holotype.

MATÉRIEL EXAMINÉ. Répartition géographique Fig. 208; 7 ex. : **BOLIVIE** : SANTA CRUZ, Campamento Los Fieros, Parque Nacional Noel Kempff Mercado, (14°46'S, 61°2'O), x.1994, A. Forsyth – 1 ♀, 1 ♂ (paratypes) (BDGC); Los Fieros, Parque Nacional Noel Kempff Mercado, (14°33.5'S, 60°55.9'O), 20-30.i.1997, B.D. Gill & A. Forsyth – 2 ♂♂ (2 paratypes) (BDGC); **BRÉSIL** :

MATO GROSSO, [sans localité], 1886, F. Germain – 1 ♂ (paratype) (MNHN); PARÁ, Carajás, Serra Norte, (2°57'S, 51°52'O), 2.xii.1987, N. Dégallier – 1 ♀, 1 ♂ (holotype, allotype) (CMNC).

CONDITION DE CAPTURE. Aucune donnée.

HABITAT. Aucune donnée.

PHÉNOLOGIE. Spécimens capturés en janvier, octobre et décembre.

Eurysternus inca Génier sp. nov.

(Fig. 209)

ÉTYMOLOGIE. *Inca* est un nom en apposition, en référence à la répartition de cette espèce.

DESCRIPTION. **Longueur**. 16,0-20,0 mm. **Couleur**. Brun à brun foncé avec ou sans reflets verdâtres ou cuivreux, la surface ventrale un peu plus lisse et présentant des reflets verdâtres à cuivreux par endroits. **Tête**. Sans dimorphisme sexuel. Arête antérieure approximativement semi-circulaire en vue dorsale, le milieu un peu recourbé vers le bas. Les yeux visibles sur le dessus. Joues déprimées près des yeux. Surface à ponctuation simple et écartée, quelques points un peu plus gros sur une très petite région adjacente aux yeux sur les joues et le vertex; chaque point muni d'une fine et longue soie, sauf à l'avant. Massue antennaire brunâtre. **Pronotum**. Arêtes latérales divergentes vers l'avant jusqu'à l'angle latéral. Angles antérieurs obtus. Angle latéral arrondi. Arête entre l'angle latéral et l'angle antérieur presque droite. Carène de l'arête latérale nette sur toute la longueur. Surface régulièrement convexe; muni d'un sillon longitudinal médian mal défini sur le tiers postérieur; région des angles antérieurs peu convexes; la région antérieure munie d'une carène estompée et rejoignant l'arête antérieure au milieu et de deux petits calus plus lustrés et présentant des reflets métalliques. Surface en majorité couverte de gros points ocellés, séparés par un diamètre ou moins, les points un peu plus petits, indistinctement ocellés et séparés par un peu plus d'un diamètre au milieu à l'avant. Microsculpture alvéolée entre les points, moins prononcée sur les callosités et dans les dépressions latérales. Chaque point muni d'une soie oblique peu squameuse, testacée à brune selon les spécimens. Soies de l'arête latérale contiguës, brunes et plus longues à l'angle latéral. **Élytres**. Arête latérale médiocrement arquée en vue dorsale. Huitième interstrie faiblement convexe entre les calus huméraux et apicaux. Stries modérément larges, délimitées de chaque côté par une étroite bande

plus ou moins lustrée de chaque côté; sans fine carène lustrée au milieu. Interstries recouverts d'une microsculpture alvéolée confluente; munis de soies brunes à noires selon les spécimens, dressées et légèrement squameuses, plus ou moins alignées selon les interstries. Troisième interstrie sans tubercule distinct à l'apex. Interstries 5 et 7 munis, sur les calus apicaux, de soies plus longues et plus denses que celles du 6e interstrie. **Sternites thoraciques**. Carène proépisternale arquée et rejoignant l'arête latérale à l'angle antérieur. Prosternum tectiforme, arête longitudinale médiane émoussée; la région postérieure non marginée; surface munie de quelques petits points simples au milieu, chaque point muni d'une soie testacée à peine visible; surface soyeuse entre les points sur toute la surface; l'arête postérieure munie d'une rangée de soies claires et très fines. Lobe médian du métasternum convexe dans son ensemble; milieu avec un large sillon longitudinal mal défini, plus large et profond à l'arrière; région adjacente aux hanches médianes plane; surface à ponctuation fine et estompée sur le disque, chaque point muni d'une soie testacée à peu près identique en longueur sur toute la surface; la surface à microsculpture alvéolée nette. **Pattes**. Fémur antérieur modérément convexe dans son ensemble, légèrement concave sur la moitié distale postérieure; surface à ponctuation grosse et profonde au milieu, devenant plus petite et écartée vers l'avant et plus grosse et râpeuse vers l'arrière; la région antérieure mâle à ponctuation très fine et dense, l'arête antérieure munie d'une rangée de tubercules irréguliers, la face ventrale non marginée antérieurement chez les mâles; sans carène longitudinale nette sur la moitié distale. Tibia antérieur mâle médiocrement robuste; arête latérale munie de trois dents sur la moitié distale, la dent apicale plus longue que les deux autres; région interne de l'arête apicale recourbée vers le bas et formant une assez longue dent triangulaire, cette dent flanquée d'une brosse de soies rejoignant presque la dent latérale apicale; la face ventrale assez lisse, présentant une forte dent près du milieu. Tibia antérieur femelle médiocrement robuste, non modifié. Fémur médian à surface ventrale en grande partie soyeuse et finement ponctuée, seulement quelques points plus gros et ombiliqués près de la base et contre l'arête postérieure. Trochanter postérieur muni d'un tubercule à l'apex chez les mâles, l'arête simplement arrondie chez les femelles. Fémur postérieur à faible dimorphisme sexuel, un peu plus grêle chez les femelles; face ventrale à peine convexe sur le tiers distal; surface ventrale à ponctuation ovale et nette seulement sur une petite surface près de l'arête postérieure, devenant rapidement éparse et petite vers l'avant, puis très petite et râpeuse sur la moitié distale; surface soyeuse entre les points sur la moitié basale devenant médiocrement mate à l'apex; arête postéroventrale nette sur toute la longueur, avec une rangée de soies sur la face postérieure près de l'arête ventrale chez les mâles seulement; arête postérodorsale nette. Tibia postérieur mâle arqué sur le tiers distal en vue ventrale; arête postérieure munie d'une rangée de 7 à 10 tubercules espacés, chaque tubercule flanqué de deux ou trois longues soies; l'apex

élargi en vue ventrale, l'angle apical interne dirigé en ligne droite vers l'arrière. Tibia postérieur des femelles presque droit en vue ventrale; l'arête dorsale muni d'une rangée de longues soies contiguës sur le quart basal et plus espacées sur les trois quarts distaux; carène ventrolatérale étroite peu convexe et lustrée, non interrompue par les longues soies adjacentes. **Abdomen**. Segment 3 très largement tronqué antérieurement entre les hanches postérieures. Segments 4 à 7 plats, garnis de points ocellés non alignés et assez petits latéralement, les soies des points courtes; région adjacente à l'élytre munie de quelques soies un peu plus longues. Segment 8 à ponctuation nette au milieu, les points devenant espacés et râpeux sur les côtés; région postérieure indistinctement marginée sur les côtés. Pygidium à ponctuation ocellée assez uniforme, chaque point muni d'une courte soie testacée ou brune selon les spécimens; sillon basal modérément profond, sans courte pubescence veloutée le long de la base; marges latérales effacées. **Édéage**. Apex des paramères plat ou légèrement convexe et présentant des granules à l'angle dorsal; arête ventrale munie de deux lames transverses aux arêtes latérales saillantes et plus ou moins rugueuses. Crochet de la lamelle accessoire du sac interne spiniforme.

Holotype ♂ (CMNC) : Peru, Chanchamayo, 8.i.1969, J. Schunke L. / HOLOTYPE ♂, *Eurysternus inca* sp. nov., F. Génier. Spécimen disséqué.

Allotype ♀ (CMNC) : Peru, Chanchamayo, 6.xii.1969, J. Schunke L. / ALLOTYPE ♀, *Eurysternus inca* sp. nov., F. Génier.

MATÉRIEL EXAMINÉ. Répartition géographique Fig. 209; 98 ex. : **BOLIVIE** : [sans localité], [sans date], [anonyme] – 1 ♀ (paratype) (BMNH); COCHABAMBA, 109 km E Cochabamba, 1400 m (17°8'52"S, 65°42'54"O), 1-6.ii.1999, F. Génier (1999-28) – 1 ♂ (paratype) (CMNC); 117 km E Cochabamba at Lagunitas, 1000 m (17°6'22"S, 65°40'57"O), 6-8.ii.1999, F. Génier (1999-38) – 1 ♀ (paratype) (CMNC); PD Altamachi, 1150 m (16°2'S, 66°40'O), 25.ix.2004, A.C. Hamel – 7 ♀♀, 6 ♂♂ (13 paratypes) (OUMNH); même localité, 27.ix.2004, A.C. Hamel – 12 ♀♀, 1 ♂ (paratypes) (OUMNH); [sans localité], [sans date], P. Germain – 2 ♀♀, 10 ♂♂ (12 paratypes) (MNHN); Provincia Chapare, Alto Palmar, 1100 m (17°5'10"S, 65°30'3"O), ii.1971, F. Steinbach – 1 ♂ (paratype) (WDEC); Cristal Mayu, 600 m (17°5.76'S, 65°46.1'O), ii.1971, F. Steinbach – 1 ♀ (paratype) (CMNH); même localité, 30.xi.1949, [anonyme] – 1 ♀ (paratype) (MZSP); El Palmar [=Yungas del Palmar], 1600 m (17°8'S, 65°30'O), [sans date], [anonyme] – 1 ♂ (paratype) (FSCA); Villa Tunari, (16°58'48"S, 65°25'43"O), x.1992, Martínez – 2 ♀♀ (2 paratypes) (CMNC); Yungas del Palmar, 2000 m (17°8'S, 65°30'O), 12.ii.1948, Zischka – 1 ♀ (paratype) (CMNC); LA PAZ, 9.4 km E Chulumani, Apa-Apa, 2100 m (16°20.99'S, 67°30.3'O), 17.i.2001, R. Anderson (2001-01) – 2 ♀♀, 1 ♂ (paratypes)

(CMNC); même localité, 21.i.2001, R. Anderson (2001-008) – 2 ♂♂ (2 paratypes) (CMNC); Alto Palmar, (15°31'S, 68°24'O), ii.1970, F. Steinbach – 3 ♂♂ (3 paratypes) (CMNH); Coroico, 1800 m (16°11'20"S, 67°43'11"O), iv.1981, P. & L. Arnaud – 2 ♂♂ (2 paratypes) (PAIC); Farinas, (15°55'S, 67°47'O), [sans date], [anonyme] – 1 ♂ (paratype) (MNHN); Río Bopi, (16°28'S, 67°20'O), v.1925, G.L. Harrington – 1 ♂ (paratype) (USNM); Río Zongo, (15°43'S, 67°41'O), [sans date], A.H. Fassl – 1 ♂ (paratype) (MNHN); San Antonio, (16°19'S, 68°15'O), [sans date], [anonyme] – 1 ♂ (paratype) (MNHN); Sarampiuni, San Carlos, 1000 m (15°25'S, 68°7'O), 15.ix.1950, W. Foster – 1 ♀ (paratype) (MZSP); Suapi, (15°30'S, 67°31'O), [sans date], [anonyme] – 1 ♂ (paratype) (MNHN); Provincia Nor Yungas, Caranavi-Carrasco road, 1500 m, xii.1991, P. Arnaud – 1 ♀ (paratype) (PAIC); Pte. Llolosa, i.1949, Martínez – 1 ♀, 1 ♂ (paratypes) (CMNC); Provincia Sud Yungas, Ocobaya, Colaya, 1500 m (16°25'S, 67°31'O), i.1949, Martínez – 1 ♀ (paratype) (MZSP); Ocobaya, Finca Colaya, 1800 m (16°25'S, 67°31'O), i.1949, Martínez – 1 ♂ (paratype) (CMNC); SANTA CRUZ, Provincia del Sara, Buena Vista, (17°27'28"S, 63°39'12"O), [sans date], Steinbach – 1 ♀ (paratype) (CMNH); Provincia Ichilo, même localité, ii.1950, Martínez – 1 ♀ (paratype) (CMNC); **PÉROU** : East Peru, [sans date], [anonyme] – 1 ♂ (paratype) (BMNH); CUZCO, Kosñipata, 1500 m (13°3'S, 71°32'O), xii.1996, N. Quinte, K. Del Castillo & A. Forsyth – 1 ♂ (paratype) (AFIC); near Chontachaca, 1000 m (13°1'45"S, 71°29'59"O), xii.1999, T. Larsen – 2 ♂♂ (2 paratypes) (AFIC); même localité, 3-4.xii.1999, T. Larsen – 1 ♀ (paratype) (AFIC); même localité, 4-5.xii.1999, T. Larsen – 1 ♂ (paratype) (AFIC); même localité, 5-6.xii.1999, T. Larsen – 1 ♀ (paratype) (AFIC); San Pedro, 1500 m (13°3'15"S, 71°32'54"O), xii.1996, W. Quinte – 1 ♀, 2 ♂♂ (3 paratypes) (AFIC); même localité, 17-18.xi.1999, T. Larsen – 1 ♀ (paratype) (AFIC); JUNÍN, Chanchamayo, (11°3'S, 75°19'O), [sans date], [anonyme] – 2 ♂♂ (2 paratypes) (BMNH, MZSP); même localité, v.1940, Papryzky – 1 ♀ (paratype) (CMNC); même localité, 30.xii.1968, J. Schunke L. – 1 ♀ (paratype) (CMNC); même localité, 8.i.1969, J. Schunke L. – 1 ♂ (holotype) (CMNC); même localité, 2.ii.1969, J. Schunke L. – 1 ♀ (paratype) (ROME); même localité, 6.xii.1969, J. Schunke L. – 2 ♀♀, 1 ♂ (allotype, paratypes) (CMNC, ROME); La Merced, (11°3'21"S, 75°19'43"O), [sans date], C.O. Schunke – 1 ♂ (paratype) (MNHN); Sanibeni, (11°34'13"S, 74°9'54"O), 28.ix.1935, [anonyme] – 1 ♀ (paratype) (WDEC); Satipo, (11°16'S, 74°41'O), xi.1990, A. Chaminade – 2 ♀♀, 1 ♂ (paratypes) (PMOC); même localité, [sans date], A. Chaminade – 1 ♀ (paratype) (PMOC); PASCO, Pozuzo, (10°4'S, 75°33'0"O), [sans date], [anonyme] – 1 ♂ (paratype) (BMNH).

CONDITION DE CAPTURE. Outre les trois spécimens capturés au piège à interception, tous les autres qui portent des données l'ont été au piège à fosse appâté avec des excréments humains.

HABITAT. Forêt de brouillard de 350-2200 m, dans la province biogéographique des yungas, au Pérou et en Bolivie. Les captures à 350 m (1 spécimen) et 600 m (2 spécimens) demandent confirmation. Un spécimen fort douteux, étiqueté San Antonio (La Paz, Bolivie) en zone de puna à 4700 m.

PHÉNOLOGIE. Spécimens capturés en janvier, février, septembre, novembre et décembre.

Eurysternus obliteratus Génier sp. nov.

(Fig. 210)

ÉTYMOLOGIE. *Obliteratus* (effacé) est un adjectif latin se rapportant à l'aspect des marges latérales du pygidium.

DESCRIPTION. **Longueur**. 17,0-19,0 mm. **Couleur**. Brun verdâtre à brun noirâtre, la surface ventrale un peu plus lisse et présentant de faibles reflets verdâtres à cuivreux par endroits. **Tête**. Sans dimorphisme sexuel. Arête antérieure approximativement semi-circulaire en vue dorsale, le milieu un peu recourbé vers le bas. Les yeux visibles sur le dessus. Joues déprimées près des yeux. Surface à ponctuation simple et écartée, quelques points un peu plus gros sur une très petite région adjacente aux yeux sur les joues et le vertex; chaque point muni d'une fine et longue soie, sauf à l'avant. Massue antennaire brunâtre. **Pronotum**. Arêtes latérales divergentes vers l'avant jusqu'à l'angle latéral. Angles antérieurs obtus. Angle latéral arrondi. Arête entre l'angle latéral et l'angle antérieur presque droite. Carène de l'arête latérale nette sur toute la longueur. Surface régulièrement convexe; muni d'un sillon longitudinal médian mal défini sur le tiers postérieur; région des angles antérieurs peu convexes; la région antérieure munie d'une carène estompée et rejoignant l'arête antérieure au milieu et de deux petits calus mal définis à la microsculpture et coloration semblable à celles de la surface adjacente. Surface en majorité couverte de gros points ocellés, séparés par l'équivalent d'un diamètre ou moins, les points un peu plus petits, indistinctement ocellés et séparés par un peu plus d'un diamètre au milieu à l'avant. La microsculpture alvéolée entre les points, nette sur toute la surface. Chaque point muni d'une soie oblique brune, peu squameuse. Soies de l'arête latérale contiguës, brunes et plus longues à l'angle latéral. **Élytres**. Arête latérale médiocrement arquée en vue dorsale. Huitième interstrie faiblement convexe entre les calus huméraux et apicaux. Stries modérément larges, délimitées de chaque côté par une étroite bande plus ou moins lustrée de chaque côté; sans fine carène lustrée au milieu. Interstries recouverts d'une microsculpture alvéolée confluente; munis de soies noires, dressées et légèrement

squameuses, plus ou moins alignées selon les interstries. Troisième interstrie sans tubercule distinct à l'apex. Interstries 5 et 7 munis sur les calus apicaux de soies plus longues et plus denses que celles du 6e interstrie. **Sternites thoraciques**. Carène proépisternale arquée et rejoignant l'arête latérale à l'angle antérieur. Prosternum tectiforme, arête longitudinale médiane émoussée; la région postérieure non marginée; surface munie de quelques petits points simples au milieu, chaque point muni d'une soie testacée bien visible; surface soyeuse entre les points sur toute la surface; l'arête postérieure munie d'une rangée de soies claires et très fines. Lobe médian du métasternum convexe dans son ensemble; le milieu avec un large sillon longitudinal mal défini, plus large et profond à l'arrière; la région adjacente aux hanches médianes plane; surface à ponctuation fine et estompée sur le disque, chaque point muni d'une soie testacée à peu près identique en longueur sur toute la surface; la surface à microsculpture alvéolée nette. **Pattes**. Fémur antérieur modérément convexe dans son ensemble, légèrement concave sur la moitié distale postérieure; surface à ponctuation grosse et profonde au milieu, devenant plus petite et écartée vers l'avant et plus grosse et râpeuse vers l'arrière; la région antérieure mâle sans ponctuation très fine et dense, l'arête antérieure munie d'une rangée de tubercules irréguliers, la face ventrale non marginée antérieurement chez les mâles; sans carène longitudinale nette sur la moitié distale. Tibia antérieur mâle médiocrement robuste; arête latérale munie de trois dents sur la moitié distale, la dent apicale plus longue que les deux autres; région interne de l'arête apicale recourbée vers le bas et formant une assez longue dent triangulaire, cette dent flanquée d'une brosse de soies rejoignant presque la dent latérale apicale; la face ventrale assez lisse, présentant une forte dent près du tiers basal. Tibia antérieur femelle médiocrement robuste, non modifié. Fémur médian à surface ventrale soyeuse et finement ponctuée, sauf sur le quart postérieur où la surface est un peu plus mate et les points sont plus gros et ombiliqués. Trochanter postérieur muni d'un tubercule à l'apex chez les mâles, l'arête simplement arrondie chez les femelles. Fémur postérieur à faible dimorphisme sexuel, un peu plus grêle chez les femelles; face ventrale à peine convexe sur le tiers distal; surface ventrale à ponctuation ovale nette près de l'arête postérieure, devenant éparse et petite vers l'avant, puis petite et râpeuse à l'avant de la moitié distale; surface soyeuse entre les points sur la moitié basale, devenant mate à l'apex; arête postéroventrale nette sur toute la longueur, sans ou avec seulement quelques soies éparses sur la face postérieure; arête postérodorsale nette. Tibia postérieur mâle arqué sur le tiers distal en vue ventrale; arête postérieure munie d'une rangée de 7 à 10 tubercules espacés, chaque tubercule flanqué d'une ou deux longues soies; l'apex élargi en vue ventrale, angle apical interne dirigé en ligne droite vers l'arrière. Tibia postérieur des femelles presque droit en vue ventrale; l'arête dorsale munie d'une rangée de longues soies contiguës sur le quart basal et plus espacées

sur les trois quarts distaux; carène ventrolatérale étroite peu convexe et lustrée, non interrompue par les longues soies adjacentes. **Abdomen**. Segment 3 très largement tronqué antérieurement entre les hanches postérieures. Segments 4 à 7 plats, garnis de points ocellés non alignés et assez petits latéralement, les soies des points courtes; région adjacente à l'élytre munie de quelques soies un peu plus longues. Segment 8 à ponctuation nette au milieu, les points devenant espacés et râpeux sur les côtés; région postérieure indistinctement marginée sur les côtés. Pygidium à ponctuation ocellée assez uniforme, chaque point muni d'une courte soie testacée; sillon basal modérément profond, sans courte pubescence veloutée le long de la base; marges latérales effacées. **Édéage**. Apex des paramères plat ou légèrement convexe et présentant des granules à l'angle dorsal; arête ventrale munie de deux lames transverses aux arêtes latérales saillantes et plus ou moins rugueuses. Crochet de la lamelle accessoire du sac interne spiniforme.

Holotype ♂ (CMNC) : MEX[ICO].: OAX[ACA].; 12 mi. S Valle Nacional, 3000', 17-20.v.[19]71, S. Peck, forest dung T716-7 / HOLOTYPE ♂, *Eurysternus obliteratus* sp. nov., F. Génier. Spécimen disséqué.

Allotype ♀ (CMNC) : Mêmes données que l'holotype.

MATÉRIEL EXAMINÉ. Répartition géographique Fig. 210; 67 ex. : **[PAYS NON SPÉCIFIÉ]** : [sans localité], [sans date], [anonyme] – 1 ♀ (paratype) (MHNG); **BELIZE** : CAYO, Chiquibul Forest Reserve, Las Cuevas field station, 500-700 m (16°44'N, 88°59'O), v-vi.1997, D. Inward – 1 ♀, 5 ♂♂ (6 paratypes) (BMNH); même localité, vi.1997, D. Inward – 2 ♀♀, 2 ♂♂ (4 paratypes) (BMNH); même localité, vi.2006, C.P.D.T. Gillett – 1 ♀, 1 ♂ (paratypes) (OUMNH); **GUATEMALA** : IZABAL, Cerro San Gil, 8 km N Las Escobas, 800 m (15°40'N, 88°47'O), 11-14.vi.1993, B.D. Gill – 6 ♀♀, 5 ♂♂ (11 paratypes) (BDGC); **MEXIQUE** : OAXACA, 12 mi. S Valle Nacional, 975 m (17°39'47"N, 96°19'55"O), vii.1971, A. Newton (302) – 2 ♀♀ (2 paratypes) (CMNC, ROME); même localité, 17-20.v.1971, S. Peck – 1 ♂ (paratype) (ROME); 13 mi. S Valle Nacional, 1128 m (17°38'57"N, 96°20'23"O), viii.1971, A. Newton (143) – 3 ♂♂ (3 paratypes) (CMNC, INBio, ROME); même localité, 9-12.viii.1970, A. Newton – 3 ♀♀, 2 ♂♂ (5 paratypes) (CMNC, ROME); même localité, 15.vii.1973, A. Newton (522C) – 1 ♀ (paratype) (CMNC); 15 mi S Valle Nacional, 1219 m (17°37'56"N, 96°20'35"O), 20-21.v.1971, S. Peck – 1 ♀ (paratype) (CMNC); 18 mi. S Valle Nacional, 1463 m (17°36'45"N, 96°22'25"O), 31.vii.1971, A. Newton (304) – 2 ♂♂ (2 paratypes) (CMNC, ROME); 26 km E Valle Nacional, 1220 m (17°38'3"N, 96°21'9"O), 25.vi.-2.viii.1983, S. & J. Peck – 3 ♀♀, 1 ♂ (paratypes) (CMNC, ROME); 6 mi. S Valle Nacional, 610 m (17°43'14"N, 96°19'2"O),

vii.1971, A. Newton (299) – 2 ♀♀, 3 ♂♂ (5 paratypes) (CMNC, ROME, WDEC); même localité, 18-20.v.1971, H. Howden – 2 ♀♀, 3 ♂♂ (5 paratypes) (CMNC, ROME); même localité, 19-20.v.1971, S. Peck – 2 ♀♀, 4 ♂♂ (6 paratypes) (CMNC, ROME); Valle Nacional, 914 m (17°46'47"N, 96°18'0"O), 17-20.v.1971, S. Peck (T716-7) – 2 ♀♀, 2 ♂♂ (holotype, 2 paratypes) (CMNC); VERACRUZ-LLAVE, Dos Amates, (17°22'56"N, 94°35'37"O), 17-21.vi.1985, P. & L. Arnaud – 1 ♂ (paratype) (PAIC); Lago de Catemaco, 366 m (18°21'27"N, 95°3'36"O), 30.vii.-8. viii.1970, A. Newton – 1 ♀, 2 ♂♂ (3 paratypes) (CMNC, CMNH, ROME).

CONDITION DE CAPTURE. Certains spécimens capturés à l'aide de pièges à fosses appâtés avec des excréments et de la charogne, quelques autres au piège à interception de vol.

HABITAT. Très peu de données, à l'exception de certaines captures en forêt, en forêt de basse altitude, en forêt tropicale semi-décidue et en forêt de montagne. Cette espèce semble restreinte à la province du golfe du Mexique.

PHÉNOLOGIE. Spécimens capturés en mai, juin, juillet et aout.

Eurysternus velutinus Bates, 1887

(Fig. 211)

Eurysternus velutinus Bates
1887 Bates, *Biol. Cent. Amer.* 2 : 39
1911 Gillet, *Col. Cat.* 38 : 26 (catalogue)
1944 Blackwelder, *U. S. Nat. Mus. Bull.* 185 : 197 (catalogue)
1977 Halffter & Halffter, *Folia Ent. Mex.* 37 : 49 (redescription)
1981 Howden & Young, *Contr. Am. Ent. Inst.* 18 : 16 (diagnose, clé de détermination)
1985 Jessop, *J. Nat. Hist.* 19 : 1100 (désignation de type)
1998 Forsyth et al., *RAP Work. Pap.* 10 : 370 (faunistique)
2003 Morón, *Atl. Esc. Mex.* 2 : 45 (répartition)

ÉTYMOLOGIE. *Velutinus* (velouté) adjectif néo-latin se rapportant de toute évidence à l'aspect du tégument de cette espèce.

DIAGNOSE. Longueur 17,5-19,0 mm. Corps brun foncé à vert olive foncé présentant des reflets cuivrés par endroits sur la face ventrale. Tête à ponctuation fine et estompée à l'avant, devenant grande, peu profonde et ocellée sur tout le vertex, surface postérieure des joues à ponctuation plus profonde et confluente.

Pronotum présentant une étroite bande longitudinale sans ponctuation vaguement délimitée à l'avant au milieu, toute la surface à grosse ponctuation ocellée confluente; arête latérale droite entre l'angle antérieur et l'angle latéral. Élytres à pubescence brune; Interstries 5 et 7 munis sur le calus apical de soies plus longues et denses que celles du 6e interstrie. Tibia muni d'un tubercule près du tiers basal sur la face ventrale. Fémur médian à surface ventrale soyeuse; ponctuation en grande partie grosse et profonde. Fémur postérieur à ponctuation en grande partie grosse et profonde, sauf sur le tiers distal de la région antérieure; muni d'une rangée de soies sur la face postérieure chez les mâles. Pygidium à ponctuation ocellée; sillon basal un peu excavé, sans trace de courte pubescence veloutée le long de la base.

Lectotype ♂ (BMNH) : Type (disque à bordure rouge) / Lectotype (disque à bordure violet) / V. de Chiriqui, 2-3000 ft. Champion / ♂ / B.C.A. 39. 2. / Sp. figured / *Eurysternus velutinus* Bates (manuscrite) / *Eurysternus velutinus* Bates, Lectotype, det. L. Jessop 1984 / *Eurysternus velutinus* Bates, *vid.* F. Génier, 2004.

MATÉRIEL EXAMINÉ. Répartition géographique Fig. 211; 17 ex. : **COSTA RICA** : HEREDIA, Estación El Ceibo, Parque Nacional Braulio Carrillo, 400-600 m (10°20'N, 84°4'O), ix.1989, R. Aguilar & M. Zumbado – 2 ♂♂ (INBio); même localité, x.1989, R. Aguilar & M. Zumbado – 1 ♂ (INBio); PUNTARENAS, Rancho Quemado, Península de Osa, 200 m (8°40'45"N, 83°34'0"O), iv.1992, D. Brenes – 1 ♀ (INBio); même localité, iv.1992, K. Flores – 1 ♂ (INBio); même localité, 29.v.1988, A. Solís – 1 ♀ (INBio); même localité, 21.iii.-7.iv.1992, F. Quesada – 1 ♀ (INBio); San Vito, Las Cruces, 1200 m (8°49'N, 82°57'57"O), x.1982-III.1983, B. Gill – 1 ♂ (BDGC); même localité, 15-18.viii.1982, B. Gill – 1 ♂ (BDGC); **PANAMA** : CHIRIQUÍ, Volcán de Chiriquí, 610-914 m (8°48'29"N, 82°32'35"O), [sans date], Champion – 3 ♀♀, 1 ♂ (lectotype, paralectotype) (BMNH, CNC, MNHN); DARIÉN, Estación Ambiental Cana, 600-750 m (7°45.32'N, 77°41.07'O), 5-7.vi.1996, R.S. Anderson (1996-110) – 2 ♂♂ (CMNC); même localité, 7-10.vi.1996, R.S. Anderson (1996-117) – 1 ♀ (CMNC); PANAMÁ, Chepo-Carti road, 400 m, 1-22.viii.1982, B. Gill – 1 ♀ (CMNC).

CONDITION DE CAPTURE. Trois spécimens au piège à fosse appâté avec des excréments humains.

HABITAT. Aucune donnée, mais d'après la répartition, probablement en zone de forêt de basse à moyenne altitude (200-1200 m).

PHÉNOLOGIE. Spécimens capturés en mars à juin et aout à octobre.

Eurysternus hypocrita Balthasar, 1939

(Figs. 13, 31, 123-124, 126, 212)

Eurysternus hypocrita Balthasar
1939 Balthasar, *Ent. Blätt.* 35 : 114
1944 Blackwelder, *U. S. Nat. Mus. Bull.* 185 : 197 (catalogue)
1977 Halffter & Halffter, *Folia Ent. Mex.* 37 : 55 (commentaire)
1985 Jessop, *J. Nat. Hist.* 19 : 1101 (désignation de type, synonymie)
2004 Celi et al., *Lyonia* 7 : 44 (faunistique)

ÉTYMOLOGIE. *Hypocrita* (dissimulateur), un adjectif Latin se rapportant probablement au fait que cette espèce était confondue avec *E. velutinus*.

DIAGNOSE. Longueur 16,0-19,0 mm. Corps brun foncé à vert olive foncé présentant des reflets verdâtres et rougeâtres par endroits sur la face ventrale. Tête à ponctuation nette et dense composée d'un mélange de points fins et moyens, plus fine à l'avant du clypéus seulement. Pronotum présentant une étroite bande longitudinale sans ponctuation vaguement délimitée à l'avant au milieu, la surface à grosse ponctuation ocellée confluente, ponctuation simple sur le disque et au milieu à l'avant; arête latérale droite ou faiblement sinuée entre l'angle antérieur et l'angle latéral. Élytres à pubescence brune, claire sur le calus huméral et apical; Interstries 5 et 7 munis sur les calus apicaux de soies plus longues et denses que celles du 6e interstrie. Tibia muni d'un tubercule tronqué près du tiers basal sur la face ventrale. Fémur médian à surface ventrale mate ou soyeuse; ponctuation variant, sauf à l'avant, de grosse, profonde et confluente à plus petite et écartée. Fémur postérieur à ponctuation semblable à celle du fémur médian; muni d'une rangée de soies sur la moitié basale de la face postérieure, arête postéroventrale variant d'anguleuse à faiblement sinuée, face ventrale le long de cette dernière parfois munie au milieu d'une étroite callosité lisse rougeâtre ou verdâtre chez les mâles. Pygidium à petite ponctuation ocellée assez dense; sillon basal parfois faiblement excavé, variant en profondeur, surface de la région des angles basaux largement recouverte d'une pubescence veloutée claire chez certains individus.

Lectotype ♂ (SMF) : Cayenne. Lectotype non examiné, évidence suffisante.

MATÉRIEL EXAMINÉ. Répartition géographique Fig. 212; 1123 ex. : **BOLIVIE** : COCHABAMBA, 16.7 km O Villa Tunari, Avispas, 500 m (17°1'13"S, 65°32'46"O), 10-12.ii.1999, F. Génier (1999-67) – 3 ♂♂ (CMNC); Cesarsama, i.1973, Horacio – 4 ♀♀, 3 ♂♂ (CMNC); même localité, i.1973, H. Martínez – 1 ♀ (CMNC); Estación Biológica El Valle del Sajta, Universidad Mayor de San Simón, 67.5 km E

Villa Tunari, 300 m (17°6'19"S, 64°46'57"O), 7-9.ii.1999, F. Génier (1999-43) – 1 ♀ (CMNC); même localité, 7-9.ii.1999, F. Génier (1999-45) – 1 ♀, 1 ♂ (CMNC); même localité, 7-9.ii.1999, F. Génier (1999-46) – 4 ♀♀, 1 ♂ (CMNC); même localité, 7-9.ii.1999, F. Génier (1999-48) – 2 ♀♀ (CMNC); même localité, 7-9.ii.1999, R. Hanley (1999-57) – 1 ♀ (CMNC); même localité, 7-9.ii.1999, F. Génier (1999-44) – 2 ♂♂ (CMNC); même localité, 9-13.ii.1999, F. Génier (1999-70) – 1 ♀, 1 ♂ (CMNC); même localité, 9-13.ii.1999, F. Génier (1999-72) – 1 ♀ (CMNC); même localité, 9-13.ii.1999, F. Génier (1999-75) – 1 ♀ (CMNC); même localité, 9-13.ii.1999, F. Génier (1999-73) – 3 ♀♀ (CMNC); même localité, 9-13.ii.1999, F. Génier (1999-74) – 2 ♀♀ (CMNC); même localité, 9-13.ii.1999, F. Génier (1999-71) – 1 ♂ (CMNC); Region Chapare, 400 m (16°30'S, 65°30'O), viii.1957, Zischka – 1 ♂ (CNCI); même localité, 25.viii.1949, Zischka – 1 ♂ (CMNC); même localité, 15.viii.1954, Zischka – 2 ♀♀ (MHNG); Villa Tunari, Hotel El Puente, 357 m (16°59.02'S, 65°24.5'O), 15-27.xii.2005, S. & J. Peck (2005-45) – 1 ♂ (CMNC); Provincia Chapare, Cristal Mayu, 600 m (17°5.76'S, 65°46.1'O), ii.1971, F. Steinbach – 2 ♀♀, 2 ♂♂ (CMNH); même localité, xii.1949, [anonyme] – 1 ♂ (MZSP); même localité, iii.1970, F. Steinbach – 1 ♀, 2 ♂♂ (WDEC); El Palmar [=Yungas del Palmar], 1600 m (17°8'S, 65°30'O), [sans date], [anonyme] – 1 ♀ (FSCA); Río Coni, 2.x.1949, R. Zischka – 1 ♂ (CMNC); Villa Tunari, (16°58'48"S, 65°25'43"O), xii.1985, Martínez – 6 ♀♀, 6 ♂♂ (CMNC); même localité, i.1986, Martínez – 1 ♀, 1 ♂ (CMNC); LA PAZ, Alto Palmar, (15°31'S, 68°24'O), ii.1970, F. Steinbach – 1 ♀, 2 ♂♂ (CMNH); Tumupasa, (14°8'23"S, 67°53'26"O), xii[1921-1922], W.M. Mann – 1 ♀ (USNM); PANDO, 2.0 km SW Fortaleza del Abuna, 120 m (9°47'S, 65°30'O), 13.ii.1996, F. Guerra – 2 ♀♀, 3 ♂♂ (USNM); 2.5 km SW Fortaleza del Abuna, 120 m (9°47'S, 65°30'O), 16.ii.1996, F. Guerra – 1 ♀ (USNM); 20 km SW Villa Bella, 120 m (10°22'S, 65°22'O), 24.ii.1996, F. Guerra – 1 ♀, 1 ♂ (USNM); nnear Villa Bella, 120 m (10°22'S, 65°22'O), 24.ii.1996, F. Guerra – 2 ♀♀ (USNM); même localité, 25.ii.1996, F. Guerra – 1 ♂ (USNM); même localité, 25.ii.1996, F. Guerra – 1 ♂ (USNM); Río Negro, 120 m (9°52'S, 65°42'O), 16.ii.1996, F. Guerra – 1 ♂ (USNM); SANTA CRUZ, Los Volcanes, Sacta I., (18°6'10"S, 63°36'0"O), 1.ii.2003, A.C. Hamel L. – 11 ♂♂ (OXUM); Los Volcanes, Sacta II., (18°6'10"S, 63°36'0"O), 1.ii.2003, A.C. Hamel L. – 2 ♂♂ (OXUM); Rurrenabaque, Río Beni, (14°28'S, 67°34'O), x[1921-1922], W.M. Mann – 1 ♂ (USNM); Umgebung Buenavista, (17°27'30"S, 63°39'36"O), [sans date], Steinbach – 1 ♀ (CMNC); Provincia del Sara, Buena Vista, (17°27'28"S, 63°39'12"O), [sans date], Steinbach – 3 ♀♀, 1 ♂ (CMNH); **BRÉSIL** : AMAPÁ, Serra do Navio, (0°53'31"N, 52°0'10"O), ix.1957, P. Pereira – 1 ♀, 1 ♂ (CMNC); même localité, xii.1964, E. Dente – 2 ♀♀, 1 ♂ (MZSP); même localité, i.1957, Pereira & Machado – 3 ♀♀, 4 ♂♂ (MZSP); AMAZONAS, 90 km N Manaus, (2°14'40"S, 60°2'0"O), xi.1997, E. Andresen – 4 ♀♀, 3 ♂♂ (FVMC); même localité, x-xi.1996, E. Andresen – 1 ♀, 1 ♂ (FVMC);

Benjamin Constant, Rio Javari, (4°22'28"S, 70°1'47"O), iii.1942, A. Rabaut – 1 ♀ (FSCA); même localité, ii.1960, Dirings – 1 ♀ (MZSP); même localité, iv.1960, Dirings – 1 ♀ (MZSP); même localité, xii.1961, Dirings – 1 ♂ (MZSP); même localité, x.1963, Dirings – 1 ♂ (MZSP); Bôca do Tucano, Rio Cauburi, (0°40'N, 67°27'O), xi.1965, E. Dente – 1 ♀ (MZSP); Fazenda Dimona, 70 km N manaus, (2°19'S, 60°5'O), 19.vi.1986, B. Klein – 3 ♀♀, 1 ♂ (FSCA); même localité, 20. vi.1986, B. Klein – 4 ♂♂ (FSCA); Fazenda Esteio, 70 km N Manaus, (2°24'S, 59°52'O), 31.v.1986, B. Klein – 1 ♀ (FSCA); même localité, 10.vi.1986, B. Klein – 3 ♀♀, 2 ♂♂ (CMNC, FSCA); Fazenda Esteio, Rd. ZF3 Km 23, (2°24'S, 59°52'O), 5.vii.1985, B. Klein – 1 ♀, 1 ♂ (FSCA); même localité, 20.vii.1985, B. Klein – 2 ♀♀ (FSCA); même localité, 22.vii.1985, B. Klein – 1 ♂ (CMNC); Hyutanahã, Rio Purus, (7°40'S, 65°46'O), iii.1922, S.M. Klages – 1 ♀ (CMNH); João Pessôa, Rio Juruá, (6°40'S, 69°52'O), 10.ix.1935, [anonyme] – 1 ♂ (MZSP); Manaus, (3°6'48"S, 60°1'31"O), ix.1961, M. Mello – 1 ♂ (CMNH); même localité, [sans date], [anonyme] – 1 ♂ (USNM); Reserva Florestal Adolpho Ducke, 26 km NE Manaus, 80 m (2°57'S, 59°57'O), 4-12.iii.1966, W.D. Edmonds – 4 ♀♀, 10 ♂♂ (MZSP, WDEC); même localité, 6.xii.1977, B.C. Ratcliffe – 1 ♂ (UNSM); même localité, 7.i.1978, B.C. Ratcliffe – 1 ♂ (UNSM); même localité, 24.i.1978, B.C. Ratcliffe – 1 ♀ (UNSM); même localité, 7.iii.1978, B.C. Ratcliffe – 1 ♀ (BCRC); même localité, 4.iv.1978, B.C. Ratcliffe – 1 ♀, 1 ♂ (UNSM); Rio Javari, Estado do ÉQUATEUR, x.1979, M. Alvarenga – 1 ♂ (CMNC); Rio Tucano, Serra da Neblina, 230 m (0°5'N, 66°0'O), 4.xii.1965, E. Dente – 14 ♀♀, 10 ♂♂ (MZSP); São Paulo de Olivença, (3°28'49"S, 68°56'49"O), iv.1961, Dirings – 2 ♂♂ (MZSP); MATO GROSSO, Rosário Oeste, (14°50'S, 56°25'O), xii.1975, [anonyme] – 1 ♂ (QBUM); Nova Mutum, Santa Rita do Trivelato, (13°48'43"S, 55°16'1"O), xii.1995, W.O. Silva Fo. – 2 ♂♂ (FVMC); MATO GROSSO DO SUL, Fazenda Dr. José Mendes, Três Lagoas, (20°48'S, 51°43'O), x.1964, Exp. Depto. Zool. – 1 ♂ (MZSP); PARÁ, Óbidos, (1°54'30"S, 55°31'8"O), xi.1956, Dirings – 2 ♀♀, 2 ♂♂ (MZSP); même localité, xii.1957, Dirings – 1 ♀, 1 ♂ (MZSP); même localité, iv.1958, Dirings – 1 ♀, 1 ♂ (MZSP); même localité, iii.1960, Dirings – 1 ♂ (MZSP); Reserva do Pacanari, 180 m (0°38'S, 52°34'O), iii-iv.2005, T.A. Gardner & M.I.M. Hernández – 1 ♂ (WDEC); Santaremsinho, Municipio de Itaituba, Rio Tapajos, (4°13'S, 56°1'O), ii.1951, Dirings – 4 ♀♀, 7 ♂♂ (MZSP); Tucuruí, Rio Tocantins, (3°48'25"S, 49°39'25"O), viii.1984, N. Dégallier – 1 ♀, 2 ♂♂ (CMNC); RONDÔNIA, near Fazenda Rancho Grande, 62 km SW Ariquemes, (10°32'S, 62°48'O), 4-16.xi.1997, J.E. Eger – 1 ♂ (FSCA); Pôrto Velho, Rio Madeira, (8°46'S, 63°54'O), [sans date], Mann & Baker – 1 ♂ (USNM); Rio Madeira, Madeira-Mamore R. R. Co. Camp 41, (10°11'S, 65°17'O), [sans date], Mann & Baker – 3 ♀♀, 4 ♂♂ (USNM); **COLOMBIE** : Chaquete, x.1975, [anonyme] – 1 ♂ (CMNH); Vegas del Caquetá, 11.vi.1982, G. Rojas – 2 ♀♀ (MIZA); AMAZONAS, Leticia, 215 m

(4°11'20"S, 69°56'9"O), 20-25.ii.1972, Peck & Howden – 4 ♀♀, 13 ♂♂ (CMNC, CMNH, ROME); même localité, 23.ii.-1.iii.1974, B.C. Ratcliffe – 2 ♀♀ (BCRC); même localité, 23.ii.-2.iii.1974, Howden & Nealis – 4 ♀♀, 4 ♂♂ (BDGC, CMNC, ROME); même localité, 23.ii.-2.iii.1974, S. Peck – 13 ♀♀, 16 ♂♂ (CMNC, CNCI, ROME); même localité, 23.ii.-2.iii.1974, J.D. Glaser – 2 ♀♀, 3 ♂♂ (CMNH); CAQUETÁ, Gigante, 1982, O. Rojas – 1 ♀ (WBWC); Puerto Solano, PNN La Serranía de Chiribiquete, Río Mesay, 250 m (0°14'54"N, 72°56'5"O), 28.i.2000, F. Quevedo – 1 ♂ (IAVH); Puerto Solano, PNN La Serranía de Chiribiquete, Río Sararamano, 250 m (0°10'47"N, 72°37'24"O), 6.iv.2000, E. González – 1 ♂ (IAVH); même localité, 19.iv.2000, E. González – 1 ♂ (IAVH); GUAVIARE, C. Cocuy. C. Moyano, 200 m (2°10'2.4"N, 71°10'54.1"O), 30-31.i.1996, F. Escobar – 1 ♀ (IAVH); META, 16 km E Villavicencio, (4°7'14"N, 73°29'30"O), 2-4.iii.1972, S. Peck – 14 ♀♀, 14 ♂♂ (CMNC, ROME); Villavicencio, 500 m (4°9'38"N, 73°39'43"O), 28.ii.-5.iii.1972, S. Peck – 5 ♀♀, 2 ♂♂ (CMNC, ROME); même localité, 29.ii.-5.iii.1972, S. Peck – 8 ♀♀, 3 ♂♂ (CMNC, ROME); NARIÑO, Orito, Territorio Kofán, 700 m (0°30'N, 77°13'O), x.1998, F. Escobar – 1 ♂ (IAVH); VAUPÉS, Reserva Natural Mosiro-Itajura, Caparú, 100 m (1°4'S, 69°31'O), xi.1995, D. Forero – 1 ♀ (IAVH); même localité, 29.ix.1995, A. Lopera – 1 ♂ (IAVH); même localité, 1.xii.1995, D. Forero – 1 ♀ (IAVH); Río Apaporis, Caparú Biol. Stn, 200 m (1°6'S, 69°30'O), 27.xi.-1.xii.1995, B.D. Gill – 6 ♀♀, 7 ♂♂ (BDGC); **ÉQUATEUR** : GUAYAS, 27 km S Puerto Lopez, 76 km N Santa Elena, 152 m (1°45'49"S, 80°45'18"O), 25-27.vii.1976, S. Peck – 1 ♂ (CMNC); MORONA-SANTIAGO, Untsuants sitio 1, 700 m (2°32'59"S, 77°54'12"O), 7.xii.2001, J. Celi & J. Torres – 2 ♀♀, 2 ♂♂ (CMNC); NAPO, 12 km WSW Tena, 600 m (1°3'46"S, 77°53'53"O), 6-11.vii.1976, S. Peck – 5 ♂♂ (CMNC, ROME); même localité, 8-11.vii.1976, S. Peck – 2 ♀♀, 1 ♂ (ROME); 20 km S Tena, 600 m (1°8'58"S, 77°50'26"O), 9-11.vii.1976, S. Peck – 1 ♀ (CMNC); 3.3 km E Puerto Napo, 400 m (1°3'10"S, 77°42'42"O), 13.vii.1994, F. Génier – 1 ♂ (CMNC); Estación Biológica Jatun Sacha, 450 m (1°4'S, 77°37'O), 10-12.ii.1995, M. Bass & N. Pitman – 13 ♀♀, 22 ♂♂ (USNM); Estación Biológica Jatun Sacha, 21 km E Puerto Napo, 400 m (1°4'5"S, 77°36'50"O), 8.vii.1994, F. Génier – 1 ♀, 4 ♂♂ (CMNC, OUMNH); même localité, 9.vii.1994, F. Génier – 1 ♀, 4 ♂♂ (CMNC); même localité, 11.vii.1994, F. Génier – 5 ♀♀, 5 ♂♂ (CMNC); même localité, 13.vii.1994, F. Génier – 3 ♀♀, 2 ♂♂ (CMNC); même localité, 21.vii.1994, F. Génier – 9 ♀♀, 4 ♂♂ (CMNC); Río Aguarico, 150 m, 25.ix.1977, L. Peña – 4 ♀♀, 2 ♂♂ (CMNH); Scyasuni, 200 m, 20-21.x.1997, D. Padilla & I. Tapia – 2 ♀♀, 4 ♂♂ (QCAZ); même localité, 25-27.x.1997, D. Padilla & I. Tapia – 4 ♀♀, 4 ♂♂ (QCAZ); Tena (environ), 620 m (0°59'S, 77°49'O), 18-26.i.2007, V. Malý – 1 ♀, 1 ♂ (VMIC); ORELLANA, Estación Biológica y Centro de Capacitación IAMOE, Rodrigo Borja, 4.vi.2000, A. Dávalos – 1 ♀ (CMNC); Estación Científica

Yasuní (PUCE), 250 m (0°40'16.7"S, 76°24'1.8"O), 3-6.iii.1995, M. Bass & N. Pitman – 58 ♀♀, 51 ♂♂ (BDGC, USNM); même localité, 27.vii.-1.viii.1998, Ratcliffe, Jameson, Smith, Villatoro – 6 ♀♀, 1 ♂ (ABTS, MLJC, UNSM); même localité, 5-10.ix.1999, E.G. Riley – 18 ♀♀, 20 ♂♂ (TAMU); même localité, 9-17.ix.1999, D.G. Marqua – 12 ♀♀, 6 ♂♂ (DGMF); Estación de Biodiversidad Tiputini (USFQ), Parque Nacional Yasuní, 220 m (0°38'S, 76°9'O), ix.2000, D. Inward – 4 ♀♀, 5 ♂♂ (BMNH); même localité, 15-22.ii.1997, field course per D.C. Darling (ROM 971001) – 13 ♀♀, 7 ♂♂ (BDGC, ROME); même localité, 14-18.ii.1999, D.C. Darling – 1 ♀, 2 ♂♂ (ROME); Río Yasuni, Site No. 2, 15-22.ix.1977, J.J. Anderson – 1 ♀ (USNM); PASTAZA, 22 km SE Puyo, 900 m (1°37'11"S, 77°50'40"O), 12-16.vii.1976, S. Peck – 1 ♀, 2 ♂♂ (CMNC, ROME); Arajuno (environ), 750 m (1°14'S, 77°40'O), 3-11.xii.2000, V. Malý (E-37) – 8 ♀♀, 6 ♂♂ (VMIC); Chichirota, (2°23'S, 76°39'O), ii.1954, R. Olalla – 1 ♂ (MZSP); SUCUMBÍOS, Dureno, Río Aguarico, 150 m (0°2'40"N, 76°41'50"O), 23-30.ix.1977, L. Peña – 2 ♀♀, 3 ♂♂ (CMNC, ROME); même localité, 23-28.ix.1977, L. Peña – 4 ♀♀, 3 ♂♂ (ROME); Tarapoa, (0°8'S, 76°25'O), 10.ix.1982, J. Boos – 1 ♂ (CMNH); Zábalo, 520 m, 18.xi.1996, M. Tobar – 3 ♀♀, 2 ♂♂ (QCAZ); **GUYANA** : [sans localité], [sans date], [anonyme] – 1 ♀ (paralectotype) (NMPC); POTARO-SIPARUNI, Kaieteur [=Kaietuk waterfall?], (5°10'N, 59°28'O), 5.viii.1911, [anonyme] – 1 ♂ (USNM); même localité, 10.viii.1911, [anonyme] – 1 ♂ (USNM); Tukeit, (5°12'N, 59°27'O), 17.vii.1911, [anonyme] – 2 ♀♀ (MZSP); même localité, 20.vii.1911, [anonyme] – 1 ♀, 1 ♂ (MZSP, USNM); même localité, 5.viii.1911, [anonyme] – 1 ♀ (MZSP); **GUYANE FRANÇAISE** : D-5, 4 km SE Tngmd Jct, 21-22.viii.1995, J.E. Wappes – 1 ♀, 1 ♂ (UNSM); [sans localité], [sans date], [anonyme] – 1 ♂ (MHNG); CAYENNE, 18.4 km SSE Roura, 240 m (4°36'38"N, 52°13'25"O), 29.v.-10.vi.1997, J. Ashe & R. Brooks (1997-180) – 1 ♂ (CMNC); 20 km SW Cayenne, 30 m (4°48'18"N, 52°28'41"O), 29.v.-9.vi.1997, J. Ashe & R. Brooks (1997-171) – 1 ♂ (CMNC); 27.4 km SSE Roura, 280 m (4°44'20"N, 52°13'25"O), 10.vi.1997, J. Ashe & R. Brooks (1997-177) – 1 ♀, 2 ♂♂ (CMNC); 8.4 km SSE, Roura, 200 m (4°40'41"N, 52°13'25"O), 25-29.v.1997, J. Ashe & R. Brooks (1997-88) – 1 ♀ (CMNC); même localité, 29.v.-10.vi.1997, J. Ashe & R. Brooks (1997-182) – 11 ♀♀, 11 ♂♂ (CMNC); Amazone Nature Lodge, 30 km SE Roura on Kaw Road, 300 m (4°33'34"N, 52°12'26"O), 2-8.vi.2005, J.E. Eger & M.T. Messenger – 1 ♂ (FSCA); même localité, 3-10.vi.2005, J.E. Eger – 2 ♀♀, 1 ♂ (FSCA); même localité, 11-13.vi.2005, J.E. Eger – 6 ♀♀, 4 ♂♂ (FSCA); Barrage de Petit Saut, Commune de Sinnamary, (5°22'N, 52°57'O), 10.iii.1997, P. Cerdan & F. Lavalette – 3 ♀♀, 2 ♂♂ (CMNC); Cayenne, (4°54'3"N, 52°18'12"O), [sans date], [anonyme] – 1 ♂ (MHNG); même localité, xi.1951, [anonyme] – 1 ♀, 1 ♂ (MZSP); Crique Plomb, (4°47'N, 52°47'O), 24-25.ix.1992, D.C. Carlton, F.T. Hovore, P.H. Sullivan – 1 ♀ (BDGC); Fourgassie, (4°37'N, 52°19'O), 23.ii.-2.iii.1996,

I. Jeniš – 2 ♀♀, 3 ♂♂ (MHNG); même localité, 12-18.iii.1996, I. Jeniš – 4 ♀♀ (MHNG); La Chaumière, Cayenne, (4°52'N, 52°21'40"O), iv.1978, P. Arnaud – 4 ♀♀ (PAIC); Montagne de Kaw, (4°33'N, 52°10'O), viii.1992, A. Chaminade – 1 ♀, 2 ♂♂ (FVMC); SAINT-LAURENT-DU-MARONI, along Rue de Belizon trail, 2.9 km NW Les Eaux Claires, 7 km N Saül, 220-240 m (3°39'46"N, 53°13'19"O), 31.v.-3.vi.1997, Ashe & Brooks (122) – 1 ♂ (CMNC); Fleuve Mana, (5°15'N, 53°38'O), v.1917, [anonyme] – 1 ♂ (CMNH); Les Eaux Claires, 7 km N Saül, 220 m (3°39'46"N, 53°13'19"O), 30.v.-4.vi.1997, J. Ashe & R. Brooks (1997-144) – 1 ♂ (CMNC); Mont La Fumée, 3 km NW Les Eaux Claires, 7 km N Saül, 490 m (3°39'46"N, 53°13'19"O), 1-8.vi.1997, J. Ashe & R. Brooks (1997-162) – 1 ♀ (CMNC); même localité, 1-8.vi.1997, J. Ashe & R. Brooks (1997-163) – 2 ♀♀ (CMNC); Saül, (3°37'N, 53°12'O), 4-10.iii.1996, I. Jeniš – 10 ♀♀, 9 ♂♂ (MHNG); **PÉROU** : Río Santiago, 25.vi.1924, H. Bassler – 1 ♀ (MZSP); même localité, 18.i.1929, H. Bassler – 1 ♂ (MZSP); CUZCO, Hacienda Maria, Río Cosñipata, Saucaetambo, 15.iii.1952, F. Woytkowski – 2 ♂♂ (CMNC); HUANUCO, Cucharas, Huallaga Valley, vi.1954, F. Woytkowski – 4 ♀♀, 5 ♂♂ (CMNC, ROME); Tingo María, 700-740 m (9°10'S, 76°0'O), vii.1974, C. Bordón – 2 ♀♀, 1 ♂ (MHNG); même localité, 24.viii.1997, N. Quinte – 2 ♀♀, 1 ♂ (AFIC); JUNÍN, near Sanibeni, (11°34'13"S, 74°9'54"O), 19.ix.1935, Woytkowski – 1 ♂ (CNCI); même localité, 5.x.1935, Woytkowski – 1 ♀ (CNCI); Sanibeni, (11°34'13"S, 74°9'54"O), 12.ix.1935, [anonyme] – 1 ♀ (WDEC); Satipo, (11°16'S, 74°41'O), v.1945, [anonyme] – 2 ♂♂ (CMNC); même localité, iv.1945, P. Paprzycki – 1 ♀ (FSCA); même localité, 23.v.-3.vi.2004, A. Santibañez – 1 ♂ (WDEC); LORETO, 1.5 km N Teniente López, 230-305 m (2°35'39.6"S, 76°6'55"O), 18-26.vii.1993, R. Leschen – 2 ♀♀, 1 ♂ (CMNC); même localité, 18.vii.1993, R. Leschen (1993-118) – 1 ♀, 1 ♂ (SEMC); même localité, 18.vii.1993, R. Leschen (1993-120) – 1 ♀ (SEMC); même localité, 20.vii.1993, R. Leschen (1993-133) – 1 ♀ (SEMC); même localité, 20.vii.1993, R. Leschen (1993-134) – 1 ♀ (SEMC); même localité, 24. vii.1993, R. Leschen (1993-189) – 1 ♂ (SEMC); Calientillo (Contamana), 150 m (7°20'S, 75°1'O), 10.v.1985, P. Hocking – 1 ♀, 1 ♂ (CMNC, CNCI); Campamento San Jacinto, 175-215 m (2°18.75'S, 75°51.77'O), 3-12.vii.1993, R. Leschen – 1 ♂ (CMNC); même localité, 3.vii.1993, R. Leschen (1993-13) – 1 ♀ (SEMC); même localité, 4.vii.1993, R. Leschen (1993-19) – 1 ♀ (SEMC); même localité, 8.vii.1993, R. Leschen (1993-54) – 2 ♀♀, 4 ♂♂ (SEMC); même localité, 10.vii.1993, R. Leschen (1993-78) – 3 ♀♀, 1 ♂ (SEMC); même localité, 11.vii.1993, R. Leschen (1993-82) – 1 ♂ (SEMC); Explornapo Camp, 2 km from Río Napo on Río Sucusari, 160 km NE Iquitos, (3°11'S, 72°53'O), 27-31.viii.1992, J. Castner & P. Skelley – 8 ♀♀, 3 ♂♂ (FSCA); Pebas (= Pévas), (3°20'S, 71°49'O), xi-iii.1880, M. de Mathan – 1 ♀ (MNHN); Teniente López, 210-240 m (2°35.66'S, 76°6.92'O), 28. vii.1993, R. Leschen (1993-199) – 1 ♀ (SEMC); Upper Río Tapiche, (5°3'S,

73°51'O), 2.i.1928, H. Bassler – 1 ♂ (MZSP); MADRE DE DIOS, Estación Biológica Cocha Cashu, Parque Nacional de Manú, 380 m (11°53'45"S, 71°24'24"O), 18.viii.-5.ix.1986, D.C. Darling & A.B. Forsyth – 1 ♀ (ROME); Pantiacolla Lodge, Alto Madre de Dios River, 400 m (12°39'22"S, 71°13'55"O), 23-26.x.2000, R. Brooks (2000-99) – 1 ♂ (CMNC); Parque Nacional del Manú, (12°15'S, 71°45'O), 15-30.viii.1986, A. Forsyth – 1 ♀, 3 ♂♂ (BDGC, CMNC); Tambopata Wldlf. Res., 30 km SW Pto. Maldonado, 290 m (12°50'S, 69°20'O), 12-31.viii.1982, J.J. Anderson – 1 ♀, 2 ♂♂ (USNM); même localité, 16.viii.1982, J.J. Anderson – 1 ♀ (USNM); Ccolpa de Guacamayos, Río Tambopata, 300 m (13°8.5'S, 69°36.4'O), x.1995, A. Forsyth – 18 ♀♀, 40 ♂♂ (BDGC, USNM); PASCO, Palcazú, (10°33'S, 75°34'O), [sans date], [anonyme] – 5 ♀♀, 8 ♂♂ (MNHN); Pozuzo, (10°4'S, 75°33'0"O), [sans date], [anonyme] – 1 ♂ (MNHN); SAN MARTÍN, Achinamiza, (6°25'S, 75°54'O), 24.xii.1925, H. Bassler – 1 ♂ (MZSP); Upper Río Huallaga, (6°26'38"S, 75°53'24"O), i.1925, [anonyme] – 1 ♂ (MZSP); UCAYALI, Aguaytía, Huallaga, (9°3'S, 75°30'O), ix.1961, [anonyme] – 1 ♂ (MHNG); Pucallpa, (8°23'58"S, 74°34'39"O), 19.x.1974, J. Schunke L. – 1 ♀ (CMNC); **SURINAME** : [sans localité], [sans date], [anonyme] – 1 ♀, 1 ♂ (paralectotype) (MHNG, NMPC); MAROWIJNE, Palumeu, 160 m (3°20'56"N, 55°26'18"O), 8.vii.1999, Z. Falin – 1 ♀ (CMNC); **VENEZUELA** : AMAZONAS, Alto Río Mavaca, 150 m (2°2'10"N, 65°6'50"O), 14.ii.-6.iii.1989, J. DeMarmels & A. Chacon – 1 ♀, 1 ♂ (MIZA); San Juan de Manapiare, carretera Caicara, 300 m (5°16'33"N, 66°4'53"O), 14.iv.1977, O. Mattei – 3 ♂♂ (MIZA); Yavita, 128 m (2°55'19"N, 67°26'7"O), ix.1947, R. Lichy – 1 ♀ (CMNC); même localité, viii.1947, R. Lichy – 1 ♀ (MZSP); BOLIVAR, 105 km S El Dorado, 350 m (5°59'N, 61°24'20"O), 17.vii.-7.viii.1986, B.D. Gill – 2 ♀♀, 3 ♂♂ (BDGC); 85 km S El Dorado, (6°7'58"N, 61°25'34"O), 23-25.viii.1983, B.D. Gill – 2 ♀♀, 1 ♂ (BDGC); Campo Guayaraca, Auyán Tepuy, 110 m (5°40'8"N, 62°31'54"O), 20.iv.1956, F. Fernandez Y., C.J. Rozales – 1 ♂ (MZSP); El Dorado-S. Elena K. 100, 300 m (6°0'37"N, 61°23'22"O), 7.viii.1986, C. Bordón – 1 ♀ (BDGC); Km 40 Santa Elena, Icabarú Road, 1000 m (7°26'20"N, 61°33'30"O), 4-6.viii.1986, B.D. Gill – 49 ♀♀, 60 ♂♂ (BDGC, CMNC); Km 83 El Dorado Rio La Clarita, 25-28.vi.1984, J.D. Glaser – 2 ♂♂ (CMNH); Río Surucún, Carretera Santa Elena-Icabaru, 850 m, 19-31.i.1985, F. Fernandez Y., A. Chacon, J. Demarmels – 9 ♀♀, 11 ♂♂ (MIZA); Santa Elena-Icabarú, Km 40, 1000 m (4°36'4"N, 61°25'26"O), 5.viii.1986, C. Bordón – 1 ♀ (BDGC).

CONDITION DE CAPTURE. Certains individus capturés à l'aide de pièges à interception de vol, de pièges à excréments placés dans la forêt, de pièges à excréments humains et de charogne de poisson ou de viande dans la forêt vierge amazonienne. Trouvés aussi dans des excréments de singe hurleur (*Alouatta* sp.).

HABITAT. Forêt primaire et secondaire, quelle soit terra firme ou inondable, de tout le bassin de l'Amazone et du bouclier guyanais jusqu'à une altitude de 1000 m. Un spécimen vraisemblablement mal étiqueté du Yungas del Palmar, en Bolivie, à 1600 m.

PHÉNOLOGIE. Spécimens capturés toute l'année.

REMARQUES. Ce nom s'applique à un regroupement de plusieurs formes plus ou moins distinctes. Bien que plus de 1123 spécimens aient été examinés, il semble impossible de fractionner ce groupe de façon satisfaisante. Par exemple, les spécimens du bouclier guyanais possèdent tous des fémurs à grosse ponctuation confluente, un édéage ayant le crochet de la lamelle accessoire du sac interne lancéolé et le flagelle fin. Les spécimens de l'Amazonie et d'Amapá au Brésil sont identiques, mais s'en distinguent, entre autres, par le sillon basal du pygidium plus large et profond et la surface des angles basaux largement recouverts d'une pubescence veloutée claire très caractéristique. Certains spécimens équatoriens ont la ponctuation des fémurs médians et postérieurs beaucoup plus petite et écartée et présentent un édéage 25 % plus volumineux, un flagelle beaucoup plus robuste et la lamelle accessoire du sac interne qui se termine en lame tronquée. La majorité des spécimens guyanais et surinamais ont le pygidium simple, mais quelques individus présentent un pygidium à sillon basal un peu plus large et une étroite bande de pubescence veloutée. Quant aux spécimens équatoriens, péruviens, boliviens et de l'ouest du Brésil, ils présentent un édéage semblable, mais se distinguent par la ponctuation beaucoup plus écartée du fémur. Même après avoir minutieusement comparé un maximum de caractères comme la ponctuation de la tête, la conformation de l'arête latérale du pronotum, la ponctuation du pronotum, la forme du fémur et du tibia médians et postérieurs, la configuration du prosternum, la forme des paramères et les lamelles du sac interne, etc., qui sont utiles au diagnostic pour les autres espèces du genre, rien ne semble donner de résultats. Une étude très approfondie à l'aide du matériel génétique permettra peut-être de comprendre la situation. Il est vraisemblable que l'hybridation est en cause ici. Le nom proposé par Balthasar en 1939 reste donc toujours très actuel!

GROUPE FOEDUS

DIAGNOSE. Taille moyenne à grande (12,0-25,0 mm). Corps et pattes en grande partie variant de brun à vert olive foncé, sans reflets métalliques distincts. Yeux semi-circulaires et peu visibles sur le dessus. Menton modérément échancré. Pro-

notum à surface inégale; ponctuation confluente et ocellée surtout présente sur la surface des déclivités antérieures, le disque présentant des points plus petits, plus ou moins ocellés et inégalement répartis; soies bifides ou trifides à l'extrémité sur le disque, semblables en longueur sur toute la surface; arête latérale sans fine carène tranchante entre l'angle postérieur et l'angle médian (carénée seulement chez *E. sulcifer*). Élytres à pubescence très courte et éparse sur le disque, brun pâle ou brun foncé selon les espèces; carène du pseudépipleure au même niveau que le 9e interstrie (plus basse chez *E. sanbornei*) et peu tranchante au milieu. Sternite abdominal 3 étroitement tronquée antérieurement entre les hanches séparées par une distance équivalante à moins de la longueur du trochanter. Tarse du tibia antérieur atrophié, habituellement absent, sauf chez les individus ténéraux. Hanche postérieure unicolore. Éperon du tibia postérieur mâle fusionné. Fémur postérieur mâle et femelle muni d'une dent ou d'un lobe (ce dernier très réduit chez *E. sanbornei*). Paramères simples, sans projection ventrale ni pubescence près de l'apex.

Eurysternus sulcifer Balthasar, 1939

(Fig. 213)

Eurysternus sulcifer Balthasar
1939 Balthasar, *Ent. Blätt.* 35 : 115
1944 Blackwelder, *U. S. Nat. Mus. Bull.* 185 : 197 (catalogue)
1985 Jessop, *J. Nat. Hist.* 19 : 1102 (désignation de type)

ÉTYMOLOGIE. *Sulcifer* (*sulci-*, sillon et *-fer*, qui porte), origine indéterminée.

DIAGNOSE. Longueur 16,5-18,0 mm. Corps brun foncé à vert olive intense. Tête à ponctuation petite et nette sur toute la surface, confluente près des yeux, un peu plus fine à l'avant du clypéus. Pronotum à surface inégale, présentant une étroite dépression longitudinale au milieu à l'avant, cette dernière flanquée d'une petite callosité glabre de chaque côté, et une dépression triangulaire estompée au milieu à l'arrière; toute la surface à grosse ponctuation simple et estompée sur le disque, devenant ocellée et confluente sur l'angle antérieur; arête latérale munie d'une fine carène tranchante sur toute la longueur, sauf parfois sur une courte distance au niveau de l'angle latéral. Élytres à pubescence squamiforme éparse, bifide ou trifide à l'apex; interstries 5 et 8 plus élevés; carène du 9e interstrie émoussée au milieu. Prosternum flanqué d'une grosse dépression à surface rugueuse complètement marginée de chaque côté. Métasternum à très grosse ponctuation confluente près des hanches médianes. Fémur antérieur muni d'une dent au milieu de l'arête antérieure de la marge antérieure. Tibia antérieur mâle médiocrement robuste et

recourbé au milieu; l'apex largement arrondi, non recourbé ventralement et flanqué d'une grosse brosse de soies sur la face ventrale. Tibia antérieur femelle non modifié, l'angle apical interne simplement spiniforme. Fémur médian à surface lustrée entre les points à l'avant et complètement mate sur la moitié arrière; la ponctuation fine et râpeuse à l'avant, plus espacée et ocellée à l'arrière. Fémur postérieur à surface lustrée sur la moitié basale et la région antérieure, le reste de la surface mate; la ponctuation médiocrement grosse et profonde, espacée; la surface postérieure munie d'une dent recourbée vers l'intérieur sur le tiers basal dans les deux sexes. Pygidium finement et complètement marginé latéralement; recouvert d'une ponctuation ocellée estompée de chaque côté. Paramères fortement recourbés vers le bas à l'apex. Sac interne sans plaque de spicule près de la base; lamelle accessoire munie d'une seule dent.

Lectotype ♂ (NMPC) : LECTOTYPE (disque à bordure violette) / Sao Paulo, H. Schulz / Coll. B. Schwarzer / Senckenberg Museum / TYPUS (carton rouge) / *Eurysternus sulcifer* n. sp. Dr. V. Balthasar det (manuscrite) / Mus. Nat. Pragae Inv. 26342 (carton saumon) / *Eurysternus sulcifer* Balth. LECTOTYPE, det. L. Jessop 1984. Lectotype examiné.

MATÉRIEL EXAMINÉ. Répartition géographique Fig. 213; 11 ex. : **BRÉSIL** : MINAS GERAIS, du midi de la Capitale des Minas, (20°26'S, 43°30'O), [sans date], [anonyme] – 1 ♂ (MNHN); Fazenda dos Campos, Virginia, 1500 m (22°19'5"S, 45°8'29"O), 28.i.1920, J.F. Zikán – 1 ♀ (CMNC); RIO DE JANEIRO, Itatiaia, (22°28'S, 44°34'O), ii.1993, C. Godinho – 1 ♀ (FVMC); même localité, 15.xii.1942, J.F. Zikán – 1 ♂ (FVMC); Itatiaia, Km 12, 1720 m (22°28'S, 44°34'O), 13.iii.1930, J.F. Zikán – 1 ♂ (CMNC); RIO GRANDE DO SUL, Canela Vale da Ferradura, (29°16'6"S, 50°50'48"O), 18-24.x.1989, [anonyme] – 1 ♀ (CMNC); Santo Augusto, (27°51'5"S, 53°46'38"O), xii.1970, O. Roppa – 1 ♂ (CMNH); SANTA CATARINA, Blumenau, (26°55'25"S, 49°4'34"O), [sans date], [anonyme] – 1 ♂ (paralectotype) (NMPC); Lages, (27°48'14"S, 50°21'16"O), 1887, J. Michaelis – 1 ♀ (MNHN); SÃO PAULO, Estação Biológica de Boracéia, Salesópolis, (23°38'55"S, 45°52'20"O), 23.ix.1965, [anonyme] – 1 ♂ (WDEC); São Paulo, (23°32'S, 46°37'O), [sans date], H. Schulz – 1 ♂ (lectotype) (NMPC).

CONDITION DE CAPTURE. Un spécimen capturé sous une bouse de vache.

HABITAT. Aucune donnée précise. Probablement restreinte à la forêt atlantique et à la zone de transition avec les campos d'altitude. Une capture à 1720 m.

PHÉNOLOGIE. Spécimens capturés en janvier, mars, septembre et décembre.

Eurysternus sanbornei Gill, 1990
(Fig. 214)

Eurysternus sanbornei Gill
1990 Gill, *Col. Bull.* 44 : 355

ÉTYMOLOGIE. *Sanbornei* (de Sanborne), un patronyme en hommage à notre regretté collègue P. Michael Sanborne, anciennement directeur du Musée et Laboratoire de recherche Lyman, Université McGill de Montréal.

DIAGNOSE. Longueur 12,0-15,5 mm. Corps brun foncé à brun verdâtre. Tête à ponctuation petite, nette et confluente, sauf pour certaines petites régions lisses au milieu du clypéus et à l'arrière du vertex. Pronotum à surface inégale, présentant un calus triangulaire longitudinal assez large au milieu à l'avant, ce dernier flanqué d'une petite callosité glabre de chaque côté, et une dépression triangulaire estompée au milieu à l'arrière; toute la surface à ponctuation râpeuse plus ou moins nette sur le disque, devenant ocellée et confluente sur l'angle antérieur et la déclivité latérale; arête latérale émoussée sur toute la longueur, sans rangée de soies alignées, sauf sur une courte distance à l'avant de l'angle médian. Élytre à pubescence squamiforme éparse, bifide à l'apex; interstries 7 et 8 plus élevés que la carène du 9[e] interstrie; carène du 9[e] interstrie émoussée au milieu. Prosternum sans dépression à surface rugueuse de chaque côté, muni d'une fine carène à l'avant seulement. Métasternum à ponctuation médiocre, en majorité séparée par l'équivalent d'au moins deux diamètres près des hanches médianes. Fémur antérieur crénelé sur l'arête antérieure, sans dent au milieu de la région antérieure. Tibia antérieur mâle médiocrement robuste et presque droit; l'apex obliquement tronqué, non recourbé ventralement, flanqué d'une brosse de soies sur la face ventrale. Tibia antérieur femelle non modifié, l'angle apical interne simplement spiniforme. Fémur médian à surface lustrée entre les points; la ponctuation plus grosse et dense sur le tiers postérieur. Fémur postérieur à surface lustré; la ponctuation médiocrement grosse et profonde, espacée; la surface postérieure munie d'un petit tubercule sur le quart basal chez les mâles; complètement simple chez les femelles. Pygidium finement et complètement marginé latéralement; recouvert d'une ponctuation ocellée plus dense de chaque côté et à l'apex. Paramères recourbés vers le bas à l'apex. Sac interne sans plaque de spicule près de la base; lamelle accessoire munie d'une seule dent.

Holotype ♂ (MIZA) : VENEZ[UELA]: Bolivar, 15 km E Kanayen [= Kanavayen], 21-27.xii.1987, B.D. Gill. Holotype non examiné, évidence suffisante.

Allotype ♀ (MIZA) : mêmes données que l'holotype. Spécimen non examiné.

MATÉRIEL EXAMINÉ. Répartition géographique Fig. 214; 5 ex. : **GUYANA** : [sans localité], ix, [anonyme] – 2 ♂♂ (CMNH); **VENEZUELA** : BOLIVAR, El Dorado-Santa Elena, Km 131, 1300 m (5°47'N, 61°28'O), 28.x.1972, J. & B. Bechyne – 1 ♀, 1 ♂ (paratypes) (CMNC); même localité, 30.x.1972, J. & B. Bechyne – 1 ♂ (paratype) (CMNC).

CONDITION DE CAPTURE. Aucune donnée.

HABITAT. Aucune donnée.

PHÉNOLOGIE. Spécimens capturés en septembre et octobre.

Eurysternus foedus Guérin-Méneville, 1830

(Figs. 14, 25, 35, 54, 59, 61, 130-135, 215)

Eurysternus foedus Guérin-Méneville
1830 Guérin-Méneville, *Icon. Règ. anim. Cuv.* : pl. 21, Figs 5, 5.a
1840 Castelnau, *Hist. Nat. Ins.* 2 : 93 (commentaire)
1844 Guérin-Méneville, *Icon. Règ. anim. Cuv.* : 76 (description)
1869 Gemminger & Harold, *Cat. Col.* 4 : 1024 (catalogue) (as *foetidus* lapsus calamni)
1911 Gillet, *Col. Cat.* 38 : 25 (catalogue)
1941 Pessôa & Lane, *Arq. Zool. S. Paulo* 2 : 409 (description)
1944 Blackwelder, *U. S. Nat. Mus. Bull.* 185 : 197 (catalogue)
1977 Halffter & Halffter, *Folia Ent. Mex.* 37 : 78 (redescription)
1985 Jessop, *J. Nat. Hist.* 19 : 1102 (désignation de type)
1987 Howden & Gill, *Col. Bull.* 41 : 202 (commentaire)
1998 Forsyth et al., *RAP Work. Pap.* 10 : 370 (faunistique)
2003 Huerta et al., *Acta Zool. Mex. (n.s.)* 88 : 24 (biologie)
2003 Morón, *Atl. Esc. Mex.* 2 : 45 (répartition)
2004 Celi et al., *Lyonia* 7 : 44 (faunistique)

Eurysternus claudicans Kirsch [synonymie : Jessop, 1985 : 1102]
1871 Kirsch, *Berl. Ent. Zeit.* 14 : 360
1880 Harold, *Ent. Zeit. Stet.* 41 : 13 (commentaire, répartition)
1887 Bates, *Biol. Cent. Amer.* 2 : 39 (commentaire, répartition)
1911 Gillet, *Col. Cat.* 38 : 197 (catalogue)
1944 Blackwelder, *U. S. Nat. Mus. Bull.* 185 : 197 (catalogue)
1966 Halffter & Matthews, *Folia Ent. Mex.* 12-14 : 173 (association avec acariens)
1981 Howden & Young, *Contr. Am. Ent. Inst.* 18 : 15 (diagnose, clé de détermination)

1985 Jessop, *J. Nat. Hist.* 19 : 1102 (synonymie)
1987 Howden & Gill, *Col. Bull.* 41 : 201 (commentaire)

ÉTYMOLOGIE. *Foedus* (fétide, sale), un adjectif latin se rapportant vraisemblablement au mode de vie de cette espèce.

DIAGNOSE. Longueur 13,0-15,5 mm. Corps brun à brun verdâtre. Tête à ponctuation petite, devenant plus grosse le long des sutures clypéogénales, joues à ponctuation ocellée uniforme, vertex en partie lisse. Pronotum à surface inégale, présentant un sillon longitudinal mal défini au milieu à l'avant, ce dernier flanqué d'une petite callosité glabre de chaque côté, et une dépression triangulaire estompée au milieu à l'arrière; la surface à ponctuation inégale, plus petite et simple sur les régions élevées ou plus grosse et ocellée dans les régions déprimées et aux angles antérieurs; arête latérale émoussée entre l'angle postérieur et médian. Élytres à pubescence fine et éparse, bifide à l'apex; interstrie 5 plus élevé; carène du 9e interstrie tranchante au milieu. Prosternum muni d'une carène arquée de chaque côté. Métasternum à ponctuation ocellée, en majorité séparée par l'équivalent d'au moins deux diamètres près des hanches médianes. Fémur antérieur crénelé sur la marge antérieure, inerme chez les mâles, munie d'une dent aigüe sur la face antérieure au milieu chez les femelles. Tibia antérieur mâle médiocrement robuste et arqué; l'apex obliquement tronqué, recourbé vers le bas et formant une dent triangulaire, cette dent flanquée d'une brosse de soies interrompue avant la dent latérale apicale. Tibia antérieur femelle non modifié, l'angle apical interne simplement spiniforme. Fémur médian à surface lustrée entre les points, sauf sur une petite surface près de l'arête postérieure; la ponctuation plutôt uniforme. Fémur postérieur à surface en grande partie lustrée, sauf l'apex mat; la ponctuation médiocrement grosse et profonde, plus petite et estompée à l'apex; la surface postérieure munie d'un lobe plus ou moins tronqué à l'apex sur le tiers basal chez les deux sexes. Pygidium non marginé latéralement; recouvert d'une ponctuation ocellée d'inégale grosseur. Paramères recourbés vers le bas à l'apex. Sac interne muni près de la base d'une raspule, cette dernière possède une aire centrale plus sclérotisée; lamelle accessoire munie de trois dents.

Eurysternus foedus Guérin-Méneville :
Neotype ♀ (BMNH) : NEOTYPE (disque à bordure rouge) / BRAZIL, Mato Grosso, 264 km N. of Xavantina, Serra do Roncador, I.R. Bishop (manuscrite) / RS-RGS. Exped to Brazil 1967-1969 (manuscrite) / *Eurysternus foedus* Guérin NEOTYPE, det. L. Jessop 1984 (manuscrite). Néotype examiné, non disséqué.

Eurysternus claudicans Kirsch :
Holotype ♀ (MTD) : Bogota, Kirsch (écriture manuscrite, papier vert) / TYPUS ! (papier rouge) / Staatl. Museum für Tierkunde Dresden / Holotype of *Eu-*

rysternus claudicans, det. L. Jessop 1984 (manuscrite) / *Eurysternus foedus* Guérin, 1844, dét. F. Génier, 1998. Holotype examiné, non disséqué.

MATÉRIEL EXAMINÉ. Répartition géographique Fig. 215; 1409 ex. : **BELIZE** : M-Tee district, 20.iii.1906, F.C. Bowditch – 1 ♂ (FSCA); CAYO, Chiquibul Forest Reserve, Las Cuevas field station, 500-700 m (16°44'N, 88°59'O), v-vi.1997, D. Inward – 6 ex. (BMNH); même localité, i.1998, D. Inward – 1 ex. (BMNH); Las Cuevas Research Station, Chiribul Forest Reserve, San Ignacio, (16°43'N, 88°59'O), 2-17.iv.2004, R. Pateman – 17 ♂♂ (OUMNH); TOLEDO, Blue Creek, (16°11'57"N, 89°2'26"O), 12.vi.1981, W.E. Steiner – 5 ex. (USNM); même localité, 21.vi.1981, W.E. Steiner – 1 ex. (USNM); même localité, 25.vi.1981, W.E. Steiner – 3 ex. (USNM); même localité, 1.vii.1981, W.E. Steiner – 8 ex. (USNM); **BOLIVIE** : COCHABAMBA, 124 km E Cochabamba at Río Espirito Santo, 700 m (17°3'45"S, 65°38'38"O), 8-12.ii.1999, F. Génier (1999-64) – 3 ♂♂ (CMNC); 16.7 km O Villa Tunari, Avispas, 500 m (17°1'13"S, 65°32'46"O), 10-12. ii.1999, F. Génier (1999-67) – 2 ♀♀, 3 ♂♂ (CMNC); Estación Biológica El Valle del Sajta, Universidad Mayor de San Simón, 67.5 km E Villa Tunari, 300 m (17°6'19"S, 64°46'57"O), 7-9.ii.1999, F. Génier (1999-43) – 1 ♀, 2 ♂♂ (CMNC); même localité, 7-9.ii.1999, F. Génier (1999-44) – 1 ♀, 2 ♂♂ (CMNC); même localité, 7-9.ii.1999, F. Génier (1999-45) – 1 ♀, 3 ♂♂ (CMNC); même localité, 7-9. ii.1999, F. Génier (1999-41) – 1 ♂ (CMNC); même localité, 9-13.ii.1999, F. Génier (1999-70) – 1 ♀, 3 ♂♂ (CMNC); même localité, 9-13.ii.1999, F. Génier (1999-71) – 6 ♀♀, 5 ♂♂ (CMNC); même localité, 9-13.ii.1999, F. Génier (1999-68) – 2 ♂♂ (CMNC); même localité, 9-13.ii.1999, F. Génier (1999-72) – 1 ♂ (CMNC); Region Chapare, 400 m (16°30'S, 65°30'O), viii.1956, Zischka – 2 ex. (CNC); même localité, 4.vi.1957, Zischka – 1 ♀ (MHNG); Vacas, 3800 m (17°31'57"S, 65°35'58"O), [sans date], [anonyme] – 1 ♂ (FSCA); Provincia Chapare, Alto Palmar, 1100 m (17°5'10"S, 65°30'3"O), ii.1971, F. Steinbach – 2 ♀♀, 3 ♂♂ (WDEC); Cristal Mayu, 600 m (17°5.76'S, 65°46.1'O), ii.1971, F. Steinbach – 2 ♀♀, 1 ♂ (CMNH); même localité, x.1974, P. Arnaud – 2 ex. (PAIC); même localité, iii.1970, F. Steinbach – 2 ♂♂ (WDEC); San Francisco, 280 m, xi.1970, H.E.M. Dott – 1 ♂ (WDEC); San Francisco del Chipiriri, 400 m, vi.1953, A. Martínez – 1 ♀ (CMNC); Villa Tunari, (16°58'48"S, 65°25'43"O), xii.1985, Martínez – 3 ♀♀, 4 ♂♂ (CMNC); EL BENI, Estación Biológica del Beni, Bosque El Trapiche, 195 m (14°52'10"S, 66°19'58"O), 6-11.xi.1997, A. Lopera & S. Amezquita – 2 ♀♀ (AFIC); LA PAZ, Alto Palmar, (15°31'S, 68°24'O), ii.1970, F. Steinbach – 1 ♀, 2 ♂♂ (CMNH); Río Bopi, (16°28'S, 67°20'O), v.1925, G.L. Harrington – 1 ex. (USNM); San Miguel de Huachi, (15°40'29"S, 67°15'6"O), ix, W.M. Mann – 1 ex. (USNM); Tumupasa, (14°8'23"S, 67°53'26"O), xii[1921-1922], W.M. Mann – 1 ex. (USNM); PANDO, near Guayamerin, 120 m (11°50'S, 65°22'O), ii.1996, [anony-

me] – 3 ♂♂ (AFIC); SANTA CRUZ, Hotel Flora y Fauna, 5 km SSE Buena Vista, 440 m (17°29.925'S, 63°39.128'O), 6-15.xii.2003, S. & J. Peck (2003-130) – 1 ♂ (CMNC); même localité, 15-24.xii.2003, S. & J. Peck (2003-131) – 1 ♂ (CMNC); même localité, 24-31.xii.2003, S. & J. Peck (2003-132) – 1 ♀ (CMNC); Rurrenabaque, Río Beni, (14°28'S, 67°34'O), x[1921-1922], W.M. Mann – 2 ex. (USNM); Provincia Andrés Ibáñez, El Espejo, ii.1961, Martínez – 1 ♂ (CMNC); Provincia del Sara, Buena Vista, (17°27'28"S, 63°39'12"O), [sans date], Steinbach – 8 ♀♀, 10 ♂♂ (CMNH); même localité, 1922, R.C. Robert – 2 ex. (USNM); Provincia Ichilo, même localité, ii.1969, F. Steinbach – 3 ♀♀, 1 ♂ (WDEC); **BRÉSIL** : ACRE, Cruzeiro do Sul, (7°38'43"S, 72°39'47"O), i-ii.1988, [anonyme] – 1 ♂ (CMNC); AMAPÁ, Serra do Navio, (0°53'31"N, 52°0'10"O), i.1957, Pereira & Machado – 1 ♀ (BDGC); même localité, ix.1957, P. Pereira – 2 ♂♂ (CMNC); AMAZONAS, Fazenda Dimona, 70 km N manaus, (2°19'S, 60°5'O), 19.vi.1986, B. Klein – 1 ♂ (FSCA); même localité, 20.vi.1986, B. Klein – 1 ♀, 1 ♂ (FSCA); Fazenda Esteio, 70 km N Manaus, (2°24'S, 59°52'O), 31.v.1986, B. Klein – 1 ♀ (CMNC); même localité, 1.vi.1986, B. Klein – 1 ♀ (FSCA); même localité, 7. vi.1986, B. Klein – 3 ♀♀, 5 ♂♂ (CMNC, FSCA); Hyutanahã, Rio Purus, (7°40'S, 65°46'O), iii.1922, S.M. Klages – 1 ♂ (CMNH); Rio Tucano, Serra da Neblina, 230 m (0°5'N, 66°0'O), 4.xii.1965, E. Dente – 1 ex. (MZSP); MATO GROSSO, 264 km N Xavantina, Serra do Roncador, (12°34'S, 51°23'O), 1967-1969, I.R. Bishop – 1 ♀ (neotype) (BMNH); Fazenda São João, Municipio Diamantino, 400 m (14°14'10"S, 56°8'11"O), 13.i.2001, Génier & Vaz de Mello (2001-39) – 1 ♀ (CMNC); Nova Mutum, Nova Mutum, (13°49'16"S, 56°5'11"O), xii.1995, W.O. Silva Fo. – 1 ♀, 1 ♂ (FVMC); MATO GROSSO DO SUL, Pôrto Alegre, (30°3'1"S, 51°10'38"O), xi.1957, Chassot – 3 ♀♀ (MHNG); PARÁ, Carajás, Serra Norte, (2°57'S, 51°52'O), 2.xii.1987, N. Dégallier – 2 ex. (PAIC); Reserva do Pacanari, 180 m (0°38'S, 52°34'O), iii-iv.2005, T.A. Gardner & M.I.M. Hernández – 1 ♀ (WDEC); Santarém, (2°27'10"S, 54°43'9"O), [sans date], [anonyme] – 1 ♀ (CMNH); Serra dos Carajás, (5°59'S, 50°22'O), ii.1988, Roppa & Magno – 12 ex. (MNRJ); Serra Norte, (6°0'S, 50°18'O), 23.iii.1986, M. Martins – 1 ♀, 1 ♂ (CMNC); Tucuruí, (3°46'26"S, 49°41'19"O), iv.1988, Dégallier – 3 ex. (PAIC); même localité, 1-15.x.1987, N. Dégallier – 1 ex. (PAIC); Tucuruí, Rio Tocantins, (3°48'25"S, 49°39'25"O), viii.1984, N. Dégallier – 2 ex. (PAIC); Utinga – Água Preta, Belém, (1°25'45"S, 48°25'29"O), 25.i.-25.ii.1966, W.D. Edmonds – 1 ♂ (WDEC); RONDÔNIA, near Fazenda Rancho Grande, 62 km SW Ariquemes, (10°32'S, 62°48'O), 1-17.xi.1997, B.K. Dozier – 1 ♀ (FSCA); Pôrto Velho, Rio Madeira, (8°46'S, 63°54'O), [sans date], Mann & Baker – 1 ex. (USNM); Rio Madeira, Madeira-Mamore R. R. Co. Camp 41, (10°11'S, 65°17'O), [sans date], Mann & Baker – 5 ex. (USNM); **COLOMBIE** : Buena Vista, v.1978, [anonyme] – 3 ex. (PAIC); Vegas del Caquetá, 11.vi.1982, G. Rojas – 1 ♂ (MIZA); AMAZO-

NAS, Leticia, 215 m (4°11'20"S, 69°56'9"O), 20-25.ii.1972, Peck & Howden – 5 ♀♀, 19 ♂♂, 3 ex. (BDGC, CMNC, CNC, ROME); même localité, 12.i.1973, Gysin – 1 ex. (USNM); même localité, 23.ii.-1.iii.1974, B.C. Ratcliffe – 2 ex. (BCRC, UNSM); même localité, 23.ii.-2.iii.1974, Howden & Nealis – 1 ♂, 1 ex. (BDGC, CNC); même localité, 23.ii.-2.iii.1974, J.D. Glaser – 3 ♂♂ (CMNH); Los Alpes, Leticia, 213 m (4°4'25"S, 70°0'5"O), 23.ii.-2.iii.1974, S. Peck – 7 ♀♀, 12 ♂♂, 1 ex. (CMNC, CNC, ROME); Road End, Leticia, 213 m (4°4'9"S, 69°59'56"O), 23.ii.-2.iii.1974, S. Peck – 2 ♀♀, 4 ♂♂, 3 ex. (CMNC, CNC, ROME); BOYACÁ, Muzo Cuincha, ii.1942, E. Osorno (F-9297) – 1 ex. (USNM); CAQUETÁ, Puerto Solano, PNN La Serranía de Chiribiquete, Río Mesay, 250 m (0°16'13"N, 72°55'22"O), 22.i.2000, F. Quevedo (M.3) – 1 ♀ (IAVH); Puerto Solano, PNN La Serranía de Chiribiquete, Río Sararamano, 250 m (0°9'26"N, 72°37'45"O), 9.ix.2000, E. González (M.117) – 1 ♂ (IAVH); CHOCÓ, Lloró, 90 m (5°31'N, 76°33'O), 20.ii.2003, Olaya & Mosquero – 1 ♀, 4 ♂♂ (WDEC); Tadó, Playa de Oro, 190 m (5°18'30"N, 76°25'12"O), x.2003, D. Quinto – 2 ♀♀, 1 ♂ (WDEC); GUAVIARE, C. Cocuy. C. Moyano, 200 m (2°10'2.4"N, 71°10'54.1"O), ii.1996, F. Escobar – 1 ♂ (IAVH); META, 16 km E Villavicencio, (4°7'14"N, 73°29'30"O), 2-4.iii.1972, S. Peck – 5 ♀♀, 7 ♂♂ (CMNC, ROME); Villavicencio, 500 m (4°9'38"N, 73°39'43"O), 28.ii.-5.iii.1972, S. Peck – 1 ♂ (CMNC); même localité, 28.ii.-5.iii.1972, S. & J. Peck – 1 ♂ (ROME); même localité, 29.ii.-5. iii.1972, S. Peck – 4 ♀♀, 4 ♂♂ (CMNC); même localité, 29.ii.-5.iii.1972, S. & J. Peck – 4 ♀♀, 4 ♂♂ (CMNH, ROME); NORTE DE SANTANDER, Toledo PNN Tamá IP Santa María Alto de Herrera Vda. Diamante Finca La Primavera, 1250 m (7°6'N, 72°13'O), 30.ix.1999, E. González – 1 ♂ (IAVH); SANTANDER, [sans localité], 1937, Gallego – 1 ex. (USNM); VALLE DEL CAUCA, Bajo Calima, Buenaventura, 50 m (3°59'47"N, 76°58'28"O), 21.iv.1995, M.E. Hitchcox – 1 ♀, 4 ♂♂ (BDGC, INBio); Estación Forestal Bajo Calima, 50 m (3°59'N, 76°57'O), 2.x.1995, A. Lopera – 1 ♀ (IAVH); **COSTA RICA** : HEREDIA, Estación El Ceibo, Parque Nacional Braulio Carrillo, 400-600 m (10°20'N, 84°4'O), ix.1989, R. Aguilar & M. Zumbado – 2 ♀♀, 5 ♂♂ (INBio); même localité, x.1989, R. Aguilar & M. Zumbado – 2 ♀♀, 5 ♂♂ (INBio); Estación Magsasay, Parque Nacional Braulio Carrillo, 200 m (10°24'5"N, 84°3'1"O), iii.1991, A. Fernandez – 1 ♀, 2 ♂♂ (INBio); même localité, x.1990, R. Aguilar – 1 ♂ (INBio); même localité, i.1991, A. Fernandez – 1 ♂ (INBio); La Selva, (10°26'N, 84°1'O), 19. ii.1980, H. & A. Howden – 1 ♂ (CMNC); même localité, 21-28.iii.1988, W.E. Steiner, J.M. Hill, J.M. Swearingen, J.M. Mitchell – 1 ex. (USNM); LIMÓN, Amubri, 70 m (9°31'10"N, 82°57'23"O), iii.1995, G. Gallardo (4390) – 2 ♀♀, 1 ♂ (INBio); même localité, 12-30.x.1992, G. Gallardo – 1 ♀ (INBio); même localité, 5-26.i.1993, G. Gallardo – 1 ♂ (INBio); même localité, 5-28.vii.1993, G. Gallardo (2251) – 1 ♀ (INBio); Cerro Tortuguero, Parque Nacional Tortuguero, 0-120 m

(10°35'5"N, 83°31'45"O), vi.1990, E. Quesada – 2 ♂♂ (INBio); même localité, iv.1993, R. Delgado – 1 ♂ (INBio); Estación Cuatro Esquinas, Parque Nacional Tortuguero, 0 m (10°32'2"N, 83°30'25"O), iv.1989, R. Aguilar & J. Solano – 2 ♀♀, 3 ♂♂ (INBio); même localité, xii.1989, J. Solano – 1 ♀, 2 ♂♂ (INBio); même localité, iv.1990, J. Solano – 1 ♀ (INBio); même localité, v.1990, J. Solano – 7 ♀♀, 10 ♂♂ (INBio); même localité, vi.1990, J. Solano – 1 ♀, 6 ♂♂ (INBio); même localité, vii.1991, J. Solano – 1 ♀ (INBio); même localité, x.1990, J. Solano – 1 ♂ (INBio); même localité, xi.1991, R. Delgado – 1 ♂ (INBio); Estación Hitoy-Cerere, Río Cerere, Reserva Biológica Hitoy Cerere, 200 m (9°40'38"N, 83°3'43"O), ix.1990, G. Carballo – 1 ♀ (INBio); même localité, i.1991, A. Solís – 1 ♀, 1 ♂ (INBio); même localité, ix.1991, G. Carballo – 1 ♀, 3 ♂♂ (INBio); même localité, vii.1992, G. Carballo – 1 ♂ (INBio); même localité, 5-19.iii.1992, G. Carballo – 1 ♀ (INBio); même localité, 28.iii.-12.iv.1992, R. Guzmán – 3 ♀♀, 1 ♂ (INBio); Estación Miramar, Reserva Biológica Hitoy Cerere, 500 m (9°38'N, 83°0'12"O), ix.1992, G. Carballo – 2 ♀♀, 1 ♂ (INBio); même localité, x.1992, G. Carballo – 1 ♀ (INBio); Finca de Elias Rojas, Sector Cerro Cocori, A.C. Tortuguero, 150 m (10°32'24"N, 83°43'0"O), vi.1993, E. Rojas (2179) – 1 ♂ (INBio); même localité, ix.1993, E. Rojas (2347) – 1 ♂ (INBio); Refugio de Vida Silvestre Manzanillo-Gandoca, Manzanillo, 0-100 m (9°38'18"N, 82°38'55"O), 7-14.viii.1992, F.A. Quesada – 1 ♂ (INBio); même localité, 24.ix.-13.x.1992, F.A. Quesada – 1 ♂ (INBio); même localité, 22.x.-11.xi.1992, K. Taylor – 1 ♂ (INBio); Reserva Biológica Hitoy Cerere, 100 m (9°40'24"N, 83°1'30"O), x.1993, G. Carballo (2378) – 1 ♀ (INBio); Río Cerere, Reserva Biológica Hitoy Cerere, 300 m (9°40'24"N, 83°1'30"O), 15.ii.1989, A. Chacón – 1 ♂ (INBio); Río Sardinas, Refugio Nacional de Vida Silvestre Barra del Colorado, 10 m (10°38'52"N, 83°43'52"O), 12-20.ix.1993, F. Araya (2355) – 1 ♀, 3 ♂♂ (INBio); même localité, 10.xi.-12.x.1993, F. Araya (2446) – 1 ♀ (INBio); même localité, 2-12.i.1994, F.V. Araya (2552) – 1 ♂ (INBio); même localité, 1-14.ii.1994, F.V. Araya (2607) – 1 ♂ (INBio); Río Sardinas, Refugio Nacional de Vida Silvestre Barra del Colorado, A. C. A. C. Tortuguero, 15 m (10°38'52"N, 83°43'52"O), vii.1994, F. Araya (3127) – 1 ♀, 2 ♂♂ (INBio); même localité, vi.1994, F. Araya (2998) – 1 ♂ (INBio); même localité, 29.vii.-20.viii.1994, F.V. Araya (3159) – 6 ♂♂ (INBio); même localité, 1-11.ix.1994, F.V. Araya (3200) – 1 ♂ (INBio); même localité, 28.i.-12.ii.1995, F. Araya (4361) – 1 ♂ (INBio); même localité, 26.iv.-3.v.1995, F. Araya (4639) – 2 ♀♀, 1 ♂ (INBio); même localité, 26.vii.1995, F. Araya (5338) – 1 ♀, 2 ♂♂ (INBio); même localité, 21-27.ix.1995, F. Araya (6339) – 1 ♂ (INBio); même localité, 27.x.1995, F. Araya (6336) – 1 ♂ (INBio); même localité, 27.x.1995, F. Araya (6337) – 3 ♂♂ (INBio); Sardinas, Barra del Colorado, 4 km NW del Cerro Cocori, 15 m (10°38'52"N, 83°43'52"O), 27.xi.1995, F. Araya (6482) – 1 ♀, 1 ♂ (INBio); Valle de la Estrella, Reserva Biológica Hitoy Cerere, 100-200 m (9°40'2"N, 83°1'41"O),

5.xii.1993-7.i.1994, G. Carballo (2576) – 1 ♀ (INBio); même localité, 4-20.iv.1994, G. Carballo (2855) – 1 ♀ (INBio); PUNTARENAS, 5 km O Rincón, 15 m (8°41'46"N, 83°30'37"O), 3.iii.1968, B. Cornaby – 1 ex. (USNM); Bosque Esquinas, Área de Conservación Osa, Peninsula de Osa, 200 m (8°46'8"N, 83°15'24"O), vi.1994, M. Segura (3007) – 1 ♀ (INBio); même localité, vi.1994, J.F. Quesada (3173) – 2 ♀♀, 1 ♂ (INBio); Estación Esquinas, Peninsula de Osa, 200 m (8°45'34"N, 83°16'59"O), x.1993, M. Segura (2450) – 2 ♀♀, 3 ♂♂ (INBio); même localité, xii.1993, M. Segura (2536) – 1 ♂ (INBio); Estación Quebrada Bonita (Aguirre), Reserva Biológica Carara, 50-100 m (9°46'26"N, 84°36'44"O), xii.1994, R. Guzmán (3376) – 1 ♀, 1 ♂ (INBio); Estación Quebrada Bonita (Aguirre), Reserva Biológica Carara, Área de Conservación Pacífico Central, 50 m (9°46'26"N, 84°36'44"O), x.1994, R. Guzmán (3268) – 1 ♀ (INBio); Estación Quebrada Bonita, Reserva Biológica Carara, 50 m (9°46'26"N, 84°36'44"O), viii.1989, R. Zuniga – 1 ♀, 1 ♂ (INBio); même localité, ix.1989, R. Zuniga – 1 ♀ (INBio); même localité, xi.1989, R. Zuniga – 3 ♀♀ (INBio); même localité, i.1990, R. Zuniga – 2 ♀♀ (INBio); même localité, vii.1990, E. Bello & E. Rojas – 11 ♀♀, 8 ♂♂ (INBio); même localité, vii.1992, J.C. Saborío – 8 ♀♀, 9 ♂♂ (INBio); même localité, ix.1992, J.C. Saborío – 7 ♀♀, 3 ♂♂ (INBio); même localité, xi.1992, J.C. Saborío – 7 ♀♀, 5 ♂♂ (INBio); même localité, xii.1992, R. Guzmán – 3 ♀♀, 3 ♂♂ (INBio); même localité, i.1993, J.C. Saborío – 1 ♀ (INBio); même localité, ii.1993, R. Guzmán – 1 ♀ (INBio); même localité, iii.1993, R. Guzmán – 5 ♀♀, 5 ♂♂ (INBio); même localité, vi.1993, J.C. Saborío – 2 ♀♀, 3 ♂♂ (INBio); même localité, iv.1993, J.C. Saborío (1997) – 1 ♀, 1 ♂ (INBio); même localité, viii.1993, R.M. Guzmán (2297) – 3 ♀♀, 6 ♂♂ (INBio); même localité, ix.1993, R. Guzmán (2349) – 1 ♀, 1 ♂ (INBio); même localité, x.1993, R. Guzmán (2393) – 1 ♀, 1 ♂ (INBio); même localité, i.1994, J.C. Saborío (2640) – 2 ♀♀, 3 ♂♂ (INBio); même localité, iv.1994, R. Guzmán (2825) – 2 ♀♀ (INBio); même localité, viii.1994, R.M. Guzmán (3163) – 5 ♀♀, 5 ♂♂ (INBio); même localité, vii.1995, R. Guzmán (6173) – 1 ♀, 2 ♂♂ (INBio); même localité, iv.1992, J.C. Saborío – 1 ♂ (INBio); même localité, v.1992, J.C. Saborío – 2 ♂♂ (INBio); même localité, v.1993, J.C. Saborío – 3 ♂♂ (INBio); même localité, vii.1993, R. Guzmán (2259) – 1 ♂ (INBio); même localité, xi.1993, R. Guzmán (2447) – 1 ♂ (INBio); même localité, xi.1993, J.C. Saborío (2470) – 2 ♂♂ (INBio); même localité, iii.1994, R. Guzmán (2803) – 1 ♂ (INBio); même localité, iv.1994, J. Saborío (2814) – 2 ♂♂ (INBio); même localité, v.1994, R.M. Guzmán (2914) – 1 ♂ (INBio); même localité, ix.1994, R.M. Guzmán (3214) – 1 ♂ (INBio); même localité, x.1994, J.C. Saborío (3288) – 1 ♂ (INBio); même localité, xi.1994, J.C. Saborío (3290) – 1 ♂ (INBio); même localité, 1-29.vii.1992, R. Guzmán – 7 ♀♀, 10 ♂♂ (INBio); même localité, 10.viii.-28.vii.1992, R. Guzmán – 9 ♀♀, 12 ♂♂ (INBio); même localité, 2-23.ix.1992, R. Guzmán – 4 ♀♀, 7 ♂♂ (INBio); même localité, 18-29.x.1992, R.

Guzmán – 1 ♀ (INBio); même localité, 6-27.xi.1992, R. Guzmán – 4 ♀♀, 2 ♂♂ (INBio); Estación Sirena, Parque Nacional Corcovado, 0-100 m (8°28'49"N, 83°35'41"O), ii.1990, G. Fonseca – 1 ♀, 1 ♂ (INBio); même localité, vi.1990, F. Quesada – 3 ♀♀, 1 ♂ (INBio); même localité, xii.1990, C. Saborío – 1 ♀ (INBio); même localité, iv.1992, G. Rodriguez – 1 ♀, 2 ♂♂ (INBio); même localité, v.1992, G. Fonseca – 1 ♀ (INBio); même localité, ii.1993, G. Fonseca – 1 ♀ (INBio); même localité, ii.1993, G. Fonseca – 3 ♀♀ (INBio); même localité, ix.1993, G. Fonseca (2362) – 1 ♀, 1 ♂ (INBio); même localité, x.1993, G. Fonseca (2380) – 1 ♀ (INBio); même localité, xii.1994, G. Fonseca (4367) – 2 ♀♀, 10 ♂♂ (INBio); même localité, x.1995, G. Fonseca (6160) – 1 ♀ (INBio); même localité, ix.1995, G. Fonseca (6512) – 2 ♀♀ (INBio); même localité, i.1990, G. Fonseca – 1 ♂ (INBio); même localité, iv.1994, G. Fonseca (2853) – 1 ♂ (INBio); même localité, 13.viii.1980, D.H. Janzen & W. Hallwachs – 4 ♀♀, 5 ♂♂ (INBio); même localité, 5-11.i.1981, D.H. Janzen & W. Hallwachs – 1 ♂ (INBio); même localité, 9-27.vii.1992, A. Gutiérrez – 3 ♀♀, 4 ♂♂ (INBio); même localité, 10-25.viii.1992, A. Gutiérrez – 2 ♂♂ (INBio); Fundación Neotrópica, Península de Osa, 180 m (8°42'30"N, 83°31'30"O), 24.vi.1997, R.S. Anderson (1997-32) – 1 ♂ (CMNC); Las Torres, Golfito, 50 m (8°39'9"N, 83°10'4"O), 30.ix.1986, J. Corrales – 2 ♀♀, 1 ♂ (INBio); même localité, 1.x.1986, J. Corrales – 1 ♀, 1 ♂ (INBio); Parque Nacional Corcovado, (10°2'N, 85°34'O), 5-11.viii.1979, D.H. Janzen – 2 ♂♂ (INBio); Parque Nacional Manuel Antonio, (9°23'24"N, 84°8'23"O), 8-14.xii.1987, Génier & Bertrand – 1 ♀, 8 ♂♂ (CMNC); Península de Osa, 16.v.1979, A. Forsyth – 1 ♂ (WBWC); Rancho Quemado, Península de Osa, (8°40'45"N, 83°34'0"O), xii.1990, F. Quesada – 2 ♀♀, 4 ♂♂ (INBio); même localité, ii.1991, F. Quesada – 3 ♀♀, 1 ♂ (INBio); même localité, vii.1991, F. Quesada – 2 ♀♀, 4 ♂♂ (INBio); même localité, xii.1991, F. Quesada – 10 ♀♀, 15 ♂♂ (INBio); même localité, vi.1992, F. Quesada & M. Segura – 1 ♀, 2 ♂♂ (INBio); même localité, vii.1992, F. Quesada – 2 ♀♀, 2 ♂♂ (INBio); même localité, vii.1992, M. Segura – 2 ♀♀, 1 ♂ (INBio); même localité, ix.1992, A. Marín – 2 ♀♀, 2 ♂♂ (INBio); même localité, ix.1992, M. Segura – 3 ♀♀, 2 ♂♂ (INBio); même localité, x.1992, M. Segura – 3 ♀♀, 5 ♂♂ (INBio); même localité, x.1990, F. Quesada – 1 ♂ (INBio); même localité, i.1991, F. Quesada – 2 ♂♂ (INBio); même localité, iii.1991, F. Quesada – 1 ♂ (INBio); même localité, viii.1991, F. Quesada – 1 ♂ (INBio); même localité, xi.1991, F. Quesada – 1 ♂ (INBio); même localité, xii.1992, M. Segura – 1 ♂ (INBio); même localité, viii.1992, M. Segura (1439) – 1 ♂ (INBio); même localité, 29.v.1988, A. Solís – 1 ♀, 1 ♂ (INBio); même localité, 1-21.xii.1992, A. Marín – 1 ♀, 1 ♂ (INBio); même localité, 14-30.viii.1993, A. Marín (2303) – 3 ♀♀, 9 ♂♂ (INBio); même localité, 19-27.viii.1993, A. Gutiérrez (2302) – 2 ♀♀, 5 ♂♂ (INBio); même localité, 8-25.ix.1993, A. Gutiérrez (2346) – 1 ♀, 1 ♂ (INBio); même localité, 12-30.ix.1993, A. Marín (2359) – 2 ♂♂ (INBio); même localité,

8-28.x.1993, A. Marín (2391) – 1 ♀ (INBio); même localité, 11-28.x.1993, A.H. Gutiérrez (2409) – 1 ♀, 3 ♂♂ (INBio); même localité, 1-20.xii.1993, A. Marín (2498) – 3 ♀♀, 1 ♂ (INBio); même localité, 4-21.i.1994, A.H. Gutiérrez (2570) – 4 ♀♀, 9 ♂♂ (INBio); même localité, 4-25.i.1994, A.L. Marín (2577) – 4 ♀♀, 8 ♂♂ (INBio); même localité, 6-12.ii.1994, A.L. Marín (2612) – 4 ♀♀ (INBio); même localité, 12.iii.-3.iv.1994, A. Marín (2796) – 10 ♀♀, 11 ♂♂ (INBio); même localité, 6-28.iv.1994, A. Marín (2851) – 2 ♀♀, 2 ♂♂ (INBio); même localité, 4-28. vi.1994, A. Marín (3013) – 3 ♀♀, 6 ♂♂ (INBio); même localité, 4-27.vii.1994, A. Marín (3134) – 1 ♀, 1 ♂ (INBio); Rincón, (8°41'24"N, 83°28'38"O), 9.viii.1967, J.R. Holman – 1 ex. (USNM); Rincón de Osa, (8°41'37"N, 83°28'21"O), 10-15. viii.1966, S. Peck – 1 ♂, 1 ex. (CMNC, CNC); même localité, 22-26.vi.2001, S. & J. Peck (2001-13) – 1 ♀ (CMNC); San Vito, Las Cruces, 1200 m (8°49'N, 82°57'57"O), 22.ii.-3.iii.1983, B. Gill – 1 ♂ (BDGC); SAN JOSE, Cerro Bares, zona protectora, Cerro Turrubares, 1756 m (9°47'41"N, 84°28'24"O), iv.1990, R. Zuniga – 1 ♂ (INBio); El Rodeo, Ciudad Colón, 1000 m (9°54'40"N, 84°16'0"O), 17.x.1988, A. Solís – 2 ♀♀ (INBio); Estación Bijagual, N de Bijagualito, 600 m (9°44'35"N, 84°32'41"O), vii.1995, J.C. Saborío – 1 ♂ (INBio); **ÉQUATEUR** : COTOPAXI, Chugchilán, 2600 m (0°47'5"S, 78°54'2"O), ii.1983, G. Onore – 1 ♀, 2 ♂♂ (MHNG); ESMERALDAS, Bilsa, (0°20'S, 79°43'O), 10.v.-5.vi.1996, P. Hibbs (1996-16) – 1 ♂ (SEMC); Colón del Ónzole, (0°47'N, 79°4'O), 3.v.2001, I. Yépez – 7 ♀♀, 10 ♂♂ (CMNC); même localité, 4.v.2001, I. Yépez – 3 ♀♀, 5 ♂♂, 1 ex. (CMNC, USNM); Estación Forestal La Chiquita, 11 km SE San Lorenzo, 5 m (1°10'N, 78°47'O), 6-11.vi.1975, S. Peck – 12 ♀♀, 23 ♂♂ (BDGC, CMNC, EGRC, FSCA, ROME, TAMU, WBWC); Gualpí del Ónzole, (0°46'N, 79°9'O), 27.iv.2001, I. Yépez – 4 ♀♀, 4 ♂♂ (CMNC); même localité, 28.iv.2001, I. Yépez – 3 ♀♀, 2 ♂♂ (CMNC); Majua, (0°42'11"N, 79°32'27"O), 28.iii.2001, J. Celi & I. Yépez – 3 ♀♀ (CMNC); Pajonal, (0°46'N, 79°9'O), 30.iv.2001, I. Yépez – 7 ♀♀, 11 ♂♂, 2 ex. (CMNC, USNM, WDEC); même localité, 1.v.2001, I. Yépez – 11 ♀♀, 14 ♂♂ (CMNC, WDEC); Palma Real, (0°22'48"N, 79°20'29"O), 24. iii.2001, I. Yépez – 2 ♂♂ (CMNC); même localité, 25.iii.2001, J. Celi – 1 ♀ (CMNC); Prov. San Mateo, (0°53'15"N, 79°38'5"O), 24.viii.1956, J. Foster – 1 ♂ (CMNC); Punta Venado, 23.xi.2000, J. Celi – 1 ♂ (WDEC); Salto del Bravo, (0°36'N, 78°57'O), 19.v.2001, J. Quito & F. Añapa – 3 ♂♂ (CMNC); San Mateo, (0°53'15"N, 79°38'5"O), 5.viii.1956, Forster – 1 ♀, 2 ♂♂ (CMNC); GUAYAS, 27 km S Puerto Lopez, 76 km N Santa Elena, 152 m (1°45'49"S, 80°45'18"O), 25-27. vii.1976, S. Peck – 2 ♀♀ (CMNC, ROME); Bucay, (2°39'S, 79°40'O), 4.vi.1905, F. Ohaus – 1 ♀ (CMNC); LOS RÍOS, 47 km S Santo Domingo, 213 m (0°35'S, 79°22'O), 24.ii.1976, HFH &VGN – 1 ♀ (ROME); même localité, 25.ii.1976, HFH &VGN – 1 ♀ (CMNC); même localité, 26.ii.1976, HFH &VGN – 1 ♂ (CMNC); Estación Científica Río Palenque, 47 km S Santo Domingo, 250 m

(0°37'48"S, 79°24'26"O), 19-25.v.1975, S. Peck – 1 ♂ (CMNC); même localité, 28-31.vii.1976, S. Peck – 1 ♀, 1 ♂ (CMNC); même localité, 18-21.ii.1979, L. Ling – 1 ♂ (ROME); même localité, 23.ii.1979, L. Ling – 1 ♂ (CMNC); Estación Experimental Tropical Pichilingue, Quevedo, (1°0'13"S, 79°27'50"O), viii.1972, Martínez – 3 ♀♀, 2 ♂♂ (CMNC); Río Palenque, (0°37'48"S, 79°24'26"O), 13.vi.1974, J. Longino – 1 ♂ (FSCA); même localité, 28.vi.1974, J. Longino – 1 ♀ (FSCA); MANABÍ, 20 km N Chone, 300 m (0°32'32"S, 80°2'20"O), 6-9.vi.1976, S. Peck – 1 ♀, 1 ♂ (CMNC, ROME); 78 km NE Chone, 85 km WSW Santo Domingo, 450 m (0°20'46"S, 79°42'20"O), 9-12.vi.1976, S. Peck – 1 ♀, 2 ♂♂ (CMNC, ROME); 90 km WSW Santo Domingo, 73 km NE Chone, 300 m (0°20'52"S, 79°44'22"O), 6-9.vi.1976, S. Peck – 3 ♂♂ (CMNC); NAPO, 10 km O Puerto Misahualli, (1°2'8"S, 77°45'15"O), 20.ii.1986, F. Génier – 2 ♂♂ (CMNC); 12 km WSW Tena, 600 m (1°3'46"S, 77°53'53"O), 8-11.vii.1976, S. Peck – 2 ♀♀ (CMNC); 13 km SW Tena, (1°3'29"S, 77°53'47"O), 25.v.1977, W.E. Steiner – 1 ex. (USNM); même localité, 26.v.1977, W.E. Steiner – 1 ex. (USNM); 20 km S Tena, 600 m (1°8'58"S, 77°50'26"O), 9-11.vii.1976, S. Peck – 2 ♀♀, 6 ♂♂ (BDGC, CMNC, ROME); 5 km O Tena, 500 m (0°58'9"S, 77°51'35"O), 6-9.vii.1976, S. Peck – 2 ♀♀, 1 ♂ (CMNC, ROME); Capirona, Río Arajuno, 21.vi.1995, P. Ortiz – 2 ♂♂ (QCAZ); Estación Biológica Jatun Sacha, 21 km E Puerto Napo, 400 m (1°3'46"S, 77°36'37"O), 8.vii.1994, F. Génier – 1 ♂ (CMNC); même localité, 8.vii.1994, F. Génier – 1 ♂ (CMNC); même localité, 9.vii.1994, F. Génier – 3 ♀♀, 1 ♂ (CMNC); même localité, 11.vii.1994, F. Génier – 2 ♂♂ (CMNC); même localité, 13.vii.1994, F. Génier – 1 ♀ (CMNC); Misahualli Jungle lodge area, junction of Rio Napo & Rio Misahualli, 579 m (1°2'4.2"S, 77°39'49.2"O), 13-20.ix.1998, C. & K. Messenger – 3 ex. (UNSM); Río Jatun Yacu, Río Napo watershed, 4.iv.1937, W.C. MacIntyre – 1 ex. (USNM); Tena, 400-500 m (0°59'21"S, 77°48'55"O), 23.v.1977, W.E. Steiner – 1 ex. (USNM); même localité, 27.v.1977, W.E. Steiner – 1 ex. (USNM); même localité, 31.v.1977, W.E. Steiner – 1 ex. (USNM); même localité, 1.vi.1977, D.L. Vincent – 1 ex. (USNM); même localité, 15-21.ii.1986, F. Génier – 1 ♀, 3 ♂♂ (CMNC); même localité, 16.vii.1989, L. Stange & R. Miller – 1 ♀ (FSCA); ORELLANA, Estación Científica Yasuní (PUCE), 250 m (0°40'16.7"S, 76°24'1.8"O), 3-6.iii.1995, M. Bass & N. Pitman – 2 ex. (USNM); même localité, 22-24.v.1995, M. Bass & N. Pitman – 1 ex. (USNM); même localité, 27.vii.-1.viii.1998, Ratcliffe, Jameson, Smith, Villatoro – 2 ex. (ABTS, UNSM); même localité, 5-10.ix.1999, E.G. Riley – 5 ♀♀, 9 ♂♂ (TAMU); même localité, 9-17.ix.1999, D.G. Marqua – 7 ♀♀, 5 ♂♂ (DGMF); Estación de Biodiversidad Tiputini (USFQ), Parque Nacional Yasuní, 220 m (0°38'S, 76°9'O), ix.2000, D. Inward – 7 ex. (BMNH); même localité, 15-22.ii.1997, field course per D.C. Darling (ROM 971001) – 1 ♂ (ROME); même localité, 15.iii.1998, K. Swing – 1 ♀ (CMNC); même localité, 14-18.ii.1999, D.C. Darling – 1 ♂ (ROME); même

localité, 8.iv.2001, S. Enriquez – 1 ♂ (CMNC); PASTAZA, 22 km SE Puyo, 900 m (1°37'11"S, 77°50'40"O), 12-16.vii.1976, S. Peck – 1 ♀, 2 ♂♂ (CMNC, ROME); Arajuno, 400-500 m (1°14'12"S, 77°41'9"O), X.1960, Forster – 1 ♂ (CMNC); Llandia, 17 km N Puyo, 1000 m (1°21'3"S, 77°58'4"O), 16.vii.1994, F. Génier – 2 ♀♀, 2 ♂♂ (CMNC); même localité, 19.vii.1994, F. Génier – 1 ♀, 4 ♂♂ (CMNC); PICHINCHA, 113 km NW Quito on Puerto Quito road, 792 m, 25-29.viii.1976, J. Cohen – 1 ♂ (CMNC); 4 km SE Santo Domingo, 500 m (0°16'S, 79°7'O), 8-22. vi.1975, S. Peck – 2 ♂♂ (CMNC, ROME); même localité, 8-11.vi.1976, S. Peck – 1 ♂ (CMNC); 5.3 km on Via Pachijal, 2800-3000 m, 24-29.viii.1976, J. Cohen – 1 ♀ (CMNC); E. Alluriquín, Tinalandia, 700 m (0°19'S, 78°59'O), 4-8.v.1976, T.E. Rogers – 1 ♂ (FSCA); Río Silanche, 760 m (0°5'N, 79°6'O), 1.v.1995, F. Sancho – 1 ♀ (QCAZ); Río Toachi, Santo Domingo de los Colorados, (0°6'S, 79°13'O), ix.1983, [anonyme] – 1 ex. (UNSM); Santo Domingo, Tinalandia Resort, 760 m (0°13'S, 79°9'O), 18-24.v.1997, C. & K. Messenger – 1 ex. (MLJC); Tinalandia, 16 km SE Santo Domingo, 680 m (0°13'S, 79°9'O), 16.vi.1976-28. vi.1975, S. Peck – 3 ♀♀, 5 ♂♂ (BDGC, CMNC); même localité, 4.v.-25.vii.1985, S. & J. Peck – 1 ♀ (CMNC); SUCUMBÍOS, 2 km N Limoncocha, 250 m (0°23'17"S, 76°37'15"O), 22-28.vi.1976, S. Peck – 10 ♀♀, 4 ♂♂ (CMNC, ROME); Dureno, Río Aguarico, 150 m (0°2'40"N, 76°41'50"O), 23-28.ix.1977, L. Peña – 1 ♂ (CMNC); Limoncocha, 250 m (0°24'38"S, 76°37'37"O), 18-24.vi.1976, S. Peck – 3 ♀♀, 7 ♂♂ (CMNC, ROME); même localité, 13.vi.1977, P.J. Spangler & D.R. Givens (120) – 1 ex. (USNM); même localité, 16.vi.1977, P.J. Spangler & D.R. Givens (130) – 3 ex. (USNM); TUNGARAHUA, Baños, (1°23'42"S, 78°25'28"O), xi.1979, P. Arnaud – 1 ex. (PAIC); **GUATEMALA** : Piedras Negras, 1939, H.M. Smith – 1 ex. (USNM); PETÉN, Tikal, (17°12'46"N, 89°37'3"O), 23-26.viii.1972, S. & J. Peck – 3 ♀♀ (CMNC); même localité, 28-30.vii.1978, Helava & Kukal – 2 ♀♀, 1 ♂ (CMNC); ZACAPA, 3.5 km SE La Unión, 1500 m (14°56'23"N, 89°16'37"O), 25.vi.1993, F. Génier – 1 ♂ (CMNC); **GUYANE FRANÇAISE** : CAYENNE, 18.4 km SSE Roura, 240 m (4°36'38"N, 52°13'25"O), 29.v.-10. vi.1997, J. Ashe & R. Brooks (1997-180) – 1 ♂ (CMNC); 39.4 km SSE Roura, 270 m (4°32'43"N, 52°8'26"O), 29.v.-10.vi.1997, J. Ashe & R. Brooks (1997-172) – 1 ♀ (CMNC); Barrage de Petit Saut, sur le fleuve Sinnamary, Point kilométrique 3, (5°3'N, 53°2'O), 6.iii.1997, P. Cerdan & F. Lavalette – 1 ♀, 1 ♂ (CMNC); Cayenne, (4°54'3"N, 52°18'12"O), [sans date], Melly – 1 ♀ (MHNG); Fourgassie, (4°37'N, 52°19'O), 12-18.iii.1996, I. Jeniš – 1 ♀ (MHNG); Kourou, Montagne des Singes, (5°9'N, 52°39'O), ii.1984, P. Arnaud – 2 ex. (PAIC); Montagne Kaw, Fourgassié, (4°33'N, 52°10'O), 15.ix.-1.x.1995, N. Kocian – 1 ♀, 1 ♂ (MHNG); Route de Kaw, PK 34, (4°33'N, 52°10'O), i.1985, P. Arnaud – 1 ♂ (CMNC); SAINT-LAURENT-DU-MARONI, along Rue de Belizon trail, 2.9 km NW Les Eaux Claires, 7 km N Saül, 220-240 m (3°39'46"N, 53°13'19"O), 31.v.-3.vi.1997,

Ashe & Brooks (122) – 1 ♀ (CMNC); Mont La Fumée, 3 km NW Les Eaux Claires, 7 km N Saül, 490 m (3°39'46"N, 53°13'19"O), 1-8.vi.1997, J. Ashe & R. Brooks (1997-163) – 1 ♀ (CMNC); Saül, (3°37'N, 53°12'O), xi.1991, P. Arnaud – 1 ex. (PAIC); même localité, 4-10.iii.1996, I. Jeniš – 1 ♀, 1 ♂ (MHNG); Wanaboo (near Nason), Marowjne river, 40 m (4°43'35"N, 54°26'36"O), 5.vi.1999, Z. Falin – 1 ♀, 2 ♂♂ (CMNC); **MEXIQUE** : CHIAPAS, 4 mi. S Palenque, 183 m (17°27'22"N, 91°57'59"O), 15.viii.1971, A. Newton (326) – 1 ♂ (CMNC); Dos Amates, v-vi.1969, [anonyme] – 2 ex. (CNC); Parque Laguna Belgica, 16 km NW Ocozocoautla, (16°52'30"N, 93°27'0"O), 31.v.1990, B. Gill – 1 ♂ (BDGC); VERACRUZ-LLAVE, Lago de Catemaco, 366 m (18°21'27"N, 95°3'36"O), 8-16.viii.1960, H.F. Howden – 2 ex. (CNC); même localité, 24-25.v.1969, H. Howden – 1 ♀ (CMNC); même localité, 31.vii.-4.viii.1970, A. Newton – 3 ♀♀, 6 ♂♂ (CMNC, ROME); Santa Rosa, (18°48'51"N, 97°10'52"O), viii, W.M. Schaus – 1 ex. (USNM); **NICARAGUA** : CHONTALES, [sans localité], [sans date], Janson – 1 ex. (CNC); RÍO SAN JUAN, Refugio Bartola, 8 km SE El Castillo, 30 m (10°56.6'N, 84°20.4'O), 25-31.v.2002, S. Peck (2002-09) – 2 ♀♀ (CMNC); **PANAMA** : BOCAS DEL TORO, Fortuna Robalo, 700 m, 18-21.vi.1982, B. Gill – 1 ♂ (BDGC); Río Changena [=Río Changinola?], 732 m, 20.ix.1961, C.E. Yunker – 1 ex. (CNC); même localité, 21.ix.1961, C.E. Yunker – 1 ex. (CNC); COLÓN, Fort Gulick, (9°19'N, 79°52'O), 5.x.1976, A. Thurman – 1 ex. (UNSM); Río Trinidad, (9°1'N, 79°58'O), 9.v.1911, A. Busck – 3 ex. (USNM); DARIÉN, Estación Ambiental Cana, 500 m (7°45.32'N, 77°41.07'O), 4.vi.1996, R.S. Anderson (1996-104) – 4 ♂♂ (CMNC); même localité, 5.vi.1996, R.S. Anderson (1996-107) – 1 ♀, 1 ♂ (CMNC); même localité, 6.vi.1996, R.S. Anderson (1996-108) – 3 ♀♀ (CMNC); même localité, 7-10.vi.1996, R.S. Anderson (1996-117) – 3 ♀♀, 3 ♂♂ (CMNC); PANAMÁ, Cerro Campana, 800 m (8°41'N, 79°55'O), 1.viii.1970, H.P. Stockwell – 1 ♀ (CMNC); Isla Barro Colorado, (9°9'17"N, 79°50'52"O), viii.1994, D. Banks – 1 ♂ (CMNC); même localité, vi-x.1943, [anonyme] – 1 ex. (USNM); même localité, 18.vii.1956, C.W. & M.E. Rettenmeyer – 1 ♀ (SEMC); même localité, 15.vii.1970, [anonyme] – 1 ♂ (CMNC); même localité, 10.iv.1974, O.P. Young – 2 ex. (USNM); même localité, 7-8.v.1975, O.P. Young – 2 ex. (USNM); même localité, 12-13.ix.1975, O.P. Young – 1 ex. (USNM); même localité, 16-17.ix.1975, O.P. Young – 1 ex. (USNM); même localité, 16.ix.1975, O.P. Young – 1 ex. (USNM); même localité, 20.ix.1975, O.P. Young – 1 ex. (USNM); même localité, 23.ix.1975, O.P. Young – 1 ex. (USNM); même localité, 18-19.x.1975, O.P. Young – 2 ex. (USNM); même localité, 20-21.x.1975, O.P. Young – 1 ex. (USNM); même localité, 21.x.1975, O.P. Young – 11 ex. (USNM); même localité, 1-2.xi.1975, O.P. Young – 2 ex. (USNM); même localité, 8.xi.1975, O.P. Young – 3 ex. (USNM); même localité, 18-19.xi.1975, O.P. Young – 3 ex. (USNM); même localité, 19-20.xi.1975, O.P. Young – 2 ex. (USNM); même localité, 4.xii.1975, O.P. Young – 1 ex.

(USNM); même localité, 5.xii.1975, O.P. Young – 2 ex. (USNM); même localité, 8.xii.1975, O.P. Young – 4 ex. (USNM); même localité, 16.viii.1978, A. Forsyth – 1 ♀ (WBWC); même localité, 8-12.ix.1983, B. Gill – 5 ♂♂ (CMNC); Isla Barro Colorado, Lago Gatún, (9°9'N, 79°51'O), vii.1923, R.C. Shannon – 1 ex. (USNM); même localité, iv.1940, J. Zetek – 1 ex. (USNM); même localité, 28.v.1981, B. Gill – 1 ♂ (BDGC); même localité, 11-13.vi.1981, B. Gill – 1 ♂ (BDGC); même localité, 12-19.vi.1981, B. Gill – 2 ♀♀, 1 ex. (BDGC, CMNC, UNSM); même localité, 29.vi.1981, B. Gill – 1 ♂ (BDGC); Las Cumbres, (9°5'36"N, 79°31'54"O), 11. viii.1968, [anonyme] – 1 ex. (USNM); Madden Forest, 120 m (9°6'N, 79°37'O), 14.xii.1971, H.P. Stockwell – 1 ♂, 1 ex. (CMNC, USNM); Pipeline Road, (9°9'N, 79°43'O), 18-22.v.1981, B. Gill – 1 ♀ (BDGC); **PÉROU** : Quiroz, 14.vii.1932, F. Woytkowski – 1 ex. (USNM); AMAZONAS, 5 km N Aramanga on road to Nazareth, West side Río Marañón, (5°15'S, 78°25'O), 5.vii.1986, R. Jaaqumagi (#862036) – 1 ♂ (ROME); HUANUCO, Parque Nacional Tingo María, Tingo María, 660 m (9°10'S, 76°0'O), 11-17.iv.1987, J.E. Eger – 1 ♂ (FSCA); Tingo María, 700-740 m (9°10'S, 76°0'O), 24.viii.1997, N. Quinte – 1 ♂ (AFIC); Universidad, Tingo María, (9°10'S, 76°0'O), xii.1974, Martínez – 1 ♂ (CMNC); LORETO, Iquitos, (3°42'30"S, 73°15'30"O), 1981, C. Meley – 1 ♂ (CMNC); Teniente López, 210-240 m (2°35.66'S, 76°6.92'O), 23.vii.1993, R. Leschen (1993-190) – 1 ♀ (SEMC); MADRE DE DIOS, Parque Nacional del Manú, (12°15'S, 71°45'O), 15-30.viii.1986, A. Forsyth – 3 ♀♀, 1 ♂ (BDGC, CMNC); Reserva Nacional Tambopata, (12°54'20"S, 69°19'55"O), 3-8.i.1984, A. Finnamore – 2 ♀♀ (BDGC); Río Tambopata Res., 30 km (air) SW Puerto Maldonado, 290 m (12°50'S, 69°20'O), 19.x.1983, L. Sims – 1 ex. (USNM); Ccolpa de Guacamayos, Río Tambopata, 300 m (13°8.5'S, 69°36.4'O), x.1995, A. Forsyth – 1 ♂, 14 ex. (BDGC, USNM); PASCO, Pozuzo, (10°4'S, 75°33'0"O), [sans date], [anonyme] – 1 ex. (CNC); **VENEZUELA** : AMAZONAS, Atabapo, Alto Orinoco, Trapichote, (3°58'42"N, 67°15'54"O), vi.1979, Martínez – 1 ♀ (CMNC); Culebra, Parque Nacional Duida-Marahuaca, 250 m (3°33'N, 65°55'O), 22-23.iii.1983, Exp. Marawaca – 1 ♀, 1 ♂ (MIZA); San Carlos de Río Negro, (1°55'20"N, 67°3'15"O), 23-28.viii.1982, [anonyme] – 1 ♀ (MIZA); même localité, 23-24.viii.1982, [anonyme] – 1 ♂ (MIZA); San Juan de Manapiare, carretera Caicara, 300 m (5°16'33"N, 66°4'53"O), 11. iv.1977, O. Mattei – 1 ♀, 1 ♂ (MIZA); Atures, San Jose de Camani, 120 m (5°3'2"N, 66°20'3"O), vi.1979, A. Martínez – 3 ♀♀, 1 ♂ (CMNC); même localité, vii.1979, Martínez – 1 ♂ (CMNC); Río Negro, Río Baria, 140 m (0°56'N, 66°10'O), 4-11.ii.1984, L. J. Joly & A. Chacón – 1 ♂ (MIZA); même localité, 28.ii.1984, C. Padilla – 1 ♂ (MIZA); BOLIVAR, 33 km S El Dorado, 220 m (6°27'8"N, 61°30'35"O), 2-7.viii.1986, B. Gill – 1 ♀ (BDGC); Río Chicanan, 40 km SW El Dorado, (6°16'20"N, 61°18'43"O), 22-23.vii.1986, B. Gill – 1 ♀ (BDGC); TÁCHIRA, La Monte de Chururú, Santo Domingo, (7°32'N, 72°5'O), 31.iii.1984, D.

Havranek – 1 ex. (CNC); même localité, 30.ix.1985, D. Havranek – 1 ex. (CNC); Río Frío, (7°36'N, 72°9'O), iii.1985, J. Blanco C. – 1 ♂ (CMNC); même localité, 2-10.ix.1981, F. Fernandez Y., J. Clavijo & A. Chacón – 2 ♀♀, 2 ♂♂ (MIZA); même localité, 11-18.viii.1983, B. Gill – 1 ♂ (BDGC); Río Frío, Parque Nacional El Tamá, (7°29'N, 72°24'O), 15.iii.1983, Joffre – 1 ex. (CNC).

CONDITION DE CAPTURE. Espèce ubiquiste et très abondante capturée à l'aide de pièges appâtés avec des excréments humains, bovins, de tapir, de singe hurleur ou de la charogne. D'autres individus capturés à l'aide de pièges à interception de vol dans la forêt pluvieuse, un spécimen capturé à la lumière et quelques autres spécimens trouvés dans des cadavres d'iguanes, de petits et grands rats, d'agoutis, de tamanoirs et dans de la bouse de vache.

HABITAT. Surtout en forêt humide et décidue primaire et secondaire, jusque dans les habitats très dégradés et consistant de repousses broussailleuses et de plantation de cacao. Le gradient d'altitude est aussi très grand, variant de 0 à 3800 m, la capture à plus de 3000 m demande confirmation et n'est basée que sur un exemplaire.

PHÉNOLOGIE. Spécimens capturés toute l'année.

REMARQUES. 1) La date de publication de cette espèce est 1830 et non 1844. Ce sont les figures 5 et 5.a de la planche 21 de la livraison du 25 septembre 1830 qui ont préséance sur la description formelle parue dans la livraison du texte le 7 septembre 1844 (Cowan, 1971).
2) Cette espèce, qui est largement répartie du Mexique à la Bolivie, comporte deux populations. La première population est répartie en Amérique centrale et à l'ouest des Andes jusqu'en Équateur. Elle se caractérise par le fémur antérieur qui est plus convexe sur la région postéroapicale et profondément sillonné le long de la marge postérieure, par la ponctuation du clypéus plus grossière et par le fémur postérieur des mâles qui est plus robuste. La seconde population, répartie à l'est des Andes, possède un fémur antérieur moins convexe apicalement et finement à médiocrement sillonné, la ponctuation du clypéus est moins grossière et souvent absente au milieu, et le fémur postérieur mâle est plus grêle. Toutefois, certains des spécimens de Colombie et d'Équateur ont une conformation à peu près intermédiaire. Je ne crois pas nécessaire et justifié de conférer un statut particulier à ces deux formes, d'autant plus qu'il n'y a aucune autre différence notable et constante entre la morphologie externe, les paramères et le sac interne des édéages de ces deux formes.
3) Les types d'*E. foedus* et d'*E. claudicans* sont bien conspécifiques. On confirme ici la synonymie proposée par Jessop (1985).

Eurysternus streblus Génier sp. nov.

(Figs. 30, 47, 60, 136-137, 216)

ÉTYMOLOGIE. *Streblus*, est la forme latinisée de l'adjectif grec *streblos* (tordu) qui décrit bien la forme du tibia postérieur femelle de cette espèce.

DESCRIPTION. **Longueur**. 17,0-22,0 mm. **Couleur**. Brun à brun foncé et vert olive par endroits, la surface ventrale mate, sauf par endroits sur les fémurs. **Tête**. Arête antérieure approximativement semi-hexagonale en vue dorsale, le milieu échancré et recourbé vers le bas, la marge de largeur uniforme. Yeux visibles sur le dessus. Joues déprimées près des yeux. Surface de la tête en grande partie lustrée entre les points, la ponctuation dense, sauf sur une petite surface adjacente à la suture clypéogénale et à l'arrière du vertex, surface entre les points ne formant pas de rides transverses à l'avant du clypéus; chaque point muni d'une soie, les soies très courtes et fines à l'avant, devenant longues sur le tiers postérieur du clypéus et près de l'arête postérieure du vertex. Massue antennaire brunâtre. **Pronotum**. Arêtes latérales divergentes vers l'avant jusqu'à l'angle latéral. Angles antérieurs aigus. Angle latéral largement arrondi. Arête entre les angles latéraux et antérieurs déprimée. Arête latérale simplement arrondie, surface dorsale sans fine carène tranchante adjacente aux soies. Surface plus ou moins irrégulière, en grande partie soyeuse, surtout sur le disque et à l'avant; muni d'une dépression longitudinale médiane estompée sur le tiers postérieur et de deux impressions obliques de chaque côté de la ligne médiane vers le milieu; région de l'angle antérieur concave; la région antérieure munie d'un sillon mal défini, rejoignant l'arête antérieure au milieu et un calus distinct de chaque côté du sillon. Surface couverte de points variant d'ocellés à simples et séparés par l'équivalent d'un à trois diamètres, les points plus gros et confluents sur la surface des angles antérieurs. Chaque point muni d'une soie oblique squameuse testacée et finement bifide à l'apex. Soies de l'arête latérale contiguës, beaucoup plus courtes et obliques à l'avant de l'angle médian entre l'angle latéral et antérieur. **Élytres**. Arête latérale médiocrement arquée en vue dorsale. Huitième interstrie plat entre les calus huméraux et apicaux. Stries modérément larges, délimitées de chaque côté par une bande lustrée; munies d'une fine carène plus ou moins lustrée au milieu. Interstries recouverts d'une microsculpture alvéolée confluente; munis de soies brunes, dressées et bifides à l'apex, plus ou moins alignées selon les interstries. Troisième interstrie sans tubercule distinct à l'apex. Interstries 5 et 7 munis sur le calus apical de soies plus longues et denses que celles du 6e interstrie. **Sternites thoraciques**. Carène proépisternale arquée et rejoignant l'arête latérale à l'angle antérieur. Prosternum presque régulièrement convexe, arête longitudinale médiane émoussée; la région antérieure non ou à peine relevée; la région postérieure non marginée; surface recouverte de points bien définis au milieu, chaque point muni d'une fine

soie testacée; surface lustrée entre les points sur le disque, mate sur les côtés; l'arête postérieure sans rangée de soies claires. Lobe médian du métasternum convexe dans son ensemble; le milieu avec, de chaque côté de la ligne médiane à l'arrière, une dépression longitudinale estompée; la région adjacente aux hanches médianes plane ou médiocrement concave; surface à ponctuation nette, chaque point muni d'une soie testacée couchée à peu près identique en longueur sur toute la surface; la surface en grande partie soyeuse. **Pattes**. Fémur antérieur modérément convexe dans son ensemble; région postérieure munie d'un sillon très large et profond, surtout vers l'apex, adjacent à la marge postérieure qui est crénelée, chaque crénelure munie d'une grosse soie spiniforme; marge antérieure large et assez nette, arête antérieure irrégulièrement crénelée; surface à grosse ponctuation nette et assez régulièrement répartie. Tibia antérieur mâle médiocrement robuste; arête latérale munie de trois grosses dents sur la moitié distale, la dent apicale plus aigüe, mais de même longueur que les deux autres; région interne de l'arête apicale recourbée vers le bas et formant une dent aigüe, cette dent flanquée d'une brosse de soies interrompue avant la dent latérale apicale; la face lustrée sur la surface externe à la carène médiane, la carène située plus près de l'arête interne et parallèle à cette dernière. Fémur médian à surface ventrale régulièrement convexe et lustrée, la ponctuation assez grosse et nette. Trochanter postérieur mâle obliquement tronqué avant l'apex, tuberculé à l'apex chez les femelles. Fémur postérieur grêle; face ventrale convexe sauf près de l'apex; surface ventrale à ponctuation modérée, mais nette; surface lustrée; arête postéroventrale mâle émoussée sur la moitié basale, nette sur toute la longueur chez les femelles, le tiers basal muni d'un lobe tronqué; la carène flanquée sur la face dorsale d'une brosse de soies se prolongeant du côté externe; la dent en triangle équilatéral chez les femelles; arête postérodorsale émoussée. Tibia postérieur mâle régulièrement arqué en vue ventrale; arête postérieure munie de six à huit petits tubercules irréguliers; l'apex médiocrement élargi en vue ventrale, angle apical aigu. Tibia postérieur femelle fortement sinueux; l'arête postérieure munie d'une grosse dent acérée avant le milieu et de deux tubercules spiniformes après le milieu; carène ventrolatérale estompée. **Abdomen**. Segment 3 tronqué antérieurement entre les hanches postérieures. Segments 4 à 7 plats; garnis de points non alignés et assez petits sur toute la surface, les soies des points médiocrement longues; région adjacente à l'élytre munie de quelques soies plus longues. Segment 8 à ponctuation un peu plus grossière et dense, les points devenant contigus et râpeux de chaque côté de la région postérieure; région postérieure sans marge sur le côté. Pygidium sans marge latérale nette; sillon basal fin; la ponctuation estompée, petite, certains des points munis d'une soie brunâtre assez longue. **Édéage**. Paramères simples; arête régulièrement arquée en vue latérale à l'apex. Crochet de la lamelle accessoire du sac interne muni de trois dents; sac interne muni d'une seule grosse plaque de spicules près de la base.

Holotype ♂ (CMNC) : ECUADOR: PICH[INCHA]., 5.3 km on Via Pachijal, 2800-3000m, 24-29.viii.1976, J. Cohen, forest dung trap 6 / H. & A. Howden Collection / HOLOTYPE ♂, *Eurysternus streblus* sp. nov. F. Génier. Edéage extrait.

Allotype ♀ (CMNC) : Mêmes données que l'holotype.

MATÉRIEL EXAMINÉ. Répartition géographique Fig. 216; 54 ex. : **COLOMBIE** : CHOCÓ, Estación Biológica El Amargal, 150-500 m (5°36'N, 77°24'O), 18-20.viii.1995, A. Lopera – 1 ♂ (paratype) (AFIC); Estación Biológica El Amargal, Nuquí, 50 m (5°33'42"N, 77°28'25"O), 18-26.viii.1995, A. Lopera – 1 ♀ (paratype) (AFIC); Pacurita, 53 m (5°41'N, 76°40'O), 25.xi.2001, J.C. Neita – 1 ♀ (paratype) (WDEC); Parque Nacional Natural Ensenada de Utría, (6°0'25"N, 77°16'16"O), 21.vi.1997, Llanos-Jurado – 1 ♀ (paratype) (FVMC); Quibdó-Istmina km 40, (5°22'N, 76°37'O), ix.1972, Martínez – 1 ♀ (paratype) (CMNC); Quibdó, La Troja, iv.1972, Martínez – 1 ♂ (paratype) (CMNC); NARIÑO, El Diviso, 520 m (1°22'37"N, 78°13'31"O), vii.1994, F. Escobar – 1 ♀ (paratype) (IAVH); VALLE DEL CAUCA, Alto Anchicayá, 500 m, 29-31.vii.1983, B. Gill – 1 ♂ (paratype) (BDGC); Anchicaya Dam, 70 km E Buenaventura, 366 m (3°46'N, 76°43'O), 27.vii.1970, H. & A. Howden – 1 ♀ (paratype) (CMNC); Bajo Calima, Buenaventura, 50 m (3°59'47"N, 76°58'28"O), 2-5.viii.1983, B. Gill – 2 ♀♀, 2 ♂♂ (4 paratypes) (BDGC); même localité, 21.iv.1995, M.E. Hitchcox – 3 ♀♀, 1 ♂ (paratypes) (BDGC, INBio); Estación Forestal Bajo Calima, 50 m (3°59'N, 76°57'O), 20-25.iii.1995, M.E. Hitchcox – 1 ♀, 1 ♂ (paratypes) (AFIC); **COSTA RICA** : PUNTARENAS, Estación Sirena, Parque Nacional Corcovado, (8°28'49"N, 83°35'41"O), 18.viii.1980, D.H. Janzen & W. Hallwachs – 1 ♀ (paratype) (INBio); Fila Madre, 3 km SW Cerro Rincón, 545-710 m (8°30'10"N, 83°29'6"O), 24-26.v.1995, M.A. Zumbado (6098) – 1 ♀ (paratype) (INBio); même localité, 25.v.1995, A. Azofeifa (5292) – 1 ♂ (paratype) (INBio); Rancho Quemado, Península de Osa, 200 m (8°40'45"N, 83°34'0"O), xii.1991, F. Quesada – 2 ♂♂ (2 paratypes) (CMNC, INBio); même localité, 19-27.viii.1993, A. Gutiérrez (2302) – 1 ♀ (paratype) (INBio); San Vito, Las Cruces, 1200 m (8°49'N, 82°57'57"O), 15-18.viii.1982, B. Gill – 1 ♀ (paratype) (BDGC); même localité, 22.ii.-3.iii.1983, B. Gill – 2 ♀♀ (2 paratypes) (BDGC, CMNC); même localité, 28.vi.-5.vii.1983, B. Gill – 1 ♂ (paratype) (BDGC); **ÉQUATEUR** : ESMERALDAS, Cachabé, (1°3'58"N, 78°46'38"O), xi.1896, Rosenberg – 3 ♀♀ (3 paratypes) (BMNH); Charco Vicente, 16.v.2001, J. Quito & F. Añapa – 2 ♀♀, 1 ♂ (paratypes) (CMNC, WDEC); même localité, 17.v.2001, J. Quito & F. Añapa – 1 ♀ (paratype) (USNM); Padre Santo, Playa de Oro, 23.ii.2000, J. Celi – 1 ♀ (paratype) (CMNC); Playa Rica, (0°53'N, 78°46'O), 21.iii.2001, J. Celi – 1 ♀ (pa-

ratype) (CMNC); même localité, 22.iii.2001, I. Yépez – 3 ♀♀, 1 ♂ (paratypes) (CMNC, WDEC); Pote, Playa de Oro, 200 m (0°51'N, 78°44'O), 11.xii.1998, J. Celi – 1 ♀, 1 ♂ (paratypes) (FVMC); Salidero, 107 m (1°5'N, 78°40'O), iii.1901, [anonyme] – 2 ♂♂ (2 paratypes) (MNHN); PICHINCHA, 5.3 km on Via Pachijal, 2800-3000 m, 24-29.viii.1976, J. Cohen – 2 ♀♀, 1 ♂ (holotype, allotype, paratype) (CMNC); Km 5 on Via Pachijal, 109 km NW Quito, 914 m, 24-29. viii.1976, J. Cohen – 1 ♀ (paratype) (CMNC); **PANAMA** : CHIRIQUÍ, Volcán de Chiriquí, 610-914 m (8°48'29"N, 82°32'35"O), [sans date], Champion – 1 ♀, 2 ♂♂ (3 paratypes) (BMNH, MNHN); **PÉROU** : TUMBES, Pozo Azul, (3°45'S, 80°20'O), [sans date], [anonyme] – 1 ♂ (paratype) (BMNH).

CONDITION DE CAPTURE. Les quelques données disponibles indiquent des captures au piège à fosse appâté avec des excréments humains et deux spécimens pris dans de la charogne.

HABITAT. Aucune indication précise pour cette espèce, mais probablement de la forêt du choco en Colombie et en Équateur, mais également présente dans le nord du Panama et au Costa Rica. Un spécimen vraisemblablement de la forêt sèche du département de Tumbes (Pérou) sur le versant pacifique des Andes.

PHÉNOLOGIE. Spécimens capturés de février à aout et en novembre et décembre.

REMARQUES. 1) Cette espèce est très proche d'*E. foedus* avec laquelle elle est sympatrique. Un nombre significatif d'exemplaires d'*E. streblus* ont été capturés en même temps qu'*E. foedus* dans des pièges à fosse, ce qui donne à penser que ces deux espèces ne seraient pas isolées écologiquement.
2) Comme pour *E. foedus*, *E. streblus* comprend deux populations, la première répartie au Costa Rica et au Panama se distingue par la face ventrale du tibia antérieur qui est plane près des dents latérales, par l'arête latérale du pronotum qui est moins émarginée avant l'angle médian en vue dorsale et par la ponctuation du pronotum qui est en grande partie ocellée. La forme présente à l'ouest des Andes en Colombie, en Équateur et au Pérou possède des fovéoles sur la face ventrale du tibia antérieure près des dents latérales, l'arête latérale du pronotum est plus profondément sinuée et la surface du pronotum est un peu plus inégale et les points ocellés sont confinés à ces dépressions et à l'avant. Le matériel étudié ne comporte aucun spécimen intermédiaire. Je considère ces deux formes conspécifiques, étant donné qu'il n'y a aucune autre différence notable, et comme ces deux formes ont été capturées à des altitudes variant du niveau de la mer à 3000 m, une isolation géographique reliée à la topographie est également exclue.

Eurysternus howdeni Génier sp. nov.
(Figs. 15, 217)

ÉTYMOLOGIE. *Howdeni* (de Howden) est un patronyme en hommage à mon mentor, le Professeur Henry F. Howden, pour sa monumentale contribution à l'étude des Scarabaeides et pour ses inestimables conseils, qui ont orienté mes travaux entomologiques.

DESCRIPTION. **Longueur**. 20,0-26,0 mm. **Couleur**. Brun à brun foncé et vert olive par endroits, la surface ventrale mate, sauf les fémurs présentant des reflets verdâtres aux endroits plus lustrés. **Tête**. Sans dimorphisme sexuel. Arête antérieure approximativement semi-circulaire en vue dorsale, le milieu échancré et recourbé vers le bas, la marge trois fois plus large au milieu. Yeux visibles sur le dessus. Joues déprimées près des yeux. Surface de la tête mate, à ponctuation simple à l'avant du clypéus, ombiliquée et confluente sur toute la surface des joues et sur une petite région adjacente aux yeux sur le vertex; chaque point muni d'une soie courte et fine à l'avant, devenant longues et bifides à l'apex, sur le tiers postérieur du clypéus et près de l'arête postérieure du vertex. Massue antennaire brunâtre. **Pronotum**. Arêtes latérales divergentes vers l'avant jusqu'à l'angle latéral. Angles antérieurs obtus. Angle latéral arrondi. Arête entre les angles latéraux et antérieurs déprimée. Arête latérale simplement arrondie, surface dorsale sans petite carène tranchante adjacente aux soies. Surface assez régulièrement convexe, complètement mate chez les individus ténéraux, plus lisse chez les exemplaires usés; muni d'une dépression longitudinale médiane estompée sur le tiers postérieur; région des angles antérieurs peu convexe; la région antérieure munie d'un sillon mal défini, rejoignant l'arête antérieure au milieu, sans calus distinct de chaque côté du sillon. Surface en majorité couverte de points ocellés, séparés par l'équivalent de deux ou trois diamètres, les points plus gros et confluents sur la surface des angles antérieurs. Chaque point muni d'une soie oblique squameuse et bifide à l'apex, testacées à brun pâle selon les spécimens. Soies de l'arête latérale contiguës, brunes et plus longues entre l'angle latéral et l'angle antérieur. **Élytres**. Arête latérale médiocrement arquée en vue dorsale. Huitième interstrie plat entre les calus huméraux et apicaux. Stries modérément larges, délimitées de chaque côté par une étroite bande plus ou moins lustrée de chaque côté; munies d'une fine carène plus ou moins lustrée au milieu. Interstries recouverts d'une microsculpture alvéolée confluente, munis de soies brunes dressées, squameuses et bifides à l'apex, plus ou moins alignées selon les interstries. Troisième interstrie sans tubercule distinct à l'apex. Interstries 5 et 7 munis sur le calus apical de soies plus longues et denses que celles du 6e interstrie. **Sternites thoraciques**. Carène proépisternale arquée et rejoignant l'arête latérale à l'angle antérieur. Prosternum presque régulièrement convexe, arête longitudinale médiane

émoussée; la région antérieure relevée; la région postérieure non marginée; surface recouverte de points mal définis au milieu, chaque point muni d'une soie brune; surface mate entre les points sur toute la surface; l'arête postérieure sans rangée de soies claires. Lobe médian du métasternum convexe dans son ensemble; une dépression longitudinale estompée de chaque côté de la ligne médiane à l'arrière du milieu; la région adjacente aux hanches médianes plane; surface à ponctuation petite et estompée, chaque point muni d'une soie testacée à peu près identique en longueur sur toute la surface; la surface à microsculpture alvéolée nette. **Pattes**. Fémur antérieur modérément convexe dans son ensemble; région postérieure munie d'un sillon très large et profond adjacent à la marge postérieure, cette dernière crénelée, chaque crénelure munie d'une grosse soie spiniforme; marge antérieure large et nette, arête antérieure crénelée; surface à ponctuation estompée sur le disque, devenant grossière et confluente le long du sillon postérieur. Tibia antérieur mâle médiocrement robuste; arête latérale munie de trois grosses dents sur la moitié distale, la dent apicale plus longue et aigüe que les deux autres; région interne de l'arête apicale recourbée vers le bas et formant une dent aigüe, cette dent flanquée d'une brosse de soies rejoignant presque la dent latérale apicale; la face ventrale plane, la carène médiane située au milieu et interrompue vers la moitié de la longueur. Tibia antérieur femelle médiocrement robuste, non modifié; carène ventrale médiane fine et présente sur le sixième basal seulement. Fémur médian à surface ventrale en grande partie lustrée, la ponctuation assez grosse et nette, sauf sur le tiers postérieur de la région distale où la surface est déprimée, non ponctuée et mate. Trochanter postérieur médiocrement tuberculé à l'apex dans les deux sexes. Fémur postérieur robuste, un peu plus grêle chez les femelles; face ventrale à peine convexe sur la moitié distale; surface ventrale à ponctuation médiocre et estompée; surface mate, sauf près de la base et de l'arête antérieure; arête postéroventrale nette sur toute la longueur, le tiers basal mâle muni d'une grosse dent rectangulaire, la dent flanquée d'une brosse de soies sur toute sa surface dorsale; la dent située vers le milieu, moins large, longue et recourbée vers l'extérieur chez les femelles; arête postérodorsale nette. Tibia postérieur mâle fortement arqué sur le tiers médian en vue ventrale; arête postérieure munie de quatre à six petits tubercules espacés; apex fortement élargi en vue ventrale, angle apical aigu. Tibia postérieur femelle presque droit en vue ventrale; l'arête postérieure munie de trois ou quatre tubercules aigus; carène ventrolatérale irrégulièrement crénelée, non interrompue par les longues soies adjacentes. **Abdomen**. Segment 3 étroitement tronqué antérieurement entre les hanches postérieures. Segments 4 à 7 plats; garnis de points non alignés et assez petits sur toute la surface, les soies des points médiocrement longues; région adjacente à l'élytre munie de quelques soies un peu plus longues. Segment 8 à ponctuation un peu plus grossière sur toute la surface, les points devenant contigus de chaque côté de la région postérieure, celle-ci indistinctement marginée sur les côtés.

Pygidium sans marge latérale nette; sillon basal fin; la ponctuation ocellée petite et assez uniforme, chaque point muni d'une soie testacée assez longue. **Édéage**. Paramères simples; arête dorsale régulièrement arquée en vue latérale. Crochet de la lamelle accessoire du sac interne muni de trois dents; sac interne muni de quatre plaques de spicules près de la base.

Holotype ♂ (MZSP) : BRASIL: MATO GROSSO, Mun[icipio]. Diamantino, Faz[enda]. São João, 400m, 14°14'10"S 56°08'11"W, 13.i.2001, Génier & Vaz-de-Mello, primary gallery for[rest]. ex. dung tp 5, 2001-39 / HOLOTYPE ♂, *Eurysternus howdeni* sp. nov. F. Génier. Spécimen disséqué.

Allotype ♀ (CMNC) : BRASIL: MATO GROSSO, Mun[icipio]. Diamantino, Faz[enda]. São João, 480m, 14°23'49"S 56°09'30"W, 13.i.2001, Génier & Vaz-de-Mello, secondary gallery for[rest]. ex. dung tp 4, 2001-46 / ALLOTYPE ♀, *Eurysternus howdeni* sp. nov. F. Génier.

MATÉRIEL EXAMINÉ. Répartition géographique Fig. 217; 42 ex. : **BOLIVIE** : [sans localité], 1997, [anonyme] – 3 ♀♀, 4 ♂♂ (7 paratypes) (AFIC); PANDO, Cobija, Reserva San Sebastian Tahuamanu, 250 m (11°24'27"S, 69°1'4"O), 21.xi.2003, D.J. Mann & A.C. Hamel – 1 ♂ (paratype) (OUMNH); Manopiri, 1997, [anonyme] – 1 ♀ (paratype) (AFIC); near Guayamerin, 120 m (11°50'S, 65°22'O), ii.1996, [anonyme] – 5 ♀♀, 3 ♂♂ (8 paratypes) (AFIC); SANTA CRUZ, Campamento Los Fieros, Parque Nacional Noel Kempff Mercado, (14°46'S, 61°2'O), 20-30.i.1997, B.D. Gill – 1 ♀ (paratype) (BDGC); Lago Caiman, Parque Nacional Noel Kempff Mercado, (13°36'S, 60°54.9'O), 13-20.i.1997, S. Spector & S. Ayazama – 2 ♀♀, 5 ♂♂ (7 paratypes) (BDGC, CMNC); **BRÉSIL** : AMAZONAS, Fazenda Dimona, 70 km N manaus, (2°19'S, 60°5'O), 20.vi.1986, B. Klein – 1 ♀ (paratype) (CMNC); Rio Parauary, 15.iii.1937, Zellibor-Hauff – 1 ♀ (paratype) (MZSP); MATO GROSSO, Chapada dos Guimarães, (15°26'54"S, 55°45'49"O), x, H.H. Smith – 1 ♂ (paratype) (CMNH); Fazenda São João, Municipio Diamantino, 480 m (14°23'49"S, 56°9'30"O), 13.i.2001, Génier & Vaz de Mello (2001-46) – 1 ♀ (allotype) (CMNC); même localité, 13.i.2001, Génier & Vaz de Mello (2001-39) – 1 ♂ (holotype) (MZSP); MINAS GERAIS, Paracatu, (17°13'21"S, 46°52'31"O), iii.1998, S. Lourenço jr. – 1 ♀ (paratype) (FVMC); même localité, xii.1997, S. Lourenço jr. – 2 ♀♀ (2 paratypes) (FVMC); même localité, xi.1998, S. Lourenço jr. – 2 ♀♀, 2 ♂♂ (4 paratypes) (FVMC); même localité, xi.1997, S. Lourenço jr. – 1 ♂ (paratype) (FVMC); PARÁ, Altamira, (3°11'51"S, 52°13'38"O), v.1985, Dégallier – 1 ♂ (paratype) (PAIC); Rio Cupari, Tapajos, (3°40'59"S, 55°25'3"O), [sans date], [anonyme] – 1 ♀ (paratype) (MNHN); Santarém, (2°27'10"S, 54°43'9"O), [sans date], [anonyme] – 1 ♀, 1 ♂ (paratypes) (CMNH).

CONDITION DE CAPTURE. Au piège à fosse appâté avec des excréments humains pour tous les spécimens comportant des informations.

HABITAT. Forêt primaire et secondaire du sud-est de l'Amazonie et en zone de cerrado où cette forêt longe les cours d'eau. À Diamantino (Mato Grosso) en région de cerrado, nous avons l'espèce capturé en zone de forêt-galerie amazonienne longeant un cours d'eau; les pièges disposés à cet endroit en zone ouverte à quelques mètres de la forêt n'ont donné aucun spécimen.

PHÉNOLOGIE. Spécimens capturés en janvier, février, mars, mai, juin, octobre, novembre et décembre.

REMARQUES. Il s'agit de l'espèce que Navajas avait reconnue et nommée *E. amazonicus*, restée *in litteris*.

Eurysternus truncus Génier sp. nov.

(Fig. 218)

ÉTYMOLOGIE. *Truncus* (tronqué), un adjectif se rapportant à la configuration de l'apex du tibia postérieur mâle de cette espèce.

DESCRIPTION. **Longueur**. 16,0-21,0 mm. **Couleur**. Brun à brun foncé et vert olive par endroits, la surface ventrale lustrée, sauf par endroits sur les fémurs. **Tête**. Sans dimorphisme sexuel. Arête antérieure approximativement semi-circulaire en vue dorsale, le milieu échancré et recourbé vers le bas, la marge de même largeur. Yeux visibles sur le dessus. Joues déprimées près des yeux. Surface de la tête en grande partie lustrée, à ponctuation confluente et formant un réseau de rides transverses à l'avant du clypéus, ponctuation plus grossière sur toute la surface des joues et sur une petite région adjacente aux yeux sur le vertex; chaque point muni d'une soie, les soies très courtes et fines à l'avant, devenant longues et bifides à l'apex sur le tiers postérieur du clypéus et près de l'arête postérieure du vertex. Massue antennaire brunâtre. **Pronotum**. Arêtes latérales divergentes vers l'avant jusqu'à l'angle latéral. Angles antérieurs obtus. Angle latéral arrondi. Arête entre les angles latéraux et antérieurs déprimée. Arête latérale simplement arrondie, surface dorsale sans petite carène tranchante adjacente aux soies. Surface irrégulière, en grande partie soyeuse, surtout sur le disque et à l'avant; muni d'une dépression longitudinale médiane estompée sur le tiers postérieur et de deux impressions obliques de chaque côté de la ligne médiane vers le milieu; région de l'angle antérieur peu convexe; la région antérieure munie d'un sillon mal défini, rejoignant l'arête antérieure au mi-

lieu et un calus distinct de chaque côté du sillon. Surface en majorité couverte de points ocellés, séparés par l'équivalent de deux ou trois diamètres, les points plus gros et confluents sur la surface des angles antérieurs. Chaque point muni d'une soie oblique squameuse testacée et bifide à l'apex. Soies de l'arête latérale contiguës, sauf à l'avant de l'angle médian, les soies brunes et plus longues entre les angles latéraux et antérieurs. **Élytres**. Arête latérale médiocrement arquée en vue dorsale. Huitième interstrie plat entre les calus huméraux et apicaux. Stries modérément larges, délimitées de chaque côté par une étroite bande plus ou moins lustrée de chaque côté; munies d'une fine carène plus ou moins lustrée au milieu. Interstries recouverts d'une microsculpture alvéolée confluente; munis de soies brunes, dressées, squameuses et bifides à l'apex, plus ou moins alignées selon les interstries. Troisième interstrie sans tubercule distinct à l'apex. Interstries 5 et 7 munis sur les calus apicaux de soies plus longues et denses que celles du 6e interstrie. **Sternites thoraciques**. Carène proépisternale arquée et rejoignant l'arête latérale à l'angle antérieur. Prosternum presque régulièrement convexe, arête longitudinale médiane émoussée; la région antérieure relevée; la région postérieure non marginée; surface recouverte de points nets au milieu, chaque point muni d'une soie testacée; surface lustrée entre les points sur le disque, soyeuse sur les côtés; l'arête postérieure sans rangée de soies claires. Lobe médian du métasternum convexe dans son ensemble; le milieu avec une dépression longitudinale estompée, de chaque côté de la ligne médiane à l'arrière; la région adjacente aux hanches médianes plane; surface à ponctuation petite et estompée, chaque point muni d'une soie testacée couchée à peu près identique en longueur sur toute la surface; la surface en grande partie soyeuse. **Pattes**. Fémur antérieur modérément convexe dans son ensemble; région postérieure munie d'un sillon très large et profond adjacent à la marge postérieure, celle-ci crénelée, chaque crénelure munie d'une grosse soie spiniforme; marge antérieure large et nette, arête antérieure finement crénelée; surface à ponctuation estompée à l'avant, devenant plus grosse, profonde et confluente au milieu et petite et bien séparée le long du sillon postérieur. Tibia antérieur mâle médiocrement robuste; arête latérale munie de trois grosses dents sur la moitié distale, la dent apicale plus aigüe, mais de même longueur que les deux autres; région interne de l'arête apicale recourbée vers le bas et formant une dent aigüe, cette dent flanquée d'une brosse de soies rejoignant la dent latérale apicale; la face ventrale plane et complètement lustrée, la carène médiane située plus près de l'arête interne et rejoint cette dernière après le milieu. Tibia antérieur femelle médiocrement robuste, non modifié; carène ventrale médiane réduite, à peine indiquée près de la base. Fémur médian à surface ventrale en grande partie lustrée, la ponctuation assez grosse et nette, sauf sur le tiers postérieur de la région distale où la surface est déprimée, non ponctuée et mate. Trochanter postérieur simplement arrondi à l'apex. Fémur postérieur robuste, un peu plus grêle chez les femelles; face ventrale à peine convexe sur la moitié

distale; surface ventrale à ponctuation médiocre et estompée; surface mate, sauf près de l'arête antérieure et de la base; arête postéroventrale nette sur toute la longueur, le tiers basal mâle muni d'une dent triangulaire, la dent flanquée d'une brosse de soies sur le côté externe; la dent située au milieu, acérée, longue et obliquement dirigée vers l'extérieur chez les femelles; arête postérodorsale médiocrement nette; face dorsale munie d'une dent aigüe en vue latérale sur la face dorsale près de l'apex chez les femelles. Tibia postérieur mâle régulièrement arqué en vue ventrale; arête postérieure munie de six à sept petits tubercules; l'apex médiocrement élargi en vue ventrale, angle apical tronqué. Tibia postérieur des femelles presque droit en vue ventrale; l'arête postérieure munie de trois ou quatre tubercules aigus; carène ventrolatérale munie de quelques petites sinuosités, non interrompue par les soies adjacentes médiocrement longues. **Abdomen**. Segment 3 tronqué antérieurement entre les hanches postérieures. Segments 4 à 7 plats; garnis de points non alignés et assez petits sur toute la surface, les soies des points médiocrement longues; région adjacente à l'élytre munie de quelques soies un peu plus longues. Segment 8 à ponctuation un peu plus grossière sur toute la surface, les points devenant contigus et râpeux de chaque côté de la région postérieure, cette dernière sans marge sur le côté. Pygidium sans marge latérale nette; sillon basal fin; la ponctuation estompée, petite, certains des points munis d'une soie brunâtre assez longue. **Édéage**. Paramères simples; arête dorsale obliquement tronquée sur le tiers distal en vue latérale. Crochet de la lamelle accessoire du sac interne muni de trois dents; sac interne muni de quatre plaques de spicules près de la base.

Holotype ♂ (CMNC) : VENEZ: Bolivar, 120 km S El Dorado, 20-27.xii.1987, B.D. Gill / HOLOTYPE ♂, *Eurysternus truncus* sp. nov., F. Génier. Spécimen disséqué.

Allotype ♀ (CMNH) : British Guiana [=GUYANA] / September / ALLOTYPE ♀, *Eurysternus truncus* sp. nov., F. Génier.

MATÉRIEL EXAMINÉ. Répartition géographique Fig. 218; 6 ex. : **GUYANA** : [sans localité], ix, [anonyme] – 2 ♀♀ (allotype, 1 paratype) (CMNH); **VENEZUELA** : BOLIVAR, 120 km S El Dorado, 20-27.xii.1987, B.D. Gill – 1 ♂ (holotype) (CMNC); Puerto Cabello, Río Caura, 10-11.viii.1986, B. Gill – 1 ♂ (paratype) (BDGC); Río Surucún, Carretera Santa Elena-Icabaru, 850 m, 19-31.i.1985, F. Fernandez Y., A. Chacon, J. Demarmels – 2 ♂♂ (2 paratypes) (MIZA).

CONDITION DE CAPTURE. Aucune donnée.

HABITAT. Aucune donnée.

PHÉNOLOGIE. Spécimens capturés en janvier, aout et décembre.

REMARQUES. De prime abord, j'ai un peu hésité à créer une espèce distincte pour cette forme, dont on ne connaît que quatre mâles du Venezuela et deux femelles de Guyana, mais l'importance des caractères qui la sépare d'*E. howdeni*, m'a persuadé d'en créer une (voir description). Les deux exemplaires femelles proviennent de Guyana, sans plus de précision. Une comparaison minutieuse des caractères laisse croire qu'il s'agit bien de la femelle des mâles capturés au Venezuela. La configuration du pygidium, du fémur et du tibia postérieur de ces deux femelles est bien distincte de ceux d'*E. foedus*, seule autre espèce avec laquelle ces spécimens pourraient être confondus. De plus, la Guyana est à moins d'une centaine de kilomètres du lieu où les spécimens du Venezuela ont été capturés. Ce statut demeure toutefois à confirmer.

GROUPE IMPRESSICOLLIS

DIAGNOSE. Taille petite à moyenne (6,0-10,5 mm). Yeux étroits et toujours visibles sur le dessus. Menton modérément échancré antérieurement. Pronotum à ponctuation ocellée et confluente par endroits. Cinquième interstrie des élytres convexe. Disque du métasternum fovéolé au milieu. Hanches postérieures contiguës, munies d'une tache foncée près de l'insertion du trochanter et d'une autre vers le milieu. Segment abdominal 3 acuminé antérieurement. Fémur postérieur mâle inerme sur la face postérieure ou muni d'un petit crochet ou d'une dent chez les femelles. Éperon du tibia postérieur mâle fusionné au tibia, articulé chez les femelles. Paramères simples, allongés, et acuminés ou arrondis à l'apex.

Eurysternus impressicollis Castelnau, 1840
(Figs. 138-140, 219)

Eurysternus impressicollis Castelnau
1840 Castelnau, *Hist. Nat. Ins.* 2 : 93
1869 Gemminger & Harold, *Cat. Col.* 4 : 1024 (catalogue)
1911 Gillet, *Col. Cat.* 38 : 197 (catalogue)
1911 Luederwaldt, *Rev. Mus. Paul.* 8 : 420 (biologie)
1941 Pessôa & Lane, *Arq. Zool. S. Paulo* 2 : 409 (description)
1944 Blackwelder, *U. S. Nat. Mus. Bull.* 185 : 197 (catalogue)
1966 Halffter & Matthews, *Folia Ent. Mex.* 12-14 : 26 (commentaire)
1985 Jessop, *J. Nat. Hist.* 19 : 1100 (désignation de type)

2007 Noriega et al., *Biot. Colom.* 8 : 82 (faunistique)

ÉTYMOLOGIE. *Impressicollis* (*impressi-*, impression et *-collis*, cou), un adjectif signifiant : qui porte des impressions au cou, certainement en référence à l'aspect du pronotum de cette espèce.

DIAGNOSE. Longueur 7,0-8,0 mm. Corps brun foncé avec des taches plus claires par endroits et à forts reflets cuivrés et vert métallique; élytres uniformément bruns, sauf sur le calus apical et le tubercule apical du troisième interstrie. Tête à ponctuation simple, assez grossière et uniformément répartie; arête antérieure du clypéus semi-hexagonale, anguleusement échancrée au milieu et munie d'une dent obtuse relevée de chaque côté du milieu. Pronotum à surface très inégale; surface imponctuée en arrière de l'insertion de la tête; arête antérieure du pronotum formant une carène de chaque côté des yeux chez les femelles; ponctuation plus grosse, ocellée et confluente dans les concavités, près de la base et près des angles antérieurs. Élytre à surface médiocrement mate, microsculpture effacée; stries nettes; interstries munis d'un petit tubercule lisse à l'avant de chaque soie; huitième interstrie faiblement caréné au milieu, la carène moins haute que la largeur de l'interstrie; tubercule apical et du troisième interstrie fortement développé. Prosternum assez régulièrement convexe; surface lisse et à pubescence courte, sauf la rangée de soies contiguës à l'arête postérieure. Métasternum à ponctuation ocellée nette et profonde sur le disque, dépression médiane médiocrement grosse et profonde; lobe latéral à grosse ponctuation ocellée confluente. Fémur antérieur à face ventrale assez régulièrement convexe; arête antérieure régulièrement sinueuse; surface à ponctuation et pubescence uniformes. Tibia antérieur mâle muni de trois dents latérales à l'apex, la dent médiane très réduite, mais distincte et plus près de la dent apicale. Tibia antérieur femelle non modifié. Fémur médian à surface assez lisse et à ponctuation simple et estompée chez les mâles, ponctuation ocellée, plus grosse et nette chez les femelles. Fémur postérieur à surface lisse sur la moitié basale et sur la région antérieure, contrastant fortement avec le reste de la surface qui est mate, à forte microsculpture; arête postérieure arquée et émoussée sur toute la longueur, sans trace de dent ou de tubercule chez les mâles, droite, munie d'une petite dent aigüe juste avant le milieu et nette sur la moitié distale chez les femelles. Tibia postérieur à dent apicale aussi longue que les deux premiers tarsomères. Pygidium en grande partie à grosse ponctuation ombiliquée et surélevée. Paramères obliquement tronqués et médiocrement recourbés vers le bas à l'apex en vue latérale; lamelle accessoire du sac interne simplement munie d'une petite dent conique aigüe.

Néotype ♂ (MNHN) : NEOTYPE (disque bordé de rouge) / *impressicollis* Castln., Carthagena (écriture manuscrite) / Muséum PARIS, 1936, Coll. A. Boucomont

(carton vert) / ex museo, N. Van De Poll / Ex. Musaeo D. Sharp 1890 / *Eurysternus impressicollis* cast., NEOTYPE, det. L. Jessop 1984. Néotype examiné.

MATÉRIEL EXAMINÉ. Répartition géographique Fig. 219; 30 ex. : **[PAYS NON SPÉCIFIÉ]** : [sans localité], [sans date], [anonyme] – 3 ♀♀, 2 ♂♂ (CMNC, MNHN); **BRÉSIL** : [sans localité], [sans date], [anonyme] – 1 ♂ (USNM); **COLOMBIE** : Sierra Nevada de Santa Marta, [sans date], F. Simons – 1 ♀ (MNHN); [sans localité], vii.1914, B. Martin – 2 ♂♂ (CMNC); même localité, [sans date], [anonyme] – 3 ♀♀ (MHNG, MNHN); BOLÍVAR, Carthagena, (10°24'N, 75°30'O), [sans date], [anonyme] – 1 ♂ (MHNG); Isla Tierra Bomba, 100 m (10°21'36"N, 75°34'30"O), viii.1996, F. Escobar – 1 ♀, 1 ♂ (IAVH); Zambrano Hda. Monterey, 120 m (9°37'48"N, 74°54'44"O), viii.1996, F. Escobar – 1 ♀ (IAVH); CESAR, Aguachica, (8°18'5"N, 73°36'38"O), x.1978, Martínez – 2 ♂♂ (CMNC); MAGDALENA, Bonda, (11°14'12"N, 74°7'5"O), vii, [anonyme] – 10 ♂♂ (CMNH); Parque Nacional Natural Tayrona, Neguanje, 155 m (11°17'41"N, 74°6'15"O), ix.1996, F. Escobar – 2 ♂♂ (IAVH).

CONDITION DE CAPTURE. Les cinq spécimens comportant des données ont été capturés au piège à fosse appâté avec des excréments humains.

HABITAT. Tous les spécimens comportant des données ont été capturés à basse altitude (100-155m) dans des forêts sèches de la province biogéographique du Maracaribo.

PHÉNOLOGIE. Spécimens capturés en juillet, aout, septembre, octobre.

REMARQUES. Le spécimen étiqueté Brésil est une erreur de provenance. Cette espèce n'est connue que de la zone de forêt sèche du nord de la Colombie.

Eurysternus plebejus Harold, 1880

(Figs. 16, 33, 58, 141-142, 144-146, 220)

Eurysternus plebejus Harold
1880 Harold, *Ent. Zeit. Stet.* 41 : 14
1909 Ohaus, *Stett. Ent. Zeit.* 70 : 94 (biologie)
1911 Gillet, *Col. Cat.* 38 : 26 (catalogue)
1944 Blackwelder, *U. S. Nat. Mus. Bull.* 185 : 197 (catalogue)
1955 Roze, *Bol. Mus. Cien. Nat. Caracas* 1 : 41 (catalogue)
1966 Halffter & Matthews, *Folia Ent. Mex.* 12-14 : 146 (biologie)

1981 Howden & Young, *Contr. Am. Ent. Inst.* 18 : 15 (diagnose, clé de détermination)
1985 Jessop, *J. Nat. Hist.* 19 : 1100 (désignation de type)
2003 Morón, *Atl. Esc. Mex.* 2 : 45 (répartition)
2004 Celi et al., *Lyonia* 7 : 44 (faunistique)
2007 Noriega et al., *Biot. Colom.* 8 : 82 (faunistique)
2009 Noriega & Calle, *Col. Bull.* 62 : 455 (biologie)

Eurysternus joffrei Martínez [**nouvelle synonymie**]
1988 Martínez, *Ent. Basil.* 12 : 290

ÉTYMOLOGIE. *Plebejus* (de la populace, du bas peuple), adjectif latin se rapportant sans doute à l'abondance de cette espèce.

DIAGNOSE. Longueur 6,0-10,5 mm. Corps de coloration très variable, presque entièrement brun foncé, avec quelques rares taches plus claires, à presque complètement testacé rougeâtre avec des taches brunes par endroits, mais le pronotum est toujours en grande partie brun et souvent muni de deux taches longitudinales au milieu à l'avant, et parfois avec de faibles reflets métalliques violacés ou verdâtres sur le pronotum, les élytres et les pattes. Tête à ponctuation ocellée, variable en grosseur et inégalement répartie; arête antérieure du clypéus semi-hexagonale à presque régulièrement arquée, médiocrement échancrée au milieu, sans dent distincte chaque coté du milieu. Pronotum à surface presque régulièrement convexe; surface non modifiée en arrière de l'insertion de la tête, semblable chez les mâles et femelles; ponctuation variable en grosseur, ocellée sur toute la surface, plus ou moins irrégulièrement répartie. Élytre à surface mate et microsculpture forte; stries médiocrement fines et nettes; interstries sans ponctuation visible, chaque soie munie à l'avant d'un petit tubercule lisse sur le premier interstrie seulement; huitième interstrie très fortement caréné au milieu, la carène plus haute que la largeur de l'interstrie; tubercule apical fortement développé, celui du troisième interstrie très réduit ou absent. Prosternum assez régulièrement convexe dans son ensemble, le disque plat à protubérant antérieurement; surface mate à pubescence courte, sauf la rangée de soies apposée à l'arête postérieure. Métasternum à ponctuation ocellée nette et modérément profonde sur le disque, dépression médiane médiocrement grosse et profonde; lobe latéral à ponctuation ocellée plus ou moins nette selon les 'individus. Fémur antérieur à face ventrale munie d'une concavité à l'arrière, près de la base; arête antérieure anguleuse au milieu; surface à ponctuation ocellée plus ou moins nette antérieurement, devenant simple, dense et râpeuse à l'arrière sur la moitié distale. Tibia antérieur mâle muni de trois dents latérales à l'apex, la dent médiane à peine plus courte et équidistante entre les deux autres dents; outre les trois dents distales, la plupart des individus possèdent une dent supplémentaire sur

le tiers basal de l'arête latérale. Tibia antérieur femelle non modifié, sauf la dent du tiers basal de l'arête latérale, qui est semblable à celle des mâles. Fémur médian et postérieur à microsculpture et ponctuation variables selon les populations. Arête postérieure du fémur postérieur presque droite, munie d'un renflement sur le tiers basal de l'arête postérieure chez les mâles, d'une petite dent aigüe près du tiers basal chez les femelles; la dent est alignée avec la face ventrale et occupe parfois presque toute l'épaisseur de la face postérieure. Tibia postérieur à dent apicale beaucoup plus courte que le premier tarsomère. Pygidium à ponctuation ocellée plus ou moins nette. Paramères arrondis et recourbés vers le bas à l'apex en vue latérale; lamelle accessoire du sac interne munie d'un petit lobe tronqué.

Eurysternus plebejus Harold :
Lectotype ♂ (MNHN) : LECTOTYPE disque à bordure violette) / Muzo (écriture manuscrite) / *plebejus* Harold (écriture manuscrite) / Ex. Musaeo E. Steinheil / *Eurysternus plebejus* Harold, LECTOTYPE, det. L. Jessop 1984. Lectotype examiné.

Eurysternus joffrei Martínez :
Holotype ♂ (MACN) : PERU, Dº Huanuco, Tingo Maria, Univesidad, Jul. [1]974, Coll. Martínez. Holotype non examiné, évidence suffisante.

MATÉRIEL EXAMINÉ. Répartition géographique Fig. 220; 2100 ex. : *Eurysternus plebejus* : **BOLIVIE** : CHUQUISACA, Monteagudo, Río Los Pinos, 1300 m (19°43'35"S, 63°55'3"O), 21.iv.2004, M. Aliaga – 1 ex. (OUMNH); Monteagudo, Ticucha, 1300 m (19°36'15"S, 63°53'11"O), 12.iv.2004, M. Aliaga – 1 ex. (OUMNH); COCHABAMBA, 109 km E Cochabamba, 1400 m (17°8'52"S, 65°42'54"O), 1-6.ii.1999, F. Génier (1999-27) – 1 ex. (CMNC); même localité, 1-6.ii.1999, F. Génier (1999-28) – 2 ex. (CMNC); même localité, 6-8.ii.1999, F. Génier (1999-36) – 1 ex. (CMNC); même localité, 8-12.ii.1999, F. Génier (1999-60) – 3 ex. (CMNC); même localité, 8-12.ii.1999, F. Génier (1999-61) – 1 ex. (CMNC); 117 km E Cochabamba (Cochabamba-Villa Tunari road), 1040 m (17°6'32"S, 65°41'12"O), 1-6.ii.1999, R. Hanley (1999-28) – 3 ex. (CMNC); même localité, 10-12.ii.1999, R. Hanley (1999-73) – 2 ex. (CMNC); 117 km E Cochabamba at Lagunitas, 1000 m (17°6'22"S, 65°40'57"O), 1.ii.1999, R. Anderson (1999-14B) – 1 ex. (CMNC); même localité, 1-6.ii.1999, F. Génier (1999-29) – 1 ex. (CMNC); même localité, 1-6.ii.1999, F. Génier (1999-30) – 2 ex. (CMNC); même localité, 8-12.ii.1999, F. Génier (1999-62) – 5 ex. (CMNC); même localité, 8-12.ii.1999, F. Génier (1999-63) – 5 ex. (CMNC); 124 km E Cochabamba (Cochabamba-Villa Tunari road), 730 m (17°3'54"S, 65°38'43"O), 1-6.ii.1999, R. Hanley (1999-29) – 1 ex. (CMNC); même localité, 8-12.ii.1999, R. Hanley (1999-74) – 1 ex. (CMNC); 124 km E Cochabamba at Río Espirito Santo, 700 m (17°3'45"S, 65°38'38"O), 1-6.ii.1999, F. Génier (1999-

31) – 11 ex. (CMNC); même localité, 6-8.ii.1999, F. Génier (1999-40) – 10 ex. (CMNC); même localité, 8-12.ii.1999, F. Génier (1999-64) – 10 ex. (CMNC); même localité, 8-12.ii.1999, F. Génier (1999-65) – 12 ex. (CMNC); 16.7 km O Villa Tunari, Avispas, 500 m (17°1'13"S, 65°32'46"O), 10-12.ii.1999, F. Génier (1999-67) – 18 ex. (CMNC); 42 km SW Villa Tunari, 960 m (17°6.68'S, 65°40.97'O), 17-22.xii.2005, S. & J. Peck (2005-58) – 3 ex. (CMNC); Estación Biológica El Valle del Sajta, Universidad Mayor de San Simón, 300 m (17°6.48'S, 64°46.94'O), 16-27.xii.2005, S. & J. Peck (2005-47) – 1 ex. (CMNC); Estación Biológica El Valle del Sajta, Universidad Mayor de San Simón, 67.5 km E Villa Tunari, 300 m (17°6'19"S, 64°46'57"O), 7-9.ii.1999, F. Génier (1999-41) – 3 ex. (CMNC); même localité, 7-9.ii.1999, F. Génier (1999-42) – 2 ex. (CMNC); même localité, 7-9.ii.1999, F. Génier (1999-43) – 5 ex. (CMNC); même localité, 7-9.ii.1999, F. Génier (1999-44) – 17 ex. (CMNC); même localité, 7-9.ii.1999, F. Génier (1999-45) – 8 ex. (CMNC); même localité, 7-9.ii.1999, F. Génier (1999-48) – 5 ex. (CMNC); même localité, 7-9.ii.1999, R. Hanley (1999-57) – 4 ex. (CMNC); même localité, 9-13.ii.1999, F. Génier (1999-68) – 19 ex. (CMNC); même localité, 9-13.ii.1999, F. Génier (1999-69) – 14 ex. (CMNC); même localité, 9-13.ii.1999, F. Génier (1999-70) – 8 ex. (CMNC); même localité, 9-13.ii.1999, F. Génier (1999-71) – 7 ex. (CMNC); même localité, 9-13.ii.1999, F. Génier (1999-72) – 19 ex. (CMNC); même localité, 9-13.ii.1999, F. Génier (1999-73) – 25 ex. (CMNC); même localité, 9-13.ii.1999, F. Génier (1999-74) – 6 ex. (CMNC); même localité, 9-13.ii.1999, F. Génier (1999-75) – 16 ex. (CMNC); même localité, 9-13.ii.1999, R. Hanley (1999-78) – 6 ex. (CMNC); Vacas, 3800 m (17°31'57"S, 65°35'58"O), [sans date], [anonyme] – 5 ex. (FSCA); Provincia Chapare, Agrigento, xii.1985, Martínez – 2 ex. (CMNC); Cristal Mayu, 600 m (17°5.76'S, 65°46.1'O), x.1974, H. Dott – 6 ex. (CMNH); même localité, iii.1970, F. Steinbach – 8 ex. (WDEC); El Palmar [=Yungas del Palmar], 1600 m (17°8'S, 65°30'O), [sans date], [anonyme] – 3 ex. (FSCA); Locotal, Yungas del Palmar, 1000 m (17°11'S, 65°37'O), i.1949, Martínez – 4 ex. (CMNC); Villa Tunari, (16°58'48"S, 65°25'43"O), xii.1985, Martínez – 8 ♀♀, 10 ♂♂ (CMNC); même localité, xi.1992, Arriagada – 2 ex. (CMNC); EL BENI, Estación Biológica del Beni, Bosque El Trapiche, 195 m (14°52'10"S, 66°19'58"O), 6-11.xi.1997, A. Lopera & S. Amezquita – 3 ex. (AFIC); Guanay, (12°31'17"S, 66°49'39"O), xi.1992, L. Peña – 4 ex. (CMNC); LA PAZ, Calisaya, Río Bopi, [sans date], G.L. Harrington – 4 ex. (USNM); Tumupasa, (14°8'23"S, 67°53'26"O), xii[1921-1922], W.M. Mann – 3 ex. (USNM); Provincia Nor Yungas, Caranavi, (15°49'41"S, 67°33'44"O), 18.iv.1931, P.C.L. Denier – 3 ex. (CMNC); même localité, 15.v.1931, P.C.L. Denier – 4 ex. (CMNC); Provincia Sud Yungas, Ocobaya, Colaya, 1500 m (16°25'S, 67°31'O), i.1949, Martínez – 1 ex. (CMNC); SANTA CRUZ, Amboro National Park, Los Volcanes, 1000 m (18°6'S, 63°36'O), 20.xi.-12.xii.2004, H. Mandel & M.V.L. Barclay – 4 ex. (BMNH); même localité, 20.xi.-12.xii.2004, M.V.L. Barclay & H. Men-

del – 4 ex. (BMNH); Hotel Flora y Fauna, 3.7 km SSE Buena Vista, 430 m, 2-13.ii.2000, M.C. Thomas – 1 ex. (FSCA); même localité, 14-19.x.2000, M.C. Thomas – 3 ex. (FSCA); Hotel Flora y Fauna, 5 km SSE Buena Vista, 440 m (17°29.925'S, 63°39.128'O), 6-15.xii.2003, S. & J. Peck (2003-130) – 2 ex. (CMNC); même localité, 15-24.xii.2003, S. & J. Peck (2003-131) – 6 ex. (CMNC); même localité, 24-31.xii.2003, S. & J. Peck (2003-132) – 2 ex. (CMNC); Los Volcanes, 1060 m (18°6'19"S, 63°35'49"O), 6.ii.2003, A.C. Hamel L. & S.K. Herzog – 2 ex. (OUMNH); même localité, 7.ii.2003, A.C. Hamel L. & S.K. Herzog – 6 ex. (OUMNH); même localité, 8.ii.2003, A.C. Hamel L. & S.K. Herzog – 2 ex. (OUMNH); même localité, 22.iv.2003, A.C. Hamel L. & M.S. Cristobal – 9 ex. (OUMNH); même localité, 23.iv.2003, A.C. Hamel L. & M.S. Cristobal – 6 ex. (OUMNH); même localité, 24.iv.2003, A.C. Hamel L. & S.K. Herzog – 4 ex. (OUMNH); même localité, 24.iv.2003, A.C. Hamel L. & M.S. Cristobal – 16 ex. (OUMNH); même localité, 29.iv.2003, A.C. Hamel L. & M.S. Cristobal – 1 ex. (OUMNH); même localité, 30.iv.2003, A.C. Hamel L. & M.S. Cristobal – 7 ex. (OUMNH); même localité, 13.viii.2003, A.C. Hamel L. & S.K. Herzog – 7 ex. (OUMNH); même localité, 13.viii.2003, A.C. Hamel L., M.S. Cristobal & D. Aguirre – 1 ex. (OUMNH); même localité, 15.viii.2003, A.C. Hamel L. & S.K. Herzog – 1 ex. (OUMNH); Río Yapacani, [sans date], J. Steinbach – 2 ex. (CMNH); Rurrenabaque, Río Beni, (14°28'S, 67°34'O), 1921-1922, W.M. Mann – 1 ex. (USNM); Provincia Andrés Ibáñez, El Espejo, ii.1961, Martínez – 4 ex. (CMNC); Provincia del Sara, Buena Vista, (17°27'28"S, 63°39'12"O), iii.1915, J. Steinbach – 1 ex. (CMNH); même localité, [sans date], Steinbach – 1 ex. (CMNH); Provincia Ichilo, 3-5 km SSE Buena Vista, 440 m (17°29'56"S, 63°39'13"O), 5-12.ii.2000, W.B. Warner – 3 ex. (WBWC); Buena Vista, 350 m (17°27'36"S, 63°39'38"O), ii.1950, Martínez – 6 ex. (CMNC); même localité, i.1966, F. Steinbach – 1 ex. (WDEC); Tacú, Buena Vista, (17°31'S, 63°39'O), iii.1951, Martínez – 1 ex. (CMNC); **BRÉSIL** : MATO GROSSO, Reserva Humboldt, (10°11'S, 59°48'O), 16-22.iii.1977, B.C. Ratcliffe – 1 ex. (BCRC); PARÁ, Santarém, (2°27'10"S, 54°43'9"O), [sans date], [anonyme] – 4 ex. (CMNH); Taperinha, (2°31'55"S, 54°17'41"O), [sans date], [anonyme] – 1 ex. (CMNH); Tucuruí, Rio Tocantins, (3°48'25"S, 49°39'25"O), viii.1984, N. Dégallier – 1 ex. (PAIC); RONDÔNIA, Fazenda Rancho Grande, 62 km S Ariquemes, (10°18'28"S, 62°52'26"O), 11-22.xi.1991, B.C. Ratcliffe – 1 ex. (UNSM); **COLOMBIE** : Buena Vista, v.1978, [anonyme] – 1 ex. (PAIC); CHOCÓ, Tadó, Angostura, 190 m (5°18'N, 76°27'O), xi.2003, D. Quinto – 4 ex. (WDEC); Tadó, Playa de Oro, 190 m (5°18'30"N, 76°25'12"O), x.2003, D. Quinto – 2 ex. (WDEC); CUNDINAMARCA, Silvania, 1470 m (4°24'21"N, 74°23'24"O), 29.x.2001, J.C. Neita – 1 ex. (WDEC); MAGDALENA, 3 km SE Minca, 1050 m (11°8'N, 74°6'O), 13.viii.1985, J. Longino (747-5) – 1 ex. (SEMC); Cacagualito, (11°15'N, 73°52'O), v, [anonyme] – 1 ex. (CMNH); META, Centro de Investigaciones Ecológicas Macarena

[=CIEM], Río Duda, Parque Nacional Natural Tinigua, 350 m (2°40'N, 74°10'O), i.1996, I. Jiménez – 1 ex. (IAVH); NORTE DE SANTANDER, 3 km N Chinácota, 1000 m (7°38'8"N, 72°35'23"O), 10.v.1974, S. Peck – 32 ex. (CMNC, ROME); même localité, 14.v.1974, S. Peck – 1 ex. (CMNC); VALLE DEL CAUCA, Río Jamundí entre Cali y Jamundí, 1000 m, 1.vii.1970, [anonyme] – 1 ex. (CMNC); VAUPÉS, Reserva Natural Mosiro-Itajura, Caparú, 100 m (1°4'S, 69°31'O), xi.1995, D. Forero – 1 ex. (IAVH); **COSTA RICA** : Pozo Azul de Perrís, 99-168 m, 22.viii.1927, Lankoster & Rehn – 1 ex. (USNM); CARTAGO, Cartago-Limón border, 40 km NE Turrialba, 500 m (9°58'32"N, 83°34'10"O), 18.v.1979, H. & A. Howden – 1 ex. (CMNC); Turrialba, (9°54'4"N, 83°41'4"O), 8.vi.1951, O.L. Cartwright – 1 ex. (USNM); même localité, 11.vii.1964, G.C. Bickworth – 1 ex. (SEMC); même localité, 26.ii.1980, H. & A. Howden – 20 ex. (CMNC, ROME); même localité, 28.ii.1980, H. & A. Howden – 45 ex. (CMNC, ROME); Turrialba, IIAC, 546 m (9°54'N, 83°41'O), 10.vii.1965, M.G. Naumann – 1 ex. (SEMC); HEREDIA, 10 km O Puerto Viejo, 170 m (10°31'20"N, 84°16'26"O), 2-5.iii.1991, H. & A. Howden – 3 ex. (CMNC); La Selva, (10°26'N, 84°1'O), 21-28.iii.1988, W.E. Steiner, J.M. Hill, J.M. Swearingen, J.M. Mitchell – 1 ex. (USNM); La Selva, 3 km S Puerto Viejo, (10°26'N, 84°1'O), 1.iv.1980, H. Hespenheide – 1 ex. (CMNC); même localité, 8.iv.1983, H. Hespenheide – 1 ex. (CMNC); même localité, 3.iv.1985, H. Hespenheide – 1 ex. (CMNC); même localité, 26.vi.1985, H. Hespenheide – 1 ex. (CMNC); La Selva, 3.2 km SE Puerto Viejo, 100 m (10°26'N, 84°1'O), 24.ii.1992, W. Bell – 1 ex. (MLJC); même localité, 11.iii.1992, W. Bell – 1 ex. (MLJC); LIMÓN, Guapiles, Santa Clara, 250-300 m (10°12'N, 83°46'O), v.1934, F. Nevermann – 1 ex. (USNM); Hamburgfarm, Reventazon, Ebene Limon, 15 m (10°15'N, 83°28'O), 25.iv.1924, F. Nevermann – 1 ex. (USNM); même localité, 30.v.1925, F. Nevermann – 1 ex. (USNM); même localité, 3.ii.1934, F. Nevermann – 1 ex. (USNM); même localité, 22.ix.1935, F. Nevermann – 1 ex. (USNM); Pandora, 70 m (9°44'N, 82°58'O), 23-24.ix.1990, B.C. Ratcliffe – 1 ex. (UNSM); Ramal, Parismina, Santa Clara, (10°11'54"N, 83°38'53"O), 21.vi.1935, F. Nevermann – 1 ex. (USNM); Valle de la Estrella, Pandora, (9°44'N, 82°58'O), 17-20.ii.1984, H. & A. Howden – 1 ex. (CMNC); même localité, 19.ii.1984, H. & A. Howden – 33 ex. (CMNC); même localité, 20.ii.1984, H. & A. Howden – 3 ex. (CMNC); PUNTARENAS, 2.5 mi. SW Rincón, (8°42'N, 83°29'O), 24.ii.1968, H. Hespenheide – 1 ex. (CMNC); même localité, 4.viii.1968, H. Hespenheide – 1 ex. (ROME); 4 mi. SW Rincón, Península de Osa, (8°42'N, 83°29'O), 8.viii.1968, H. Hespenheide – 1 ex. (CMNC); 5 km O Rincón, 15 m (8°41'46"N, 83°30'37"O), 1.iii.1968, B. Cornaby – 1 ex. (USNM); même localité, 3.iii.1968, B. Cornaby – 3 ex. (USNM); même localité, 8.iii.1968, B. Cornaby – 1 ex. (USNM); même localité, 9.iii.1968, B. Cornaby – 1 ex. (USNM); Estación Fundación Neotrópica, Aguas Buenas, Península de Osa, 80 m (8°42'30"N, 83°31'30"O), 21-25.vi.1997, S. & J. Peck (1997-24) – 11

ex. (CMNC); Estación Sirena, Parque Nacional Corcovado, (8°28'49"N, 83°35'41"O), 15-17.viii.1983, D.H. Lindeman – 2 ex. (CMNC); Fundación Neotrópica, Península de Osa, 180 m (8°42'30"N, 83°31'30"O), 23.vi.1997, R.S. Anderson (1997-30) – 6 ex. (CMNC); même localité, 23.vi.1997, R.S. Anderson (1997-31) – 6 ex. (CMNC); même localité, 24.vi.1997, R.S. Anderson (1997-32) – 2 ex. (CMNC); Golfito Dept., (8°38'N, 83°11'O), 1948, P. & D. Allen – 1 ex. (CMNC); La Joya, Río Piro, Península de Osa, 350 m (8°23'56"N, 83°19'51"O), viii-ix.1997, S. Locher – 1 ex. (AFIC); Parque Nacional Corcovado, (10°2'N, 85°34'O), 15-16.viii.1983, D.H. Lindeman – 1 ex. (CMNC); Parque Nacional Manuel Antonio, (9°23'24"N, 84°8'23"O), 8-14.xii.1987, Génier & Bertrand – 8 ex. (CMNC); Península de Osa, 7-12.viii.1966, S. Peck – 2 ex. (CMNC); Rincón, (8°41'24"N, 83°28'38"O), 27.ii.1966, R.B. Roberts – 1 ex. (WDEC); même localité, 7.viii.1967, J.R. Holman – 3 ex. (USNM); Rincón de Osa, (8°41'37"N, 83°28'21"O), 1.viii.1966, [anonyme] – 4 ex. (WDEC); même localité, 10-15.viii.1966, S. Peck – 15 ex. (CMNC, CNC, FSCA); même localité, 22-26.vi.2001, S. & J. Peck (2001-13) – 31 ex. (CMNC); même localité, 22-26.vi.2001, S. & J. Peck (2001-14) – 2 ex. (CMNC); même localité, 23-26.vi.2001, S. & J. Peck (2001-15) – 2 ex. (CMNC); SAN JOSE, 2 km S Colón, 1100 m (10°17'22"N, 84°25'46"O), 1-16.ii.1984, H. & A. Howden – 2 ex. (CMNC); San Carlos, (9°14'1"N, 83°35'35"O), [sans date], Schild & Burgdorf – 2 ex. (USNM); **ÉQUATEUR** : EL ORO, Piñas, 1200 m (3°40'41"S, 79°40'51"O), 2.ix.1997, C. Carpio – 1 ex. (QCAZ); ESMERALDAS, Colón del Ónzole, (0°47'N, 79°4'O), 3.v.2001, I. Yépez – 7 ex. (CMNC); même localité, 4.v.2001, I. Yépez – 7 ex. (CMNC, USNM); Estación Forestal La Chiquita, 11 km SE San Lorenzo, 5 m (1°10'N, 78°47'O), 6-11.vi.1975, S. Peck – 17 ex. (CMNC, ROME, UNSM, WBWC); même localité, 6-7.vi.1975, S. Peck – 1 ex. (CMNC); Gualpí del Ónzole, (0°46'N, 79°9'O), 30.v.1999, J. Celi & A. Dávalos – 1 ex. (CMNC); même localité, 27.iv.2001, I. Yépez – 7 ex. (CMNC, WDEC); même localité, 28.iv.2001, I. Yépez – 15 ex. (CMNC, WDEC); Majua, (0°42'11"N, 79°32'27"O), 15.viii.2000, J. Celi & T. Ghia – 1 ex. (CMNC); même localité, 28.iii.2001, J. Celi & I. Yépez – 25 ex. (CMNC); Pajonal, (0°46'N, 79°9'O), 30.iv.2001, I. Yépez – 2 ex. (CMNC); même localité, 1.v.2001, I. Yépez – 14 ex. (CMNC, USNM, WDEC); Palma Real, (0°22'48"N, 79°20'29"O), 24.iii.2001, I. Yépez – 5 ex. (CMNC); même localité, 25.iii.2001, J. Celi – 2 ex. (CMNC); Playa de Oro, iii.2001, M. Kellogg – 1 ex. (CMNC); même localité, xii.2000, J. Celi – 1 ex. (CMNC); Playa Rica, (0°53'N, 78°46'O), 22.iii.2001, I. Yépez – 1 ex. (CMNC); Prov. San Mateo, (0°53'15"N, 79°38'5"O), 8.x.1956, J. Foster – 1 ex. (CMNC); Salto del Bravo, (0°36'N, 78°57'O), 19.v.2001, J. Quito & F. Añapa – 3 ex. (CMNC); même localité, 20.v.2001, J. Quito & F. Añapa – 1 ex. (USNM); Tsejpi, (0°47'N, 78°50'O), 18.ii.2001, I. Yépez – 1 ex. (CMNC); même localité, 19.ii.2001, J. Celi – 6 ex. (CMNC); GUAYAS, Bucay, (2°39'S, 79°40'O), 4.vi.1905, F. Ohaus – 1 ex. (CMNC); même localité, 8.vi.1905,

F. Ohaus – 1 ex. (CMNC); LOS RÍOS, 47 km S Santo Domingo, 213 m (0°35'S, 79°22'O), 22-28.ii.1976, J.D. Glaser – 7 ex. (CMNH); même localité, 24.ii.1976, V. Nealis – 1 ex. (CMNC); même localité, 24.ii.1976, HFH &VGN – 9 ex. (CMNC, ROME); même localité, 25.ii.1976, HFH &VGN – 9 ex. (CMNC, ROME); même localité, 26.ii.1976, HFH &VGN – 12 ex. (CMNC, ROME); même localité, 27.ii.1976, HFH &VGN – 2 ex. (CMNC); 57 km N Quevedo, (0°33'26"S, 79°22'24"O), 8.iii.1979, J.J. Anderson – 2 ex. (USNM); même localité, 11.iii.1979, J.J. Anderson – 10 ex. (UNSM); Estación Científica Río Palenque, 150-220 m (0°35'S, 79°22'O), vi.1996, N. Pitman & M. Bass – 24 ex. (AFIC, USNM); même localité, 25.iv.-6.vi.1996, P. Hibbs (1996-02) – 1 ex. (SEMC); Estación Científica Río Palenque, 47 km S Santo Domingo, 250 m (0°37'48"S, 79°24'26"O), 19-25.v.1975, S. Peck – 47 ex. (CMNC, ROME); même localité, 25-30.v.1975, S. & J. Peck – 10 ex. (CNC); même localité, 18-30.vi.1975, S. & J. Peck – 2 ex. (CMNC); même localité, 22-27.ii.1976, H. & A. Howden – 2 ex. (CMNC); même localité, 22-23.ii.1976, S. Peck – 1 ex. (CMNC); même localité, 22-28.ii.1976, J.M. Campbell – 3 ex. (CNC); même localité, 24-25.ii.1976, S. Peck – 4 ex. (CMNC, ROME); même localité, 26.ii.1976, H. & A. Howden – 1 ex. (CMNC); même localité, 27.ii.1976, H. & A. Howden – 2 ex. (ROME); même localité, 28-31.vii.1976, S. Peck – 7 ex. (CMNC); même localité, 17-25.ii.1979, L. Ling – 1 ex. (CMNC); même localité, 17-25.ii.1979, S. Marshall – 1 ex. (CMNC); même localité, 18-21.ii.1979, L. Ling – 1 ex. (CMNC); même localité, 19-20.ii.1979, L. Ling – 1 ex. (CMNC); même localité, 22-23.ii.1979, L. Ling – 1 ex. (CMNC); même localité, 5.v.-25.vii.1985, S. & J. Peck – 2 ex. (CMNC); Estación Experimental Tropical Pichilingue, Quevedo, (1°0'13"S, 79°27'50"O), iv.1976, Martínez – 2 ex. (CMNC); même localité, vii.1976, Martínez – 7 ex. (CMNC); même localité, v.1976, A. Martínez – 2 ex. (WDEC); Quevedo, (1°1'47"S, 79°28'40"O), 23.i.1960, G.P. Frymire – 1 ex. (USNM); Río Palenque, (0°37'48"S, 79°24'26"O), 24.ii.1979, S. Marshall – 2 ex. (CMNC); MANABÍ, 20 km N Chone, 300 m (0°32'32"S, 80°2'20"O), 6-9.vi.1976, S. Peck – 5 ex. (CMNC); même localité, 6.vi.1976, S. Peck – 5 ex. (CMNC); 78 km NE Chone, 85 km WSW Santo Domingo, 450 m (0°20'46"S, 79°42'20"O), 9-12.vi.1976, S. Peck – 4 ex. (CMNC, ROME); 90 km WSW Santo Domingo, 73 km NE Chone, 300 m (0°20'52"S, 79°44'22"O), 6-9.vi.1976, S. Peck – 7 ex. (CMNC, ROME); MORONA-SANTIAGO, Ángel Rouby, sitio 8, 1300 m (2°21'39"S, 78°2'2"O), 3.ii.2002, J. Celi – 1 ex. (CMNC); Via Mendez-Paute Km 8, 1250 m, 23.viii.1997, C. Carpio – 3 ex. (QCAZ); NAPO, 11.5 km SW Tena, (1°2'53"S, 77°53'50"O), 26.v.1977, D.L. & S.S. Vincent – 1 ex. (USNM); 13 km SW Tena, (1°3'29"S, 77°53'47"O), 25.v.1977, W.E. Steiner – 3 ex. (USNM); 17 km SW Tena, (1°4'50"S, 77°55'27"O), 28.v.1977, W.E. Steiner – 1 ex. (USNM); 5 km O Tena, 500 m (0°58'9"S, 77°51'35"O), 6-9.vii.1976, S. Peck – 5 ex. (CMNC); Estación Biológica Jatun Sacha, 450 m (1°4'S, 77°37'O), 24-26.vii.1998, Ratcliffe, Jameson, Smith, Villatoro – 2 ex. (ABTS, UNSM); Esta-

ción Biológica Jatun Sacha, 21 km E Puerto Napo, 400 m (1°4'5"S, 77°36'50"O), 8.vii.1994, F. Génier – 1 ex. (CMNC); même localité, 9.vii.1994, F. Génier – 1 ♂, 6 ex. (CMNC); Misahualli Jungle lodge area, junction of Rio Napo & Rio Misahualli, 579 m (1°2'4.2"S, 77°39'49.2"O), 13-20.ix.1998, C. & K. Messenger – 2 ex. (UNSM); Río Aguarico, 150 m, 25.ix.1977, L. Peña – 1 ex. (CMNH); Río Napo-Río Aguarico, 76-77°W, ix-x.1977, L. Peña – 1 ex. (PAIC); Scyasuni, 200 m, 25-27.x.1997, D. Padilla & I. Tapia – 2 ex. (QCAZ); Tena, 400-500 m (0°59'21"S, 77°48'55"O), 23.v.1977, W.E. Steiner – 1 ex. (USNM); même localité, 1.vi.1977, W.E. Steiner – 1 ex. (USNM); même localité, 15-21.ii.1986, F. Génier – 4 ex. (CMNC); ORELLANA, Estación Científica Yasuní (PUCE), 250 m (0°40'16.7"S, 76°24'1.8"O), 27-29.iii.1995, M. Bass & N. Pitman – 2 ex. (USNM); même localité, 5-10.ix.1999, E.G. Riley – 8 ex. (TAMU); même localité, 9-17.ix.1999, D.G. Marqua – 2 ex. (DGMF); Estación de Biodiversidad Tiputini (USFQ), Parque Nacional Yasuní, 220 m (0°38'S, 76°9'O), ix.2000, D. Inward – 8 ex. (BMNH); PASTAZA, Llandia, 17 km N Puyo, 1000 m (1°21'3"S, 77°58'4"O), 19.vii.1994, F. Génier – 3 ex. (CMNC); même localité, 20.vii.1994, F. Génier – 1 ex. (CMNC); Plataforma Villano, 9.vii.1996, J. Naranjo – 3 ex. (QCAZ); PICHINCHA, 4 km SE Santo Domingo, 500 m (0°16'S, 79°7'O), 8-22.vi.1975, S. Peck – 2 ex. (CMNC); même localité, 8-11.vi.1976, S. Peck – 4 ex. (CMNC, ROME); même localité, 8-22.vi.1976, S. Peck – 1 ex. (CMNC); Pachijal, 600 m, 11.i.1997, M. Avila – 1 ex. (QCAZ); Tinalandia, 16 km SE Santo Domingo, 680 m (0°13'S, 79°9'O), 16.vi.1976-28.vi.1975, S. Peck – 1 ex. (ROME); même localité, 4.v.-25.vii.1985, S. & J. Peck – 3 ex. (CMNC); Tinalandia, Santo Domingo, (0°13'S, 79°9'O), 28-30.vi.1980, J.D. Glaser – 4 ex. (CMNH); SUCUMBÍOS, 2 km N Limoncocha, 250 m (0°23'17"S, 76°37'15"O), 22-28.vi.1976, S. Peck – 16 ex. (CMNC, ROME); 30 km E Lago Agrio, Via a Tarapoa, (0°0'5"S, 76°39'8"O), 17.x.1975, A. Langley – 1 ex. (USNM); Dureno, Río Aguarico, 150 m (0°2'40"N, 76°41'50"O), 23-30.ix.1977, L. Peña – 3 ex. (CMNC); même localité, 23-28.ix.1977, L. Peña – 1 ex. (CMNC); La Selva Lodge, 150 km down Río Napo from Coca, (0°27'57"S, 75°20'31"O), 20-28.xii.1996, C.E. Gordon – 2 ex. (WBWC); Limoncocha, 250 m (0°24'38"S, 76°37'37"O), 31.xii.1969, H.A. Hespenheide – 1 ex. (CMNC); même localité, 1.v.1970, H.A. Hespenheide – 1 ex. (CMNC); même localité, 10-15.iii.1975, J.M. Campbell – 8 ex. (CMNC, ROME); même localité, 11.iii.1976, J.M. Campbell – 27 ex. (CNC); même localité, 15.iii.1976, J.M. Campbell – 4 ex. (CMNC, CNC); même localité, 18-24.vi.1976, S. Peck – 51 ex. (CMNC, ROME); même localité, 21-28.vi.1976, S. Peck – 3 ex. (CMNC); même localité, 25.vi.1976, S. & J. Peck – 1 ex. (CNC); même localité, 26-28.vi.1976, S. Peck – 4 ex. (CMNC, ROME); même localité, 6.vi.1977, W.E. Steiner – 2 ex. (USNM); même localité, 6.vi.1977, D.L. Vincent – 1 ex. (USNM); même localité, 7.vi.1977, W.E. Steiner – 1 ex. (USNM); même localité, 13.vi.1977, P.J. Spangler & D.R. Givens (120) – 5 ex. (USNM); même loca-

lité, 15.vi.1977, P.J. Spangler & D.R. Givens (127) – 10 ex. (USNM); même localité, 16.vi.1977, P.J. Spangler & D.R. Givens (130) – 3 ex. (USNM); même localité, 16.vi.1977, W.E. Steiner – 2 ex. (USNM); Lombaquí, 800 m (0°4'54"N, 77°20'14"O), xii.1984, Voirin – 1 ♂ (MHNG); Sacha Lodge, 270 m (0°28'14"S, 76°27'35"O), 13-23.vi.1994, Hibbs – 1 ex. (SEMC); Santa Cecilia, (0°4'54"N, 76°59'45"O), 25-31.iii.1969, P. & P. Spangler – 1 ex. (USNM); **GUYANE FRANÇAISE** : CAYENNE, Montagne Kaw, Fourgassié, (4°33'N, 52°10'O), 15.ix.-1.x.1995, N. Kocian – 1 ♂ (MHNG); **NICARAGUA** : RÍO SAN JUAN, Refugio Bartola, 8 km SE El Castillo, 30 m (10°56.6'N, 84°20.4'O), 25-31.v.2002, S. Peck (2002-09) – 1 ♂, 2 ex. (CMNC); **PANAMA** : CANAL ZONE, Forest Reserve, 5.vii.1975, B.C. Ratcliffe – 1 ex. (BCRC); Lago Gatún, Juan Gallegos L., 8-18.vi.1981, B. Gill – 20 ex. (CMNC); CHIRIQUÍ, Bugaba, 244-457 m (8°28'N, 82°38'O), [sans date], Champion – 1 ex. (USNM); COCLÉ, Cerro Gaital, (8°37'35"N, 80°6'59"O), 10-12.vi.1985, E. Riley & D. Rider – 2 ex. (EGRC); El Valle, 500 m (8°36'N, 80°8'O), 23.ii.1959, H.S. Dybas – 1 ex. (CMNC); même localité, 8.vii.1973, D.C. Darling – 1 ex. (ROME); même localité, 5.viii.1973, D. Engleman – 1 ex. (USNM); même localité, 10-13.vi.1985, E. Riley & D. Rider – 2 ex. (EGRC); COLÓN, 10 km SE Colón, Santa Rita Ridge, 270 m (9°19'N, 79°47'O), 10-12.vi.1977, S. Peck – 1 ex. (CMNC); 15 km N jonction Escobal Road & Piña Road, 20 m, 2-11.vi.1996, J. Ashe & R. Brooks (1996-121) – 1 ex. (CMNC); 5 mi. NW Gamboa, (9°9'55"N, 79°45'9"O), 29.ix.1969, H.A. Hespenheide – 1 ex. (CMNC); même localité, 23.xii.1969, H.A. Hespenheide – 1 ex. (CMNC); même localité, 11.iv.1970, H.P. Stockwell – 1 ex. (USNM); Achiote Road, (9°13'5"N, 79°58'44"O), 9.xii.1979, Engleman – 1 ex. (BCRC); Cabima, (9°13'N, 79°53'O), 23.v.1911, A. Busck – 1 ex. (USNM); Coco Solo Hospital, (9°21'N, 79°51'O), 12.xii.1971, H.P. Stockwell – 3 ex. (USNM); Escobal Road, Atl., (9°14'N, 79°58'O), 11.ix.1992, D. Engleman – 1 ex. (UNSM); Gamboa, (9°7'N, 79°42'O), 1.v.1972, R. & E. Froeschner – 1 ex. (USNM); Km 5.3 on Pipeline Road, (9°9'N, 79°43'O), 29-31.v.1995, J.S. & A.K. Ashe (086) – 1 ex. (CMNC); Km 6.1 on Pipeline Road, (9°9'N, 79°43'O), 27-29.v.1995, J.S. & A.K. Ashe (1995-89) – 1 ♂, 1 ex. (CMNC); Limbo Hunt Club, Pipeline Road, 17.v.1977, L.R. Davis Jr. – 1 ex. (FSCA); même localité, 29.v.1977, L.R. Davis Jr. – 2 ex. (FSCA); Margarita, 10 m (9°20'N, 79°54'O), v.1960, S. Breeland – 2 ex. (CMNC, CNC); Portobelo, (9°33'N, 79°39'O), 8.iii.1911, E.A. Schwarz – 1 ex. (USNM); même localité, 13.iii.1911, A. Busck – 1 ex. (USNM); Río Trinidad, (9°1'N, 79°58'O), 29.iii.1912, A. Busck – 2 ex. (USNM); même localité, 7.vi.1912, A. Busck – 1 ex. (USNM); Skunk Holow, (9°18'N, 79°57'O), 13.vii.1975, B.C. Ratcliffe – 4 ex. (BCRC, UNSM); DARIÉN, Estación Ambiental Cana, 530 m (7°45.32'N, 77°41.07'O), 3-7.vi.1996, J. Ashe & R. Brooks (1996-65) – 1 ex. (SEMC); même localité, 4.vi.1996, R.S. Anderson (1996-104) – 12 ex. (CMNC); même localité, 4.vi.1996, R.S. Anderson (1996-106) – 1 ex. (CMNC); même loca-

lité, 5.vi.1996, J. Ashe & R. Brooks (1996-30) – 1 ex. (CMNC); même localité, 5.vi.1996, R.S. Anderson (1996-107) – 1 ex. (CMNC); même localité, 6.vi.1996, J. Ashe & R. Brooks (1996-63) – 1 ex. (CMNC); même localité, 7-10.vi.1996, R.S. Anderson (1996-116) – 1 ♂, 10 ex. (CMNC); même localité, 7-10.vi.1996, R.S. Anderson (1996-117) – 6 ex. (CMNC); même localité, 10.vi.1996, R.S. Anderson (1996-119) – 5 ex. (CMNC); PANAMÁ, 6.1 km on Pipeline Road, near Gamboa, 40 m (9°8'6"N, 79°43'23"O), 7-21.vi.1995, J. Ashe & R. Brooks (265) – 7 ex. (CMNC); 6.9 km S Gamboa, Old Plantation Road, 80 m (9°4'18"N, 79°39'27"O), 7-22.vi.1995, J. Ashe & R. Brooks (266) – 1 ex. (CMNC); 9 km SE Bayano Bridge, (9°10'N, 78°46'O), 8.ix.1974, H.P. Stockwell – 1 ex. (USNM); Ancon Hill, 256 m (8°57'N, 79°33'O), 23.ii.1970, H.P. Stockwell – 1 ex. (USNM); Cerro Campana, 800 m (8°41'N, 79°55'O), 1.i.1970, H.P. Stockwell – 2 ex. (CMNC, USNM); même localité, 15.iv.1970, H.A. Hespenheide – 1 ex. (CMNC); même localité, 29.v.1970, [anonyme] – 1 ex. (CMNC); même localité, 20.vii.1970, H. & A. Howden – 1 ex. (CMNH); même localité, 29.vii.1970, H. & A. Howden – 3 ex. (CMNC, ROME); même localité, 19.ix.1970, H.P. Stockwell – 1 ex. (CMNC); même localité, 19.ix.1970, H.P. Stockwell – 2 ex. (FSCA, USNM); même localité, 13.vii.1971, W. Bivin – 1 ex. (USNM); même localité, 27.v.1972, W. Bivin – 1 ex. (EGRC); même localité, 31.vii.1974, H.P. Stockwell – 1 ex. (USNM); même localité, 13.vii.1977, H.A. Hespenheide – 1 ex. (CMNC); Cerro Campana, 2.3 km O Capria (then) 10.3 km N Pan American Hwy, 825 m, 1-5.vi.1995, R. Brooks (129) – 1 ex. (CMNC); Cerro Campana, 8 km NW Capira, 1000 m (8°42'N, 79°55'O), 7.v.1981, R.W. Brooks – 1 ex. (SEMC); Fort Kobbe, (8°54'N, 79°35'O), 20.iii.1970, H.P. Stockwell – 1 ex. (USNM); Isla Barro Colorado, (9°9'17"N, 79°50'52"O), viii.1994, D. Banks – 19 ex. (CMNC); même localité, ix-x.1946, Zetek – 3 ex. (USNM); même localité, xi.1947-i.1948, Zetek – 1 ex. (USNM); même localité, 1947, Zetek – 1 ex. (USNM); même localité, vi.1939, J. Zetek – 1 ex. (USNM); même localité, vi-x.1943, [anonyme] – 2 ex. (USNM); même localité, x-xi.1941, [anonyme] – 2 ex. (USNM); même localité, iii.1975, O.P. Young – 17 ex. (USNM); même localité, v.1975, O.P. Young – 1 ex. (USNM); même localité, 19.iii.1929, S.W. Frost – 1 ex. (USNM); même localité, 3.iv.1929, S.W. Frost – 1 ex. (USNM); même localité, 2.vi.1956, C.W. & M.E. Rettenmeyer – 1 ex. (SEMC); même localité, 19.v.1967, R.E. Beer – 1 ex. (SEMC); même localité, 12.vii.1969, H.A. Hespenheide – 1 ex. (CMNC); même localité, 26.vii.1969, H.P. Stockwell – 1 ex. (USNM); même localité, 27-30.vi.1973, Erwin & Hevel – 1 ex. (USNM); même localité, 2.vii.1974, T.L. Erwin & D.R. Withehead – 4 ex. (USNM); même localité, 24.vii.1974, H.A. Hespenheide – 1 ex. (CMNC); même localité, 10.ix.1974, O.P. Young – 4 ex. (USNM); même localité, 19.iii.1975, O.P. Young – 2 ex. (USNM); même localité, 12-13.ix.1975, O.P. Young – 1 ex. (USNM); même localité, 15.ix.1975, O.P. Young – 3 ex. (USNM); même localité, 11.x.1975, O.P. Young – 1 ex. (USNM); même localité, 16-17.x.1975, O.P.

Young – 1 ex. (USNM); même localité, 19-20.x.1975, O.P. Young – 3 ex. (USNM); même localité, 21.x.1975, O.P. Young – 2 ex. (USNM); même localité, 23-24.x.1975, O.P. Young – 6 ex. (USNM); même localité, 1-2.xi.1975, O.P. Young – 4 ex. (USNM); même localité, 2.xi.1975, O.P. Young – 3 ex. (USNM); même localité, 18-19.xi.1975, O.P. Young – 1 ex. (USNM); même localité, 3.xii.1975, O.P. Young – 1 ex. (USNM); même localité, 5.xii.1975, O.P. Young – 1 ex. (USNM); même localité, 6.xii.1975, O.P. Young – 3 ex. (USNM); même localité, 8.xii.1975, O.P. Young – 18 ex. (USNM); même localité, 30.vi.1976, E.G. Riley – 5 ex. (EGRC); même localité, 12.vii.1977, H.A. Hespenheide – 1 ex. (CMNC); même localité, 6.vi.1978, Silberglied & Aiello – 1 ex. (USNM); même localité, 3-14.vi.1983, B. Gill – 2 ex. (CMNC); Isla Barro Colorado, Lago Gatún, (9°9'N, 79°51'O), v.1981, B. Gill – 1 ex. (CMNC); même localité, vi.1981, B. Gill – 1 ex. (CMNC); même localité, 16.i.1953, Mouros – 2 ex. (USNM); même localité, 6.xii.1963, L.J. Bottimer – 1 ex. (CNC); même localité, 8.xii.1963, L.J. Bottimer – 2 ex. (CNC); même localité, 17.i.1964, L.J. Bottimer – 1 ex. (CNC); même localité, 28.v.-7.vi.1981, B. Gill – 4 ex. (CMNC); même localité, 19-29.vi.1981, B. Gill – 2 ex. (CMNC); Juan Mina, (9°10'N, 79°39'O), 24.vi.1945, C.D. Michener – 1 ex. (SEMC); Km 8-13 El Llano-Carti Road, 10-13.v.1996, Wappes, Huether & Morris – 1 ex. (FSCA); Madden Forest, 120 m (9°6'N, 79°37'O), 23-26.vii.1966, S. Peck – 2 ex. (CMNC, CNC); même localité, 2.viii.1970, H. & A. Howden – 2 ex. (CMNC); même localité, 24.vi.1971, W. Bivin – 1 ex. (USNM); même localité, 14.xii.1971, H.P. Stockwell – 2 ex. (FSCA, USNM); même localité, 21.i.1972, H.P. Stockwell – 1 ex. (USNM); même localité, 25.vi.1976, E.G. Riley – 1 ex. (EGRC); Madden Forest, Mi 2.5, (9°5'N, 79°37'O), 21.i.1972, H.P. Stockwell – 1 ex. (USNM); même localité, 25.vi.1972, H.P. Stockwell – 1 ex. (USNM); Madden Forest, Mi 3.5, (9°5'N, 79°37'O), 1.v.1970, H.A. Hespenheide – 1 ex. (CMNC); Old Gamboa Rd., (9°3'44"N, 79°39'1"O), 5.vi.1993, D. Windsor – 1 ex. (MLJC); Paraiso, (9°1'55"N, 79°37'25"O), 8.ii.1911, A. Busck – 1 ex. (USNM); Pipeline Road, (9°9'N, 79°43'O), 17.vi.1993-22.vi.1997, S. Lingafelter – 1 ex. (MLJC); Plantation, Parque Nacional Soberanía, (9°4'43"N, 79°39'51"O), 21.i.2001, L. Masner – 1 ex. (CMNC); SAN BLÁS, Ina Igar trail, Nusagandi, (9°19'N, 78°58'O), 18-21.v.1993, E.G. Riley – 1 ex. (EGRC); **PÉROU** : HUANUCO, Leon Pampa Region, 800 m (9°32'S, 75°57'O), xii.1937, [anonyme] – 1 ex. (WDEC); Tingo María, 700-740 m (9°10'S, 76°0'O), x.1977, P. Arnaud – 1 ex. (PAIC); même localité, 24.viii.1997, N. Quinte – 1 ex. (AFIC); JUNÍN, Satipo, (11°16'S, 74°41'O), ii.1945, P. Paprzycki – 1 ex. (FSCA); Jauja, Sanibeni , 8 km E Satipo, 840 m (10°34'13"S, 74°9'54"O), 6-9.xi.1935, F. Woytkowski – 1 ex. (SEMC); LORETO, 1.5 km N Teniente López, 230-305 m (2°35'39.6"S, 76°6'55"O), 18-26.vii.1993, R. Leschen – 1 ex. (CMNC); Campamento San Jacinto, 175-215 m (2°18.75'S, 75°51.77'O), 9.vii.1993, R. Leschen (1993-67) – 1 ex. (SEMC); MADRE DE DIOS, Reserva Cuzco Amazonica, 15 km NE Puerto Mal-

donado, 200 m (12°33'S, 69°3'O), 13.vi.1989, J.S. Ashe & R.A. Leschen (1989-37) – 4 ex. (SEMC); même localité, 15.vi.1989, Ashe & Leschen – 1 ♂, 25 ex. (CMNC); même localité, 15.vi.1989, Ashe & Leschen – 17 ex. (CMNC); même localité, 15.vi.1989, J.S. Ashe & R.A. Leschen (1989-75) – 1 ex. (SEMC); même localité, 17.vi.1989, Ashe & Leschen – 4 ex. (CMNC); même localité, 17.vi.1989, Ashe & Leschen – 13 ex. (CMNC); même localité, 17.vi.1989, J.S. Ashe & R.A. Leschen (1989-129) – 2 ex. (SEMC); même localité, 20.vi.1989, Ashe & Leschen – 3 ex. (CMNC); même localité, 20.vi.1989, Ashe & Leschen – 24 ex. (CMNC); même localité, 22.vi.1989, Ashe & Leschen – 15 ex. (CMNC); même localité, 22.vi.1989, Ashe & Leschen – 4 ex. (CMNC); même localité, 22.vi.1989, J.S. Ashe & R.A. Leschen (1989-193) – 5 ex. (SEMC); même localité, 22.vi.1989, J.S. Ashe & R.A. Leschen (1989-199) – 10 ex. (SEMC); même localité, 22.vi.1989, J.S. Ashe & R.A. Leschen (1989-205) – 9 ex. (SEMC); même localité, 24.vi.1989, R. Leschen – 9 ex. (CMNC); même localité, 24.vi.1989, Ashe & Leschen – 23 ex. (CMNC); même localité, 24.vi.1989, J.S. Ashe & R.A. Leschen (1989-237) – 63 ex. (SEMC); même localité, 24.vi.1989, J.S. Ashe & R.A. Leschen (1989-240) – 4 ex. (SEMC); même localité, 25.vi.1989, J.S. Ashe & R.A. Leschen (1989-269) – 1 ex. (SEMC); même localité, 26.vi.1989, Ashe & Leschen – 12 ex. (CMNC); même localité, 26.vi.1989, J.S. Ashe & R.A. Leschen (1989-281) – 9 ex. (SEMC); même localité, 28.vi.1989, Leschen & Silva – 6 ex. (CMNC); même localité, 28.vi.1989, D. Silva & R.A. Leschen (1989-314) – 2 ex. (SEMC); même localité, 30.vi.1989, Ashe & Leschen – 22 ex. (CMNC); même localité, 30.vi.1989, Ashe & Leschen – 10 ex. (CMNC); même localité, 4.vii.1989, Ashe & Leschen – 24 ex. (CMNC); même localité, 10.vii.1989, J.S. Ashe & R.A. Leschen (1989-468) – 8 ex. (SEMC); même localité, 13.vii.1989, Ashe & Leschen – 18 ex. (CMNC); même localité, 16.vii.1989, Ashe & Leschen – 38 ex. (CMNC); même localité, 19.vii.1989, J.S. Ashe & R.A. Leschen (1989-148) – 5 ex. (SEMC); Tambopata, 15 km NE Puerto Maldonado, 200 m (12°33'S, 69°3'O), ii.1990, R. Timm – 1 ex. (SEMC); même localité, 22.vi.1989, D. Silva (1989-198) – 22 ex. (SEMC); même localité, 22.vi.1989, D. Silva (1989-192) – 1 ex. (SEMC); même localité, 22.vi.1989, J. Ashe & R. Leschen (1989-200) – 4 ex. (SEMC); même localité, 24.vi.1989, J. Ashe & R. Leschen (1989-267) – 8 ex. (SEMC); même localité, 25.vi.1989, J. Ashe & R. Leschen (1989-338) – 1 ex. (SEMC); même localité, 2.vii.1989, J. Ashe & R. Leschen (1989-390) – 4 ex. (SEMC); même localité, 4.vii.1989, J. Ashe & R. Leschen (1989-392) – 1 ex. (SEMC); même localité, 11.vii.1989, J. Ashe & R. Leschen (1989-480) – 1 ex. (SEMC); même localité, 13.vii.1989, R. Leschen (1989-514) – 6 ex. (SEMC); Ccolpa de Guacamayos, Río Tambopata, 300 m (13°8.5'S, 69°36.4'O), x.1995, A. Forsyth – 23 ex. (AFIC, USNM); **SURINAME** : BROKOPONDO, Brownsberg Natuurpark, 440 m (4°56'55"N, 55°10'53"O), 25.vi.1999, Z. Falin (FIT121) – 1 ex. (CMNC); **VENEZUELA** : ARAGUA, Estación Experimental Cataurito, Villa de Cura, 1000 m (10°1'58"N,

67°29'9"O), 21.iv.1981, J.L. Garcia – 1 ex. (MIZA); Portachuelo, Rancho Grande, 1100 m (10°20'51"N, 67°41'15"O), x.1972, Martínez – 2 ex. (CMNC); même localité, 28.v.1983, A. Chacón – 1 ex. (MIZA); Rancho Grande, (10°20'N, 67°41'O), 24-25.ii.1971, H. & A. Howden – 2 ex. (CMNC, ROME); même localité, 1-10. viii.1987, Bordon & Peck – 3 ex. (CMNC); même localité, 4.vii.1988, L. Stange & C. Porter – 1 ex. (FSCA); Tiara, 50 km SW Caracas, 2000 m (10°7'47"N, 67°9'20"O), 22-25.ii.1971, S. Peck – 35 ex. (CMNC, CMNH, ROME); BOLIVAR, 20 km S Luepa, Gran Sabana, 1500 m (5°36'33"N, 61°23'49"O), 3-10.vii.1987, S. & J. Peck – 1 ex. (CMNC); 22 km SE El Dorado, (6°32'26"N, 61°33'55"O), 25. vi.-12.vii.1987, S. & J. Peck – 1 ex. (CMNC); CARABOBO, Palmichal, Canoabo, 850 m (10°18'11"N, 68°13'37"O), 10.ii.1981, J.J. Rosales & J.L. Garcia – 1 ex. (MIZA); DISTRITO FEDERAL, near Caracas, 1938, [anonyme] – 2 ex. (USNM); MIRANDA, El Lucero, 20 km N Altagracia, 700 m (10°1'16"N, 66°26'46"O), 14.vi.-5.viii.1987, S. & J. Peck – 18 ex. (CMNC); Parque Nacional Guatopo, (10°5'37"N, 66°29'41"O), 3-8.iii.1988, F. Génier – 3 ex. (CMNC).

Eurysternus joffrei : **PÉROU** : HUANUCO, Universidad, Tingo María, (9°10'S, 76°0'O), vii.1974, Martínez – 1 ♀ (paratype) (CMNC).

CONDITION DE CAPTURE. Spécimens capturés à l'aide de pièges à interception de vol, en tamisant de la litière de *Ficus*, et dans des pièges à fosse appâtés avec des excréments non spécifiés, dans une plantation de cacao, dans des pièges à fosse appâtés avec des excréments humains (méga et mini pièges), des excréments de singe hurleur, de la charogne non spécifiée, de la charogne de petit poisson, de la bouse de vache, des excréments de singe-araignée (*Ateles* sp.), en tamisant de la litière provenant de la forêt, en tamisant de la litière composée de fleurs et de débris tombés sur le sol. Quelques spécimens capturés dans des cadavres d'agoutis, d'iguanes (*Iguana iguana*), de crapauds (*Buffo marinus*), de petits et grands rats, de paresseux, de fourmiliers, d'autres dans le crottin de cheval, dans des excréments de tapirs et d'herbivores non spécifiés, sur des champignons (*Auricularia* spp.), dans un nid brisé d'abeilles sauvages (*Melipona* sp.), dans un nid d'abeilles sur le sol, dans un monticule de composte, dans des fruits tombés sur le sol, dans des fleurs de palmier, dans un monticule de fourmis mortes et sous des champignons en décomposition. Un spécimen capturé perché sur le feuillage à 40 cm du sol. Une longue série de spécimens capturés en Amazonie (Madre de Dios, Pérou) à l'aide de pièges à interception de vol placés dans la forêt primaire en zones inondable et non inondable.

HABITAT. Toute la forêt primaire et la forêt secondaire du bassin de l'Amazone, du bouclier guyanais, du choco et de l'Amérique centrale jusqu'au Nicaragua, en

forêt semi-décidue, forêt de brouillard, forêt tucumano bolivienne, Yungas, forêt de montagne sempervirente, plantation de cacao et repousses de broussailles secondaires de 0 à 2000 m. Une mention fort douteuse de Vacas (La Paz, Bolivie) en zone de Puna à 3800 m.

PHÉNOLOGIE. Spécimens capturés tous les mois de l'année.

REMARQUES. J'ai pu examiner le paratype femelle d'*E. joffrei* ainsi que deux spécimens mâles déterminés par Martínez. Ces spécimens sont en tous points identiques à *E. plebejus* Harold. La seule différence réside dans la forme du pygidium du paratype femelle (un peu plus large chez *E. joffrei*). Après avoir examiné plusieurs exemplaires du Costa Rica, du Panama, du Venezuela, d'Équateur et du Pérou, j'ai pu constater une certaine variation dans la largeur du pygidium, dont *E. joffrei* constitue l'extrême. De plus, *E. joffrei* ne semble isolé ni géographiquement ni écologiquement d'*E. plebejus*, qui est largement répandu dans la région des Andes, du Venezuela à la Bolivie, et en Amérique centrale, du Guatemala au Panama. Le statut d'espèce distincte ne semble donc pas justifié. *Eurysternus joffrei* Martínez, 1988 devient donc synonyme subjectif plus récent d'*E. plebejus* Harold, 1880.

Eurysternus angustulus Harold, 1869

(Figs. 68, 143, 147-148, 221)

Eurysternus angustulus Harold
1869 Harold, *Ann. Soc. Ent. Fr.* 9 : 506
1911 Gillet, *Col. Cat.* 38 : 25 (catalogue)
1944 Blackwelder, *U. S. Nat. Mus. Bull.* 185 : 197 (catalogue)
1985 Jessop, *J. Nat. Hist.* 19 : 1100 (désignation de type)
2000 López-Guerrero & Halffter, *Frag. Ent.* 32 : 245 (morphologie)
2003 Morón, *Atl. Esc. Mex.* 2 : 45 (diagnose, biologie, répartition)

ÉTYMOLOGIE. *Angustulus* (étroit), adjectif latin se rapportant probablement à la petite taille de cette espèce.

DIAGNOSE. Longueur 8,0-10,0 mm. Corps brun foncé avec des taches plus claires et de faibles reflets métalliques verdâtres ou violacés par endroits; pronotum présentant toujours deux bandes testacées obliques à l'avant au milieu; élytre brun avec de petites taches asymétriques brun pâle, calus apical et tubercule apical du troisième interstrie brun pâle à testacés. Tête à ponctuation ocellée, confluente à l'avant et inégalement répartie sur les joues et le vertex; arête antérieure du clypéus

largement arquée, recourbée vers le bas au milieu et munie d'une petite dent obtuse relevée de chaque côté du milieu. Pronotum à surface très inégale, munie de deux petits calus de chaque côté de la ligne médiane sur le tiers postérieur; ponctuation ocellée laissant de petites surfaces complètement lisses, ponctuation confluente dans les concavités, près de la base et des angles antérieurs. Élytres mats, microsculpture forte; stries médiocrement fines et nettes; interstries sans ponctuation visible; huitième interstrie très fortement caréné au milieu, la carène plus haute que la largeur de l'interstrie; tubercule apical et du troisième interstrie fortement développés. Prosternum nettement convexe au milieu; surface à microsculpture très grossière; ponctuation irrégulière et râpeuse, pubescence du disque médiocrement longue et recourbée. Métasternum à ponctuation simple et estompée, dépression médiane grosse et profonde; lobes latéraux à ponctuation estompée et écartée. Fémur antérieur à face ventrale assez régulièrement convexe; arête antérieure régulièrement sinueuse; surface à ponctuation et pubescence uniforme. Tibia antérieur mâle muni de deux dents latérales à l'apex; la face ventrale avec un petit lobe longitudinal près de la base et une petite dent aigüe après le milieu. Tibia antérieur femelle non modifié. Fémur médian mâle à surface mate et à ponctuation simple et nette, ponctuation médiocrement ocellée chez les femelles. Fémur postérieur à surface médiocrement lisse sur la moitié basale et sur la région antérieure, devenant graduellement plus mate vers l'apex à l'arrière; arête postérieure droite et émoussée sur toute la longueur, sans trace de dent ou de tubercule chez les mâles, face postérieure munie d'une petite dent aigüe au milieu chez les femelles, cette dernière plus près de l'arête dorsale et recourbée vers la base. Tibia postérieur à dent apicale beaucoup plus courte que le premier tarsomère. Pygidium muni d'une rangée arquée de petits tubercules râpeux de chaque côté de la ligne médiane et de quelques petits points ombiliqués près de l'apex. Paramères simplement arrondis à l'apex en vue latérale; lamelle accessoire du sac interne munie d'une petite dent tronquée.

Lectotype ♂ (BMNH) : LECTOTYPE (disque à bordure violette) / Mexico Sallé Coll. / 767 (imprimé sur papier vert) / B.C.A. 41.7. (papier blanc) / Sp. figured (imprimé sur papier blanc) / *Eurysternus angustulus* Typ. Harold (manuscrite, de la main de Harold) / *Eurysternus angustulus* Har. LECTOTYPE, det. L. Jessop 1984. Lectotype examiné.

MATÉRIEL EXAMINÉ. Répartition géographique Fig. 221; 236 ex. : **BELIZE** : CAYO, Chiquibul Forest, (16°44'N, 88°59'O), i.1998, D. Inward – 4 ex. (BMNH); Chiquibul Forest Reserve, Las Cuevas field station, 500-700 m (16°44'N, 88°59'O), i.1998, D. Inward – 3 ex. (BMNH); Las Cuevas Research Station, Chiribul Forest Reserve, San Ignacio, (16°43'N, 88°59'O), 2-17.iv.2004, R. Pateman – 28 ♀♀, 68 ♂♂ (OUMNH); ORANGE WALK, near La Milpa Archeological Reserve,

Rio Bravo Conservation and Management Area, (17°48'18"N, 89°4'34"O), 6-13.ix.1995, P. Kovaric – 1 ♀, 4 ♂♂ (FSCA); Río Bravo Conservation and Management Area, (17°50'22"N, 89°1'12"O), 7-14.iv.1995, P. Kovarik & J. Shuey – 2 ♀♀, 2 ♂♂ (FSCA, WBWC); même localité, 8-14.iv.1995, P. Kovarik & J. Shuey – 3 ♀♀, 4 ♂♂ (FSCA); même localité, 10-16.iv.1995, P. Kovarik & J. Shuey – 3 ♀♀ (EGRC, FSCA); même localité, 11-18.iv.1995, P. Kovarik & J. Shuey – 1 ♂ (FSCA); même localité, 13-19.iv.1995, P. Kovarik & J. Shuey – 1 ♂ (FSCA); même localité, 9-15.vi.1995, P. Kovarik & J. Shuey – 2 ♀♀, 1 ♂ (FSCA, WBWC); **GUATEMALA** : PETÉN, Tikal, (17°12'46"N, 89°37'3"O), 23-26.viii.1972, S. & J. Peck – 4 ♀♀, 7 ♂♂ (CMNC, CNC); même localité, 28-30.vii.1978, Helava & Kukal – 2 ♂♂ (CMNC); même localité, 12-28.v.1991, R. Limoges – 1 ♂ (CMNC); **MEXIQUE** : [sans localité], [sans date], Sallé – 1 ♂ (lectotype) (BMNH); CHIAPAS, 4 mi. S Palenque, 183 m (17°27'22"N, 91°57'59"O), 15.viii.1971, A. Newton (326) – 2 ♀♀, 3 ♂♂ (CMNC); 7 mi. S Palenque, 335 m (17°25'57"N, 91°56'5"O), 15.viii.1971, A. Newton (350) – 2 ♀♀, 2 ♂♂ (CMNC, CMNH); Bonampak Road, 100 km SE Palenque, 230 m (16°58'56"N, 91°16'35"O), 8.vi.1983, S. & J. Peck – 1 ♂ (CMNC); même localité, 8.vii.1983, S. & J. Peck – 1 ♀ (CMNC); Sitio arqueológico de Bonampak, 300 m (16°44'N, 91°5'O), 24-26.ix.1977, W.D. Edmonds – 5 ♀♀, 4 ♂♂ (WDEC); OAXACA, 1 mi. E Reforma, 30 m (16°24'25"N, 94°26'20"O), 15.viii.1973, A. Newton (518C) – 1 ♂ (CMNC); 9 mi. N Valle Nacional, 30 m (17°51'15"N, 96°12'55"O), 1.viii.1971, A. Newton (296) – 1 ♂ (CMNC); VERACRUZ-LLAVE, 33 km NE Catemaco, 160 m (18°35'5"N, 95°4'29"O), 1-30.vii.1983, S. & J. Peck – 4 ♀♀, 10 ♂♂ (CMNC); 6 mi. NE Catemaco, 457 m (18°29'23"N, 95°4'10"O), 31.vii.-4.viii.1970, A. Newton – 1 ♀, 1 ♂ (CMNC); même localité, 5.viii.1971, A. Newton (321) – 2 ♂♂ (CMNC); Atoyac, (18°55'17"N, 96°45'38"O), 22.x.1963, A.B. Lau – 1 ♀ (USNM); Estación de Biología Tropical Los Tuxtlas, (18°35'5"N, 95°4'29"O), viii.1988, Delgado – 1 ♀, 1 ♂ (CMNC); Estación de Biología Tropical Los Tuxtlas, 33 km NE Catemaco, 160 m (18°35'5"N, 95°4'29"O), 1.vii.-1.viii.1983, S. & J. Peck – 2 ♀♀, 2 ♂♂ (CMNC); même localité, 1.vii.1983, S. & J. Peck – 1 ♀ (CMNC); Fortín de Las Flores, (18°54'N, 97°0'40"O), 5-8.viii.1969, S. & J. Peck – 2 ♂♂ (CMNC); Fortín SW Río Metlac, 991 m, 18.vii.1971, A. Newton (294) – 3 ♂♂ (CMNC, CMNH); Lago de Catemaco, 366 m (18°21'27"N, 95°3'36"O), 8-16.viii.1960, H.F. Howden – 7 ♀♀, 4 ♂♂ (CNC); même localité, 30.vii.-8.viii.1970, A. Newton – 1 ♀ (CMNC); même localité, 31.vii.-4.viii.1970, A. Newton – 13 ♀♀, 12 ♂♂ (CMNC, CMNH, ROME); même localité, 17-21.vi.1985, P. & L. Arnaud – 2 ex. (PAIC); Río Metlac, 975 m, 1.viii.1973, A. Newton (512DH) – 2 ♂♂ (CMNC).

CONDITION DE CAPTURE. Certains exemplaires ont été capturés dans la forêt sempervirente à l'aide de pièges à interception de vol, ou de pièges appâtés

avec des excréments humains, de la bouse de vache ou de la charogne de poisson. Certains autres ont été extraits de la litière, d'un mélange de litière et de champignons ou de fleurs d'*Aristolochia* à l'aide d'extracteurs berlese.

HABITAT. Forêt tropicale décidue et sempervirente correspondant grosso modo à la province biogéographique du golfe du Mexique et s'étendant vers la côte pacifique mexicaine, dans l'État d'Oaxaca.

PHÉNOLOGIE. Spécimens capturés en avril, mai, juin, juillet, aout, septembre et octobre.

GROUPE MAGNUS

DIAGNOSE. Taille petite à grande (8,5-18,0 mm). Yeux étroits et toujours visibles sur le dessus. Menton échancré antérieurement. Pronotum à ponctuation simple, en majorité séparée par un espace supérieur à son diamètre, souvent estompée, le rebord à peine indiqué à fort grossissement. Cinquième interstrie des élytres convexe. Disque du métasternum distinctement fovéolé au milieu, sauf chez *E. marmoreus* (métasternum des mâles avec une grosse dent longitudinale, plus ou moins distinctement fovéolé chez les femelles). Hanches postérieures adjacentes, munies d'une tache foncée près de l'insertion du trochanter et d'une autre vers le milieu. Segment abdominal 3 à peine tronqué antérieurement. Fémur postérieur muni d'une dent aigüe sur la face postérieure, sauf pour *E. harlequin* (marge supéropostérieure à peine lobée chez les mâles ou munie d'un petit crochet, d'une dent aigüe ou simple chez les femelles). Éperon du tibia postérieur fusionné au tibia chez les mâles, articulé chez les femelles. Paramères simples, allongés et soit acuminés ou arrondis à l'apex, soit longuement crochetés à l'apex chez *E. harlequin*.

Eurysternus magnus Castelnau, 1840

(Figs. 17, 26, 69, 149-150, 222)

Eurysternus magnus Castelnau
1840 Castelnau, *Hist. Nat. Ins.* 2 : 93
1869 Harold, *Ann. Soc. Ent. Fr.* 9 : 504 (redescription)
1869 Gemminger & Harold, *Cat. Col.* 4 : 1024 (catalogue)
1887 Bates, *Biol. Cent. Amer.* 2 : 40 (commentaire, répartition)
1911 Gillet, *Col. Cat.* 38 : 25 (catalogue)

1944 Blackwelder, *U. S. Nat. Mus. Bull.* 185 : 197 (catalogue)
1966 Halffter & Matthews, *Folia Ent. Mex.* 12-14 : 152 (biologie)
1980 Halffter et al., *Quaest. Ent.* : 610 (biologie)
1981 Howden & Young, *Contr. Am. Ent. Inst.* 18 : 18 (diagnose, clé de détermination)
1982 Halffter & Edmonds, *Nest. Behav. Dung Beetl.* 10 : 46 (biologie)
1984 Peck & Howden, *Biotropica* 16 : 237 (biologie)
1985 Jessop, *J. Nat. Hist.* 19 : 1100 (désignation de type)
2000 López-Guerrero & Halffter, *Frag. Ent.* 32 : 245 (morphologie)
2003 Huerta et al., *Acta Zool. Mex. (n.s.)* 88 : 27 (biologie)
2003 Morón, *Atl. Esc. Mex.* 2 : 45 (répartition)

ÉTYMOLOGIE. *Magnus* (grand, au sens strict et figuré), adjectif se rapportant probablement à la taille de certains individus de cette espèce.

DIAGNOSE. Longueur 12,5-18,0 mm. Corps à coloration très variable, variant de presque entièrement vert olivacé foncé à brunâtre cuivré, avec des taches orangées plus ou moins foncées sur la face ventrale et les élytres; le pronotum est toujours presque entièrement foncé, certains individus présentent de petites taches violacées sur les élytres et la face ventrale et des reflets verts ou cuivrés métalliques aux sutures et stries élytrales. Tête à ponctuation simple et écartée, un peu plus serrée par endroits sur le vertex et à l'avant; arête antérieure du clypéus faiblement trisinuée, recourbée vers le bas au milieu, simple chez les mâles et munie d'une petite dent obtuse relevée de chaque côté du milieu chez les femelles. Pronotum à surface convexe, munie de six petits calus lustrés, disposés en hexagone et tranchant fortement sur le reste de la surface, qui est mate; ponctuation simple et assez régulièrement répartie. Élytres à surface mate, microsculpture très fine; stries médiocrement fines, nettes; interstries sans ponctuation visible; huitième interstrie très fortement caréné au milieu; calus apical très gros, celui du troisième interstrie réduit à une callosité pubescente. Prosternum plat ou médiocrement déprimé au milieu, marge postérieure bisinuée, formant au milieu une dent plus prononcée chez les petits mâles et la femelle; surface munie de deux tubercules triangulaires de chaque côté à l'arrière, ces derniers plus petits et situés un peu plus à l'avant chez les mâles, surface mate; ponctuation plus ou moins fine sur le disque, se transformant en fortes rugosités à l'arrière des hanches, sans pubescence distincte. Métasternum à surface très inégale, muni de deux dépressions le long de la ligne médiane à l'avant et de deux autres dépressions de chaque côté à l'arrière et d'une dent au milieu à l'arrière, cette dernière beaucoup plus développée chez les mâles; lobes latéraux à ponctuation assez grande, chaque point muni d'un petit tubercule lustré. Fémur antérieur à face ventrale assez régulièrement convexe et muni de deux petites dents aigües, l'une près du milieu et la seconde près de l'apex, la base fortement fovéolée

chez les femelles; arête antérieure régulièrement sinueuse chez les mâles, munie d'une dent obtuse chez les femelles; surface à grosse ponctuation profonde inégale. Tibia antérieur mâle muni de trois dents latérales à l'apex, la basale plus grosse et fortement recourbée vers le bas; la face ventrale simple; l'arête interne munie d'une dent sur le tiers basal. Tibia antérieur femelle muni d'une petite dent au milieu. Fémur médian à surface mate devenant lustrée vers la base, à ponctuation simple et petite, beaucoup plus grosse, confluente et profonde sur le tiers basal. Fémur postérieur à surface lustrée sur la moitié basale et sur la région antérieure, devenant graduellement plus mate vers l'apex à l'arrière; arête postérieure ventrale sinueuse et émoussée sur la moitié basale, face postérieure munie, après le milieu, d'une dent assez longue et arrondie à l'extrémité chez les mâles, cette dernière acérée et recourbée vers la base chez les petits mâles et la femelle. Tibia postérieur régulièrement recourbé, face interne lisse et munie de 6 à 11 petits tubercules acérés du côté supérieur; dent apicale plus longue que le premier tarsomère chez les grands mâles. Pygidium à surface et ponctuation uniforme, la base profondément sillonnée. Paramères arrondis et recourbés à l'apex en vue latérale, l'arête ventrale sinuée près de l'apex; lamelle accessoire du sac interne munie d'une petite dent aigüe.

Néotype ♀ (MNHN) : NEOTYPE (disque à bordure rouge) / magnus Castl. (écriture manuscrite) / Ex. Musaeo Van Lansberge/ Mexico (écriture manuscrite) / Muséum paris ex Coll. R. Oberthür 1952 / Eurysternus magnus Cast., NEOTYPE, det. L. Jessop 1984. Néotype examiné.

MATÉRIEL EXAMINÉ. Répartition géographique Fig. 222; 242 ex. : **BELIZE** : CAYO, Chiquibul Forest Reserve, Las Cuevas field station, 500-700 m (16°44'N, 88°59'O), vi.1997, D. Inward – 1 ♂ (BMNH); Las Cuevas Research Station, Chiribul Forest Reserve, San Ignacio, (16°43'N, 88°59'O), 2-17.iv.2004, R. Pateman – 14 ♀♀, 32 ♂♂ (OUMNH); ORANGE WALK, Río Bravo Conservation and Management Area, (17°50'22"N, 89°1'12"O), 13-16.iv.1995, P. Kovarik & J. Shuey – 1 ♀ (WBWC); **COSTA RICA** : Azahar de Carbaga, [sans date], Underwood – 1 ♀, 1 ♂ (CMNH); Coronado, 1400-1500 m, 15.viii.1930, T. Assmann – 1 ♂ (USNM); Gnayabo to Turrialba, 1300 m, 10.viii.1925, A. Smith – 1 ♂ (USNM); La Palma, 1500 m, 23.iii.1924, F. Gongora – 1 ♀ (USNM); [sans localité], [sans date], [anonyme] – 1 ♂ (CNC); ALAJUELA, Peñas Blancas, 1100-1500 m (10°19'N, 84°43'O), 16.v.1989, J. Ashe, R. Brooks & R. Leschen – 1 ♂ (SEMC); même localité, 20.v.1989, J. Ashe, R. Leschen & R. Brooks – 2 ♀♀, 2 ♂♂ (SEMC); Peñas Blancas river valley, 500-1000 m (10°19'N, 84°43'O), 5.iv.1985, B. Lyon – 1 ♀ (CMNC); CARTAGO, Orosi, 1200 m (9°47'57"N, 83°51'31"O), 18.viii.1931, A. Scott – 1 ♀ (USNM); Tapantí, (9°46'N, 83°46'O), 1.iv.1966, C.D. Michener – 1 ♂ (SEMC); Turrialba, (9°54'4"N, 83°41'4"O), ix.1928, Schildles – 1 ♀, 2 ♂♂

(USNM); GUANACASTE, Santa Elena Forest Reserve, 6 km NE Santa Elena, 1640 m (10°20.701'N, 84°47.899'O), 11-17.vi.2001, S. & J. Peck (2001-12) – 1 ♂ (CMNC); PUNTARENAS, 6 km S San Vito, (8°46'59"N, 82°57'38"O), 4.iv.1967, D.F. Viers – 1 ♂ (WDEC); Monteverde, 1400 m (10°19'15"N, 84°49'1"O), 27.v.1979, H. & A. Howden – 1 ♂ (CMNC); même localité, 1.vi.1979, H. & A. Howden – 1 ♀ (CMNC); même localité, 4.vi.1979, H. & A. Howden – 1 ♀ (CMNC); même localité, 26.v.-3.vi.1984, E. Riley, D. Rider & D. LeDoux – 1 ♀ (EGRC); même localité, 12-14.viii.1987, H. & A. Howden – 2 ♂♂ (CMNC); même localité, 15-17.viii.1987, H. & A. Howden – 1 ♂ (CMNC); même localité, 18-20.viii.1987, H. & A. Howden – 1 ♂ (CMNC); même localité, 2-6.xii.1987, Génier & Bertrand – 4 ♀♀, 6 ♂♂ (CMNC); même localité, 9.v.1989, J. Ashe, R. Brooks & R. Leschen (1989-68) – 1 ♂ (SEMC); même localité, 23-27.ii.1991, H. & A. Howden – 1 ♀, 1 ♂ (CMNC); même localité, 24.ii.1991, H. & A. Howden – 1 ♀ (CMNC); même localité, 23-28.viii.1993, A. Cope – 3 ♂♂ (ABTS, CMNC); même localité, 26-30.viii.1993, A.B.T. Smith – 1 ♂ (ABTS); même localité, 27.viii.1996, A.B.T. Smith – 1 ♂ (ABTS); même localité, 31.viii.1996, A.B.T. Smith – 2 ♀♀, 1 ♂ (ABTS); Reserva Biológica Bosque Nuboso Monteverde, 1570 m (10°19'23"N, 84°48'32"O), 20.ii.-20.iii.1988, B. Hubley – 1 ♀, 1 ♂ (ROME); **EL SALVADOR** : SANTA ANA, Cerro Verde, 1900 m (13°49'33"N, 89°37'23"O), 1-4.v.1971, S. Peck – 1 ♀, 1 ♂ (CMNC); **GUATEMALA** : [sans localité], [sans date], Rodriguez – 1 ♂ (MHNG); BAJA VERAPAZ, 4.3 km E Purulha, 1680 m (15°12'48"N, 90°13'0"O), 3.vii.1993, F. Génier – 1 ♀ (CMNC); Vista Hemosa, 24.vi.1966, Flint & Ortiz – 1 ♀ (USNM); GUATEMALA, Finca San Antonio, (14°24'N, 90°33'O), i.1962, Soto – 1 ♂ (FSCA); PETÉN, Tikal, (17°12'46"N, 89°37'3"O), 28-30.vii.1978, Helava & Kukal – 4 ♀♀, 3 ♂♂ (CMNC); [sans localité], vii.1982, [anonyme] – 2 ♀♀, 3 ♂♂ (PAIC); QUETZALTENANGO, 14.2 km SW Zunil, 1340 m (14°41'48"N, 91°32'18"O), 20.vi.1993, F. Génier – 10 ♀♀, 2 ♂♂ (CMNC); SUCHITEPÉQUEZ, Refugio del Quetzal UVG, Santa Barbara, (14°32'30.34"N, 91°11'50.26"O), iii.2008, J. Pérez & F. Camposeco – 1 ♂ (UVGC); ZACAPA, 3.5 km SE La Unión, 1500 m (14°56'23"N, 89°16'37"O), 27.vi.1993, F. Génier – 1 ♂ (CMNC); **HONDURAS** : COMAYAGUA, El Taladro, (14°27'N, 87°43'O), 27.xii.1980, J.V. Mankins – 1 ♀ (USNM); CORTÉS, Lago Yojoa, (14°50'43"N, 87°57'14"O), 10.vi.1977, J.V. Mankins – 2 ♀♀ (USNM); même localité, 5.xii.1977, J.V. Mankins – 1 ♀ (USNM); EL PARAÍSO, Cerro Monserrat, 6.9 km O Yuscarán, 1760 m (13°55'N, 86°24'O), 11-17.vi.1994, J. Ashe & R. Brooks – 1 ♀, 2 ♂♂ (CMNC); Cerro Monserrat, 7 km SW Yuscarán, 1800 m (13°55'N, 86°24'O), 30.v.1994, H. & A. Howden – 1 ♀ (CMNC); FRANCISCO MORAZÁN, Cerro Uyuca, 1500 m (14°1'N, 87°5'O), 22.viii.-2.ix.1994, S. & J. Peck (19994-55) – 1 ♂ (CMNC); Cerro Uyuca, 30 km E Tegucigalpa, 1800 m (14°1'N, 87°5'O), 30.v.1994, H. & A. Howden – 1 ♀ (CMNC); même localité,

10.vi.1994, H. & A. Howden – 1 ♀ (CMNC); El Tigra, 19.v.1995, J.E. Wappes – 1 ♂ (CMNC); El Zamorano, (14°3'3"N, 86°24'57"O), 24.vii.1983, S. Passoa – 1 ♂ (FSCA); Monte Uyuca, ca. Zamorano, 1800 m (14°1'42"N, 87°4'3"O), 1.viii.1992, C. Porter & L. Stange – 1 ♀ (FSCA); OLANCHO, Parque Nacional La Muralla, (15°8'N, 86°43'O), 24-27.v.1995, J.E. Wappes – 1 ♀, 1 ♂ (UNSM); Parque Nacional La Muralla, 14 km N La Unión, 1500 m (15°8'N, 86°43'O), 16.viii.1994, S. & J. Peck (1994-37) – 2 ♂♂ (CMNC); **MEXIQUE** : CHIAPAS, 6.6 mi. O El Bosque, 1463 m (17°3'53"N, 92°45'45"O), 25-29.viii.1973, A. Newton (542) – 2 ♀♀, 1 ♂ (CMNC, ROME); Finca de Cuatimoc, 26.ix.1956, V. Aguilar – 1 ♀, 1 ♂ (CMNC); Lagos des Calores, Rt. 17, 12-13.v.1969, H.F. Howden – 1 ♀ (CMNC); Ocosingo, 1200 m (16°54'17"N, 92°5'40"O), vi-ix.1947, M. del Toro – 2 ♂♂ (CMNC); Parque Nacional Sumidero, 1000 m (16°51'N, 93°7'O), 25.v.-1.vi.1990, B. Gill, H. & A. Howden – 3 ♂♂ (CMNC); même localité, 29.v.1990, H. & A. Howden – 1 ♀ (CMNC); R. Santa Rosa, vii.1975, P. Hubbell – 5 ♀♀, 2 ♂♂ (USNM); même localité, vi.1975, P. Hubbell – 1 ♂ (USNM); Sumidero, Tuxtla Gutierrez, (16°49'26"N, 93°4'40"O), 17.viii.1964, E. Fisher & D. Verity – 4 ♂♂ (CMNC, CNC); Tapachula, (14°54'27"N, 92°15'42"O), v.1963, Martínez – 1 ♀ (CMNC); NUEVO LEON, Chipingue Mesa, near Monterrey, 1524 m (25°36'29"N, 100°21'25"O), 22-23.vi.1971, H.F. Howden – 1 ♀ (CMNC); Chipinque Mesa, Monterrey, 1646 m (25°36'29"N, 100°21'25"O), 24-26.vii.1960, H.F. Howden – 1 ♂ (CNC); même localité, 26-29.viii.1960, H.F. Howden – 1 ♀, 2 ♂♂ (CNC); même localité, 8.vii.1963, H. & A. Howden – 1 ♀ (CNC); même localité, 22. vii.1963, H. & A. Howden – 1 ♀ (CNC); même localité, 29.vii.1963, H. & A. Howden – 5 ♀♀, 5 ♂♂ (CNC); même localité, 30.vii.1963, H. & A. Howden – 1 ♀ (CNC); même localité, 21-25.vi.1969, S. & J. Peck – 4 ♂♂ (CMNC, ROME); QUERÉTARO , 25 mi. E Landa de Matamoro, 1524 m (21°18'27"N, 99°5'2"O), 14-17.vii.1969, S. & J. Peck – 2 ♀♀, 2 ♂♂ (CMNC, CMNH, CNC); QUINTANA ROO, X-can, (20°51'32"N, 87°40'7"O), vi.1977, [anonyme] – 2 ♀♀ (USNM); même localité, vi.1977, E. Welling – 1 ♀, 4 ♂♂ (WDEC); TAMAULIPAS, 1-3 mi. O Gómez Farías, along road to Rancho del Cielo, (23°1'46"N, 99°10'45"O), 21.v.1979, E.G. Riley – 1 ♀ (EGRC); 6 road mi. O Río Sabinas, near El Encino, (23°8'24"N, 99°12'0"O), 26-27.viii.1985, E.G. & T.J. Riley – 1 ♀ (EGRC); Estación Biológica Canindo, near San José, 7.5 km O Gomez Farias, (23°3'N, 99°14'O), 28-30.vii.1993, E.G. Riley – 1 ♂ (TAMU); Rancho del Cielo, Gómez Farías, 1128 m (23°1'49"N, 99°8'52"O), 1-4.vii.1969, S. & J. Peck – 3 ♀♀, 5 ♂♂ (CMNC, CMNH, ROME); VERACRUZ-LLAVE, Córdoba, (18°53'36"N, 96°54'56"O), 13.viii.1964, P.J. Spangler – 1 ♀ (USNM); Jalapa, (19°31'50"N, 96°54'33"O), [sans date], [anonyme] – 1 ♂ (USNM); Julilo, 14.v.1996, D.B. Thomas – 1 ♀ (UNSM); **NICARAGUA** : JINOTEGA, Finca El Jaguar, 32 km NW Jinotega, 1340 m (13°14'28"N, 86°3'16"O), xii.2005, D.G. Marqua – 1 ♀ (WDEC);

MATAGALPA, Selva Negra, 6 km N Matagalpa, 1250 m (12°59.9'N, 85°54.6'O), 18-22.v.2002, S. Peck (2002-06) – 3 ♂♂ (CMNC); **PANAMA** : CHIRIQUÍ, 2 km E Cerro Punta, 2200 m (8°53'N, 82°35'O), 28.v.-8.vi.1977, S. Peck – 1 ♂ (CMNC); 8 km NW Boquete, 1700 m (8°49'54"N, 82°29'10"O), 25-26.vi.1981, B.D. Gill – 1 ♂ (BCRC); Baldwin Forest, 2 km O Cerro Punta, 1760 m (8°51'N, 82°36'O), 30.v.-8.vi.1977, S. Peck – 1 ♀ (CMNC); Boquete, (8°46'28"N, 82°25'55"O), 29.v.1923, F.M. Gaige – 1 ♂ (USNM); Cerro Pelota, 4 km N Santa Clara, 1500 m (8°52'14"N, 82°44'9"O), 8-12.viii.1982, B. Gill – 1 ♀ (CMNC); même localité, 9-18.viii.1982, B. Gill – 1 ♂ (CMNC); El Volcán [= Volcán de Chiriquí], 3048 m (8°48'N, 82°33'O), vii-viii.1937, C.B. Worth – 1 ♀ (USNM); Hartmann Finca, 15 km Hato del Volcán, 1200 m (8°51'N, 82°36'O), 20-31.v.1977, S. Peck – 1 ♂ (CMNC); Hartmann's Finca, (8°51'N, 82°36'O), 4-7.vii.1997, Wappes & Morris – 1 ♂ (UNSM); La Fortuna Dam, 1200 m (8°34'30"N, 82°18'41"O), 15-17.vi.1982, B.D. Gill – 1 ♀ (BCRC); Las Lagunas, 5 km SW Hato del Volcán, 1360 m (8°46'N, 82°41'O), 22-26.v.1977, S. Peck – 1 ♀, 2 ♂♂ (CMNC, USNM); Río Chiriquí, Viejo Chiriquí, 1707 m, 7.ii.1935, W.H.W. Komp – 2 ♀♀ (USNM); Volcán de Chiriquí, 610-914 m (8°48'29"N, 82°32'35"O), [sans date], Champion – 1 ♀, 1 ♂ (CNC, USNM).

CONDITION DE CAPTURE. Certains exemplaires capturés à l'aide de pièges à fosse appâtés avec des excréments humains, de la bouse de vache, de la viande putride et aux pièges à interception de vol. Deux spécimens trouvés dans du crottin de cheval.

HABITAT. Capturée en forêt décidue, forêt de montagne, forêt de brouillard et forêt de gommier doux (*Liquidambar styraciflua*) de 500-3000 m au Mexique et en Amérique centrale. L'espèce la plus septentrionale du genre.

PHÉNOLOGIE. Spécimens capturés de mars à septembre et en décembre.

Eurysternus marmoreus Castelnau, 1840

(Figs. 23, 151-152, 155-156, 223)

Eurysternus marmoreus Castelnau
1840 Castelnau, *Hist. Nat. Ins.* 2 : 93
1855 Guérin-Méneville, *Verh. Zool.-Bot. Ges. Wien* 5 : 590 (catalogue)
1869 Gemminger & Harold, *Cat. Col.* 4 : 1024 (catalogue)
1880 Harold, *Ent. Zeit. Stet.* 41 : 13 (commentaire, répartition)
1911 Gillet, *Col. Cat.* 38 : 25 (catalogue)

1944 Blackwelder, *U. S. Nat. Mus. Bull.* 185 : 197 (catalogue)
1985 Jessop, *J. Nat. Hist.* 19 : 1100 (désignation de type)
2000 López-Guerrero & Halffter, *Frag. Ent.* 32 : 245 (morphologie)
2003 Huerta et al., *Acta Zool. Mex. (n.s.)* 88 : 17 (biologie)
2007 Noriega et al., *Biot. Colom.* 8 : 82 (faunistique)

Eurysternus pectoralis Guérin-Méneville **[nouvelle synonymie]**
1855 Guérin-Méneville, *Verh. Zool.-Bot. Ges. Wien* 5 : 590
1869 Gemminger & Harold, *Cat. Col.* 4 : 1024 (catalogue)
1911 Gillet, *Col. Cat.* 38 : 26 (catalogue)
1944 Blackwelder, *U. S. Nat. Mus. Bull.* 185 : 197 (catalogue)
1985 Jessop, *J. Nat. Hist.* 19 : 1106 (commentaire)

ÉTYMOLOGIE. *Marmoreus* (de marbre et aussi marbré), un adjectif latin se rapportant probablement à la coloration contrastée et très variable de cette espèce ou à l'aspect mat de pierre polie du tégument.

DIAGNOSE. Longueur 10,0-17,0 mm. Corps à coloration très variable, variant de presque entièrement noir verdâtre opaque à vert olivacé métallique clair, avec des taches orangées plus ou moins foncées sur la face ventrale, les élytres et le pronotum, le pronotum est toujours en grande partie foncé et présente souvent deux taches obliques pâles au milieu à l'avant, les individus plus mélaniques présentent souvent des reflets violacés ou vert métallique associés à la ponctuation et sur le calus huméral et apical et le huitième interstrie des élytres. Tête à ponctuation simple, très fine et écartée, un peu plus serrée par endroits sur le vertex et à l'avant; arête antérieure du clypéus faiblement trisinuée, recourbée vers le bas au milieu, l'arête simple, sans petite dent obtuse relevée de chaque côté du milieu. Pronotum à surface convexe, sans calus lustré tranchant fortement sur le reste de la surface qui est mate; ponctuation simple et assez régulièrement répartie. Élytres mats, microsculpture très fine; stries médiocrement fines, nettes, sans ponctuation distincte; interstries sans ponctuation visible; cinquième interstrie convexe; huitième interstrie très fortement caréné au milieu; calus apical très gros, celui du troisième interstrie complètement atrophié. Prosternum plat, muni de deux carènes tranchantes obliques et distinctes rebordant la dépression à l'arrière des hanches, marge postérieure faiblement et régulièrement arquée; surface mate; ponctuation assez grosse et médiocrement nette, chaque point muni d'une courte soie squameuse. Métasternum à surface inégale, muni de concavités au milieu à l'avant, le long de chaque hanche et à l'arrière de chaque côté de la ligne médiane et d'une très grosse dent au milieu à l'arrière chez les mâles, muni d'une fovéole médiane bien développée, la dent étant réduite à un tubercule triangulaire adjacent à l'arête pos-

térieure chez les femelles; lobes latéraux à ponctuation assez grande et estompée, points sans trace de petit tubercule lustré. Fémur antérieur à surface excavée avant l'apex sur la face antérieure et ventrale, muni d'un tubercule aigu le long de l'arête antérieure avant l'apex; arête antérieure complètement atrophiée chez les mâles, nette sur un peu moins de la moitié basale chez les femelles; surface à ponctuation estompée sur le disque chez les mâles, quelques gros points au milieu près de la base chez les femelles. Tibia antérieur mâle muni de trois dents latérales à l'apex, la basale plus grosse et fortement recourbée vers le bas; la face ventrale fortement concave sur la moitié basale; arête interne fortement sinuée et munie d'une grosse dent au milieu. Tibia antérieur femelle muni d'une dent un peu avant le milieu; arête interne presque droite. Fémur médian à surface mate, devenant lustrée vers la base et antérieurement, à ponctuation assez grosse et estompée, quelques points confluents et profonds sur le tiers basal. Fémur postérieur à surface lustrée sur la moitié basale et sur toute la région antérieure, devenant graduellement plus mate vers l'apex à l'arrière; arête postéroventrale droite et assez nette sur toute la longueur, face postérieure munie, sur le quart basal, d'une petite dent aigüe et dirigée vers l'intérieur chez les mâles, cette dernière spiniforme et plus près du milieu chez les femelles. Tibia postérieur fortement recourbé, face interne sans tubercule distinct et munie au milieu, en plus des touffes de soies plus longues et foncées, d'une brosse de soies claires; angle apical interne mâle réduit et plus court que le premier tarsomère; face interne simplement munie de 6 à 8 petits denticules chez les femelles. Pygidium à surface un peu déprimée de chaque côté de la base; ponctuation très fine et estompée; base étroitement et profondément sillonnée. Apex des paramères plus ou moins largement pigmenté, arrondi et faiblement recourbé en vue latérale, l'arête ventrale régulièrement arquée près de l'apex; lamelle accessoire du sac interne munie d'une petite dent conique.

Eurysternus marmoreus Castelnau :
Néotype ♀ (MNHN) : NEOTYPE (disque bordé de rouge) / Fusagas[ugá] (écriture manuscrite) / *Eurysternus marmoreus* Cast., Colombie (écriture manuscrite) / Ex. Museo D. Sharp 1890 / Ex. Museo N. Van de Poll / MUSEUM PARIS, 1936, Coll. A. BOUCOMONT (carton vert) / *Eurysternus marmoreus* Cast., NEOTYPE, det. L. Jessop 1984. Néotype examiné.

Eurysternus pectoralis Guérin-Méneville :
Néotype ♂ (MNHN) : Ecuador 71, E. deVille (papier vert) / MUSEUM PARIS, Collection Léon Fairmaire, 1906 (papier vert) / 851 / *Eurysternus pectoralis* Guer. Amazon (écriture manuscrite) / = *Eurysternus marmoreus*, det. L. Jessop 1884 / NEOTYPE ♂, *Eurysternus pectoralis* Guérin-Méneville, 1855. **Désignation présente**.

MATÉRIEL EXAMINÉ. Répartition géographique Fig. 223; 156 ex. : **BOLIVIE** : COCHABAMBA, 105 km E Cochabamba at Río Carmen Mayo, 1800 m (17°8'47"S, 65°43'55"O), 1-6.ii.1999, F. Génier (1999-26) – 1 ♀ (CMNC); même localité, 8-12.ii.1999, F. Génier (1999-59) – 2 ♂♂ (CMNC); 109 km E Cochabamba, 1400 m (17°8'52"S, 65°42'54"O), 1-6.ii.1999, F. Génier (1999-28) – 4 ♀♀, 1 ♂ (CMNC); même localité, 6-8.ii.1999, F. Génier (1999-36) – 1 ♀ (CMNC); même localité, 8-12.ii.1999, F. Génier (1999-60) – 1 ♀ (CMNC); même localité, 8-12.ii.1999, F. Génier (1999-61) – 1 ♀, 4 ♂♂ (CMNC); 124 km E Cochabamba at Río Espirito Santo, 700 m (17°3'45"S, 65°38'38"O), 8-12.ii.1999, F. Génier (1999-64) – 1 ♂ (CMNC); Cordillera Mosetenes, Parque Nacional Isiboro-Securé, 1310 m (16°13'58"S, 66°24'54"O), 1-4.ix.2003, A.C. Hamel L. – 2 ♂♂ (OUMNH); même localité, 2-5.ix.2003, A.C. Hamel L. – 8 ♀♀, 6 ♂♂ (OUMNH); même localité, 7-16.ix.2003, A.C. Hamel L. – 3 ♂♂ (OUMNH); même localité, 14-17.ix.2003, A.C. Hamel L. – 2 ♀♀, 2 ♂♂ (OUMNH); Region Chapare, 400 m (16°30'S, 65°30'O), 15.iii.1959, Zischka – 1 ♀ (MHNG); Provincia Chapare, Cristal Mayu, 600 m (17°5.76'S, 65°46.1'O), iii.1970, F. Steinbach – 1 ♂ (WDEC); El Palmar [=Yungas del Palmar], 1600 m (17°8'S, 65°30'O), [sans date], [anonyme] – 1 ♂ (FSCA); Limbo, Yungas del Palmar, 2000 m (17°9'38"S, 65°38'22"O), 5.ii.1951, Martínez – 9 ♀♀, 6 ♂♂ (CMNC); Locotal, 1700 m (17°11'8"S, 65°47'48"O), v.1975, H.E.M. Dott – 3 ♀♀ (WDEC); Yungas del Palmar, 1500 m (17°8'S, 65°30'O), i.1972, Martínez – 4 ♀♀, 5 ♂♂ (CMNC); même localité, [sans date], R. Zischka – 1 ♂ (CMNC); même localité, 10.iii.1959, Zischka – 1 ♂ (MHNG); LA PAZ, 9.4 km E Chulumani, Apa-Apa, 2200 m (16°20.99'S, 67°30.3'O), 21.i.2001, R. Anderson (2001-008) – 4 ♂♂ (CMNC); Río Bopi, (16°28'S, 67°20'O), v.1925, G.L. Harrington – 1 ♂ (USNM); Provincia Nor Yungas, Caranavi-Carrasco road, 1500 m, xii.1991, P. Arnaud – 3 ♀♀, 2 ♂♂ (CMNC); Provincia Sud Yungas, Chulumani, (16°24'39"S, 67°31'44"O), i.1948, Bridarolli – 1 ♀ (CMNC); SANTA CRUZ, Provincia Ichilo, Buena Vista, 350 m (17°27'36"S, 63°39'38"O), ii.1950, Martínez – 1 ♂ (CMNC); **COLOMBIE** : Pasto., [sans date], [anonyme] – 1 ♀ (CNC); [sans localité], [sans date], [anonyme] – 5 ♀♀, 2 ♂♂ (CMNH, MHNG, USNM); BOYACÁ, Camijoque, Cusiana, 2000 m (5°26'5"N, 72°41'30"O), vi.1997, F. Escobar – 2 ♀♀ (CMNC, IAVH); Salto Candela, Cusiana, 1750 m (5°26'5"N, 72°41'30"O), vi.1997, F. Escobar – 1 ♂ (CMNC); CAQUETÁ, PNN Picachos, 2200 m (2°47'51"N, 74°51'18"O), xi-xii.1997, F. Escobar – 2 ♂♂ (CMNC, IAVH); CUNDINAMARCA, Fusagasugá, (4°20'38"N, 74°21'54"O), 9.ix.1942, F.J. Otoya – 2 ♂♂ (USNM); Invernaderos, La Planada, 1800 m (4°48'10"N, 74°24'45"O), i.1993, F. Escobar – 1 ♂ (CMNC); Miralindo, Medina, 1500 m (4°35'33"N, 73°23'17"O), ii-iii.1997, F. Escobar – 1 ♀, 1 ♂ (CMNC); Monterredondo, (4°13'N, 73°48'O), v.1957, Forster – 1 ♂ (CMNC); Salto del Tequendama, (4°36'22"N, 74°21'1"O), 27.ii.-6.iii.1972, S. & J. Peck – 1 ♀ (CMNC); HUILA, SO Acevedo PNN la Cueva de los Guacharos camino al Pese-

bre Sector Cedros, 2100 m (1°36’59”N, 76°6’15”O), 27-29.xi.2001, E. González & M. Ospina – 1 ♂ (IAVH); SO Acevedo PNN la Cueva de los Guacharos mirador entre la Cascajosa y los cedros, 1980 m (1°37’59”N, 76°6’19”O), 2-4.xii.2001, E. González & M. Ospina – 1 ♂ (IAVH); MAGDALENA, San Lorenzo, 41 km S Santa Marta, 2134 m (11°6’44”N, 74°3’27”O), 9.v.1973, Howden & Campbell – 2 ♂♂ (CMNC, ROME); NARIÑO, Río Nambi, 1350 m (1°17’N, 78°15’O), iv.1995, F. Escobar – 1 ♀, 1 ♂ (IAVH); NORTE DE SANTANDER, Toledo PNN Tamá IP Santa María Alto de Herrera Vda. Diamante Finca La Primavera, 1450 m (7°7’N, 72°13’O), ix.1999, E. González – 1 ♀, 1 ♂ (IAVH); **ÉQUATEUR** : Naranjal, xii.1984, Voirin – 1 ♀ (MHNG); NAPO, 17 km NE Baeza, 4 km SW Chaco, 1280 m (0°22’23”S, 77°49’16”O), 3-16.iii.1976, S. Peck – 1 ♀ (CMNC); 7 km S Baeza, 2000 m (0°29’54”S, 77°52’30”O), 20-28.ii.1979, H. & A. Howden – 3 ♀♀, 2 ♂♂ (CMNC); Cabañas San Isidro, 2 km NW Cosanga, 2150 m (0°33’S, 77°55’O), 20-23.vii.1998, Ratcliffe, Jameson, Smith, Villatoro – 4 ♂♂ (ABTS, UNSM); Piviyacu, Los Guacamayos, 1800 m (0°43’S, 77°55’O), 29-31.xii.1995, D. Padilla – 2 ♀♀ (QCAZ); **PÉROU** : CUZCO, Marcapata, 1500 m (13°30’12”S, 70°53’42”O), iii.1997, N. Quinte, K. Del Castillo & A. Forsyth – 1 ♂ (AFIC); Quispicanchis, [sans localité], 1650 m (13°29’10”S, 70°54’50”O), iii.1997, Quinte – 6 ♀♀, 5 ♂♂ (AFIC); **VENEZUELA** : ARAGUA, Pico Perequito, Estación Biológica Dr. Alberto Fernández Yépez “Rancho Grande”, Parque Nacional Henri Pittier, 1300 m (10°20’32”N, 67°41’46”O), 13.v.1998, R. Anderson – 1 ♂ (CMNC); MERIDA, Bosque Zerpa, 2000 m, 7.vii.1987, D. Havranek – 1 ♀ (CNC); Chorrera Gonzáles, 25 km NW Merida Jaji Road, 1800 m (8°35’32”N, 71°14’55”O), 28.vi.-3.viii.1989, S. & J. Peck – 2 ♀♀ (CMNC); La Trampa, 1700 m (8°32’39”N, 71°27’12”O), 10.iii.1988, Bordón – 1 ♀ (CMNC); Monte Zerpa, Hechicera, 2000 m (8°37’N, 71°10’O), 22.vii.-2.viii.1989, S. & J. Peck – 1 ♀, 2 ♂♂ (CMNC); Mérida, (8°36’N, 71°9’O), [sans date], [anonyme] – 3 ♀♀, 1 ♂ (USNM); TÁCHIRA, Parque Nacional Chorro El Indio, 10 km SE San Cristobal, 1320 m (7°44’3”N, 72°13’1”O), 28-31.v.1998, J. Ashe, R. Brooks & R. Hanley – 1 ♂ (SEMC); Via Chorro del Indio, San Cristobal, (7°43’20”N, 72°11’31”O), iv.1987, D. Havranek – 1 ♀, 1 ♂ (CMNC); même localité, v.1984, J. Blanco C. – 2 ♀♀ (CMNC); même localité, 27.iv.1987, D. Havranek – 1 ♀ (CNC).

CONDITION DE CAPTURE. La plupart des captures proviennent de pièges à fosse appâtés avec des excréments humains ou de pièges à interception de vol. Seulement deux spécimens capturés au piège à fosse appâté avec de la charogne.

HABITAT. Spécimens capturés dans la forêt de brouillard, dans les Yungas, dans une forêt de transition Yungas-montagneuse, dans une forêt tropicale humide. Cette espèce semble inféodée aux forêts d’altitude humides (600-2200 m) des versants pa-

cifique et amazonien des Andes, de la Sierra Nevada de Santa Marta (Colombie) et de la Cordillera de la Costa (Venezuela). Quelques captures dans la forêt amazonienne à plus basse altitude en Bolivie, dont celles à 350 et 400 m restent à confirmer.

PHÉNOLOGIE. Spécimens capturés en janvier, février, mars, mai, juillet, aout, septembre, novembre et décembre.

REMARQUES. La description de Guérin-Méneville d'*E. pectoralis* correspond bien à *E. marmoreus*. Dans sa description, Guérin-Méneville mentionne « Cette curieuse espèce est très voisine d'*Eurysternus magnus* » et la distingue de cette dernière par la taille plus grande et par la présence d'un « tubercule pectoral ». Ces caractères concordent en tous points à l'espèce *E. marmoreus* et la possibilité soulevée par Jessop (1985), basée sur la taille, qu'*E. pectoralis* soit une espèce distincte d'*E. marmoreus* ne semble pas justifiée. La taille de 17,0 mm donnée par Guérin-Méneville est bien la taille maximale observée dans la présente étude pour *E. marmoreus*. Le type d'*E. pectoralis* ayant été perdu ou détruit, je désigne comme néotype le spécimen du Muséum national d'Histoire naturelle de Paris déterminé comme tel, et ce de façon à confirmer sans ambiguïté la synonymie suivante *E. pectoralis* Guérin-Méneville, 1855 = *E. marmoreus* Castelnau, 1840, la première épithète étant synonyme subjectif postérieur de la seconde.

Eurysternus mexicanus Harold, 1869
(Figs. 18, 46, 48, 66, 153, 157-159, 224)

Eurysternus mexicanus Harold
1869 Harold, *Ann. Soc. Ent. Fr.* 9 : 505
1880 Harold, *Ent. Zeit. Stet.* 41 : 14 (commentaire, répartition)
1887 Bates, *Biol. Cent. Amer.* 2 : 41 (commentaire, répartition)
1911 Gillet, *Col. Cat.* 38 : 26 (catalogue)
1944 Blackwelder, *U. S. Nat. Mus. Bull.* 185 : 197 (catalogue)
1955 Roze, *Bol. Mus. Cien. Nat. Caracas* 1 : 41 (catalogue)
1966 Halffter & Matthews, *Folia Ent. Mex.* 12-14 : 73 (biologie)
1981 Howden & Young, *Contr. Am. Ent. Inst.* 18 : 17 (diagnose, clé de détermination)
1982 Halffter & Edmonds, *Nest. Behav. Dung Beetl.* 10 : 46 (biologie)
1985 Jessop, *J. Nat. Hist.* 19 : 1100 (désignation de type)
1995 López-Guerrero & Morón, *Jour. Kans. Ent. Soc.* 67 : 347 (immature)
2000 López-Guerrero & Halffter, *Frag. Ent.* 32 : 245 (morphologie)
2003 Huerta et al., *Acta Zool. Mex. (n.s.)* 88 : 19 (biologie)
2003 Morón, *Atl. Esc. Mex.* 2 : 44 (diagnose, biologie, répartition)

2007 Noriega et al., *Biot. Colom.* 8 : 82 (faunistique)
2008 Huerta & Martínez, *Col. Bull.* 62 : 123 (biologie)

ÉTYMOLOGIE. *Mexicanus* (Mexicain), se rapportant sans doute à la répartition connue de cette espèce au moment de sa description.

DIAGNOSE. Longueur 8,5-13,5 mm. Corps à coloration très variable, variant de presque entièrement noir verdâtre opaque à vert olivacé métallique clair, avec des taches orangées plus ou moins foncées sur la face ventrale, les élytres et le pronotum, le pronotum toujours en grande partie foncé et présentant souvent deux taches obliques pâles au milieu à l'avant, les individus plus mélaniques présentant souvent des reflets violacés ou vert métallique associés à la ponctuation, ainsi que sur les calus huméraux et apicaux et le huitième interstrie élytral. Tête à ponctuation simple, très fine et écartée, un peu plus serrée par endroits sur le vertex et à l'avant; arête antérieure du clypéus faiblement trisinuée, recourbée vers le bas au milieu, l'arête simple, sans petite dent obtuse relevée de chaque côté du milieu. Pronotum à surface convexe, munie de trois calus plus ou moins lustrés, parfois toute la surface lustrée au milieu à l'avant; ponctuation simple et assez régulièrement répartie, laissant trois petites surfaces glabres de chaque côté. Élytres à surface mate, microsculpture très fine; stries médiocrement fines, nettes, ponctuation médiocrement grosse et profonde; interstries sans ponctuation visible; cinquième interstrie convexe; huitième interstrie caréné au milieu; calus apical très gros, celui du troisième interstrie atrophié. Prosternum plat, sans carène tranchante oblique distincte rebordant la dépression à l'arrière des hanches, marge postérieure régulièrement arquée et munie d'un petit lobe au milieu; surface mate; ponctuation assez grosse et médiocrement nette, chaque point muni d'une courte soie squameuse. Métasternum à surface inégale, munie de concavités, au milieu à l'avant, au milieu le long de chaque hanche et à l'arrière de chaque côté de la ligne médiane, et d'une dent au milieu à l'arrière adjacente à l'arête postérieure, cette dent réduite à une gibbosité triangulaire chez les petits mâles et les femelles; lobes latéraux à ponctuation très superficielle, points sans trace de petit tubercule lustré. Fémur antérieur à surface excavée avant l'apex sur la face antérieure et ventrale, sans tubercule le long de l'arête antérieure avant l'apex; arête antérieure nette sur le tiers basal; surface à ponctuation estompée sur le disque chez les mâles, avec quelques points nets au milieu près de la base. Tibia antérieur mâle muni de trois dents latérales à l'apex, la basale plus petite et recourbée vers le bas; la face ventrale convexe; arête interne arquée, munie d'un petit lobe au milieu; carène longitudinale ventrale complète et munie d'une petite dent sur le quart basal. Tibia antérieur femelle muni de trois dents normales et d'une petite dent recourbée vers le bas un peu avant le milieu; arête interne presque droite, munie d'une assez grosse dent au milieu; carène lon-

gitudinale ventrale réduite à une série de points sur le tiers basal. Fémur médian à surface mate devenant lustrée vers la base et antérieurement, à ponctuation assez grosse et estompée, quelques points confluents et profonds sur le tiers basal. Fémur postérieur claviforme, à surface lustrée sur la moitié basale et sur toute la région antérieure, mate vers l'apex à l'arrière; arête antérieure carénée dorsalement sur la moitié distale; arête postérieure ventrale sinueuse et assez nette sur toute la longueur; arête postérieure munie un peu après le milieu d'une dent triangulaire adjacente à la face supérieure, arête simplement sinueuse chez les femelles. Tibia postérieur fortement recourbé au milieu, face interne munie de 7 à 9 tubercules dentiformes; angle apical interne mâle plus court que le premier tarsomère; tibia régulièrement arqué avec la face interne munie de 6 à 8 petits denticules chez les femelles. Pygidium à surface un peu déprimée de chaque côté de la base chez les mâles et les femelles, sillonné au milieu chez les femelles; ponctuation très fine et estompée; base étroitement et profondément sillonnée. Paramères assez étroits, arrondis et recourbés à l'apex en vue latérale, l'arête ventrale régulièrement recourbée près de l'apex; lamelle accessoire du sac interne munie d'une dent petite et large.

Lectotype ♂ (MNHN) : LECTOTYPE (disque bordé de rouge) / (Sallé) Typ. (écriture manuscrite) / Mexico, *E. mexicanus* T. Harold (étiquette manuscrite de Harold) / Ex. Musæo E. Harold / *Eurysternus mexicanus* Har., LECTOTYPE, det. L. Jessop 1984 / TYPE (carton rouge) / *Eurysternus mexicanus* Har. Lectotype ♂ P. ARNAUD DET 1983. Lectotype examiné.

MATÉRIEL EXAMINÉ. Répartition géographique Fig. 224; 860 ex. : **BELIZE** : [sans localité], 1981, D.H. Messersmith, W.E. Steiner et al. – 9 ex. (USNM); CAYO, Chiquibul Forest, (16°44'N, 88°59'O), i.1998, D. Inward – 1 ex. (BMNH); El Cayo, (17°9'13"N, 89°3'45"O), 14.v.1957, D. Thornton – 2 ex. (FSCA); Las Cuevas Research Station, Chiribul Forest Reserve, San Ignacio, (16°43'N, 88°59'O), 2-17.iv.2004, R. Pateman – 1 ♀, 1 ♂ (OUMNH); ORANGE WALK, Lamanai, (17°45'52"N, 88°39'17"O), 22-26.ii.1980, G. Kit – 1 ♂, 4 ex. (CMNC); même localité, 22-26.ii.1980, G. Kit – 2 ex. (CMNC); même localité, 22-26.ii.1980, G. Kit – 1 ex. (ROME); Río Bravo Conservation and Management Area, (17°50'22"N, 89°1'12"O), 8-14.iv.1995, P. Kovarik & J. Shuey – 4 ex. (FSCA); même localité, 10-16.iv.1995, P. Kovarik & J. Shuey – 1 ex. (FSCA); même localité, 11-18.iv.1995, P. Kovarik & J. Shuey – 2 ex. (FSCA); même localité, 13-19.iv.1995, P. Kovarik & J. Shuey – 4 ex. (BCRC, WBWC); même localité, 13-16.iv.1995, P. Kovarik & J. Shuey – 7 ex. (FSCA); même localité, 9-15.vi.1995, P. Kovarik & J. Shuey – 1 ex. (BCRC); TOLEDO, Blue Creek, (16°11'57"N, 89°2'26"O), 9.vi.1981, W.E. Steiner – 1 ex. (USNM); même localité, 12.vi.1981, W.E. Steiner – 1 ex. (USNM); même localité, 20.vi.1981, W.E. Steiner – 1 ex. (USNM); même localité, 21.vi.1981, W.E. Steiner

– 8 ex. (USNM); même localité, 25.vi.1981, W.E. Steiner – 10 ex. (USNM); même localité, 1.vii.1981, W.E. Steiner – 10 ex. (USNM); Punta Gorda, (16°6'24"N, 88°48'57"O), 10-20.ix.1906, Peck – 1 ex. (FSCA); **COLOMBIE** : ANTIOQUIA, Río Claro, San Luis, 1440 m (6°2'53"N, 74°59'39"O), 2.iii.1994, [anonyme] – 1 ex. (CMNC); BOLÍVAR, Carthagena, (10°24'N, 75°30'O), [sans date], [anonyme] – 2 ex. (CMNC, USNM); Santuario de Fauna y Flora los Colorados, 300 m (9°51'33"N, 73°6'38"O), viii.1996, F. Escobar – 1 ex. (IAVH); BOYACÁ, Cusiana Cerca a Pajarito, 1000 m (5°23'39"N, 72°41'17"O), vi.1997, F. Escobar – 1 ex. (IAVH); CESAR, Aguachica, (8°18'5"N, 73°36'38"O), x.1978, Martínez – 1 ex. (CMNC); MAGDALENA, Cacagualito, (11°15'N, 73°52'O), v, [anonyme] – 10 ex. (CMNH); Parque Nacional Natural Tayrona, Neguanje, 155 m (11°17'41"N, 74°6'15"O), ix.1996, F. Escobar – 2 ex. (IAVH); META, Finca El Naranjal, via Puerto COLOMBIE, Villavicencio, 150 m (4°2'31"N, 75°38'15"O), iii.1998, A. Camacho – 1 ex. (IAVH); Quebrada Susamuco, 23 km O Villavicencio, 1000 m (4°12'4"N, 73°47'40"O), 3-5.iii.1972, S. & J. Peck – 1 ex. (CMNC); Villavicencio, 500 m (4°9'38"N, 73°39'43"O), 29.ii.-5.iii.1972, S. Peck – 1 ex. (CMNC); NORTE DE SANTANDER, 3 km N Chinácota, 1000 m (7°38'8"N, 72°35'23"O), 8.v.1974, H. & A. Howden – 5 ex. (CMNC, ROME); même localité, 10.v.1974, S. Peck – 15 ex. (CMNC, ROME); même localité, 10.v.1974, H. & A. Howden – 1 ex. (CMNC); La Garita, (7°45'N, 72°32'O), 8.v.1974, H. & A. Howden – 1 ex. (CMNC); Quebrada Honda, 30 km S Cucuta, 700 m (7°37'56"N, 72°37'51"O), 13.v.1974, S. Peck – 1 ♂, 28 ex. (CMNC, ROME); Santiago, 700 m (7°52'53"N, 72°43'10"O), 11.v.1974, S. Peck – 24 ex. (CMNC, ROME); Toledo PNN Tamá IP Santa María Alto de Herrera Vda. Diamante Finca La Primavera, 1000 m (7°7'N, 72°13'O), 22.ix.1999, E. González – 2 ex. (IAVH); TOLIMA, Armero Guayabal Méndez Hda. Bremen, 300 m (5°5'31"N, 74°45'30"O), xi.1995, F. Escobar – 2 ex. (IAVH); **COSTA RICA** : Coronado, 1400-1500 m, 15.viii.1930, T. Assmann – 1 ex. (USNM); [sans localité], [sans date], [anonyme] – 1 ex. (CNC); ALAJUELA, San Mateo, 250 m (9°56'15"N, 84°31'33"O), [sans date], Biolley – 2 ex. (CMNH); CARTAGO, Centro Agronómico Tropical de Investigación Enseñanza [=CATIE], Turrialba, 600 m (9°53'28"N, 83°38'50"O), 17.v.1979, H. & A. Howden – 1 ex. (ROME); Turrialba, (9°54'4"N, 83°41'4"O), ix.1928, Schildles – 2 ex. (USNM); même localité, 3.ii.-11.iii.1944, T. Grant – 1 ex. (USNM); même localité, 7-10.iii.1965, S.S. & W.D. Duckworth – 1 ex. (USNM); même localité, 28.ii.1980, H. & A. Howden – 1 ex. (CMNC); GUANACASTE, 2 mi. N Bijagua, 430 m, 13.ix.1990, B.C. Ratcliffe – 1 ex. (UNSM); Boca del Nosara, (9°58'32"N, 85°38'59"O), 23.ix.1973, E.J. Gerberg – 1 ex. (FSCA); HEREDIA, 26 km SE Puerto Viejo, (10°23'N, 84°5'O), 20.iii.1965, [anonyme] – 1 ex. (WDEC); Finca La Selva, near Puerto Viejo, Sarapiqui Dist., 80 m, 22-31.vii.1969, D.H.J. – 1 ex. (USNM); La Selva, (10°26'N, 84°1'O), 20.iv.1983, G. Schatz – 1 ex. (BCRC); La Selva, 3.2 km SE Puerto Viejo, 100 m (10°26'N, 84°1'O), 24.ii.1992, W. Bell – 1 ex.

(MLJC); même localité, 6.iii.1992, W. Bell – 1 ex. (MLJC); La Selva, near Puerto Viejo, 50 m (10°26'N, 84°1'O), 17.ii.1980, H. & A. Howden – 1 ex. (CMNC); même localité, 18.ii.1980, H. & A. Howden – 1 ex. (CMNC); LIMÓN, 4 km E Puerto Viejo, 10-30 m (9°38'36"N, 82°43'18"O), 28-30.xi.1996, F. Génier – 1 ex. (CMNC); Bananito, Limón, (9°52'57"N, 82°59'25"O), xii.1924, T. Vaglio – 1 ex. (USNM); Guapiles, Santa Clara, 250-300 m (10°12'N, 83°46'O), 21.xi.1934, F. Nevermann – 1 ex. (USNM); Hamburgfarm, Reventazon, Ebene Limon, 15 m (10°15'N, 83°28'O), 8.v.1925, F. Nevermann – 1 ex. (USNM); même localité, 27.viii.1926, F. Nevermann – 1 ex. (USNM); même localité, 22.ix.1935, F. Nevermann – 2 ex. (USNM); La Emilia, near Guápiles, 305 m, 24.viii.1923, [anonyme] – 1 ex. (USNM); Las Mecedes, Santa Clara, 200-300 m (10°10'10"N, 83°36'9"O), 25.viii.1922, F. Nevermann – 2 ex. (USNM); Tortuguero, (10°32'19"N, 83°30'8"O), [sans date], M. Valerio – 1 ex. (USNM); Waldeck, (10°6'N, 83°23'O), 21.vii.1933, S. & C.H. Ballou (C.R. No. 1665) – 1 ex. (USNM); PUNTARENAS, 2.5 mi. SW Rincón, (8°42'N, 83°29'O), 1-7.iii.1967, D.H. Janzen – 1 ex. (USNM); Dominical, (9°15'N, 83°51'33"O), 10.xi.1968, P.L. Kazan – 1 ex. (FSCA); Reserva Biológica Bosque Nuboso Monteverde, 1570 m (10°19'23"N, 84°48'32"O), 20.ii.-20.iii.1988, B. Hubley – 1 ex. (ROME); Río Térraba, 28 km E Palmar Sur, 170 m (8°58'55"N, 83°15'17"O), 21.vii.1964, G.C. Eickwort – 1 ex. (SEMC); SAN JOSE, Escazú, San José, (9°54'58"N, 84°8'56"O), 16-24.ii.1988, D. Thomas & F. Parker – 1 ex. (BCRC); San Carlos, (9°14'1"N, 83°35'35"O), [sans date], Schild & Burgdorf – 2 ex. (USNM); La Caja, B. San José, (9°58'N, 84°7'O), vii.1932, Schmidt – 1 ex. (USNM); **GUATEMALA** : ALTA VERAPAZ, Cacao, Trece Aguas, (15°24'N, 89°45'O), 27.iii, Schwarz & Barber – 3 ex. (USNM); Panzós, (15°24'3"N, 89°38'25"O), [sans date], Champion – 3 ex. (USNM); PETÉN, Tikal, (17°12'46"N, 89°37'3"O), 28-30.vii.1978, Helava & Kukal – 13 ex. (CMNC); **GUYANA** : CUYUNI-MAZARUNI, Bartica District, (6°23'18"N, 58°37'49"O), 15.iv.1924, [anonyme] – 1 ex. (CMNH); **HONDURAS** : Cecilia, 14.ii.1920, W.M. Mann – 3 ex. (USNM); [sans localité], [sans date], W.M. Mann – 7 ex. (USNM); ATLÁNTIDA, 13 km O La Ceiba, 150 m (15°42'51"N, 86°58'18"O), vii.1996, R. Lehman – 1 ex. (TAMU); La ceiba, Río Cangrejal, south, (15°45'19"N, 86°46'6"O), 14.x.1979, G.V. Manley – 1 ex. (USNM); Lancetilla, (15°44'2"N, 87°27'20"O), 16.x.1980, J.V. Mankins – 1 ex. (USNM); même localité, 17.x.1980, J.V. Mankins – 1 ex. (USNM); même localité, 27.xii.1980, J.V. Mankins – 2 ex. (USNM); COMAYAGUA, El Taladro, (14°27'N, 87°43'O), 3.ix.1978, J.V. Mankins – 1 ex. (USNM); CORTÉS, Lago Yojoa, (14°50'43"N, 87°57'14"O), 25.vi.1978, J.V. Mankins – 4 ex. (USNM); FRANCISCO MORAZÁN, El Zamorano, (14°3'3"N, 86°24'57"O), 22.xii.1980, J.V. Mankins – 3 ex. (USNM); **MEXIQUE** : Colima, [sans date], Conradt – 1 ex. (USNM); CHIAPAS, 1 km N Palenque, (17°33'45"N, 91°59'16"O), 25.vii.1973, J. Reddell – 1 ex. (CMNC); 20.2 mi. NW Ocozocoautla, (16°59'37"N, 93°29'35"O),

16.viii.1967, W.W. Gibson – 1 ex. (TAMU); 4 mi. NW Ocosingo, (16°57'N, 92°6'O), 9.iii.1953, R.C. Bechtel & E.I. Schlinger – 1 ex. (CNC); Dos Amates, v-vi.1969, [anonyme] – 4 ex. (CNC); Lagos des Calores, Rt. 17, 12-13.v.1969, H.F. Howden – 1 ex. (CMNC); Palenque, 100 m (17°31'38"N, 91°58'39"O), 2-30.vi.1983, S. & J. Peck & R. Anderson – 2 ex. (CMNC); Sitio arqueológico de Bonampak, 300 m (16°44'N, 91°5'O), 1.ix.1977, B. Kohlmann – 2 ex. (WDEC); même localité, 23.ix.1977, W.D. Edmonds – 6 ex. (WDEC); même localité, 24-26.ix.1977, W.D. Edmonds – 1 ex. (WDEC); OAXACA, 12 mi. S Valle Nacional, 975 m (17°39'47"N, 96°19'55"O), 17-20.v.1971, S. Peck – 2 ex. (CMNC, ROME); 6 mi. S Valle Nacional, 792 m (17°43'14"N, 96°19'2"O), viii.1971, A. Newton (294) – 1 ex. (CMNC); Sierra Juarez, (17°35'N, 96°38'O), 15.iv.1992, [anonyme] – 1 ex. (UNSM); Valle Nacional, (17°46'47"N, 96°18'0"O), 1.x.1966, A.B. Lau – 1 ex. (USNM); QUINTANA ROO, X-can, (20°51'32"N, 87°40'7"O), v.1966, E. Welling – 2 ex. (CMNH); même localité, vii.1981, [anonyme] – 2 ex. (FSCA); même localité, 1.vi.1964, E. Welling – 1 ex. (CMNH); SAN LUIS POTOSI, 10 km O El Naranjo, (22°31'12"N, 99°21'29"O), 7.viii.1967, W.W. Gibson – 13 ex. (TAMU); 13 km E Xilitla, 335 m (21°20'57"N, 98°54'38"O), 4.vi.1987, R. Anderson – 1 ex. (SEMC); 3 mi. O El Naranjo, (22°31'19"N, 99°21'49"O), 10-18.vi.1971, A. Newton (233) – 1 ex. (CMNC); 35 mi. N Tamazunchale, (21°41'N, 98°57'O), 30.vii.1960, H. Howden – 1 ex. (CNC); 5.6 mi. E Xilitla, 400 m (21°24'52"N, 98°56'34"O), 17-19.vii.1969, S. & J. Peck – 2 ex. (ROME); 52 km E Ciudad del Maíz, 329 m (22°33'N, 99°20'O), 4.vii.1948, W. Nutting – 1 ex. (CMNC); 6 mi. N Tamazunchale, (21°19'50"N, 98°49'23"O), 22.viii.1960, H. Howden – 2 ex. (CNC); Ciudad del Maíz, (22°24'N, 99°36'O), 4.vii.1948, Nutting – 7 ex. (USNM); El Salto de Agua, (22°21'40"N, 99°15'56"O), 28-30.vii.1960, H. Howden – 1 ex. (CNC); même localité, 23-24.viii.1960, H. Howden – 3 ex. (CNC); El Salto de Agua, 12 km NW El Naranjo, 400 m (22°21'40"N, 99°15'56"O), 5.vii.1990, J.S. Ashe, K.J. Ahn & R. Leschen (1990-30) – 1 ex. (SEMC); même localité, 26.vii.1990, J.S. Ashe, K.J. Ahn & R. Leschen (1990-234) – 3 ex. (SEMC); El Salto de Agua, 50 mi. NNW Ciudad Valles, (22°21'40"N, 99°15'56"O), 6-9.vii.1969, S. & J. Peck – 4 ex. (CMNC, ROME); TABASCO, 20 mi. O Cárdenas, (17°59'34"N, 93°23'29"O), 6.viii.1971, B.C. Ratcliffe – 1 ex. (BCRC); 6 mi. NE Teapa, (17°37'17"N, 92°51'16"O), 18.viii.1967, W.W. Gibson – 2 ex. (TAMU); TAMAULIPAS, 10 km O El Encino, 200 m, 18-20.vii.1979, Kukal – 2 ex. (CMNC); 5 mi. SEE Gómez Farías, (23°0'59"N, 99°7'25"O), 19-20.vii.1970, Murray, Phelps, Hart & Schaffner – 2 ex. (TAMU); Bocatoma, 7 km SSE Gómez Farías, (22°59'10"N, 99°8'51"O), 25-30.iii.1978, E.G. Riley – 19 ex. (CMNC, EGRC); El Nacimiento del Río Frío, 7 km SSE Gómez Farías, (23°1'49"N, 99°8'52"O), 15-16.vi.1983, T. Riley – 1 ex. (EGRC); El Nacimiento del Río Frío, Gómez Farías, (23°1'49"N, 99°8'52"O), 29.vi.-5.vii.1969, S. & J. Peck – 10 ex. (CMNC, CMNH, ROME); même localité, 29.vi.1969, S. Peck – 10 ex. (CMNC,

ROME); même localité, 29.vii.1969, S. & J. Peck – 15 ex. (CNC); Estación de Biología Los Cedros, Gómez Farías, 350 m (23°3'1"N, 99°9'5"O), 26-30.vii.1993, E.G. Riley – 7 ex. (TAMU); même localité, 18-19.vii.1994, J. Cook & E.G. Riley – 118 ex. (TAMU); Gómez Farías, (23°1'34"N, 99°8'52"O), 29.viii.1969, S. & J. Peck – 3 ex. (CMNH); Municipio Llera de Canoles, 5 mi. N Encino, 200 m (23°12'38"N, 99°6'9"O), 8.iii.1986, Jones, Kovarik & Haack – 1 ex. (TAMU); Nuevo Morelos, (22°32'9"N, 99°13'9"O), 22.viii.1957, A.W. Vásquez – 2 ex. (USNM); Rancho El Cielito, near El Encino, (23°10'N, 99°10'O), 28-30.viii.1985, E.G. & T.J. Riley – 5 ex. (EGRC); VERACRUZ-LLAVE, 15 mi. S Catemaco, 396 m (18°14'23"N, 95°7'28"O), 31.vii.-4.viii.1970, A. Newton – 1 ex. (CMNC); 33 km NE Catemaco, 160 m (18°35'5"N, 95°4'29"O), 1-30.vii.1983, S. & J. Peck – 25 ex. (CMNC); 4 mi. NW Sontecomapan, (18°32'22"N, 95°3'47"O), 9.vi.1965, Burke, Meyer & Schaffner – 1 ex. (TAMU); 5 mi. E Catemaco, (18°27'9"N, 95°3'42"O), 2-4.vii.1971, Clark, Murray, Hart & Schaffner – 1 ex. (TAMU); 8 mi. NW Sontecomapan, 152 m (18°35'4"N, 95°4'23"O), 31.vii.-4.viii.1970, A. Newton – 2 ex. (CMNC, ROME); Belzapote, (18°37'1"N, 95°4'12"O), 17.ix.1987, A.L. Norrbom – 1 ex. (USNM); Córdoba, (18°53'36"N, 96°54'56"O), 4.viii.1969, S. & J. Peck – 1 ex. (CMNC); Dos Amates, (17°22'56"N, 94°35'37"O), 17-21.vi.1985, P. & L. Arnaud – 1 ex. (PAIC); Estación de Biología Tropical Los Tuxtlas, (18°35'5"N, 95°4'29"O), vii.1984, Martínez – 2 ex. (CMNC); Estación de Biología Tropical Los Tuxtlas, 33 km NE Catemaco, 160 m (18°35'5"N, 95°4'29"O), 1.vii.-1.viii.1983, S. & J. Peck – 1 ex. (CMNC); même localité, 22-29.vi.1984, D.H. Lindeman – 15 ex. (CMNC); Fortín de Las Flores, (18°54'N, 97°0'40"O), 28.ix.1965, G.E. Ball & D.R. Whitehead – 1 ex. (CNC); Jalapa, (19°31'50"N, 96°54'33"O), [sans date], W. Schaus – 1 ex. (FSCA); Lago de Catemaco, 366 m (18°21'27"N, 95°3'36"O), 8-16.viii.1960, H.F. Howden – 6 ex. (CNC); même localité, 22.viii.1965, A.R. Gillogly – 2 ex. (TAMU); même localité, 24-25.v.1969, H. Howden – 5 ex. (CMNC); même localité, 16-20.vi.1969, D.E. Bright – 1 ex. (CNC); même localité, 31.vii.-4.viii.1970, A. Newton – 1 ♂, 25 ex. (CMNC, ROME); Misantla, (19°56'10"N, 96°49'56"O), [sans date], Hoge – 1 ex. (MHNG); Palma Sola, (21°22'24"N, 98°17'13"O), vi.1972, G. Halffter & P. Reyes – 1 ex. (CMNC); Santa Lucrecia [= Jesús Carranza], (17°25'58"N, 95°1'46"O), iv.1923, W.M. Mann – 1 ex. (USNM); même localité, 21.vi.1905, F. Knab – 2 ex. (USNM); Santa Rosa, (18°48'51"N, 97°10'52"O), viii, W.M. Schaus – 2 ex. (USNM); Tantoyuca, (21°20'55"N, 98°13'46"O), 19.iv.1944, E.K. Wearing – 1 ex. (FSCA); **NICARAGUA** : CHONTALES, [sans localité], [sans date], T. Belt. – 1 ♂ (CNC); même localité, [sans date], [anonyme] – 1 ex. (USNM); **PANAMA** : BOCAS DEL TORO, Changuinola District, (9°15'N, 82°39'O), [sans date], [anonyme] – 1 ex. (USNM); COCLÉ, El Valle, 500 m (8°36'N, 80°8'O), 23.ii.1959, H.S. Dybas – 1 ♂, 1 ex. (CMNC); COLÓN, Camp Chagres, (9°12'55"N, 79°37'16"O), 26-27.x.1967, T. Taylor – 1 ex. (EGRC); PANAMÁ, Cerro Campana, 800 m

(8°41'N, 79°55'O), 1.i.1970, H.P. Stockwell – 5 ex. (CMNC, USNM); même localité, 29.vii.1970, H. & A. Howden – 1 ex. (CMNC); même localité, 19.ix.1970, H.P. Stockwell – 1 ex. (CMNC); même localité, 10.x.1970, H.P. Stockwell – 1 ex. (USNM); même localité, 24.vi.1976, Erwin & Hevel – 1 ex. (USNM); **TRINITÉ ET TOBAGO** : Trinidad, iv.1959, Kinne – 4 ex. (FSCA); CARONI, Brasso, (10°24'N, 61°19'O), 10.ix.1932, [anonyme] – 1 ex. (USNM); même localité, 19.ii.1953, W.G. Owens – 1 ex. (USNM); SAINT ANDREW, Caura River, 0.75 mi. E Valencia, (10°39'32"N, 61°7'52"O), 21.vii.1975, K.W. Knopf – 1 ex. (FSCA); Mount Tamana, (10°28'17"N, 61°11'47"O), 16.viii.1969, H. & A. Howden – 1 ex. (CMNC); SAINT GEORGE, 1 mi. N Maracas, (10°41'59"N, 61°24'16"O), 17.viii.1969, H. & A. Howden – 1 ex. (CMNC); 5 mi. N Arima, Arima Valey, (10°43'7"N, 61°17'58"O), vii.1961, C.T. Collins – 12 ex. (FSCA); Arima, (10°37'53"N, 61°16'23"O), 30.vi.1968, J.D. Glaser – 3 ex. (CMNH); même localité, 22.iii.1969, J. Boos – 6 ex. (CMNH); Arouca, (10°38'24"N, 61°19'51"O), 10.v.1961, N. Gopaul – 1 ex. (CNC); Curepe, (10°38'48"N, 61°24'56"O), 14.v.1961, N. Gopaul – 2 ex. (CNC); Maracas Bay, (10°45'13"N, 61°25'58"O), ii.1977, J. Boos – 1 ♂, 2 ex. (CMNH); même localité, viii.1976, J. Boos – 5 ex. (CMNH); même localité, ix.1976, J. Boos – 8 ex. (CMNH); même localité, x.1976, J. Boos – 7 ex. (CMNH); même localité, xi.1976, J. Boos – 3 ex. (CMNH); même localité, 11.vi.1968, J. Boos – 4 ex. (FSCA); même localité, 12.vii.1968, J. Boos – 6 ex. (FSCA); même localité, 20.vi.1970, J. Glaser – 1 ex. (CMNH); même localité, 23-30.vi.1976, J.D. Glaser – 6 ex. (CMNC, CMNH); Maraval, (10°42'20"N, 61°30'18"O), 21.vi.1970, J.D. Glaser – 5 ex. (CMNC, CMNH); même localité, 22.vi.1970, J. Boos – 3 ex. (CMNH); Quesnell Farm, 13 km S Arima, 2 km N Talparo, 50 m (10°31'48"N, 61°16'26"O), 22.vi.-8.vii.1993, S. & J. Peck (1993-46) – 3 ex. (CMNC); Simla (N.Y. Zool. Soc. Sta.), Arima Ward, (10°42'20"N, 61°17'40"O), 11.vi.1977, R.E. Woodruff – 1 ex. (FSCA); Simla Research Station, 8 km N Arima, 260 m (10°42'20"N, 61°17'40"O), 6-14.vi.1993, S. & J. Peck (1993-09) – 1 ♂, 2 ex. (CMNC); même localité, 6-10.vi.1993, S. & J. Peck (1993-11) – 8 ex. (CMNC); même localité, 14-24.vi.1993, S. & J. Peck (1993-48) – 2 ex. (CMNC); même localité, 24.vi.-8.vii.1993, S. & J. Peck (1993-57) – 3 ex. (CMNC); Simla Research Station, Arima Valley, North Range, 244 m (10°41'34"N, 61°17'22"O), 1-15.vii.1964, J.M. Capriles – 1 ex. (USNM); même localité, 24-29.v.2000, A.S. Ramsdale – 3 ex. (ABTS); même localité, 29.v.-3.vi.2000, A.S. Ramsdale – 1 ex. (ABTS); Simla, 5 mi. N Arima, (10°43'7"N, 61°17'58"O), 4.viii.1969, H. & A. Howden – 4 ex. (CMNC, ROME); même localité, 10.viii.1969, H. & A. Howden – 8 ex. (CMNC, ROME); même localité, 18.viii.1969, H. & A. Howden – 2 ex. (CMNC); même localité, 19.viii.1969, H. & A. Howden – 4 ex. (CMNC, CMNH); même localité, 20.viii.1969, H. & A. Howden – 4 ex. (CMNC, ROME); Station No. 1, Petit Valley, (10°41'51"N, 61°31'57"O), 7.viii.1972, [anonyme] – 2 ex. (FSCA); **VENEZUELA** : ARAGUA, Cerro de

Quebrada Honda, San Sebastián, 600 m (9°56'27"N, 67°10'9"O), 18.xii.1966, C. Bordón – 5 ex. (CMNC); Cerro El Cafe, 10 km NW Valencia, 1200 m (10°19'23"N, 68°5'37"O), 23-26.ii.1971, S. Peck – 4 ex. (CMNC, ROME); El Limón, 500 m (10°18'53"N, 67°38'40"O), 21.ii.1971, H. & A. Howden – 1 ex. (CMNC); Estación Experimental Cataurito, Villa de Cura, 1000 m (10°1'58"N, 67°29'9"O), 9.iv.1981, J.L. Garcia – 2 ex. (MIZA); La Victoria, (10°13'26"N, 67°20'15"O), 26.xi.1974, Bordón – 4 ex. (CMNC, MHNG); Pozo del Diablo, Maracay, 500 m (10°17'N, 67°37'3"O), 7.iv.1978, J. Clavijo A. – 3 ex. (MIZA); même localité, 26.v.1978, J.A. Clavijo – 4 ex. (CMNC, MIZA); Quebrada Honda, San Casimiro, (10°0'13"N, 67°0'57"O), 18.xii.1966, C. Bordón – 1 ex. (CMNC); BOLIVAR, 22 km SE El Dorado, (6°32'26"N, 61°33'55"O), 25.vi.-12.vii.1987, S. & J. Peck – 1 ♂, 6 ex. (CMNC); 26 km N Guasipati, (7°41'35"N, 61°57'19"O), 24.vi.-12.vii.1987, S. & J. Peck – 2 ex. (CMNC); Guri, (7°46'16"N, 63°1'42"O), 16.vi.1996, H. & A. Howden – 1 ex. (CMNC); même localité, 6.vii.1998, H. & A. Howden – 1 ex. (CMNC); même localité, 7.vii.1998, H. & A. Howden – 2 ex. (CMNC); Salto Pará, Río Caura, 250 m (6°18'35"N, 64°31'25"O), 20-22.xi.1978, A. Chacón H. – 1 ex. (MIZA); DISTRITO FEDERAL, Antímano, 950 m (10°27'51"N, 66°59'14"O), 11.iv.1938, R. Lichy – 1 ex. (CMNC); LARA, 20 km E Carora, (10°9'20"N, 69°54'26"O), 24.vi.1976, A.S. Menke & D. Vincent – 1 ex. (USNM); [sans localité], 1200-1300 m, 1970, J.M. Osorio – 1 ex. (FSCA); MERIDA, Hacienda El Alto, Manzano Alto, 1600 m, 6.vii.1991, L. Stange & C. Porter – 1 ex. (FSCA); MIRANDA, El Lucero, 20 km N Altagracia, 700 m (10°1'16"N, 66°26'46"O), 14.vi.-5.viii.1987, S. & J. Peck – 1 ex. (CMNC); Macizo del Naiguatá, 720 m (10°32'53"N, 66°46'15"O), vii.1941, R. Lichy – 2 ex. (CMNC); même localité, vii.1942, R. Lichy – 2 ex. (CMNC); Parque Nacional Guatopo, 50 km SE Caracas, 400 m (10°5'N, 66°29'O), 5-6.iii.1971, S. Peck – 1 ex. (CMNC); Santa Crucita, 33 km N Altagracia, Parque Nacional Guatopo, 400 m (10°14'N, 67°1'O), 7-10.vi.1987, S. & J. Peck – 1 ex. (CMNC); MONAGUAS, 27 km SW Caripe, 300 m (10°2'N, 63°36'O), 19-31.vii.1987, S. & J. Peck – 1 ex. (CMNC); Cueva Guácharo, Caripe, 700 m (10°10'46"N, 63°32'35"O), 20-30.vii.1987, S. & J. Peck – 8 ex. (CMNC); SUCRE, 26 km SE Río Caribe, 50 m (10°35'39"N, 62°54'50"O), 28.vii.1987, S. & J. Peck (1987-101) – 1 ex. (CMNC); Purto Hierro, (10°38'32"N, 62°3'49"O), xii.1953, [anonyme] – 1 ex. (UNSM); Yacua, (10°39'22"N, 61°59'26"O), 1937, H.A. Beatty – 3 ex. (USNM); TÁCHIRA, 46 km SE San Cristobal, 700 m (7°34'52"N, 72°5'31"O), 19.v.1974, H. & A. Howden – 1 ex. (CMNC); Río Frío, 600 m (7°36'N, 72°9'O), 2-10.ix.1981, F. Fernandez Y., J. Clavijo & A. Chacón – 5 ex. (MIZA); même localité, 20-24.iv.1982, Exp. Instituto Zoologia Agricola – 1 ex. (MIZA); même localité, 11-18.viii.1983, B. Gill – 1 ex. (CMNC); Rubio, (7°41'53"N, 72°21'45"O), 15.viii.1983, B. Gill – 1 ex. (CMNC); San Cristobal, (7°44'20"N, 72°12'42"O), 5.iv.1982, P. Havranek – 1 ex. (BCRC); même localité, 22.x.1982, D.

Havranek – 1 ex. (CNC); même localité, 20.v.1985, F. Rey – 5 ex. (MIZA); San Joaquin de Navay, (7°38'1"N, 71°43'56"O), 21-22.vi.1979, A. Chacón – 1 ex. (MIZA); San Pedro del Río, 900 m (7°59'47"N, 72°16'27"O), 12.v.1988, D. Havranek – 3 ex. (CNC); même localité, 22.iii.1989, D. Havranek – 1 ex. (CNC); Santa Rosa, Santo Domingo, (7°54'31"N, 71°59'52"O), 16.viii.1983, D. Havranek – 1 ex. (CNC); ZULIA, El Tucuco, 420 m (9°50'44"N, 72°48'44"O), 21-27.v.1971, C.J. Rosales, J. Salcedo & A. Ramirez – 2 ex. (CMNC).

CONDITION DE CAPTURE. Spécimens capturés à l'aide de pièges à fosse appâtés avec des excréments humains, bovins, de porc, de la charogne non spécifiée, aux pièges à interception de vol et un spécimen au piège lumineux. Certains autres exemplaires capturés dans les déjections de cerf, de cheval, de chien et de vache.

HABITAT. La répartition de cette espèce semble indiquer qu'elle se retrouve aussi bien en forêt que dans les habitats plus ouverts. Elle semble s'accommoder aussi bien des habitats secs qu'humides. Les données précises indiquent qu'elle vit en forêt xérophile, en forêt primaire humide, en forêt humide saisonnière sablonneuse, en forêt tropicale décidue, en forêt de montagne de basse altitude, en forêt de brouillard, dans les clairières en forêt, dans les palmeraies, dans les plantations de cacao et dans les cultures de type milpa.

PHÉNOLOGIE. Spécimens capturés toute l'année.

REMARQUES. Cette espèce qui est répartie du Mexique à la Guyane forme deux populations distinctes. Les exemplaires sud-américains ont la région antérieure du pronotum plus lustré et les callosités antérieures tranchent plus fortement sur le reste de la surface, le fémur postérieur est plus élancé et ce dernier ne porte pas de dent chez les femelles. Comme l'édéage ne présente aucune différence, ni pour les paramères, ni pour les lamelles du sac interne, on considère ici cette variation comme intraspécifique.

Eurysternus harlequin Génier sp. nov.

(Figs. 19, 67, 154, 225)

ÉTYMOLOGIE. Harlequin, un nom évoquant bien la coloration inusitée de cette remarquable espèce.

DESCRIPTION. **Longueur**. 10,0-13,0 mm. **Couleur**. Variable, brunâtre à reflets verts ou cuivrés plus ou moins prononcés, mêlés de petites taches jaunâtres à oran-

gées foncées plus ou moins confluentes et rattachées à la ponctuation. **Tête**. Sans dimorphisme sexuel. Arête antérieure trisinuée en vue dorsale, le milieu recourbé vers le bas, la marge un peu plus large sur les joues. Yeux visibles sur le dessus, plus longs que larges. Surface de la tête en grande partie mate, à ponctuation fine et écartée; chaque point muni d'une soie, cette dernière un peu plus longue et dressée à l'avant. Massue antennaire brunâtre. **Pronotum**. Arêtes latérales divergentes jusqu'au tiers antérieur. Angles antérieurs droits. Angle latéral faiblement arqué. Arête latérale obtusément carénée sur la moitié basale. Le disque lustré entre la ponctuation, les déclivités à surface mate; surface munie de onze callosités lustrées, distinctement déprimée au milieu, près de la base et de chaque côté de la ligne médiane, un peu avant l'arête postérieure, à ponctuation simple et assez profonde, en majorité séparée par un espace équivalant à un ou deux diamètres; chaque point muni d'une courte soie testacée recourbée. **Élytres**. Arête latérale médiocrement arquée en vue dorsale. Interstries 5 et 8 fortement convexes et lustrés, interstries 6 et 7 concaves. Stries modérément larges à ponctuation distincte. Interstries recouverts d'une microsculpture alvéolée confluente, microsculpture estompée sur les interstries 1, 5 et 7; soies écartées, courtes et plus ou moins alignées. Interstrie 3, faiblement tuberculé à l'apex. Calus apical pourvu sur les interstries 5 et 7 de soies plus longues que sur l'interstrie 6. **Sternites thoraciques**. Carène proépisternale anguleuse et rejoignant l'angle antérieur. Prosternum presque régulièrement convexe, terminé en pointe acérée au milieu à l'avant; arête postérieure à peine lobée au milieu; surface recouverte de gros points mal définis, chaque point muni d'une soie testacée et d'un petit tubercule lustré à l'avant; surface à très forte microsculpture. Lobe médian du métasternum muni de deux concavités et d'une carène le long de la ligne médiane; la région adjacente aux hanches médianes plane; surface à ponctuation petite et estompée, les points munis d'une soie testacée couchée, à peu près identique en longueur sur toute la surface; la surface en grande partie soyeuse. **Pattes**. Fémur antérieur à surface déprimée avant l'apex sur la face ventrale, sans tubercule le long de l'arête antérieure avant l'apex; arête antérieure nette sur le tiers basal; surface à ponctuation estompée à l'avant et sur le disque, devenant fortement râpeuse à l'arrière. Tibia antérieur mâle muni de quatre dents latérales, la basale plus grosse que la seconde et recourbée vers le bas; arête interne émarginée un peu avant la base, dentée vers le tiers basal et le tiers distal; carène longitudinale ventrale distincte sur le tiers distal seulement. Tibia antérieur femelle muni de quatre dents, la basale plus grosse, recourbée vers le bas et située avant le milieu; arête interne arquée sur le tiers basal en vue dorsale, munie sur la face ventrale d'un assez gros tubercule adjacent à la première dent latérale; carène longitudinale ventrale réduite à une série de points sur presque toute la longueur. Fémur médian à surface en grande partie mate, fortement lustrée seulement à la base et à l'apex, à ponctuation estompée, quelques points confluents et profonds sur le quart basal. Fémur postérieur claviforme, à

surface en grande partie lustrée, mate vers l'apex à l'arrière; arête antérieure carénée dorsalement sur la moitié distale; arête postérieure ventrale sinueuse et assez nette sur toute la longueur; arête postérieure dorsale simplement anguleuse un peu après le milieu chez les mâles, simplement sinueuse chez les femelles. Tibia postérieur régulièrement arqué, face interne munie de 7 à 9 tubercules dentiformes; angle apical interne plus court que le premier tarsomère chez les mâles; tibia régulièrement arqué, sa face interne munie de 4 à 7 tubercules obtus chez les femelles. **Abdomen**. Segment 3 acéré antérieurement entre les hanches postérieures. Segments 4 à 7 plats sur le disque; ponctuation estompée et très fine, les soies des points médiocrement longues; région adjacente à l'élytre munie de touffes de soies plus longues et denses. Segment 8 à ponctuation écartée et finement râpeuse sur toute la surface; région postérieure sans marge sur le côté. Pygidium sans marges latérales nettes; sillon basal fin; la ponctuation estompée, petite, certains des points munis d'une soie claire assez longue à l'apex. **Édéage**. Paramères longuement prolongés en crochet à l'extrémité; arête dorsale sinueuse au milieu en vue latérale. Crochet de la lamelle accessoire du sac interne conique et très petit.

Holotype ♂ (CMNC) : BRAZIL: PARÁ, Tucuruí, 3°42'N 49°44'W, iv.1988 / HOLOTYPE ♂, *Eurysternus harlequin* sp. nov., F. Génier. Édéage extrait.

Allotype ♀ (CMNC) : BRASIL: AMAPÁ, Aldeia Mariry, Mun[nicipio]. Serra do Navio, 1°10'20"N 52°56'15"W / ALLOTYPE ♀, *Eurysternus harlequin* sp. nov., F. Génier.

MATÉRIEL EXAMINÉ. Répartition géographique Fig. 225; 21 ex. : **BOLIVIE** : SANTA CRUZ, Lago Caiman, Parque Nacional Noel Kempff Mercado, (13°36'S, 60°54.9'O), 13-20.i.1997, S. Spector & S. Ayazama – 3 ♀♀, 4 ♂♂ (7 paratypes) (BDGC, CMNC); Lago Caiman, ridge?, (13°36'S, 60°54.9'O), [sans date], [anonyme] – 1 ♂ (paratype) (AFIC); Los Fieros, Parque Nacional Noel Kempff Mercado, (14°33.5'S, 60°55.9'O), 20-30.i.1997, B.D. Gill & A. Forsyth – 1 ♀ (paratype) (BDGC); Parque Nacional Noel Kempff Mercado, 1997, [anonyme] – 1 ♀ (paratype) (AFIC); RPPN Caparú, 180 m (14°48'S, 61°10'O), 11.xii.2005, C. Hamel – 1 ♀, 2 ♂♂ (3 paratypes) (OUMNH); **BRÉSIL** : AMAPÁ, Aldeia Mariry, Municipio Serra do Navio, (1°10'20"N, 52°56'15"O), [sans date], [anonyme] – 1 ♀ allotype (CMNC); PARÁ, Fazenda Marajoara, Redenção, (7°50'S, 50°16'O), x.1998, P.Y. Scheffler – 1 ♀ (paratype) (FVMC); Municipio Redenção, (7°50'S, 50°16'O), x.1998, P. & T. Scheffler – 1 ♂ (paratype) (FVMC); Tucuruí, (3°46'26"S, 49°41'19"O), iv.1988, [anonyme] – 1 ♂ (holotype) (CMNC); même localité, v.1996, [anonyme] – 1 ♀, 1 ♂ (paratypes) (PAIC); RONDÔNIA, Vilhena, (12°46'16"S, 60°8'52"O), xi.1987, P. Magno – 1 ♀, 1 ♂ (paratypes) (MNRJ).

CONDITION DE CAPTURE. Les seules données concernant la capture de cette espèce proviennent des récoltes de A. Forsyth *et al.* (1998) faites dans le Parque Nacional Noel Kempff Mercado « PNNKM » (Bolivie). Des 25 spécimens capturés à l'aide de pièges à fosse appâtés avec des excréments humains, 18 l'ont été en forêt saisonnièrement inondée de type Sartenjal (Los Fieros), trois en forêt décidue, composée presque exclusivement de *Callisthene micophylla* établis sur un sol rocailleux (Lago Caimán), deux en forêt mésique échantillonnés en saison sèche (Los Fieros), un sur un affleurement rocheux (Lago Caimán) et un dernier en forêt de type Sartenjal près d'une savane à termitière (Los Fieros).

HABITAT. En Bolivie, elle se retrouve en zone de forêt sèche de type Sarjental et Chiquitano, c'est-à-dire de la zone de forêt sèche du sud de l'Amazonie. Elle se retrouve aussi au Brésil, dans la zone de transition entre la forêt amazonienne et le cerrado et en forêt amazonienne dans l'État d'Amapá. Il n'y a cependant aucune indication précise sur le type d'habitat pour cette région de son aire de répartition.

PHÉNOLOGIE. Spécimens capturés en janvier, avril, mai, octobre, novembre et décembre.

GROUPE CARIBAEUS

DIAGNOSE. Taille moyenne à très grande (10,0-23,0 mm). Yeux visibles sur le dessus. Menton échancré antérieurement. Pronotum à ponctuation ocellée ou simple, en majorité séparée par plus d'un diamètre. Cinquième interstrie des élytres plat. Disque du métasternum sans fovéole au milieu. Hanches postérieures adjacentes, munies d'une tache foncée près de l'insertion du trochanter et d'une autre vers le milieu. Segment abdominal 3 acuminé antérieurement. Fémur postérieur muni d'une ou deux dents sur la face postérieure chez les mâles et les femelles (sauf chez les très petits exemplaires). Éperon du tibia postérieur fusionné au tibia chez les mâles, articulé chez les femelles. Paramères simples, allongés, acuminés et recourbés vers le bas à l'apex.

Eurysternus maya Génier sp. nov.

(Figs. 34, 166-167, 226)

ÉTYMOLOGIE. Maya, un nom en apposition faisant référence à la répartition de cette espèce, qui correspond en grande partie à l'empire jadis érigé par cette grande civilisation.

DESCRIPTION. **Longueur**. 10,0-16,0 mm. **Couleur**. Variable, brunâtre à reflets verts, bleuâtres ou cuivrés plus ou moins prononcés, mêlés de taches jaunâtres à brun orangé plus ou moins étendues, en grande partie rattachées à la ponctuation. **Tête**. Arête antérieure semi-hexagonale, obtusément dentée de chaque côté du milieu chez les femelles. Yeux visibles sur le dessus, plus longs que larges. Surface de la tête mate, à ponctuation très fine à l'avant du clypéus; chaque point muni d'une courte soie, les soies un peu plus longues et dressées près de l'arête latérale et postérieure. **Pronotum**. Arêtes latérales divergentes jusqu'au tiers distal. Angles antérieurs droits. Angle latéral largement arqué. Arête latérale obtusément carénée sur toute la longueur. Surface mate, munie de cinq callosités, dont la médiane seule est lustrée; surface superficiellement sillonnée au milieu près de la base; ponctuation ocellée et profonde, en majorité séparée par une distance équivalante à deux diamètres, chaque point muni d'une courte soie recourbée fauve. **Élytres**. Arête latérale médiocrement arquée en vue dorsale. Interstries presque plans sur le disque. Stries modérément larges à ponctuation profonde. Interstries à microsculpture alvéolée confluente; soies écartées, courtes, plus ou moins squameuses variant de testacé à brun. Interstrie 3, un peu gibbeux à l'apex. Calus apical pourvu sur les interstries 5 et 7 de soies plus longues que sur l'interstrie 6. **Sternites thoraciques**. Carène proépisternale arquée et rejoignant l'angle antérieur. Prosternum presque régulièrement convexe, terminé en pointe au milieu à l'avant; arête postérieure à peine anguleuse au milieu; surface à ponctuation ocellée profonde et séparée par un espace équivalant à trois diamètres, chaque point muni d'une soie testacée à peine visible; surface à microsculpture alvéolée. Lobe médian du métasternum déprimé au milieu à l'avant, muni de deux petites carènes parallèles le long de la ligne médiane à l'arrière, ces dernières flanquées de deux concavités; la région adjacente aux hanches médianes plane; surface à ponctuation ocellée nette; la surface en grande partie soyeuse. **Pattes**. Fémur antérieur à surface assez régulièrement convexe sur la face ventrale; arête antérieure estompée, munie d'un petit tubercule aigu du côté antérieur sur le tiers basal; surface à ponctuation ocellée profonde, devenant un peu râpeuse à l'arrière vers l'apex. Tibia antérieur mâle muni de trois dents latérales, la basale dirigée perpendiculairement vers le bas, la deuxième de taille semblable dirigée obliquement vers le bas et la dent apicale plus acérée et dirigée moins obliquement; arête interne obtusément dentée au milieu, émarginée sur une courte distance après la dent; carène longitudinale ventrale fine sur la moitié basale, interrompue avant la dent de l'arête interne, rejoignant la base des deux dents latérales après le milieu. Tibia antérieur femelle simple; arête interne droite en vue dorsale, munie d'un assez gros tubercule acéré sur la face ventrale vers le milieu; carène longitudinale ventrale réduite fine. Fémur médian peu élargi vers l'apex en vue ventrale, à surface mate, ponctuation ocellée profonde et assez régulièrement répartie. Fémur postérieur peu élargi vers l'apex; surface ventrale mate, claire à l'apex antérieurement; arête postérieure ventrale

sinueuse au milieu et assez nette sur toute la longueur; arête postérieure dorsale irrégulièrement crénelée; face postérieure mâle munie d'une grosse dent rectangulaire après le milieu, cette dernière plus ou moins bituberculée à l'apex chez les très gros mâles; face postérieure femelle munie d'une assez longue dent acérée vers le milieu. Tibia postérieur mâle très fortement arqué au milieu, face interne munie de 9 à 12 tubercules dentiformes; angle apical interne fortement élargi, rejoignant presque l'apex du premier tarsomère chez les mâles; tibia postérieur femelle régulièrement arqué, face interne munie de 8 à 12 tubercules obtus. **Abdomen**. Segment 3 acéré antérieurement entre les hanches postérieures. Segments 4 à 7 plats sur le disque; ponctuation ocellée très écartée, soies des points très fines; segments 6 et 7 munis latéralement de quelques soies plus longues et denses. Segment 8 à ponctuation plus grosse et dense au milieu. Pygidium non marginé latéralement; surface déprimée au milieu et de chaque côté près de la base, sillon basal large et profond; ponctuation ocellée et superficielle, certains des points munis d'une soie claire assez longue à l'apex. **Édéage**. Paramères régulièrement recourbés vers le bas à l'apex, sans rugosités; arête dorsale droite en vue latérale, un peu sinueuse avant l'apex en vue dorsale. Crochet de la lamelle accessoire du sac interne conique, assez gros.

Holotype ♂ (CMNC) : MEX: Ver: 33 km NE Catemaco, 160 m, 1-30.vii.83, S.& J. Peck FIT / HOLOTYPE ♂, *Eurysternus maya* sp. nov., F. Génier. Édéage extrait.

Allotype ♀ (CMNC) : mêmes données que l'holotype.

MATÉRIEL EXAMINÉ. Répartition géographique Fig. 226; 168 ex. : **BELIZE** : CAYO, Las Cuevas Research Station, Chiribul Forest Reserve, San Ignacio, (16°43'N, 88°59'O), 2-17.iv.2004, R. Pateman – 3 ♀♀, 10 ♂♂ (13 paratypes) (OUMNH); **GUATEMALA** : PETÉN, Comunidad Bethel, Municipio La Libertad, (16°48'10"N, 90°48'55"O), 8-10.vi.1995, E. Cano – 1 ♂ (paratype) (FVMC); même localité, 2-5.x.1995, E.B. Cano – 1 ♀ (paratype) (FVMC); Tikal, (17°12'46"N, 89°37'3"O), 23-26.viii.1972, S. & J. Peck – 1 ♂ (paratype) (CMNC); même localité, 28-30.vii.1978, Helava & Kukal – 7 ♂♂ (7 paratypes) (CMNC); **MEXIQUE** : [sans localité], [sans date], [anonyme] – 1 ♂ (paratype) (BMNH); CHIAPAS, 4 mi. S Palenque, 183 m (17°27'22"N, 91°57'59"O), 15.viii.1971, A. Newton (326) – 2 ♀♀, 2 ♂♂ (4 paratypes) (CMNC, ROME); 7 mi. S Palenque, 335 m (17°25'57"N, 91°56'5"O), 15.viii.1971, A. Newton (350) – 1 ♂ (paratype) (CMNH); Sitio arqueológico de Bonampak, 300 m (16°44'N, 91°5'O), 8.ix.1977, W.D. Edmonds – 5 ♀♀, 5 ♂♂ (10 paratypes) (WDEC); même localité, 24.ix.1977, W.D. Edmonds – 1 ♀, 1 ♂ (paratypes) (WDEC); même localité, 24-26.ix.1977, W.D. Edmonds – 4 ♀♀, 2 ♂♂ (6 paratypes) (WDEC); même localité, 25.ix.1977, W.D. Edmonds – 1 ♀ (paratype) (WDEC); VERACRUZ-LLAVE, 33 km NE

Catemaco, 160 m (18°35'5"N, 95°4'29"O), 1-30.vii.1983, S. & J. Peck – 8 ♀♀, 32 ♂♂ (holotype, allotype, 38 paratypes) (CMNC); Dos Amates, (17°22'56"N, 94°35'37"O), 17-21.vi.1985, P. & L. Arnaud – 1 ♀ (paratype) (PAIC); Estación de Biología Tropical Los Tuxtlas, (18°35'5"N, 95°4'29"O), vii.1984, Martínez – 3 ♀♀, 15 ♂♂ (18 paratypes) (CMNC); même localité, 30.viii.1978, M.A. Morón – 1 ♀, 1 ♂ (paratypes) (CMNC); Estación de Biología Tropical Los Tuxtlas, 33 km NE Catemaco, 160 m (18°35'5"N, 95°4'29"O), 1.vii.-1.viii.1983, M. Kaulbars – 1 ♀ (paratype) (CMNC); même localité, 1.vii.-1.viii.1983, S. & J. Peck – 2 ♂♂ (2 paratypes) (CMNC); même localité, 8-15.vi.1984, D.H. Lindeman – 1 ♂ (paratype) (CMNC); même localité, 13.vii.1984, D.H. Lindeman – 1 ♀ (paratype) (CMNC); Lago de Catemaco, 366 m (18°21'27"N, 95°3'36"O), 8-16.viii.1960, H.F. Howden – 13 ♀♀, 12 ♂♂ (25 paratypes) (CMNC, CNC); même localité, 31.vii.-4.viii.1970, A. Newton – 12 ♀♀, 17 ♂♂ (29 paratypes) (CMNC, CMNH, ROME).

CONDITION DE CAPTURE. La plupart des spécimens qui comportent des données ont été capturés au piège à interception de vol. Quelques autres spécimens capturés dans les excréments humains, de la bouse de vache, de la charogne de poisson et au piège à fosse appâté avec des déjections bovines et du foie de poulet.

HABITAT. Capturé en forêt décidue, forêt mature et forêt ombrophile de la province biogéographique du golfe du Mexique.

PHÉNOLOGIE. Spécimens capturés en avril et juin à octobre.

REMARQUES. Cette espèce a une répartition parapatrique avec *E. caribaeus*. Les deux espèces ont été capturées dans le même piège au Belize.

Eurysternus caribaeus (Herbst), 1789

(Figs. 20, 45, 56, 64, 160-161, 164-165, 168-170, 227)

Eurysternus caribaeus Herbst [*Scarabaeus*]
1789 Herbst, *Käfer 2* : 300
1869 Gemminger & Harold, *Cat. Col.* 4 : 1023 (catalogue)
1880 Harold, *Ent. Zeit. Stet.* 41 : 13 (commentaire, répartition)
1911 Gillet, *Col. Cat.* 38 : 25 (catalogue)
1911 Bruch, *Rev. Mus. La Plata* 17 : 182 (catalogue)
1944 Blackwelder, *U. S. Nat. Mus. Bull.* 185 : 197 (catalogue)
1955 Roze, *Bol. Mus. Cien. Nat. Caracas* 1 : 41 (catalogue)
1959 Martínez, *Rev. Mus. Arg. Cien. Nat. Bern. Rivad.* 5 : 20 (catalogue)

1977 Halffter & Halffter, *Folia Ent. Mex.* 37 : 57 (redescription)
1980 Halffter et al., *Quaest. Ent.* : 600 (biologie)
1981 Howden & Young, *Contr. Am. Ent. Inst.* 18 : 17 (diagnose, clé de détermination)
1982 Halffter & Edmonds, *Nest. Behav. Dung Beetl.* 10 : 45 (biologie)
1985 Jessop, *J. Nat. Hist.* 19 : 1102 (désignation de type)
1998 Forsyth et al., *RAP Work. Pap.* 10 : 370 (faunistique)
1999 Vaz de Mello, *An. Soc. Entomol. Brasil* : 449 (faunistique)
2000 López-Guerrero & Halffter, *Frag. Ent.* 32 : 245 (morphologie)
2003 Huerta et al., *Acta Zool. Mex. (n.s.)* 88 : 16 (biologie)
2003 Morón, *Atl. Esc. Mex.* 2 : 45 (répartition)
2004 Celi et al., *Lyonia* 7 : 39 (faunistique)
2007 Noriega et al., *Biot. Colom.* 8 : 82 (faunistique)

Eurysternus planus Dalman [synonymie : Gemminger & Harold, 1869 : 1023]
1824 Dalman, *Ephem. Entomol.* : 10
1840 Castelnau, *Hist. Nat. Ins.* 2 : 92 (diagnose)
1869 Gemminger & Harold, *Cat. Col.* 4 : 1023 (catalogue)
1911 Gillet, *Col. Cat.* 38 : 25 (catalogue)
1911 Bruch, *Rev. Mus. La Plata* 17 : 182 (catalogue)
1944 Blackwelder, *U. S. Nat. Mus. Bull.* 185 : 197 (catalogue)
1959 Martínez, *Rev. Mus. Arg. Cien. Nat. Bern. Rivad.* 5 : 20 (catalogue)

Eurysternus nebulosus Kirsch [synonymie : Harold, 1880 : 13]
1871 Kirsch, *Berl. Ent. Zeit.* 14 : 361
1880 Harold, *Ent. Zeit. Stet.* 41 : 13 (? synonymie)
1887 Bates, *Biol. Cent. Amer.* 2 : 40 (commentaire, répartition)
1911 Gillet, *Col. Cat.* 38 : 25 (catalogue)
1944 Blackwelder, *U. S. Nat. Mus. Bull.* 185 : 197 (catalogue)
1959 Martínez, *Rev. Mus. Arg. Cien. Nat. Bern. Rivad.* 5 : 20 (catalogue)
1985 Jessop, *J. Nat. Hist.* 19 : 1102 (désignation de type)

Eurysternus peruanus Harold [synonymie : Jessop, 1985 : 1102]
1875 Harold, *Col. Hefte* 14 : 137
1880 Harold, *Ent. Zeit. Stet.* 41 : 14 (commentaire)
1911 Gillet, *Col. Cat.* 38 : 26 (catalogue)
1944 Blackwelder, *U. S. Nat. Mus. Bull.* 185 : 197 (catalogue)
1985 Jessop, *J. Nat. Hist.* 19 : 1102 (désignation de type, synonymie)

ÉTYMOLOGIE. *Caribaeus* (caribéen), nom faisant très certainement allusion à la localité type originale « Das Vaterland Ist Westindien » citée par Herbst.

DIAGNOSE. Longueur 10,5-20,0 mm. Corps à coloration très variable, habituellement en grande partie fauve orangé plus ou moins foncé, orné de taches irrégulières brunes plus ou moins confluentes et étendues, la base du fémur médian et postérieur et le trochanter toujours bruns, les tibias médians et postérieurs bruns. Tête à ponctuation simple, fine et écartée à l'avant, beaucoup plus grosse et profonde près des yeux et au milieu; arête antérieure du clypéus faiblement tronquée, recourbée vers le bas au milieu, l'arête simple, sans petite dent obtuse relevée de chaque côté du milieu. Pronotum à surface convexe, muni d'un seul calus plus ou moins lustré au milieu à l'avant et de quatre callosités plus ou moins nettes et lustrées de chaque côté du milieu; ponctuation ocellée et assez régulièrement répartie. Élytres mats, microsculpture très fine; stries médiocrement fines, nettes, ponctuation médiocrement grosse et profonde; interstries sans ponctuation visible; cinquième interstrie faiblement convexe au milieu; arête du pseudépipleure saillante au milieu, la carène plus haute que le huitième interstrie. Métasternum à surface inégale, muni de deux petites carènes parallèles longitudinales au milieu à l'arrière dans les deux sexes; lobes latéraux à ponctuation ocellée. Tibia antérieur des mâles muni de trois dents latérales à l'apex, la basale plus petite et recourbée obliquement vers le bas; carène longitudinale ventrale complète et munie d'une dent aigüe vers le milieu. Tibia antérieur des femelles muni de trois dents normales; arête interne presque droite, munie d'une assez grosse dent au milieu; carène longitudinale ventrale fine, interrompue par des soies sur la moitié antérieure. Fémur postérieur claviforme, surface en grande partie mate; arête postérieure variable, quelquefois munie d'un lobe obtus près du trochanter et d'une dent aigüe vers le tiers distal ou simplement d'une dent plus ou moins aigüe vers le tiers distal; arête postérieure munie d'une dent triangulaire adjacente à la face supérieure au milieu chez les femelles. Tibia postérieur régulièrement arqué. Pygidium à ponctuation ocellée. Paramères assez variables, courts et robustes et régulièrement arqués à l'apex à plus longs, droits et sinués près de l'apex en vue latérale, l'arête ventrale régulièrement recourbée près de l'apex; lamelle accessoire du sac interne munie d'une petite dent simple plus ou moins triangulaire.

Scarabaeus caribaeus Herbst :

Néotype ♂ (ZMHB) : NEOTYPE (disque bordé de rouge) / 26800 / *caribaeus* n. *Sc. caribaeus* Hbst, *E. planus* Dalm., Cayene Ban[on]. (écriture manuscrite sur carton vert) / types (carton rouge) / *caribaeus* Hbst. (écriture manuscrite sur papier blanc) / Zool. Mus. Berlin / *Eurysternus caribaeus* (Herbst), NEOTYPE, det. L. Jessop 1984. Néotype examiné, non disséqué.

Eurysternus planus Dalman :

Holotype ♂ (NHRS) : Cayenne, Dejean (écriture manuscrite) / *Eurysternus planus* Dalman (écriture manuscrite) / Typus (carton rouge) / 286, 80 (papier rouge)

/ 94 (papier rouge) / *Eurysternus caribaeus* Herbst, Nav. det. 1955/ 359, 89 (papier rouge) / *Eurysternus planus* Dalman, Holotype, det. L. Jessop 1984. Holotype examiné, non disséqué.

Eurysternus nebulosus Kirsch :

Lectotype ♂ (MTD) : Lectotype (disque bordé de violet) / Bogota, Kirsch (papier vert) / Staatl Museum für Tierkunde Dresden / *Eurysternus nebulosus* Kirsch, Lectotype, det. L. Jessop 1884 / *Eurysternus caribaeus* (Herbst), dét. F. Génier, 1998. Lectotype examiné, non disséqué.

Eurysternus peruanus Harold :

Lectotype ♀ (MNHN) : Lectotype (disque bordé de violet) / Peru, (écriture manuscrite) / Ex. Musæo E. Harold / Peru, *E. peruanus* Harold (étiquette manuscrite de Harold) / *Eurysternus peruanus* Har. Lectotype ♀, P. ARNAUD DET. 1983 / *Eurysternus peruanus* Harold, Lectotype det. L. Jessop, 1984. Lectotype examiné.

MATÉRIEL EXAMINÉ. Répartition géographique Fig. 227; 3322 ex. : **[PAYS NON SPÉCIFIÉ]** : Maroni River, [sans date], [anonyme] – 1 ex. (USNM); **ARGENTINE** : CHACO, 100 km NW Resistencia, Parque Nacional Chaco, (26°49'S, 59°41'O), 13-15.xii.1990, S. & J. Peck (1990-108) – 1 ex. (CMNC); même localité, 13-16.xii.1990, S. & J. Peck (1990-110) – 20 ex. (CMNC); Presidencia de la Plaza, (26°59'S, 59°50'O), 21.xii.2006, M. Damborsky – 1 ex. (WDEC); CORRIENTES, 5 km O Ituzaingó, (27°37'33"S, 56°45'17"O), ix.1979, Martínez – 2 ex. (CMNC); Mburucujá, (27°58'S, 57°59'O), 10.xii.2003, M. Damborsky – 1 ex. (WDEC); Santo Tomé, (28°33'15"S, 56°2'37"O), ix.1923, [anonyme] – 1 ex. (CMNC); FORMOSA, Puerto Pilcomayo, (25°22'17"S, 57°39'14"O), i.1948, Martínez – 1 ex. (CMNC); MISIONES, Dos de Mayo, (27°1'39"S, 54°40'3"O), i.1966, J. Foerster – 4 ex. (WDEC); Empalme 101, Parque Nacional Iguazú, 206 m, 8. xii.1990-6.i.1991, S. & J. Peck (1990-95) – 1 ex. (CMNC); Iguazú, (25°40'30"S, 54°29'52"O), xi.1975, [anonyme] – 1 ex. (PAIC); même localité, 30.i.1985, J.E. Barriga – 2 ex. (CMNH); Loreto, (27°18'22"S, 55°32'10"O), i.1955, A. Martínez – 1 ex. (CNC); même localité, xii.1961, [anonyme] – 4 ex. (USNM); même localité, 16.iii.1949, R. Costa – 2 ex. (CMNC); Parque Nacional Iguazú, Puerto Canoas, (25°42'S, 54°25'O), 8.xii.1990-6.i.1991, S. & J. Peck (1990-91) – 3 ex. (CMNC); Pastoreo Grande, (27°16'39"S, 55°24'0"O), ii.1954, F.H. Waltz – 1 ex. (CMNC); Puerto Esperanza, (26°1'15"S, 54°36'38"O), x.1978, M.A. Fritz – 8 ex. (CMNC); Puerto Iguazú, (25°36'S, 54°34'O), xi.1945, Duret – 2 ex. (CMNC); Santa María, (27°54'S, 55°24'O), [sans date], M.J. Viana – 1 ex. (CMNC); Sendero Macuco, Parque Nacional Iguazú, 180 m (25°39'32"S, 54°27'28"O), 8-10.xii.1990, S. & J. Peck

(1990-98) – 12 ex. (CMNC); même localité, 23.xii.1990-6.i.1991, S. & J. Peck (1990-127) – 24 ex. (CMNC); **BELIZE** : CAYO, Belmopan, (17°15'12"N, 88°46'17"O), 26-30.vii.1972, S. & J. Peck – 1 ex. (CMNC); même localité, 8-14.viii.1972, S. & J. Peck – 1 ex. (CMNC); Caves Branch, (17°8'N, 88°42'O), 23-29.viii.1972, S. & J. Peck – 1 ♂, 3 ex. (CMNC, ROME); Chiquibul Forest Reserve, Las Cuevas field station, 500-700 m (16°44'N, 88°59'O), v-vi.1997, D. Inward – 6 ex. (BMNH); même localité, vi.1997, D. Inward – 4 ex. (BMNH); Las Cuevas Research Station, Chiribul Forest Reserve, San Ignacio, (16°43'N, 88°59'O), 2-17.iv.2004, R. Pateman – 63 ex. (OUMNH); ORANGE WALK, Lamanai, (17°45'52"N, 88°39'17"O), 22-26.ii.1980, G. Kit – 4 ex. (CMNC, ROME); near La Milpa Archeological Reserve, Rio Bravo Conservation and Management Area, (17°48'18"N, 89°4'34"O), 5-12.ix.1995, P. Kovarik – 2 ex. (FSCA); même localité, 6-13.ix.1995, P. Kovaric – 1 ex. (FSCA); Río Bravo Conservation and Management Area, (17°50'22"N, 89°1'12"O), 7-14.iv.1995, P. Kovarik & J. Shuey – 4 ex. (FSCA, WBWC); même localité, 8-14.iv.1995, P. Kovarik & J. Shuey – 7 ex. (FSCA); même localité, 10-16.iv.1995, P. Kovarik & J. Shuey – 3 ex. (FSCA); même localité, 13-19.iv.1995, P. Kovarik & J. Shuey – 2 ex. (FSCA); même localité, 13-16.iv.1995, P. Kovarik & J. Shuey – 2 ex. (WBWC); même localité, 9-15.vi.1995, P. Kovarik & J. Shuey – 2 ex. (BCRC, UNSM); même localité, 3-10.ix.1995, P. Kovarik & J. Shuey – 1 ex. (UNSM); TOLEDO, Blue Creek, (16°11'57"N, 89°2'26"O), 21.vi.1981, W.E. Steiner – 1 ex. (USNM); même localité, 25.vi.1981, W.E. Steiner – 1 ex. (USNM); même localité, 1.vii.1981, W.E. Steiner – 5 ex. (USNM); **BOLIVIE** : Alto beni, 1100 m, i.1976, Peña – 1 ex. (PAIC); CHUQUISACA, Monteagudo, Río Los Pinos, 1300 m (19°43'35"S, 63°55'3"O), 18.iv.2004, M. Aliaga – 3 ex. (OUMNH); même localité, 21.iv.2004, M. Aliaga – 4 ex. (OUMNH); Monteagudo, Ticucha, 1300 m (19°36'15"S, 63°53'11"O), 9.iv.2004, M. Aliaga – 4 ex. (OUMNH); même localité, 10.iv.2004, M. Aliaga – 4 ex. (OUMNH); même localité, 11.iv.2004, M. Aliaga – 8 ex. (OUMNH); même localité, 12.iv.2004, M. Aliaga – 1 ex. (OUMNH); COCHABAMBA, 109 km E Cochabamba, 1400 m (17°8'52"S, 65°42'54"O), 1-6.ii.1999, F. Génier (1999-27) – 2 ex. (CMNC); même localité, 1-6.ii.1999, F. Génier (1999-28) – 2 ex. (CMNC); même localité, 1-6.ii.1999, R. Hanley (1999-26) – 5 ex. (CMNC); même localité, 6-8.ii.1999, F. Génier (1999-35) – 1 ex. (CMNC); même localité, 6-8.ii.1999, F. Génier (1999-36) – 2 ex. (CMNC); même localité, 8-12.ii.1999, F. Génier (1999-60) – 2 ex. (CMNC); même localité, 8-12.ii.1999, F. Génier (1999-61) – 1 ex. (CMNC); 117 km E Cochabamba (Cochabamba-Villa Tunari road), 1040 m (17°6'32"S, 65°41'12"O), 1-6.ii.1999, R. Hanley (1999-28) – 3 ex. (CMNC); même localité, 8-10.ii.1999, R. Hanley (1999-62) – 1 ex. (CMNC); 117 km E Cochabamba at Lagunitas, 1000 m (17°6'22"S, 65°40'57"O), 1-6.ii.1999, F. Génier (1999-29) – 3 ex. (CMNC); même localité, 1-6.ii.1999, F. Génier (1999-30) – 15 ex. (CMNC); même localité, 6-8.ii.1999, F. Génier (1999-38) – 1 ♂, 1 ex. (CMNC); même loca-

lité, 6-8.ii.1999, F. Génier (1999-37) – 1 ♂ (CMNC); même localité, 8-12.ii.1999, F. Génier (1999-62) – 6 ex. (CMNC); même localité, 8-12.ii.1999, F. Génier (1999-63) – 1 ex. (CMNC); 124 km E Cochabamba (Cochabamba-Villa Tunari road), 730 m (17°3'54"S, 65°38'43"O), 1-6.ii.1999, R. Hanley (1999-29) – 1 ex. (CMNC); même localité, 6-8.ii.1999, R. Hanley (1999-47) – 2 ex. (CMNC); 124 km E Cochabamba at Río Espirito Santo, 700 m (17°3'45"S, 65°38'38"O), 1-6.ii.1999, F. Génier (1999-31) – 36 ex. (CMNC); même localité, 6-8.ii.1999, F. Génier (1999-40) – 19 ex. (CMNC); même localité, 6-8.ii.1999, F. Génier (1999-39) – 5 ex. (CMNC); même localité, 8-12.ii.1999, F. Génier (1999-64) – 1 ♀, 2 ex. (CMNC); même localité, 8-12.ii.1999, F. Génier (1999-65) – 16 ex. (CMNC); 16.7 km O Villa Tunari, Avispas, 500 m (17°1'13"S, 65°32'46"O), 10-12.ii.1999, F. Génier (1999-67) – 17 ex. (CMNC); Cordillera Mosetenes, Parque Nacional Isiboro-Securé, 1250 m (16°13'51"S, 66°25'6"O), 1-4.ix.2003, A.C. Hamel L. – 7 ex. (OUMNH); même localité, 1-4.ix.2003, A.C. Hamel L. – 6 ex. (OUMNH); même localité, 1-17.ix.2003, D. Embert – 1 ex. (OUMNH); même localité, 7-16.ix.2003, A.C. Hamel L. – 5 ex. (OUMNH); même localité, 14-17.ix.2003, A.C. Hamel L. – 1 ex. (OUMNH); Estación Biológica El Valle del Sajta, Universidad Mayor de San Simón, 300 m (17°6.48'S, 64°46.94'O), 16-27.xii.2005, S. & J. Peck (2005-47) – 2 ex. (CMNC); Estación Biológica El Valle del Sajta, Universidad Mayor de San Simón, 67.5 km E Villa Tunari, 300 m (17°6'19"S, 64°46'57"O), 7-9.ii.1999, R. Hanley (1999-57) – 4 ex. (CMNC); même localité, 7-9.ii.1999, F. Génier (1999-41) – 3 ex. (CMNC); même localité, 7-9.ii.1999, F. Génier (1999-42) – 4 ex. (CMNC); même localité, 7-9.ii.1999, F. Génier (1999-44) – 6 ex. (CMNC); même localité, 7-9.ii.1999, F. Génier (1999-45) – 6 ex. (CMNC); même localité, 7-9.ii.1999, F. Génier (1999-46) – 2 ex. (CMNC); même localité, 7-9.ii.1999, F. Génier (1999-47) – 3 ex. (CMNC); même localité, 9-13.ii.1999, F. Génier (1999-71) – 1 ♂, 9 ex. (CMNC); même localité, 9-13.ii.1999, F. Génier (1999-68) – 2 ex. (CMNC); même localité, 9-13.ii.1999, F. Génier (1999-69) – 2 ex. (CMNC); même localité, 9-13.ii.1999, F. Génier (1999-70) – 2 ex. (CMNC); même localité, 9-13.ii.1999, F. Génier (1999-72) – 8 ex. (CMNC); même localité, 9-13.ii.1999, F. Génier (1999-73) – 2 ex. (CMNC); même localité, 9-13.ii.1999, F. Génier (1999-74) – 3 ex. (CMNC); même localité, 9-13.ii.1999, F. Génier (1999-75) – 1 ex. (CMNC); Region Chapare, 400 m (16°30'S, 65°30'O), 12.viii.1956, Zischka – 1 ex. (MHNG); même localité, 2.vi.1957, Zischka – 1 ex. (MHNG); Villa Tunari, Hotel El Puente, 357 m (16°59.02'S, 65°24.5'O), 15-27.xii.2005, S. & J. Peck (2005-45) – 1 ex. (CMNC); Provincia Chapare, Alto Palmar, 1100 m (17°5'10"S, 65°30'3"O), ii.1971, F. Steinbach – 1 ex. (WDEC); Cristal Mayu, 600 m (17°5.76'S, 65°46.1'O), xi.1975, [anonyme] – 1 ex. (CMNC); même localité, ii.1971, F. Steinbach – 12 ex. (CMNH); même localité, iii.1970, F. Steinbach – 4 ex. (WDEC); Locotal, Yungas del Palmar, 1200 m (17°10'46"S, 65°47'59"O), xi.1953, Martínez – 1 ex. (CMNC); Villa Tunari, (16°58'48"S, 65°25'43"O),

xii.1985, Martínez – 2 ex. (CMNC); même localité, xi.1992, Arriagada – 3 ex. (CMNC); EL BENI, Est. San Lorenzo, San Ramón, 140 m (13°25'36"S, 64°26'6"O), 11.x.2003, A.C. Hamel & K. Walker – 3 ex. (OUMNH); même localité, 12.x.2003, A.C. Hamel & K. Walker – 4 ex. (OUMNH); même localité, 13.x.2003, A.C. Hamel & K. Walker – 6 ex. (OUMNH); Estación Biológica del Beni, Bosque El Trapiche, 195 m (14°52'10"S, 66°19'58"O), 6-11.xi.1997, A. Lopera & S. Amezquita – 1 ex. (AFIC); Guanay, (12°31'17"S, 66°49'39"O), xi.1992, L. Peña – 2 ex. (CMNC); Lago Rogagua, Rosario, 25.x.-9.xi.1921, W.M. Mann – 2 ex. (USNM); Palm Camp at Río Cururaba, Estación Biológica Beni, 40 km E San Borja, (14°40'S, 66°16'O), 9-15.ix.1987, W.E. Steiner – 3 ex. (USNM); San Ramón, Santa Ana de Huarasca, 150 m (13°17'23"S, 64°30'56.5"O), 17.x.2003, A.C. Hamel & K. Walker – 1 ex. (OUMNH); même localité, 18.x.2003, A.C. Hamel & K. Walker – 1 ex. (OUMNH); même localité, 19.x.2003, A.C. Hamel & K. Walker – 13 ex. (OUMNH); LA PAZ, 9.4 km E Chulumani, Apa-Apa, 2100 m (16°20.99'S, 67°30.3'O), 17.i.2001, R. Anderson (2001-01) – 1 ex. (CMNC); Alto Palmar, (15°31'S, 68°24'O), ii.1970, F. Steinbach – 1 ex. (CMNH); Calisaya, Río Bopi, [sans date], G.L. Harrington – 1 ex. (USNM); Coroico, 1800 m (16°11'20"S, 67°43'11"O), iv.1981, P. & L. Arnaud – 1 ex. (PAIC); Ixiamas, (13°46'38"S, 68°8'7"O), xii, W.M. Mann – 1 ex. (USNM); Río Bopi, (16°28'S, 67°20'O), v.1925, G.L. Harrington – 4 ex. (USNM); San Miguel de Huachi, (15°40'29"S, 67°15'6"O), ix, W.M. Mann – 8 ex. (USNM); Provincia Murillo, Valle del Río Zongo, 30.5 km below (N) of Lago Zongo, 220 m, 16.xii.1982, J.C. Solomon – 1 ex. (USNM); Provincia Nor Yungas, Incaihuan, 1500 m, i.1992, P. Arnaud – 1 ex. (CMNC); Pte. Llolosa, i.1949, Martínez – 2 ex. (CMNC); PANDO, 2.0 km SW Fortaleza del Abuna, 120 m (9°47'S, 65°30'O), 13.ii.1996, F. Guerra – 15 ex. (USNM); 2.5 km SW Fortaleza del Abuna, 120 m (9°47'S, 65°30'O), 16.ii.1996, F. Guerra – 2 ex. (USNM); 20 km SW Villa Bella, 120 m (10°22'S, 65°22'O), 24.ii.1996, F. Guerra – 8 ex. (USNM); near Guayamerin, 120 m (11°50'S, 65°22'O), 27.ii.1996, F. Guerra – 2 ex. (USNM); nnear Villa Bella, 120 m (10°22'S, 65°22'O), 24.ii.1996, F. Guerra – 3 ex. (USNM); même localité, 25.ii.1996, F. Guerra – 7 ex. (USNM); même localité, 25.ii.1996, F. Guerra – 23 ex. (USNM); Río Negro, 120 m (9°52'S, 65°42'O), 17.ii.1996, F. Guerra – 3 ex. (USNM); SANTA CRUZ, Amboro National Park, Los Volcanes, 1000 m (18°6'S, 63°36'O), 20.xi.-12.xii.2004, M.V.L. Barclay & H. Mendel – 10 ex. (BMNH); Andrés Ibañas, Villa Fatima, 5.x.1992, P.J.M. – 1 ex. (ABTS); Andrés Ibañez, km 12 Carratera Cochabamba, 20.ix.1994, E. Olivera – 1 ex. (ABTS); Charagua, Taremikua, 1100 m (20°14'44"S, 63°11'28"O), 11.iv.2004, A.C. Hamel L. – 4 ex. (OUMNH); Florida, near Samaipata, 1730 m (18°8'24"S, 63°48'6"O), 19.xi.2006, W.D. Edmonds & P. Reyes – 1 ex. (WDEC); Hotel Flora y Fauna, 3.7 km SSE Buena Vista, 430 m, 2-13.iii.2000, J. Wappes – 5 ex. (FSCA); même localité, 14-19.x.2000, M.C. Thomas – 16 ex. (FSCA); Hotel Flora y Fauna, 4-6 km SSE

Buena Vista, 420-450 m, 2-12.ii.2000, J.E. Wappes – 5 ex. (FSCA); Hotel Flora y Fauna, 5 km SSE Buena Vista, 440 m (17°29.925'S, 63°39.128'O), 15-24.xii.2003, S. & J. Peck (2003-131) – 1 ex. (CMNC); Jardín Botánico de Santa Cruz de la Sierra, 400 m (17°47'2"S, 63°3'47"O), 7-8.xi.2006, W.D. Edmonds – 25 ex. (WDEC); Los Volcanes, 1060 m (18°6'19"S, 63°35'49"O), 6.ii.2003, A.C. Hamel L. & S.K. Herzog – 6 ex. (OUMNH); même localité, 7.ii.2003, A.C. Hamel L. & S.K. Herzog – 10 ex. (OUMNH); même localité, 8.ii.2003, A.C. Hamel L. & S.K. Herzog – 1 ex. (OUMNH); même localité, 22.iv.2003, A.C. Hamel L. & M.S. Cristobal – 1 ex. (OUMNH); même localité, 23.iv.2003, A.C. Hamel L. & M.S. Cristobal – 5 ex. (OUMNH); même localité, 24.iv.2003, A.C. Hamel L. & S.K. Herzog – 4 ♂♂ (OUMNH); même localité, 24.iv.2003, A.C. Hamel L. & M.S. Cristobal – 10 ex. (OUMNH); même localité, 25.iv.2003, A.C. Hamel L. & S.K. Herzog – 1 ex. (OUMNH); même localité, 30.iv.2003, A.C. Hamel L. & M.S. Cristobal – 1 ex. (OUMNH); même localité, 27.vii.2003, A.C. Hamel L. & M.S. Cristobal – 1 ex. (OUMNH); même localité, 14.viii.2003, A.C. Hamel L. & S.K. Herzog – 3 ex. (OUMNH); même localité, 2.xi.2003, A.C. Hamel L. & S.K. Herzog – 1 ex. (OUMNH); même localité, 3.xi.2003, A.C. Hamel L. & S.K. Herzog – 1 ex. (OUMNH); même localité, 9.xi.2003, A.C. Hamel L. & S.K. Herzog – 3 ex. (OUMNH); même localité, 25.xi.2003, M.S. Cristobal & D. Aguirre T. – 2 ex. (OUMNH); Los Volcanes, Sacta I., (18°6'10"S, 63°36'0"O), 1.ii.2003, A.C. Hamel L. – 2 ex. (OUMNH); Los Volcanes, Sacta II., (18°6'10"S, 63°36'0"O), 1.ii.2003, A.C. Hamel L. – 1 ex. (OUMNH); Pampa Grande, 1233 m (18°7'41"S, 64°4'35"O), 22.x.1997, A. Lopera & S. Amezquita – 1 ex. (AFIC); Potrerillos de Guenda, (17°40'49"S, 63°27'36"O), 4-7.iv.1998, H. & A. Howden – 2 ex. (CMNC); Río Yapacani, [sans date], J. Steinbach – 2 ex. (CMNH); Rurrenabaque, Río Beni, (14°28'S, 67°34'O), x[1921-1922], W.M. Mann – 1 ex. (USNM); Saavadra, CIMCA [= Centro Integral de Manejo del Comportamiento Animal?], 9.ix.1988, C.J. Pruett – 2 ex. (ABTS); San Pedro, (17°57'S, 58°35'O), 12.ix.1987, C.J. Pruett – 1 ex. (ABTS); Provincia Andrés Ibáñez, Alto Surupe, ii.1961, Martínez – 1 ex. (CMNC); El Espejo, ii.1961, Martínez – 1 ex. (CMNC); Provincia del Sara, Buena Vista, (17°27'28"S, 63°39'12"O), [sans date], Steinbach – 3 ex. (CMNH); Provincia Ichilo, 3-5 km SSE Buena Vista, 440 m (17°29'56"S, 63°39'13"O), 5-12.ii.2000, W.B. Warner – 3 ex. (WBWC); Buena Vista, 350 m (17°27'36"S, 63°39'38"O), ii.1950, Martínez – 10 ex. (CMNC); même localité, ii.1969, F. Steinbach – 10 ex. (WDEC); **BRÉSIL** : ACRE, Cruzeiro do Sul, (7°38'43"S, 72°39'47"O), i-ii.1988, [anonyme] – 1 ex. (CMNC); AMAPÁ, Serra do Navio, (0°53'31"N, 52°0'10"O), ix.1957, P. Pereira – 3 ex. (CMNC); AMAZONAS, 60 km N Manaus on ZF3, km 23, (2°23'S, 60°2'O), 9-12.vi.1980, B.C. Ratcliffe – 3 ex. (BCRC, UNSM); 90 km N Manaus, (2°14'40"S, 60°2'0"O), xi.1997, E. Andresen – 3 ex. (FVMC); Borba, Rio Madeira, (4°25'18"S, 59°35'37"O), xi.1943, Parko – 2 ex. (CMNC); Fazenda Di-

mona, 70 km N manaus, (2°19'S, 60°5'O), 19.vi.1986, B. Klein – 1 ex. (FSCA); Fazenda Esteio, 70 km N Manaus, (2°24'S, 59°52'O), 31.v.1986, B. Klein – 1 ex. (FSCA); même localité, 7.vi.1986, B. Klein – 2 ex. (FSCA); même localité, 10. vi.1986, B. Klein – 1 ex. (FSCA); Fazenda Esteio, Rd. ZF3 Km 23, (2°24'S, 59°52'O), 4.vii.1985, B. Klein – 3 ex. (FSCA); même localité, 6.vii.1985, B. Klein – 1 ex. (FSCA); même localité, 7.vii.1985, B. Klein – 1 ex. (FSCA); même localité, 8.vii.1985, B. Klein – 1 ex. (FSCA); même localité, 19.vii.1985, B. Klein – 1 ex. (FSCA); Hyutanahã, Rio Purus, (7°40'S, 65°46'O), ii.1922, S.M. Klages – 2 ex. (CMNH); même localité, iii.1922, S.M. Klages – 1 ex. (CMNH); Manaus, (3°6'48"S, 60°1'31"O), 6.xii.1977, B.C. Ratcliffe – 1 ex. (UNSM); Nova Olinda, Rio Purus, (5°34'57"S, 64°20'11"O), vi.1922, S.M. Klages – 1 ex. (CMNH); Reserva Florestal Adolpho Ducke, 26 km NE Manaus, 80 m (2°57'S, 59°57'O), 4-12.iii.1966, W.D. Edmonds – 1 ex. (WDEC); même localité, 6.xii.1977, B.C. Ratcliffe – 1 ex. (UNSM); même localité, 28.iii.1978, B.C. Ratcliffe – 1 ex. (UNSM); même localité, 4.iv.1978, B.C. Ratcliffe – 1 ex. (UNSM); même localité, 2.v.1978, B.C. Ratcliffe – 1 ex. (UNSM); même localité, 30.v.1978, B.C. Ratcliffe – 1 ex. (UNSM); même localité, 27.vi.1978, B.C. Ratcliffe – 1 ex. (UNSM); même localité, 1.viii.1978, B.C. Ratcliffe – 1 ex. (UNSM); Rio Javari, Estado do ÉQUATEUR, x.1979, M. Alvarenga – 2 ex. (CMNC); Rio Negro, iv.1982, [anonyme] – 1 ex. (PAIC); DISTRITO FEDERAL, Parque Nacional de Brasília, 1100 m (15°39'49"S, 47°59'55"O), 3. iii.1970, J.M. & B.A. Campbell – 1 ex. (CNC); même localité, 9.iii.1970, J.M. & B.A. Campbell – 1 ex. (CNC); ESPIRITO SANTO, Fazenda Lagoa do Macuco, Municipio Linhares, 10 m (19°3'50"S, 39°58'43"O), 25.i.2000, F. Génier & S. Ide (2000-25) – 14 ex. (CMNC); même localité, 25.i.2000, F. Génier & S. Ide (2000-26) – 3 ex. (CMNC); même localité, 27.i.2000, F. Génier & S. Ide (2000-35) – 1 ex. (CMNC); même localité, 27.i.2000, F. Génier & S. Ide (2000-37) – 10 ex. (CMNC); même localité, 27.i.2000, F. Génier & S. Ide (2000-38) – 8 ex. (CMNC); même localité, 27.i.2000, F. Génier & S. Ide (2000-43) – 1 ex. (CMNC); même localité, 28.i.2000, F. Génier & S. Ide (2000-53) – 4 ex. (CMNC); Reserva Biológica de Sooretama, Linhares, (19°1'18"S, 40°7'26"O), x.1962, Martínez – 1 ex. (CMNC); MATO GROSSO, 13.4 km S Posto do Gil, 240 m (14°37'55"S, 56°16'23"O), 11.i.2001, Génier & Vaz de Mello (2001-17) – 1 ♂, 2 ex. (CMNC); même localité, 13.i.2001, Génier & Vaz de Mello (2001-29) – 11 ex. (CMNC); 20.2 km S Posto do Gil on BR-364, Municipio Diamantino, 180 m (14°40'58"S, 56°17'57"O), 11.i.2001, Génier & Vaz de Mello (2001-11) – 2 ex. (CMNC); même localité, 11.i.2001, Génier & Vaz de Mello (2001-12) – 1 ex. (CMNC); même localité, 11.i.2001, Génier & Vaz de Mello (2001-13) – 4 ex. (CMNC); même localité, 11.i.2001, Génier & Vaz de Mello (2001-14) – 2 ex. (CMNC); même localité, 13.i.2001, Génier & Vaz de Mello (2001-26) – 7 ex. (CMNC); même localité, 13.i.2001, Génier & Vaz de Mello (2001-27) – 5 ex. (CMNC); 25 km N Posto do Gil on BR-163, Municipio

Diamantino, 500 m (14°22'29"S, 56°7'28"O), 13.i.2001, Génier & Vaz de Mello (2001-57) – 2 ex. (CMNC); Chapada dos Guimarães, (15°26'54"S, 55°45'49"O), vii, [anonyme] – 1 ex. (CMNH); même localité, x, [anonyme] – 1 ex. (CMNH); Fazenda São João, Municipio Diamantino, 400 m (14°14'10"S, 56°8'11"O), 11.i.2001, Génier & Vaz de Mello (2001-04A) – 1 ex. (CMNC); même localité, 13.i.2001, Génier & Vaz de Mello (2001-45) – 1 ♂, 3 ex. (CMNC); même localité, 13.i.2001, Génier & Vaz de Mello (2001-37) – 2 ex. (CMNC); même localité, 13.i.2001, Génier & Vaz de Mello (2001-46) – 5 ex. (CMNC); Reserva Humboldt, (10°11'S, 59°48'O), 16-22.iii.1977, B.C. Ratcliffe – 1 ex. (BCRC); Santo Antônio do Leverger, (15°51'48"S, 56°4'19"O), xii.1965, W.D. Edmonds – 3 ex. (WDEC); même localité, xii.1965, W.D. Edmonds – 1 ex. (WDEC); MATO GROSSO DO SUL, Pôrto Alegre, (30°3'1"S, 51°10'38"O), xii.1957, Chassot – 2 ex. (MHNG); MINAS GERAIS, Águas Vermelhas, (15°44'51"S, 41°27'39"O), xii.1983, M. Alvarenga – 7 ex. (CMNH); Fazenda Pontinha, Cordisburgo, 700 m (19°8'53"S, 44°12'1"O), xii.1993, F. Z. Vaz de Mello – 2 ex. (CMNC); même localité, vii.1994, F. Z. Vaz de Mello – 1 ex. (FVMC); Grutas de Maquine, Cordisburgo, (19°7'30"S, 44°21'8"O), 19-21.i.1979, R.E. Woodruff – 3 ex. (FSCA); Municipio Santana do Riacho, P.N. Serra do Cipó, 780 m (19°20'58"S, 43°37'8"O), 21.i.2001, Vaz de Mello & Génier (2001-72) – 1 ex. (CMNC); PARÁ, Altamira, (3°11'51"S, 52°13'38"O), v.1985, Dégallier – 3 ex. (PAIC); Carajás, Serra Norte, (2°57'S, 51°52'O), 2.xii.1987, N. Dégallier – 7 ex. (PAIC); IPEAN [=Instituto de Pesquisas e Experimentação Agropecuárias do Norte], Belem, (1°26'32"S, 48°25'59"O), v.1985, [anonyme] – 2 ex. (PAIC); même localité, 17.iii.1970, J.M. & B.A. Campbell – 1 ex. (CNC); même localité, 21.iii.1970, J.M. & B.A. Campbell – 4 ex. (CNC); Jari Cellulose Area 56, 100 m (0°42'S, 52°40'O), iii-iv.2005, T.A. Gardner & M.I.M. Hernández – 1 ex. (WDEC); Santarém, (2°27'10"S, 54°43'9"O), [sans date], [anonyme] – 7 ex. (CMNH); Serra dos Carajás, (5°59'S, 50°22'O), ii.1988, Roppa & Magno – 22 ex. (MNRJ); Tucuruí, (3°46'26"S, 49°41'19"O), i.1979, Alvarenga – 1 ex. (CMNC); même localité, iv.1988, Dégallier – 4 ex. (PAIC); même localité, 22-28.x.1983, [anonyme] – 1 ex. (PAIC); même localité, 1-15.x.1987, N. Dégallier – 3 ex. (PAIC); Tucuruí, Rio Tocantins, (3°48'25"S, 49°39'25"O), viii.1984, N. Dégallier – 6 ex. (PAIC); Utinga – Água Preta, Belém, (1°25'45"S, 48°25'29"O), 25.i.-25.ii.1966, W.D. Edmonds – 8 ex. (WDEC); PARANÁ, Foz do Iguazu, (25°38'4"S, 54°26'49"O), xi.1983, C. Godinho – 1 ex. (FVMC); Mata Godoy, Londrina, (23°27'S, 51°15'O), 17.i.1985, J. Lopes – 2 ex. (UNSM); même localité, 15.iv.1985, J. Lopes – 7 ex. (UNSM); même localité, 28-31.i.1990, S.A. Marshall – 3 ex. (CMNC); PERNAMBUCO, Caruaru, (8°16'53"S, 35°58'24"O), iv.1972, M. Alvarenga – 3 ex. (FSCA, FVMC); RIO DE JANEIRO, Rio de Janeiro, (22°57'S, 43°13'O), x, [anonyme] – 1 ex. (CMNH); même localité, [sans date], [anonyme] – 1 ex. (CMNH); RIO GRANDE DO SUL, Santo Augusto, (27°51'5"S, 53°46'38"O),

i.1969, O. Roppa – 1 ex. (CMNH); Sobradinho, (29°25'S, 53°1'O), 5.ii.1948, J. Becker – 1 ex. (CMNC); RONDÔNIA, Fazenda Rancho Grande, 62 km S Ariquemes, (10°18'28"S, 62°52'26"O), 11-22.xi.1991, B.C. Ratcliffe – 18 ex. (BCRC, UNSM); Fazenda Rancho Grande, 7 km NE Cacaulândia, (10°18'28"S, 62°52'26"O), 6-15.xii.1990, G.B. Edwards – 1 ex. (FSCA); near Fazenda Rancho Grande, 62 km SW Ariquemes, (10°32'S, 62°48'O), 8-20.xi.1994, J.E. Eger – 45 ex. (FSCA); même localité, 3-15.xii.1996, J.E. Eger – 12 ex. (FSCA); même localité, 20-31.x.1997, B.K. Dozier – 4 ex. (FSCA); même localité, 1-17.xi.1997, B.K. Dozier – 24 ex. (FSCA); même localité, 4-16.xi.1997, J.E. Eger – 57 ex. (FSCA); Pôrto Velho, Rio Madeira, (8°46'S, 63°54'O), [sans date], Mann & Baker – 1 ex. (USNM); Rio Madeira, Madeira-Mamore R. R. Co. Camp 41, (10°11'S, 65°17'O), [sans date], Mann & Baker – 2 ex. (USNM); RORAIMA, Ilha de Maracá, (3°25'N, 61°40'O), ix.1996, Ribeiro & Vaz-de-Mello – 1 ex. (FVMC); SÃO PAULO, Estação Biológica de Boracéia, Salesópolis, (23°38'55"S, 45°52'20"O), 17-26.xii.1969, J.M. & B.A. Campbell – 1 ex. (CNC); Fazenda Campininas, Mogi Guaçu, (22°22'22"S, 46°55'5"O), 1-8.i.1970, J.M. & B.A. Campbell – 22 ex. (CNC); Fazenda Rhodia, Paulínia, (22°45'S, 47°9'O), xii.1991, P. & L. Arnaud – 2 ex. (PAIC); [sans localité], [sans date], Hammar – 1 ex. (USNM); **COLOMBIE** : même localité, [sans date], [anonyme] – 1 ex. (CMNH); AMAZONAS, Leticia, 215 m (4°11'20"S, 69°56'9"O), 11.vii.1970, H. & A. Howden – 1 ex. (CMNC); même localité, 20-25.ii.1972, Peck & Howden – 13 ex. (CMNC, ROME); même localité, 23.ii.-1.iii.1974, B.C. Ratcliffe – 3 ex. (BCRC, UNSM); même localité, 23.ii.-2.iii.1974, Howden & Nealis – 1 ex. (CMNH); même localité, 23.ii.-2.iii.1974, J.D. Glaser – 4 ex. (CMNH); même localité, 23.ii.-2.iii.1974, S. Peck – 5 ex. (CNC); Los Alpes, Leticia, 213 m (4°4'25"S, 70°0'5"O), 23.ii.-2.iii.1974, S. Peck – 13 ex. (CMNC, ROME); Road End, Leticia, 213 m (4°4'9"S, 69°59'56"O), 23.ii.-2.iii.1974, S. Peck – 4 ex. (CMNC); CAQUETÁ, PNN Picachos, 2200 m (2°47'51"N, 74°51'18"O), xi-xii.1997, F. Escobar – 1 ex. (CMNC); Puerto Solano, PNN La Serranía de Chiribiquete, Río Sararamano, 250 m (0°10'2"N, 72°36'35"O), 8.iv.2000, E. González (M.94) – 1 ex. (IAVH); San Vincente del Caguan PNN Picachos IP Guayabal Alto del río Pato Fca. Andalucia, 1250 m (2°47'51"N, 74°51'18"O), xi-xii.1997, F. Escobar – 1 ex. (IAVH); CUNDINAMARCA, Miralindo, Medina, 1500 m (4°35'33"N, 73°23'17"O), ii-iii.1997, F. Escobar – 1 ex. (CMNC); même localité, ii-iii.1997, F. Escobar – 1 ex. (IAVH); GUAVIARE, C. Cocuy. C. Moyano, 200 m (2°10'2.4"N, 71°10'54.1"O), ii.1996, F. Escobar – 1 ex. (IAVH); même localité, 30-31.i.1996, F. Escobar – 1 ex. (IAVH); Finca La Esmeralda, San José del Guaviare, (2°33'N, 72°38'O), 12.vii.2003, J. Herrera – 1 ex. (WDEC); META, 16 km E Villavicencio, (4°7'14"N, 73°29'30"O), 2-4.iii.1972, S. Peck – 8 ex. (CMNC); 30 km E Villavicencio, (4°4'43"N, 73°22'23"O), 1-4.iii.1972, S. & J. Peck – 19 ex. (CMNC, ROME); 33 km E Villavicencio, (4°5'37"N, 73°21'12"O), 2-4.iii.1972, S. & J. Peck – 21 ex. (CMNC, CMNH,

ROME); Finca El Naranjal, via Puerto COLOMBIE, Villavicencio, 150 m (4°2'31"N, 75°38'15"O), iii.1998, A. Camacho – 1 ex. (IAVH); Quebrada Susamuco, 23 km W Villavicencio, 1000 m (4°12'4"N, 73°47'40"W), 3-5.iii.1972, S. & J. Peck – 1 ♂, 21 ex. (CMNC, ROME); Villavicencio, (4°9'38"N, 73°39'43"W), 28.ii.-5.iii.1972, S. & J. Peck – 4 ex. (CMNC); même localité, 29.ii.-5.iii.1972, S. & J. Peck – 15 ex. (CMNC, CMNH, ROME); NORTE DE SANTANDER, 3 km N Chinácota, 1000 m (7°38'8"N, 72°35'23"W), 10.v.1974, S. Peck – 48 ex. (CMNC, ROME); même localité, 14.v.1974, S. Peck – 13 ex. (CMNC, ROME); Quebrada Honda, 30 km S Cucuta, 700 m (7°37'56"N, 72°37'51"O), 13.v.1974, S. Peck – 7 ex. (CMNC, ROME); même localité, 15.v.1974, S. Peck – 3 ex. (CMNC); Toledo PNN Tamá IP Santa María Alto de Herrera Vda. Diamante Finca La Primavera, 1000 m (7°7'N, 72°13'O), 22.ix.1999, E. González – 1 ex. (IAVH); **COSTA RICA** : CARTAGO, Centro Agronómico Tropical de Investigación Enseñanza [=CATIE], Turrialba, 600 m (9°53'28"N, 83°38'50"O), 19-21.v.1979, H. & A. Howden – 1 ex. (CMNC); Turrialba, (9°54'4"N, 83°41'4"O), ix.1928, Schildles – 1 ex. (USNM); même localité, 26.ii.1980, H. & A. Howden – 1 ex. (CMNC); même localité, 28.ii.1980, H. & A. Howden – 9 ex. (CMNC, ROME); GUANACASTE, Estación Biológica Maritza, 550 m (10°57'30"N, 85°29'47"O), 22.v.1993, J. & A. Ashe (1993-36) – 4 ex. (CMNC, MLJC); Estación Biológica Maritza, Parque Nacional Guanacaste, 500 m (10°58'N, 85°30'O), 3.v.1995, M.L. Jameson – 1 ex. (UNSM); HEREDIA, 10 km O Puerto Viejo, 170 m (10°31'20"N, 84°16'26"O), 2-5.iii.1991, H. & A. Howden – 1 ex. (CMNC); La Selva, 80 m (10°26'N, 84°1'O), 19.v.1993, J.S. & A.K. Ashe – 1 ex. (CMNC); La Selva, near Puerto Viejo, 50 m (10°26'N, 84°1'O), 18.ii.1980, H. & A. Howden – 1 ex. (CMNC); même localité, 19.ii.1980, H. & A. Howden – 5 ex. (CMNC, ROME); LIMÓN, Bananito, Limón, (9°52'57"N, 82°59'25"O), i.1925, T. Vaglio – 1 ex. (USNM); Hamburgfarm, Reventazon, Ebene Limon, 15 m (10°15'N, 83°28'O), 22.ix.1935, F. Nevermann – 1 ex. (USNM); Valle de la Estrella, Pandora, (9°44'N, 82°58'O), 17-20.ii.1984, H. & A. Howden – 5 ex. (CMNC, ROME); même localité, 19.ii.1984, H. & A. Howden – 5 ex. (CMNC); même localité, 20.ii.1984, H. & A. Howden – 5 ex. (CMNC); PUNTARENAS, 5 km O Rincón, 15 m (8°41'46"N, 83°30'37"O), 7.iii.1968, B. Cornaby – 1 ex. (USNM); Fundación Neotrópica, Península de Osa, 180 m (8°42'30"N, 83°31'30"O), 23.vi.1997, R.S. Anderson (1997-30) – 2 ex. (CMNC); même localité, 23.vi.1997, R.S. Anderson (1997-31) – 2 ex. (CMNC); même localité, 24.vi.1997, R.S. Anderson (1997-32) – 4 ex. (CMNC); Gulfo Dulce, Río Sándalo, 21.viii.1936, Eadge – 1 ex. (USNM); Parque Nacional Manuel Antonio, (9°23'24"N, 84°8'23"O), 8-14.xii.1987, Génier & Bertrand – 1 ex. (CMNC); Rincón de Osa, (8°41'37"N, 83°28'21"O), 10-15.viii.1966, S. Peck – 10 ex. (CMNC, CNC); même localité, 22-26.vi.2001, S. & J. Peck (2001-13) – 3 ex. (CMNC); même localité, 22-26.vi.2001, S. & J. Peck (2001-14) – 1 ex. (CMNC); SAN JOSE, 2 km

S Colón, 1100 m (10°17'22"N, 84°25'46"O), 1-16.ii.1984, H. & A. Howden – 2 ex. (CMNC); **ÉQUATEUR** : ESMERALDAS, Bilsa, (0°20'S, 79°43'O), 10.v.1996-5. vi.1997, P. Hibbs (1996-10) – 1 ex. (SEMC); même localité, 10.v.-5.vi.1996, P. Hibbs (1996-16) – 12 ex. (SEMC); Estación Forestal La Chiquita, 11 km SE San Lorenzo, 5 m (1°10'N, 78°47'O), 6-11.vi.1975, S. Peck – 15 ex. (CMNC, ROME, UNSM, USNM, WBWC); Pote, Playa de Oro, (0°51'N, 78°44'O), 13.x.2000, T. Ghia – 1 ex. (CMNC); GUAYAS, 27 km S Puerto Lopez, 76 km N Santa Elena, 152 m (1°45'49"S, 80°45'18"O), 25-27.vii.1976, S. Peck – 1 ex. (CMNC); LOJA, Loja/Zamora, 1400 m, ii.1987, [anonyme] – 4 ex. (PAIC); LOS RÍOS, 47 km S Santo Domingo, 213 m (0°35'S, 79°22'O), 22-28.ii.1976, J.D. Glaser – 2 ex. (CMNH); même localité, 24.ii.1976, HFH &VGN – 1 ex. (CMNC); même localité, 25.ii.1976, HFH &VGN – 1 ex. (CMNC); Estación Científica Río Palenque, 150-220 m (0°35'S, 79°22'O), vi.1996, N. Pitman & M. Bass – 3 ex. (USNM); Estación Científica Río Palenque, 47 km S Santo Domingo, 250 m (0°37'48"S, 79°24'26"O), 19-25.v.1975, S. Peck – 10 ex. (CMNC, ROME); même localité, 25-30.v.1975, S. & J. Peck – 3 ex. (CNC); même localité, 28-31.vii.1976, S. Peck – 3 ex. (CMNC); même localité, 18-21.ii.1979, L. Ling – 1 ex. (CMNC); même localité, 21-22.ii.1979, L. Ling – 1 ex. (ROME); même localité, 22-23.ii.1979, L. Ling – 1 ex. (CMNC); même localité, 23.ii.1979, L. Ling – 1 ex. (ROME); même localité, 27.ii.1979, S.A. Marshall – 1 ex. (CMNC); Estación Experimental Tropical Pichilingue, Quevedo, (1°0'13"S, 79°27'50"O), viii.1972, Martínez – 2 ex. (CMNC); même localité, ix.1972, Martínez – 1 ex. (CMNC); même localité, v.1976, Martínez – 5 ex. (CMNC); même localité, iv.1976, Martínez – 2 ex. (WDEC); MANABÍ, 78 km NE Chone, 85 km WSW Santo Domingo, 450 m (0°20'46"S, 79°42'20"O), 9-12. vi.1976, S. Peck – 1 ex. (CMNC); 90 km WSW Santo Domingo, 73 km NE Chone, 300 m (0°20'52"S, 79°44'22"O), 6-9.vi.1976, S. Peck – 1 ex. (CMNC); MORONA-SANTIAGO, Bosque Domono, 1650 m (2°18'41"S, 78°6'59"O), 22.viii.1997, C. Carpio – 1 ex. (QCAZ); Untsuants sitio 1, 700 m (2°32'59"S, 77°54'12"O), 7. xii.2001, J. Celi & J. Torres – 29 ex. (CMNC); Via Mendez-Paute Km 8, 1250 m, 20.viii.1997, C. Carpio – 1 ex. (QCAZ); même localité, 23.viii.1997, C. Carpio – 73 ex. (QCAZ); NAPO, 12 km WSW Tena, 600 m (1°3'46"S, 77°53'53"O), 8-11. vii.1976, S. Peck – 2 ex. (CMNC); 5 km O Tena, 500 m (0°58'9"S, 77°51'35"O), 6-9.vii.1976, S. Peck – 2 ex. (CMNC); Estación Biológica Jatun Sacha, 450 m (1°4'S, 77°37'O), 10-12.ii.1995, M. Bass & N. Pitman – 5 ex. (USNM); Estación Biológica Jatun Sacha, 21 km E Puerto Napo, 400 m (1°3'46"S, 77°36'37"O), 8.vii.1994, F. Génier – 22 ex. (CMNC); même localité, 8.vii.1994, F. Génier – 11 ex. (CMNC); même localité, 9.vii.1994, F. Génier – 7 ex. (CMNC); même localité, 11.vii.1994, F. Génier – 11 ex. (CMNC); même localité, 11.vii.1994, F. Génier – 9 ex. (CMNC); même localité, 13.vii.1994, F. Génier – 14 ex. (CMNC); même localité, 20.vii.1994, Levy & Génier – 1 ex. (CMNC); même localité, 21.vii.1994, F. Génier – 3 ex.

(CMNC); Hacienda Aragon, Sierra Azul, 2300 m (0°40'S, 77°55'0"O), 17.ii.-26. iii.1996, P. Hibbs (1996-09) – 4 ex. (SEMC); Km 11.1 Sarayacu-Loreto road, 1200 m (0°42'37"S, 77°43'10"O), 14.vii.1994, F. Génier – 4 ex. (CMNC); même localité, 20.vii.1994, F. Génier – 3 ex. (CMNC); Km 7.3 Sarayacu-Loreto road, 1200 m (0°43'2"S, 77°44'11"O), 11.vii.1994, F. Génier – 5 ex. (CMNC); même localité, 14.vii.1994, F. Génier – 2 ex. (CMNC); même localité, 20.vii.1994, F. Génier – 2 ex. (CMNC); Laguna Tarocoa, 244 m, vi.1980, C.M. Stevens – 1 ex. (FSCA); Río Aguarico, 150 m, 25.ix.1977, L. Peña – 7 ex. (CMNH); Río Jatun Yacu, Río Napo watershed, 4.iv.1937, W.C.MacIntyre – 2 ex. (USNM); Río Napo-Río Aguarico, 76-77°W, ix-x.1977, L. Peña – 1 ex. (PAIC); Scyasuni, 250 m, 7-14.ix.1997, F. Maza – 2 ex. (QCAZ); Tena, 400-500 m (0°59'21"S, 77°48'55"O), 15-21.ii.1986, F. Génier – 10 ex. (CMNC); même localité, 14.vii.1994, F. Génier – 2 ex. (CMNC); ORELLANA, Estación Biológica y Centro de Capacitación IAMOE, Rodrigo Borja, 4.vi.2000, A. Dávalos – 1 ex. (CMNC); Estación Científica Yasuní (PUCE), 250 m (0°40'16.7"S, 76°24'1.8"O), 3-6.iii.1995, M. Bass & N. Pitman – 15 ex. (USNM); même localité, 22-24.v.1995, M. Bass & N. Pitman – 5 ex. (USNM); même localité, 22-24.v.1995, M. Bass & N. Pitman – 9 ex. (USNM); même localité, 27.vii.-1. viii.1998, Ratcliffe, Jameson, Smith, Villatoro – 20 ex. (ABTS, BCRC, UNSM); même localité, 5-10.ix.1999, E.G. Riley – 32 ex. (TAMU); même localité, 9-17. ix.1999, D.G. Marqua – 22 ex. (DGMF); Estación de Biodiversidad Tiputini (USFQ), Parque Nacional Yasuní, 220 m (0°38'S, 76°9'O), ix.2000, D. Inward – 8 ex. (BMNH); même localité, 15-22.ii.1997, field course per D.C. Darling (ROM 971001) – 12 ex. (ROME); même localité, 14-19.ii.1998, field course per D.C. Darling (ROM 980005) – 1 ex. (ROME); même localité, 14-18.ii.1999, D.C. Darling (ROM 991051) – 1 ex. (ROME); Sendero Chorongo, Estación de Biodiversidad Tiputini (USFQ), Parque Nacional Yasuní, (0°38'15"S, 76°9'1"O), 24-30.vii.2000, P. Araujo &S. Enriques (2000-522) – 1 ex. (CMNC); Yuturi Lodge, (0°32'51"S, 76°2'28"O), 21.iii.1999, R. Brooks – 1 ex. (CMNC); PASTAZA, 1 km E Mera, 1100 m (1°27'12"S, 78°6'31"O), 13-17.vii.1976, S. Peck – 2 ex. (CMNC); Llandia, 17 km N Puyo, 1000 m (1°21'3"S, 77°58'4"O), 19.vii.1994, F. Génier – 5 ex. (CMNC); même localité, 20.vii.1994, F. Génier – 2 ex. (CMNC); Pandanuque, Villano, 420 m (1°29'7"S, 77°32'18"O), 1.v.1999, P. Araujo (1999-215) – 1 ex. (CMNC); Plataforma Villano, 9.vii.1996, J. Naranjo – 1 ex. (QCAZ); Villano, (1°29'7"S, 77°32'18"O), 3.vii.1996, J. Naranjo – 4 ex. (QCAZ); PICHINCHA, 113 km NW Quito on Puerto Quito road, 738-817 m, 25-29.viii.1976, J. Cohen – 2 ex. (CMNC); Estación Biológica Maquipucuna, 1600-1650 m (0°7'30"N, 78°37'36"O), 3-18.iv.1996, P. Hibbs (1996-12) – 3 ex. (SEMC); même localité, 18.iv.-5.v.1996, P. Hibbs (1996-13) – 1 ex. (SEMC); Tinalandia, 16 km SE Santo Domingo, 680 m (0°13'S, 79°9'O), 4.v.-25.vii.1985, S. & J. Peck – 14 ex. (CMNC); Tinalandia, Santo Domingo, (0°13'S, 79°9'O), 28-30.vi.1980, J.D. Glaser – 2 ex. (CMNH); SUCUM-

BÍOS, 2 km N Limoncocha, 250 m (0°23'17"S, 76°37'15"O), 22-28.vi.1976, S. Peck – 28 ex. (CMNC, ROME); Dureno, Río Aguarico, 150 m (0°2'40"N, 76°41'50"O), 23-30.ix.1977, L. Peña – 12 ex. (CMNC, ROME); même localité, 23-28.ix.1977, L. Peña – 8 ex. (CMNC); El Reventador, (0°2'48"S, 77°31'42"O), xii.1984, Voirin – 1 ex. (MHNG); La Selva Lodge, 150 km down Río Napo from Coca, (0°27'57"S, 75°20'31"O), 20-28.xii.1996, C.E. Gordon – 2 ex. (WBWC); Limoncocha, 250 m (0°24'38"S, 76°37'37"O), vii-viii.1972, P.L. Kazan – 3 ex. (CMNC, FSCA); même localité, 27.vi.1972, P.L. Kazan – 1 ex. (FSCA); même localité, 14.vii.1972, P.L. Kazan – 1 ex. (FSCA); même localité, 31.iii.1974, H.P. Stockwell – 2 ex. (CMNC, USNM); même localité, 10-15.iii.1975, J.M. Campbell – 5 ex. (CMNC); même localité, 11.iii.1976, J.M. Campbell – 49 ex. (CNC); même localité, 15.iii.1976, J.M. Campbell – 37 ex. (CNC); même localité, 18-25.v.1976, D.G. Young – 1 ex. (FSCA); même localité, 18-24.vi.1976, S. Peck – 48 ex. (CMNC, ROME); même localité, 21-28.vi.1976, S. Peck – 9 ex. (CMNC, ROME); même localité, 26-28.vi.1976, S. Peck – 4 ex. (CMNC, ROME); même localité, 5.vi.1977, W.E. Steiner – 4 ex. (USNM); même localité, 6.vi.1977, W.E. Steiner – 13 ex. (USNM); même localité, 7.vi.1977, W.E. Steiner – 7 ex. (USNM); même localité, 9.vi.1977, P.J. Spangler & D.R. Givens (108) – 17 ex. (BCRC, UNSM, USNM); même localité, 11.vi.1977, P.J. Spangler & D.R. Givens (113) – 2 ex. (USNM); même localité, 13.vi.1977, P.J. Spangler & D.R. Givens (120) – 20 ex. (UNSM, USNM); même localité, 15.vi.1977, P.J. Spangler & D.R. Givens (127) – 8 ex. (USNM); même localité, 16.vi.1977, W.E. Steiner – 1 ex. (USNM); même localité, 16.vi.1977, P.J. Spangler & D.R. Givens (130) – 6 ex. (USNM); Zábalo, 520 m, 18.xi.1996, M. Tobar – 1 ex. (QCAZ); TUNGARAHUA, 3 km O Río Negro, 1200 m (1°24'36"S, 78°14'29"O), 18.vii.1994, F. Génier – 1 ex. (CMNC); 8 km E Río Negro, 10 km O Pastaza [=Shell], 1400 m (1°26'40"S, 78°10'28"O), 13-17.vii.1976, S. Peck – 4 ex. (CMNC); ZAMORA-CHINCHIPE, Via Cumbaritza-Gualaquiza Km 1, 1100 m (3°59'2"S, 78°51'48"O), 26.viii.1997, C. Carpio – 9 ex. (QCAZ); Via Namirez-Zamora Km 1, 1000 m (3°57'47"S, 78°51'28"O), 25.viii.1997, C. Carpio – 2 ex. (QCAZ); Via Zumbi-Yantzaga Km 4, 900 m (3°51'56"S, 78°45'53"O), 25.viii.1997, C. Carpio – 6 ex. (QCAZ); même localité, 26.viii.1997, C. Carpio – 4 ex. (QCAZ); **GUATEMALA** : IZABAL, Gruta El Silvino, Cayuga, (15°32'12"N, 88°42'13"O), 20.viii.1969, S. & J. Peck – 1 ex. (CMNC); **GUYANA** : [sans localité], ix, [anonyme] – 2 ex. (CMNH); même localité, 17.vii.1925, [anonyme] – 1 ex. (CMNH); CUYUNI-MAZARUNI, Bartica District, (6°23'18"N, 58°37'49"O), 15.iv.1924, [anonyme] – 3 ex. (CMNH); même localité, 8.v.1924, [anonyme] – 1 ex. (CMNH); Kartabo, (6°16'57"N, 58°35'8"O), 23.vi, [anonyme] – 1 ex. (CMNH); Takutu Mountains, (6°15'N, 59°5'O), 3-10.xii.1983, P.J. Spangler & P.D. Perkins – 1 ex. (USNM); **GUYANE FRANÇAISE** : D-5, 4 km SE Tngmd Jct, 24-27.viii.1995, J.E. Wappes – 1 ex. (UNSM); même localité, 25-27.viii.1995,

J.E. Wappes – 1 ex. (UNSM); CAYENNE, 18.4 km SSE Roura, 240 m (4°36’38”N, 52°13’25”O), 25-29.v.1997, J. Ashe & R. Brooks (1997-81) – 1 ex. (CMNC); 27.4 km SSE Roura, 280 m (4°44’20”N, 52°13’25”O), 23-24.v.1997, J. Ashe & R. Brooks (1997-22) – 1 ex. (CMNC); même localité, 10.vi.1997, J. Ashe & R. Brooks (1997-177) – 15 ex. (CMNC); 39.4 km SSE Roura, 270 m (4°32’43”N, 52°8’26”O), 25-29.v.1997, J. Ashe & R. Brooks (1997-76) – 1 ex. (CMNC); même localité, 29.v.-10.vi.1997, J. Ashe & R. Brooks (1997-172) – 1 ex. (CMNC); 8.4 km SSE, Roura, 200 m (4°40’41”N, 52°13’25”O), 25-29.v.1997, J. Ashe & R. Brooks (1997-88) – 1 ex. (CMNC); même localité, 29.v.-10.vi.1997, J. Ashe & R. Brooks (1997-182) – 5 ex. (CMNC); Amazone Nature Lodge, 30 km SE Roura on Kaw Road, 300 m (4°33’34”N, 52°12’26”O), 3-10.vi.2005, J.E. Eger – 1 ex. (FSCA); même localité, 11-13.vi.2005, J.E. Eger – 1 ex. (FSCA); Barrage de Petit Saut, Commune de Sinnamary, (5°22’N, 52°57’O), 10.iii.1997, P. Cerdan & F. Lavalette – 5 ex. (CMNC); Cayenne, (4°54’3”N, 52°18’12”O), [sans date], [anonyme] – 3 ex. (CNC, USNM); même localité, [sans date], Banon – 1 ♂ (neotype) (ZMHB); Fourgassie, (4°37’N, 52°19’O), 12-18.iii.1996, I. Jeniš – 3 ex. (MHNG); Fourgassie, 15 km S Roura, (4°37’N, 52°19’O), 26.ii.-18.iii.1996, M. Jůza – 2 ex. (MHNG); La Chaumière, Cayenne, (4°52’N, 52°21’40”O), iv.1978, P. Arnaud – 4 ex. (CMNC); Mont Grand Matoury, (4°51’52”N, 52°20’58”O), 5-14.ix.1995, M. Kocian – 4 ex. (MHNG); Montagne Kaw, Fourgassié, (4°33’N, 52°10’O), 15.ix.-1.x.1995, N. Kocian – 1 ex. (MHNG); SAINT-LAURENT-DU-MARONI, along Rue de Belizon trail, 2.9 km NW Les Eaux Claires, 7 km N Saül, 220-240 m (3°39’46”N, 53°13’19”O), 31.v.-3.vi.1997, Ashe & Brooks (1997-122) – 1 ex. (CMNC); Les Eaux Claires, 7 km N Saül, 220 m (3°39’46”N, 53°13’19”O), 30.v.-4.vi.1997, J. Ashe & R. Brooks (1997-144) – 1 ex. (CMNC); même localité, 31.v.-3.vi.1997, J. Ashe & R. Brooks (1997-123) – 1 ex. (CMNC); même localité, 31.v.-3.vi.1997, J. Ashe & R. Brooks (1997-126) – 1 ex. (CMNC); Mont Galbao, Saül, 740 m (3°37’18”N, 53°16’42”O), 5-7.vi.1997, J. Ashe & R. Brooks (1997-154) – 1 ex. (CMNC); Mont La Fumée, 3 km NW Les Eaux Claires, 7 km N Saül, 490 m (3°39’46”N, 53°13’19”O), 1-8.vi.1997, J. Ashe & R. Brooks (1997-162) – 2 ex. (CMNC); Saint-Laurent-du-Maroni, (5°29’11”N, 54°0’29”O), v.1993, Merek & Seidl – 1 ex. (MHNG); Saül, (3°37’N, 53°12’O), 4-10.iii.1996, I. Jeniš – 3 ex. (MHNG); Wanaboo (near Nason), Marowjne river, 40 m (4°43’35”N, 54°26’36”O), 5.vi.1999, Z. Falin – 1 ex. (CMNC); **HONDURAS** : ATLÁNTIDA, 13 km O La Ceiba, 150 m (15°42’51”N, 86°58’18”O), vii.1996, R. Lehman – 2 ex. (TAMU); Jardín Botánico Lancetilla, Tela, 10-20 m (15°46’N, 87°37’O), 23.vi.1994, J. Ashe & R. Brooks – 1 ex. (CMNC); Roca, Jardín Botánico Lancetilla, Tela, 10-20 m (15°46’N, 87°37’O), 22.vi.1994, J. Ashe & R. Brooks (1994-191) – 1 ex. (CMNC); Tela, (15°46’29”N, 87°27’25”O), 2.v.1923, T.H. Hubbell – 3 ex. (USNM); même localité, 4.v.1923, T.H. Hubbell – 3 ex. (USNM); **MEXIQUE** : CHIAPAS, 7 mi. S Palenque, 335 m

(17°25'57"N, 91°56'5"O), 15.viii.1971, A. Newton (350) – 1 ex. (CMNH); Parque Laguna Belgica, (16°52'30"N, 93°27'0"O), 12.vi.1991, B. Ratcliffe, J. Ashe & M. Jameson – 1 ex. (UNSM); Parque Laguna Belgica, 12 mi. N Ocozocoautla, (16°52'30"N, 93°27'0"O), 14.vi.1989, B.C. Ratcliffe – 3 ex. (UNSM); Parque Laguna Belgica, 16 km NW Ocozocoautla, (16°52'30"N, 93°27'0"O), 7.vi.1989, H. Howden – 1 ex. (CMNC); même localité, 7-8.vi.1990, H. & A. Howden – 1 ex. (CMNC); Sitio arqueológico de Bonampak, 300 m (16°44'N, 91°5'O), 24.ix.1977, W.D. Edmonds – 4 ex. (WDEC); OAXACA, 12 mi. S Valle Nacional, 975 m (17°39'47"N, 96°19'55"O), 17-20.v.1971, S. Peck – 2 ex. (CMNC, ROME); 6 mi. S Valle Nacional, 610 m (17°43'14"N, 96°19'2"O), vii.1971, A. Newton (299) – 1 ex. (CMNC); même localité, 19-20.v.1971, S. Peck – 1 ♂, 9 ex. (CMNC, ROME); **NICARAGUA** : RÍO SAN JUAN, Refugio Bartola, 8 km SE El Castillo, 30 m (10°56.6'N, 84°20.4'O), 25-31.v.2002, S. Peck (2002-09) – 1 ex. (CMNC); **PANAMA** : COCLÉ, El Valle, (8°36'N, 80°8'O), 10-13.vi.1985, E. Riley & D. Rider – 3 ex. (EGRC); COLÓN, 14 km N jonction Escobal Road & Piña Road, 20 m, 2-13.vi.1996, J. Ashe & R. Brooks (1996-181) – 2 ex. (CMNC, SEMC); 15 km N jonction Escobal Road & Piña Road, 20 m, 2-11.vi.1996, J. Ashe & R. Brooks (1996-121) – 1 ex. (CMNC); Gamboa, (9°7'N, 79°42'O), 23-24.x.1975, O.P. Young – 1 ex. (USNM); Km 6.1 on Pipeline Road, (9°9'N, 79°43'O), 27-29.v.1995, J.S. & A.K. Ashe (1995-89) – 1 ex. (CMNC); Limbo Hunt Club, Pipeline Road, 17.v.1977, L.R. Davis Jr. – 1 ex. (FSCA); même localité, 26.v.1977, L.R. Davis Jr. – 2 ex. (FSCA); Río Trinidad, (9°1'N, 79°58'O), 9.v.1911, A. Busck – 1 ex. (USNM); DARIÉN, Estación Ambiental Cana, 550 m (7°45.32'N, 77°41.07'O), 3-7.vi.1996, J. Ashe & R. Brooks (1996-66) – 1 ex. (CMNC); même localité, 3-7.vi.1996, J. Ashe & R. Brooks (1996-65) – 5 ex. (SEMC); même localité, 4.vi.1996, R.S. Anderson (1996-104) – 7 ex. (CMNC); même localité, 5.vi.1996, R.S. Anderson (1996-107) – 5 ex. (CMNC); même localité, 5-7.vi.1996, R.S. Anderson (1996-110) – 3 ex. (CMNC); même localité, 5.vi.1996, J. Ashe & R. Brooks (1996-30) – 1 ex. (CMNC); même localité, 6.vi.1996, R.S. Anderson (1996-108) – 8 ex. (CMNC); même localité, 6.vi.1996, J. Ashe & R. Brooks (1996-63) – 1 ex. (CMNC); même localité, 7-10.vi.1996, R.S. Anderson (1996-116) – 1 ex. (CMNC); même localité, 7-10.vi.1996, R.S. Anderson (1996-117) – 6 ex. (CMNC); même localité, 7-9.vi.1996, J. & A. Ashe (1996-113) – 1 ex. (CMNC); même localité, 10.vi.1996, R.S. Anderson (1996-119) – 4 ex. (CMNC); PANAMÁ, Cerro Campana, 800 m (8°41'N, 79°55'O), 19.ix.1970, H.P. Stockwell – 1 ex. (USNM); même localité, 6.ix.1971, H.P. Stockwell – 1 ex. (USNM); même localité, 30.vi.1997, Wappes & Morris – 1 ex. (UNSM); Isla Barro Colorado, (9°9'17"N, 79°50'52"O), viii.1994, D. Banks – 2 ex. (CMNC); même localité, ix-x.1946, Zetek – 1 ex. (USNM); même localité, iii.1975, O.P. Young – 2 ex. (USNM); même localité, iv.-v.1942, Zetek – 1 ex. (USNM); même localité, 10.ix.1974, O.P. Young – 2 ex. (USNM); même localité, 7-8.v.1975, O.P.

Young – 2 ex. (USNM); même localité, 19-20.v.1975, O.P. Young – 2 ex. (USNM); même localité, 9-10.ix.1975, O.P. Young – 1 ex. (USNM); même localité, 15.ix.1975, O.P. Young – 1 ex. (USNM); même localité, 16-17.ix.1975, O.P. Young – 3 ex. (USNM); même localité, 25.ix.1975, O.P. Young – 1 ex. (USNM); même localité, 20-21.x.1975, O.P. Young – 1 ex. (USNM); même localité, 18-19.xi.1975, O.P. Young – 1 ex. (USNM); même localité, 7-8.xii.1975, O.P. Young – 1 ex. (USNM); Isla Barro Colorado, Lago Gatún, (9°9'N, 79°51'O), 12-19.vi.1981, B. Gill – 3 ex. (BCRC, CMNC); Madden Forest, (9°6'N, 79°37'O), 2.viii.1970, H. & A. Howden – 2 ex. (CMNC); même localité, 14.xii.1971, H.P. Stockwell – 6 ex. (USNM); même localité, 20.xii.1971, H.P. Stockwell – 2 ex. (CMNC, USNM); même localité, 24.xii.1971, H.P. Stockwell – 1 ex. (USNM); Pipeline Road, (9°9'N, 79°43'O), 18-22.v.1981, B. Gill – 1 ex. (CMNC); **PARAGUAY** : [sans localité], [sans date], [anonyme] – 1 ex. (CNC); ALTO PARANÁ, même localité, 16-20.xi.1990, G. Arriagada – 24 ex. (CMNC); CAAZAPÁ, Estancia Condesa/Toro Blanco, San rafael Reserve, 110 m (26°19'11"S, 55°39'57"O), 8-10.xii.2000, Z.H. Falin – 4 ex. (CMNC); Hermosa, prop. López Family, San Rafael Reserve, 80 m (26°18'29"S, 55°45'3"O), 1-3.xii.2000, Z.H. Falin – 1 ex. (CMNC); Hermosa, Sosa Family, San Rafael Reserve, 90 m (26°19'15"S, 55°44'55"O), 3-6.xii.2000, Z.H. Falin – 9 ex. (CMNC); CANINDEYÚ, Jejuí-Mí, Reserva Natural Bosque Mbaracayú, (24°8'S, 55°25'O), 10-21.i.1997, C. Aguilar – 4 ex. (WDEC); La Morena, Reserva Natural Bosque Mbaracayú, (24°8'S, 55°25'O), 16.i.1997, C. Aguilar J. – 1 ex. (CMNC); GUAIRÁ, Independencia, (25°43'S, 56°15'O), 15.ii.1946, Schade – 1 ex. (CMNC); ITAPÚA, Hohenau, (27°4'56"S, 55°38'55"O), xi.1949, F.H. Schade – 1 ex. (CMNC); Karonay, 17 km O San Rafael Reserve, 90-110 m (26°45'53"S, 55°50'37"O), 18-20.x.2000, Z.H. Falin – 4 ex. (CMNC); San Pedro Mí, San Rafael Reserve, 90 m (26°31'24"S, 55°48'18"O), 27-30.xi.2000, Z.H. Falin – 39 ex. (CMNC); Yataí, San Rafael Reserve, 100 m (26°38'17"S, 55°39'50"O), 21-25.ix.2000, Z.H. Falin – 4 ex. (CMNC); même localité, 26-30.ix.2000, Z.H. Falin – 3 ex. (CMNC); MISIONES, Ayolas, (27°25'15"S, 56°57'58"O), x.1975, Martínez – 9 ex. (CMNC); PARAGUARÍ, Sapucay, (25°39'44"S, 56°57'4"O), [sans date], W. Foster – 1 ex. (USNM); **PÉROU** : AMAZONAS, 5 km N Aramanga on road to Nazareth, West side Río Marañón, (5°15'S, 78°25'O), 5.vii.1986, R. Jaaqumagi (#862036) – 5 ex. (ABTS, ROME); HUANUCO, Tingo María, 700-740 m (9°10'S, 76°0'O), 24.viii.1997, N. Quinte – 3 ex. (AFIC); Universidad, Tingo María, (9°10'S, 76°0'O), xii.1974, Martínez – 2 ex. (CMNC); JUNÍN, El Tirol, San Ramón, 820-1000 m (11°8'23"S, 75°20'13"O), vii.2002, C. Torpoco – 1 ex. (CMNC); near Sanibeni, (11°34'13"S, 74°9'54"O), 24.ix.1935, Woytkowski – 1 ex. (CNC); Sanibeni, (11°34'13"S, 74°9'54"O), 17.ix.1935, [anonyme] – 1 ex. (WDEC); Satipo, (11°16'S, 74°41'O), v.1945, [anonyme] – 2 ex. (CMNC); même localité, 23.v.-3.vi.2004, A. Santibañez – 1 ex. (WDEC); LORETO, 1.5 km N Teniente López, 230-305 m

(2°35'39.6"S, 76°6'55"O), 18-26.vii.1993, R. Leschen – 4 ex. (CMNC); même localité, 18.vii.1993, R. Leschen (1993-119) – 2 ex. (SEMC); même localité, 20.vii.1993, R. Leschen (1993-133) – 1 ex. (SEMC); même localité, 20.vii.1993, R. Leschen (1993-134) – 3 ex. (SEMC); même localité, 22.vii.1993, R. Leschen (1993-165) – 1 ex. (SEMC); même localité, 23.vii.1993, R. Leschen (1993-191) – 1 ex. (SEMC); Campamento San Jacinto, 175-215 m (2°18.75'S, 75°51.77'O), 3-12.vii.1993, R. Leschen – 4 ex. (CMNC); même localité, 3.vii.1993, R. Leschen (1993-13) – 1 ex. (SEMC); même localité, 5.vii.1993, R. Leschen (1993-31) – 2 ex. (SEMC); même localité, 7.vii.1993, R. Leschen (1993-43) – 1 ex. (SEMC); même localité, 8.vii.1993, R. Leschen (1993-54) – 1 ex. (SEMC); même localité, 10.vii.1993, R. Leschen (1993-78) – 1 ex. (SEMC); même localité, 11.vii.1993, R. Leschen (1993-84) – 2 ex. (SEMC); même localité, 12.vii.1993, R. Leschen (1993-87) – 1 ex. (SEMC); Explorama Lodge, (3°24'16"S, 72°46'33"O), 13-31.viii.1989, S. Dunkle – 1 ex. (FSCA); Explorama Lodge, 1 km from Río Amazonas on Río Yanamono, 80 km NE Iquitos, (3°24'16"S, 72°46'33"O), 25-28.viii.1992, Castner & Skelley – 4 ex. (FSCA); même localité, 1-5.ix.1992, Castner & Skelley – 9 ex. (FSCA); Explornapo Camp, 2 km from Río Napo on Río Sucusari, 160 km NE Iquitos, (3°11'S, 72°53'O), 27-31.viii.1992, J. Castner & P. Skelley – 10 ex. (FSCA); Teniente López, 210-240 m (2°35.66'S, 76°6.92'O), 23.vii.1993, R. Leschen (1993-190) – 1 ex. (SEMC); même localité, 28.vii.1993, R. Leschen (1993-199) – 4 ex. (SEMC); MADRE DE DIOS, Cana Trail, Estación Biológica Cocha Cashu, Parque Nacional de Manú, 380 m (11°53'45"S, 71°24'24"O), 18-22.viii.1986, D.C. Darling (ROM#863536) – 1 ex. (ROME); Castanal Trail, Estacion. Biológicas Pakitza, Parque Nacional del Manú, 317 m (11°56'41"S, 71°17'0"O), 15-16.x.2000, R. Brooks (2000-13) – 3 ex. (CMNC); Cocha Salvador, Parque Nacional del Manú, 310 m (12°0'13"S, 71°31'36"O), 20-21.x.2000, R. Brooks (2000-70) – 11 ex. (CMNC); Estación Biológica Cocha Cashu, Parque Nacional de Manú, 380 m (11°53'45"S, 71°24'24"O), 18.viii.-5.ix.1986, D.C. Darling & A.B. Forsyth – 1 ex. (ROME); même localité, 20-22.viii.1986, D.C. Darling (ROM#863547) – 3 ex. (ROME); même localité, 22-27.viii.1986, D.C. Darling (ROM 863561) – 1 ex. (ROME); même localité, 29.viii.-1.ix.1986, D.C. Darling (ROM#863584) – 1 ex. (ROME); même localité, 17-19.x.2000, R. Brooks (2000-42) – 26 ex. (CMNC); Lago Sandoval, (12°36'55"S, 69°2'3"O), 30.xi.-2.xii.1998, B. Landry – 1 ex. (CMNC); Pantiacola Lodge, 5.5 km NW El Mirador Trail, Alto Río Madre de Dios, 500 m (12°39'10"S, 71°15'28"O), 23-26.x.2000, R. Brooks (2000-100) – 1 ♂ (CMNC); Pantiacola Lodge, 8 km NW El Mirador Trail, Alto Río Madre de Dios, 800 m (12°38'30"S, 71°16'41"O), 23-26.x.2000, R. Brooks (2000-102) – 1 ♂ (CMNC); Pantiacolla Lodge, Alto Madre de Dios River, 400 m (12°39'22"S, 71°13'55"O), 23-26.x.2000, R. Brooks (2000-99) – 7 ex. (CMNC); Parque Nacional del Manú, (12°15'S, 71°45'O), 15-30.viii.1986, A. Forsyth – 9 ex. (CMNC); Reserva Cuzco Amazonica, 15 km NE

Puerto Maldonado, 200 m (12°33'S, 69°3'O), 13.vi.1989, Ashe & Leschen – 3 ex. (CMNC); même localité, 13.vi.1989, J.S. Ashe & R.A. Leschen (1989-37) – 6 ex. (SEMC); même localité, 15.vi.1989, Ashe & Leschen – 3 ex. (CMNC); même localité, 15.vi.1989, Ashe & Leschen – 5 ex. (CMNC); même localité, 15.vi.1989, Ashe & Leschen – 3 ex. (CMNC); même localité, 17.vi.1989, Ashe & Leschen – 4 ex. (CMNC); même localité, 17.vi.1989, Ashe & Leschen – 1 ex. (CMNC); même localité, 20.vi.1989, Ashe & Leschen – 1 ex. (CMNC); même localité, 20.vi.1989, Ashe & Leschen – 10 ex. (CMNC); même localité, 20.vi.1989, Ashe & Leschen – 1 ex. (CMNC); même localité, 22.vi.1989, Ashe & Leschen – 4 ex. (CMNC); même localité, 22.vi.1989, Ashe & Leschen – 1 ex. (CMNC); même localité, 22.vi.1989, J.S. Ashe & R.A. Leschen (1989-193) – 3 ex. (SEMC); même localité, 22.vi.1989, J.S. Ashe & R.A. Leschen (1989-199) – 12 ex. (SEMC); même localité, 22.vi.1989, J.S. Ashe & R.A. Leschen (1989-205) – 1 ex. (SEMC); même localité, 24.vi.1989, Ashe & Leschen – 1 ex. (CMNC); même localité, 24.vi.1989, J.S. Ashe & R.A. Leschen (1989-237) – 6 ex. (SEMC); même localité, 24.vi.1989, J.S. Ashe & R.A. Leschen (1989-240) – 1 ex. (SEMC); même localité, 26.vi.1989, Ashe & Leschen – 4 ex. (CMNC); même localité, 28.vi.1989, Leschen & Silva – 1 ex. (CMNC); même localité, 30.vi.1989, Ashe & Leschen – 6 ex. (CMNC); même localité, 4. vii.1989, Ashe & Leschen – 3 ex. (CMNC); même localité, 13.vii.1989, Ashe & Leschen – 1 ex. (CMNC); même localité, 16.vii.1989, Ashe & Leschen – 1 ex. (CMNC); Tambopata Wldlf. Res., 30 km SW Pto. Maldonado, 290 m (12°50'S, 69°20'O), 12-31.viii.1982, J.J. Anderson – 2 ex. (USNM); Tambopata, 15 km NE Puerto Maldonado, 200 m (12°33'S, 69°3'O), 22.vi.1989, J. Ashe & R. Leschen (1989-200) – 1 ex. (SEMC); Ccolpa de Guacamayos, Río Tambopata, 300 m (13°8.5'S, 69°36.4'O), x.1995, A. Forsyth – 123 ex. (USNM); UCAYALI, Lorento, Pucallpa, (8°21'57"S, 74°33'8"O), 6.vi.1968, J. Schunke L. – 1 ex. (CMNC); même localité, 19.x.1974, J. Schunke L. – 2 ex. (CMNC); Porvenir, Pucallpa, viii.1992, Arriagada – 4 ex. (CMNC); Yarinacocha, (8°21'10"S, 74°34'12"O), vii.1992, Arriagada – 2 ex. (CMNC); **SURINAME** : MAROWIJNE, Palumeu, 160 m (3°20'56"N, 55°26'18"O), 5-9.vii.1999, Z.H. Falin & D. Konoe (1999-185) – 14 ex. (CMNC); **TRINITÉ ET TOBAGO** : SAINT GEORGE, above Loango Village, Maracas Valley, 600 m (10°44'1"N, 61°26'10"O), 9-22.vi.1993, S. & J. Peck (1993-22) – 2 ex. (CMNC); même localité, 22.vi.-6.vii.1993, S. & J. Peck (1993-43) – 6 ex. (CMNC); Andrews Trace, 16 km N Arima, 620 m (10°43'45"N, 61°18'40"O), 7-24.vi.1993, S. & J. Peck (1993-14) – 9 ex. (CMNC); même localité, 24.vi.-7.vii.1993, S. & J. Peck (1993-61) – 5 ex. (CMNC); Lalaja Trace, 19 km N Arima, 650 m (10°44'26"N, 61°18'41"O), 8.vi.1993, S. & J. Peck (1993-18) – 4 ex. (CMNC); même localité, 8-24.vi.1993, S. & J. Peck (1993-20) – 5 ex. (CMNC); même localité, 24.vi.-7. vii.1993, S. & J. Peck (1993-59) – 1 ♂, 3 ex. (CMNC); Maracas Bay, (10°45'13"N, 61°25'58"O), ii.1977, J. Boos – 1 ex. (CMNH); même localité, 10.x.1976, J. Boos

– 1 ex. (CMNH); Mount Saint Benedict, Tunapuna, 550 m (10°40’51”N, 61°23’36”O), 5-21.vi.1993, S. & J. Peck (1993-06) – 1 ex. (CMNC); Simla Research Station, 8 km N Arima, 260 m (10°42’20”N, 61°17’40”O), 6-14.vi.1993, S. & J. Peck (1993-09) – 2 ex. (CMNC); même localité, 6-10.vi.1993, S. & J. Peck (1993-11) – 1 ex. (CMNC); même localité, 24.vi.-8.vii.1993, S. & J. Peck (1993-57) – 5 ex. (CMNC); Simla Research Station, Arima Valley, North Range, 244 m (10°41’34”N, 61°17’22”O), 24-29.v.2000, A.S. Ramsdale – 2 ex. (ABTS); SAINT PATRICK, Palo Seco, (10°5’N, 61°35’O), vii.1977, J. Boos – 1 ex. (CMNH); **VENEZUELA** : Carretera vieja Cordero Scta, 7.vii.1982, D. Havranek – 1 ex. (UNSM); AMAZONAS, Alto Río Mavaca, 150 m (2°2’10”N, 65°6’50”O), 14.ii.-6.iii.1989, J. DeMarmels & A. Chacon – 2 ex. (MIZA); Culebra, Parque Nacional Duida-Marahuaca, 250 m (3°33’N, 65°55’O), 22-23.iii.1983, Exp. Marawaca – 6 ex. (MIZA); Marahuaca-Macizo Central, Parque Nacional Duida-Marahuaca, 1040 m (3°40’N, 65°28’O), 2-6.iii.1985, Exp. Marawaca – 4 ex. (MIZA); même localité, 9.iii.1985, Exp. Marawaca – 1 ex. (MIZA); Raudel Gallineta, Río Siapa, 200 m (1°49’N, 65°44’O), 15-18.x.1987, Exp. Terramar – 2 ex. (MIZA); San Carlos de Río Negro, (1°55’20”N, 67°3’15”O), 23-24.viii.1982, [anonyme] – 1 ex. (MIZA); même localité, 3-13.xi.1982, A. Chacón & G. Yépez – 1 ex. (MIZA); Yavita, 128 m (2°55’19”N, 67°26’7”O), ix.1947, R. Lichy – 1 ex. (CMNC); Atures, San Jose de Camani, 120 m (5°3’2”N, 66°20’3”O), vi.1979, A. Martínez – 1 ex. (CMNC); Río Negro, Río Baria, 140 m (0°56’N, 66°10’O), 4-11.ii.1984, L. J. Joly & A. Chacón – 5 ex. (MIZA); même localité, 25.xi.-4.xii.1984, E. Osuna & A. Chacón – 3 ex. (MIZA); San Carlos de Río Negro, 65 m (1°55’N, 67°1’O), 4-14.iii.1984, J.A. Clavijo & J Demarmels – 1 ex. (MIZA); ANZOÁTEGUI, Al Norte, Valle Guanape, (9°54’49”N, 65°40’21”O), 14-16.vi.1983, A. Chacón & J. DeMarmels – 2 ex. (MIZA); ARAGUA, Cerro El Cafe, 10 km NW Valencia, 1200 m (10°19’23”N, 68°5’37”O), 23-26.ii.1971, S. Peck – 3 ex. (CMNC, ROME); Cuyagua, 800 m (10°26’42”N, 67°41’44”O), x.1972, Martínez – 1 ex. (CMNC); Estación Biológica Dr. Alberto Fernández Yépez “Rancho Grande”, Parque Nacional Henri Pittier, 1100 m (10°20’N, 67°41’O), 7-13.vi.1999, Ratcliffe, Jameson, Smith, Villatoro – 5 ex. (UNSM); même localité, 21-24.vi.1999, Ratcliffe, Jameson, Smith, Villatoro – 7 ex. (UNSM); Portachuelo Pass, Parque Nacional Henri Pittier, 1200 m (10°20’51”N, 67°41’15”O), 7-13.vi.1999, Ratcliffe, Jameson, Smith, Villatoro – 6 ex. (ABTS, UNSM); Portachuelo, Rancho Grande, 1100 m (10°20’51”N, 67°41’15”O), x.1972, Martínez – 4 ex. (CMNC); Pozo del Diablo, Maracay, 500 m (10°17’N, 67°37’3”O), 26.v.1978, J.A. Clavijo – 2 ex. (MIZA); même localité, 17-21.viii.1978, J. Clavijo – 9 ex. (MIZA); Rancho Grande, 1300 m (10°20’58”N, 67°41’8”O), vi.1963, Martínez – 1 ex. (CMNC); même localité, v.1975, Martínez – 2 ex. (CMNC); même localité, 25-27.ii.1971, S. Peck – 6 ex. (CMNC, CMNH, ROME); même localité, 26-27.ii.1971, H. & A. Howden – 1 ex. (CMNC); même localité, 27-30.viii.1983, B. Gill

– 2 ex. (CMNC); même localité, 22-24.vi.1984, J.D. Glaser – 1 ex. (CMNH); même localité, 1-10.viii.1987, Bordon & Peck – 5 ex. (CMNC); même localité, 6-8.iii.1988, F. Génier – 10 ex. (CMNC); Tiara, 50 km SW Caracas, 2000 m (10°7'47"N, 67°9'20"O), 22-25.ii.1971, S. Peck – 3 ex. (CMNC); BOLIVAR, 10 km E Icabarú, 700 m (4°23'38"N, 61°44'17"O), 6.vii.1987, S. & J. Peck – 2 ex. (CMNC); 10 km S El Doralo, 200 m (6°38'39"N, 61°35'35"O), 17.vii.-7.viii.1986, B. Gill – 7 ex. (CMNC); 20 km E El Palmar, (8°5'51"N, 61°42'29"O), 18.vi.1996, H. & A. Howden – 1 ex. (CMNC); 20 km E Icabarú, 800 m (4°25'59"N, 61°42'14"O), 4-6. vii.1987, S. & J. Peck – 1 ex. (CMNC); 20 km S El Dorado, 220 m (6°32'40"N, 61°34'19"O), 20-23.vii.1986, B. Gill – 11 ex. (CMNC); 22 km SE El Dorado, (6°32'26"N, 61°33'55"O), 25.vi.-12.vii.1987, S. & J. Peck – 5 ex. (CMNC); 26 km N Guasipati, (7°41'35"N, 61°57'19"O), 24.vi.-12.vii.1987, S. & J. Peck – 1 ex. (CMNC); 33 km S El Dorado, 220 m (6°27'8"N, 61°30'35"O), 2-7.viii.1986, B. Gill – 38 ex. (CMNC); Campamento minero Payapal, Río Yuruan, El Dorado, 190 m, 28-30.v.1987, Exp. Instituto Zool. Agricola – 1 ex. (MIZA); Km 40 Santa Elena, Icabarú Road, 1000 m (7°26'20"N, 61°33'30"O), 4-6.viii.1986, B.D. Gill – 9 ex. (CMNC); Km 83 El Dorado Rio La Clarita, 25-28.vi.1984, J.D. Glaser – 1 ex. (CMNH); "Km 88", 8 km S San Isidro, (6°8'58"N, 61°25'55"O), 25.vi.-11.vii.1987, S. & J. Peck – 1 ex. (CMNC); Las Trincheras, Río Caura, (6°58'5"N, 64°53'44"O), 10-11.viii.1986, B. Gill – 4 ex. (CMNC); Puente Cocuizas, 70 km Ciudad Bolivar, (7°41'35"N, 64°0'18"O), 19.vi.-3.viii.1987, S. & J. Peck – 8 ex. (CMNC); Río Chicanan, 40 km SW El Dorado, (6°16'20"N, 61°18'43"O), 22-23.vii.1986, B. Gill – 7 ex. (CMNC); Río Sipao, 110 km E Caicara, (7°24'47"N, 65°12'24"O), 17.vi.-4.viii.1987, S. & J. Peck – 9 ex. (CMNC); Río Surucún, Carretera Santa Elena-Icabaru, 850 m, 19-31.i.1985, F. Fernandez Y., A. Chacon, J. Demarmels – 27 ex. (MIZA); San Francisco de Yuruaní [=Kumarakapai], Gran Sabana, (5°1'11"N, 61°1'36"O), 8-10. vii.1987, S. & J. Peck – 1 ex. (CMNC); même localité, 19.i.1988, D. Havranek – 1 ex. (CNC); DELTA AMACURO, 11 km O Piacoa, (8°31'8"N, 62°13'24"O), 14-31. vii.1987, S. & J. Peck – 1 ex. (CMNC); DISTRITO FEDERAL, near Caracas, 1938, [anonyme] – 1 ex. (USNM); FALCÓN, Cerro Galicia, 1500 m (11°10'55"N, 69°41'56"O), 23.xi.1971, J. & B. Bechyne – 2 ex. (CMNC); même localité, 25. xi.1971, J. & B. Bechyne – 1 ex. (CMNC); LARA, Parque Nacional Yacambú, 14.4 km SE Sanaré, 1500 m (9°42'22"N, 69°34'42"O), 18-19.v.1998, R. Anderson (1998-19) – 2 ex. (CMNC); Parque Nacional Yacambú, 17.4 km SE Sanaré, 1510 m (9°42'26"N, 69°34'34"O), 17-18.v.1998, J. Ashe, R. Brooks & R. Hanley (1998-74) – 1 ex. (SEMC); même localité, 18.v.-1.vi.1998, J. Ashe, R. Brooks & R. Hanley (1998-170) – 6 ex. (SEMC); MIRANDA, El Lucero, 20 km N Altagracia, 700 m (10°1'16"N, 66°26'46"O), 14.vi.-5.viii.1987, S. & J. Peck – 4 ex. (CMNC); El Lucero, 28 km N Alta Gracia, Parque Nacional Guatopo, 700 m (10°1'11"N, 66°26'46"O), 7-14.vi.1987, S. & J. Peck – 1 ex. (CMNC); Macizo del Naiguatá, 720 m (10°32'53"N,

66°46'15"O), viii.1941, Lichy – 1 ex. (CMNC); même localité, vii.1943, R. Lichy – 1 ex. (CMNC); Parque Nacional Guatopo, (10°5'37"N, 66°29'41"O), 3-8.iii.1988, F. Génier – 9 ex. (CMNC); Parque Nacional Guatopo, 50 km SE Caracas, 400 m (10°5'N, 66°29'O), 5-6.iii.1971, S. Peck – 6 ex. (CMNC, ROME); Puente Bucaral, 35 km N Alta Gracia, Parque Nacional Guatopo , 600 m (10°4'58"N, 66°29'12"O), 14.vi.-5.viii.1987, S. & J. Peck – 2 ex. (CMNC); Santa Crucita, 33 km N Altagracia, Parque Nacional Guatopo, 400 m (10°14'N, 67°1'O), 7-10.vi.1987, S. & J. Peck – 2 ex. (CMNC); MONAGUAS, Cueva Guácharo, Caripe, 700 m (10°10'46"N, 63°32'35"O), 20-30.vii.1987, S. & J. Peck – 1 ex. (CMNC); TÁCHIRA, 20 km NE San Cristobal, 3000 m (7°57'34"N, 72°5'3"O), 20.v.1974, S. Peck – 1 ex. (CMNC); même localité, 20-22.v.1974, S. Peck – 3 ex. (CMNC, ROME); 5 km S San Juan Colón, 1000 m (7°58'59"N, 72°16'6"O), 20-31.vii.1989, S. & J. Peck – 1 ex. (CMNC); Chorro del Indio, (7°42'15"N, 72°11'42"O), x.1983, J. Blanco – 2 ex. (CMNC); même localité, x.1984, J. Blanco – 2 ex. (EGRC); Fundación Presa Las Cuevas, 600 m, 8-11.vii.1989, S. & J. Peck – 1 ex. (CMNC); Hospital, Camp Siberia, Pregonero, 1280 m (7°54'36"N, 71°43'53"O), 10-31.vii.1989, S. & J. Peck – 1 ex. (CMNC); Km 2.5 San Cristobal to Chorro del Indio, 1100 m (7°44'50"N, 72°11'46"O), 24.iii.1989, D. Havranek – 2 ex. (CNC); La Trampita, Presa La Honda, 1100 m (7°56'1"N, 71°43'24"O), 17.xii.1988, D. Havranek – 2 ex. (CMNC); Las Trampitas, Pregonero, 1240 m (8°0'40"N, 71°45'38"O), 9-14.vii.1989, S. & J. Peck – 11 ex. (CMNC); Media Libra, Río Negro, 570 m, 28.xi.-3.xii.1997, J. DeMarmels, L. García & A. Chacón – 1 ex. (MIZA); Palmira-La Llanada, 20 km N San Cristobal, 1400 m (7°53'38"N, 72°15'4"O), 20-31.vii.1989, S. & J. Peck – 3 ex. (CMNC); Parque Nacional Chorro El Indio, 8 km NE San Cristobal, 1400 m (7°44'15"N, 72°11'37"O), 29-30.v.1998, R. Anderson (1998-55) – 1 ex. (CMNC); Río Frío, 600 m (7°36'N, 72°9'O), 2-10.ix.1981, F. Fernandez Y., J. Clavijo & A. Chacón – 7 ex. (MIZA); San Cristobal, (7°44'20"N, 72°12'42"O), 17.v.1985, F. Rey – 5 ex. (MIZA); même localité, 22.x.1991, [anonyme] – 1 ex. (UNSM); ZULIA, Alto Río Guasare, 400 m (10°49'35"N, 72°24'14"O), 13-18.iv.1973, Bordón – 1 ex. (CMNC).

CONDITION DE CAPTURE. Spécimens capturés à l'aide de pièges à interception de vol, de pièges à fosse appâtés avec des excréments d'humains, de tapirs, de coatis, de singes hurleurs, de singes-araignées (*Ateles* sp.), de porcs, des déjections bovines, de la charogne de poisson, de la charogne non spécifiée, du malt fermenté, capturés également dans des carcasses de crapauds (*Bufo marinus*), de fourmiliers et de rats et dans des excréments de chiens. Enfin, capturés occasionnellement au piège lumineux.

HABITAT. Dans à peu près tous les habitats de la zone tropicale et subtropicale de la région néotropicale de 0 à 3000 m d'altitude, entre autres : en forêt de

palmiers, forêt primaire, forêt secondaire, forêt non inondée, forêt marécageuse saisonnière, forêt-galerie, forêt-galerie dégradée, forêt saisonnièrement inondée sur substrat sablonneux, forêt sèche, forêt de montagne, forêt de montagne sempervirente, forêt semi-humide de type Chaco-Serrano, forêt de palmiers, forêt atlantique de basse altitude, yungas, capoeira, cerrado, cerradão, chaco, plantation de cacao, broussailles secondaires et végétation ripicole.

PHÉNOLOGIE. Spécimens capturés toute l'année.

REMARQUES. Espèce polymorphique largement répartie du Mexique à l'Argentine. La possibilité que ces différentes formes, que l'on retrouve soit au même endroit soit isolément, puissent constituer des espèces différentes semble impossible à justifier. Une série de spécimens capturés le long d'un transect en Bolivie présente deux formes bien distinctes caractérisées par la configuration du fémur postérieur mâle et femelle, et ce, sans intermédiaires. Les exemplaires mâles et femelles capturés entre 300 et 1000 m ont la base du fémur postérieur dentée sur la face postérieure près de la base, tandis que ceux capturés entre 700 et 1400 m ont la base du fémur simple outre la dent du tiers distal; étrangement, à 1000 m on retrouve les deux formes à peu près à parts égales. Ce genre de répartition donne à penser que nous sommes en présence de deux espèces différentes, mais les édéages et les lamelles du sac interne sont en tous points identiques. De plus, on a capturé les deux formes en même temps dans les mêmes pièges, ce qui semble aussi exclure toute forme d'isolation écologique. En outre, une série d'exemplaires capturée dans l'État de Madre de Dios, au Pérou, présente au moins quatre formes distinctes tant par la configuration des caractères externes que par l'édéage. Dans un rayon d'une dizaine de kilomètres on retrouve des spécimens semblables à la forme de basse altitude de Bolivie à fémur denté et paramères courts et plus trapus, d'autres ont le fémur postérieur sans dent additionnelle près de la base, et la dent apicale de ce dernier est connectée à la face ventrale, les paramères plus arqués à l'extrémité et très peu sinués en vue dorsale, le sac interne présente une lamelle près du milieu beaucoup plus développée et sclérifiée et le flagelle du sac interne présente des différences, le calus central du pronotum est aussi plus rond et lustré. Un mâle se rapproche de cette forme, mais chez ce dernier le tibia postérieur est très sinueux en vue latérale et le fémur médian a la marge postérieure dorsale très sinueuse et forme un lobe sur la moitié distale. D'autres spécimens ont la dent du fémur placé plus près de l'arête dorsale, la surface est beaucoup moins grossièrement ponctuée, les paramères sont plus allongés et fortement sinués en vue dorsale. Il semble donc que ni la morphologie externe, ni la configuration de l'édéage, ni la répartition ne soient corrélés de façon à justifier la séparation de ces différentes formes. Les causes de ce polymorphisme sont obscures, mais on pourrait penser

à des interruptions, puis des reprises du flux génétique, la vaste aire de répartition de l'espèce ne pouvant qu'augmenter la complexité de ces phénomènes.

Eurysternus cyclops Génier sp. nov.

(Figs. 171-172, 228)

ÉTYMOLOGIE. *Cyclops*, nom en apposition, se rapportant à la grande taille et à l'unique calus lustré du pronotum de cette espèce.

DESCRIPTION. **Longueur**. 15,0-19,5 mm. **Couleur**. Variable, brunâtre à reflets verts, bleuâtres ou cuivrés plus ou moins prononcés, mêlés de taches jaunâtres à brun orangé plus ou moins étendues en grande partie rattachées à la ponctuation. **Tête**. Arête antérieure semi-hexagonale, obtusément dentée de chaque côté du milieu chez les femelles. Yeux visibles sur le dessus, plus longs que larges. Surface de la tête mate, à ponctuation ocellée et nette sur toute la surface; chaque point muni d'une courte soie, les soies un peu plus longues et dressées sur le disque et près de l'arête latérale et postérieure. **Pronotum**. Arêtes latérales divergentes jusqu'au tiers distal. Angles antérieurs droits. Angle latéral largement arqué. Arête latérale obtusément carénée sur toute la longueur. Surface munie de cinq callosités dont seule la médiane est nette et lustrée, le reste de la surface mate; surface superficiellement sillonnée au milieu près de la base; ponctuation ocellée et profonde, en majorité séparée par un espace équivalant à deux diamètres, chaque point muni d'une courte soie recourbée fauve. **Élytres**. Arête latérale médiocrement arquée en vue dorsale. Interstries presque plans sur le disque. Stries modérément larges, leur ponctuation un peu plus profonde que la strie elle-même. Interstries à microsculpture alvéolée confluente; soies écartées, courtes, plus ou moins squameuses variant de testacées à brunes. Interstrie 3, un peu gibbeux à l'apex. Calus apical pourvu sur les interstries 5 et 7 de soies plus longues que sur l'interstrie 6. **Sternites thoraciques**. Carène proépisternale arquée et rejoignant l'angle antérieur, fusionnée sur une courte distance avec ce dernier. Prosternum presque régulièrement convexe, terminé en pointe au milieu à l'avant; arête postérieure obtusément anguleuse au milieu; surface à grosse ponctuation ocellée profonde et séparée par un ou deux diamètres, chaque point muni d'une soie testacée à peine visible; surface à microsculpture alvéolée. Lobe médian du métasternum déprimé au milieu à l'avant, muni à l'arrière de deux petites carènes parallèles le long de la ligne médiane, ces dernières flanquées de deux concavités; la région adjacente aux hanches médianes plane; surface en grande partie soyeuse à ponctuation ocellée nette. **Pattes**. Fémur antérieur à surface assez régulièrement convexe sur la face ventrale; arête antérieure estom-

pée, munie d'un petit tubercule aigu du côté antérieur sur le tiers basal; surface à ponctuation ocellée profonde, devenant un peu râpeuse à l'arrière vers l'apex. Tibia antérieur mâle muni de trois dents latérales, les deux basales de même taille et dirigées perpendiculairement vers le bas, la dent apicale plus acérée et dirigée obliquement; arête interne carénée sur le tiers apical, la carène terminée postérieurement en angle obtus, dentée et assez longuement émarginée au milieu; carène longitudinale ventrale crénelée et complète. Tibia antérieur femelle simple; arête interne à peine anguleuse en vue dorsale, munie d'un assez gros tubercule acéré sur la face ventrale vers le milieu; carène longitudinale ventrale crénelée. Fémur médian peu élargi vers l'apex en vue ventrale, à surface mate, ponctuation ocellée profonde et assez régulièrement répartie. Fémur postérieur élargi vers l'apex; surface ventrale mate, claire sur les deux tiers distaux; arête postérieure ventrale sinueuse au milieu et estompée entre la base et la dent apicale; arête postérieure dorsale irrégulièrement crénelée; face postérieure mâle munie d'une dent cylindrique et d'une grosse dent triangulaire recourbée vers le bas après le milieu; face postérieure femelle munie de deux dents acérées, la première près de la base et la seconde vers le milieu, ou d'une large dent trapézoïdale (population du Brésil). Tibia postérieur mâle fortement arqué sur le tiers distal, face interne munie de 15 à 19 tubercules dentiformes; angle apical interne fortement élargi, rejoignant presque l'apex du premier tarsomère chez les mâles; tibia postérieur femelle régulièrement arqué, face interne munie de 13 à 16 tubercules obtus. **Abdomen**. Segment 3 acéré antérieurement entre les hanches postérieures. Segments 4 à 7 plats sur le disque; ponctuation fine très écartée, soies des points très fines; segments 6 et 7 munis latéralement de quelques soies plus longues et denses. Segment 8 à ponctuation plus grosse et dense au milieu. Pygidium non marginé latéralement; surface convexe, sillon basal étroit, peu profond; ponctuation ocellée, certains des points munis d'une soie claire assez longue. **Édéage**. Paramères régulièrement recourbés vers le bas à l'apex, sans rugosités; arête dorsale largement arquée en vue latérale, un peu sinueuse avant l'apex en vue dorsale. Crochet de la lamelle accessoire du sac interne petit.

Holotype ♂ (CMNC) : FRENCH GUIANA, Roura (18.4 km SSE), 240m, 4°36'38"N 52°13'25"W, 25-29.v.1997, J. Ashe & R. Brooks, FG1AB97, #81, ex: flight int. trap / HOLOTYPE ♂, *Eurysternus cyclops* sp. nov., F. Génier. Édéage et sac interne extrait.

Allotype ♀ (CMNC) : FRENCH GUIANA, Saül (7 km N), 1 km NW, Les Eaux Claires, along Rue de Belizon trail, 280m, 3°39'46"N 53°13'19"W, 2-8.vi.1997, J. Ashe & R. Brooks, FG1AB97, #167, ex: f.i.t. / ALLOTYPE ♀, *Eurysternus cyclops* sp. nov., F. Génier.

MATÉRIEL EXAMINÉ. Répartition géographique Fig. 228; 37 ex. : **BRÉSIL** : MATO GROSSO, Sinop, (11°52'29"S, 55°29'42"O), xii.1975, M. Alvarenga – 1 ♂ (paratype) (PMOC); PARÁ, Santarém, (2°27'10"S, 54°43'9"O), [sans date], [anonyme] – 1 ♂ (paratype) (CMNH); Serra dos Carajás, (5°59'S, 50°22'O), ii.1988, Roppa & Magno – 9 ♀♀, 7 ♂♂ (16 paratypes) (MNRJ); Urua, 65 km SW Itaituba on BR230, (4°35'32"S, 56°19'3"O), 12-15.x.1977, B.C. Ratcliffe – 1 ♂ (paratype) (BCRC); **GUYANE FRANÇAISE** : [sans localité], [sans date], [anonyme] – 1 ♀ (paratype) (MHNG); CAYENNE, 18.4 km SSE Roura, 240 m (4°36'38"N, 52°13'25"O), 25-29.v.1997, J. Ashe & R. Brooks (1997-81) – 1 ♂ (holotype) (CMNC); La Chaumière, Cayenne, (4°52'N, 52°21'40"O), iv.1978, P. Arnaud – 1 ♂ (paratype) (PAIC); Patawa, PK36, Route de Kaw, 12.ii.2004, O. Morvan – 1 ♀ (paratype) (PSIC); Piste de Kaw, PK 38, (4°40'43"N, 52°7'39"O), [sans date], [anonyme] – 1 ♂ (paratype) (PMOC); Régima, Arrondissement de Cayenne, (4°56'N, 52°20'O), 25-31.i.2006, Sárovec & Houska – 1 ♂ (paratype) (OUMNH); SAINT-LAURENT-DU-MARONI, along Rue de Belizon trail, 1 km NW Les Eaux Claires, 7 km N Saül, 280 m (3°39'46"N, 53°13'19"O), 4-8.vi.1997, J. Ashe & R. Brooks (1997-167) – 1 ♀ (allotype) (CMNC); Mont La Fumée, 3 km NW Les Eaux Claires, 7 km N Saül, 490 m (3°39'46"N, 53°13'19"O), 1-8. vi.1997, J. Ashe & R. Brooks (1997-162) – 1 ♀ (paratype) (CMNC); Montagne Sable, 25 km Mana, (5°34'N, 53°36'O), 10-11.viii.1992, P. Moretto – 1 ♂ (paratype) (PMOC); Saül, (3°37'N, 53°12'O), 12-20.i.1985, A. Chaminade – 1 ♀, 3 ♂♂ (4 paratypes) (PMOC); **SURINAME** : SIPALIWINI, Lely Plateau, 650 m (4°16'13"N, 54°44'18"O), x.2005, T. Larsen – 3 ♀♀, 3 ♂♂ (6 paratypes) (CMNC).

CONDITION DE CAPTURE. Deux données seulement, au piège à fosse appâté avec des excréments humains et au piège à interception de vol.

HABITAT. Un spécimen portant la mention forêt secondaire. Probablement la forêt amazonienne de tout l'est du bouclier guyanais et de l'Amazonie.

PHÉNOLOGIE. Spécimens capturés en janvier, février, avril, mai, juin, aout, octobre et décembre.

REMARQUES. Les spécimens provenant de Serra dos Carajas (Brésil) diffèrent de tous les autres par la configuration du fémur postérieur. Chez les mâles, la dent basale est située un peu plus vers le milieu et la seconde dent est simplement triangulaire sans être recourbée vers le bas. Chez les femelles, les deux dents sont fusionnées et forment une dent triangulaire dirigée vers l'extérieur. Les espèces proches possèdent toute une dent plus ou moins dirigée postérieurement.

Eurysternus hamaticollis Balthasar, 1939
(Figs. 21, 57, 162-163, 173-175, 229)

Eurysternus hamaticollis Balthasar
1939 Balthasar, *Ent. Blätt.* 35 : 113
1944 Blackwelder, *U. S. Nat. Mus. Bull.* 185 : 197 (catalogue)
1985 Jessop, *J. Nat. Hist.* 19 : 1101 (désignation de type)
1988 Martínez, *Ent. Basil.* 12 : 283 (commentaire)

ÉTYMOLOGIE. *Hamaticollis* (*hamat-* crochet et *collis* cou) ayant le cou crocheté, un adjectif latin se rapportant présumément à la configuration des angles postérieurs du pronotum.

DIAGNOSE. Longueur 11,5-23,0 mm. Corps à coloration très variable, habituellement en grande partie fauve orangé plus ou moins foncé, orné de taches irrégulières brunes plus ou moins confluentes et étendues, la base du fémur médian et postérieur et le trochanter toujours bruns, les tibias médians et postérieurs brun rougeâtre à brun foncé et présentant des reflets métalliques cuivrés ou verdâtres. Tête à ponctuation simple, très fine sur toute la surface; arête antérieure du clypéus étroitement tronquée, recourbée vers le bas au milieu, l'arête simple, sans petite dent obtuse relevée de chaque côté du milieu. Pronotum à surface convexe, munie de cinq calus lustrés et nets, angles postérieurs prolongés en dent recourbée vers le haut chez les mâles; ponctuation plus ou moins nette, seulement en partie ocellée à l'avant. Élytres mats, microsculpture très fine; stries normales, nettes, ponctuation médiocrement grosse et profonde; interstries sans ponctuation visible; cinquième interstrie semblable aux autres; arête du pseudépipleure saillante au milieu, la carène un peu plus haute que le huitième interstrie. Métasternum à surface inégale, muni d'une grosse carène triangulaire au milieu à l'arrière chez les mâles, carène remplacée par une petite gibbosité chez les femelles; lobes latéraux à ponctuation simple. Tibia antérieur mâle muni de deux dents latérales à l'apex, la basale complètement fusionnée avec la dent ventrale médiane; carène longitudinale ventrale interrompue avant le milieu, présente et crénelée entre la dent médiane et l'apex. Tibia antérieur femelle muni de trois dents normales; arête interne presque droite, la dent ventrale médiane jouxtant l'arête interne au milieu; carène longitudinale ventrale fine, interrompue par des soies sur la moitié antérieure. Fémur postérieur claviforme, surface à microsculpture plus ou moins effacée; arête postérieure munie d'une grosse dent vers le tiers distal, cette dernière plus ou moins trapézoïdale et échancrée à l'apex; arête postérieure munie au milieu d'un lobe adjacent à la face supérieure chez les femelles. Tibia postérieur distinctement élargi sur le tiers basal et fortement arqué sur le tiers distal chez les mâles, régulièrement arqué chez les femelles. Pygidium à

ponctuation plus ou moins nette, à peine ocellée vers la base. Paramères droits et sinués près de l'apex en vue latérale, l'arête ventrale fortement recourbée près de l'apex; lamelle accessoire du sac interne munie d'une dent triangulaire.

Lectotype ♂ (SMF) : French Guiana, Godebert-Maroni. Lectotype non examiné, évidence suffisante.

MATÉRIEL EXAMINÉ. Répartition géographique Fig. 229; 458 ex. : **BOLIVIE** : COCHABAMBA, Region Chapare, 400 m (16°30'S, 65°30'O), 20.viii.1954, Zischka – 1 ex. (MHNG); même localité, 20.viii.1956, Zischka – 1 ex. (MHNG); Provincia Chapare, San Francisco del Chipiriri, 400 m, iv.1953, Prosen – 1 ex. (CMNC); EL BENI, Estación Biológica del Beni, Bosque El Trapiche, 195 m (14°52'10"S, 66°19'58"O), 6-11.xi.1997, A. Lopera & S. Amezquita – 3 ex. (AFIC); Palm Camp at Río Cururaba, Estación Biológica Beni, 40 km E San Borja, (14°40'S, 66°16'O), 9-15.ix.1987, W.E. Steiner – 2 ex. (USNM); LA PAZ, Río Bopi, (16°28'S, 67°20'O), v.1925, G.L. Harrington – 2 ex. (USNM); SANTA CRUZ, Rurrenabaque, Río Beni, (14°28'S, 67°34'O), x[1921-1922], W.M. Mann – 2 ex. (USNM); Umgebung Buenavista, (17°27'30"S, 63°39'36"O), [sans date], Steinbach – 1 ♂ (paralectotype) (NMPC); Provincia del Sara, Buena Vista, (17°27'28"S, 63°39'12"O), [sans date], Steinbach – 3 ex. (CMNH); Provincia Ichilo, même localité, ii.1950, Martínez – 1 ex. (CMNC); même localité, ii.1969, F. Steinbach – 1 ex. (WDEC); **BRÉSIL** : AMAZONAS, Hyutanahã, Rio Purus, (7°40'S, 65°46'O), ii.1922, S.M. Klages – 1 ex. (CMNH); même localité, iii.1922, S.M. Klages – 1 ex. (CMNH); São Paulo de Olivença, (3°28'49"S, 68°56'49"O), ii.1923, S. Klages – 1 ex. (CMNH); même localité, iii.1923, S. Klages – 1 ex. (CMNH); même localité, iv.1923, S. Klages – 1 ex. (CMNH); PARÁ, Altamira, (3°11'51"S, 52°13'38"O), v.1985, Dégallier – 2 ex. (PAIC); Bituba, 180 m (1°11'S, 52°38'O), iii-iv.2005, T.A. Gardner & M.I.M. Hernández – 1 ex. (WDEC); Carajás, (2°56'55"S, 51°51'17"O), 29.iii.-6.iv.1989, [anonyme] – 1 ex. (CMNC); Fazenda Marajoara, Redenção, (7°50'S, 50°16'O), x.1998, P.Y. Scheffler – 1 ex. (FVMC); Santarém, (2°27'10"S, 54°43'9"O), [sans date], [anonyme] – 2 ex. (CMNH); Serra dos Carajás, (5°59'S, 50°22'O), ii.1988, Roppa & Magno – 2 ex. (MNRJ); Tucuruí, (3°46'26"S, 49°41'19"O), iv.1988, Dégallier – 1 ex. (PAIC); Tucuruí, Rio Tocantins, (3°48'25"S, 49°39'25"O), viii.1984, N. Dégallier – 6 ex. (PAIC); RONDÔNIA, Fazenda Rancho Grande, 62 km S Ariquemes, (10°18'28"S, 62°52'26"O), ii.1997, Vaz-de-Mello, Vulinec & Mellow – 1 ex. (FVMC); near Fazenda Rancho Grande, 62 km SW Ariquemes, (10°32'S, 62°48'O), 4-16.xi.1997, J.E. Eger – 1 ex. (FSCA); Rio Madeira, Madeira-Mamore R. R. Co. Camp 41, (10°11'S, 65°17'O), [sans date], Mann & Baker – 2 ex. (USNM); RORAIMA, Ilha de Maracá, (3°25'N, 61°40'O), ix.1996, Ribeiro & Vaz-de-Mello – 1 ex. (FVMC); **COLOMBIE** : AMAZONAS, Isla Santa Sofia, Leticia, (4°2'41"S,

70°6'5"O), 23.ii.-2.iii.1974, J. Peck – 1 ex. (CMNC); CAQUETÁ, Puerto Solano, Río Cuñare, Parque Nacional Natural La Serranía de Chiribiquete, 250 m (0°30'N, 72°37'50"O), 2-4.xi.2000, E. González & M. Ospina (M.161) – 1 ex. (IAVH); GUAINÍA, Caño Bocón, Santa Rosa, 100 m (3°4'46"N, 68°2'26"O), xi.1996, S. Amezquita & A. Lopera – 1 ex. (IAVH); GUAVIARE, Finca La Esmeralda, San José del Guaviare, 240 m (2°33'N, 72°38'O), 5.i.2003, [anonyme] – 1 ex. (WDEC); META, 30 km E Villavicencio, (4°4'43"N, 73°22'23"O), 1-4.iii.1972, S. & J. Peck – 3 ex. (CMNC, ROME); 33 km E Villavicencio, (4°5'37"N, 73°21'12"O), 2-4.iii.1972, S. & J. Peck – 1 ex. (CMNC); Centro de Investigaciones Ecológicas Macarena [=CIEM], Río Duda, Parque Nacional Natural Tinigua, 350 m (2°40'N, 74°10'O), i.1996, I. Jiménez – 2 ex. (IAVH); PUTUMAYO, Puerto Asis – Puerto Vega, Río Putumayo, 4-27.vii.1996, V. Malý – 2 ♀♀, 3 ♂♂ (VMPC); **COSTA RICA** : [sans localité], [sans date], [anonyme] – 2 ex. (CMNC, CMNH); PUNTARENAS, 5 km O Rincón, 15 m (8°41'46"N, 83°30'37"O), 1.iii.1968, B. Cornaby – 2 ex. (USNM); même localité, 4.iii.1968, B. Cornaby – 1 ex. (USNM); Península de Osa, 16.v.1979, A. Forsyth – 1 ex. (WBWC); Rincón de Osa, (8°41'37"N, 83°28'21"O), 1.viii.1966, [anonyme] – 2 ex. (WDEC); même localité, 10-15.viii.1966, S. Peck – 5 ex. (CMNC, CNC); **ÉQUATEUR** : alto Río Bobozaza, Oriente, [sans date], K.A. Riisterborg – 1 ex. (USNM); NAPO, Scyasuni, 200 m, 25-27.x.1997, D. Padilla & I. Tapia – 2 ex. (QCAZ); ORELLANA, Estación Científica Yasuní (PUCE), 250 m (0°40'16.7"S, 76°24'1.8"O), 3-6.iii.1995, M. Bass & N. Pitman – 11 ex. (USNM); même localité, 20-22.iii.1995, M. Bass & N. Pitman – 7 ex. (USNM); même localité, 27.vii.-1.viii.1998, Ratcliffe, Jameson, Smith, Villatoro – 4 ex. (ABTS, UNSM); même localité, 5-10.ix.1999, E.G. Riley – 10 ex. (TAMU); même localité, 9-17.ix.1999, D.G. Marqua – 15 ex. (DGMF); Estación de Biodiversidad Tiputini (USFQ), Parque Nacional Yasuní, 220 m (0°38'S, 76°9'O), ix.2000, D. Inward – 8 ex. (BMNH); même localité, 15-22.ii.1997, field course per D.C. Darling (ROM 971001) – 7 ex. (ROME); même localité, 14-18.ii.1999, D.C. Darling (ROM 991051) – 1 ex. (ROME); Río Yasuni, Site No. 2, 15-22.ix.1977, J.J. Anderson – 3 ex. (USNM); SUCUMBÍOS, 2 km N Limoncocha, 250 m (0°23'17"S, 76°37'15"O), 22-28.vi.1976, S. Peck – 1 ♂, 23 ex. (CMNC, ROME); Dureno, Río Aguarico, 150 m (0°2'40"N, 76°41'50"O), 23-30.ix.1977, L. Peña – 2 ex. (CMNC, ROME); même localité, 23-28.ix.1977, L. Peña – 1 ex. (ROME); La Selva Lodge, 150 km down Río Napo from Coca, (0°27'57"S, 75°20'31"O), 20-28.xii.1996, C.E. Gordon – 2 ex. (WBWC); Limoncocha, 250 m (0°24'38"S, 76°37'37"O), 10-15.iii.1975, J.M. Campbell – 1 ex. (CMNC); même localité, 11.iii.1976, J.M. Campbell – 3 ex. (CNC); même localité, 18-24.vi.1976, S. Peck – 13 ex. (CMNC, ROME); même localité, 21-28.vi.1976, S. Peck – 1 ex. (CMNC); Lombaquí, 800 m (0°4'54"N, 77°20'14"O), xii.1984, Voirin – 1 ex. (MHNG); **GUYANA** : [sans localité], 17.vii.1925, [anonyme] – 2 ex. (CMNH); **GUYANE FRANÇAISE** : CAYENNE, Route de Kaw, PK 34,

(4°33'N, 52°10'O), i.1985, P. Arnaud – 1 ex. (CMNC); SAINT-LAURENT-DU-MARONI, Mont La Fumée, 3 km NW Les Eaux Claires, 7 km N Saül, 490 m (3°39'46"N, 53°13'19"O), 1-8.vi.1997, J. Ashe & R. Brooks (1997-162) – 3 ex. (CMNC); Saül, (3°37'N, 53°12'O), iii.1977, [anonyme] – 2 ex. (CNC); même localité, ix.1976, P. Arnaud – 2 ex. (PAIC); **PÉROU** : LORETO, Campamento San Jacinto, 175-215 m (2°18.75'S, 75°51.77'O), 2.vii.1993, R. Leschen (1993-05) – 1 ex. (SEMC); même localité, 8.vii.1993, R. Leschen (1993-54) – 1 ex. (SEMC); Iquitos, (3°42'30"S, 73°15'30"O), 14.iii.1969, B.K. Dozier – 1 ex. (FSCA); Péba [=Pebas], (3°19'6"S, 71°51'33"O), [sans date], [anonyme] – 1 ♂ (paralectotype) (NMPC); MADRE DE DIOS, Estación Biológica Cocha Cashu, Parque Nacional de Manú, 380 m (11°53'45"S, 71°24'24"O), 18.viii.-5.ix.1986, D.C. Darling & A.B. Forsyth – 2 ex. (ROME); même localité, 20-22.viii.1986, D.C. Darling (ROM#863547) – 9 ex. (ABTS, ROME); Lago Sandoval, (12°36'55"S, 69°2'3"O), 30.xi.-2.xii.1998, B. Landry – 2 ex. (CMNC); Parque Nacional del Manú, (12°15'S, 71°45'O), 15-30.viii.1986, A. Forsyth – 1 ♀, 1 ♂, 16 ex. (CMNC, OUMNH); Río Tambopata Res., 30 km (air) SW Puerto Maldonado, 290 m (12°50'S, 69°20'O), 18.ix.1983, [anonyme] – 1 ex. (USNM); Ccolpa de Guacamayos, Río Tambopata, 300 m (13°8.5'S, 69°36.4'O), x.1995, A. Forsyth – 107 ex. (USNM); **VENEZUELA** : AMAZONAS, Alto Río Mavaca, 150 m (2°2'10"N, 65°6'50"O), 14.ii.-6.iii.1989, J. DeMarmels & A. Chacon – 3 ex. (MIZA); Basecamp, Cerro de la Neblina, 140 m (0°51'N, 66°10'O), 20-24.iii.1984, O. Flint & J. Louton – 1 ex. (USNM); même localité, 26-31.i.1985, P.J. & P.M. Spangler, R.A. Faitoute & W.E. Steiner – 2 ex. (CMNC); Cerro de la Neblina, Basecamp, 140 m (0°50'N, 66°9'44"O), 13-20.ii.1984, D. Davis & T. McCabe – 2 ex. (USNM); même localité, 21-29.ii.1984, D. Davis & T. McCabe – 1 ex. (USNM); Mamurividi, Río Pasimoni, 5.vii.1984, L.J. Joly & J. DeMarmels – 1 ex. (MIZA); Marahuaca-Macizo Central, Parque Nacional Duida-Marahuaca, 1040 m (3°40'N, 65°28'O), 2-6.iii.1985, Exp. Marawaca – 1 ex. (MIZA); Atures, Base Aramare, San Jose de Camani, (5°3'N, 66°20'O), vi.1979, Martínez – 14 ex. (CMNC); même localité, vii.1979, Martínez – 4 ex. (CMNC); San Jose de Camani, 120 m (5°3'2"N, 66°20'3"O), vi.1979, A. Martínez – 1 ex. (CMNC); Río Negro, Río Baria, 140 m (0°56'N, 66°10'O), 4-11.ii.1984, L. J. Joly & A. Chacón – 34 ex. (MIZA); même localité, 15.ii.1984, C. Padilla – 1 ex. (MIZA); même localité, 17.ii.1984, C. Padilla – 1 ex. (MIZA); même localité, 18.ii.1984, C. Padilla – 1 ex. (MIZA); même localité, 20.ii.1984, C. Padilla – 1 ex. (MIZA); même localité, 26.ii.1984, C. Padilla – 1 ex. (MIZA); même localité, 28.ii.1984, C. Padilla – 2 ex. (MIZA); même localité, 29.ii.1984, C. Padilla – 3 ex. (MIZA); même localité, 11.iii.1984, C. Padilla – 2 ex. (MIZA); même localité, 25.iii.-15.iv.1984, C. Padilla – 2 ex. (MIZA); même localité, 25.xi.-4.xii.1984, E. Osuna & A. Chacón – 7 ex. (MIZA); BOLIVAR, 10 km S El Doralo, 200 m (6°38'39"N, 61°35'35"O), 17.vii.-7.viii.1986, B. Gill – 4 ex. (CMNC); 20 km S El Dorado, 220 m (6°32'40"N, 61°34'19"O), 20-23.vii.1986, B. Gill – 3 ex.

(CMNC); 22 km SE El Dorado, (6°32’26”N, 61°33’55”O), 25.vi.-12.vii.1987, S. & J. Peck – 5 ex. (CMNC); 33 km S El Dorado, 220 m (6°27’8”N, 61°30’35”O), 2-7. viii.1986, B. Gill – 3 ex. (CMNC); Km 40 Santa Elena, Icabarú Road, 1000 m (7°26’20”N, 61°33’30”O), 4-6.viii.1986, B.D. Gill – 2 ex. (CMNC); Las Trincheras, Río Caura, (6°58’5”N, 64°53’44”O), 10-11.viii.1986, B. Gill – 2 ex. (CMNC); Río Surucún, Carretera Santa Elena-Icabaru, 850 m, 19-31.i.1985, F. Fernandez Y., A. Chacon, J. Demarmels – 5 ex. (MIZA); Suapure, (7°14’N, 65°10’O), 23.iv.1900, E.A. Klages – 2 ex. (USNM); Suapure, Río Caura, (7°14’N, 65°10’O), 18.iv.2000, E.A. Klages – 2 ex. (CMNC); MONAGUAS, Caripito, Tropical research Station, New York Zool. Society, (10°7’5”N, 63°6’29”O), 18.vi.1942, [anonyme] – 2 ex. (USNM); même localité, 29.vi.1942, [anonyme] – 1 ex. (USNM).

CONDITION DE CAPTURE. Les quelques spécimens comportant des données ont été capturés à l’aide de pièges à fosse appâtés avec de la charogne non spécifiée, de la charogne de poisson, des excréments humains, de porcs, des déjections bovines et à l’aide de pièges à interception de vol. Un spécimen capturé dans un cadavre d’iguane vert (*Ignana iguana*).

HABITAT. Espèce habitant toute la forêt tropicale humide primaire et secondaire du bassin de l’Amazone jusqu’à 1040 m.

PHÉNOLOGIE. Spécimens capturés toute l’année.

REMARQUES. Cette espèce est morphologiquement très homogène malgré sa grande répartition. En dépit des années de récolte et de piégeage de coprophages au Panama, aucun spécimen de cette espèce n’y a été trouvé. La population du Costa Rica semble donc isolée et pourrait provenir d’une introduction accidentelle.

Eurysternus francinae Génier sp. nov.

(Figs. 22, 65, 176-177, 230)

ÉTYMOLOGIE. Patronyme en hommage à Francine Rouleau-Barrett, ma mère, pour qui j’ai beaucoup d’admiration et qui a toujours appuyé mes projets entomologiques.

DESCRIPTION. **Longueur**. 13,0-17,5 mm. **Couleur**. Très variable, variant de brun orangé, avec plusieurs petites taches irrégulières rattachées en partie à la ponctuation, à presque complètement noir, avec quelques grandes taches orangées sur la face ventrale. **Tête**. Arête antérieure semi-hexagonale. Yeux visibles sur le

dessus, plus longs que larges. Surface de la tête mate, à ponctuation fine et estompée; points munis d'une soie squameuse de taille assez uniforme. **Pronotum**. Arêtes latérales divergentes jusqu'au tiers distal. Angles antérieurs droits. Angle latéral largement arqué. Arête latérale carénée sur les deux tiers postérieurs. Surface munie d'une seule callosité lustrée, le reste de la surface complètement mate; ponctuation estompée sur toute la surface, chaque point muni d'une courte soie recourbée foncée. **Élytres**. Arête latérale médiocrement arquée en vue dorsale, sur le même plan que le huitième interstrie. Interstries presque plans sur le disque. Stries modérément larges à ponctuation superficielle. Interstries à forte microsculpture alvéolée confluente; soies écartées, courtes, plus ou moins squameuses variant de testacées à brunes, formant des touffes sur les interstries impairs. Interstrie 3, gibbeux à l'apex. Calus apical pourvu sur les interstries 5 et 7 de soies plus longues que sur l'interstrie 6. **Sternites thoraciques**. Carène proépisternale arquée et rejoignant l'angle antérieur. Prosternum presque régulièrement convexe, terminé en pointe au milieu à l'avant; arête postérieure très largement arquée et dentiforme au milieu; surface à ponctuation écartée et estompée, chaque point muni d'une soie testacée squameuse; surface à forte microsculpture alvéolée, sauf au milieu à l'arrière. Lobe médian du métasternum légèrement déprimé au milieu à l'avant, muni d'une grosse dent longitudinale le long de la ligne médiane à l'arrière chez les mâles, surface munie d'une fovéole sur le disque suivie postérieurement d'une carène obtuse chez les femelles, surface postérieure déprimée de chaque côté du milieu à l'arrière; la région adjacente aux hanches médianes plane; surface en grande partie soyeuse à ponctuation estompée. **Pattes**. Fémur antérieur à surface ventrale déprimée chez les mâles, en grande partie plane chez les femelles; arête antérieure estompée, munie d'un petit tubercule aigu du côté antérieur sur le tiers basal et d'une carène sur le tiers distal; surface à ponctuation estompée, devenant un peu râpeuse à l'arrière vers l'apex. Tibia antérieur mâle muni de deux dents latérales à l'apex, la basale complètement fusionnée avec la dent ventrale médiane; carène longitudinale ventrale interrompue avant le milieu, présente et crénelée entre la dent médiane et l'apex. Tibia antérieur femelle muni de trois dents normales; arête interne droite largement arquée en vue dorsale, simplement émarginée sur le quart médian, munie d'un assez gros tubercule acéré vers le milieu de la face ventrale; carène longitudinale ventrale réduite fine. Fémur médian peu élargi vers l'apex en vue ventrale, à surface mate, ponctuation estompée. Hanche postérieure dentée à l'apex. Fémur postérieur claviforme; surface ventrale mate, en grande partie foncée, plus ou moins largement claire antérieurement à l'apex; arête postérieure ventrale presque droite et assez nette sur toute la longueur; arête postérieure dorsale carénée; face postérieure mâle munie d'une grosse dent recourbée vers l'intérieur après le milieu; face postérieure femelle munie d'une assez longue dent acérée vers le milieu. Tibia postérieur mâle régulièrement arqué au milieu, face interne munie

de 6 à 9 tubercules dentiformes; angle apical interne fortement élargi, rejoignant presque l'apex du premier tarsomère chez les mâles; tibia postérieur femelle régulièrement arqué, face interne munie de 6 à 9 tubercules obtus. **Abdomen**. Segment 3 acéré antérieurement entre les hanches postérieures. Segments 4 à 7 déprimés sur le disque chez les mâles, plats chez les femelles; ponctuation très fine et estompée sur toute la surface, soies des points très fines; segments 6 et 7 munis latéralement de quelques soies plus longues et denses. Segment 8 non ponctué au milieu. Pygidium non marginé latéralement; surface convexe, sillon basal un peu plus large et profond au milieu et de chaque côté; ponctuation estompée, soies foncées, squameuses et assez régulièrement réparties, assez longues à l'apex. **Édéage**. Paramères graciles, régulièrement recourbés vers le bas à l'apex, sans rugosités; arête dorsale droite en vue latérale, un peu sinueuse avant l'apex en vue dorsale. Crochet de la lamelle accessoire du sac interne dentiforme, aigu.

Holotype ♂ (MZSP) : Cantar [=Serra da Cantareira], 10.iii.35 (manuscrite) / HOLOTYPE ♂, *Eurysternus francinae* sp. nov. F. Génier (carton rouge). Édéage extrait par Navajas.

Allotype ♀ (MZSP) : Mêmes données que l'holotype.

MATÉRIEL EXAMINÉ. Répartition géographique Fig. 230; 67 ex. : **[PAYS NON SPÉCIFIÉ]** : même localité, [sans date], D. Latreille – 1 ♀ (paratype) (BMNH); **BRÉSIL** : [sans localité], [sans date], [anonyme] – 1 ♀ (paratype) (MZSP); ESPIRITO SANTO, Parque estadual da Pedra Azul, Domingos Martins, 1500 m (20°24'7"S, 41°1'23"O), i.2000, Lopez-Andrade & Vaz-de-Mello – 1 ♂ (paratype) (FVMC); MINAS GERAIS, Pocinhos [do Rio Verde], (21°56'S, 46°25'O), 5.xii.1935, J. Halik – 1 ♀ (paratype) (USNM); Serra Caraça, 1380 m (20°6'S, 43°29'3"O), xi.1961, Kloss, Lenko, Martins & Silva – 2 ♀♀, 1 ♂ (paratypes) (MZSP, UNSM); PARANÁ, Heimtal, (23°15'S, 51°9'O), ii.1935, Pohl – 1 ♀ (paratype) (IBSP); RIO DE JANEIRO, Itatiaia, (22°28'S, 44°34'O), iv.1995, Celso – 1 ♂ (paratype) (FVMC); RIO GRANDE DO SUL, Bento Gonçalves, (29°10'24"S, 51°29'54"O), ix.2001, C. Arioli – 4 ♀♀, 7 ♂♂ (11 paratypes) (FVMC); Monte Belo, (27°36'36"S, 53°59'59"O), 20.ix.2001, C. Arioli – 1 ♀ (paratype) (FVMC); SANTA CATARINA, Blumenau, (26°55'25"S, 49°4'34"O), 1930, L. Schmith – 1 ♀ (paratype) (MZSP); SÃO PAULO, Barueri, (23°31'7"S, 46°52'42"O), 17.ix.1954, K. Lenko – 1 ♂ (paratype) (MZSP); Cantar [=Serra da Cantareira], (23°26'S, 46°38'O), 10.iii.1935, [anonyme] – 1 ♀, 1 ♂ (holotype, allotype) (MZSP); Cantareira, São Paulo, (23°27'49"S, 46°38'0"O), 10.ix.1933, J. Halik – 1 ♀ (paratype) (USNM); Fazenda Pau d'Alho, Itú, (23°20'56"S, 47°9'49"O), i.1966, [anonyme] – 1 ♀ (paratype) (WDEC); Serra do Japi, [sans date], M.I.M.

Hernández – 2 ♀♀ (2 paratypes) (FVMC); même localité, x.1997, M.I. Medina H. – 1 ♀, 2 ♂♂ (3 paratypes) (FVMC); même localité, 1998, M.I.M. Hernández – 15 ♀♀, 15 ♂♂ (30 paratypes) (FVMC); [sans localité], [sans date], [anonyme] – 1 ♀, 3 ♂♂ (4 paratypes) (BDGC, VMPC).

CONDITION DE CAPTURE. Tous les spécimens comportant des données ont été capturés au piège à fosse appâté avec des excréments humains. Un spécimen trouvé dans de la bouse de vache.

HABITAT. Aucune donnée rattachée aux spécimens examinés. Espèce de la forêt atlantique de brouillard, toujours à plus de 1000 m dans le nord de sa répartition et un peu plus bas dans le sud, où la latitude compense pour l'altitude (Vaz de Mello, comm. pers.).

PHÉNOLOGIE. Spécimens capturés en janvier, février, mars, mai, septembre à décembre.

REMARQUES. Il s'agit de l'espèce *E. carinatus* de Navajas restée *in litteris*. Jessop (1984) avait examiné les spécimens vus par Navajas, mais les avait tout simplement déterminés comme *E. caribaeus*.

ANNEXE 1. CLÉS DE DÉTERMINATION

Clé de détermination des adultes des groupes d'espèces du genre *Eurysternus*

Note. Les mâles se distinguent par la brosse ou touffe de soies de l'apex du tibia antérieur. (Figs. 26, 59, 62, 121, 133, 135, 165, 167, 172).

1(0) Espèces de petite taille (moins de 8,0 mm); dessus du corps couvert de longues soies dressées mêlées de courtes soies (Fig. 36); microsculpture des élytres formant toujours un réseau de lignes plus ou moins transverses (Fig. 37); stries des élytres habituellement larges, les quatre premières stries séparées par moins de trois fois leur largeur sur le disque (Fig. 37)............ 2

\- Espèces généralement de plus grande taille (plus de 8,0 mm, exceptionnellement 8,0 mm chez les plus petits individus du groupe *deplanatus*); dessus du corps couvert de soies courtes et généralement de taille plus uniforme, sauf quelques touffes de longues soies à l'apex des élytres et quelquefois sur la région antérieure du pronotum, sur la tête ou des rangées de soies le long de la marge latérale du pronotum et des élytres (Fig. 38); microsculpture des élytres variable, alvéolée (formant un réseau de lignes transverses seulement chez *E. gilli*) (Fig. 39); stries des élytres habituellement étroites, les quatre premières stries séparées par plus de trois fois leur largeur sur le disque (Fig. 39) 3

2(1) Tibia postérieur muni de plusieurs rangées longitudinales de soies rapprochées, excepté deux ou trois petits groupes de soies sur la moitié distale (Fig. 40); stries des élytres très larges, les quatre premières stries séparées par moins de trois fois leur largeur sur le disque (Fig. 37); éperon du tibia postérieur mâle non articulé (Fig. 41) ....**Groupe *hirtellus***

\- Tibia postérieur sans peigne de soies, les soies isolées, longues et spiniformes; certains individus avec quelques petites soies courtes et squameuses entre ces longues soies (semblable à Fig. 42); stries des élytres normales, les quatre premières stries séparées par plus de trois fois leur largeur sur le disque (semblable à Fig. 39); éperon du tibia postérieur mâle articulé (semblable à Fig. 43).......... **Groupe *navajasi*** (une espèce, *E. navajasi* Martínez)

3(1) Éperon du tibia postérieur mâle articulé (Fig. 43); femelle sans trace de denticule ou de tubercule sur la face postérieure du fémur postérieur (sauf

chez les femelles d'*E. deplanatus*, les marges postéroventrales avec un petit lobe au milieu); déclivités apicales des élytres toujours munies de longues soies (Fig. 44); carène de l'épaule courte, jamais prolongée au-delà du sixième basale de l'élytre (Fig. 45) 4

\- Éperon du tibia postérieur mâle fusionné (Fig. 46); fémur postérieur femelle habituellement muni d'un denticule ou d'un tubercule (deux chez *E. cyclops*) sur la face postérieure (Fig. 47) (si non modifié voir le caractère suivant); déclivité apicale de l'élytre munie de soies semblables en longueur à celles du reste de la surface chez les espèces démunies de denticule ou de tubercule sur la face postérieure du tibia postérieur (Fig. 48); carène de l'épaule courte ou prolongée au-delà du tiers distal...................................... 6

4(3) Disque du pronotum en majeure partie couvert de grands points ocellés confluents, ponctuation plus petite et écartée sur la région antérieure, surface entre les points recouverte d'une microsculpture facilement visible à 50 X (Fig. 49) .... **Groupe *cayennensis***

\- Disque du pronotum sans ponctuation ocellée nette et confluente, les points en majorité séparés par un espace équivalant à au moins une fois leur diamètre (Figs. 50, 52-53); microsculpture variable 5

5(4) Région antérieure du pronotum munie de trois calus glabres et habituellement lustrés, tranchant fortement sur le reste de la surface, le médian triangulaire et les latéraux ronds, le calus médian toujours distinctement convexe (Fig. 50); fémur postérieur en forme de massue, à surface en majeure partie lustrée (Fig. 51) ....**Groupe *deplanatus***

\- Région antérieure du pronotum sans calus glabres et lustrés ou munie de trois petites régions glabres, mais opaques comme le reste de la surface, la médiane plus ou moins triangulaire et les latérales rondes, la région glabre médiane jamais convexe (Figs. 52, 53); fémur postérieur non modifié, à surface en majeure partie mate ....**Groupe *inflexus***

6(3) Hanches postérieures unicolores latéralement; segment abdominal 3 tronqué antérieurement entre les hanches postérieures qui sont plus ou moins largement séparées (Fig. 54); yeux peu visibles sur le dessus de la tête (Fig. 55) 7

\- Hanches postérieures bicolores, habituellement claires et munies de deux taches foncées, une près de l'insertion du trochanter et l'autre au milieu (ce caractère est plus difficile à distinguer chez les individus sales ou graisseux) (Fig. 56); segment abdominal 3 acuminé antérieurement entre les hanches postérieures qui sont presque contigües (Fig. 57); yeux bien visibles sur le dessus de la tête (Fig. 58) 9

7(6) Tarses antérieurs habituellement absents (facilement détachables), si présents, ils sont fortement réduits, peu chitineux et clairs (Fig. 59); pronotum sans fine carène nette sur l'arête latérale de la moitié basale, arête non semblable à celle de la marge postérieure des proépisternes, le rebord simplement arrondi à l'intérieur de la rangée de soies (sauf chez *E. sulcifer*, qui se distingue du groupe *calligrammus* par le huitième interstrie plus élevé que la carène du pseudépipleure des élytres au milieu et du groupe *velutinus* par la présence de gros points confluents sur le métasternum) (Fig. 60); pronotum couvert d'une ponctuation râpeuse mélangée de points ocellés (Fig. 61)..**Groupe *foedus***

\- Tarse antérieur habituellement présent, normal (un peu réduit chez les mâles du groupe *calligrammus*) et de même couleur que le tibia (Fig. 62); pronotum finement caréné sur l'arête latérale de la moitié basale, semblable à celle de la marge postérieure des proépisternes (Fig. 63); pronotum couvert d'une ponctuation ocellée assez uniforme sur le disque (Fig. 63) 8

8(7) Carène du pseudépipleure des élytres tranchante, fortement recourbée vers le dessus au milieu, plus haute que la région adjacente du disque des élytres; coloration des élytres noire ou brun foncé présentant de forts reflets métalliques bleus ou verts ....**Groupe *calligrammus***

\- Carène du pseudépipleure des élytres peu tranchante, non recourbée vers le dessus au milieu, plus basse que la région adjacente du disque des élytres (Fig. 32); coloration des élytres brune, présentant des reflets soyeux vert olive..**Groupe *velutinus***

9(6) Disque du métasternum sans fovéole au milieu (Fig. 64); cinquième interstrie de l'élytre peu convexe, moins haut que la carène du pseudépipleure (Fig. 65); huitième interstrie plus bas que la carène du pseudépipleure au milieu de l'élytre (Fig. 65).. **Groupe *caribaeus***

\- Disque du métasternum muni d'une fovéole ronde et glabre au milieu (sauf chez les mâles d'*E. marmoreus*) (Fig. 66); cinquième interstrie de l'élytre convexe et plus haut que la carène du pseudépipleure (Fig. 67); huitième interstrie bien plus haut que la carène du pseudépipleure, fortement bombé au milieu de l'élytre (Fig. 67).. 10

10(9) Pronotum en partie couvert de points ocellés confluents, quelquefois ces points présents seulement dans les concavités du pronotum (Fig. 68); taille moyenne plus petite (6,0-10,5 mm)..........................**Groupe *impressicollis***

\- Pronotum en majeure partie couvert de petits points simples et non confluents, ou de points ayant un aspect ocellé mais avec leur rebord pos-

térieur estompé (Fig. 69); taille moyenne plus grande (8,5-17,0 mm)........... ....**Groupe *magnus***

Clé de détermination des espèces du groupe *cayennensis*

1(0) Hanches postérieures unicolores latéralement; ponctuation du disque du pronotum ronde, le milieu de chaque point portant une protubérance plus ou moins convexe, les soies insérées au milieu des points (un peu plus à l'avant sur les déclivités latérales chez *E. cayennensis*) (Fig. 70)...................... 2

\- Hanches postérieures bicolores latéralement (Fig. 71); ponctuation du disque du pronotum ovale, sans protubérance distincte, le milieu de chaque point concave et recouvert d'une forte microsculpture fovéolée, chaque soie insérée contre ou près du bord antérieur des points (Fig. 49) 4

2(1) Lobe médian du métasternum sans gros point ocellé sur le disque, au plus présentant quelques points ocellés très espacés près des hanches médianes (Fig. 72); microsculpture de l'élytre alvéolée (Fig. 73); éperon du tibia postérieur mâle long, environ les deux tiers de la largeur de l'arête apicale (Fig. 74); Bolivie, Brésil, Colombie, Équateur, Guyane française, Pérou, Suriname, Venezuela .... *E. cayennensis* Castelnau

\- Lobe médian du métasternum couvert latéralement et sur le disque de plusieurs gros points ocellés nets (Fig. 75); microsculpture des élytres en réseau transverse près de la base (Fig. 76); éperon du tibia postérieur mâle court, environ le quart de la largeur de l'arête apicale (Fig. 77) 3

3(2) Fémur postérieur dilaté en lobe pubescent sur la partie apicodorsale, ce lobe moins développé, mais toujours distinct chez les femelles (Fig. 78); arête latérale du pronotum régulièrement arrondie sur la moitié antérieure; Amazonie .... *E. gilli* sp. nov.

\- Fémur postérieur simple sur la partie apicodorsale (Fig. 79); arête latérale du pronotum subangulaire sur la moitié antérieure; Amazonie.................... .... *E. gracilis* sp. nov.

4(1) Points de la région médiane antérieure du pronotum beaucoup plus espacés que sur le reste de la surface, habituellement mélangés de quelques points plus petits (Fig. 80); points du disque du métasternum irréguliers et mal définis (Fig. 81); carène postéroventrale du fémur postérieur mâle flanquée d'une rangée de soies denses sur la face postérieure, ces soies devenant graduellement plus longues vers le milieu (Fig. 82); cinquième sternite mâle un

peu sinué au milieu de l'arête postérieure; Bolivie, Brésil, Colombie, Équateur, Guyane française, Pérou, Suriname .... *E. vastiorum* Martínez

\- Points de la région médiane antérieure du pronotum presque aussi dense que sur le reste de la surface, uniformes; points du disque du métasternum égaux, nets et confluents; carène postéroventrale du fémur postérieur mâle flanqué d'une rangée de courtes soies squameuses non contigües sur la face postérieure, uniformes sur toute la longueur; cinquième sternite mâle muni d'un tubercule sur la marge postérieure au milieu; Bolivie, Brésil, Guyana, Guyane française, Venezuela.. *E. ventricosus* Gill

Clé de détermination des espèces du groupe *deplanatus*

1(0) Surface du pronotum lustrée entre les points sur le disque; fémur postérieur faiblement claviforme, arête antérieure et postérieure s'élargissant immédiatement après le trochanter, couleur en grande partie pâle; taille inférieure à 11,0 mm; sud-est du Brésil .... *E. deplanatus* (Germar)

\- Surface du pronotum opaque entre les points sur le disque (Fig. 83); fémur postérieur claviforme, arêtes antérieure et postérieure parallèles bien après le trochanter, couleur en grande partie vert olive foncé (Fig. 51); taille supérieure à 11,0 mm; Argentine, sud du Brésil et Paraguay .... *E. parallelus* Castelnau

Clé de détermination des espèces du groupe *inflexus*

1(0) Prosternum en arrière des hanches antérieures muni d'une rangée de fines soies semblables à celle du métasternum; soies du pronotum très fines et recourbées à l'apex (Fig. 84); surface du pronotum couverte d'une ponctuation ocellée (Fig. 85); surface du pronotum et des élytres simplement mate, sans microsculpture distincte (grossissement de 50X); angles antérieurs du pronotum subangulaires (Fig. 86); segment abdominal 3 mâle sans petit tubercule plat au milieu de l'arête postérieure; tibia postérieur mâle droit à la base sur les trois cinquièmes, puis abruptement recourbé vers l'intérieur en vue ventrale (Fig. 87); sud-est du Brésil ....*E. inflexus* (Germar)

\- Prosternum en arrière des hanches antérieures muni d'une rangée de fortes squamules couchées; soies du pronotum squameuses et dressées (Fig. 88); surface de l'angle antérieur du pronotum sans points ocellés (Fig. 89); surface du pronotum et des élytres recouverte d'une microsculpture nette (Fig. 89); arête latérale de l'angle antérieur du pronotum arquée (Fig. 89);

segment abdominal 3 mâle muni d'un petit tubercule plat au milieu; tibia postérieur mâle largement arqué ou presque droit en vue ventrale 2

2(1) Tibia postérieur muni de plusieurs rangées de soies; fémur postérieur fortement rétréci et plus foncé sur le tiers basal; fémur antérieur mâle muni d'une grosse dent dirigée latéralement et recourbée vers l'arrière sur l'arête antérieure; tibia antérieur mâle muni d'un petit tubercule ventral aigu sur le tiers basal interne; Amazonie ....*E. wittmerorum* Martínez

\- Tibia postérieur muni de fortes soies spiniformes isolées ou par petits groupes de 2 à 4 (Fig. 90); fémur postérieur large à la base, foncé seulement à la jonction du trochanter et du fémur; fémur antérieur mâle sans dent sur l'arête antérieure; tibia antérieur mâle muni d'une rangée de petites dents obtuses sur l'arête interne; Bolivie, Brésil et Paraguay .....*E. jessopi* Martínez

Clé de détermination des espèces du groupe *hirtellus*

1(0) Proépisternum muni d'une seule carène bordant l'arête antérieure (Fig. 91).. 2

\- Proépisternum muni de deux carènes, la première bordant l'arête antérieure et la seconde un peu plus vers l'arrière, cette dernière quelque fois fusionnée avec la première sur une certaine longueur (Figs. 92-93) 3

2(1) Taille très petite, 4,5-5,0 mm; milieu de la moitié antérieure de la hanche postérieure muni d'une tache jaunâtre; arête latérale (9e interstrie) de l'élytre munie d'une rangée de soies alignées, la surface de cet interstrie au même niveau que la surface du 8e interstrie au milieu; tibia antérieur mâle muni de deux dents sur l'arête externe; Brésil (Bahia).......................*E. nanus* sp. nov.

\- Taille petite, 6,5-8,0 mm; hanche postérieure complètement foncée; arête latérale (9e interstrie) munie d'une rangée de soies non alignée, la surface de cet interstrie plus élevée que la surface du 8e interstrie au milieu; tibia antérieur mâle muni de trois dents sur l'arête externe; Brésil (Bahia, Espirito Santo, Minas Gerais, Rio de Janeiro).................................*E. hirtellus* Dalman

3(1) Dernier sternite abdominal muni de grosses squamules denses voilant en grande partie la surface sur la moitié basale (Fig. 94); Région amazonienne de Colombie, Équateur et Pérou ....*E. squamosus* sp. nov.

\- Dernier sternite abdominal muni de quelques longues soies plus éparses, habituellement fines et dressées, ces soies ne voilant jamais la surface (Fig. 95)... 4

4(3) Carène ventrolatérale du tibia postérieur entière, très forte et lustrée, les soies disposées sur le côté externe de la carène (Fig. 96); mâle ayant la carène latérale du tibia antérieur non modifiée, toujours plus haute que la face ventrale sur la moitié basale.. 5

\- Carène ventrolatérale du tibia postérieur interrompue par des soies (Fig. 97); mâle ayant la carène latérale du tibia antérieur recourbée vers le bas, l'arête fortement dentelée (Fig. 98) 6

5(4) Arêtes latérales du pronotum parallèles; angles antérieurs du pronotum subangulaires (Fig. 99); arête externe du tibia postérieur sinuée; mâle possédant une touffe de soies claires sur la face interne du tibia postérieur (Fig. 100); angles antérieurs du pronotum femelle dentiforme, lustré et recourbé dorsalement; Bolivie, Colombie, Équateur, Pérou............. *E. lanuginosus* sp. nov.

\- Arêtes latérales du pronotum s'élargissant vers l'avant; angles antérieurs du pronotum largement arrondis; arête externe du tibia postérieur droite; mâle possédant une seule rangée de soies claires sur la face interne du tibia postérieur; angles antérieurs du pronotum femelle non modifié; Pérou, Brésil (Acre, Amazonas).. *E. strigilatus* sp. nov.

6(4) Interstrie juxtasutural lustré, présentant des reflets métalliques cuivrés ou verts au moins sur la moitié distale (Fig. 101); ponctuation de la tête très serrée, tous les points confluents, sauf pour une région étroite près de la marge antérieure à ponctuation composée seulement de points simples sur un fond brillant à reflets métalliques (surface complètement mate seulement chez *E. martinsi*) (Fig. 102).. *7*

\- Interstrie juxtasutural semblable aux autres, sans reflet métallique, opaque (Fig. 103); ponctuation de la tête plus éparse, la majorité des points séparés par un espace au moins équivalant à leur diamètre, région antérieure sans points simples et sans reflets métalliques (sauf *E. cambeforti* qui possède un fin liseré métallique) (Fig. 104).. 9

7(6) Soies de la déclivité apicale des élytres complètement noires; région antérieure du clypéus à surface complètement mate; arête interne du tibia postérieur mâle nettement crénelée, les soies du tiers médian semblable à celles du tiers distal, non contigües; Brésil (Minas Gerais)....................... *E. martinsi* sp. nov.

\- Soies de la déclivité apicale des élytres plus claires que celles du disque, ou de même couleur que celles du disque et dans ce cas testacées ou brunâtres; région antérieure du clypéus à surface au moins étroitement lustrée; arête interne du tibia postérieur mâle sans crénelure au milieu, les soies du tiers médian, pâles et contigües, beaucoup plus fines (Fig. 105) 8

8(7) Surface de la tête en grande partie opaque et sans reflets métalliques, sauf pour une étroite bande verte métallique, cette bande couvrant au plus le huitième de la longueur de la tête au milieu et à peu près aussi large que la sinuosité médiane, la surface du tégument brun foncé à noire et possédant une forte microsculpture entre les points ocellés (Fig. 102); arête latérale du tibia postérieur mâle recourbée sur sa moitié basale en vue dorsale (Fig. 105); Argentine, Bolivie, Brésil, Paraguay, Pérou ....*E. nigrovirens* sp. nov.

\- Surface de la tête en grande partie lustrée et présentant de forts reflets métalliques cuivrés entre les points ocellés, la région antérieure de la tête avec une large bande cuivrée, cette bande couvrant au moins le cinquième de la longueur de la tête au milieu et prolongée latéralement jusqu'aux sutures clypéo-génales, les points présents dans cette bande simples (Fig. 106); arête latérale du tibia postérieur mâle droite ou presque droite sur la moitié basale en vue dorsale (Fig. 107); Argentine, Brésil, Paraguay......................*E. aeneus* sp. nov.

9(6) Arête antérieure du clypéus arrondie dans son ensemble en vue dorsale, l'échancrure médiane couvrant environ le cinquième de la largeur du clypéus; carène supérieure de l'angle antérieur du pronotum séparée de la carène inférieure et un peu plus vers l'arrière (Fig. 108); grandes soies de la déclivité apicale des élytres presque droites et parallèles, peu rétrécies et droites à l'apex (Fig. 109); toute l'Amazonie.................*E. atrosericus* sp. nov.

\- Arête antérieure du clypéus tronquée au milieu en vue dorsale, échancrure médiane couvrant environ le tiers de la largeur du clypéus; angles antérieurs du pronotum ayant les carènes supérieure et inférieure plus ou moins fusionnées (Fig. 110); grandes soies de la déclivité apicale de l'élytre amincies et recourbées à l'apex (Fig. 111)..10

10(9) Proépisternum profondément sillonné derrière la carène postérieure, le sillon interrompu un peu avant la marge latérale où il forme une fovéole (Fig. 112); Brésil (Pará) ....*E. cavatus* sp. nov.

\- Proépisternum faiblement sillonné derrière la carène postérieure, le sillon prolongé jusqu'à la marge latérale, ne formant pas de fovéole (Fig. 92) 11

11(10) Région antérieure du clypéus sans reflet métallique; arête interne du tibia postérieur mâle ayant les soies du tiers médian plus courtes que celle du tiers distal; angles antérieurs du pronotum femelle largement arrondis, non sinués latéralement; Guyane française, Suriname.......... *E. cambeforti* sp. nov.

\- Région antérieure du clypéus présentant un fin liseré métallique, cette bande au moins aussi large qu'un des plus petits points de la surface; arête interne du tibia postérieur mâle ayant les soies du tiers médian semblables

en longueur à celles du tiers distal; angles antérieurs du pronotum femelle subangulaires, sinués latéralement avant l'angle antérolatéral; Brésil (Maranhão, Pará) .... *E. fallaciosus* sp. nov.

Clé de détermination des espèces du groupe *calligrammus*

1(0) Hanche postérieure présentant toujours quelques points ocellés nets sur la face ventrale à l'intérieur de l'insertion des trochanters, surface entre ces points couverte d'une microsculpture distincte (Fig. 113); élytres à pubescence assez longue et dense sur le disque; tégument présentant de faibles reflets métalliques bleus ou verts 2

\- Hanche postérieure sans point ocellé sur la face ventrale, au plus recouverte de quelques petits points simples à l'intérieur de l'insertion du trochanter, surface lisse, microsculpture à peine visible (Fig. 114); élytres à pubescence très courte et très écartée sur le disque; tégument présentant de forts reflets métalliques bleus, verts ou cuivrés 3

2(1) Tête à microsculpture alvéolée écartée; pronotum sans étroite bande glabre longitudinale à l'avant au milieu; fémur postérieur sans rangée de soies dressées au milieu de la face postérieure et sans trace de tubercule; tibia postérieur largement et régulièrement arqué en vue ventrale, face postérieure présentant deux rangées de longues soies sur le tiers basal; Amazonie .... *E. arnaudi* sp. nov.

\- Tête à microsculpture en réseau serré (Figs. 55, 115); pronotum présentant une étroite bande glabre longitudinale à l'avant au milieu (Fig. 116); fémur postérieur muni au milieu de la face postérieure d'une rangée de soies brun foncé spiniformes et dressées et d'un tubercule aigu manquant chez les très petits individus (Fig. 117); tibia postérieur distinctement coudé en vue ventrale vers le tiers basal, face postérieure présentant une seule rangée de courtes soies sur le tiers basal (Fig. 118); Brésil, Guyana, Guyane française, Suriname, Venezuela .... *E. balachowskyi* Halffter & Halffter

3(1) Suture mésométasternale carénée latéralement (Fig. 119); tibia antérieur mâle peu recourbé à l'apex, ce dernier ne formant jamais une forte dent dirigée perpendiculairement vers le bas; fémur postérieur femelle sans dent sur la face postérieure; Brésil (Minas Gerais, Rio de Janeiro) .... *E. calligrammus* Dalman

\- Suture mésométasternale non carénée latéralement (Fig. 120); tibia antérieur mâle fortement recourbé à l'apex, ce dernier formant une forte dent

dirigée perpendiculairement vers le bas (Fig. 121); fémur postérieur femelle muni d'une dent sur la face postérieure; Argentine et région sud-est du Brésil ....*E. cyanescens* Balthasar

Clé de détermination des espèces du groupe *velutinus*

1(0) Tête à ponctuation petite et estompée sur toute la surface, quelques points plus gros et à marge nette près des yeux et de la marge latérale des joues (ponctuation un peu plus grosse chez *E. uniformis*), ponctuation jamais ocellée (sauf quelquefois chez certains individus d'*E. olivaceus*) (Fig. 28, 122) ... 2

\- Tête à ponctuation petite et estompée à l'avant devenant graduellement plus grosse et nette vers l'arrière ou ocellée sur le vertex ou les joues (Fig. 123) 7

2(1) Pronotum avec de forts reflets métalliques cuivrés et verts par endroits, la surface entre les points presque lisse au milieu du disque; métasternum presque lisse et présentant de forts reflets métalliques; huitième interstrie des élytres fortement convexe sur toute la longueur séparant les calus huméral et apical; fémur antérieur à ponctuation sétifère écartée, en majorité disposée sur 3 ou 4 rangées non alignées sur la face ventrale; Venezuela .. ..*E. superbus* sp. nov.

\- Pronotum complètement soyeux, la surface des calus de la région antérieure un peu plus lisse chez certains individus; métasternum à surface mate; huitième interstrie des élytres plat ou peu convexe sur la moitié antérieure (Fig. 124); fémur antérieur à ponctuation sétifère en majorité confluente et disposée sur 2 ou 3 rangées non alignées sur la face ventrale 3

3(2) Points du pronotum en majorité séparés par un espace supérieur à leur diamètre (Fig. 125); tibia postérieur femelle à soies beaucoup plus courtes que le diamètre du tibia (Fig. 126) 4

\- Points du pronotum en majorité séparés par un espace au plus équivalant à leur diamètre, confluents par endroits; tibia postérieur femelle à soies aussi longues ou plus longues que le diamètre du tibia (Fig. 127)......................... 5

4(3) Pronotum à ponctuation ocellée sur toute la surface (Fig. 125); tibia postérieur mâle médiocrement élargi à l'apex, rangée de soies de la face ventrale très courtes, moins du cinquième de la largeur du tibia sur le quart basal; projections ventrales des paramères étroites à l'apex, carène latérale à peine indiquée; Colombie, Équateur, Pérou.............................*E. contractus* sp. nov.

- Pronotum à ponctuation simple au milieu du disque, les points ne présentant pas de marge lustrée; tibia postérieur mâle fortement élargi à l'apex; rangée de soies de la face ventrale longues, presque aussi larges que le tibia sur le quart basal; projection ventrale des paramères large à l'apex, la carène latérale normalement développée; Costa Rica, Panama ....*E. olivaceus* sp. nov.

5(3) Neuvième interstrie des élytres muni d'un bourrelet lisse sur presque toute la longueur; tous les interstries du calus apical des élytres muni de soies semblables en nombre, longueur et densité; Bolivie, Brésil ....
....*E. uniformis* sp. nov.
- Neuvième interstrie des élytres plat, étroitement lisse seulement au côté extérieur; soies du 6e interstrie, sur le calus apical des élytres beaucoup plus rares, courtes et écartées que sur les autres interstries (Fig. 128)................ 6

6(5) Pygidium à marges nettes latéralement (Fig. 129); fémur médian et postérieur à ponctuation fine et écartée sur le disque, quelques points un peu plus gros et denses que ceux du reste de la surface près de la base et de l'arête postérieure; projections ventrales des paramères abruptement convergents à l'apex en vue frontale; Bolivie, Pérou ....*E. inca* sp. nov.
- Pygidium à marges latérales estompées du côté interne près de la base, la marge mal définie du côté interne, au même niveau que le disque du pygidium; fémur médian et postérieur à grosse ponctuation sur toute la moitié postérieure; projections ventrales des paramères graduellement convergentes à l'apex en vue frontale; Belize, Guatemala, Mexique..............................
.... *E. obliteratus* sp. nov.

7(1) Vertex et joues présentant toujours plusieurs grands points ocellés, beaucoup plus écartés à l'avant, plus grands et confluents à l'arrière; pronotum à marge latérale presque droite près des angles antérieurs; tibia postérieur femelle à soies longues, les soies des rangées ventrale et dorsale aussi larges ou plus larges que le tibia (Fig. 127); Costa Rica, Panama. *E. velutinus* Bates
- Vertex et joues à ponctuation simple, dense et profonde, les points à peu près égaux et répartis sur toute la surface (Fig. 123); pronotum à marge latérale variablement sinué près de l'angle antérieur; tibia postérieur femelle à soies courtes, habituellement beaucoup moins longues que la largeur du tibia (Fig. 126); Bolivie, Brésil, Colombie, Équateur, Guyana, Guyane française, Pérou, Suriname, Venezuela................................ *E. hypocrita* Balthasar

Clé de détermination des espèces du groupe *foedus*

1(0) Arête latérale du pronotum finement carénée entre les angles basal et médian, cette carène tranchante et parfois interrompue par des soies; métasternum couvert latéralement de gros points près des hanches médianes, ces points plus ou moins confluents et chacun ayant une soie prenant naissance près de l'arête antérieure du point; fémur postérieur des mâles muni d'une petite dent aigüe recourbée vers l'intérieur; Brésil (Minas Geraes, Rio Grande do Sul, Santa Catarina, São Paulo) .... *E. sulcifer* Balthasar

\- Arête latérale du pronotum simplement arrondi entre l'angle basal et médian (Fig. 130); lobe médian du métasternum couvert de points semblables en taille sur toute la surface, ces points en majorité séparés par plusieurs fois leur diamètre, chacun ayant une fine soie prenant naissance plus près du centre du point (Fig. 131); fémur postérieur des mâles possédant une courte projection triangulaire, lobiforme ou tronquée à l'apex. 2

2(1) Huitième interstrie bien plus haut que la carène du pseudépipleure, fortement bombé, muni de trois ou quatre rangées de soies; angles antérieurs du pronotum arrondi, la surface entre les points formant un fin réseau très régulier; taille petite (moins de 15,5 mm); Guyana, Venezuela.............*E. sanbornei* Gill

\- Huitième interstrie au même niveau que la carène du pseudépipleure, plat, muni d'une ou deux rangées de soies; angles antérieurs du pronotum subaigu, la surface entre les points recouverte d'une microsculpture plus ou moins forte, ne formant pas un réseau (Fig. 132); taille plus grande (plus de 15,0 mm) 3

3(2) Tibia antérieur mâle muni d'un éperon (Fig. 133); arête latérale du pronotum presque droite sur une courte distance en arrière de l'angle antérieur en vue dorsale; marge antérieure du clypéus jamais élargie au milieu, au plus deux fois plus large que la marge latérale (Fig. 134); tibia antérieur mâle muni d'une brosse de soies étroite, couvrant la moitié de l'apex (Fig. 135); fémur postérieur femelle muni d'une courte dent arrondie sur le tiers basal de l'arête postérieure.. 4

\- Tibia antérieur des mâles sans éperon; arête latérale du pronotum concave sur une courte distance en arrière de l'angle antérieur en vue dorsale; marge antérieure du clypéus fortement élargie au milieu, au moins trois fois plus large que la marge latérale (non modifiée chez *E. truncus*); tibia antérieur des mâles muni d'une brosse de soies large, couvrant plus de la moitié de l'apex; fémur postérieur femelle muni d'une longue dent tronquée située au milieu de l'arête postérieure.. 5

4(3) Pronotum étroitement et régulièrement marginé près de l'angle antérieur (Fig. 132); taille moyenne plus petite (14,0-19,0 mm); tibia postérieur femelle sans grosse dent sur le tiers basal de l'arête interne; du Mexique à la Bolivie ....*E. foedus* Guérin-Méneville

\- Pronotum largement marginé près des angles antérieurs, la marge s'élargissant vers l'avant et formant une surface lisse assez large au niveau de l'angle antérieur (Fig. 136); taille moyenne plus grande (18,0-21,0 mm); tibia postérieur femelle muni d'une grosse dent sur le tiers basal de l'arête interne (Fig. 137); Costa Rica, Panama, Colombie, Équateur, Pérou ......*E. streblus* sp. nov.

5(3) Marge du clypéus élargie au milieu, au moins trois fois plus large que sur les côtés; fémur postérieur mâle muni d'une dent rectangulaire, cette dernière flanquée d'une brosse de soies sur sa face dorsale; tibia postérieur mâle coudé sur le tiers médian, fortement élargi à l'apex en vue ventrale, angle interne acéré; Amazonie...*E. howdeni* sp. nov.

\- Marge du clypéus non modifiée au milieu; fémur postérieur mâle muni d'une dent triangulaire, cette dernière flanquée latéralement d'une brosse de soies; tibia postérieur mâle régulièrement arqué, médiocrement élargi à l'apex, angle interne tronqué; Guyana, Venezuela ....*E. truncus* sp. nov.

Clé de détermination des espèces du groupe *impressicollis*

1(0) Huitième interstrie non caréné sur la partie médiane, au plus convexe sur la moitié basale (Fig. 138); carène antérieure du proépisternum atteignant l'arête latérale bien avant le sommet de l'angle antérieur (Fig. 139); région antérieure du pronotum assez lisse entre les points, la surface lustrée (Fig. 140); arête antérieure du pronotum se prolongeant en forte carène de chaque côté de l'insertion de la tête chez les femelles (Fig. 140); Colombie .... *E. impressicollis* Castelnau

\- Huitième interstrie fortement caréné sur la partie médiane, cette carène bien plus haute que la carène du pseudépipleure (Fig. 141); carène antérieure du proépisternum atteignant l'arête latérale au niveau du sommet de l'angle antérieur (Figs. 142-143); région antérieure du pronotum complètement mate entre les points (Fig. 144); arête antérieure du pronotum non modifiée chez les femelles 2

2(1) Carène antérieure du proépisternum anguleuse avant l'angle antérieur (Fig. 142); troisième interstrie recourbé vers l'extérieur à l'apex, sans petit tubercule aigu, avec des soies semblables à celles du reste de la surface (Fig. 145);

arête antérieure du clypéus sans dent de chaque côté du milieu (Fig. 146); du Guatemala à la Bolivie ....*E. plebejus* Harold

- Carène antérieure du proépisternum presque droite avant l'angle antérieur (Fig. 143); troisième interstrie recourbé vers l'intérieur et muni d'un petit tubercule aigu portant un long pinceau de soies à l'apex (Fig. 147); marge antérieure du clypéus muni d'une courte dent de chaque côté du milieu (Fig. 148); Belize, Mexique, Guatemala ....*E. angustulus* Harold

Clé de détermination des espèces du groupe *magnus*

1(0) Prosternum muni de chaque côté du milieu d'un tubercule transverse habituellement gros, (Fig. 149); pronotum présentant six petites callosités lustrées disposées en cercle (Fig. 150); Mexique et Amérique centrale .... *E. magnus* Castelnau

- Prosternum sans tubercule de chaque côté du milieu (Fig. 151); pronotum ayant les callosités disposées autrement, avec trois callosités lustrées au milieu à l'avant (Figs. 152-154) 2

2(1) Carène antérieure du proépisternum sinueuse et rejoignant l'apex de l'angle antérieur (Fig. 155); métasternum mâle sans fovéole au milieu, la carène médiane située vers le milieu (Fig. 156); fémur postérieur femelle muni d'un petit tubercule aigu situé avant le milieu entre les arêtes ventrale et dorsale; Bolivie, Colombie, Équateur, Pérou, Venezuela.......*E. marmoreus* Castelnau

- Carène antérieure du proépisternum dirigée vers l'arête latérale et formant un angle droit juste avant d'atteindre cette dernière, la portion parallèle à l'arête latérale, quelquefois effacée sur une certaine distance, rejoint l'angle antérieur (Fig. 157); métasternum mâle fovéolé au milieu (Fig. 66); fémur postérieur femelle avec ou sans dent 3

3(2) Surface du pronotum munie de onze callosités plus ou moins nettes, seules celles en avant du milieu médiocrement lustrées (Fig. 153); cinquième interstrie de l'élytre médiocrement bombé et à surface mate (Fig. 158); fémur postérieur mâle muni d'une petite dent sur la face postérieure située après le milieu et adjacente à l'arête dorsale (Fig. 159), femelle avec ou sans dent; Mexique, Amérique centrale, Colombie, Guyana, Trinité, Venezuela ....*E. mexicanus* Harold

- Surface du pronotum munie de onze callosités nettes et fortement lustrées (Fig. 154); cinquième interstrie de l'élytre distinctement bombé et lustré (Fig. 67); fémur postérieur mâle et femelle inerme sur la face postérieure,

au plus chez les mâles, l'arête dorsale faiblement angulaire au milieu; Bolivie, Brésil .... *E. harlequin* sp. nov.

Clé de détermination des espèces du groupe *caribaeus*

1(0) Joues à ponctuation ocellée nette (Fig. 160); métasternum muni de deux petites carènes longitudinales au milieu à l'arrière (Fig. 161) 2

\- Joues à ponctuation simple et estompée (Fig. 162); métasternum muni d'une grosse dent au milieu à l'arrière, cette dernière réduite à un seul renflement longitudinal chez les petits exemplaires (Fig. 163) 4

2(1) Pygidium régulièrement convexe, sans petite dépression longitudinale médiane près de la base, région basale étroitement sillonnée (Fig. 164); fémur postérieur en grande partie clair; carène ventrale du tibia antérieur mâle complète entre le tubercule médian et l'apex, nette sur toute la longueur, n'atteignant jamais la base des deux dents latérales (Fig. 165) 3

\- Pygidium concave au milieu et latéralement près de la base, région basale largement sillonnée (Fig. 34); fémur postérieur en grande partie foncé, seule la région antérieure à l'apex et la face postérieure plus claires (Fig. 166); carène ventrale du tibia antérieur mâle estompée entre le tubercule médian et l'apex, atteignant la base des deux dents latérales basales et fusionnée avec elle (Fig. 167); Belize, Guatemala, Mexique ....*E. maya* sp. nov.

3(2) Fémur postérieur muni d'une seule dent ou d'un tubercule sur la face postérieure, rarement avec une carène ou dent additionnelle près de la base, mais cette dernière obtuse et habituellement peu développée (Figs. 168-169); angle postérieur du pronotum mâle simple (Fig. 170); deux dents basales du tibia antérieur mâle dirigées obliquement vers le bas (Fig. 165); largement répartie du Mexique à l'Argentine .... *E. caribaeus* (Herbst)

\- Fémur postérieur muni de deux dents aigües sur la face postérieure, la dent basale manquant seulement chez les femelles provenant de la Serra dos Carajás (Brésil) (Fig. 171); pronotum mâle prolongé postérieurement en lobe de chaque côté; les deux dents basales du tibia antérieur mâle dirigées perpendiculairement vers le bas (Fig. 172); Brésil (Mato Grosso, Pará), Guyane française, Suriname ....*E. cyclops* sp. nov.

4(1) Pronotum présentant cinq callosités lisses, nettes (Fig. 173); interstries impairs à soies isolées, au plus avec quelques petits groupes de 2 ou 3 courtes soies peu squameuses (Fig. 174); pronotum mâle prolongé en lobe recour-

bé postérieurement de chaque côté (Fig. 175); Amazonie, Costa Rica......... ....*E. hamaticollis* Balthasar
- Pronotum présentant une seule callosité lisse au milieu à l'avant (Fig. 176); interstries impairs couverts de petits groupes de 4 à 8 courtes soies squameuses (Fig. 177); angle postérieur du pronotum mâle simple (Fig. 176); sud et sud-est du Brésil .... *E. francinae* sp. nov.

ANNEXE 2. IDENTIFICATION KEYS

Key to species groups of genus *Eurysternus* adults

Note. Males are easily distinguishable by the presence of a protibial setal brush. (Figs. 26, 59, 62, 121, 133, 135, 165, 167, 172).

1(0) Smaller species (less than 8.0 mm in length); dorsum with long erected setae mixed with much shorter setae (Fig. 36); elytral microsculpture always forming more or less transverse lines (Fig. 37); elytral striae usually wide, striae 1-4 separated by less than 3 times their width on disc (Fig. 37).. 2
- Larger species (greater than 8.0 mm in length, only some individuals from the *deplanatus* group are occasionally as small as 8 mm in length); dorsum with short setae, generally uniform in size (except for a few tufts of long setae on elytral apex, anterior region of pronotum, head or row of setae along pronotal lateral margin and elytra) (Fig. 38); elytral microsculpture variable, alveolate (forming a transverse network only in *E. gilli*) (Fig. 39); elytral striae usually normal, striae 1-4 separated by more than 3 times their width on disc (Fig. 39)... 3

2(1) Metatibia with several longitudinal aligned rows of setae (except for two or three small groupings on distal half) (Fig. 40); elytral striae very wide, striae 1-4 separated by less than 3 times their width on disc (Fig. 37); male metatibial spur fused (Fig. 41)...***hirtellus* group**
- Metatibia lacking longitudinal rows of setae, setae isolated, long, and spiniform (certain individuals with short, squamose intervening setae) (Fig. 42); elytral striae normal, striae 1-4 separated by more than 4 times their width on disc (similar to Fig. 39); male metatibial spur articulated (similar to Fig. 43) .... ***navajasi* group** (one species, *E. navajasi* Martínez)

3(1) Metatibial spur articulated in male (Fig. 43); posterior surface of metafemur lacking denticle or tubercle in female (posteroventral margin slightly lobate medially in *E. deplanatus* female); elytral apical declivity always with long setae (Fig. 44); elytral humeral carina short, never extended beyond basal sixth of elytra (Fig. 45).. 4

\- Metatibial spur fused in male (Fig. 46); posterior surface of metafemur usually with denticle or tubercle in female (two in *E. cyclops*) (Fig. 47) (if unmodified see next character); elytral apical declivity with long setae, or with setae similar in length to the rest of surface in species lacking denticle or tubercle on posterior surface of posterior tibia (Fig. 48); elytral humeral carina short or extended beyond distal third of elytra................................. 6

4(3) Pronotal disc mostly covered with large, ocellate punctures, punctures smaller and more widely spaced anteromedially, surface between punctures distinctly microsculptured (50X) (Fig. 49)...................... ***cayennensis* group**

\- Pronotal disc lacking large, confluent, ocellate punctures (Figs. 50, 52-53); punctures separated by at least once their diameter; microsculpturing variable.. 5

5(4) Pronotal anterior portion with three distinct glabrous and usually glossy calluses, median callus triangular, always convex, lateral calluses rounded (Fig. 50); posterior femur club-shaped, surface largely glabrous (Fig. 51) .. ..***deplanatus* group**

\- Pronotal anterior portion lacking glabrous and glossy calluses or with three glabrous but opaque calluses (similar to the rest of pronotal surface), median callus glabrous, surface never convex (Figs. 52, 53); posterior femur unmodified, surface largely opaque..***inflexus* group**

6(3) Metacoxa unicolored laterally; abdominal segment 3 anteriorly truncate between metacoxae, which are more or less widely separated (Fig. 54); eyes barely visible dorsally (Fig. 55)... 7

\- Metacoxa bicolored laterally, usually pale with two dark spots, the first close to trochanter insertion, the second medially (coxa might appear completely dark in dirty or greasy individuals) (Fig. 56); abdominal segment 3 acute anteriorly (Fig. 57); eyes distinctly visible dorsally (Fig. 58) 9

7(6) Protarsus usually lacking (easily detached), strongly reduced, lightly sclerotized and pale if present (Fig. 59); pronotum lacking sharp and well-defined carina on basal half, edge different from proepisternal posterior margin, simply rounded internally to setal row (finely carinate only in *E.*

sulcifer, which differ from species of the *calligrammus* group by interstria 8 being higher than pseudepipleuron and from all species of the *velutinus* group by the large confluent metasternal punctures) (Fig. 60); pronotal surface with rough punctures (Fig. 61) mixed with ocellate punctures ....***foedus* group**

\- Protarsus usually present, normal (only slightly reduced in males of *calligrammus* group), similar in color to tibia (Fig. 62); pronotum finely carinate throughout on lateral margin, margin similar to episternal posterior margin (Fig. 63); pronotal surface with uniform ocellate punctures on disc (Fig. 63).................. 8

8(7) Pseudepipleral carina sharp, higher than adjacent interstria medially; elytra black or dark brown with strong blue or green cast. ***calligrammus* group**

\- Pseudepipleral carina blunt, lower than elytral disc medially (Fig. 32); elytra brown with silky olive green reflections..............................***velutinus* group**

9(6) Metasternal disc lacking medial fovea (Fig. 64); fifth interstria feebly convex, lower than pseudepipleral carina medially (Fig. 65); eight interstria lower than pseudepipleral carina medially (Fig. 65)..................... ***caribaeus* group**

\- Metasternal disc with rounded and glabrous medial fovea (in *E. marmoreus* male the fovea is obscured by a longitudinal denticle) (Fig. 66); fifth interstria convex and higher than pseudepipleral carina medially (Fig. 67); eight interstria much higher than pseudepipleral carina, strongly convex medially (Fig. 67) 10

10(9) Pronotum partly covered with large, coalescent, complete, ocellate punctures (in some species ocellate punctures only present in pronotal concavities) (Fig. 68); length 6.0-10.5 mm ....***impressicollis* group**

\- Pronotum mostly covered with small, simple, non confluent punctures (if punctures appear ocellate, the posterior edge of each ocellate puncture is weakly-defined) (Fig. 69); length 8.5-17.0 mm ....***magnus* group**

Key to species of *cayennensis* group

1(0) Metacoxa unicolored laterally; pronotal disc with punctures rounded, center of each puncture more or less raised, seta of each puncture inserted medially (slightly anteriorly on lateral declivities in *E. cayennensis*) (Fig. 70).................. 2

\- Metacoxa bicolored laterally (Fig. 71); pronotal disc with punctures oval, lacking distinct annular protuberance, center of each puncture concave and surface covered with foveolate microsculpture, each seta inserted against or adjacent to anterior edge of puncture (Fig. 49)... 4

2(1) Metasternal median lobe lacking large, ocellate punctures medially, at most with few widely separated umbilicate punctures near mesocoxae (Fig. 72); elytral microsculpture alveolate throughout (Fig. 73); metatibial spur of male long, approximately two thirds length of apical edge (Fig. 74); Bolivia, Brazil, Colombia, Ecuador, French Guiana, Peru, Suriname, Venezuela .... *E. cayennensis* Castelnau

\- Metasternal median lobe with several large, ocellate punctures medially (Fig. 75); elytral microsculpture forming distinct transverse network anterolaterally (Fig. 76); metatibial spur of male short, approximately one fourth length of apical edge (Fig. 77) 3

3(2) Metafemur expanded into an apically pubescent lobe apicodorsally, this projection less pronounced in female (Fig. 78); lateral pronotal margin arcuate in dorsal view on anterior half; Amazon .... *E. gilli* sp. nov.

\- Metafemur not expanded apicodorsally (Fig. 79); lateral pronotal margin subangular in dorsal view on anterior half; Amazon......... *E. gracilis* sp. nov.

4(1) Pronotum with punctures more widely separated anteromedially, usually with a few smaller punctures mixed with larger punctures (Fig. 80); metasternal punctures weakly defined on disc (Fig. 81); metafemur of male with a row of setae along ventral edge, these setae becoming longer medially (Fig. 82); posterior edge of sternite 5 slightly sinuate medially in male; Bolivia, Brazil, Colombia, Ecuador, French Guiana, Peru, Suriname.. *E. vastiorum* Martínez

\- Pronotum with punctures evenly scattered, uniform in size; metasternal punctures well defined on disc, confluent; metafemur of male with a row of short, squamose setae along ventral edge, these setae uniform in length; posterior edge of sternite 5 tuberculate medially in male; Bolivia, Brazil, French Guiana, Guyana, Venezuela .... *E. ventricosus* Gill

Key to species of *deplanatus* group

1(0) Pronotal surface glossy between punctures on disc; metafemur feebly club-shaped, anterior and posterior edges widening from trochatofemoral suture, color mostly pale; length less than 11.0 mm; southeast Brazil......... .... *E. deplanatus* (Germar)

\- Pronotal surface dull between punctures on disc (Fig. 83); metafemur club-shaped, anterior and posterior edges parallel beyond trochatofemoral suture, color mostly dark olive-green (Fig. 51); length greater than 11.0 mm; Argentina, southern Brazil, Paraguay.................. *E. parallelus* Castelnau

Key to species of *inflexus* group

1(0) Prosternum behind procoxae with a row of fine setae similar to those of metasternum; pronotal setae very fine, apically recurved (Fig. 84); pronotal surface with ocellate punctures (Fig. 85); pronotal and elytral surface mat, lacking microsculpture (when observed using 50X magnification); anterolateral pronotal edge subangular (Fig. 86); abdominal segment 3 male lacking projection medially; male posterior tibia in dorsal view straight for basal three-fifths, then abruptly curved (Fig. 87); Southeast Brazil ....*E. inflexus* (Germar)

\- Pronotum behind procoxae with a row of appressed, conspicuous, squamose setae; pronotal setae erect and squamose (Fig. 88); surface adjacent to pronotal anterior angles lacking ocellate punctures (Fig. 89); pronotal and elytral surface with distinct microsculpture (when observed using 50X magnification) (Fig. 89); anterolateral pronotal edge arcuate (Fig. 89); abdominal segment 3 male with a small scutiform projection; male posterior tibia in dorsal view broadly arcuate or nearly straight.................................... 2

2(1) Metatibia with several row of setae; posterior femur narrowed and dark colored on basal third; anterior edge of male anterior femur with a large externally directed tooth; male anterior tibia with a small ventral acute tubercle on internal basal third; Amazon ....*E. wittmerorum* Martínez

\- Metatibia with large isolated or in groups of 2-4 spiniform setae (Fig. 90); posterior femur wide basally, dark only adjacent to trocantofemoral suture; male anterior tibia with a row of small blunt teeth on internal edge; Bolivia, Brazil, Paraguay ....*E. jessopi* Martínez

Key to species of *hirtellus* group

1(0) Proepisternum with a single carina bordering anterior edge (Fig. 91)........ 2

\- Proepisternum with two carinae, the additional posterior to first one and sometimes partially fused with it internally (Figs. 92-93)............................. 3

2(1) Length 4.5-5.0 mm; metacoxa with a light colored spot medially; elytron with a row of aligned setae laterally on interstria 9, interstriae 8 and 9 on the same plane; male protibia with two teeth externally; Brazil (Bahia)....... ....*E. nanus* sp. nov.

\- Length 6.5-8.0; metacoxa completely dark; elytron with an unaligned row of setae laterally on interstria 9, interstria 9 raised higher than 8; male

protibia with three teeth externally; Brazil (Bahia, Espirito Santo, Minas Gerais, Rio de Janeiro) ....*E. hirtellus* Dalman

3(1) Last abdominal sterna with large, confluent, squamose setae covering most of surface on basal half (Fig. 94); Amazonian Colombia, Ecuador, Peru .. ..*E. squamosus* sp. nov.

\- Last abdominal sterna with a few fine, erect setae, setae never obscuring surface (Fig. 95) 4

4(3) Ventrolateral carina of metatibia complete, rather wide and glossy, row of setae adjacent to external edge of carina (Fig. 96); male protibia unmodified, external edge on same level as ventral surface on basal half 5

\- Ventrolateral carina of metatibia interrupted by stout setae (Fig. 97); male protibia with external edge produced ventrally, crenulated (Fig. 98) 6

5(4) Pronotal lateral edges parallel; pronotal anterior angle angulate (Fig. 99); metatibia with external edge sinuous; male metatibia with a tuft of pale setae internally (Fig. 100); female anterior pronotal angles dentiform; glossy and upwardly recurved; Bolivia, Colombia, Ecuador, Peru.......................... .... *E. lanuginosus* sp. nov.

\- Pronotal lateral edges diverging anteriorly; pronotal anterior angle arcuate; metatibia with external edge straight; male metatibia with a single row of pale setae internally; female anterior pronotal angles unmodified; Peru, Brazil (Acre, Amazonas) ....*E. strigilatus* sp. nov.

6(4) First interstria glossy, with coppery or green metallic sheen at least on distal half contrasting with the dull appearance of the remaining interstriae (Fig. 101); head punctures confluent, few simple punctures along anterior edge on a glossy and metallic surface (surface dull only in *E. martinsi*) (Fig. 102) 7

\- First interstria similar to others, with microsculpture, lacking metallic sheen (Fig. 103); head punctures not confluent, most puncture separated by at least one diameter, lacking distinct simple puncture and metallic sheen along anterior edge (with a narrow dull metallic sheen only in *E. cambeforti*) (Fig. 104)... 9

7(6) Elytral apical declivity with setae black; clypeal surface completely dull anteriorly; male metatibia strongly crenulated, setae of median third similar to those of distal third, not contiguous; Brazil (Minas Gerais) ....*E. martinsi* sp. nov.

- Elytral apical declivity with setae lighter than discal setae, if they are similar in color then they are testaceous or brown; clypeal surface at least narrowly glossy and with conspicuous metallic sheen; male metatibia not crenulated on median third, setae on median third much thinner, light colored and contiguous (Fig. 105).. 8

8(7) Head surface largely dull and lacking metallic sheen, except for green metallic sheen along anterior edge which is less than one-eight of head length medially and approximately as wide as median emargination, surface dark brown to black and with conspicuous microsculpture between ocellate punctures (Fig. 102); male metatibia with lateral edge arcuate on basal half in dorsal view (Fig. 105); Argentina, Bolivia, Brazil, Paraguay, Peru............ ....*E. nigrovirens* sp. nov.

- Head surface largely glossy and with conspicuous coppery metallic sheen between punctures, anterior portion completely glossy and with simple punctures covering approximately one-fifth of head length medially and reaching clypeogenal suture (Fig. 106); male metatibia straight on basal half in dorsal view (Fig. 107); Argentina, Brazil, Paraguay ....*E. aeneus* sp. nov.

9(6) Clypeal anterior edge arcuate in dorsal view, median emargination width one-fifth of clypeus; pronotal anterior angle with dorsal carina well separated and posterior to ventral carina (Fig. 108); long setae of elytral apical declivity straight, feebly tapering toward apex (Fig. 109); Amazon basin...*E. atrosericus* sp. nov.

- Clypeal anterior edge truncate medially in dorsal view, median emargination width one-third of clypeus; pronotal anterior angle with dorsal and ventral carina more or less fused (Fig. 110); long setae of elytral apical declivity tapering and recurved toward apex (Fig. 111) 10

10(9) Proepisternum deeply sulcate posterior to posterior carina, sulcus foveolate and interrupted before lateral edge (Fig. 112); Brazil (Pará) ....*E. cavatus* sp. nov.

- Proepisternum feebly sulcate posterior to posterior carina, sulcus similarly impressed to lateral edge, lacking foveolate impression (Fig. 92).............. 11

11(10) Clypeal anterior surface lacking metallic sheen; male metatibia with setae of internal median third shorter than on distal third; female anterior pronotal angles arcuate; French Guiana, Suriname .... *E. cambeforti* sp. nov.

- Clypeal anterior surface with metallic sheen on narrow band along anterior edge, band as wide as a single clypeal puncture; male metatibia with setae of internal median third similar in length to those of distal third; female

anterior pronotal angles subangular, sinuous before anterolateral angle; Brazil (Maranhão, Pará)...*E. fallaciosus* sp. nov.

Key to species of *calligrammus* group

1(0) Metacoxa always with few well-defined, ocellate punctures internally to trochanter insertion, surface between punctures with conspicuous microsculpture (Fig. 113); elytral pubescence long and dense on disc; tegument with feeble blue or green metallic sheen 2

\- Metacoxa lacking ocellate puncture internally to trochanter insertion, at most with few simple punctures, surface glossy, microsculpture feebly indicated (Fig. 114); elytra with short and scattered pubescence on disc; tegument with strong blue, green or coppery metallic sheen 3

2(1) Head microsculpture alveolate; pronotum pubescent throughout anteriorly; metafemur lacking row of long setae and tubercle; metatibia broadly arcuate in ventral view, posterior edge with two rows of long setae on basal third; Amazon ....*E. arnaudi* sp. nov.

\- Head microsculpture forming a network (Figs. 55, 115); pronotum with a glabrous patch anteromedially (Fig. 116); metafemur with a row of stout setae and an acute tubercle, tubercle lacking in smaller individuals (Fig. 117); metatibia elbowed on basal third in ventral view, posterior edge with a single row of short setae on basal third (Fig. 118); Brazil, French Guiana, Guyana, Suriname, Venezuela................. *E. balachowskyi* Halffter & Halffter

3(1) Mesometasternal suture carinate laterally (Fig. 119); male protibia feebly recurved distally, never produced into a strong perpendicularly and ventrally directed tooth; female metafemur lacking tooth on posterior edge; Brazil (Minas Gerais, Rio de Janeiro) ....*E. calligrammus* Dalman

\- Mesometasternal suture lacking carina laterally (Fig. 120); male protibia strongly recurved distally, produced into a strong perpendicularly and ventrally directed tooth (Fig. 121); female metafemur toothed on posterior edge; Argentina and southeast Brazil............................*E. cyanescens* Balthasar

Key to species of *velutinus* group

1(0) Head punctures small and weakly-defined throughout, few larger well-defined punctures along lateral genal edge of and eye (punctures slightly

larger in *E. uniformis*), punctures never ocellated (except in certain individuals of *E. olivaceus*) (Fig. 28, 122) 2
- Head punctures small and weakly-defined anteriorly, becoming larger and well defined posteriorly or ocellate on vertex and genae (Fig. 123) 7

2(1) Pronotum with strong coppery or green metallic sheen, discal surface glossy between punctures; metasternum glossy with strong metallic sheen; elytral interstriae 8 convex between humeral and apical callus; posteroventral surface of profemur with setiferous punctures rather widely separated and set in 3 to 4 unaligned rows; Venezuela............................*E. superbus* sp. nov.
- Pronotum completely dull, in some individuals anteromedian callus feebly glossy; metasternum dull; elytral interstria 8 flat or slightly convex on anterior half (Fig. 124); posteroventral surface of profemur with setiferous punctures confluent and set in 2 or 3 unaligned rows 3

3(2) Pronotal punctures mostly separated by more than one diameter (Fig. 125); female metatibia with setae much shorter than tibial diameter (Fig. 126) 4
- Pronotal punctures mostly separated by one or less than one diameter; female metatibia with setae as long or longer than tibial diameter (Fig. 127) 5

4(3) Pronotal punctures ocellate throughout (Fig. 125); male metatibia feebly expanded apically, ventral setal row short, less than one-fifth tibial diameter on basal fourth; parameral ventral projections narrow, lateral carina reduced; Colombia, Ecuador, Peru ....*E. contractus* sp. nov.
- Pronotal punctures simple on disc; male metatibia strongly expanded apically, ventral setal row as long as tibial diameter on basal fourth; parameral ventral projections wide, lateral carina present; Costa Rica, Panama........... ....*E. olivaceus* sp. nov.

5(3) Interstria 9 with a glossy, blunt carina for most of length; elytral apical callus with setae similar in density and length on all interstriae; Bolivia, Brazil ....*E. uniformis* sp. nov.
- Interstria 9 flat, at most narrowly glossy along external edge; elytral apical callus with setae scarcer and shorter on interstria 6 (Fig. 128) 6

6(5) Lateral pygidial margins well defined (Fig. 129); mesofemoral and metafemoral punctures fine and scattered, few larger punctures posterobasally; parameral ventral projections abruptly convergent apically in frontal view; Bolivia, Peru...*E. inca* sp. nov.

- Lateral pygidial margins weakly-defined internally at basal angle; mesofemoral and metafemoral punctures large on posterior half; parameral ventral projections gradually convergent apically in frontal view; Belize, Guatemala, Mexico .... *E. obliteratus* sp. nov.

7(1) Head with distinct, large ocellate punctures on vertex and gena, punctures scattered anteriorly, larger and confluent posteriorly; lateral pronotal margins nearly straight before anterior angle; female metatibia with setae as long or longer than tibial diameter (Fig. 127); Costa Rica, Panama .... *E. velutinus* Bates

- Head with punctures simple, dense and deep, more or less equal in size and present over entire surface (Fig. 123); lateral pronotal margins more or less sinuous before anterior angle; female metatibia with setae much shorter than tibial diameter (Fig. 126); Bolivia, Brazil, Colombia, Ecuador, French Guiana, Guyana, Peru, Suriname, Venezuela................ *E. hypocrita* Balthasar

Key to species of *foedus* group

1(0) Pronotal lateral edge finely carinate between basal and median angle, carina sharp and sometimes interrupted by setae; metasternal punctures very large and shallow adjacent to mesocoxa, each punctures with short setae adjacent to anterior edge; male metafemur with internally bent, acute tubercle; Brazil (Minas Geraes, Rio Grande do Sul, Santa Catarina, São Paulo) ...... *E. sulcifer* Balthasar

- Pronotal lateral edge not carinate between basal and median angle, blunt (Fig. 130); metasternal punctures similar in size and density, separated by several diameters, each punctures with short setae closer to center (Fig. 131); male metafemur with short, lobiform or truncate apical process 2

2(1) Interstria 8 much higher than pseudepipleral carina, swollen, with 3 or 4 setal rows; pronotal anterior angle rounded, surface between punctures forming a fine, regular network; length less than 15.5 mm; Guyana, Venezuela........ ....*E. sanbornei* Gill

- Interstria 8 on same plane as pseudepipleral carina, flat, with 1 or 2 setal rows; pronotal anterior angle acute, surface between punctures with variably defined microsculpture, not forming a regular network (Fig. 132); length more than 15.0 mm 3

3(2) Male protibia with apical spur (Fig. 133); lateral pronotal edge nearly straight adjacent to anterior angle in dorsal view; anterior clypeal margin

never distinctly widened medially, at most twice as wide as lateral margin (Fig. 134); male protibia with narrow setal brush, approximately half as wide as apex (Fig. 135); female metafemur with a short, rounded tooth on posterior edge basal third 4

- Male protibia lacking apical spur; lateral pronotal edge concave adjacent to anterior angle in dorsal view; anterior clypeal margin distinctly widened medially, at least three times as wide as lateral margin (unmodified in *E. truncus*); male protibia with wide setal brush, covering more than half of apex; female metafemur with a longer, truncated tooth on mid posterior edge 5

4(3) Pronotum narrowly marginate near anterior angle, margin similar in width throughout (Fig. 132); smaller average length (14.0-19.0 mm); male profemur lacking denticle on basal third of superior surface near anterior edge; female metatibia lacking tooth on internal basal third; Mexico to Bolivia ....*E. foedus* Guérin-Méneville

- Pronotum widely marginate near anterior angle, margin widening anteriorly (Fig. 136); larger average length (18.0-21.0 mm); male profemur with denticle on basal third of superior surface near anterior edge; female metatibia with tooth on internal basal third (Fig. 137); Costa Rica, Panama, Colombia, Ecuador, Peru ....*E. streblus* sp. nov.

5(3) Clypeal margin widened medially, at least three times as wide as lateral margin; male metafemur with rectangular tooth, with a setal brush dorsally apposed to tooth; male metatibia elbowed on median third, widened toward apex in dorsal view, internal angle acute; Amazon basin .*E. howdeni* sp. nov.

- Clypeal margin unmodified medially; male metafemur with triangular tooth, setal brush on each side of tooth; male metatibia evenly arcuate, feebly expanded toward apex in dorsal view, internal angle truncate; Guiana, Venezuela...*E. truncus* sp. nov.

Key to species of *impressicollis* group

1(0) Interstria 8 flat on median half, at most convex on basal half (Fig. 138); proepisternal anterior carina reaching lateral edge posterior to anterior angle (Fig. 139); anterior pronotal surface smooth between punctures, surface glossy (Fig. 140); female anterior pronotal edges produced into carina on each side of head insertion (Fig. 140); Colombia.......................... .... *E. impressicollis* Castelnau

- Interstria 8 convex throughout (Fig. 141); proepisternal anterior carina reaching lateral edge at anterior angle (Figs. 142-143); anterior pronotal surface dull between punctures (Fig. 144); female anterior pronotal edges unmodified 2

2(1) Anterior proepisternal carina angular before anterior angle (Fig. 142); interstriae 3 bent toward lateral margin apically, lacking small acute tubercle, setae similar to rest of elytra (Fig. 145); clypeal anterior edge lacking tooth on each side of median emargination (Fig. 146); Guatemala to Bolivia ....*E. plebejus* Harold

- Anterior proepisternal carina nearly straight before anterior angle (Fig. 143); interstriae 3 bent toward elytral suture apically, with small acute tubercle bearing a brush of long white setae (Fig. 147); clypeal anterior edge with a short tooth on each side of median emargination (Fig. 148); Belize, Mexico, Guatemala ....*E. angustulus* Harold

Key to species of *magnus* group

1(0) Prosternum with usually large, transverse tubercles on each side of midline (Fig. 149); pronotum with 6 small glossy calluses set in circle (Fig. 150); Mexico and Central America... *E. magnus* Castelnau

- Prosternum lacking tubercles on each side of midline (Fig. 151); pronotum with calluses arranged differently, with three glossy calluses anteromedially (Figs. 152-154) 2

2(1) Proepisternal anterior carina sinuous and reaching anterior angle apex (Fig. 155); male metasternum lacking fovea medially, median carina on disc (Fig. 156); female metafemur with a small acute tubercle set between ventral and dorsal edge medially; Bolivia, Colombia, Ecuador, Peru, Venezuela ....*E. marmoreus* Castelnau

- Proepisternal anterior carina directed toward lateral margin, forming an angle and directed anteriorly before reaching lateral edge (Fig. 157); male metasternum foveolate medially (Fig. 66); female metafemur with or without tooth 3

3(2) Pronotal surface with 11 more or less well-defined calluses, of which only anteromedial calluses are slightly glossy (Fig. 153); interstria 5 feebly convex, surface dull (Fig. 158); male metafemur with a small tooth in line with dorsal edge on distal half (Fig. 159), female with or without tooth;

Mexico, Central America, Colombia, Guyana, Trinidad, Venezuela ....*E. mexicanus* Harold

\- Pronotal surface with 11 well-defined glossy calluses (Fig. 154); interstria 5 convex, surface glossy (Fig. 67); metafemur lacking tooth on posterior edge, male at most with dorsal edge broadly angular; Bolivia, Brazil .... *E. harlequin* sp. nov.

Key to species of *caribaeus* group

1(0) Genal punctures ocellate (Fig. 160); metasternum with two small longitudinal carinae posteromedially (Fig. 161) 2

\- Genal punctures simple, weakly-defined (Fig. 162); metasternum with a large longitudinal tooth posteromedially, tooth reduced to a longitudinal convexity in smallest individuals (Fig. 163) 4

2(1) Pygidium regularly convex, lacking median, longitudinal, small depression basally, basal portion narrowly sulcate (Fig. 164); metafemur mostly light colored; male protibia with entire ventral carina between median tubercle and apex, well defined throughout and never reaching base of two proximal lateral teeth (Fig. 165) 3

\- Pygidium concave medially and laterally along base, widely sulcate basally (Fig. 34); metafemur mostly dark colored (Fig. 166); male protibia with ventral carina weakly-defined between median tubercle and apex, carina reaching and fused to base of two lateral proximal teeth (Fig. 167); Belize, Guatemala, Mexico ....*E. maya* sp. nov.

3(2) Metafemur with a single tooth on posterior surface, rarely with an additional obtuse small tooth adjacent to trochanter (Figs. 168-169); male pronotal posterior angle simple (Fig. 170); male protibia with two proximal teeth pointing obliquely downward (Fig. 165); Mexico to Argentina .... *E. caribaeus* (Herbst)

\- Metafemur with two teeth on posterior surface, basal tooth missing only in females from Serra dos Carajás (Brazil) (Fig. 171); male pronotal posterior angle lobate; male protibia with two proximal teeth pointing perpendicularly downward (Fig. 172); Brazil (Mato Grosso, Pará), French Guiana, Suriname...*E. cyclops* sp. nov.

4(1) Pronotum with 5 well-defined glossy calluses (Fig. 173); odd interstriae with setae isolated, at most with few groups of 2-3 short, slender setae

(Fig. 174); male pronotal posterior angle lobate (Fig. 175); Amazon, Costa Rica..*E. hamaticollis* Balthasar

- Pronotum with a single well-defined callus anteromedially (Fig. 176); odd interstriae with numerous groups of 4-8 short squamose setae (Fig. 177); male pronotal posterior angle simple (Fig. 176); south and southeastern Brazil .... *E. francinae* sp. nov.

ANNEXE 3. CLAVE DE IDENTIFICACIÓN

Clave para la identificación de los grupos de especies de *Eurysternus* (adultos)

Nota. Machos y hembras se distinguen por poseer los primeros un cepillo o pincel de sedas en el ápice de la tibia anterior. (Figs. 26, 59, 62, 121, 133, 135, 165, 167, 172).

1(0) Tamaño pequeño (menor a 8,0 mm); dorso cubierto de largas sedas intermezcladas con sedas cortas (Fig. 36); microescultura de los élitros formando siempre una red de líneas más o menos transversal (Fig. 37); estrías elitrales usualmente anchas, las cuatro primeras estrías generalmente separadas por menos de tres veces su ancho en el disco (Fig. 37) 2

- Tamaño generalmente más grande (superior a 8,0 mm, excepcionalmente 8,0 mm en los ejemplares más pequeños del grupo *deplanatus*); dorso cubierto de sedas cortas y por lo general de tamaño más uniforme, excepto por algunos pinceles de sedas largas en el ápice de los élitros y a veces en la región anterior del pronoto, en la cabeza o hileras de sedas a lo largo del margen lateral del pronoto y de los élitros (Fig. 38); microescultura elitral variable, alveolada (formando una red de líneas transversales sólo en *E. gilli*) (Fig. 39); estrías de los élitros usualmente estrechas, las cuatro primeras estrías separadas por más de tres veces su ancho en el disco (Fig. 39)... 3

2(1) Tibia posterior con varias hileras longitudinales de sedas próximas entre sí, excepto dos o tres pequeños grupos de sedas en la mitad apical (Fig. 40); estrías elitrales muy anchas, las cuatro primeras estrías separadas por menos de tres veces su ancho discal (Fig. 37); espolón de la tibia posterior del macho no articulado (Fig. 41) ....**Grupo *hirtellus***

- Tibia posterior sin peines de sedas, con sedas aisladas, largas y espiniformes, en algunos ejemplares con algunas sedas cortas y escamiformes intermezcladas

(Fig. 42); estrías de los élitros normales, las cuatro primeras estrías separadas por más de tres veces su ancho discal (como en la Fig. 39); espolón de la tibia posterior del macho articulado Fig. 43) ....
.... **Grupo *navajasi*** (una especie, *E. navajasi* Martínez)

3(1) Espolón de la tibia posterior del macho articulado (Fig. 43); hembra sin indicación de dentículo o tubérculo en la cara posterior del fémur posterior (excepto en la hembra de *E. deplanatus*, donde el borde posteroventral presenta un pequeño lóbulo en su parte media); declives apicales de los élitros siempre con sedas largas (Fig. 44); quilla humeral corta, nunca prolongada más allá del sexto basal (Fig. 45)... 4

\- Espolón de la tibia posterior del macho fusionado (Fig. 46); fémur posterior de la hembra usualmente con un dentículo o tubérculo (dos en *E. cyclops*) en la cara posterior (Fig. 47) (si no presenta dentículo o tubérculo, entonces checar carácter siguiente); declive apical del élitro con sedas similares en longitud a las del resto de la superficie (Fig. 48); quilla humeral corta o prolongada más allá del tercio apical 6

4(3) Disco del pronoto en su mayor parte cubierto de grandes puntos ocelados confluyentes, puntuación más pequeña y más dispersa en la región anterior, superficie entre los puntos cubierta de microescultura fácilmente visible a 50 X (Fig. 49) .... **Grupo *cayennensis***

\- Disco del pronoto sin clara puntuación ocelada y confluyente, la mayor parte de los puntos separados por lo mínimo una vez su diámetro (Figs. 50, 52-53) 5

5(4) Región posterior del pronoto con tres callos glabros y usualmente brillantes, que contrastan fuertemente con el resto de la superficie, el del medio triangular y los laterales circulares, el callo medio siempre claramente convexo (Fig. 50); fémur posterior claviforme, superficie casi totalmente brillante (Fig. 51)..**Grupo *deplanatus***

\- Región anterior del pronoto sin callos glabros y brillantes, o con tres pequeñas regiones glabras, pero opacas como el resto de la superficie, la región media más o menos triangular y las laterales circulares, la región glabra media nunca convexa (Figs. 52, 53); fémur posterior no modificado, superficie casi totalmente mate...**Grupo *inflexus***

6(3) Coxas posteriores unicolores lateralmente; esternito abdominal 3 trunco anteriormente entre las coxas posteriores, que se encuentran más o menos ampliamente separadas (Fig. 54); ojos poco visibles en vista dorsal (Fig. 55)..... 7

\- Coxas posteriores bicolores, generalmente con coloración clara y con dos manchas oscuras, una cercana a la inserción del trocánter y otra en el medio (este carácter es difícil de ver en ejemplares sucios o cubiertos con grasa) (Fig. 56); esternito abdominal 3 acuminado anteriormente entre las coxas posteriores, que son casi contiguas (Fig. 57); ojos fácilmente visibles en vista dorsal (Fig. 58).. 9

7(6) Tarso anterior usualmente ausente (se puede perder fácilmente), si presente, muy reducido, poco esclerotizado y con coloración clara (Fig. 59); pronoto sin quilla fina y evidente sobre el borde lateral de la mitad posterior, borde diferente del borde posterior de los proepisternos, formando un arco simple internamente a la hilera de sedas (excepto en *E. sulcifer*, que se separa del grupo *calligrammus* por la octava interestría más elevada que la quilla de la pseudoepipleura elitral en su parte media, y del grupo *velutinus* por la presencia de grandes puntos confluyentes en el metaesternón) (Fig. 60); pronoto cubierto por puntos rugosos mezclados con puntos ocelados (Fig. 61)..**Grupo *foedus***

\- Tarso anterior usualmente presente, sencillo (algo reducido en los machos del grupo *calligrammus*) y del mismo color de la tibia (Fig. 62); pronoto finamente aquillado sobre el borde lateral de la mitad posterior, similar al borde posterior del proepisterno (Fig. 63); pronoto cubierto de puntos ocelados muy uniformes, en el disco (Fig. 63)... 8

8(7) Quilla de la pseudoepipleura elitral filiforme, fuertemente curvada hacia arriba en el medio, más alta que la región adyacente del disco de los élitros; coloración de los élitros negra o castaña-oscura, con fuertes reflejos metálicos azules o verdes...**Grupo *calligrammus***

\- Quilla de la pseudoepipleura elitral poco filiforme, no curvada hacia arriba en su parte media, más baja que la región adyacente del disco elitral (Fig. 32); coloración de los élitros parda, con reflejos sedosos verde-oliva ....**Grupo *velutinus***

9(6) Disco del metaesternón sin fóvea media (Fig. 64); quinta interestría elitral poco convexa, más baja que la quilla de la pseudoepipleura (Fig. 65); octava interestría elitral más baja que la quilla de la pseudoepipleura en la parte media del élitro (Fig. 65) .... **Grupo *caribaeus***

\- Disco del metaesternón con una fóvea redonda y glabra en el medio (excepto en machos de *E. marmoreus*) (Fig. 66); quinta interestría del élitro convexa y más alta que la quilla de la pseudoepipleura (Fig. 67); octava

interestría mucho más alta que la quilla de la pseudoepipleura, fuertemente convexa en la parte media del élitro (Fig. 67) 10

10(9) Pronoto en parte cubierto por puntos ocelados confluyentes, a veces los puntos sólamente presentes en las concavidades (Fig. 68); tamaño en general pequeño (6,0-10,5 mm) .... **Grupo *impressicollis***

- Pronoto en su mayor parte cubierto por pequeños puntos sencillos y no confluyentes, si los puntos son algo ocelados, entonces el borde posterior de cada punto se encuentra interrumpido (Fig. 69); tamaño generalmente mayor (8,5-17,0 mm) .... **Grupo *magnus***

Clave para la identificación de las especies del grupo *cayennensis*

1(0) Coxas posteriores unicolores lateralmente; puntos del disco del pronoto redondeados, el centro de cada punto con una protuberancia más o menos convexa, sedas de los puntos inseridas en la parte media (algo anteriormente en las declividades laterales en *E. cayennensis*) (Fig. 70) 2

- Coxas posteriores bicolores lateralmente (Fig. 71); puntos del disco ovales, sin protuberancias evidentes, parte media de cada punto cóncavo y cubierto de una fuerte microescultura foveolada, cada seda inserida junto o cerca del borde anterior del punto (Fig. 49) 4

2(1) Lóbulo medio del metaesternón sin grandes puntos ocelados en el disco, a lo más con algunos puntos ocelados muy espaciados cercanos a las coxas medias (Fig. 72); microescultura de los élitros alveolada (Fig. 73); espolón de la tibia posterior del macho largo, cerca de dos tercios de la longitud del borde apical (Fig. 74); Bolivia, Brasil, Colombia, Ecuador, Guayana Francesa, Perú, Surinam, Venezuela.......................... *E. cayennensis* Castelnau

- Lóbulo medio del metaesternón cubierto por grandes puntos ocelados evidentes lateralmente y en el disco (Fig. 75); microescultura de los élitros reticulada transversalmente cercana a la base (Fig. 76); espolón de la tibia posterior del macho corto, cerca de la cuarta parte de la longitud del borde apical (Fig. 77).. 3

3(2) Fémur posterior dilatado en un lóbulo pubescente en su parte ápico-dorsal, lóbulo menos desarrollado, pero también presente en las hembras (Fig. 78); borde lateral del pronoto regularmente redondeado en la mitad anterior; Amazonía .... *E. gilli* sp. nov.

- Fémur posterior sencillo en la parte ápico-dorsal (Fig. 79); borde lateral del pronoto subangular en la mitad anterior; Amazonía......... *E. gracilis* sp. nov.

4(1) Puntos de la región anterior del pronoto mucho más espaciados que en el resto de la superficie, en general con algunos puntos más pequeños (Fig. 80); puntos del disco del metaesternón irregulares y mal definidos (Fig. 81); quilla postero-ventral del fémur posterior del macho con una densa hilera de sedas junto a la cara posterior, sedas gradualmente alargadas en su parte media (Fig. 82); quinto esternito del macho poco sinuado en su mitad; Bolivia, Brasil, Colombia, Ecuador, Guayana Francesa, Perú, Surinam....... .... *E. vastiorum* Martínez

- Puntos de la región antero-media del pronoto casi tan densos como en el resto de la superficie, uniformes; puntos del disco del metaesternón iguales, evidentes y confluyentes; quilla postero-ventral del fémur posterior del macho con una hilera de sedas cortas escamiformes y no confluyentes, junto a la cara posterior, sedas uniformes en su longitud; quinto esternito abdominal del macho con un tubérculo en la mitad del borde posterior; Bolivia, Brasil, Guayana, Guayana Francesa, Venezuela.... *E. ventricosus* Gill

Clave para la identificación de las especies del grupo *deplanatus*

1(0) Superficie del pronoto lustrosa entre los puntos del disco; fémur posterior poco claviforme, bordes anterior y posterior divergiendo justo después de la sutura trocanto-femoral, color mayormente claro; longitud inferior a 11,0 mm; sureste del Brasil.. *E. deplanatus* (Germar)

- Superficie del pronoto opaca entre los puntos del disco (Fig. 83); fémur posterior claviforme, bordes anterior y posterior paralelos cercanos a la sutura trocanto-femoral, color mayormente verde-olivo obscuro (Fig. 51); longitud superior a 11,0 mm; Argentina, sur del Brasil y Paraguay.............. .... *E. parallelus* Castelnau

Clave para la identificación de las especies del grupo *inflexus*

1(0) Proesternón posteriormente a las coxas anteriores con una hilera de finas sedas similares a las del metaesternón; sedas del pronoto muy delgadas y curvadas apicalmente (Fig. 84); superficie del pronoto cubierta de puntos ocelados (Fig. 85); superficie del pronoto y élitros mate, sin microescultura evidente (50X); borde lateral de los ángulos anteriores del pronoto subangular

(Fig. 86); tercer esternito abdominal del macho sin un pequeño tubérculo aplanado en la parte media del borde posterior; tibia posterior del macho recta en los tres quintos basales y luego fuertemente curvada hacia adentro en vista ventral (Fig. 87); sureste del Brasil ....*E. inflexus* (Germar)

\- Proesternón posteriormente a las coxas anteriores con una hilera de fuertes escamas decumbentes; sedas del pronoto escamiformes y erectas (Fig. 88); superficie del ángulo anterior del pronoto sin puntos ocelados (Fig. 89); superficie del pronoto y de los élitros cubierta de una microescultura evidente (Fig. 89); borde lateral del ángulo anterior del pronoto arqueado (Fig. 89); tercer esternito abdominal del macho con un pequeño tubérculo aplanado en su parte media; tibia posterior del macho regularmente arqueada o casi recta en vista ventral 2

2(1) Tibia posterior provista de varias hileras de sedas; fémur posterior muy estrecho y más obscuro en el tercio basal; borde anterior del profémur del macho provisto de un gran diente proyectado lateralmente y curvadado hacia atrás; parte interna de la protibia del macho provista de un pequeño tubérculo ventral agudo sobre el tercio basal; Amazonía ....
....*E. wittmerorum* Martínez

\- Tibia posterior provista de fuertes sedas espiniformes aisladas o en grupos de dos a cuatro (Fig. 90); fémur posterior ancho en la base, con coloración obscura sólo en la región de la sutura trocanto-femoral; fémur anterior del macho sin diente en el borde anterior; tibia anterior del macho con una hilera de pequeños dientes romos sobre el borde interno; Bolivia, Brasil y Paraguay...*E. jessopi* Martínez

Clave para la identificación de las especies del grupo *hirtellus*

1(0) Proepisternón con una única quilla paralela al borde anterior (Fig. 91).... 2

\- Proepisternón con dos quillas, la primera acompañando el borde anterior y la segunda un poco posterior a ésta, y a veces parcialmente fusionada a ella (Figs. 92-93) 3

2(1) Tamaño muy pequeño, 4,5-5,0 mm; porción media de la mitad anterior de la coxa posterior con una mancha amarilla; borde lateral (novena interestría) del élitro con una hilera de sedas alineadas, la superficie de esta interestría al mismo nivel que la superficie de la octava interestría en su parte media; tibia anterior del macho con dos dientes en el borde externo; Brasil (Bahia)......
....*E. nanus* sp. nov.

- Tamaño pequeño, 6,5-8,0 mm; coxa posterior completamente obscura; borde lateral (novena interestría) con una hilera de sedas no alineadas, la superficie de esta interestría más elevada que la superficie de la octava interestría en su parte media; tibia anterior del macho provista de tres dientes sobre el borde externo; Brasil (Bahia, Espírito Santo, Minas Gerais, Rio de Janeiro) .... *E. hirtellus* Dalman

3(1) Último esternito abdominal con grandes escamas cubriendo ampliamente la superficie de la mitad basal (Fig. 94); región amazónica de Colombia, Ecuador y Perú .... *E. squamosus* sp. nov.

- Último esternito abdominal con algunas sedas largas y escasas, usualmente delgadas y erectas, sin jamás cubrir la superficie (Fig. 95) 4

4(3) Quilla ventro-lateral de la tibia posterior entera, muy robusta y brillante, las sedas dispuestas sobre el borde externo de la quilla (Fig. 96); macho con la quilla lateral de la tibia anterior no modificada, siempre más alta que la cara ventral en la mitad basal 5

- Quilla ventro-lateral de la tibia posterior interrumpida por sedas (Fig. 97); macho con la quilla lateral de la tibia anterior curvada hacia abajo, borde fuertemente indentado (Fig. 98) 6

5(4) Bordes laterales del pronoto paralelos; ángulo anterior del pronoto subangular (Fig. 99); borde externo de la tibia posterior sinuado; macho con un pincel de sedas claras en la cara interna de la tibia posterior (Fig. 100); ángulo anterior del pronoto de la hembra dentiforme, lustroso, y curvado dorsalmente; Bolivia, Colombia, Ecuador, Perú .... *E. lanuginosus* sp. nov.

- Bordes laterales del pronoto divergentes anteriormente; ángulo anterior del pronoto ampliamente redondeado; borde externo de la tibia posterior recto; macho con una única hilera de sedas claras en la cara interna de la tibia posterior; ángulo anterior del pronoto de la hembra no modificado; Perú, Brasil (Acre, Amazonas) .... *E. strigilatus* sp. nov.

6(4) Interestría sutural lustrosa, con reflejos metálicos cobrizos o verdes en su mitad apical (Fig. 101); puntuación de la cabeza muy cerrada, todos los puntos confluyentes, excepto por una región estrecha cerca del borde anterior, que está cubierta por puntos sencillos sobre un fondo brillante con reflejos metálicos (superficie completamente mate sólo en *E. martinsi*) (Fig. 102) 7

- Interestría sutural similar a las demás, sin reflejos metálicos, opaca (Fig. 103); puntuación de la cabeza más espaciada, la mayoría de los puntos

separados por su diámetro o más, región anterior sin puntos sencillos ni reflejos metálicos (excepto *E. cambeforti* que presenta un delgado reborde metálico) (Fig. 104) 9

7(6) Declive apical de los élitros con sedas completamente negras; región anterior del clípeo con superficie completamente mate; borde interno de la tibia posterior del macho claramente crenulado, las sedas del tercio medio similares a las del tercio apical, no contiguas; Brasil (Minas Gerais)............ .... *E. martinsi* sp. nov.

\- Declive apical de los élitros con sedas más claras que las del disco, si son del mismo color, entonces son testáceas o castañas; región anterior del clípeo con una superficie por lo menos estrechamente lustrosa; borde interno de la tibia anterior del macho no crenulado en su parte media, sedas del tercio medio mucho más delgadas, pálidas y contiguas (Fig.105).......................... 8

8(7) Superficie de la cabeza mayormente opaca y sin reflejos metálicos, excepto una estrecha banda verde metálica, que cubre a lo más la octava parte de la longitud de la cabeza en su parte media y casi tan ancha, como la sinuosidad media, tegumento con superficie castaña a negra, con fuerte microescultura entre los puntos ocelados (Fig. 102); borde lateral de la tibia posterior del macho curvado en su mitad basal en vista dorsal (Fig. 105); Argentina, Bolivia, Brasil, Paraguay, Perú......................*E. nigrovirens* sp. nov.

\- Superficie de la cabeza mayormente lustrosa y con fuertes reflejos metálicos cobrizos entre los puntos ocelados, la región anterior de la cabeza con una ancha banda cobriza, cubriendo por lo menos la quinta parte de la longitud de la cabeza en su parte media y prolongada lateralmente hasta las suturas clípeo-genales, puntos presentes en la banda de tipo sencillo (Fig. 106); borde lateral de la tibia posterior del macho recto o casi recto en la mitad basal en vista dorsal (Fig. 107); Argentina, Brasil, Paraguay..... .... *E. aeneus* sp. nov.

9(6) Borde anterior del clípeo redondeado en vista dorsal, emarginación media cubriendo cerca de la quinta parte del ancho del clípeo; ángulo anterior del pronoto con la quilla superior separada y posterior en relación a la quilla inferior (Fig. 108); sedas grandes del declive apical de los élitros casi rectas y paralelas, poco estrechas y rectas apicalmente (Fig. 109); toda la Amazonía .... *E. atrosericus* sp. nov.

\- Borde anterior del clípeo trunco en su parte media en vista dorsal, emarginación media cubriendo cerca de la tercera parte del ancho clipeal; ángulos anteriores del pronoto con las quillas superior e inferior más o

menos fusionadas (Fig. 110); sedas grandes del declive apical del élitro estrechas y curvadas apicalmente (Fig. 111)..10

10(9) Proepisternón profundamente surcado tras la quilla posterior, el surco interrumpido poco antes del borde lateral donde se forma una fosa (Fig. 112); Brasil (Pará) ....*E. cavatus* sp. nov.

\- Proepisternón débilmente surcado tras la quilla posterior, surco uniformemente marcado hasta el borde lateral, no formando una fosa (Fig. 92) 11

11(10) Región anterior del clípeo sin reflejos metálicos; borde interno de la tibia posterior del macho con las sedas del tercio medio más cortas que las del tercio apical; ángulo anterior del pronoto de la hembra ampliamente redondeado, no sinuado lateralmente; Guayana Francesa, Surinam .... *E. cambeforti* sp. nov.

\- Región anterior del clípeo con un estrecho reborde metálico, esa banda por lo menos tan ancha como uno de los puntos de la superficie; borde interno de la tibia posterior del macho con las sedas del tercio medio de longitud similar a las del tercio apical; ángulo anterior del pronoto de la hembra subangular, sinuado lateralmente antes del ángulo antero-lateral; Brasil (Maranhão, Pará) ....*E. fallaciosus* sp. nov.

Clave para la identificación de las especies del grupo *calligrammus*

1(0) Coxa posterior siempre con evidentes puntos ocelados en la cara ventral, internamente a la inserción del trocánter, la superficie entre estos puntos cubierta por una microescultura visible (Fig. 113); élitros con pubescencia larga y densa en el disco; tegumento con débiles reflejos metálicos azules o verdes.. 2

\- Coxa posterior sin puntos ocelados en la cara ventral, a lo más con pequeños puntos sencillos hacia la región interna de la inserción del trocánter, superficie lisa, microescultura poco visible (Fig. 114); élitros con pubescencia muy corta y espaciada en el disco; tegumento con fuertes reflejos metálicos azules, verdes o cobrizos 3

2(1) Cabeza con microescultura alveolada esparcida; pronoto sin banda estrecha glabra longitudinal anterior a su parte media; fémur posterior sin hilera de sedas erectas en la parte media de la cara posterior y sin indicación de tubérculo; tibia posterior amplia- y regularmente arqueada en vista ventral,

cara posterior con dos hileras de largas sedas en el tercio basal; Amazonía ....*E. arnaudi* sp. nov.

- Cabeza con microescultura reticulada cerrada (Figs. 55, 115); pronoto con una estrecha banda glabra longitudinal anterior a su parte media (Fig. 116); fémur posterior provisto de una hilera de sedas espiniformes erectas, castaño-oscuras, en la parte media de la cara posterior, y de un tubérculo agudo, que puede estar ausente en individuos muy pequeños (Fig. 117); tibia posterior claramente plegada en vista dorsal en el tercio basal, cara posterior presentando una sola hilera de sedas cortas en el tercio basal (Fig. 118); Brasil, Guayana, Guayana Francesa, Surinam, Venezuela..................... .... *E. balachowskyi* Halffter & Halffter

3(1). Sutura meso-metaesternal aquillada lateralmente (Fig. 119); tibia anterior del macho poco curvada en el ápice, no formando un fuerte diente dirigido perpendicularmente hacia abajo; fémur posterior de la hembra sin diente en la cara posterior; Brasil (Minas Gerais, Rio de Janeiro) ....*E. calligrammus* Dalman

- Sutura meso-metaesternal no aquillada lateralmente (Fig. 120); tibia anterior del macho fuertemente curvada en el ápice, formando un fuerte diente dirigido perpendicularmente hacia abajo (Fig. 121); fémur posterior de la hembra provisto de un diente en la cara posterior; Argentina y región sureste del Brasil...*E. cyanescens* Balthasar

Clave para la identificación de las especies del grupo *velutinus*

1(0) Cabeza con puntuación pequeña y tenue en toda la superficie, algunos puntos grandes y con un reborde evidente cerca de los ojos y en el borde lateral de las genas (puntuación algo más grande en *E. uniformis*), puntuación nunca ocelada (excepto en algunos individuos de *E. olivaceus*) (Fig. 28, 122) 2

- Cabeza con puntuación pequeña y tenue anterioemente, gradualmente mayor y más evidente posteriormente, u ocelada en el vértice y las genas (Fig. 123).. 7

2(1) Pronoto con fuertes reflejos metálicos verde-cobrizos localizados, superficie entre los puntos casi lisa en la parte media del disco; metaesternón casi liso y presentando fuertes reflejos metálicos; octava interestría de los élitros fuertemente convexa en toda su longitud, separando los callos humeral y apical; fémur anterior con puntuación setífera espaciada, generalmente

dispuesta en tres o cuatro hileras no alineadas sobre la cara ventral; Venezuela..*E. superbus* sp. nov.

- Pronoto completamente sedoso, en algunos individuos la superficie de las callosidades de la región anterior un poco más lisa; metaesternón con superficie mate; octava interestría elitral plana o poco convexa en la mitad anterior (Fig. 124); fémur anterior con puntuación setífera en general confluyente y dispuesta en dos o tres hileras no alineadas en la cara ventral......................... 3

3(2) Pronoto con puntos en su mayoría separados por más que su diámetro (Fig. 125); tibia posterior de la hembra con sedas mucho más cortas que el diámetro de la tibia (Fig. 126).. 4

- Pronoto con puntos en su mayoría separados por su diámetro o menos, localmente confluyentes; tibia posterior de la hembra con sedas tan o más largas que el diámetro de la tibia (Fig. 127) 5

4(3) Pronoto con puntuación ocelada en toda la superficie (Fig. 125); tibia posterior del macho ligeramente más ancha hacia el ápice, hilera de sedas de la cara ventral muy corta, con menos de la quinta parte del ancho de la tibia en su cuarto basal; proyecciones ventrales de los parámeros estrechas apicalmente, quilla lateral sólamente indicada; Colombia, Ecuador, Perú ... .*E. contractus* sp. nov.

- Pronoto con puntuación sencilla en la parte media del disco, puntos sin rebordes lustrosos; tibia posterior del macho fuertemente ensanchada hacia el ápice; hilera de sedas de la cara ventral larga, casi tanto como el ancho de la tibia en su cuarto basal; proyección ventral de los parámeros ensanchada apicalmente, quilla normalmente desarrollada; Costa Rica, Panamá ....*E. olivaceus* sp. nov.

5(3) Novena interestría elitral con un pliegue liso en toda su longitud; callo apical del élitro con interestrías con sedas similares en número, longitud y densidad; Bolivia, Brasil ....*E. uniformis* sp. nov.

- Novena interestría elitral plana, estrecha y lisa exteriormente; callo apical del élitro con sedas mucho más ralas, cortas y esparcidas en la sexta interestría que en las demás (Fig. 128).. 6

6(5) Pigidio claramente marginado lateralmente (Fig. 129); fémures medio y posterior con puntuación pequeña y esparcida en el disco, algunos puntos un poco más grandes y más densos cerca de la base y del borde posterior; proyecciones ventrales de los parámeros abruptamente convergentes en el ápice en vista frontal; Bolivia, Perú ....*E. inca* sp. nov.

- Pigidio débilmente marginado en su parte interna cerca de la base, marginación en gran parte fusionada y al mismo nivel del disco del pigidio; fémures medio y posterior con grandes puntos en toda su mitad posterior; proyecciones ventrales de los parámeros gradualmente convergentes hacia el ápice en vista frontal; Belice, Guatemala, México .... *E. obliteratus* sp. nov.

7(1) Vértice y genas con grandes puntos ocelados, mucho más espaciados en la región anterior, más grandes y confluyentes en la región posterior; pronoto con el borde lateral casi recto cerca de los ángulos anteriores; tibia posterior de la hembra con sedas largas, las de las hileras ventral y dorsal tan o más largas que el ancho de la tibia (Fig. 127); Costa Rica, Panamá......... *E. velutinus* Bates

- Vértice y genas con puntuación sencilla, densa y profunda, similar y regularmente distribuida en la superficie (Fig. 123); pronoto con el borde lateral variablemente sinuado cerca del ángulo anterior; tibia posterior de la hembra con sedas cortas, usualmente mucho menos largas que el ancho de la tibia (Fig. 126); Bolivia, Brasil, Colombia, Ecuador, Guayana, Guayana Francesa, Perú, Surinam, Venezuela............................... *E. hypocrita* Balthasar

Clave para la identificación de las especies del grupo *foedus*

1(0) Borde lateral del pronoto finamente aquillado entre los ángulos basal y medio, quilla filiforme y a veces interrumpida por sedas; metaesternón cubierto por puntos grandes lateralmente, cerca de las coxas medias, puntos más o menos confluyentes y cada uno sin una seda cercana al borde anterior del punto; fémur posterior del macho con un pequeño diente agudo curvado hacia adentro; Brasil (Minas Gerais, Rio Grande do Sul, Santa Catarina, São Paulo) .... *E. sulcifer* Balthasar

- Borde lateral del pronoto redondeado en forma simple entre los ángulos basal y medio (Fig. 130); lóbulo medio del metaesternón cubierto por puntos de tamaño regular en toda la superficie, puntos generalmente separados por varias veces su diámetro, cada uno con una delgada seda originada cerca al centro del punto (Fig. 131); fémur posterior del macho con una proyección corta y triangular, lobiforme o truncada en el ápice 2

2(1) Octava interestría mucho más alta que la quilla de la pseudoepipleura, fuertemente convexa, provista de tres o cuatro hileras de sedas; ángulo anterior del pronoto redondeado, la superficie entre los puntos regular- y finamente reticulada; tamaño pequeño (menor a 15,5 mm); Guayana, Venezuela... *E. sanbornei* Gill

\- Octava interestría con la misma altura que la quilla de la pseudoepipleura, aplanada y provista de una o dos hileras de sedas; ángulo anterior del pronoto subagudo, superficie entre los puntos cubierta de microescultura más o menos fuerte, pero no reticulada (Fig. 132); tamaño más grande (más de 15,0 mm).... 3

3(2) Tibia anterior del macho con espolón (Fig. 133); borde lateral del pronoto, en vista dorsal, casi recto en su parte posterior al ángulo anterior; marginación anterior del clípeo nunca dilatada en su parte media, a lo más dos veces más ancha que en el borde lateral (Fig. 134); tibia anterior del macho con un cepillo de sedas estrecho, cubriendo la mitad del ápice (Fig. 135); fémur posterior de la hembra con un diente corto redondeado en el tercio basal del borde posterior.. 4

\- Tibia anterior del macho sin espolón; borde lateral del pronoto, en vista dorsal, cóncavo en su cuarto posterior al ángulo anterior; marginación anterior del clípeo fuertemente dilatada en su parte media, por lo menos tres veces más ancha que en el borde lateral (no modificada en *E. truncus*); tibia anterior del macho con cepillo de sedas ancho, cubriendo más de la mitad del ápice; fémur posterior de la hembra con un diente largo y trunco en la parte media del borde posterior 5

4(3) Pronoto con un margen estrecho cerca del ángulo anterior, margen con anchura regular (Fig. 132); tamaño en general pequeño (14,0-19,0 mm); tibia posterior de la hembra sin un gran diente en el tercio basal del borde interno; México hasta Bolivia...............................*E. foedus* Guérin-Méneville

\- Pronoto ampliamente marginado cerca de los ángulos anteriores, margen dilatándose anteriormente y formando una superficie lisa muy ancha sobre el ángulo anterior (Fig. 136); tamaño en general grande (18,0-21,0 mm); tibia posterior de la hembra con un gran diente en el tercio basal del borde interno (Fig. 137); Costa Rica, Panamá, Colombia, Ecuador, Peru.............. ....*E. streblus* sp. nov.

5(3) Margen clipeal dilatado en su parte media, por lo menos tres veces más ancho que en su parte lateral; fémur posterior del macho con un diente rectangular y con un cepillo de sedas en su cara dorsal; tibia posterior del macho plegada en el tercio medio, fuertemente dilatada hacia el ápice en vista ventral, ángulo interno agudo; cuenca amazónica..*E. howdeni* sp. nov.

\- Margen clipeal regular en su parte media; fémur posterior del macho con un diente triangular y con un cepillo de sedas lateral; tibia posterior del macho arqueada, poco dilatada hacia el ápice, ángulo interno trunco; Guayana, Venezuela...*E. truncus* sp. nov.

Clave para la identificación de las especies del grupo *impressicollis*

1(0) Octava interestría elitral sin quilla en su parte media, a lo más convexa en su mitad basal (Fig. 138); quilla anterior del proespisternón alcanzando el borde lateral lejos del ápice del ángulo anterior (Fig. 139); región anterior del pronoto muy lisa entre los puntos, superficie lustrosa (Fig. 140); borde anterior del pronoto de la hembra extendido en una fuerte quilla a cada lado de la inserción de la cabeza (Fig. 140); Colombia .... *E. impressicollis* Castelnau

\- Octava interestría fuertemente aquillada en su parte media, quilla mucho más alta que la de la pseudoepipleura (Fig. 141); quilla anterior del proepisternón alcanzando el borde lateral por debajo del ápice del ángulo anterior (Figs. 142-143); región anterior del pronoto completamente mate entre los puntos (Fig. 144); borde anterior del pronoto de la hembra no modificado 2

2(1) Quilla anterior del proepisternón angulada delante del ángulo anterior (Fig. 142); tercera interestría curvada hacia afuera en el ápice y sin un pequeño tubérculo agudo, sedas similares a las del resto de la superficie (Fig. 145); borde anterior del clípeo sin diente a cada lado de su parte media (Fig. 146); de Guatemala hasta Bolivia ....*E. plebejus* Harold

\- Quilla anterior del proepisternón casi recta delante del ángulo anterior (Fig. 143); tercera interestría curvada hacia adentro y con un pequeño tubérculo agudo con un largo pincel de sedas en el ápice (Fig. 147); borde anterior del clípeo con un diente corto a cada lado de su parte media (Fig. 148); Belice, México, Guatemala ....*E. angustulus* Harold

Clave para la identificación de las especies del grupo *magnus*

1(0) Proesternón con un tubérculo transversal, generalmente grande, a cada lado de su parte media (Fig. 149); pronoto con seis pequeñas callosidades lustrosas dispuestas en círculo (Fig. 150); México y América Central .... *E. magnus* Castelnau

\- Proesternón sin tubérculos a cada lado de su parte media (Fig. 151); pronoto con las callosidades con un arreglo distinto, con tres callosidades lustrosas centrales y anteriores (Figs. 152-154).. 2

2(1) Quilla anterior del proepisternón sinuosa y fusionada al ápice del ángulo anterior (Fig. 155); metaesternón del macho sin fosa central, quilla media situada en el centro (Fig. 156); fémur posterior de la hembra con un pequeño

tubérculo agudo anterior a su parte media entre los bordes ventral y dorsal; Bolivia, Colombia, Ecuador, Peru, Venezuela .... *E. marmoreus* Castelnau

\- Quilla anterior del proepisternón dirigida hacia el borde lateral y formando un ángulo recto justo antes del borde, porción paralela al borde lateral que llega al ángulo anterior frecuentemente desvanecida a cierta distancia (Fig. 157); metaesternón del macho con una fosa en el medio (Fig. 66); fémur posterior de la hembra con o sin diente 3

3(2) Superficie del pronoto con once callosidades más o menos claras, y sólamente aquéllas anteriores a la parte media son (poco) lustrosas (Fig. 153); quinta interestría elitral poco convexa y con superficie mate (Fig. 158); fémur posterior del macho con un pequeño diente situado apicalmente en su parte media, y alineado sobre el borde dorsal en la cara posterior (Fig. 159), hembra con o sin diente; México, América Central, Colombia, Guayana, Trinidad, Venezuela...*E. mexicanus* Harold

\- Superficie del pronoto con once callosidades evidentes y fuertemente lustrosas (Fig. 154); quinta interestría elitral claramente convexa y lustrosa (Fig. 67); fémur posterior del macho y de la hembra inerme en su cara posterior, a lo más formando un débil ángulo en la parte media del borde dorsal en el macho; Bolivia, Brasil.................................. *E. harlequin* sp. nov.

Clave para la identificación de las especies del grupo *caribaeus*

1(0) Gena con clara puntuación ocelada (Fig. 160); metaesternón con dos pequeñas quillas longitudinales en su parte medio-basal (Fig. 161) 2

\- Gena con puntuación sencilla y poco evidente (Fig. 162); metaesternón con un gran diente en su parte medio-basal, reducido a una pequeña quilla longitudinal en los ejemplares más pequeños (Fig. 163).............................. 4

2(1) Pigidio regularmente convexo, sin una pequeña depresión longitudinal media cercana a la base, región basal estrechamente surcada (Fig. 164); fémur posterior en gran parte con coloración clara; tibia anterior del macho con quilla ventral completa entre el tubérculo medio y el ápcie, evidente en toda su longitud y nunca alcanzando la base de los dos dientes laterales (Fig. 165).... 3

\- Pigidio cóncavo en su parte media y lateralmente cercano a la base, región basal ampliamente surcada (Fig. 34); fémur posterior en su mayor parte de color obscuro, sólo las regiones anterior, apical, y la cara posterior, más claras (Fig. 166); tibia anterior del macho con una quilla poco marcada entre el tubérculo medio y el ápice, quilla alcanzando y

fusionada a la base de los dos dientes laterales basales (Fig. 167); Belice, Guatemala, México ....*E. maya* sp. nov.

3(2) Fémur posterior con un sólo diente o tubérculo en la cara posterior, raramente con una quilla o diente adicional cercano a la base, pero en ese caso, el diente adicional es obtuso y usualmente poco desarrollado (Figs. 168-169); ángulo posterior del pronoto del macho sencillo (Fig. 170); dos dientes basales de la tibia anterior del macho dirigidos oblícuamente hacia abajo (Fig. 165); de amplia distribución, México hasta Argentina................ .... *E. caribaeus* (Herbst)

\- Fémur posterior con dos dientes agudos en la cara posterior, diente basal faltante sólo en las hembras procedentes de la «Serra dos Carajás» (Brasil) (Fig. 171); pronoto del macho proyectándose en un lóbulo a cada lado posteriormente; dos dientes basales de la tibia anterior del macho dirigidos perpendicularmente hacia abajo (Fig. 172); Brasil (Mato Grosso, Pará), Guayana Francesa, Surinam ....*E. cyclops* sp. nov.

4(1) Pronoto con cinco callosidades lisas y evidentes (Fig. 173); interestrías impares con sedas aisladas, a lo más con algunos pequeños grupos de dos o tres sedas cortas poco escamiformes (Fig. 174); pronoto del macho proyectándose en un lóbulo recurvado a cada lado posteriomente (Fig. 175); Amazonía, Costa Rica ....*E. hamaticollis* Balthasar

\- Pronoto con una única callosidad lisa en su parte antero-media (Fig. 176); interestrías impares cubiertas de pequeños grupos de cuatro a ocho sedas cortas escamiformes (Fig. 177); ángulo posterior del pronoto del macho sencillo (Fig. 176); sur y sureste del Brasil........................ *E. francinae* sp. nov.

ANNEXE 4. CHAVES DE IDENTIFICAÇÃO

Chave de identificação para os adultos dos grupos de espécies do género *Eurysternus*

Nota. Os machos se diferenciam das fêmeas pela presença de uma escova ou tufo de sedas no ápice da tíbia anterior. (Figs. 26, 59, 62, 121, 133, 135, 165, 167, 172).

1(0) Tamanho pequeno (menos de 8,0 mm); dorso coberto de longas sedas eretas entremeadas de sedas curtas (Fig. 36); microescultura dos élitros formando sempre uma rede de linhas mais ou menos transversal (Fig.

37); estrias elitrais habitualmente largas, as quatro primeiras geralmente separadas por menos de três vezes a sua largura no disco (Fig. 37)............ 2

- Tamanho geralmente maior (mais de 8,0 mm, excepcionalmente 8,0 mm nos exemplares mais pequenos do grupo *deplanatus*); dorso coberto de sedas curtas e geralmente de tamanho mais uniforme, exceto alguns tufos de sedas longas no ápice dos élitros e às vezes na região anterior do pronoto e na cabeça ou fileiras de sedas ao longo da margem lateral do pronoto e dos élitros (Fig. 38); microescultura elitral variável, alveolada (formando uma rede de linhas transversais apenas em *E. gilli*) (Fig. 39); estrias dos élitros habitualmente estreitas, as quatro primeiras separadas por mais de três vezes a sua largura no disco (Fig. 39) 3

2(1) Tíbia posterior com diversas fileiras longitudinais de sedas aproximadas, exceto dois ou três pequenos grupos de sedas na metade apical (Fig. 40); estrias elitrais muito largas, as quatro primeiras separadas por menos de três vezes a sua largura no disco (Fig. 37); esporão da tíbia posterior do macho não articulado (Fig. 41) .... **Grupo *hirtellus***

- Tíbia posterior sem pentes de sedas, com sedas isoladas, longas e espiniformes, em alguns exemplares com algumas sedas curtas e escamiformes entre as sedas longas (como na Fig. 42); estrias dos élitros normais, as quatro primeiras separadas por mais de três vezes a sua largura no disco (como na Fig. 39); esporão da tíbia posterior do macho articulado (como na Fig. 43) .... **Grupo *navajasi*** (uma espécie, *E. navajasi* Martínez)

3(1) Esporão da tíbia posterior do macho articulado (Fig. 43); fêmea sem vestígio de dentículo ou tubérculo na face posterior do fêmur posterior (exceto na fêmea de *E. deplanatus*, em que o bordo postero-ventral tem um pequeno lobo no meio); declives apicais dos élitros sempre providos de sedas longas (Fig. 44); carena umeral curta, nunca prolongada para além do sexto basal (Fig. 45).. 4

- Esporão da tíbia posterior do macho fundido (Fig. 46); fêmur posterior da fêmea habitualmente com um dentículo ou tubérculo (dois em *E. cyclops*) na face posterior (Fig. 47) (se não modificado, verificar próximo caráter); declive apical do élitro provido de sedas similares em comprimento às do resto da superfície, nas espécies sem dentículo ou tubérculo na face posterior do fêmur posterior (Fig. 48); carena umeral curta ou prolongada para além do terço apical 6

4(3) Disco do pronoto na sua maior parte coberto de grandes pontos ocelados confluentes, pontuação menor e mais esparsa na região anterior, superfície

entre os pontos coberta de microescultura facilmente visível sob 50 X (Fig. 49).. **Grupo *cayennensis***

- Disco do pronoto sem pontuação ocelada nítida e confluente, maioria dos pontos separados por pelo menos uma vez o seu diâmetro (Figs. 50, 52-53).. 5

5(4) Região posterior do pronoto com três calos glabros e habitualmente brilhantes, contrastando fortemente com o resto da superfície, o mediano triangular e os laterais redondos, o calo mediano sempre distintamente convexo (Fig. 50); fêmur posterior claviforme, superfície quase toda lustrosa (Fig. 51)... **Grupo *deplanatus***

- Região anterior do pronoto sem calos glabros e brilhantes, ou com três pequenas regiões glabras, mas mates como o resto da superfície, a mediana mais ou menos triangular e as laterais arredondadas, a região glabra mediana nunca convexa (Figs. 52, 53); fêmur posterior não modificado, superfície na maior parte mate.. **Grupo *inflexus***

6(3) Coxas posteriores unicolores lateralmente; esternito abdominal 3 truncado anteriormente entre as coxas posteriores, que são mais ou menos amplamente separadas (Fig. 54); olhos pouco visíveis na parte dorsal da cabeça (Fig. 55).. 7

- Coxas posteriores bicolores, geralmente claras e com duas manchas escuras, uma próxima da inserção do trocânter e outra no meio (esse caráter é difícil de ver em exemplares sujos ou engordurados) (Fig. 56); esternito abdominal 3 acuminado anteriormente entre as coxas posteriores, que são quase contíguas (Fig. 57); olhos bem visíveis dorsalmente (Fig. 58).......... 9

7(6) Tarso anterior habitualmente ausente (facilmente perdido), se presente, grandemente reduzido, pouco esclerotizado e claro (Fig. 59); pronoto sem carena fina e nítida sobre o bordo lateral da metade basal, bordo diferente da margem posterior dos proepisternos, a margem sendo simplesmente arredondada interiormente à fileira de sedas (exceto em *E. sulcifer*, que se separa do grupo *calligrammus* pela oitava interestria mais elevada que a carena da pseudoepipleura dos élitros no meio, e do grupo *velutinus* pela presença de grandes pontos confluentes no metasterno) (Fig. 60); pronoto coberto de pontos rugosos misturados com pontos ocelados (Fig. 61) .... **Grupo *foedus***

- Tarso anterior habitualmente presente, normal (um pouco reduzido nos machos do grupo *calligrammus*) e da mesma cor que a tíbia (Fig. 62); pronoto finamente carenado sobre o bordo lateral da metade basal, similar

ao bordo da margem posterior do proepisterno (Fig. 63); pronoto coberto de pontuação ocelada muito uniforme no disco (Fig. 63) 8

8(7) Carena da pseudoepipleura elitral cortante, fortemente curvada para cima no meio, mais alta que a região adjacente do disco dos élitros; cor dos élitros negra ou castanha escura, com fortes reflexos metálicos azuis ou verdes .... **Grupo *calligrammus***

\- Carena da pseudoepipleura elitral pouco cortante, não curvada para cima no meio, mais baixa que a região adjacente do disco elitral (Fig. 32); cor dos élitros parda, com reflexos sedosos verde-azeitona.......... **Grupo *velutinus***

9(6) Disco do metasterno sem fóvea no meio (Fig. 64); quinta interestria elitral pouco convexa, mais baixa que a carena da pseudoepipleura (Fig. 65); oitava interestria elitral mais baixa que a carena da pseudoepipleura no meio do élitro (Fig. 65).. **Grupo *caribaeus***

\- Disco do metasterno com uma fóvea redonda e glabra no meio (exceto nos machos de *E. marmoreus*) (Fig. 66); quinta interestria do élitro convexa e mais alta que a carena da pseudoepipleura (Fig. 67); oitava interestria bem mais alta que a carena da pseudoepipleura, fortemente abobadada no meio do élitro (Fig. 67).. 10

10(9) Pronoto em parte coberto de pontos ocelados confluentes, às vezes os pontos presentes apenas nas concavidades do pronoto (Fig. 68); tamanho em geral pequeno (6,0-10,5 mm)................................. **Grupo *impressicollis***

\- Pronoto na maior parte coberto de pequenos pontos simples e não confluentes, se os pontos tiverem um aspecto ocelado, então o bordo posterior de cada ponto é indistinto (Fig. 69); tamanho geralmente maior (8,5-17,0 mm) .... **Grupo *magnus***

Chave de identificação para as espécies do grupo *cayennensis*

1(0) Coxas posteriores unicolores lateralmente; pontos do disco do pronoto arredondados, o centro de cada ponto com uma protuberância mais ou menos convexa, sedas dos pontos inseridas no meio (um pouco anteriormente nos declives laterais em *E. cayennensis*) (Fig. 70).................... 2

\- Coxas posteriores bicolores lateralmente (Fig. 71); pontos do disco ovais, sem protuberâncias distintas, o meio de cada ponto côncavo e coberto de forte microescultura foveolada, cada seda inserida junto ou perto do bordo anterior do ponto (Fig. 49) 4

2(1) Lobo mediano do metasterno sem grandes pontos ocelados no disco, quando muito com alguns pontos ocelados muito espaçados próximo das coxas intermédias (Fig. 72); microescultura dos élitros alveolada (Fig. 73); esporão da tíbia posterior do macho longo, com cerca de dois terços do comprimento do bordo apical (Fig. 74); Bolívia, Brasil, Colômbia, Equador, Guiana Francesa, Peru, Suriname, Venezuela........... *E. cayennensis* Castelnau

\- Lobo mediano do metasterno coberto de grandes pontos ocelados distintos lateralmente e no disco (Fig. 75); microescultura dos élitros reticulada transversalmente perto da base (Fig. 76); esporão da tíbia posterior do macho curto, com cerca de um quarto do comprimento do bordo apical (Fig. 77).. 3

3(2) Fêmur posterior dilatado em lobo pubescente na região dorso-apical, lobo menos desenvolvido mas também distinto nas fêmeas (Fig. 78); bordo lateral do pronoto regularmente arredondado na metade anterior; Amazônia .... *E. gilli* sp. nov.

\- Fêmur posterior simples na região dorso-apical (Fig. 79); bordo lateral do pronoto sub-angular na metade anterior; Amazônia......... *E. gracilis* sp. nov.

4(1) Pontos da região mediana anterior do pronoto muito mais espaçados que no restante da superfície, em geral com alguns pontos mais pequenos (Fig. 80); pontos do disco do metasterno irregulares e mal definidos (Fig. 81); carena postero-ventral do fêmur posterior do macho com uma fileira densa de sedas junto à face posterior, as sedas gradualmente alongadas no meio (Fig. 82); quinto esternito abdominal do macho pouco sinuado no meio; Bolívia, Brasil, Colômbia, Equador, Guiana Francesa, Peru, Suriname .... *E. vastiorum* Martínez

\- Pontos da região mediana anterior do pronoto quase tão densos como no resto da superfície, uniformes; pontos do disco do metasterno iguais, distintos e confluentes; carena postero-ventral do fêmur posterior do macho com uma fileira de sedas curtas escamiformes e não confluentes, junto à face posterior, as sedas uniformes em comprimento; quinto esternito abdominal do macho com um tubérculo no meio do bordo posterior; Bolívia, Brasil, Guiana, Guiana Francesa, Venezuela .... *E. ventricosus* Gill

Chave de determinação para as espécies do grupo *deplanatus*

1(0) Superfície do pronoto lustrosa entre os pontos no disco; fêmur posterior fracamente claviforme, bordos anterior e posterior divergindo

imediatamente após a sutura trocanto-femoral, cor em grande parte clara; comprimento inferior a 11,0 mm; sudeste do Brasil *E. deplanatus* (Germar)

\- Superfície do pronoto mate entre os pontos no disco (Fig. 83); fêmur posterior claviforme, bordos anterior e posterior paralelos próximo da sutura trocanto-femoral, cor em grande parte verde-azeitona escuro (Fig. 51); comprimento superior a 11,0 mm; Argentina, sul do Brasil e Paraguai .... *E. parallelus* Castelnau

Chave de determinação para as espécies do grupo *inflexus*

1(0) Prosterno posteriormente às coxas anteriores com uma fileira de finas sedas similares às do metasterno; sedas do pronoto muito finas e curvadas no ápice (Fig. 84); superfície do pronoto coberta de pontos ocelados (Fig. 85); superfície do pronoto e élitros simplesmente mate, sem microescultura distinta (50X); bordo lateral dos ângulos anteriores do pronoto subangular (Fig. 86); terceiro esternito abdominal do macho sem pequeno tubérculo achatado no meio do bordo posterior; tíbia posterior do macho reta nos três quintos basais depois abruptamente curvada para dentro em vista ventral (Fig. 87); sudeste do Brasil.................................*E. inflexus* (Germar)

\- Prosterno posteriormente às coxas anteriores com uma fileira de fortes escamas deitadas; sedas do pronoto escamiformes e eretas (Fig. 88); superfície do ângulo anterior do pronoto sem pontos ocelados (Fig. 89); superfície do pronoto e dos élitros coberta de microescultura nítida (Fig. 89); bordo lateral do ângulo anterior do pronoto arqueado (Fig. 89); terceiro esternito abdominal do macho com um pequeno tubérculo achatado no meio; tíbia posterior do macho regularmente arqueada ou quase reta em vista ventral 2

2(1) Tíbia posterior munida de várias fileiras de sedas; fêmur posterior fortemente estreitado e mais escuro no terço basal; fêmur anterior do macho munido no bordo anterior de um grande dente dirigido lateralmente e curvado para trás; tíbia anterior do macho munida internamente no terço basal de pequeno tubérculo ventral agudo; Amazônia..........*E. wittmerorum* Martínez

\- Tíbia posterior munida de fortes sedas espiniformes isoladas ou em grupos de duas a quatro (Fig. 90); fêmur posterior largo na base, escurecido apenas na região da sutura trocanto-femoral; fêmur anterior do macho sem dente no bordo anterior; tíbia anterior do macho munida no bordo interno de uma fileira de pequenos dentes obtusos; Bolívia, Brasil e Paraguai ....*E. jessopi* Martínez

Chave de identificação para as espécies do grupo *hirtellus*

1(0) Proepisterno com uma única carena paralela ao bordo anterior (Fig. 91) 2
- Proepisterno com duas carenas, a primeira acompanhando o bordo anterior e a segunda um pouco posterior a esta, e por vezes parcialmente fundida com ela (Figs. 92-93)... 3

2(1) Tamanho muito pequeno, 4,5-5,0 mm; meio da metade anterior da coxa posterior com uma mancha amarelada; bordo lateral (nona interestria) do élitro com uma fileira de sedas alinhadas, a superfície dessa interestria ao mesmo nível que a superfície da oitava interestria no meio; tíbia anterior do macho com dois dentes no bordo externo; Brasil (Bahia) .*E. nanus* sp. nov.
- Tamanho pequeno, 6,5-8,0 mm; coxa posterior completamente escura; bordo lateral (nona interestria) com uma fileira de sedas não alinhadas, a superfície dessa interestria mais elevada que a superfície da oitava interestria no meio; tíbia anterior do macho munida de três dentes no bordo externo; Brasil (Bahia, Espírito Santo, Minas Gerais, Rio de Janeiro).........................
....*E. hirtellus* Dalman

3(1) Último esternito abdominal com grandes escamas cobrindo em grande parte a superfície da metade basal (Fig. 94); Região amazônica da Colômbia, do Equador e do Peru..*E. squamosus* sp. nov.
- Último esternito abdominal com algumas longas sedas esparsas, habitualmente finas e eretas, sem jamais cobrir a superfície (Fig. 95) 4

4(3) Carena ventro-lateral da tíbia posterior inteira, muito forte e brilhante, as sedas dispostas no bordo externo da carena (Fig. 96); macho com a carena lateral da tíbia anterior não modificada, sempre mais alta que a face ventral na metade basal 5
- Carena ventrolateral da tíbia posterior interrompida por sedas (Fig. 97); macho com a carena lateral da tíbia anterior curvada para baixo, com o bordo fortemente denticulado (Fig. 98) 6

5(4) Bordos laterais do pronoto paralelos; ângulo anterior do pronoto sub-angular (Fig. 99); bordo externo da tíbia posterior sinuado; macho com um tufo de sedas claras na face interna da tíbia posterior (Fig. 100); ângulo anterior do pronoto da fêmea dentiforme, lustroso, e curvado dorsalmente; Bolívia, Colômbia, Equador, Peru................................ *E. lanuginosus* sp. nov.
- Bordos laterais do pronoto divergentes anteriormente; ângulo anterior do pronoto largamente arredondado; bordo externo da tíbia posterior

reto; macho com uma única fileira de sedas claras na face interna da tíbia posterior; ângulo anterior do pronoto da fêmea não modificado; Peru, Brasil (Acre, Amazonas)... *E. strigilatus* sp. nov.

6(4) Interestria sutural lustrosa, com reflexos metálicos acobreados ou verdes na metade apical (Fig. 101); pontuação da cabeça muito densa, todos os pontos confluentes, exceto numa região estreita perto da margem anterior que é coberta de pontos simples sobre um fundo brilhante com reflexos metálicos (superfície completamente mate apenas em *E. martinsi*) (Fig. 102)................ 7

\- Interestria sutural semelhante às outras, sem reflexos metálicos, mate (Fig. 103); pontuação da cabeça mais esparsa, a maioria dos pontos separados pelo seu diâmetro ou mais, região anterior sem pontos simples nem reflexos metálicos (exceto *E. cambeforti* que apresenta uma estreita bordadura metálica) (Fig. 104).. 9

7(6) Declive apical dos élitros com sedas completamente negras; região anterior do clípeo com superficie completamente mate; bordo interno da tíbia posterior do macho nitidamente crenulado, as sedas do terço mediano similares às do terço apical, não contíguas; Brasil (Minas Gerais)................ .... *E. martinsi* sp. nov.

\- Declive apical dos élitros com sedas mais claras que as do disco, se forem da mesma cor, então são testáceas ou acastanhadas; região anterior do clípeo com superfície pelos menos estreitamente lustrosa; bordo interno da tíbia anterior do macho não crenulado no meio, sedas do terço mediano muito mais finas, pálidas e contíguas (Fig. 105) 8

8(7) Superfície da cabeça em grande parte mate e sem reflexos metálicos, exceto uma estreita faixa verde metálica, que cobre no máximo um oitavo do comprimento da cabeça no meio e quase tão larga como a sinuosidade mediana, tegumento com superfície castanha escura a negra, com forte microescultura entre os pontos ocelados (Fig. 102); bordo lateral da tíbia posterior do macho curvado na metade basal em vista dorsal (Fig. 105); Argentina, Bolívia, Brasil, Paraguai, Peru.......................*E. nigrovirens* sp. nov.

\- Superfície da cabeça em grande parte lustrosa e com fortes reflexos metálicos acobreados entre os pontos ocelados, a região anterior da cabeça com uma larga faixa acobreada, cobrindo pelo menos um quinto do comprimento da cabeça no meio e prolongada lateralmente até as suturas clípeo-genais, pontos presentes na faixa simples (Fig. 106); bordo lateral da tíbia posterior do macho reto ou quase na metade basal em vista dorsal (Fig. 107); Argentina, Brasil, Paraguai.................................. *E. aeneus* sp. nov.

9(6) Bordo anterior do clípeo, no seu todo, arredondado em vista dorsal, emarginação mediana ocupando cerca de um quinto da largura do clípeo; ângulo anterior do pronoto com a carena superior separada e um pouco posterior em relação à carena inferior (Fig. 108); sedas grandes do declive apical dos élitros quase retas e paralelas, pouco estreitadas e retas no ápice (Fig. 109); toda a Amazônia.. *E. atrosericus* sp. nov.

\- Bordo anterior do clípeo truncado no meio em vista dorsal, emarginação mediana ocupando cerca de um terço da largura do clípeo; ângulos anteriores do pronoto com as carenas superiores e inferiores mais ou menos fundidas(Fig. 110); sedas grandes do declive apical do élitro estreitadas e curvadas no ápice (Fig. 111) 10

10(9) Proepisterno profundamente sulcado posteriormente à carena posterior, o sulco interrompido pouco antes da margem lateral onde forma uma fóvea (Fig. 112); Brasil (Pará) .... *E. cavatus* sp. nov.

\- Proepisterno fracamente sulcado posteriormente à carena posterior, sulco uniformemente marcado até a margem lateral, não formando fóvea (Fig. 92) 11

11(10) Região anterior do clípeo sem reflexos metálicos; bordo interno da tíbia posterior do macho com as sedas do terço mediano mais curtas que as do terço apical; ângulo anterior do pronoto da fêmea largamente arredondado, não sinuado lateralmente; Guiana Francesa, Suriname.......................... *E. cambeforti* sp. nov.

\- Região anterior do clípeo com uma estreita bordadura metálica, essa faixa pelo menos tão larga quanto um dos pontos da superfície; bordo interno da tíbia posterior do macho com as sedas do terço mediano de comprimento semelhante às do terço apical; ângulo anterior do pronoto da fêmea sub-angular, sinuado lateralmente antes do ângulo antero-lateral; Brasil (Maranhão, Pará) .... *E. fallaciosus* sp. nov.

Chave de identificação para as espécies do grupo *calligrammus*

1(0) Coxa posterior sempre com pontos ocelados distintos na face ventral, internamente à inserção do trocânter, a superfície entre esses pontos coberta de microescultura distinta (Fig. 113); élitros com pubescência longa e densa no disco; tegumento com fracos reflexos metálicos azuis ou verdes.......... 2

\- Coxa posterior sem pontos ocelados na face ventral, quando muito com pequenos pontos simples interiormente à inserção do trocânter, superfície lisa, microescultura pouco visível (Fig. 114); élitros com pubescência muito

curta e esparsa no disco; tegumento com fortes reflexos metálicos azuis, verdes ou acobreados 3

2(1) Cabeça com microescultura alveolada esparsa; pronoto sem faixa estreita glabra longitudinal anteriormente ao meio; fêmur posterior sem fileira de sedas eretas no meio da face posterior e sem vestígio de tubérculo; tíbia posterior arqueada larga e regularmente em vista ventral, face posterior com duas fileiras de longas sedas no terço basal; Amazônia ....*E. arnaudi* sp. nov.

\- Cabeça com microescultura reticulada densa (Figs. 55, 115); pronoto com uma estreita faixa glabra longitudinal anteriormente ao meio (Fig. 116); fêmur posterior munido de uma fileira de sedas espiniformes eretas, castanho-escuras, no meio da face posterior, e de um tubérculo agudo, que pode estar ausente nos indivíduos muito pequenos (Fig. 117); tíbia posterior distintamente dobrada em vista dorsal no terço basal, face posterior apresentando uma só fileira de curtas sedas no terço basal (Fig. 118); Brasil, Guiana, Guiana Francesa, Suriname, Venezuela .... *E. balachowskyi* Halffter & Halffter

3(1) Sutura meso-mestasternal carenada lateralmente (Fig. 119); tíbia anterior do macho pouco curvada no ápice, não formando forte dente dirigido perpendicularmente para baixo; fêmur posterior da fêmea sem dente na face posterior; Brasil (Minas Gerais, Rio de Janeiro) ....*E. calligrammus* Dalman

\- Sutura meso-metasternal não carenada lateralmente (Fig. 120); tíbia anterior do macho fortemente curvada no ápice, formando um forte dente dirigido perpendicularmente para baixo (Fig. 121); fêmur posterior da fêmea munido de um dente na face posterior; Argentina e Região sudeste do Brasil......... ....*E. cyanescens* Balthasar

Chave de identificação para as espécies do grupo *velutinus*

1(0) Cabeça com pontuação pequena e atenuada em toda a superfície, alguns pontos grandes e com borda nítida perto dos olhos e na margem lateral das genas (pontuação um pouco maior em *E. uniformis*), pontuação nunca ocelada (exceto em alguns indivíduos de *E. olivaceus*) (Fig. 28, 122)............ 2

\- Cabeça com pontuação pequena e atenuada anteriormente, tornando-se gradualmente mais grossa e nídida posteriormente ou ocelada no vértex e genas (Fig. 123).. 7

2(1) Pronoto com fortes reflexos metálicos acobreados e verdes localizados, superfície entre os pontos quase lisa no meio do disco; metasterno quase liso e apresentando fortes reflexos metálicos; oitava interestria dos élitros fortemente convexa em todo o comprimento, separando os calos umeral e apical; fêmur anterior com pontuação setífera espaçada, geralmente disposta em três ou quatro fileiras não alinhadas sobre a face ventral; Venezuela..... .... *E. superbus* sp. nov.

\- Pronoto completamente sedoso, em alguns indivíduos a superfície das calosidades da região anterior um pouco mais lisa; metasterno com superfície mate; oitava interestria elitral plana ou pouco convexa na metade anterior (Fig. 124); fêmur anterior com pontuação setífera na maioria confluente e disposta em duas ou três fileiras não alinhadas na face ventral 3

3(2) Pronoto com pontos na sua maioria separados por mais do que seu diâmetro (Fig. 125); tíbia posterior da fêmea com sedas muito mais curtas que o diâmetro da tíbia (Fig. 126).. 4

\- Pronoto com pontos na sua maioria separados por um diâmetro ou menos, localmente confluentes; tíbia posterior da fêmea com sedas tão ou mais longas que o diâmetro da tíbia (Fig. 127) 5

4(3) Pronoto com pontuação ocelada em toda a superfície (Fig. 125); tíbia posterior do macho fracamente alargada no ápice, fileira de sedas da face ventral muito curta, com menos de um quinto da largura da tíbia no quarto basal; projeções ventrais dos parâmeros estreitas no ápice, carena lateral apenas indicada; Colômbia, Equador, Peru ....*E. contractus* sp. nov.

\- Pronoto com pontuação simples no meio do disco, pontos sem bordos lustrosos; tíbia posterior do macho fortemente alargada no ápice; fileira de sedas da face ventral longa, quase tanto quanto a largura da tíbia no quarto basal; projeção ventral dos parâmeros larga no ápice, carena normalmente desenvolvida; Costa Rica, Panamá....................................*E. olivaceus* sp. nov.

5(3) Nona interestria elitral com uma prega lisa a todo o comprimento; calo apical do élitro com interestrias com sedas similares em número, comprimento e densidade; Bolívia, Brasil ....*E. uniformis* sp. nov.

\- Nona interestria elitral plana, estreitamente lisa exteriormente; calo apical do élitro com sedas muito mais raras, curtas e esparsas na sexta interestria do que nas demais (Fig. 128) 6

6(5) Pigídio nitidamente rebordado lateralmente (Fig. 129); fêmures médio e posterior com pontuação fina e esparsa no disco, alguns pontos um pouco

maiores e mais densos próximos da base e do bordo posterior; projeções ventrais dos parâmeros abruptamente convergentes no ápice em vista frontal; Bolívia, Peru...*E. inca* sp. nov.

\- Pigídio fracamente rebordado internamente perto da base, rebordo em grande parte fundido e no mesmo plano do disco do pigídio; fêmures médio e posterior com grandes pontos em toda a metade posterior; projeções ventrais dos parâmeros gradualmente convergentes no ápice em vista frontal; Belize, Guatemala, México .... *E. obliteratus* sp. nov.

7(1) Vértex e genas com grandes pontos ocelados, muito mais espaçados anteriormente, maiores e confluentes posteriormente; pronoto com a margem lateral quase reta próximo dos ângulos anteriores; tíbia posterior da fêmea com sedas longas, as das fileiras ventral e dorsal tão ou mais longas que a largura da tíbia (Fig. 127); Costa Rica, Panamá .... *E. velutinus* Bates

\- Vértex e genas com pontos simples, densos e profundos, similares e regularmente distribuídos em toda a superfície (Fig. 123); pronoto com margem lateral variavelmente sinuada próximo do ângulo anterior; tíbia posterior da fêmea com sedas curtas, habitualmente muito mais curtas que a largura da tíbia (Fig. 126); Bolívia, Brasil, Colômbia, Equador, Guiana, Guiana Francesa, Peru, Suriname, Venezuela.............. *E. hypocrita* Balthasar

Chave de identificação para as espécies do grupo *foedus*

1(0) Bordo lateral do pronoto finamente carenado entre os ângulos basal e médio, carena cortante e por vezes interrompida por sedas; metasterno coberto de pontos grandes lateralmente, perto das coxas intermédias, pontos mais ou menos confluentes e cada um com uma seda inserida próximo do seu bordo anterior; fêmur posterior do macho com um pequeno dente agudo curvado para dentro; Brasil (Minas Gerais, Rio Grande do Sul, Santa Catarina, São Paulo)... *E. sulcifer* Balthasar

\- Bordo lateral do pronoto simplesmente arredondado entre os ângulos basal e médio (Fig. 130); lobo médio do metasterno coberto de pontos de tamanho regular em toda a superfície, pontos geralmente separados por várias vezes o seu diâmetro, cada um com uma fina seda inserida próximo do seu centro (Fig. 131); fêmur posterior do macho com uma curta projeção triangular, lobiforme ou truncada no ápice.. 2

2(1) Oitava interestria elitral muito mais alta que a carena da pseudoepipleura, fortemente convexa, munida de três ou quatro fileiras de sedas; ângulo

anterior do pronoto arredondado, a superfície entre os pontos muito regular e finamente reticulada; tamanho pequeno (menos de 15,5 mm); Guiana, Venezuela...*E. sanbornei* Gill

- Oitava interestria elitral no mesmo nível que a carena da pseudoepipleura, achatada, munida de uma ou duas fileiras de sedas; ângulo anterior do pronoto sub-agudo, superfície entre os pontos coberta de microescultura mais ou menos forte, mas não reticulada (Fig. 132); tamanho maior (mais de 15,0 mm) 3

3(2) Tíbia anterior do macho com esporão (Fig. 133); bordo lateral do pronoto quase reto numa curta distância atrás do ângulo anterior, em vista dorsal; margem anterior do clípeo nunca alargada no meio, no máximo duas vezes mais larga que a margem lateral (Fig. 134); tíbia anterior do macho com escova de sedas estreita, cobrindo metade do ápice (Fig. 135); fêmur posterior da fêmea com um curto dente arredondado no terço basal do bordo posterior 4

- Tíbia anterior do macho sem esporão; bordo lateral do pronoto côncavo numa curta distância atrás do ângulo anterior em vista dorsal; margem anterior do clípeo fortemente alargada no meio, pelo menos três vezes mais larga que a margem lateral (não modificada em *E. truncus*); tíbia anterior do macho com escova de sedas larga, cobrindo mais de metade do ápice; fêmur posterior da fêmea com um longo dente truncado, no meio do bordo posterior.. 5

4(3) Pronoto estreitamente marginado próximo dos ângulos anteriores, a margem de largura regular (Fig. 132); tamanho em geral menor (14,0-19,0 mm); tíbia posterior da fêmea sem grande dente no terço basal do bordo interno; do México à Bolívia ....*E. foedus* Guérin-Méneville

- Pronoto largamente marginado próximo dos ângulos anteriores, margem se alargando anteriormente e formando uma superfície lisa muito larga sobre o ângulo anterior (Fig. 136); tamanho em geral maior (18,0-21,0 mm); tíbia posterior da fêmea com um grande dente no terço basal do bordo interno (Fig. 137); Costa Rica, Panamá, Colômbia, Equador, Peru ....*E. streblus* sp. nov.

5(3) Margem clipeal alargada no meio, pelo menos três vezes mais larga que lateralmente; fêmur posterior do macho com um dente retangular, com uma escova de sedas na face dorsal; tíbia posterior do macho dobrada no terço médio, fortemente alargada no ápice em vista ventral, ângulo interno agudo; bacia amazônica...*E. howdeni* sp. nov.

- Margem clipeal regular no meio; fêmur posterior do macho com um dente triangular, com uma escova de sedas lateral; tíbia posterior do macho arqueada, pouco alargada para o ápice, ângulo interno truncado; Guiana, Venezuela..*E. truncus* sp. nov.

Chave de identificação para as espécies do grupo *impressicollis*

1(0) Oitava interestria elitral não carenada na metade mediana, quando muito convexa na metade basal (Fig. 138); carena anterior do proepisterno alcançando o bordo lateral bastante atrás do ápice do ângulo anterior (Fig. 139); região anterior do pronoto muito lisa entre os pontos, superfície lustrosa (Fig. 140); bordo anterior do pronoto da fêmea prolongado em forte carena de cada lado da inserçao da cabeça (Fig. 140); Colômbia......... .... *E. impressicollis* Castelnau

- Oitava interestria elitral fortemente carenada na metade mediana, carena bem mais alta que a da pseudoepipleura (Fig. 141); carena anterior do proepisterno alcançando o bordo lateral ao nível do ápice do ângulo anterior (Figs. 142-143); região anterior do pronoto completamente mate entre os pontos (Fig. 144); bordo anterior do pronoto da fêmea não modificado 2

2(1) Carena anterior do proepisterno arqueada atrás do ângulo anterior (Fig. 142); terceira interestria elitral curvada para fora no ápice, sem pequeno tubérculo agudo, sedas similares às do resto da superfície (Fig. 145); bordo anterior do clípeo sem dente de cada lado do meio (Fig. 146); da Guatemala à Bolívia ....*E. plebejus* Harold

- Carena anterior do proepisterno quase reta atrás do ângulo anterior (Fig. 143); terceira interestria elitral curvada para dentro e com um pequeno tubérculo agudo com um pincel de longas sedas no ápice (Fig. 147); margem anterior do clípeo com um curto dente de cada lado do meio (Fig. 148); Belize, México, Guatemala......................................*E. angustulus* Harold

Chave de identificação para as espécies do grupo *magnus*

1(0) Prosterno com um tubérculo transversal, geralmente grande, de cada lado do meio (Fig. 149); pronoto com seis pequenas calosidades lustrosas dispostas em círculo (Fig. 150); México e América Central .... *E. magnus* Castelnau

- Prosterno sem tubérculos de cada lado do meio (Fig. 151); pronoto com as calosidades dispostas de outra maneira, com três calosidades lustrosas no meio anteriormente (Figs. 152-154) 2

2(1) Carena anterior do proepisterno sinuosa e alcançando o ápice do ângulo anterior (Fig. 155); metasterno do macho sem fóvea central, carena mediana situada no centro (Fig. 156); fêmur posterior da fêmea com um pequeno tubérculo agudo anterior ao meio entre os bordos ventral e dorsal; Bolívia, Colômbia, Equador, Peru, Venezuela .... *E. marmoreus* Castelnau

- Carena anterior do proepisterno dirigida para o bordo lateral e formando um ângulo reto imediatamente antes de atingir este último, porção paralela ao bordo lateral que atinge o ângulo anterior freqüentemente apagada numa certa distância (Fig. 157); metasterno do macho com uma fóvea no meio (Fig. 66); fêmur posterior da fêmea com ou sem dente 3

3(2) Superfície do pronoto com onze calosidades mais ou menos nítidas das quais só as anteriores ao meio são mediocremente lustrosas (Fig. 153); quinta interestria elitral pouco convexa e com superfície mate (Fig. 158); fêmur posterior do macho com pequeno dente situado para além do meio, e alinhado com o bordo dorsal na face posterior (Fig. 159), fêmea com ou sem dente; México, América Central, Colômbia, Guiana, Trinidad, Venezuela...*E. mexicanus* Harold

- Superfície do pronoto com onze calosidades nítidas e fortemente lustrosas (Fig. 154); quinta interestria elitral distintamente convexa e lustrosa (Fig. 67); fêmur posterior do macho e da fêmea inerme na face posterior, quando muito com um fraco ângulo no meio do bordo dorsal no macho; Bolívia, Brasil .... *E. harlequin* sp. nov.

Chave de identificação para as espécies do grupo *caribaeus*

1(0) Gena com pontuação ocelada nítida (Fig. 160); metasterno com duas pequenas carenas longitudinais para além do meio (Fig. 161) 2

- Gena com pontuação simples e apagada (Fig. 162); metasterno com um grande dente mediano, posteriormente, reduzido a uma pequena carena longitudinal nos exemplares mas pequenos (Fig. 163) 4

2(1) Pigídio regularmente convexo, sem pequena depressão longitudinal mediana próximo da base, região basal estreitamente sulcada (Fig. 164); fêmur posterior em grande parte claro; tíbia anterior do macho com carena

ventral completa entre o tubérculo mediano e o ápice, nítida em todo o comprimento e nunca alcançando a base dos dois dentes laterais (Fig. 165).. 3

- Pigídio côncavo no meio e lateralmente próximo da base, região basal largamente sulcada (Fig. 34); fêmur posterior em grande parte escuro, só a região anterior apicalmente, e a face posterior, mais claras (Fig. 166); tíbia anterior do macho com carena apagada entre o tubérculo mediano e o ápice, carena alcançando e fundida com a base dos dois dentes laterais basais (Fig. 167); Belize, Guatemala, México.........................*E. maya* sp. nov.

3(2) Fêmur posterior com um só dente ou tubérculo na face posterior, raramente com uma carena ou dente adicional próximo da base, mas nesse caso, o dente adicional é obtuso e habitualmente pouco desenvolvido (Figs. 168-169); ângulo posterior do pronoto do macho simples (Fig. 170); dois dentes basais da tíbia anterior do macho dirigidos obliquamente para baixo (Fig. 165); ampla distribuição, do México à Argentina.......... *E. caribaeus* (Herbst)

- Fêmur posterior com dois dentes agudos na face posterior, dente basal faltando apenas nas fêmeas procedentes da Serra dos Carajás (Brasil) (Fig. 171); pronoto do macho prolongado em lobo de cada lado posteriormente; dois dentes basais da tíbia anterior do macho dirigidos perpendicularmente para baixo (Fig. 172); Brasil (Mato Grosso, Pará), Guiana Francesa, Suriname.. *E. cyclops* sp. nov.

4(1) Pronoto com cinco calosidades lisas, nítidas (Fig. 173); interestrias elitrais ímpares com sedas isoladas, quando muito com alguns pequenos grupos de duas ou três curtas sedas fracamente escamiformes (Fig. 174); pronoto do macho prolongalo em lobo curvado de cada lado posteriomente (Fig. 175); Amazônia, Costa Rica ....*E. hamaticollis* Balthasar

- Pronoto com uma única calosidade lisa no meio anteriormente (Fig. 176); interestrias elitrais ímpares cobertas de pequenos grupos de quatro a oito curtas sedas escamiformes (Fig. 177); ângulo posterior do pronoto do macho simples (Fig. 176); Sul e sudeste do Brasil........... *E. francinae* sp. nov.

ANNEXE 5. LISTE TAXONOMIQUE

ONITICELLINI Kolbe, 1905
Eurysternina Vulcano, Martínez & Pereira, 1961
Eurysternus Dalman, 1824
Aeschrotes Le Peltier de Saint-Fargeau & Audinet-Serville, 1828
Eurysternodes Martínez, 1988 **syn. nov.**
Pareurysternus Martínez, 1988 **syn. nov.**
Amartinezus Özdikmen, 2009 **syn. nov.**

Groupe *cayennensis* :
1. *E. cayennensis* Castelnau, 1840
   E. confusus Jessop, 1985 **syn. nov.**
2. *E. gilli* sp. nov.
3. *E. gracilis* sp. nov.
4. *E. vastiorum* Martínez, 1988
5. *E. ventricosus* Gill, 1990

Groupe *deplanatus* :
6. *E. deplanatus* (Germar), 1824
7. *E. parallelus* Castelnau, 1840
   E. femoralis Lucas, 1859

Groupe *inflexus* :
8. *E. inflexus* (Germar), 1824
   E. rufescens Dalman, 1824
   E. opatrinus Perty, 1830
   E. planipennis Lucas, 1859
9. *E. wittmerorum* Martínez, 1988
10. *E. jessopi* Martínez, 1988

Groupe *navajasi* :
11. *E. navajasi* Martínez, 1988

Groupe *hirtellus* :
12. *E. nanus* sp. nov.
13. *E. hirtellus* Dalman, 1824
    E. cirratus Harold, 1883

14. *E. squamosus* sp. nov.
15. *E. lanuginosus* sp. nov.
16. *E. strigilatus* sp. nov.
17. *E. martinsi* sp. nov.
18. *E. nigrovirens* sp. nov.
19. *E. aeneus* sp. nov.
20. *E. atrosericus* sp. nov.
21. *E. cavatus* sp. nov.
22. *E. cambeforti* sp. nov.
23. *E. fallaciosus* sp. nov.

Groupe *calligrammus* :

24. *E. arnaudi* sp. nov.
25. *E. balachowskyi* Halffter & Halffter, 1977
    E. balthasari Martínez, 1988 **syn. nov.**
26. *E. calligrammus* Dalman, 1824
    E. scotinoides Castelnau, 1840 **syn. nov.**
    E. opacus Lucas, 1859
27. *E. cyanescens* Balthasar, 1939

Groupe *velutinus* :

28. *E. superbus* sp. nov.
29. *E. contractus* sp. nov.
30. *E. olivaceus* sp. nov.
31. *E. uniformis* sp. nov.
32. *E. inca* sp. nov.
33. *E. obliteratus* sp. nov.
34. *E. velutinus* Bates, 1887
35. *E. hypocrita* Balthasar, 1939 **bona sp.**

Groupe *foedus* :

36. *E. sulcifer* Balthasar, 1939
37. *E. sanbornei* Gill, 1990
38. *E. foedus* Guérin-Méneville, 1844
    E. claudicans Kirsch, 1871
39. *E. streblus* sp. nov.
40. *E. howdeni* sp. nov.
41. *E. truncus* sp. nov.

Groupe *impressicollis* :

42. *E. impressicollis* Castelnau, 1840
43. *E. plebejus* Harold, 1880
    E. joffrei Martínez, 1988 **syn. nov.**
44. *E. angustulus* Harold, 1869

Groupe *magnus* :

45. *E. magnus* Castelnau, 1840
46. *E. marmoreus* Castelnau, 1840
    E. pectoralis Guérin-Méneville, 1855 **syn. nov.**
47. *E. mexicanus* Harold, 1869
48. *E. harlequin* sp. nov.

Groupe *caribaeus* :

49. *E. maya* sp. nov.
50. *E. caribaeus* (Herbst), 1789
    E. planus Dalman, 1824
    E. nebulosus Kirsch, 1871
    E. peruanus Harold, 1875
51. *E. cyclops* sp. nov
52. *E. hamaticollis* Balthasar, 1939
53. *E. francinae* sp. nov.

REMERCIEMENTS

Mes remerciements vont aux nombreuses personnes qui ont facilité mon travail au fil des ans. Cette aide généreuse comprend l'accès aux nombreux spécimens étudiés (dont la liste complète figure à la section « matériel et méthode »), la vérification des types, l'obtention de références bibliographiques, des avis d'experts concernant la nomenclature et la langue, l'essai des clés de détermination, et souvent, tout simplement un soutien moral, une bonne discussion ou l'hospitalité lors de mes visites dans les musées. Que Robert Anderson, Patrick Arnaud, Max Barclay, Yves Bousquet, Tristão Branco, Yves Cambefort, Jorge Celi, Cleide Costa, Thierry Deuve, Bruce Gill, Michel Gosselin, Paul Hamilton, Henry Howden, Malcolm Kerley, Bert Kohlmann, Damir Kovac, Frank Krell, Serge Laplante, Vladislav Malý, Darren Mann, Ubirajara Martins, Howard Mendel, Olivier Montreuil, Philippe Moretto, Glenn Poirier, Aleš Smetana, Andrew Smith, Fernando Vaz de Mello reçoivent ici toute ma gratitude. Les magnifiques habitus sont l'oeuvre de Jan Kobylák de Tchéquie. Je remercie à nouveau Yves Cambefort et Philippe Moretto pour la révision du manuscrit et pour leurs commentaires et suggestions, qui ont nettement amélioré ce travail. Fernando Vaz de Mello a bien voulu traduire les clés de détermination en espagnol et en portugais et m'a fourni des indications concernant l'habitat de certaines espèces. Je remercie Bert Kohlmann et Tristão Branco pour la révision des clés en versions espagnole et portugaise respectivement, et Huguette Jean, pour la révision finale du texte français.

Un remerciement spécial est adressé à ma mère, Francine Rouleau-Barrett, et mon beaupère, Robert K. Barrett, pour leur appui, et enfin, à mes fils, Simon et Julien.

RÉFÉRENCES

Alonzo-Zarazaga, M.A. & C.H.C. Lyal. 1999 : *A World Catalogue of Families and Genera of Curculionoidae (Insecta: Coleoptera) (Excepting Scolytidae and Platypodidae)*. Barcelona : Entomopraxis. 315 pp.

Balthasar, V. 1939 : Neue *Megathopa*- und *Eurysternus-Arten*. *Entomologische Blätter* **35** (2) : 111-116.

Balthasar, V. 1963 : *Monographie der Scarabaeidae und Aphodiidae der palaearktischen und orientalischen Region. Band 1 : Allgemeiner Teil, Systematischer Teil : 1. Scarabaeinae, 2. Coprinae (Pinotini, Coprini)*. Prag : Verlag der Tschechoslowakischen Akademie der Wissenschaften. 391 p., 24 pls.

Bates, H.W. 1887 [1886-1890] : *Pectinicornia and Lamellicornia*. In Godwin F.D. & Salvin O. (Editors) : *Biologia Centrali-Americana. Class Insecta. Coleoptera. Vol. II. Part 2*. London : Taylor & Francis. Pp. 25-160.

Blackwelder, R. E. 1944 : Checklist of the coleopterous insects of Mexico, Central America, the West Indies, and South America. Part 2. *United States National Museum Bulletin* 185: 189-341.

Bruch, C. 1911 : Catálogo sistemático de los Coleópteros de la República Argentina, Pars IV : Lucanidae, Scarabaeidae (Coprini-Cetonini), Passalidae. *Revista del Museo de La Plata* **17** : 181-225.

Bruch, C. 1915 : Suplemento al Catálogo sistemático de los Coleópteros de la República Argentina, I (addenda, corrigenda y resumen). *Revista del Museo de La Plata* **19** (2) : 538-573.

Castelnau, M. Le Conte de. 1840 : *Histoire Naturelle des Insectes Coléoptères. Tome deuxième. Histoire Naturelle des animaux articulées, crustacés, arachnides, myriapode et insectes. Tome troisième*. Paris : P. Duménil. 564 p., 38 pls.

Celi, J., E. Terneus, J. Torres & M. Ortega. 2004 : Dung Beetles (Coleoptera: Scarabaeinae) Diversity in an Altitudinal Gradient in the Cutucú Range, Morona Santiago, Ecuadorian Amazon. *Lyona* **7** (2) : 37-52.

Cowan, C.F. 1971 : On Guérin's *Iconographie* : particularly the insects. *Journal of the Society for the Bibliography of Natural History* **6** (1) : 18-29.

Dalman, J.W. 1824 : *Ephemerides Entomologicae*. Holmiae. 36 p.

Dejean, P.F.M.A. 1821 : *Catalogue de la collection de Coléoptères de M. le Baron Dejean*. Paris : Crevot. viii + 138 + [2, errata] p.

Evenhuis, N.L. 2008. The insects and spider collections of the world website. Disponible à : http://hbs.bishopmuseum.org/codens/ [Accédé le 2 janvier 2008].

Falqueto, S.A., F.Z. Vaz de Mello & J.H. Schoereder. 2005 : Are fungivorous Scarabaeidae less specialist? *Ecología Austral* **15** : 17-22.

Faust, J. 1895 : Notizen über Rüsselkäfer. Fortsetzung. *Stettiner Entomologische Zeitung* **55** (10-12) : 358-361.

Forsyth, A.B., S. Spector, B. Gill, F. Guerra, S. Ayzama. 1998 : *Dung Beetles (Coleoptera: Scarabaeidae: Scarabaeinae) of Parque Nacional Noel Kempff Mercado.* In Killeen, T.J. T.S. Schulenberg (Editors). *A biological assesment of Parque Nacional Noel Kempff Mercado, Bolivia.* Washington, D.C. : RAP Working Paper 10, Conservation International.

Germar, E.F. 1824 : *Insectorum Species Novae aut minus cognitae, I (Coleoptera)*. Halae : Impensis J.C. Hendelii et Filii. XXIV, 624 p.

Guérin-Méneville, F.E. 1830 [1829-1844] : *Iconographie du règne animal de G. Cuvier, ou représentation d'après nature de l'une des espèces les plus remarquables, et souvent non encore figurées, de chaque genre d'animaux. Avec un texte descriptif mis au courant de la science. Ouvrage pouvant servir d'atlas à tous les traités de zoologie*. II. Planches des animaux invertébrés. Insectes. Paris : J.B. Baillière. 9[e] livraison, pls. 21-24.

Guérin-Méneville, F.E. 1844 [1829-1844] : *Iconographie du règne animal de G. Cuvier, ou représentation d'après nature de l'une des espèces les plus remarquables, et souvent non encore figurées, de chaque genre d'animaux. Avec un texte descriptif mis au courant de la science. Ouvrage pouvant servir d'atlas à tous les traités de zoologie*. III. Texte explicatif. insectes. Paris : J.B. Baillière. 576 p.

Guérin-Méneville, F.E. 1855 : Catalogue des Insectes Coléoptères, recueillis par M. Gaetano Osculati, pendant son exploration de la région équatoriale, sur les bords du Napo et de l'Amazone. *Verhandlungen des zoologisch-botanischen Vereins, Wien* **5** : 573-612.

Gill, B.D. 1990 : Two new species of *Eurysternus* Dalman (Coleoptera: Scarabaeidae: Scarabaeinae) from Venezuela with notes on the genus. *The Coleopterists Bulletin* **44** (3) : 355-361.

Gillet, J.J.E. 1911 : *Coleopterorum Catalogus auspiciis et auxilio W. Junk, Scarabaeidae : Coprinae I*. Berlin : S. Schenkling. 100 p.

Halffter, G. & W.D. Edmonds. 1982 : The Nesting Behavior of Dung Beetles (Scarabaeinae) an Ecological and Evolutive Approach. *Publication 10, Instituto de Ecología* 176 p.

Halffter, G. & V. Halffter. 1977 : Notas sobre *Eurysternus* (Coleoptera, Scarabaeidae, Scarabaeinae). *Folia Entomologica Mexicana* **37** : 43-86.

Halffter, G. & E.G. Matthews. 1966 : The Natural History of Dung Beetles of the Subfamily Scarabaeinae (Coleoptera, Scarabaeidae). *Folia Entomologica Mexicana* **12-14** : 1-312.

Harold, E. von. 1875 : Diagnosen neuer Arten. *Coleopterologische Hefte* **14** : 137-142.

Harold, E. von. 1883 : Einige neue Coprophagen. *Stettiner Entomologische Zeitung* **44** : 429-435.

Herbst, J.F.W. 1789 : *Natursystem aller bekannten in- und ausländischen Insekten, als eine Fortsetzung der von Büffonschen Naturgeschichte. Nach dem System des Ritters von Linné und Fabricius zu bearbeiten angefangen von Carl Gustav Jablonsky von Johan Friedrich Wilhem Herbst. Der Käfer zweyter Theil.* Berlin : Joachim Pauli, 1XIV, 330, [6] p., pls 7-20.

Huerta, C., G. Halffter, V. Halffter & R. López. 2003 : Comparative analysis of reproductive and nesting behavior in several species of *Eurysternus* Dalman (Coleoptera: Scarabaeinae: Eurysternini). *Acta Zoologica Mexicana (n.s.)* 88 : 1-41.

Huerta, C. & I.M. Martínez. 2008 : Morphological Changes in Reproductive Organs and Neuroendocrine Centers Related to Nesting, Mating, and Larvicide Behavior in *Eurysternus mexicanus* Harold (Scarabaeinae: Eurysternini). *The Coleopterists Bulletin* **62** (1) : 123-132.

Jessop, L. 1985 : An identification guide to Eurysternine dung beetles (Coleoptera, Scarabaeidae). *Journal of Natural History* **19** : 1087-1111.

Kirsch, T. 1871 : Beiträge zur Käferfauna von Bogotá. *Berliner Entomologische Zeitschrift* **14** : (353)-384, 369-378 [pagination incorrecte].

Lansberge, G. van. 1874 : Observations sur la classification des lamellicornes Coprophages. *Annales de la Société Entomologique de Belgique* **17** : 177-193.

Le Peletier de Saint-Fargeau A.L.M. & J.G. de Audinet-Serville. 1828 : *Scarabé, Scarabaeus*. Pp. 346-382. In : Latreille P.A., A.L.M. Le Peletier de Saint-Fargeau, J.G. Audinet-Serville & F.E. Guérin-Méneville (eds): *Encyclopédie méthodique, ou par ordre de matières; par une société de gens de lettres, de savans et d'artistes; précédé d'un vocabulaire universel, servant de table pour tout l'ouvrage, ornée des portraits de Mm. Diderot & d'Alembert, premiers éditeurs de l'Encyclopédie. Tome dixième. Partie 2. Histoire Naturelle des Animaux. Insectes*. Paris : V. Agasse. Pp. 345-832.

López-Guerrero, Y. & M.A. Morón : Description of Immature Stages of *Eurysternus mexicanus* Burmeister [*sic*] and *Sisyphus submonticolus* Howden (Coleoptera: Scarabaeidae, Scarabaeinae). *Journal of the Kansas Entomological Society* **67** (4) : 347-353.

Lucas, P.H. 1859 [1857] : *Entomologie* In : *Animaux nouveaux ou rares recueillis pendant l'expédition dans les parties centrales de l'Amérique du Sud, de Rio de Janeiro à Lima au Para; exécutée par ordre du Gouvernement Français pendant les années 1843 à 1847, sous la Direction du Compte Francis de Castelnau*. Paris : P. Bertrand. 204 p.

Lucas, R. 1920 : *Catalogus alphabeticus generum et subgenerum Coleopterorum orbis terrarum totius (famil., trib., subtrib., sect. incl.), Pars I*. Berlin : R. Stricker. 696 p.

Luederwaldt, G. 1911 [1910] : Os Insectos Necrophagos Paulistas. *Revista do Museu Paulista* **8** : 414-433.

Martínez, A. 1959 : Catologo de los Scarabaeidae Argentinos (Coleoptera). *Revista del Museo Argentino de Ciencias Naturales « Bernardino Rivadavia » e Instituto Nacional de Investigacion de la Ciencias Naturales, Ciencias Zoológicas* **5** (1) : 1-130.

Martínez, A. 1988 : Notas sobre *Eurysternus* Dalman (Coleoptera, Scarabaeidae). *Entomologica Basiliensia* **12** : 279-302.

Morón, M.Á. 2003 : *Eurysternini* in : M.Á. Morón (éditeur) *Atlas de los Escarabajos de México, Coleoptera: Lamellicornis Vol. II Familias Scarabaeidae, Trogidae, Passalidae y Lucanidae*. Barcelona : Argania Editio. 227 p.

Morrone, J.J. 2006 : Biogeographic Areas and Transition Zones of Latin America and the Caribbean Islands Based on Panbiogeographic and Cladistic Analyses of the Entomofauna. *Annual Review of Entomology* 51 : 467-494.

Naskrecki, P. 2008 : Mantis v. 2.0 – A Manager of Taxonomic Information and Specimens. URL: http://140.247.119.138/mantis/.

Noriega A., J.A. & J.C. Calle 2009 : Consumption of *Gustavia hexapetala* (Aublet) Smith (Lecythidales: Lecythidaveae) by the Dung Beetle *Eurysternus plebejus* Harold (Coleoptera: Scarabaeinae). *The Coleopterists Bulletin* **62** (4) : 455-460.

Noriega A., J.A., C. Solis, F. Escobar S., E. Realpe R. 2007 : Escarabajos copróphagos (Coleoptera: Scarabaeidae) de la provincia de la Sierra Nevada de Santa Marta. *Biota Colombiana* **8** (1) : 77-86.

Ohaus, F. 1909 : Bericht über eine entomologische Studienreise in Südamerika. *Entomologische Zeitung. Stettin* **70** (1) : 3-139.

Özdikmen, H. 2009 : Nomenclatural changes for five preocupied scarab beetle genus group names (Coleoptera: Scarabaeidae). *Munis Entomology & Zoology* **4** (1) : 139-147.

Paulian, R. 1938 : Contribution à l'étude des Canthonides américains [Coleopt. Lamellic.]. *Annales de la Société Entomologique de France* **127** : 213-296.

Peck, S.B. & H.F. Howden. 1984 : Response of a Dung Beetle Guild to Different Sizes of Dung Bait in a Panamanian Rainforest. *Biotropica* **16** (3) : 235-238.

Perty, J.A.M. 1830 : *Insecta Brasiliensia*. In : *Spix J. & Martius C.: Delectus animalium articulatorum, quae in itinere per Brasiliam annis MDCCCXVII-MDCCCXX jussu et auspiciis Maximiliani Josephi I. Bavariae regis augustissimi peracto, (fasc. 1).* Monachii : Frid. Fleischer. 60 p.

Roze, J.A. 1955 : Lista preliminare de la familia Scarabaeidae sensu lato (Coleoptera) de Venezuela. *Boletin del Museo de Ciencias Naturales, Caracas* **1** (1) : 39-63.

Schuster, R.O. & F.M. Summers 1978 : Mites of the family Diarthrophallidae (Acari: Mesostigmata). *International Journal of Acarology* **4** (4) : 279–385.

Smith, A.B.T., 2006 : A review of the Family-Group names for the Superfamily Scarabaeoidea (Coleoptera) with Corrections to Nomenclature and a Current Classification. *Coleopterists Society Monograph* **5** : 144–204.

Vaz de Mello, F.Z. 1999 : Scarabaeidae s. str. (Coleoptera: Scarabaeoidea) de um Fragmento de Floresta Amazônica no Estado do Acre, Brasil. 1. Taxocenose. *Anais da Sociedade Entomológica do Brasil* **28** (3) : 447-453.

Vulcano, M.A., A. Martínez & F.S. Pereira. 1961 [1960] : Eurysternini, nueva tribu de Scarabaeinae (Col. Scarabaeidae). *Actas y Trabajos del Primer Congreso Sudamericano de Zoologia* **3** : 267-271.

INDEX

PLANCHES



Fig. 1. *E. cayennensis*, habitus (mâle, vue dorsale)



Fig. 2. *E. vastiorum*, habitus (mâle, vue dorsale)



Fig. 3. *E. parallelus*, habitus (mâle, vue dorsale)



Fig. 4. *E. inflexus*, habitus (mâle, vue dorsale)



Fig. 5. *E. wittmerorum*, habitus (mâle, vue dorsale)



Fig. 6. *E. jessopi*, habitus (mâle, vue dorsale)



Fig. 7. *E. navajasi*, habitus (mâle, vue dorsale)



Fig. 8. *E. hirtellus*, habitus (mâle, vue dorsale)



Fig. 9. *E. lanuginosus*, habitus (mâle, vue dorsale)



Fig. 10. *E. nigrovirens*, habitus (mâle, vue dorsale)



Fig. 11. *E. arnaudi*, habitus (mâle, vue dorsale)



Fig. 12. *E. cyanescens*, habitus (mâle, vue dorsale)



Fig. 13. *E. hypocrita*, habitus (mâle, vue dorsale)



Fig. 14. *E. foedus*, habitus (mâle, vue dorsale)



Fig. 15. *E. howdeni*, habitus (mâle, vue dorsale)



Fig. 16. *E. plebejus*, habitus (femelle, vue dorsale)



Fig. 17. *E. magnus*, habitus (mâle, vue dorsale)



Fig. 18. *E. mexicanus*, habitus (mâle, vue dorsale)



Fig. 19. *E. harlequin*, habitus (mâle, vue dorsale)



Fig. 20. *E. caribaeus*, habitus (mâle, vue dorsale)



Fig. 21. *E. hamaticollis*, habitus (mâle, vue dorsale)



Fig. 22. *E. francinae*, habitus (mâle, vue dorsale)

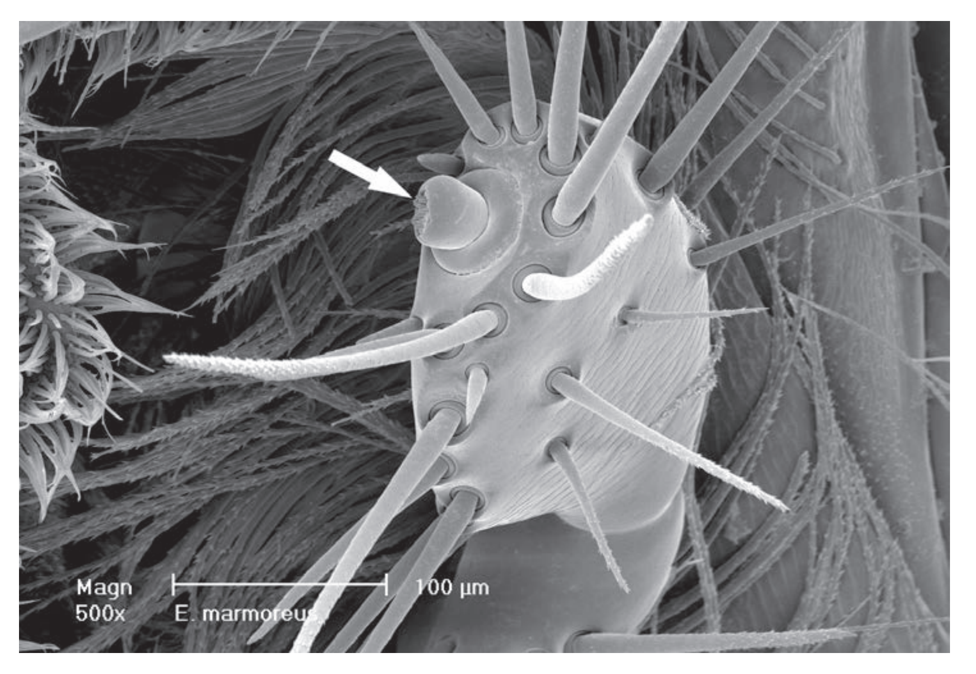


Fig. 23. *E. marmoreus*, palpe labial (vue distale)

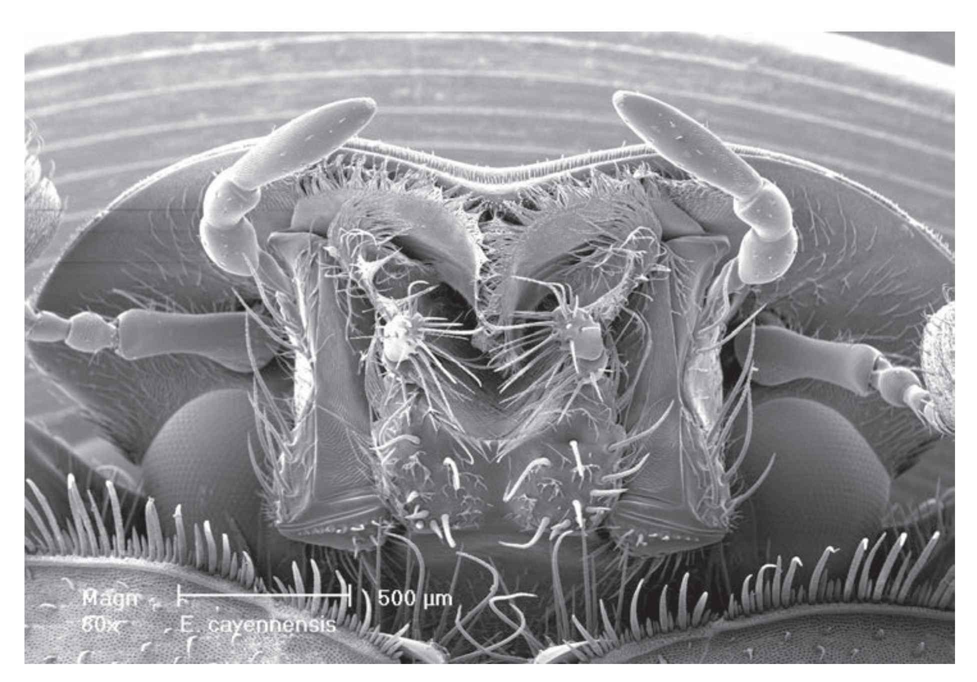


Fig. 24. *E. cayennensis*, palpe maxillaire (vue ventrale)

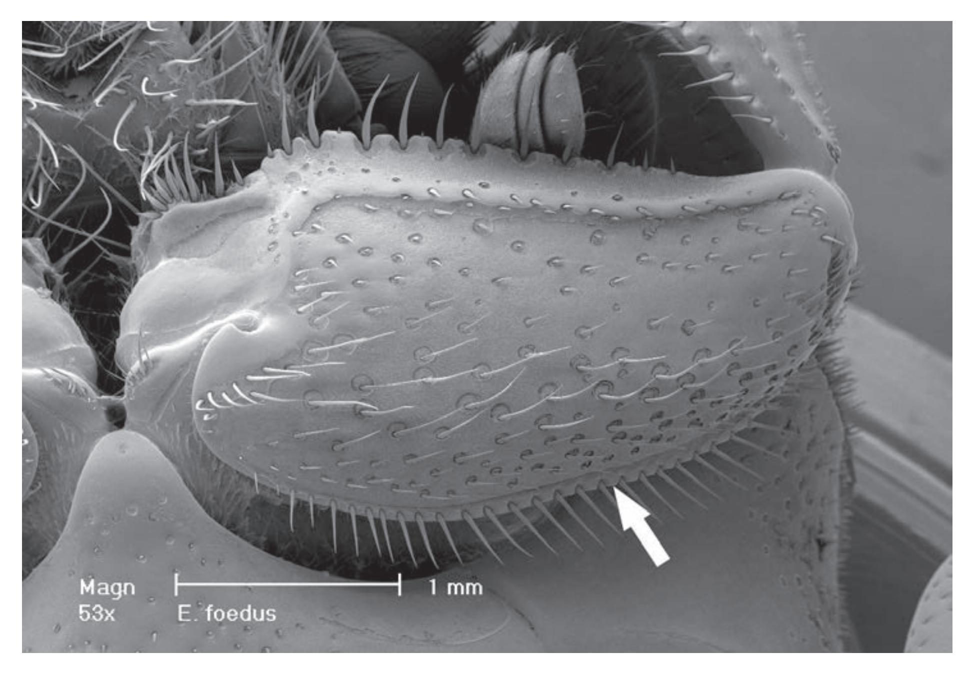


Fig. 25. *E. foedus*, fémur antérieur (vue ventrale)

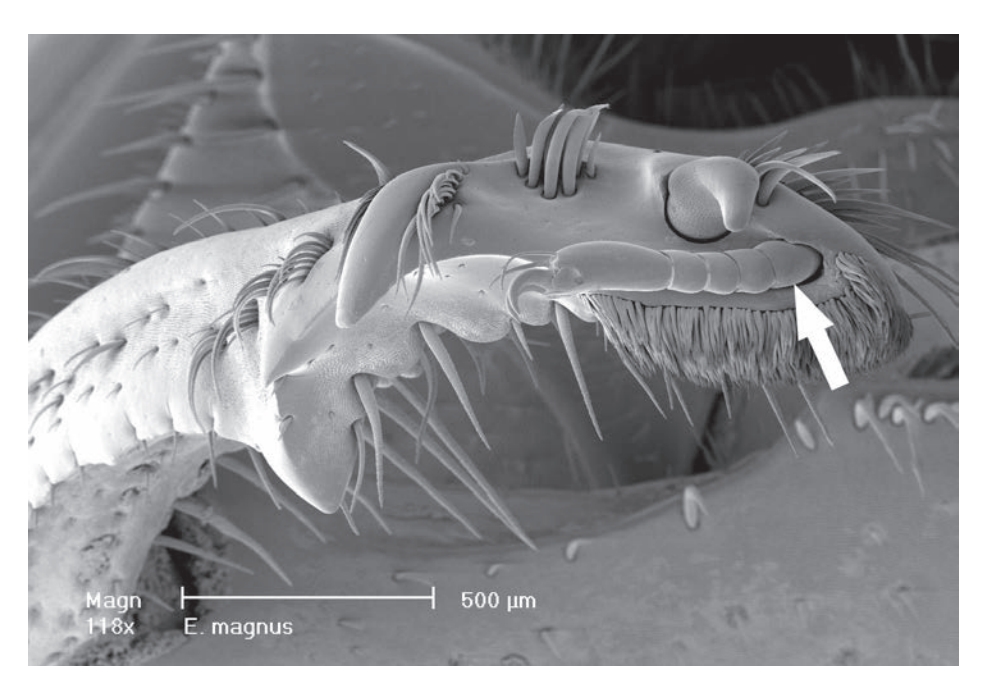


Fig. 26. *E. magnus*, tibia et tarse antérieur (mâle, vue distale)

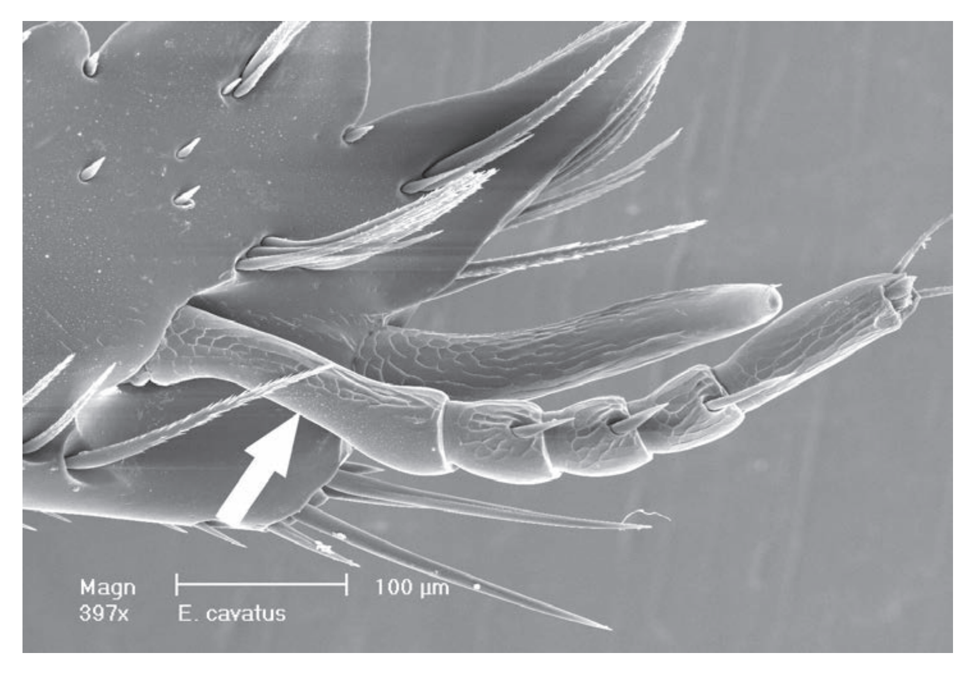


Fig. 27. *E. cavatus*, tibia et tarse antérieur (femelle, vue ventrale)

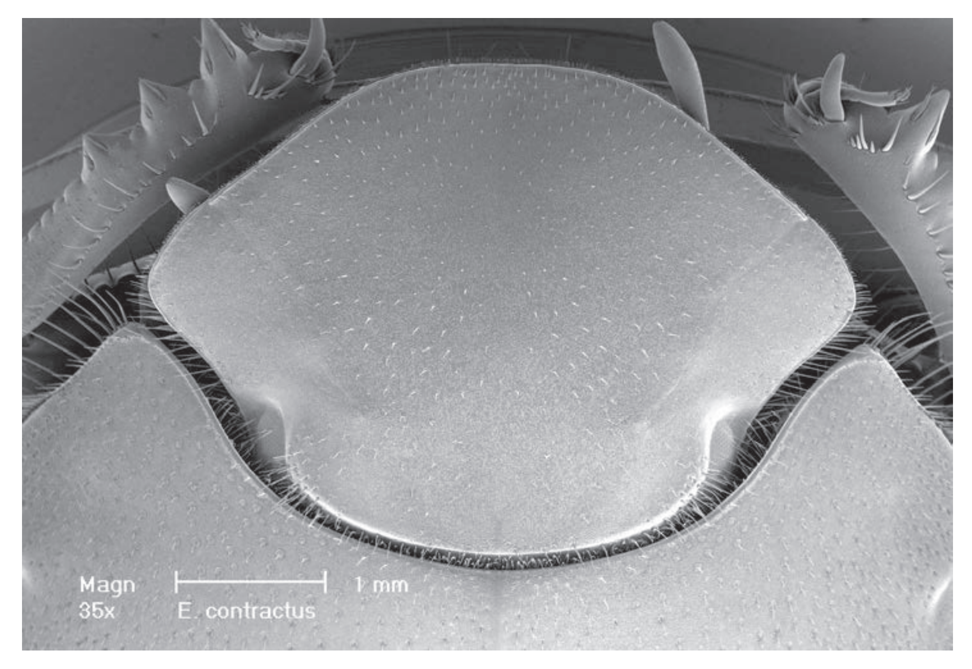


Fig. 28. *E. contractus*, tête et pronotum (vue dorsale)

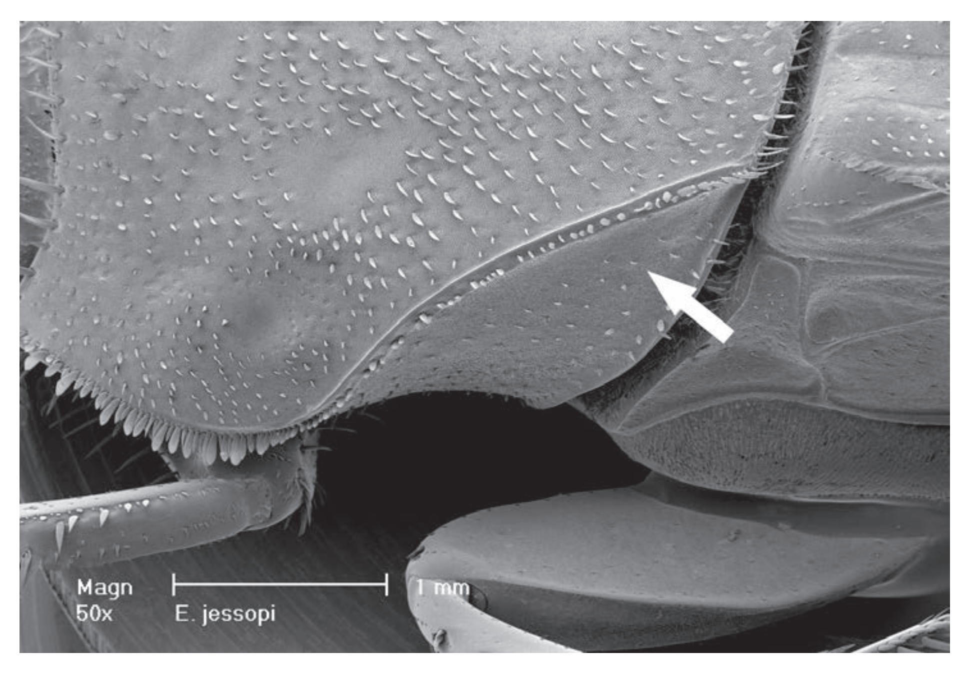


Fig. 29. *E. jessopi*, pronotum (vue latérale)

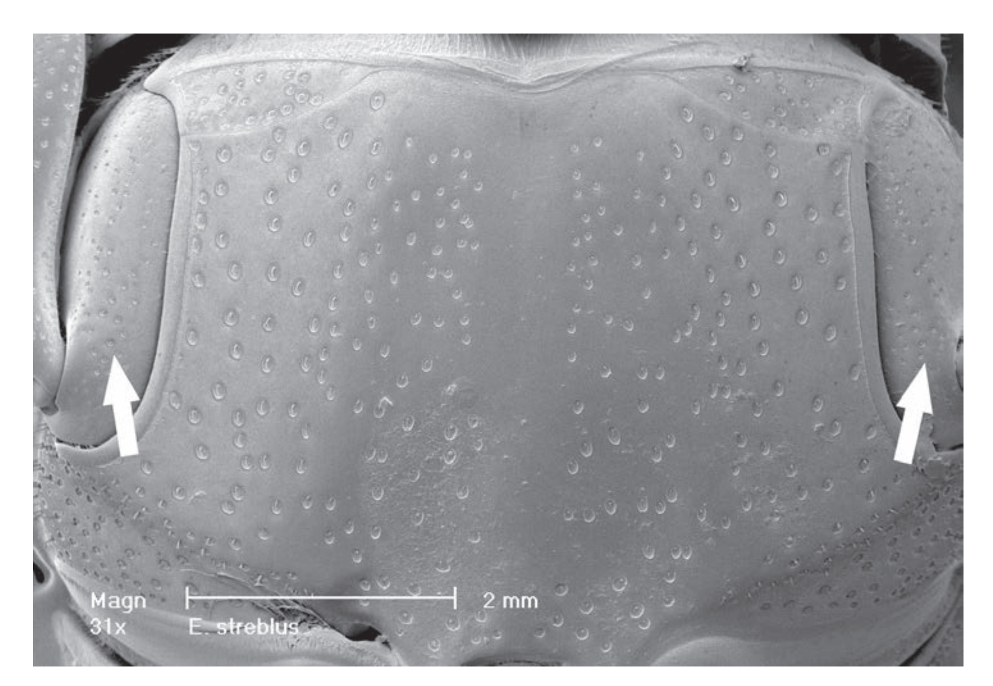


Fig. 30. *E. streblus*, hanches médianes (vue ventrale)

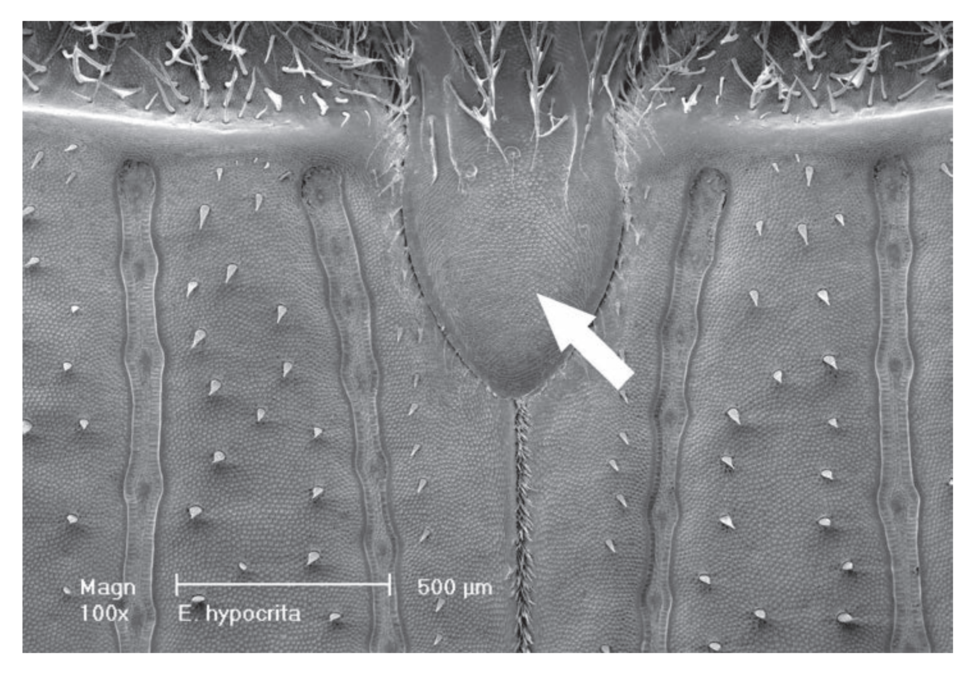


Fig. 31. *E. hypocrita*, mésoscutellum (vue dorsale)

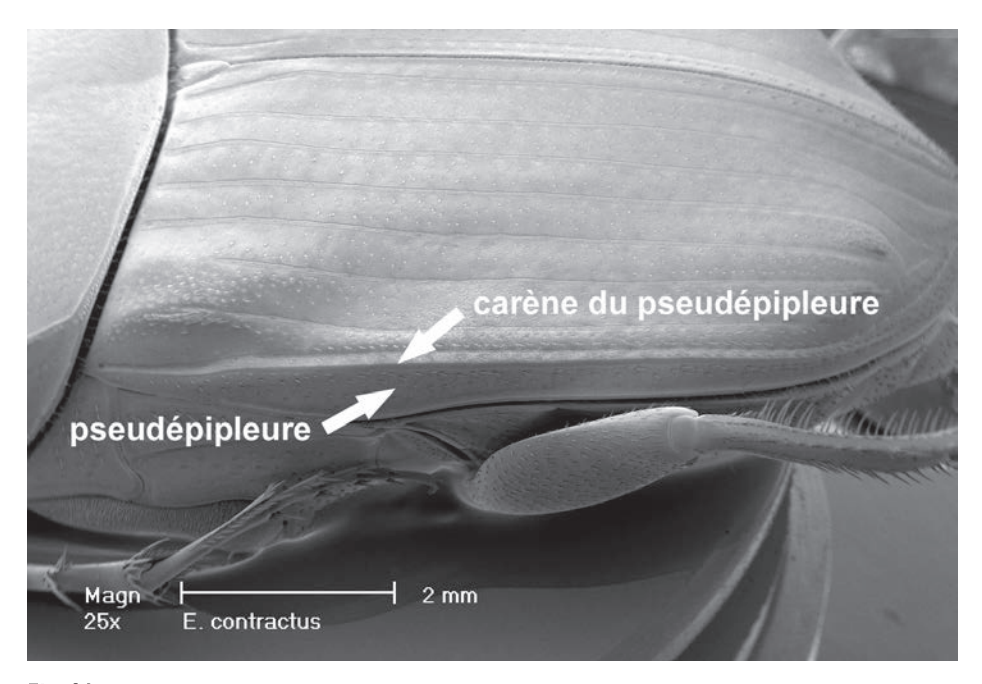


Fig. 32. *E. contractus*, élytre (vue latérale)

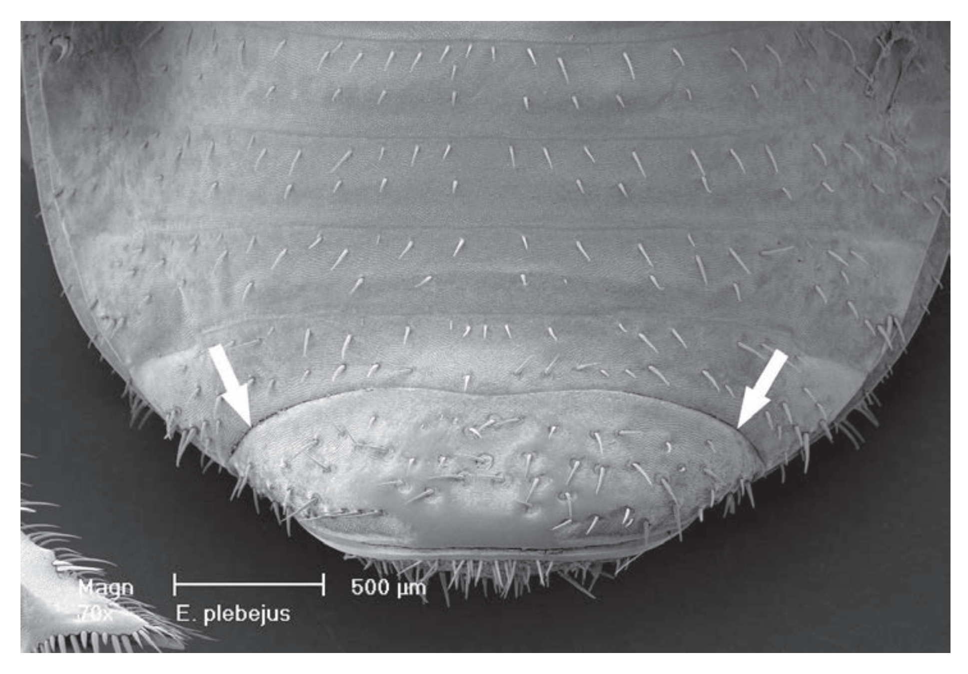


Fig. 33. *E. plebejus*, sternites abdominaux (vue ventrale)

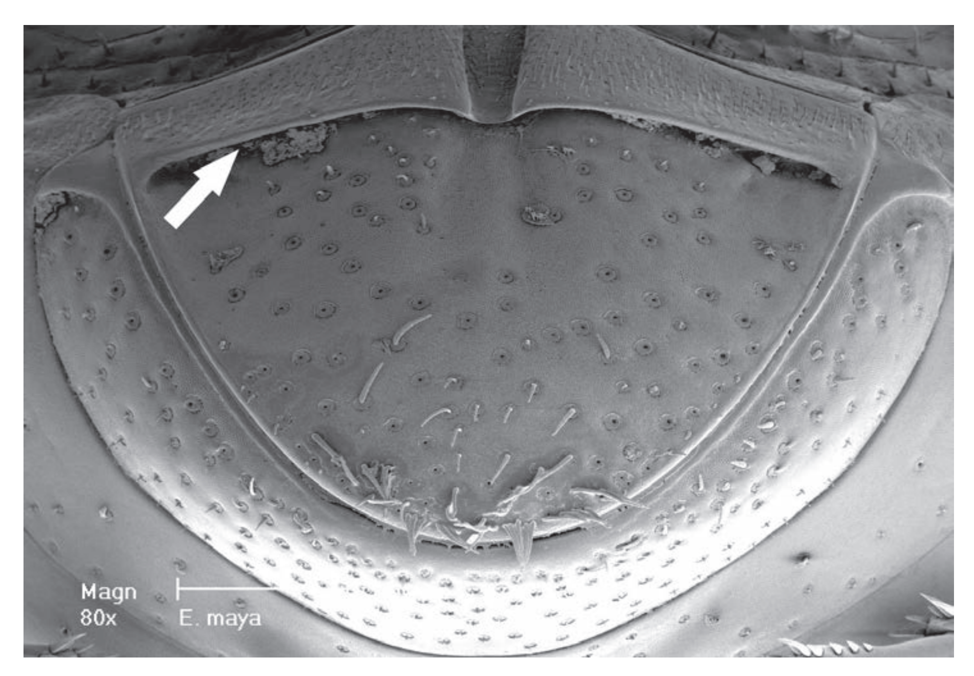


Fig. 34. *E. maya*, pygidium (vue distale)

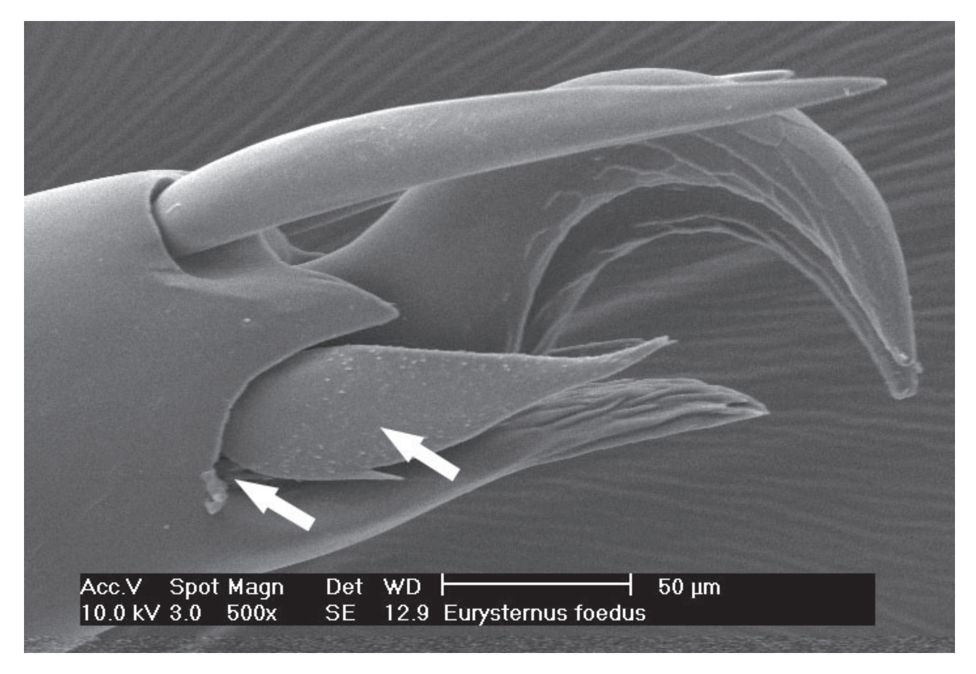


Fig. 35. *E. foedus*, Lamelles axillaires (vue latérale)

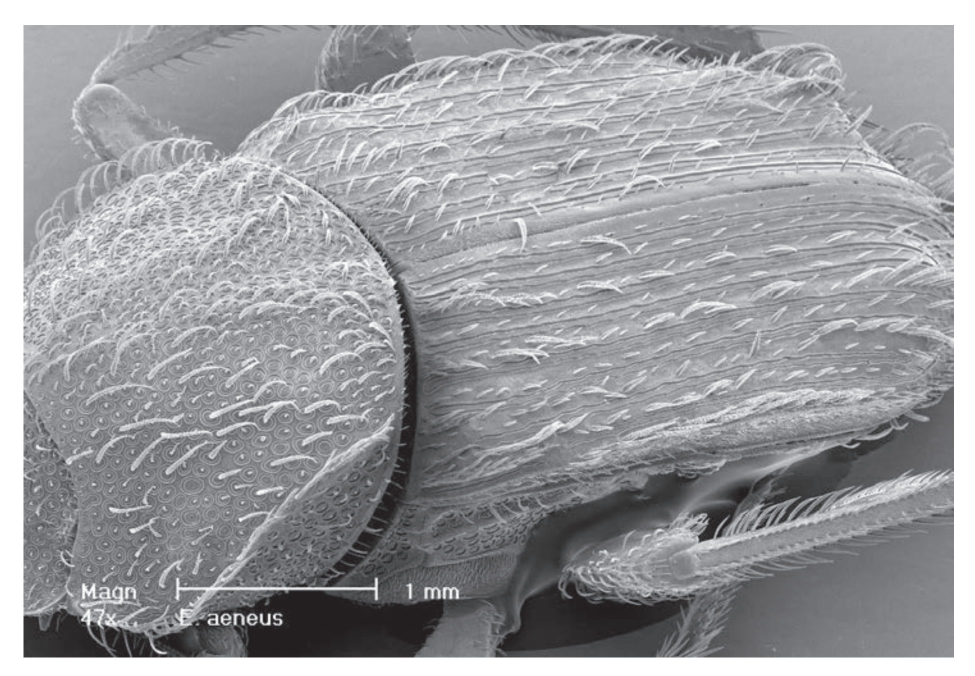


Fig. 36. *E. aeneus*, habitus (vue dorsale)

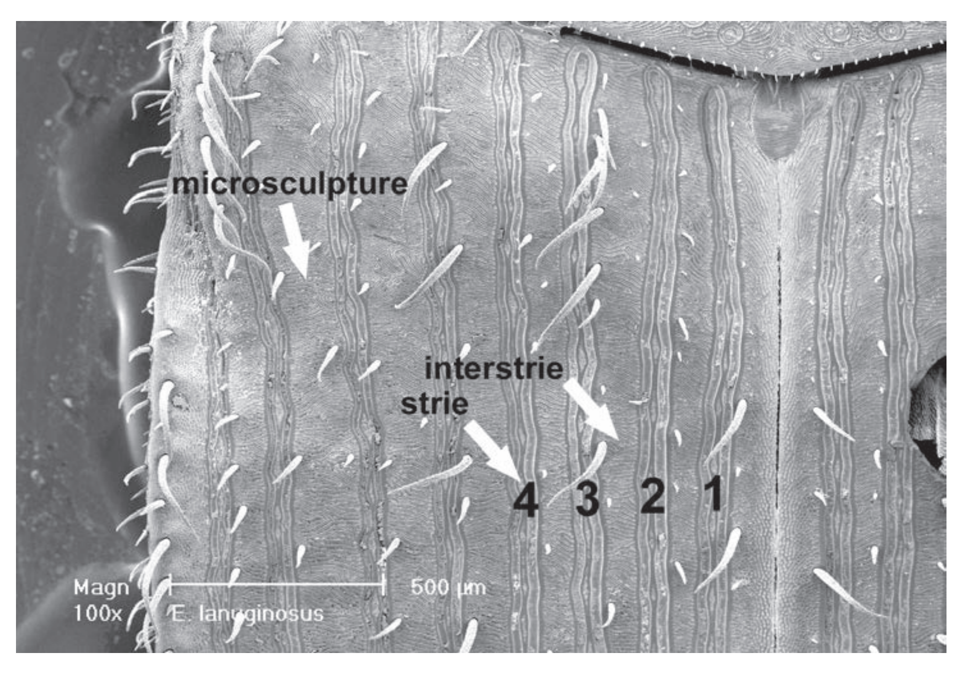


Fig. 37. *E. lanuginosus*, élytre (base, vue dorsale)

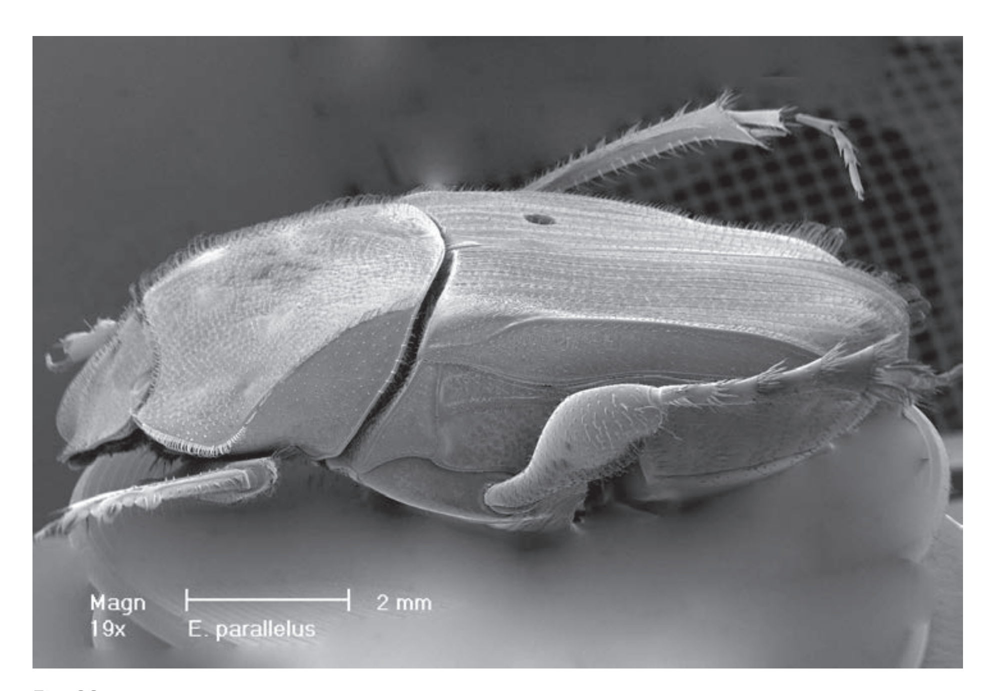


Fig. 38. *E. parallelus*, habitus (vue latérale)

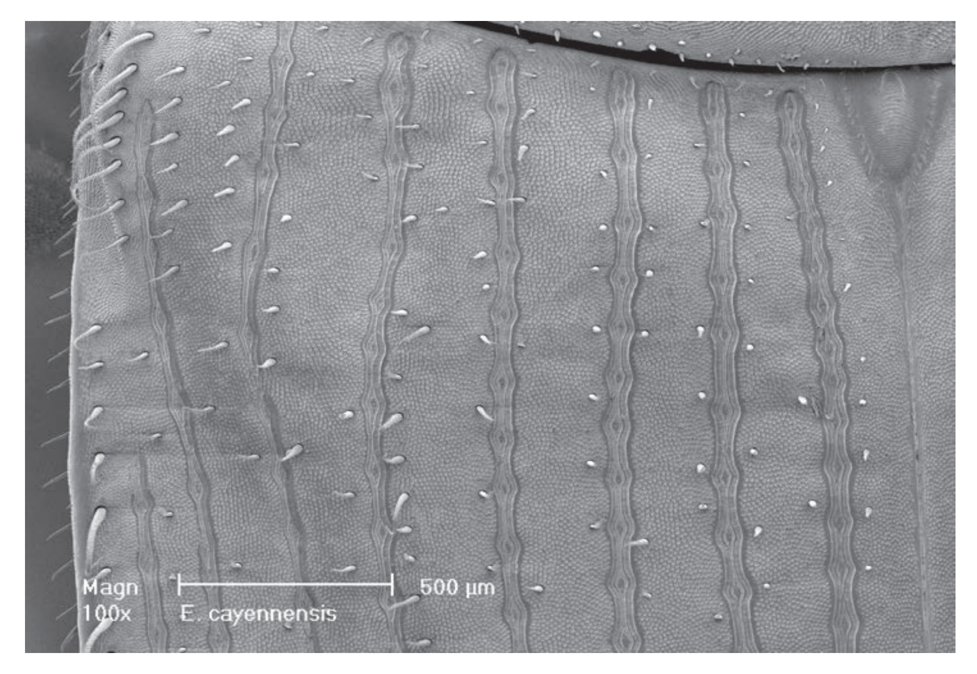


Fig. 39. *E. cayennensis*, élytre (base, vue dorsale)

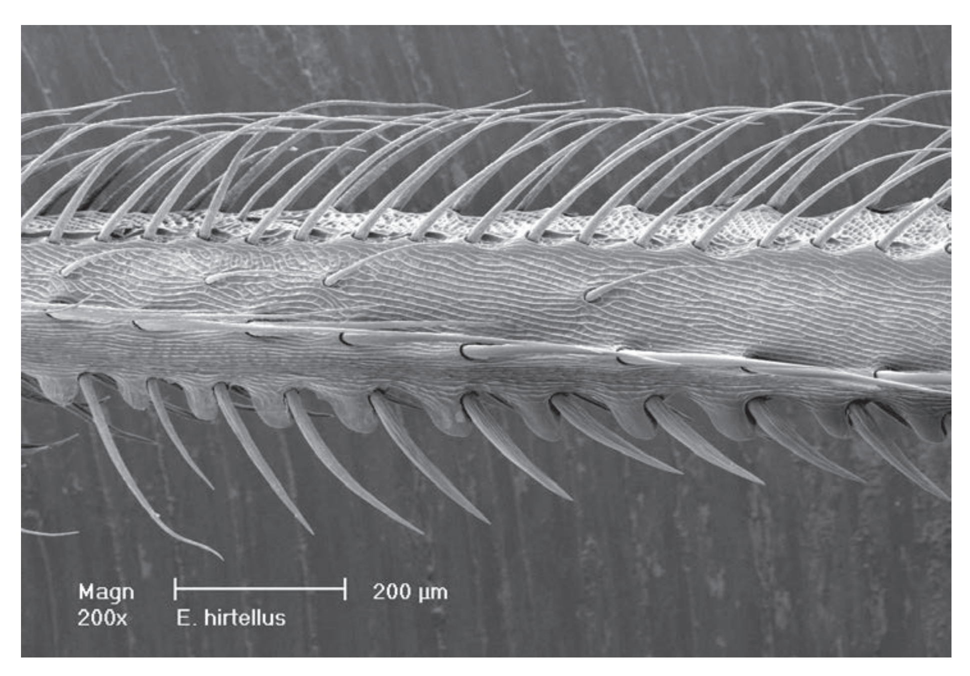


Fig. 40. *E. hirtellus*, tibia postérieur mâle (détail, vue dorsale)

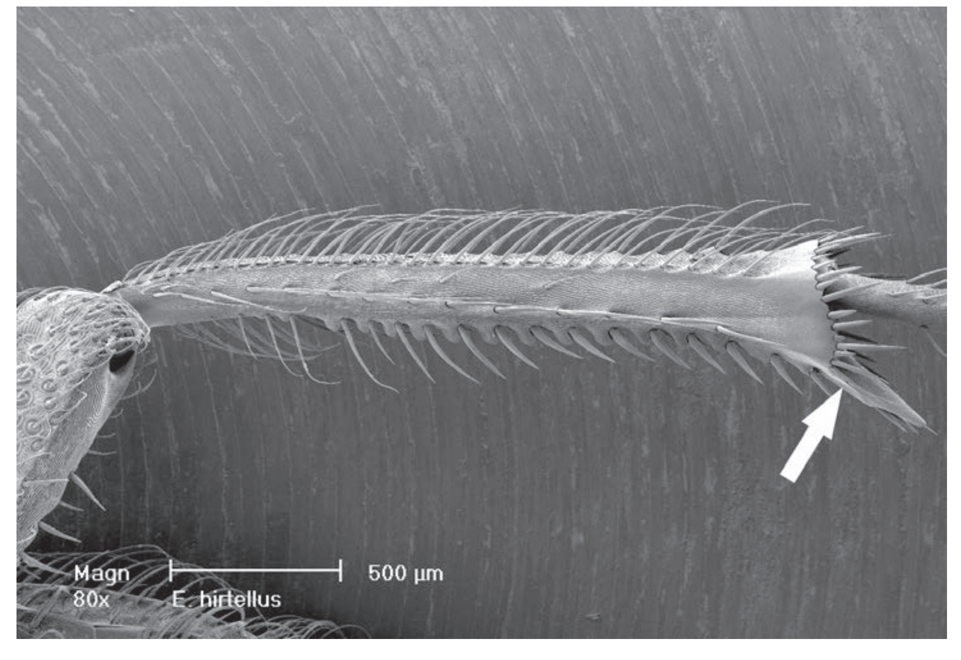


Fig. 41. *E. hirtellus*, tibia postérieur mâle (vue dorsale)

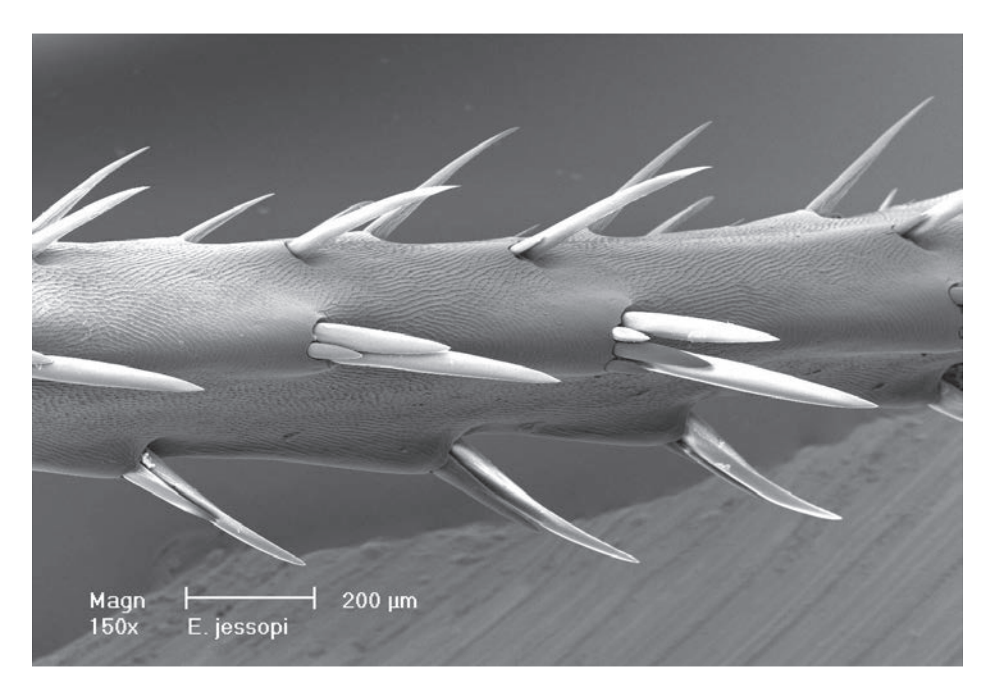


Fig. 42. *E. jessopi*, tibia postérieur (détail, vue ventrale)

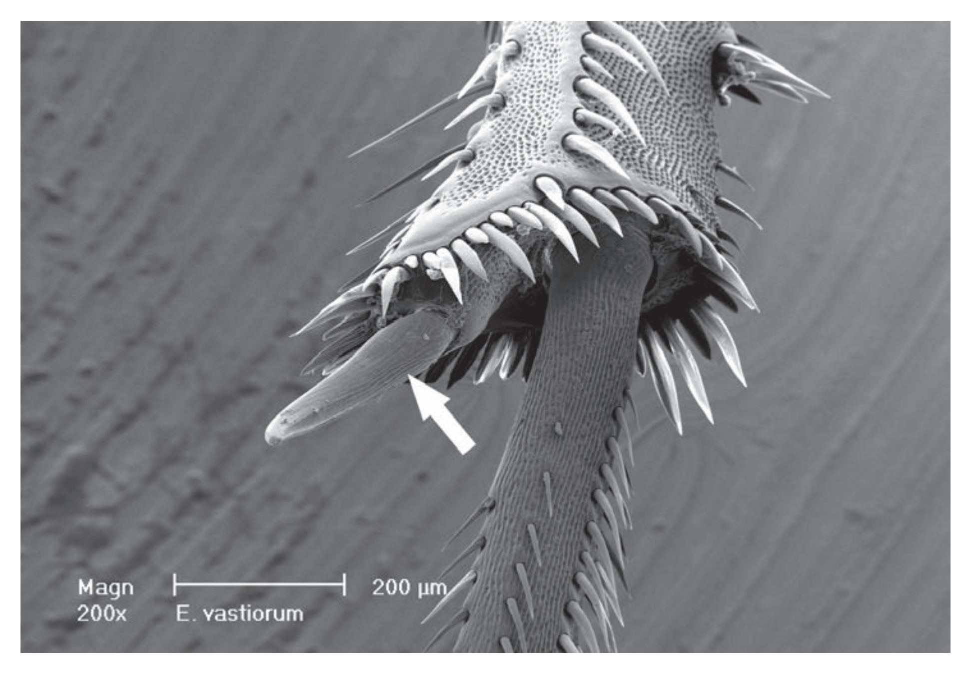


Fig. 43. *E. vastiorum*, tibia postérieur mâle (apex, vue distale)

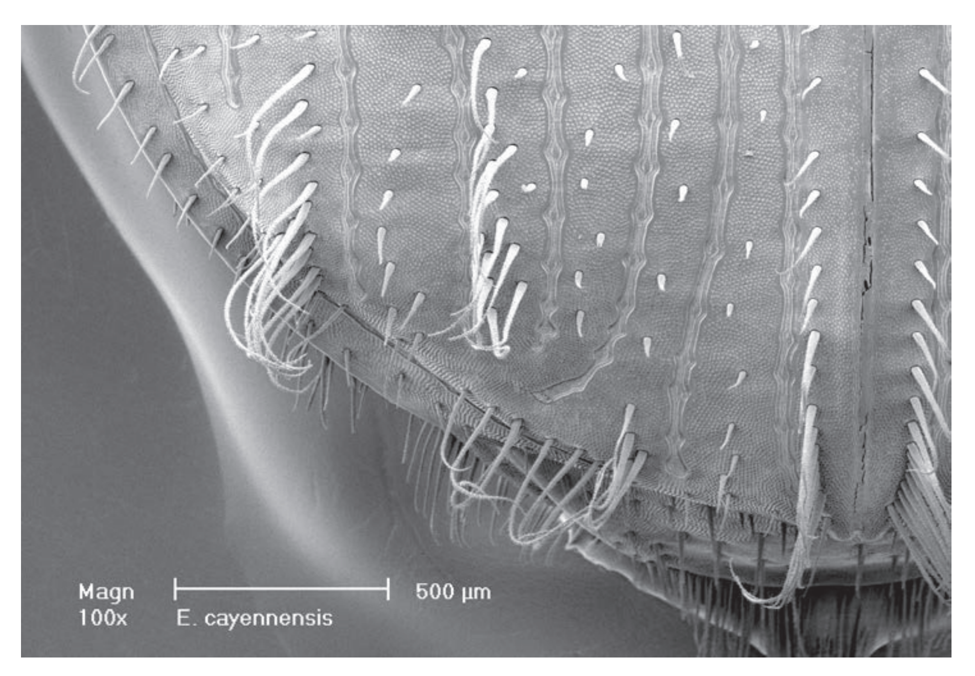


Fig. 44. *E. cayennensis*, élytre (apex, vue dorsale)

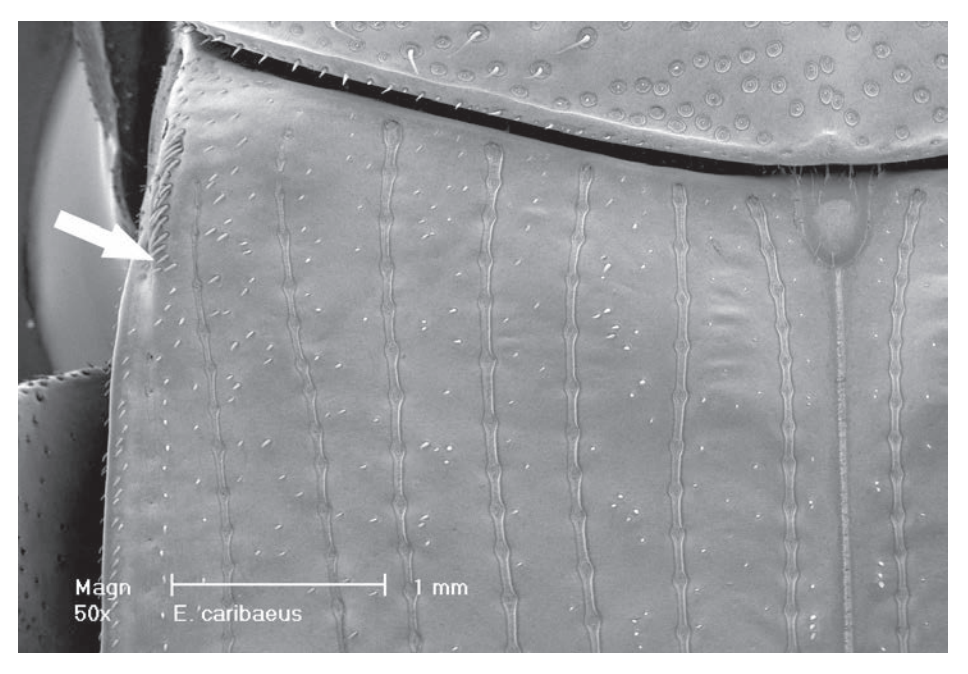


Fig. 45. *E. caribaeus*, élytre (base, vue dorsale)

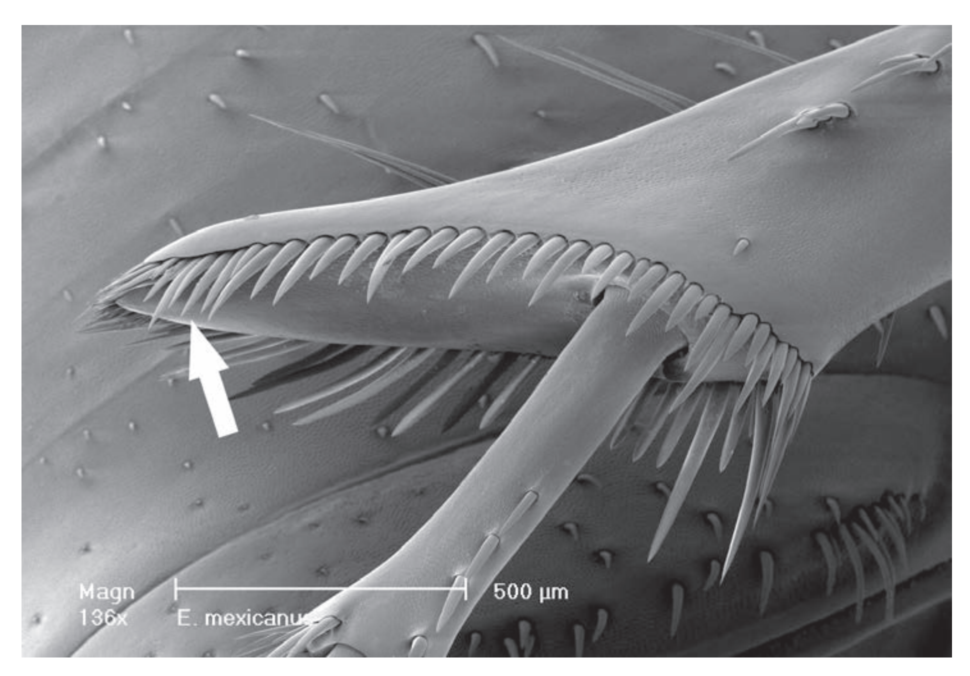


Fig. 46. *E. mexicanus*, tibia postérieur mâle (apex, vue ventrale)

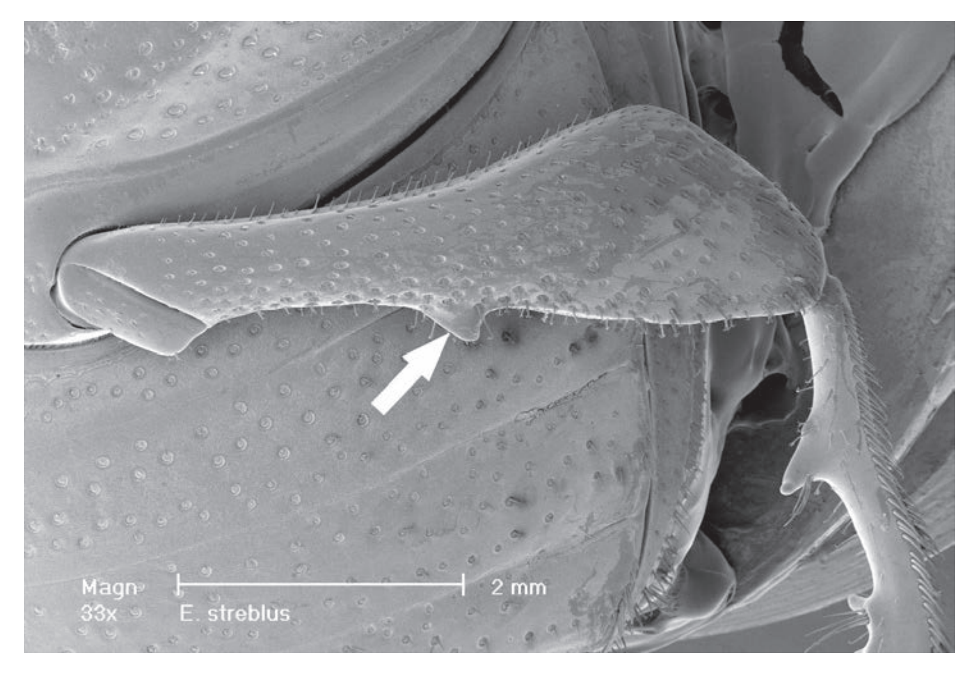


Fig. 47. *E. streblus*, fémur postérieur femelle (vue ventrale)

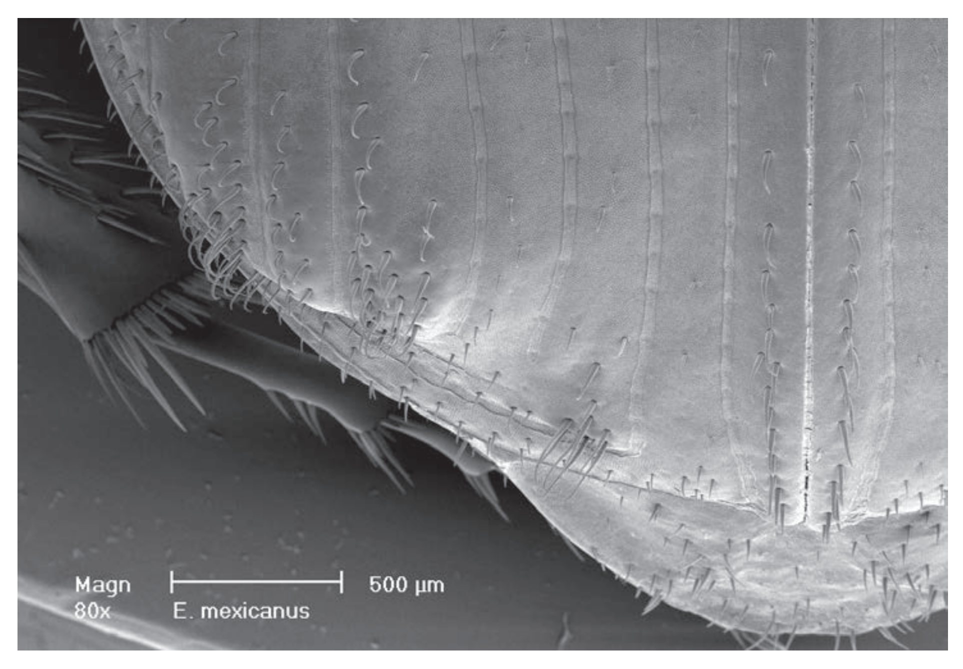


Fig. 48. *E. mexicanus*, élytre (apex, vue dorsale)

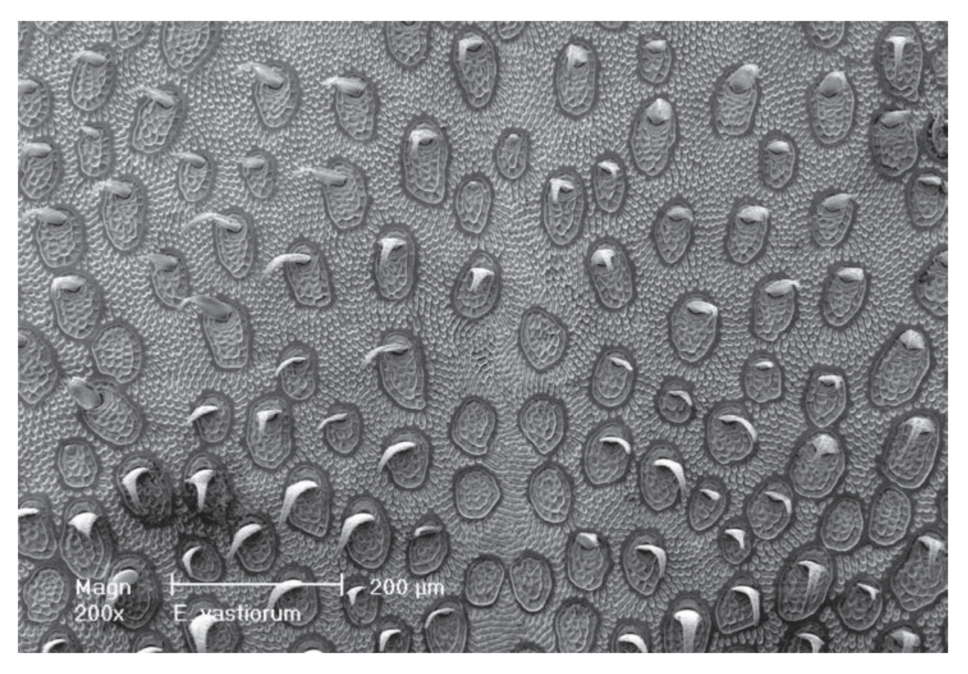


Fig. 49. *E. vastiorum*, pronotum (ponctuation, vue dorsale)

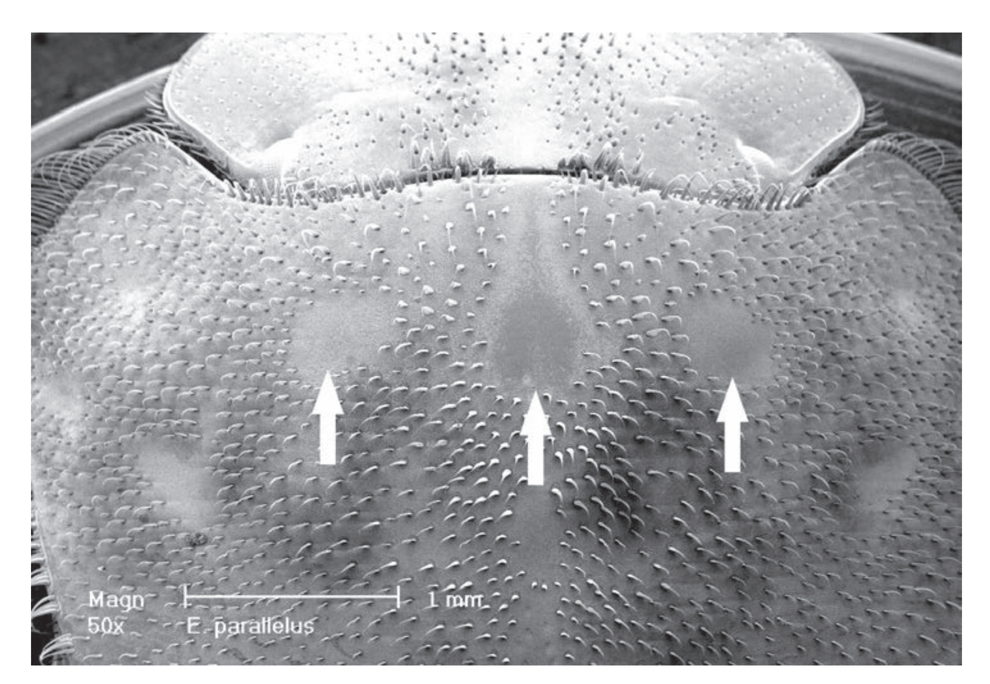


Fig. 50. *E. parallelus*, pronotum (vue dorsale)

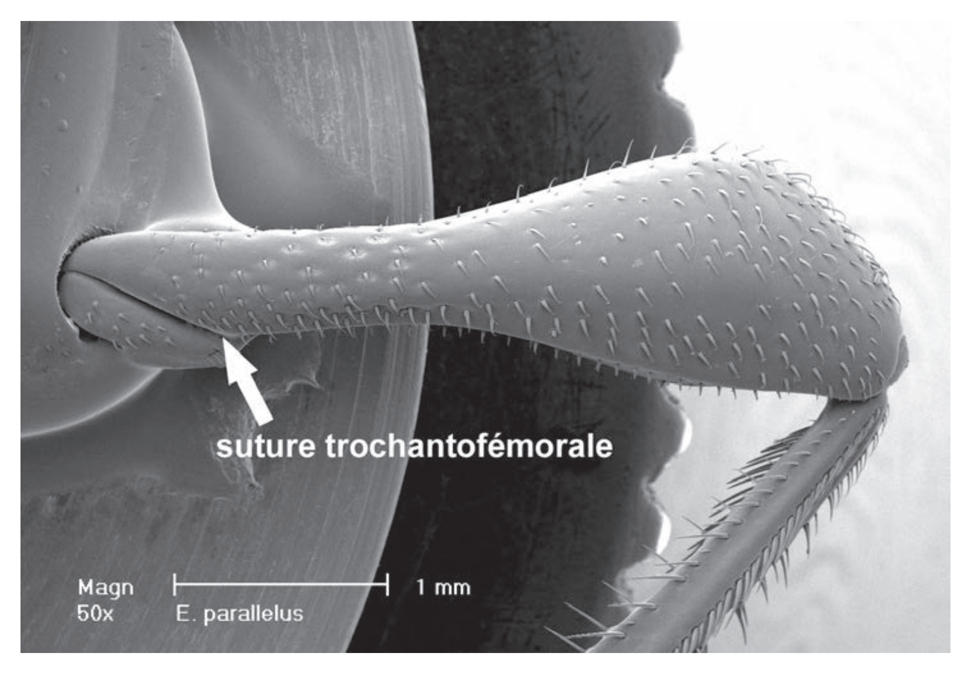


Fig. 51. *E. parallelus*, fémur postérieur femelle (vue ventrale)



Fig. 52. *E. inflexus*, pronotum (vue dorsale)

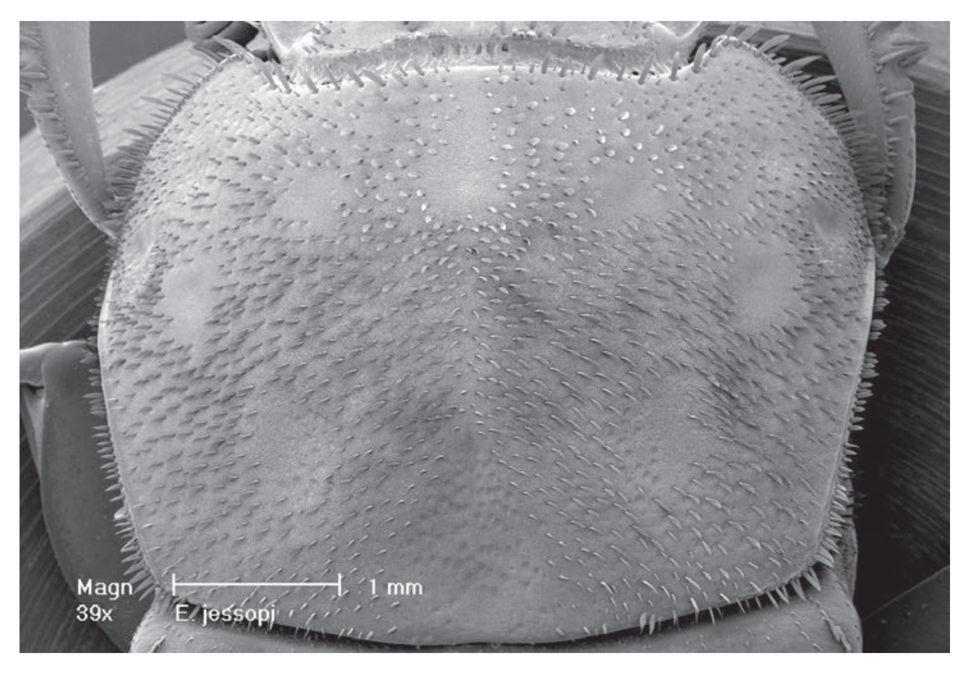


Fig. 53. *E. jessopi*, pronotum (vue dorsale)

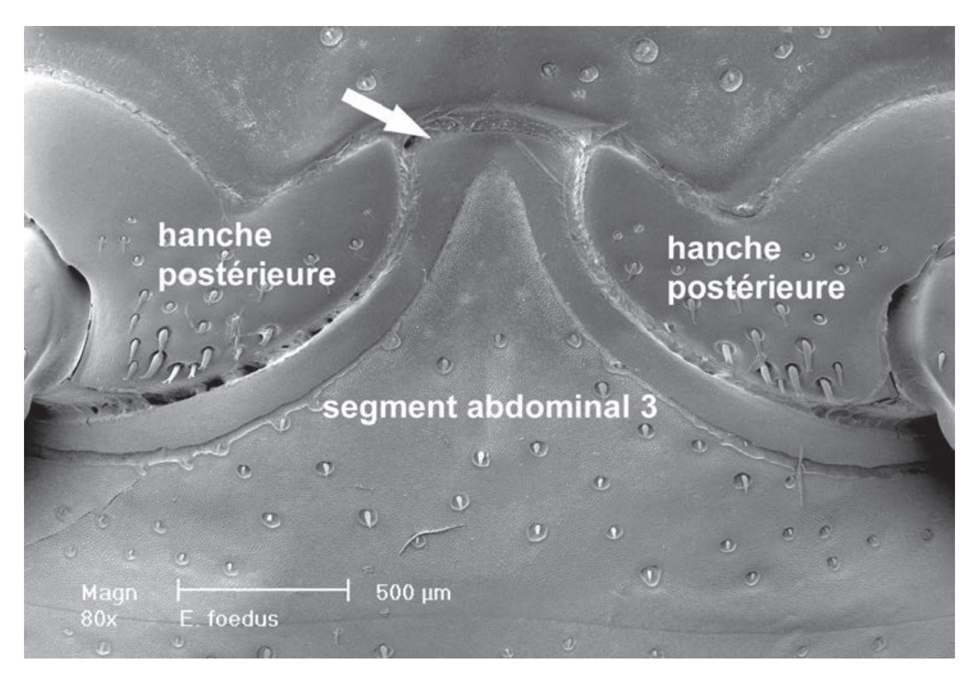


Fig. 54. *E. foedus*, hanches postérieures (détail, vue ventrale)

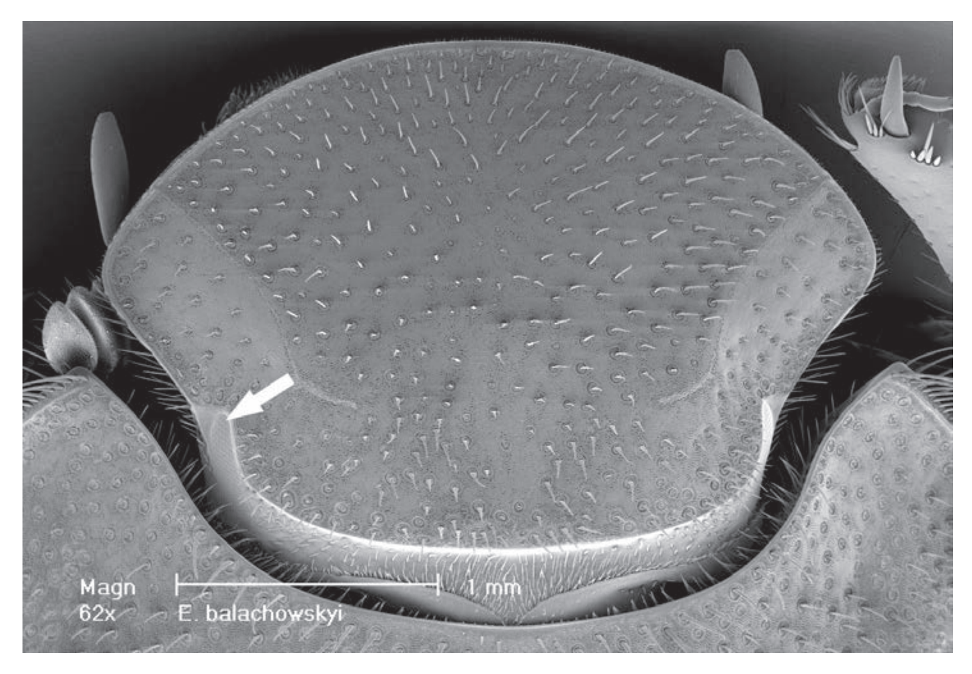


Fig. 55. *E. balachowskyi*, tête (vue dorsale)

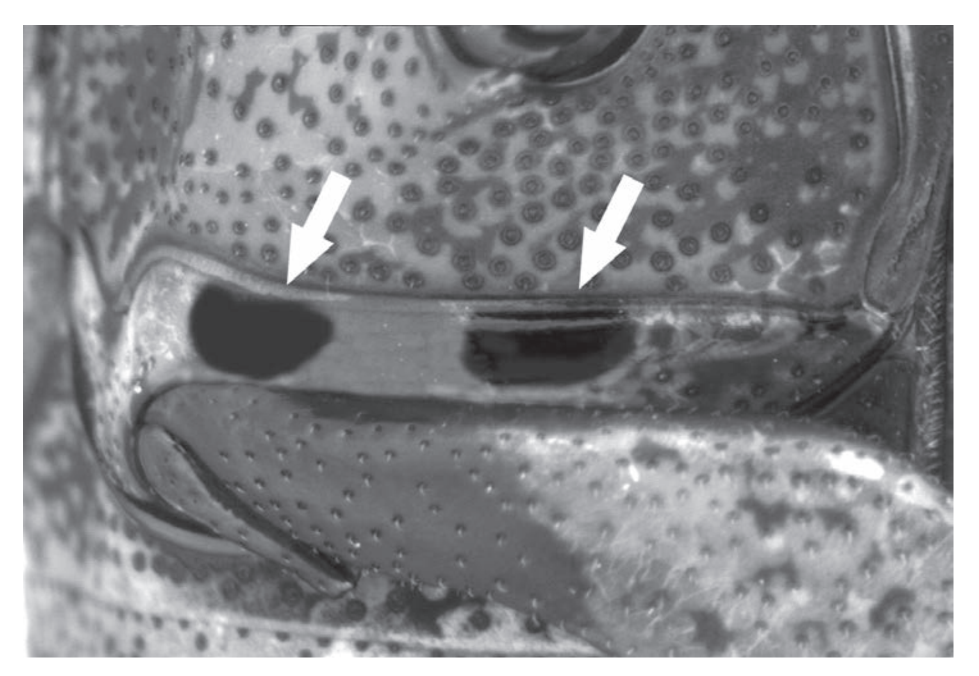


Fig. 56. *E. caribaeus*, hanche postérieure (vue ventrale)

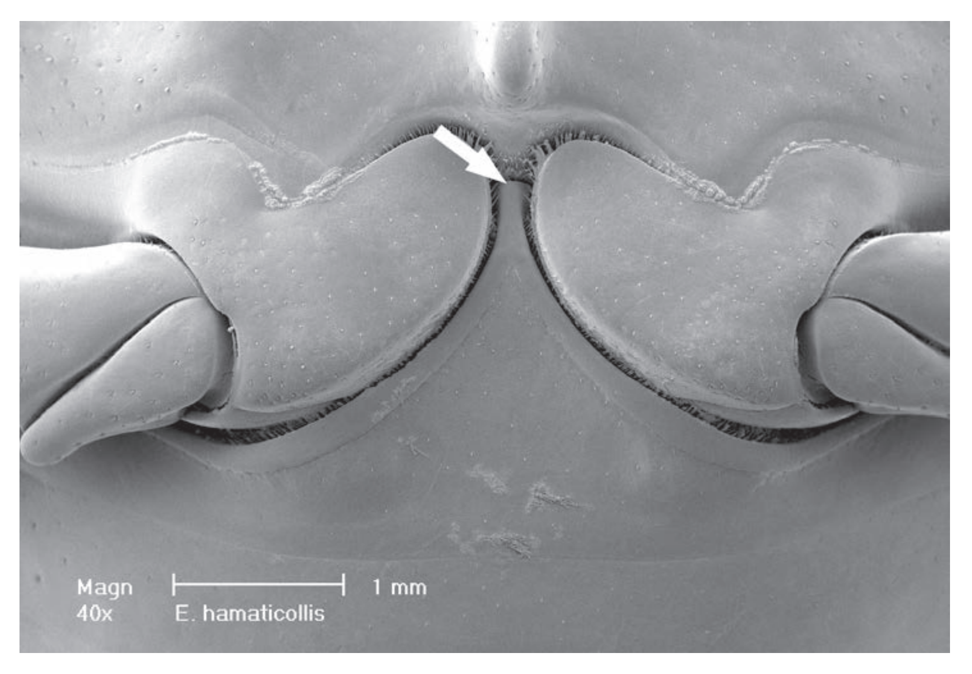


Fig. 57. *E. hamaticollis*, segment abdominal 3 (détail, vue ventrale)

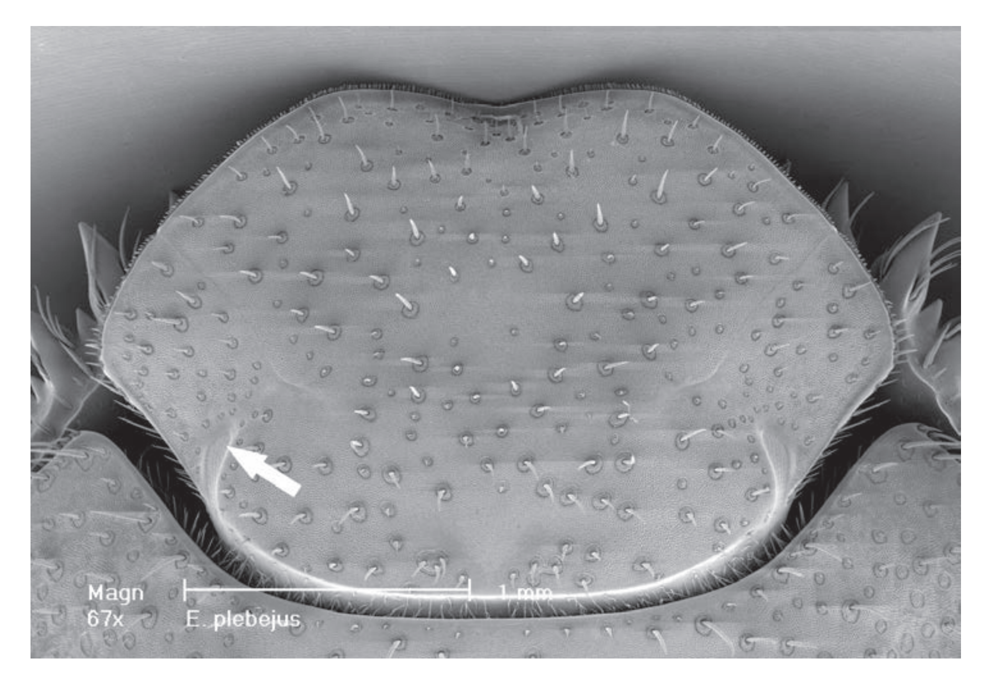


Fig. 58. *E. plebejus*, tête (vue dorsale)

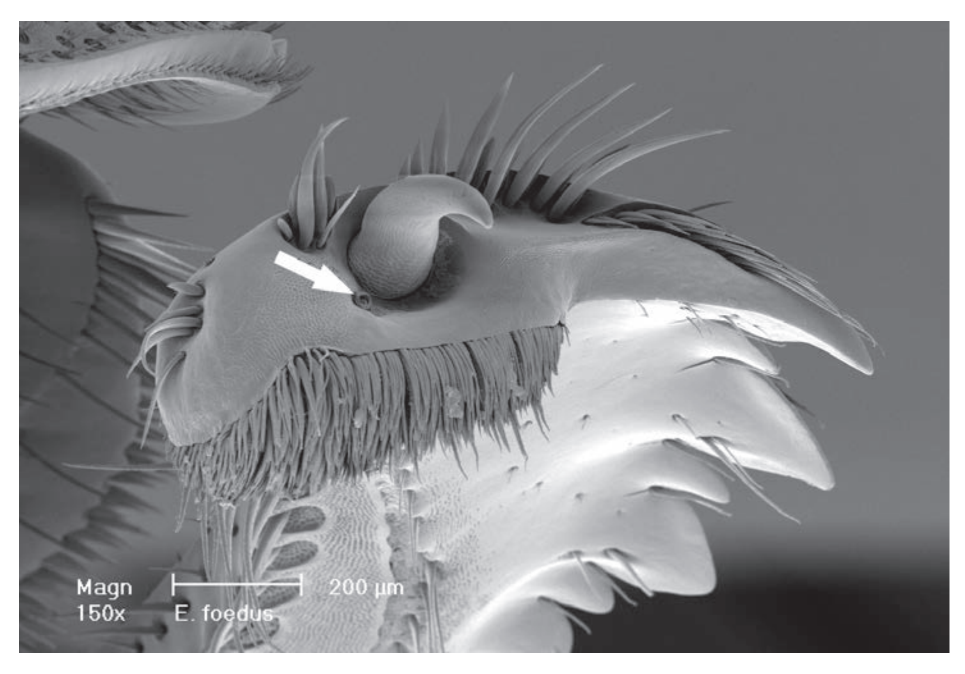


Fig. 59. *E. foedus*, tibia antérieur mâle (apex, vue distale)

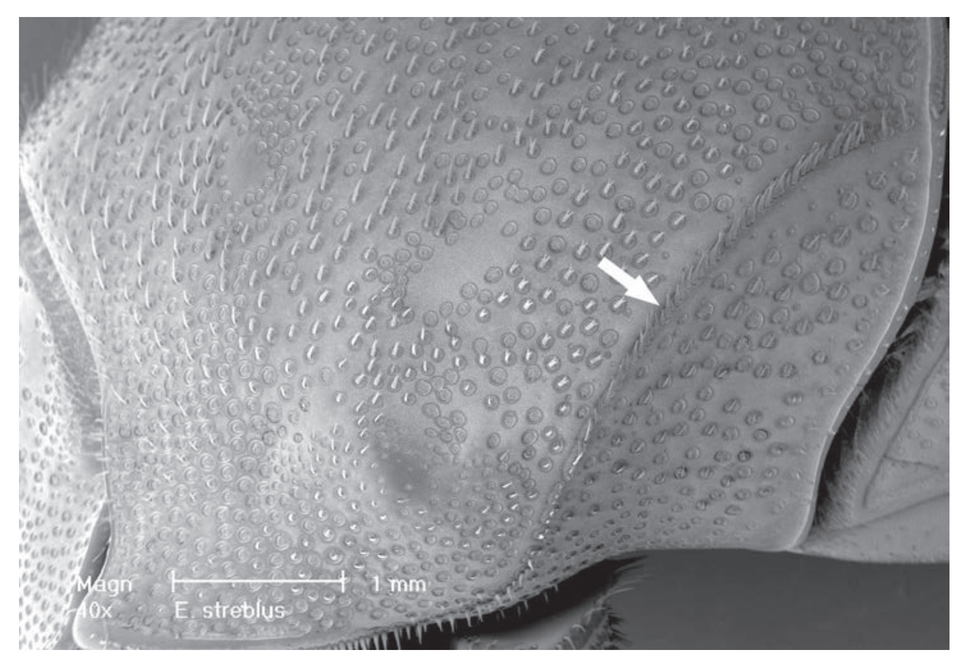


Fig. 60. *E. streblus*, pronotum (vue latérale)

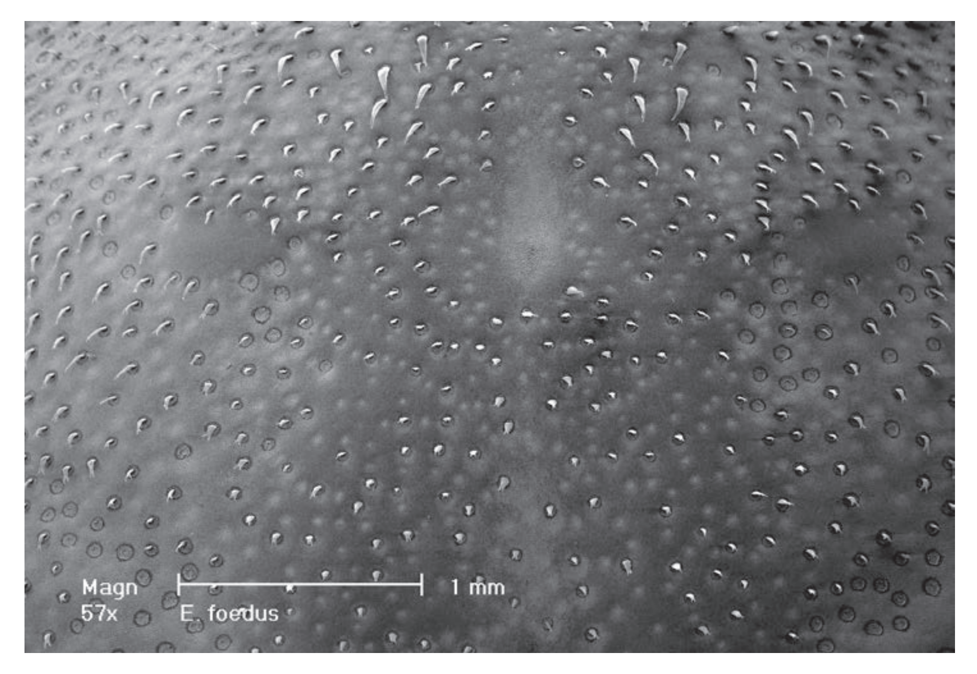


Fig. 61. *E. foedus*, pronotum (disque, vue dorsale)

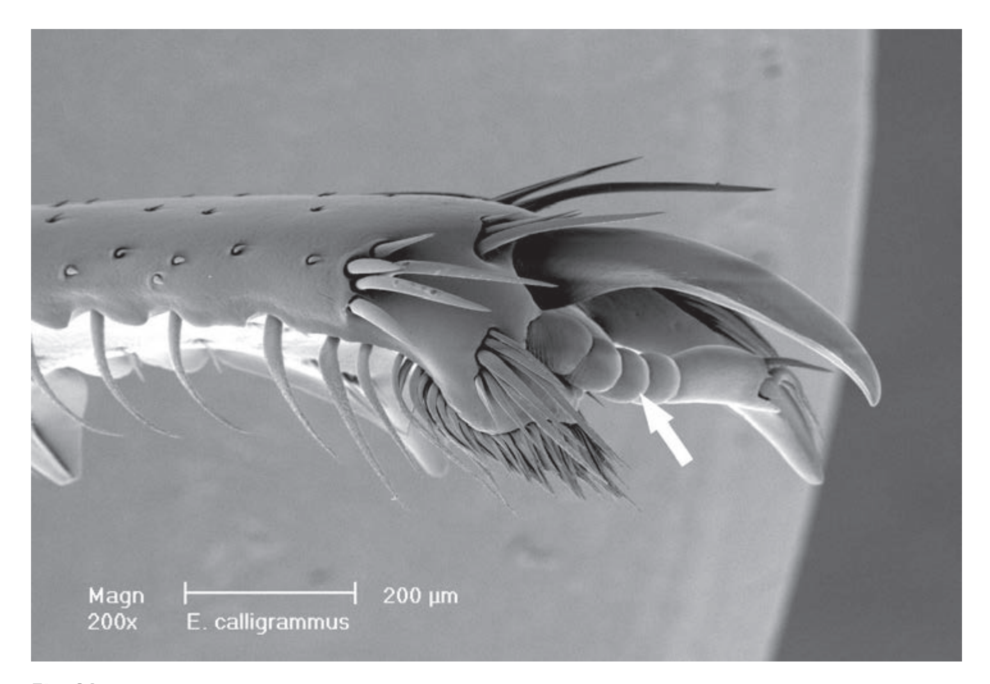


Fig. 62. *E. calligrammus*, tibia antérieur mâle (apex, vue distale)

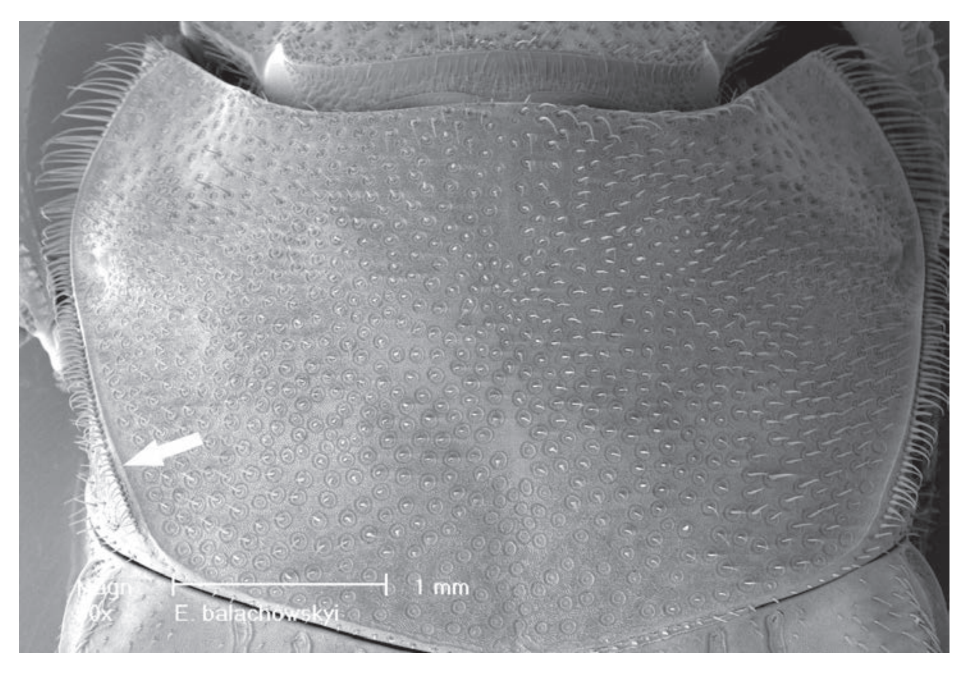


Fig. 63. *E. balachowsky*, pronotum (vue dorsale)

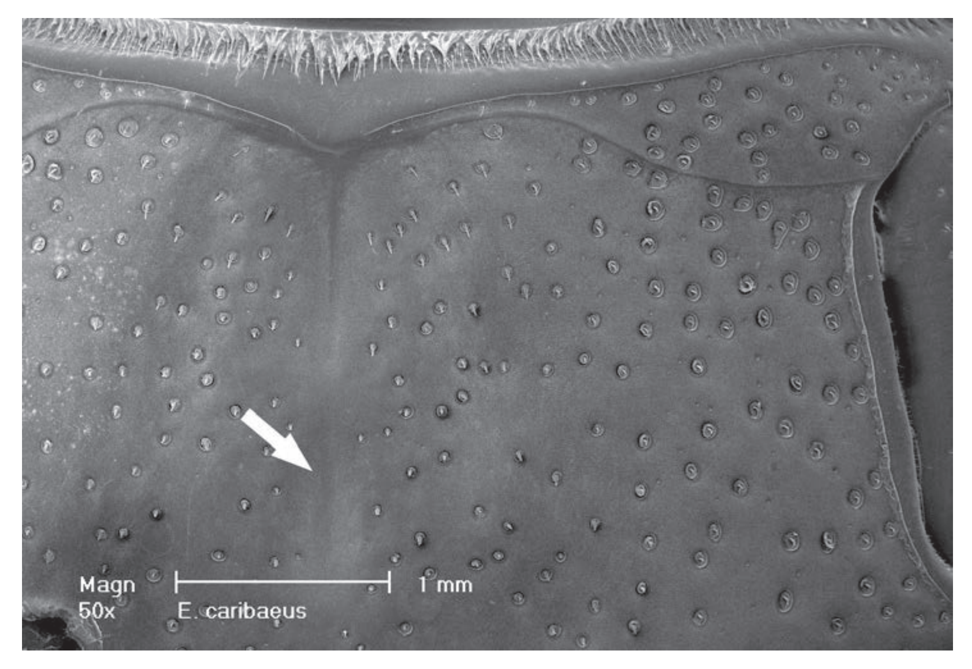


Fig. 64. *E. caribaeus*, métasternum (détail, vue ventrale)

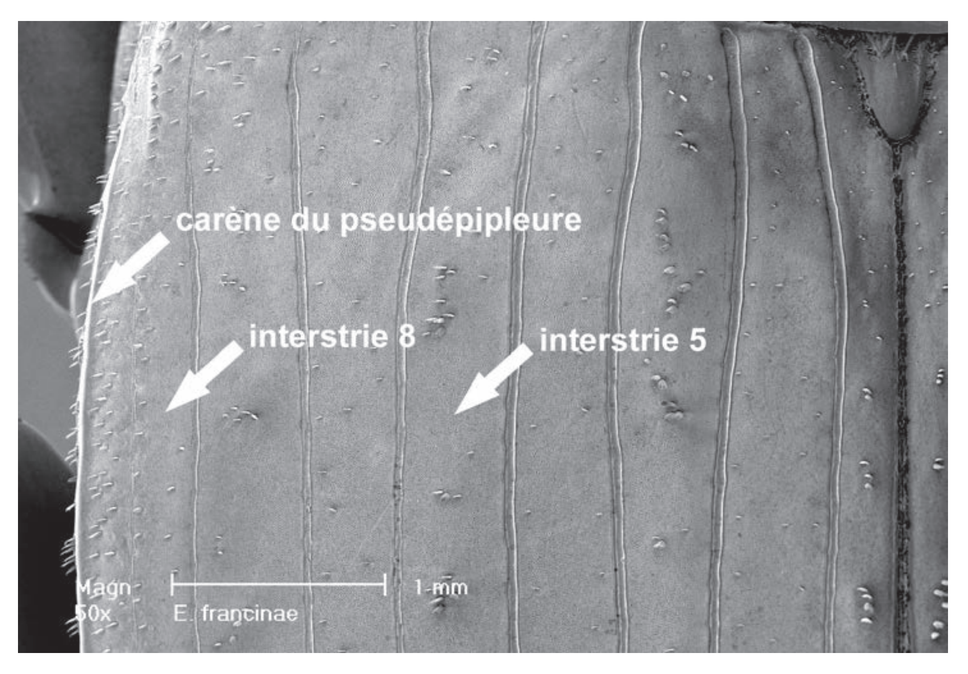


Fig. 65. *E. francinae*, élytre (base, vue dorsale)

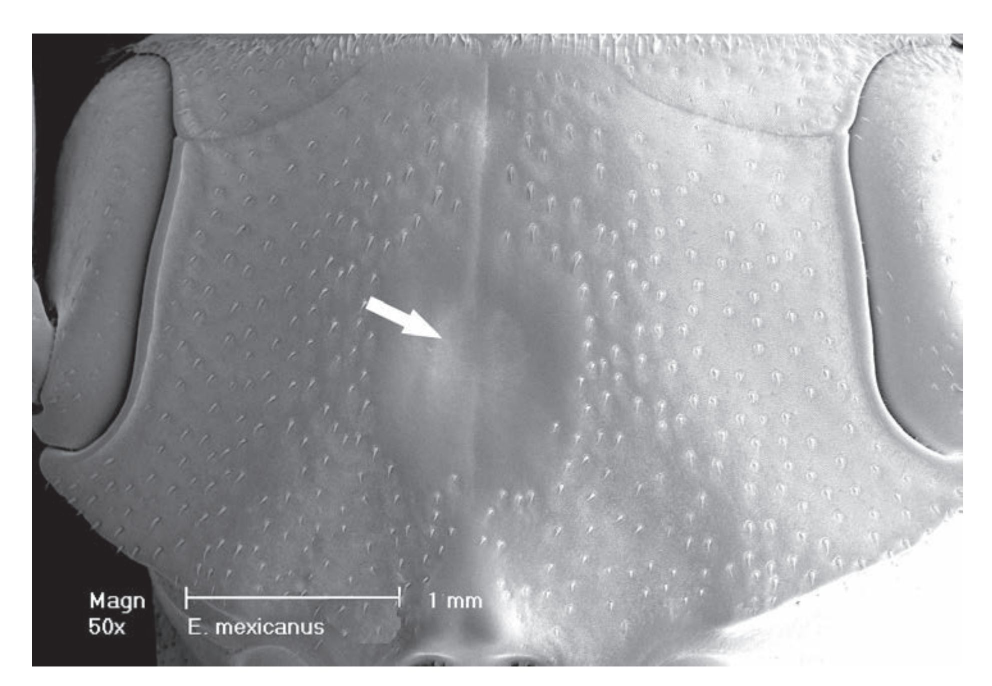


Fig. 66. *E. mexicanus*, métasternum (détail, vue ventrale)

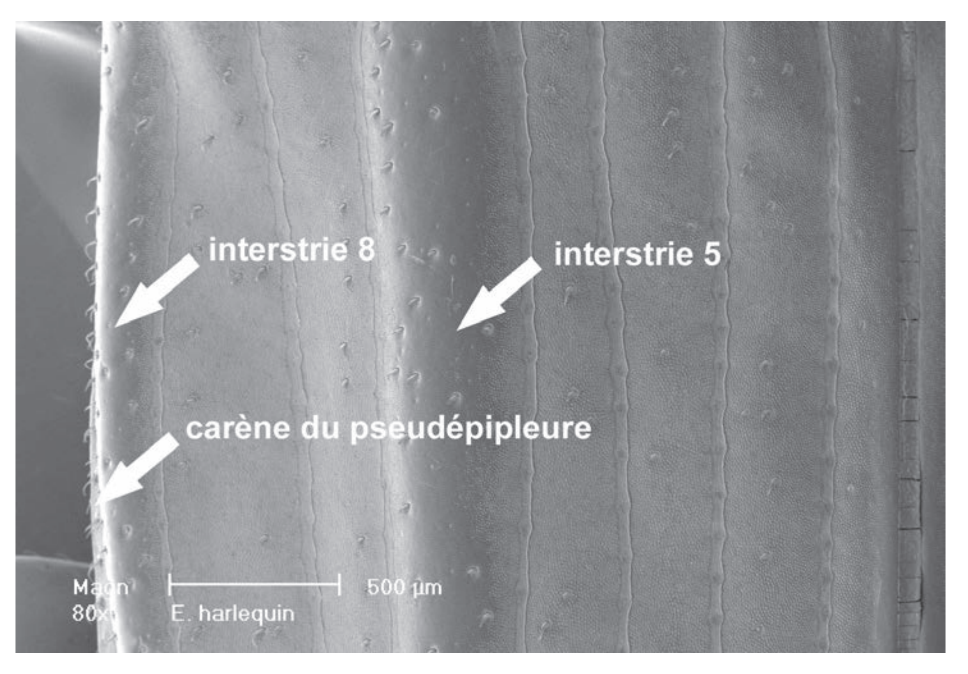


Fig. 67. *E. harlequin*, élytre (disque, vue dorsale)

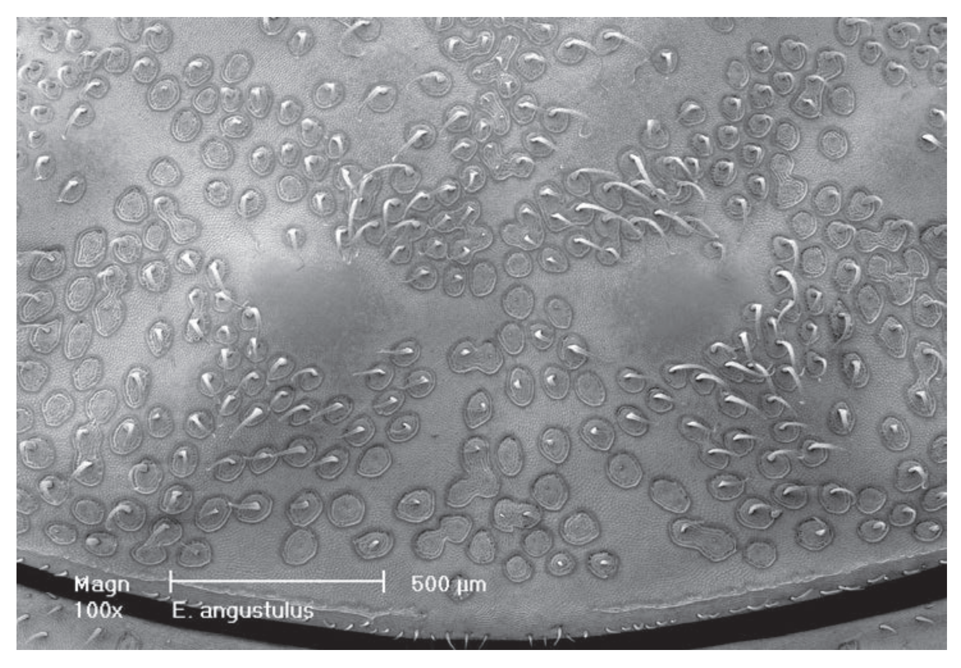


Fig. 68. *E. angustulus*, pronotum (base, vue dorsale)

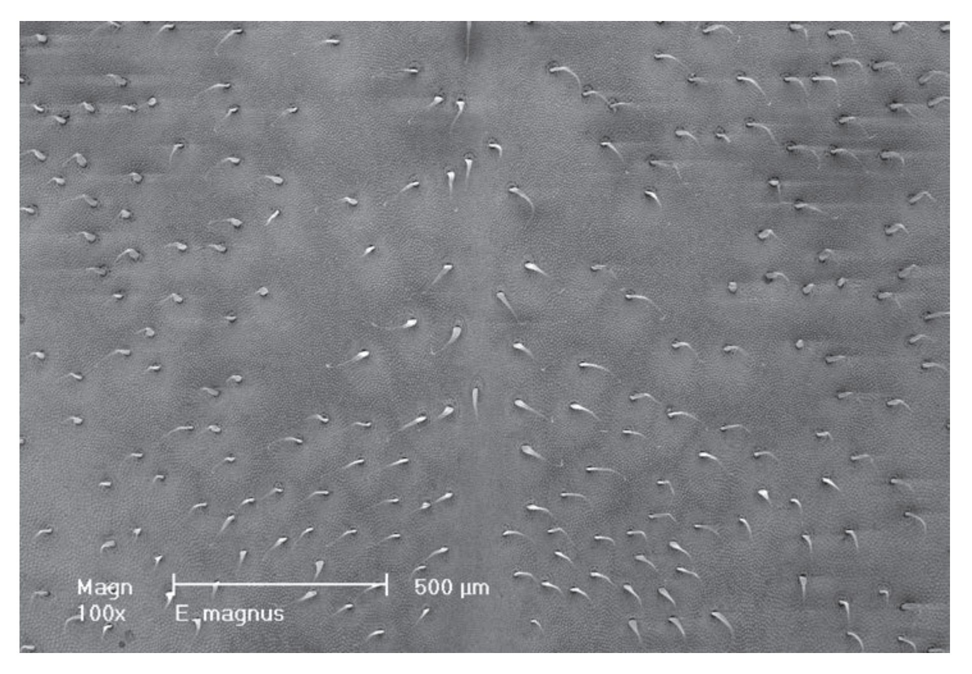


Fig. 69. *E. magnus*, pronotum (disque, vue dorsale)

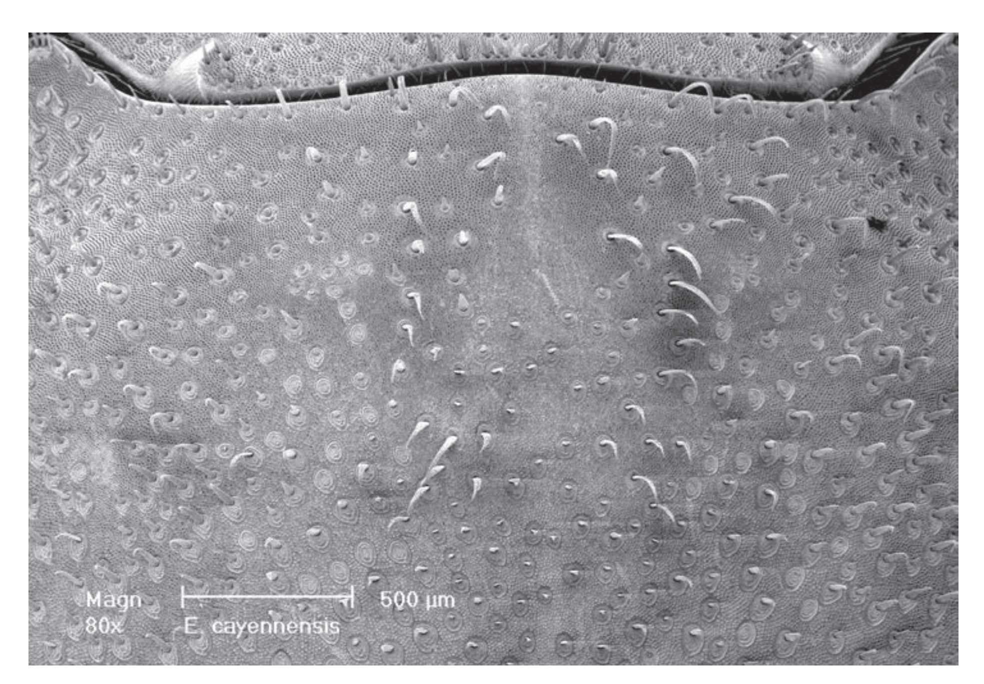


Fig. 70. *E. cayennensis*, pronotum (disque, vue dorsale)

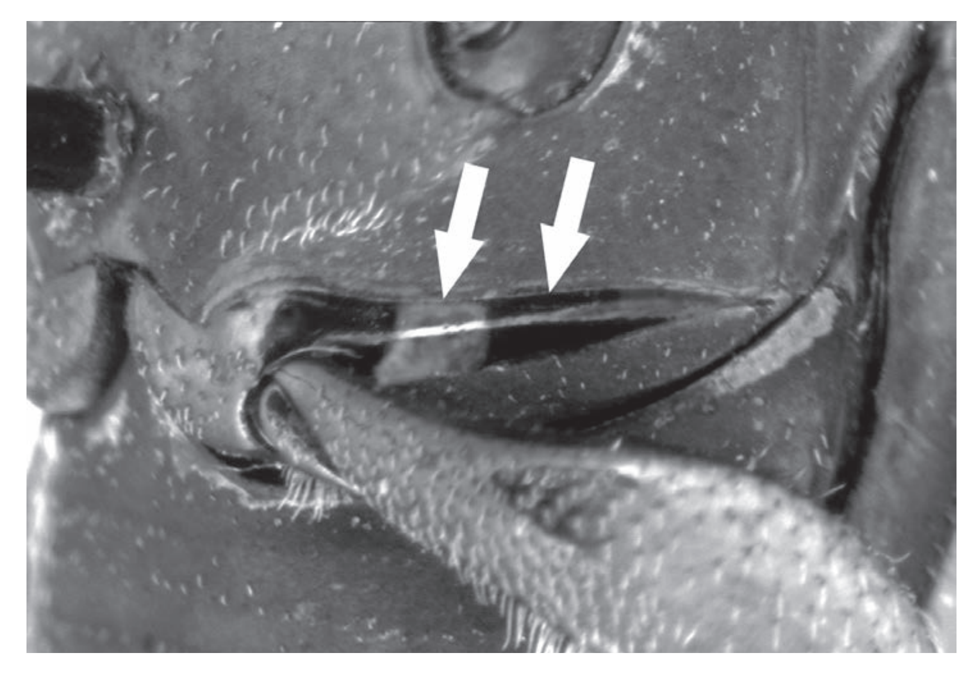


Fig. 71. *E. vastiorum*, hanche postérieure (vue ventrale)

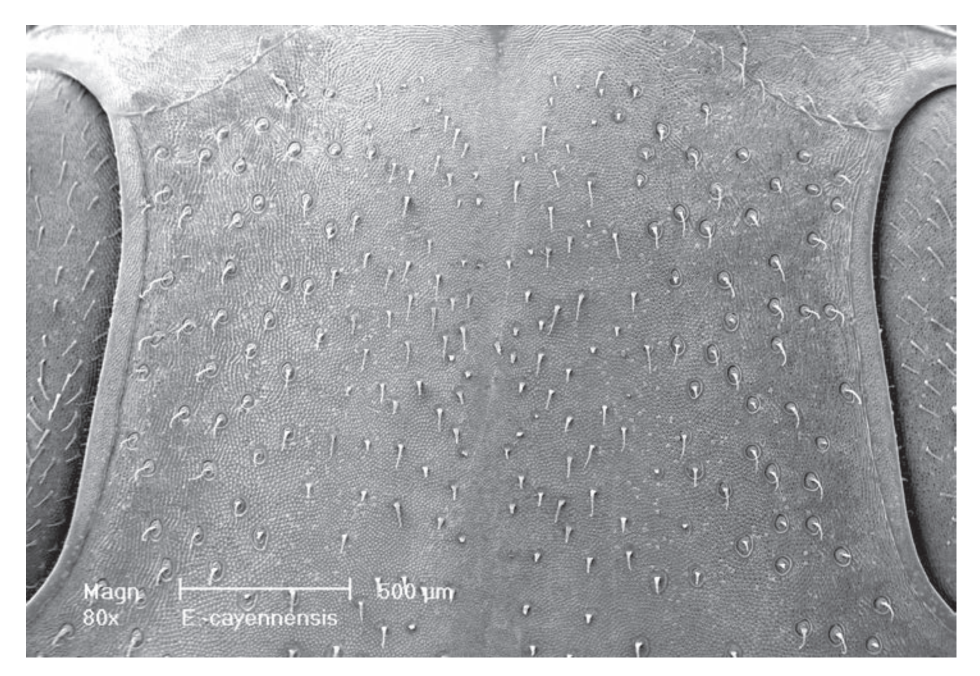


Fig. 72. *E. cayennensis*, métasternum (détail, vue ventrale)

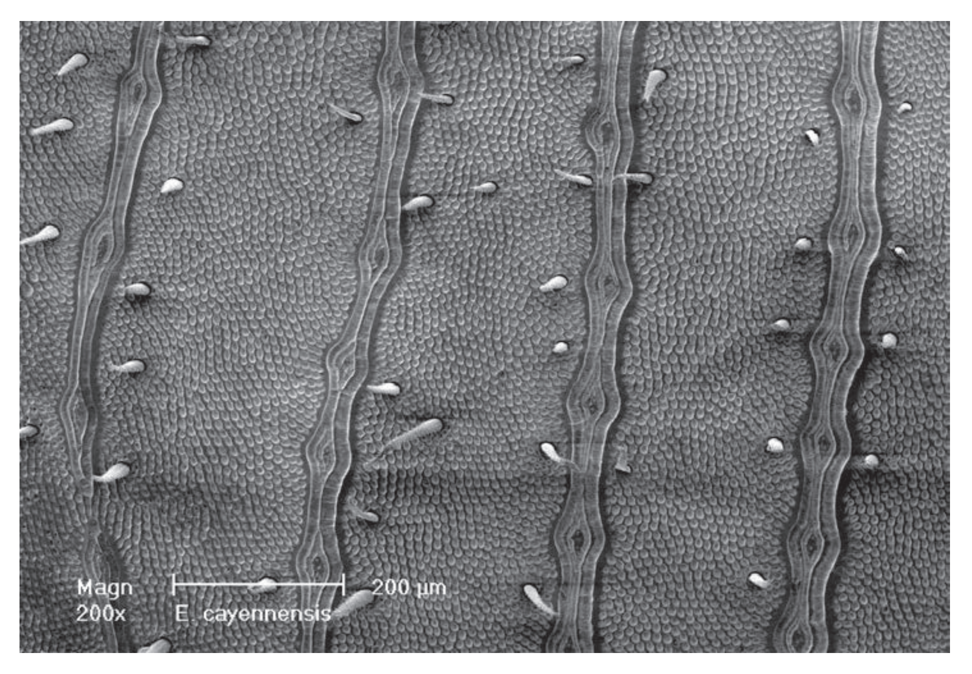


Fig. 73. *E. cayennensis*, élytre (détail, vue dorsale)

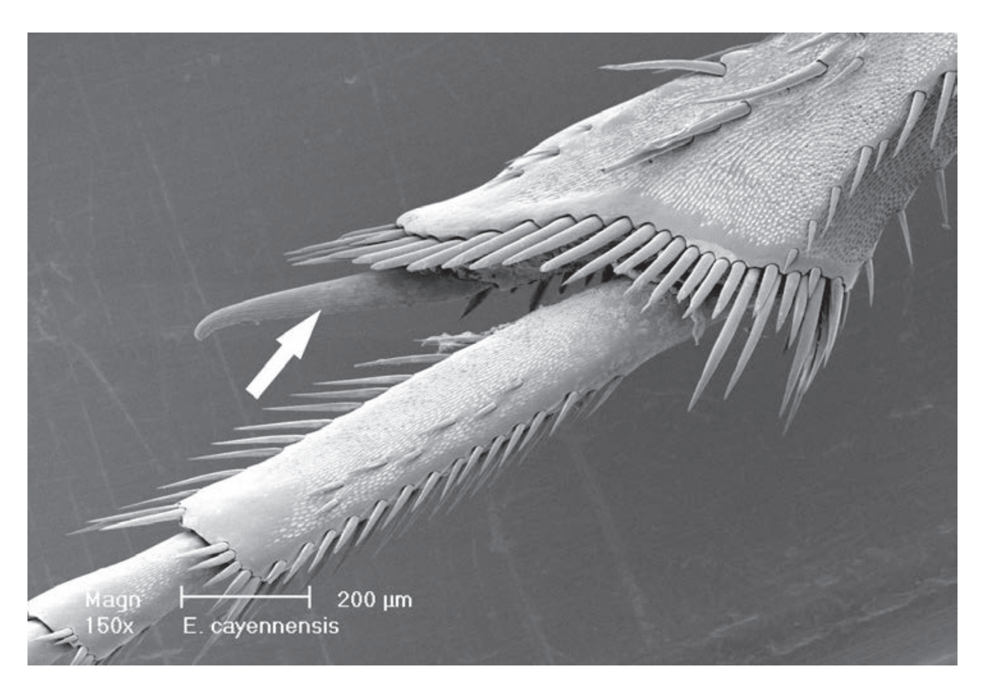


Fig. 74. *E. cayennensis*, tibia postérieur (apex, vue ventrale)

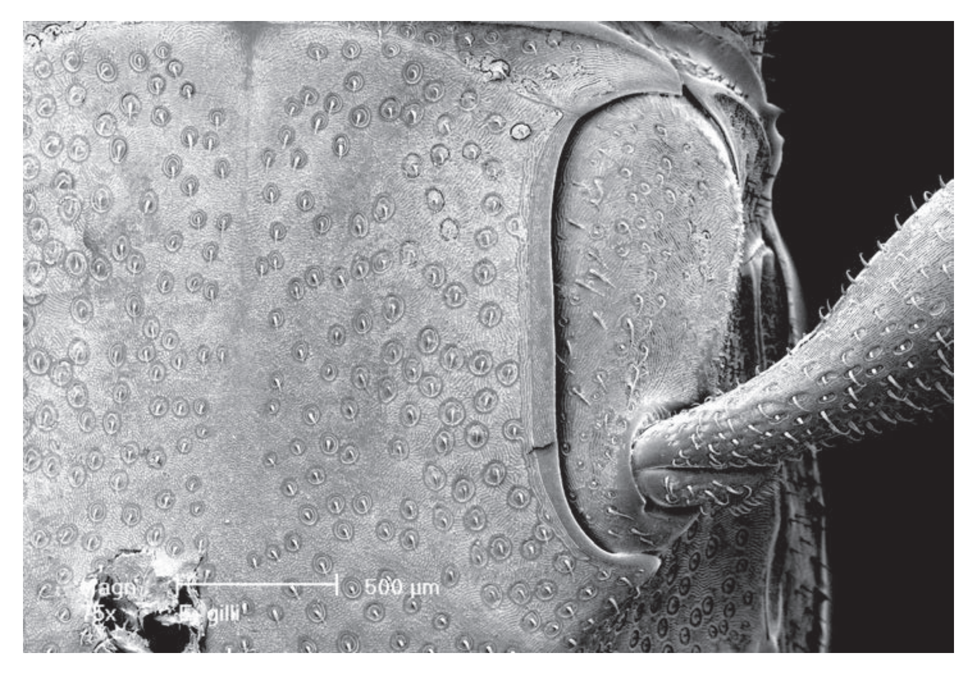


Fig. 75. *E. gilli*, métasternum (détail, vue ventrale)

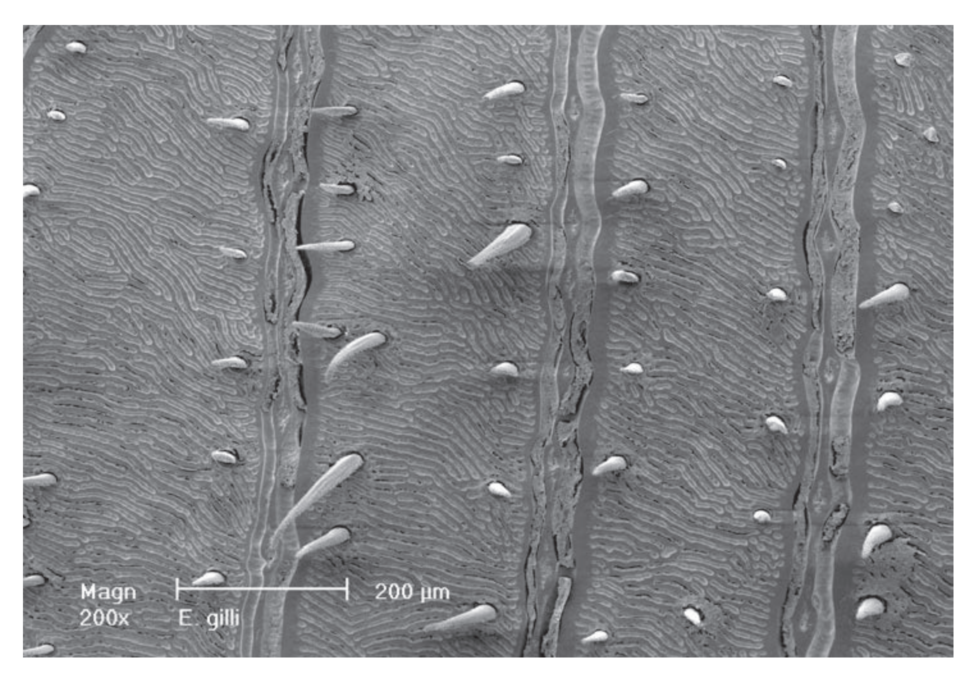


Fig. 76. *E. gilli*, élytre (détail, vue dorsale)

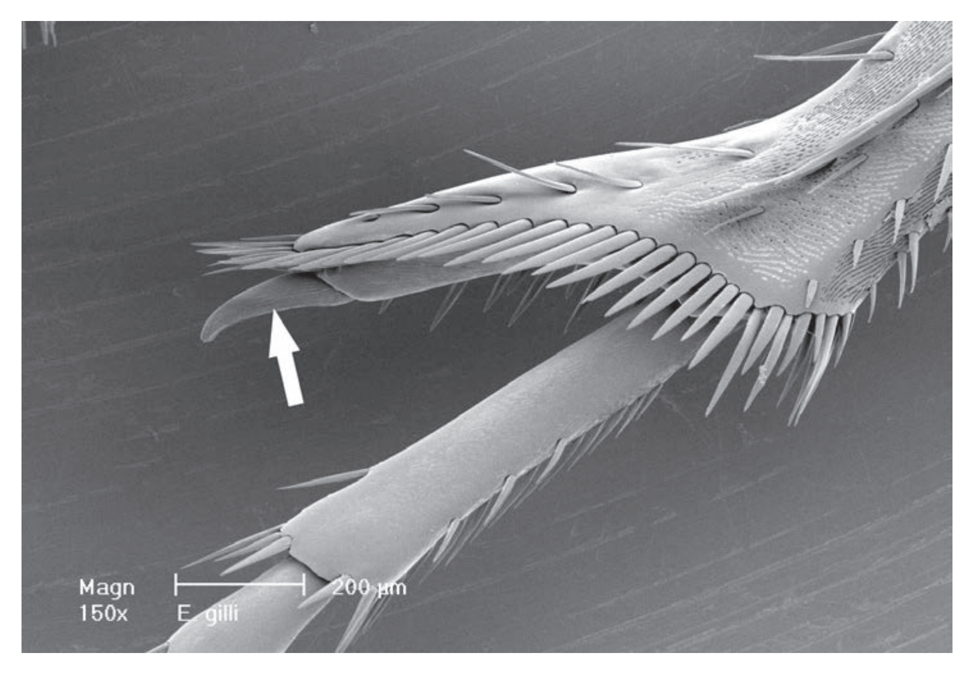


Fig. 77. *E. gilli*, tibia postérieur (apex, vue ventrale)

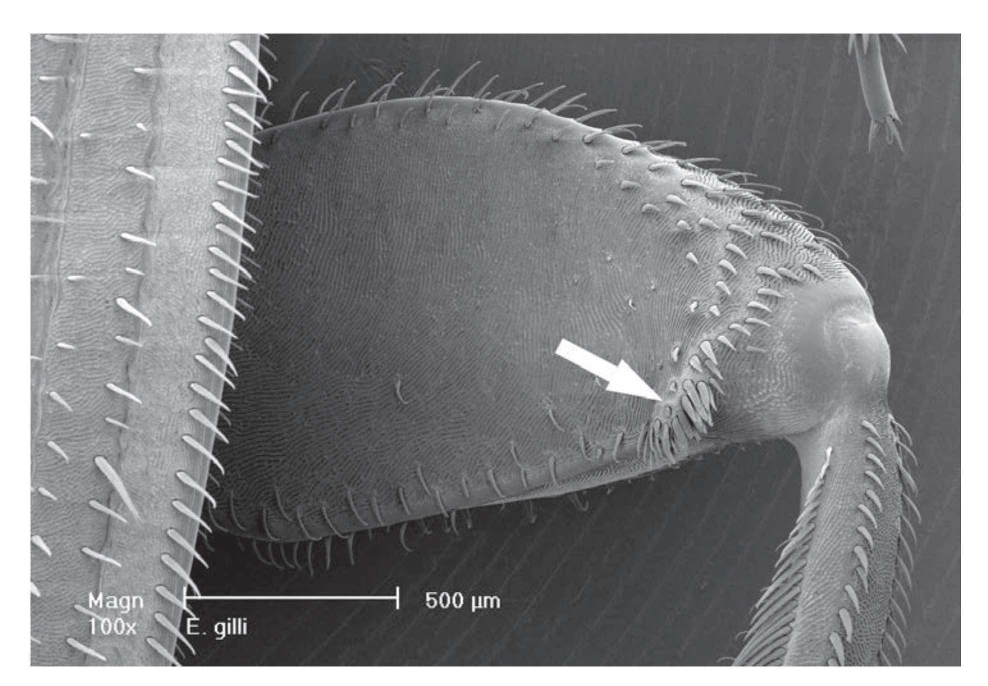


Fig. 78. *E. gilli*, fémur postérieur (apex, vue dorsale)

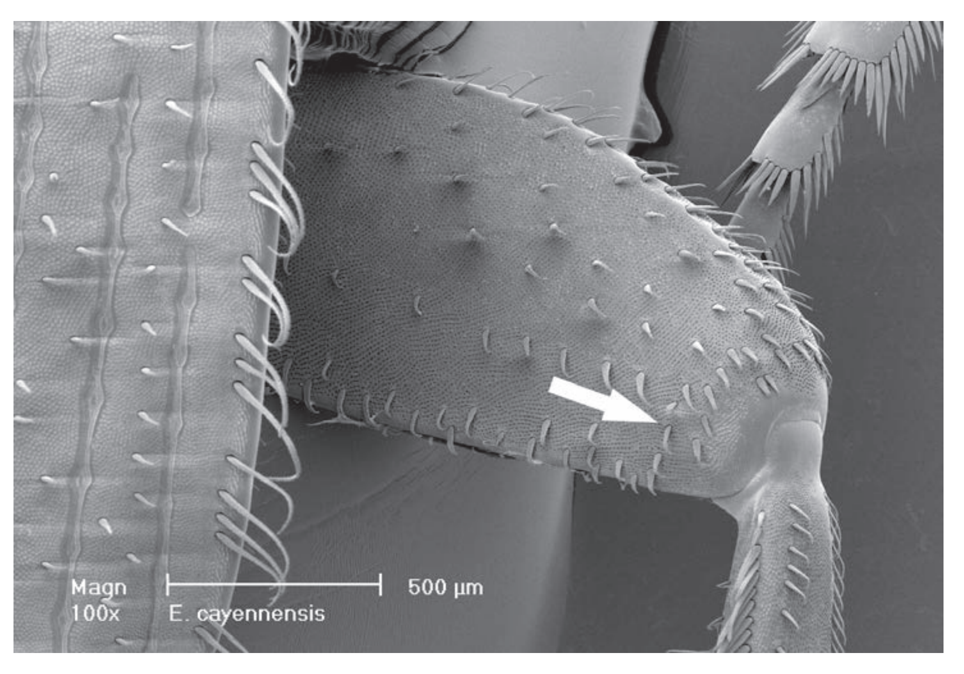


Fig. 79. *E. cayennensis*, fémur postérieur (apex, vue dorsale)

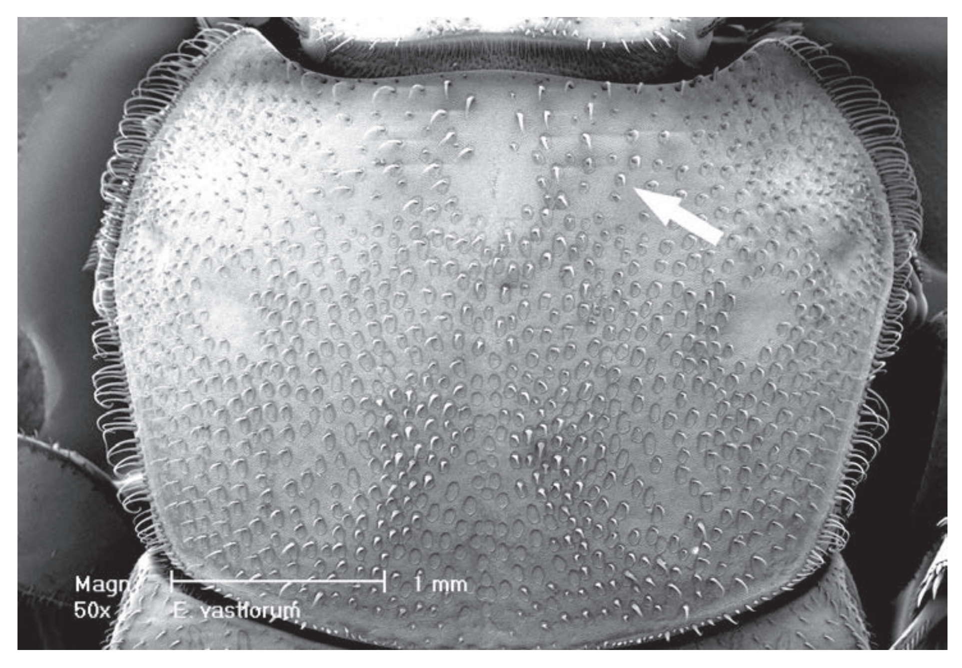


Fig. 80. *E. vastiorum*, pronotum (vue dorsale)

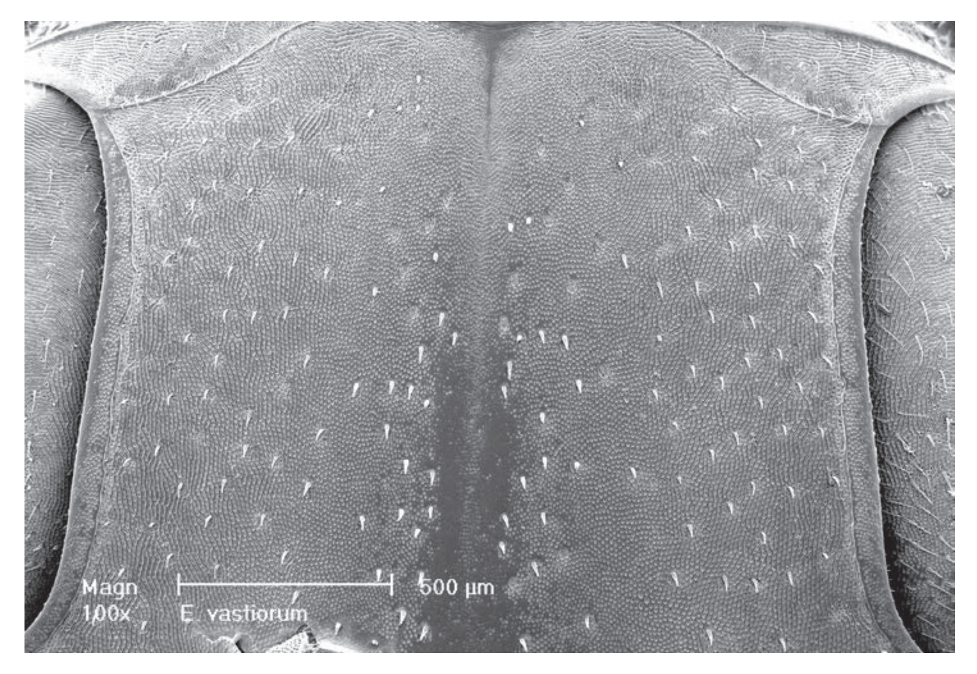


Fig. 81. *E. vastiorum*, métasternum (détail, vue ventrale)

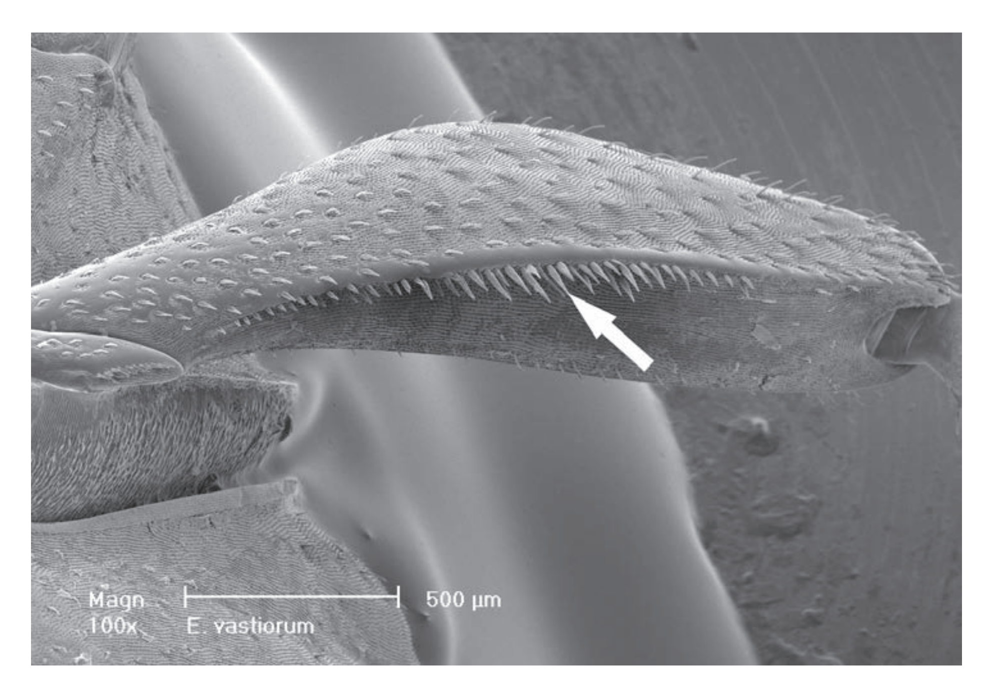


Fig. 82. *E. vastiorum*, fémur postérieur mâle (vue postérieure)

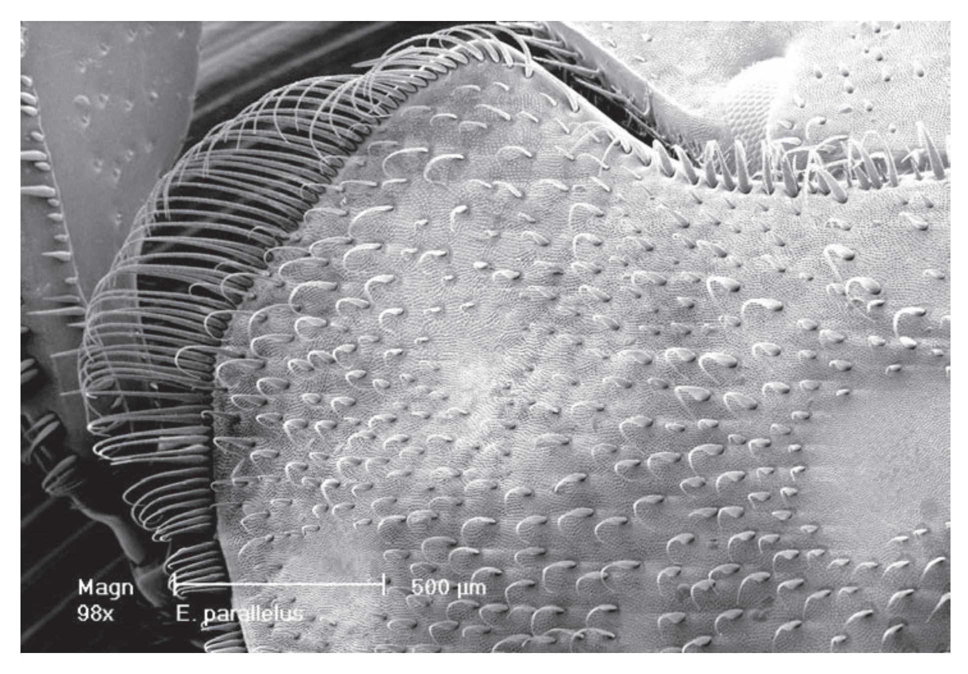


Fig. 83. *E. parallelus*, pronotum (angle antérieur, vue dorsale)

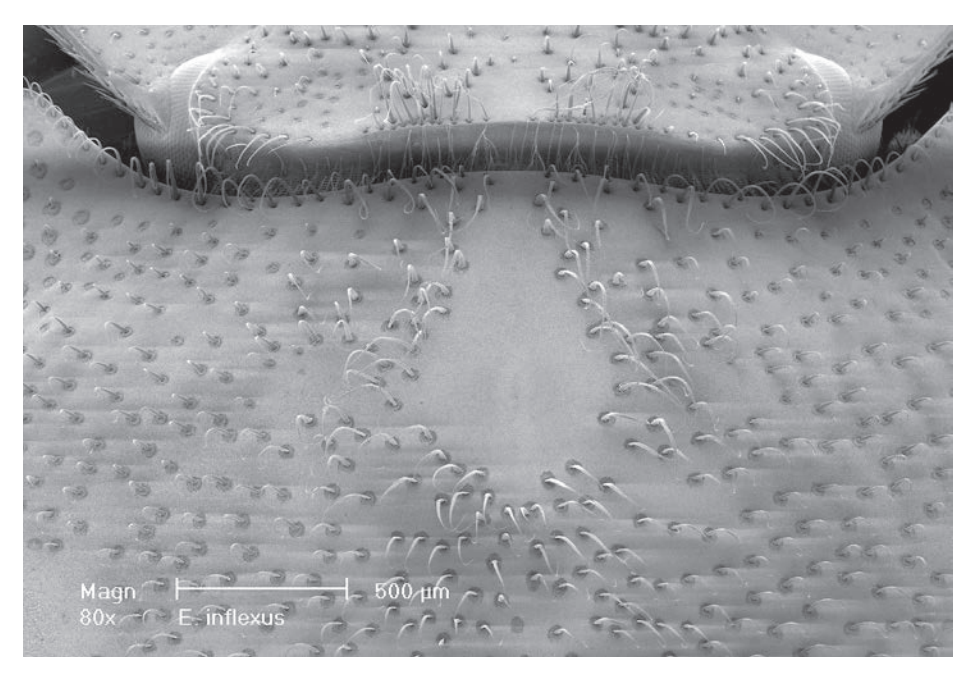


Fig. 84. *E. inflexus*, pronotum (détail, vue dorsale)

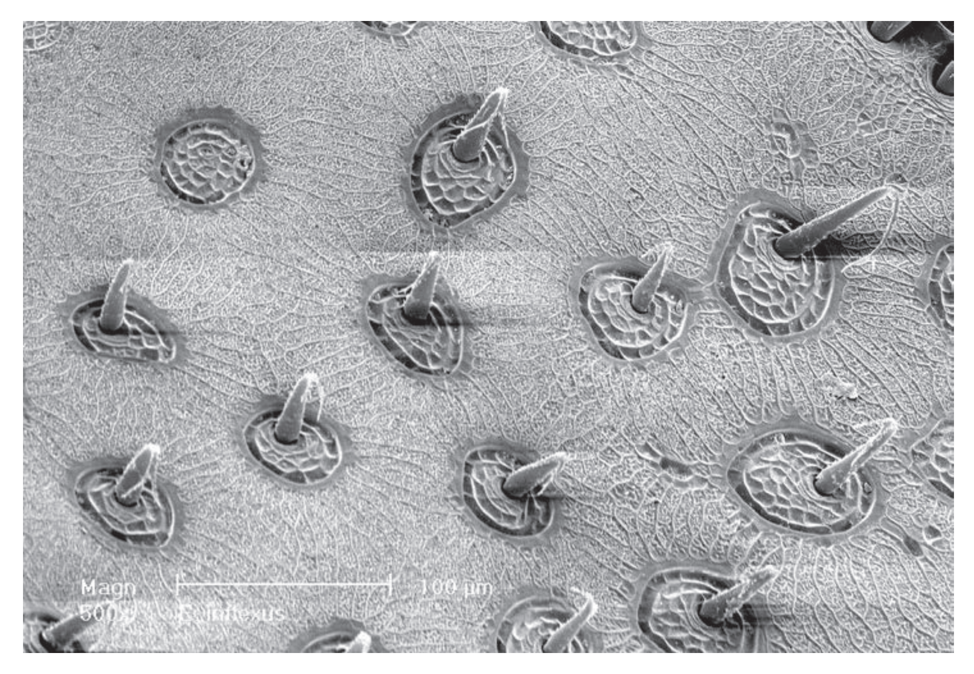


Fig. 85. *E. inflexus*, pronotum (ponctuation, vue dorsale)

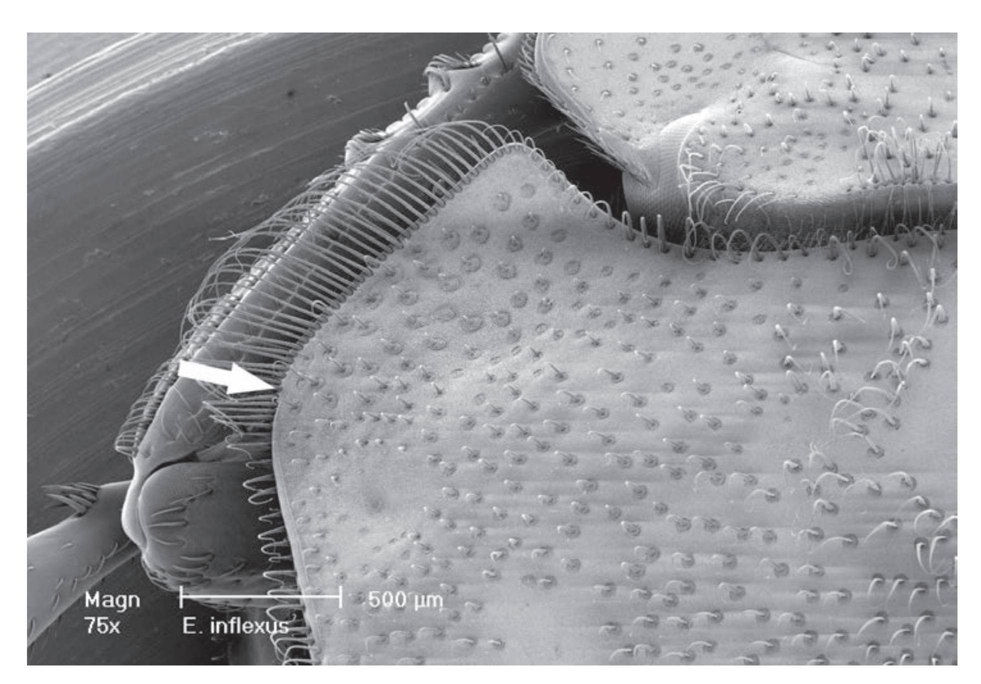


Fig. 86. *E. inflexus*, pronotum (angle antérieur, vue dorsale)

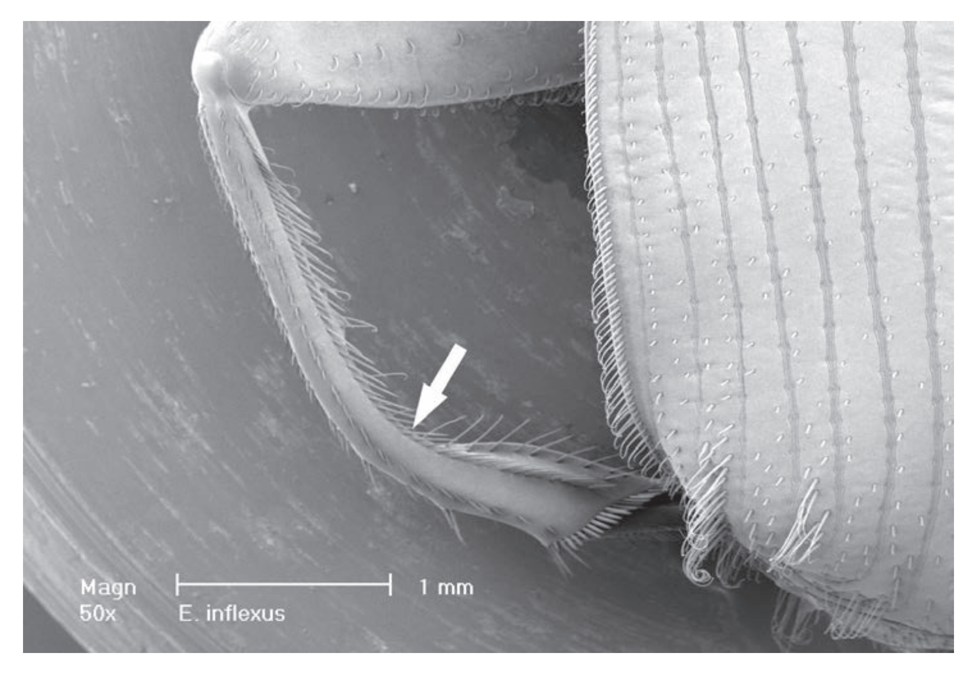


Fig. 87. *E. inflexus*, tibia postérieur mâle (vue dorsale)

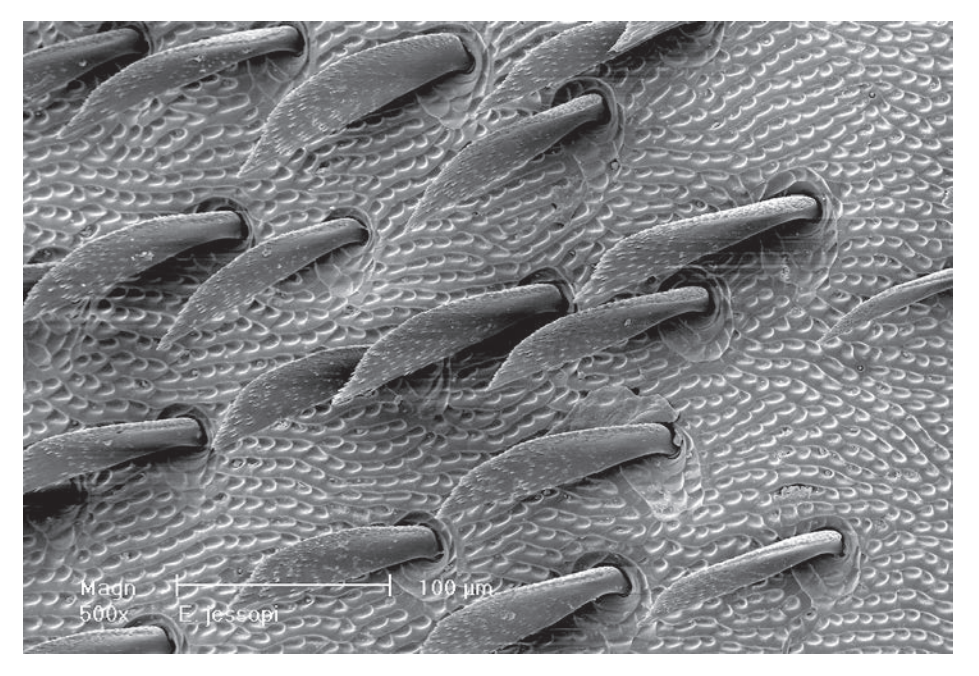


Fig. 88. *E. jessopi*, pronotum (détail, vue dorsale)

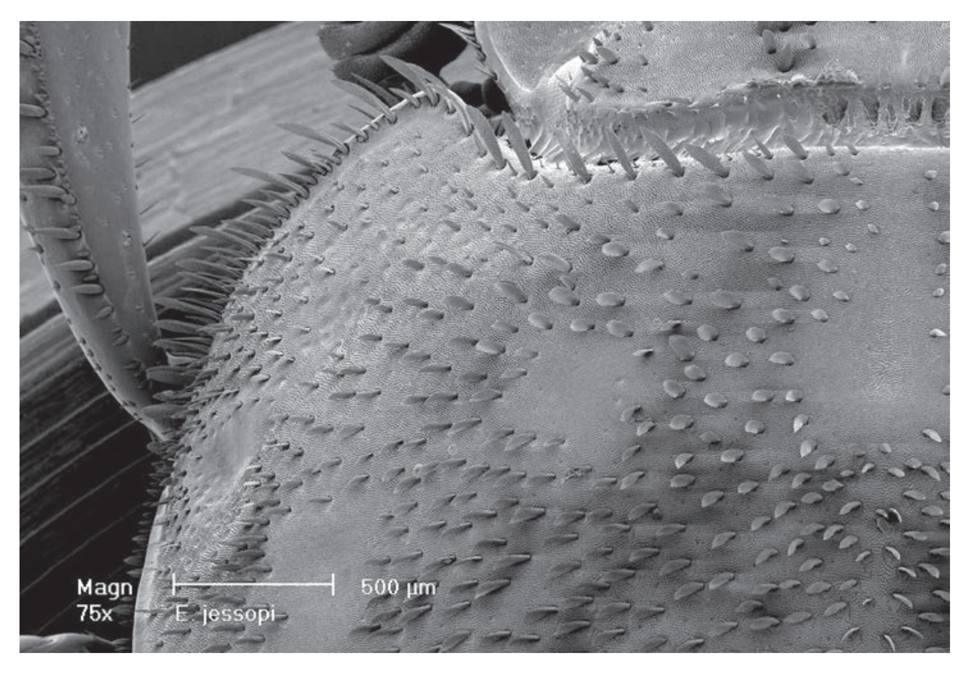


Fig. 89. *E. jessopi*, pronotum (angle antérieur, vue dorsale)

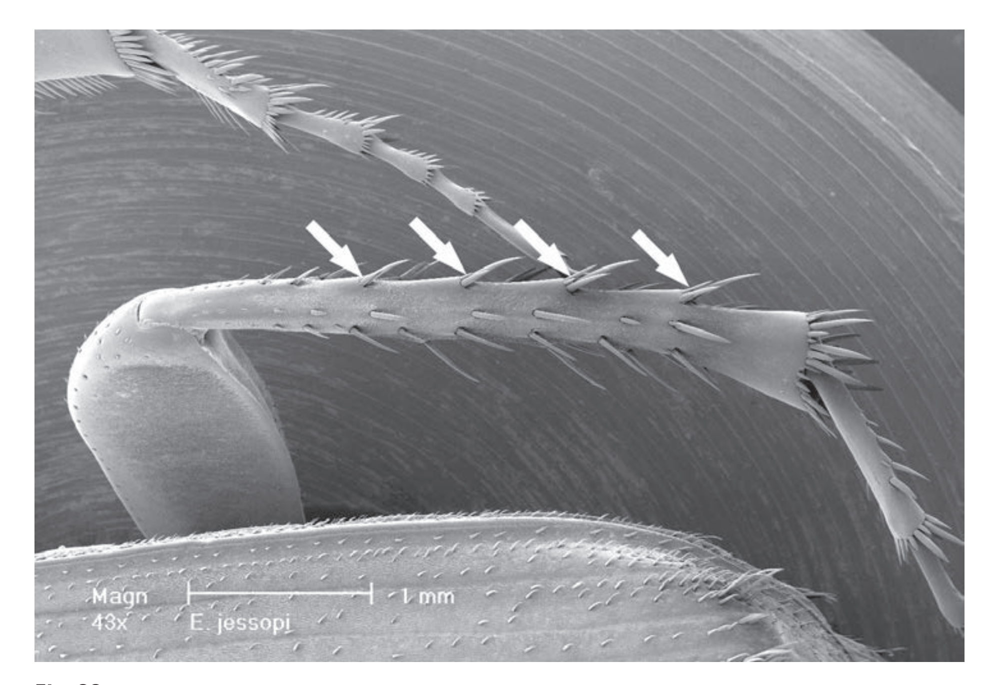


Fig. 90. *E. jessopi*, tibia postérieur (vue dorsale)

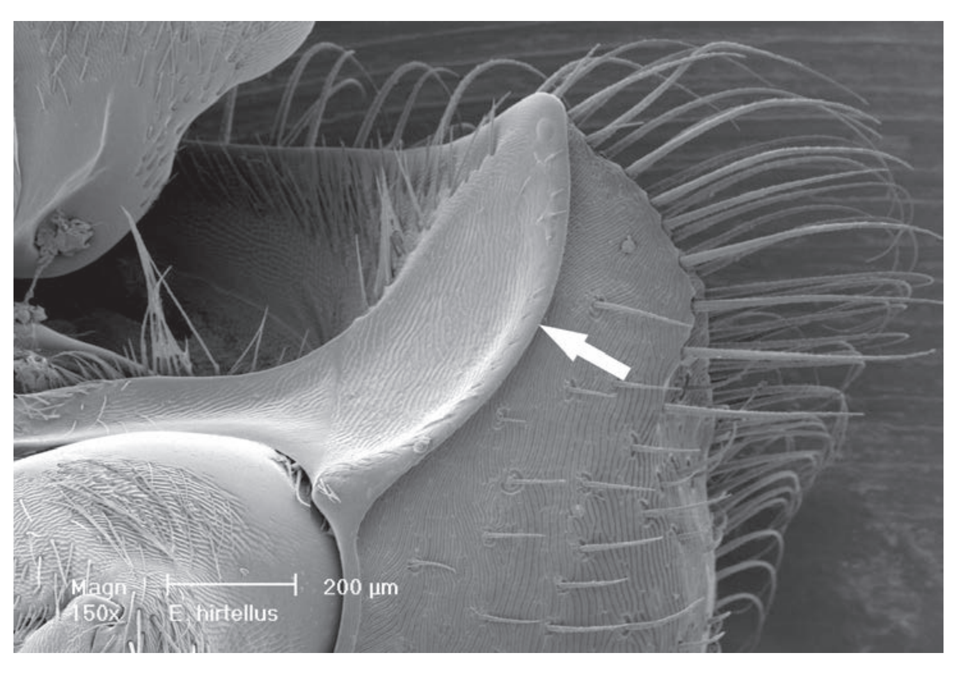


Fig. 91. *E. hirtellus*, proépisternum (vue ventrale)

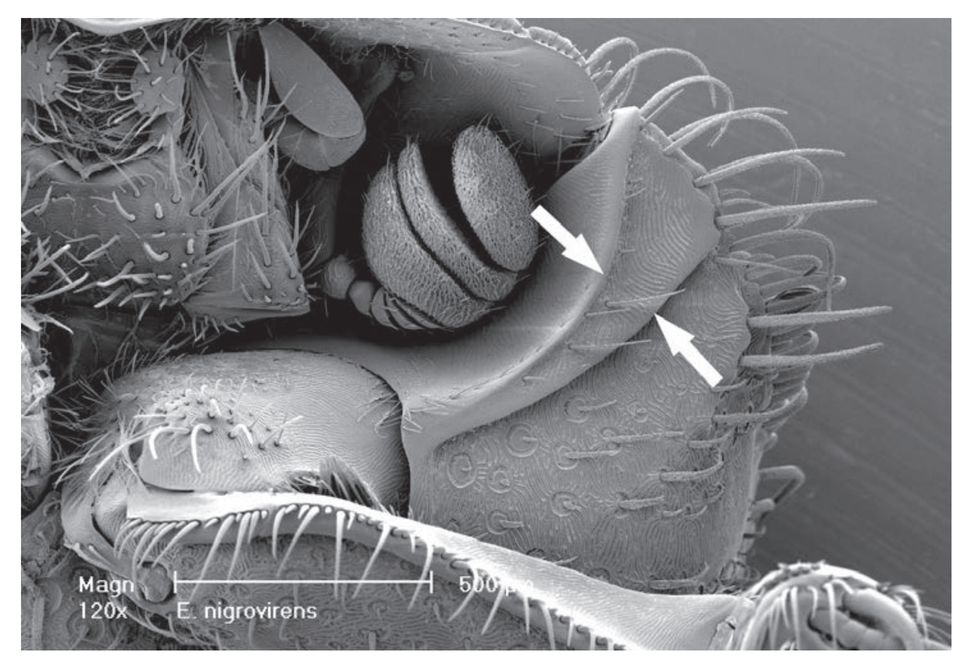


Fig. 92. *E. nigrovirens*, proépisternum (vue ventrale)

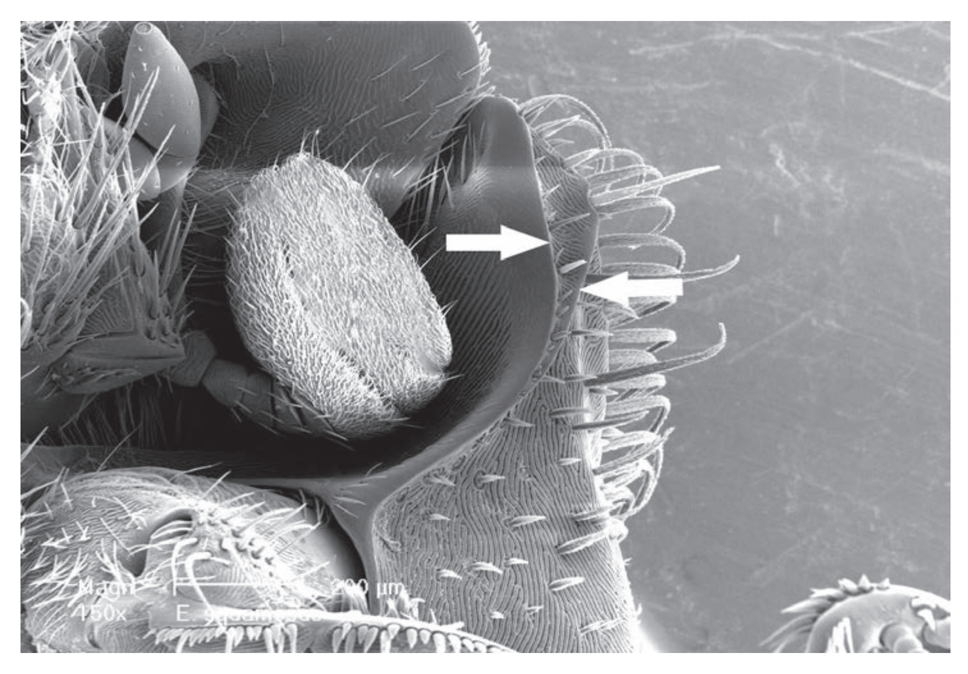


Fig. 93. *E. squamosus*, proépisternum (vue ventrale)

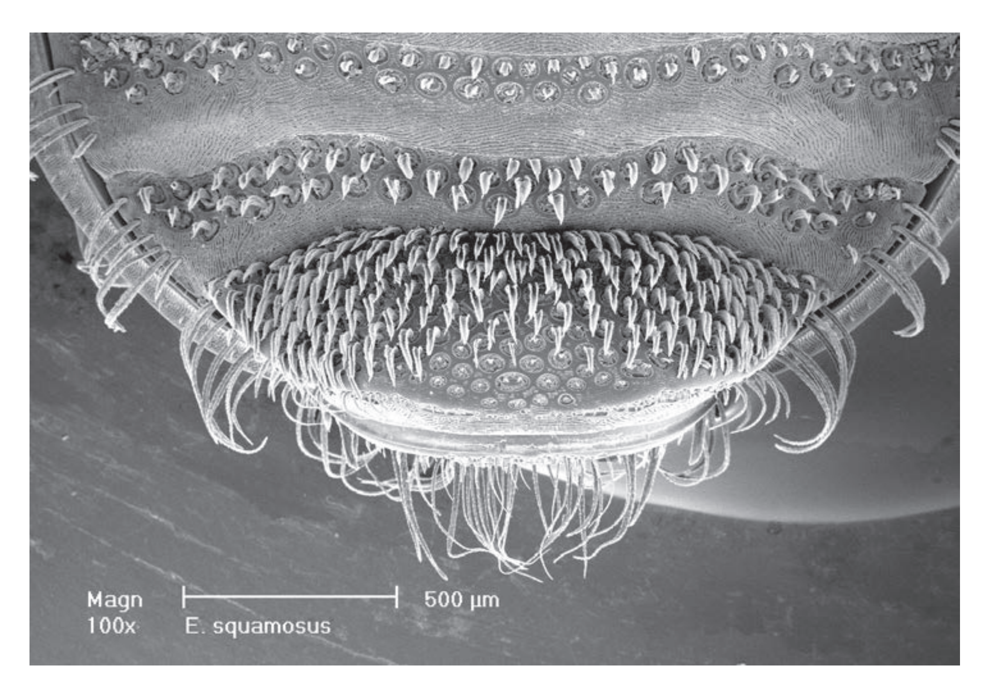


Fig. 94. *E. squamosus*, abdomen (vue ventrale)

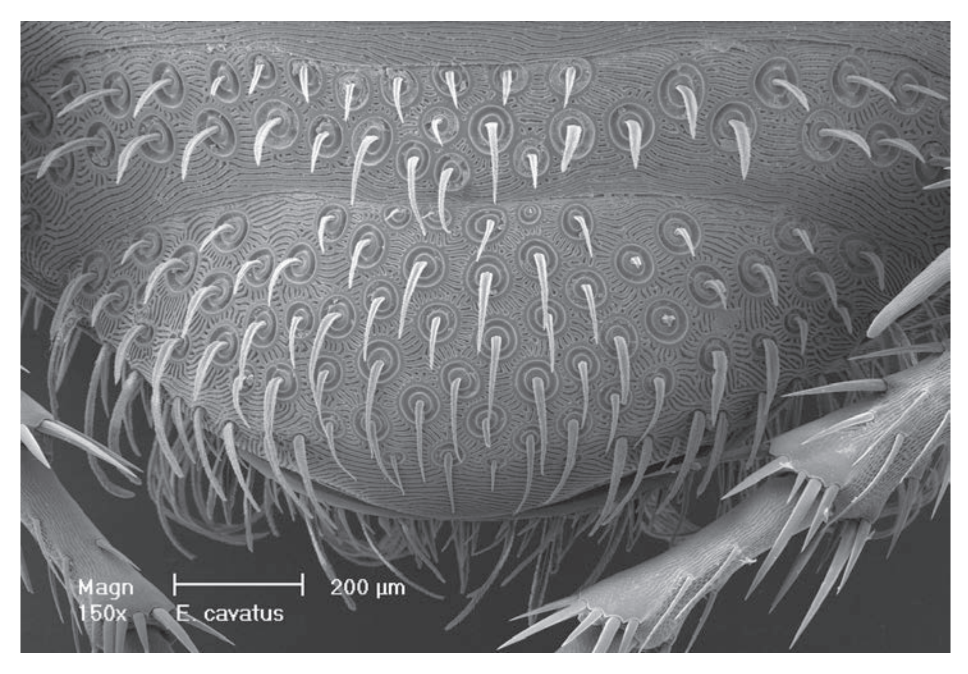


Fig. 95. *E. cavatus*, abdomen (vue ventrale)

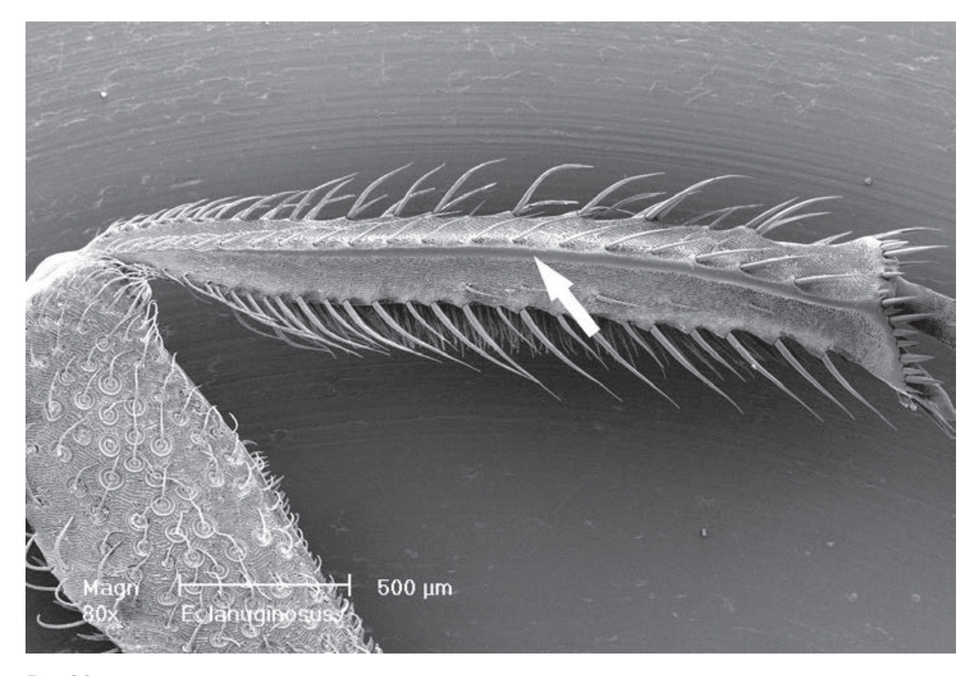


Fig. 96. *E. lanuginosus*, tibia postérieur mâle (vue ventrale)

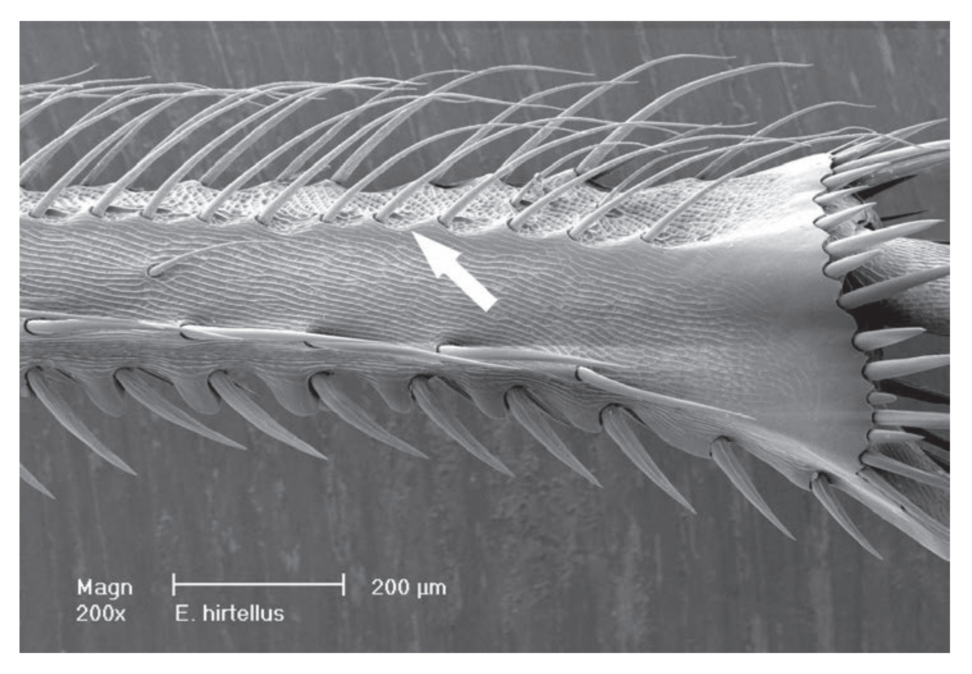


Fig. 97. *E. hirtellus*, tibia postérieur mâle (apex, vue ventrale)

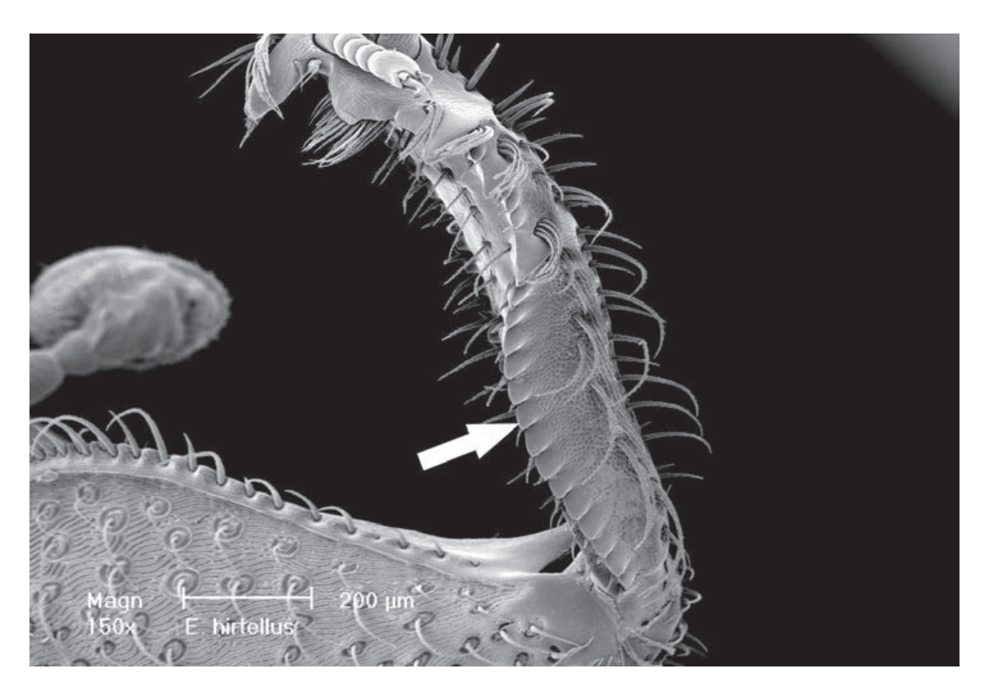


Fig. 98. *E. hirtellus*, tibia antérieur mâle (vue distale)

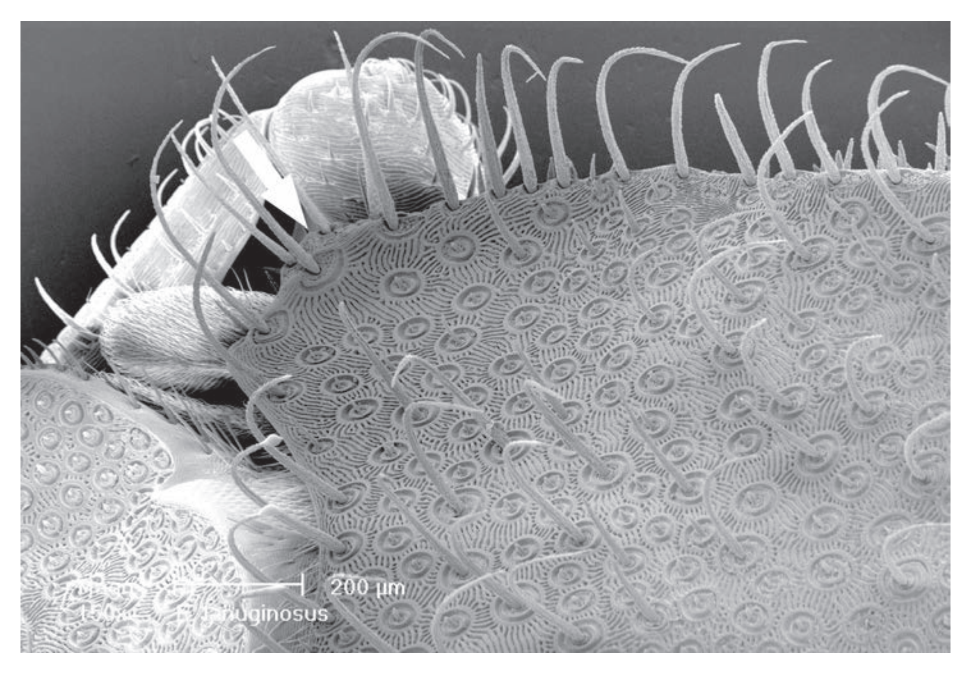


Fig. 99. *E. lanuginosus*, pronotum (angle antérieur, vue dorsale)

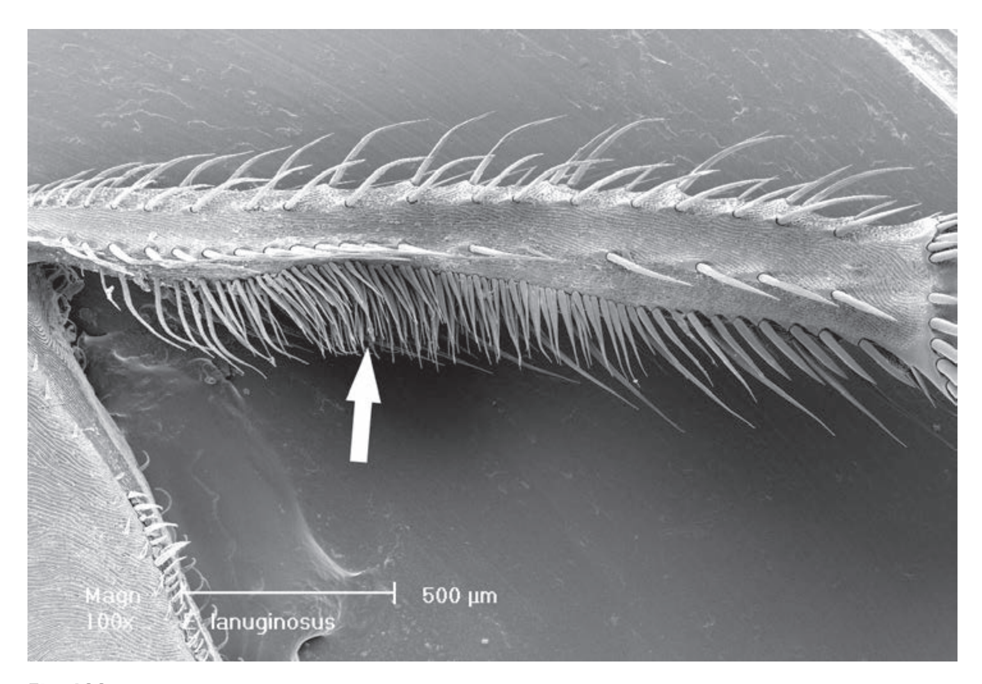


Fig. 100. *E. lanuginosus*, tibia postérieur mâle (vue dorsale)

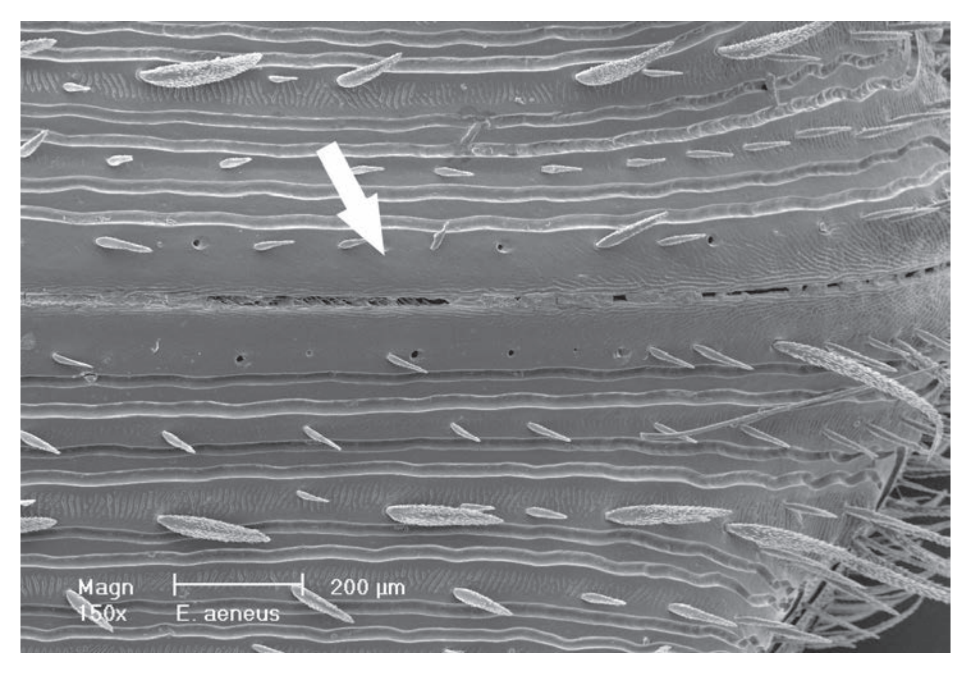


Fig. 101. *E. aeneus*, élytres (détail, vue dorsale)

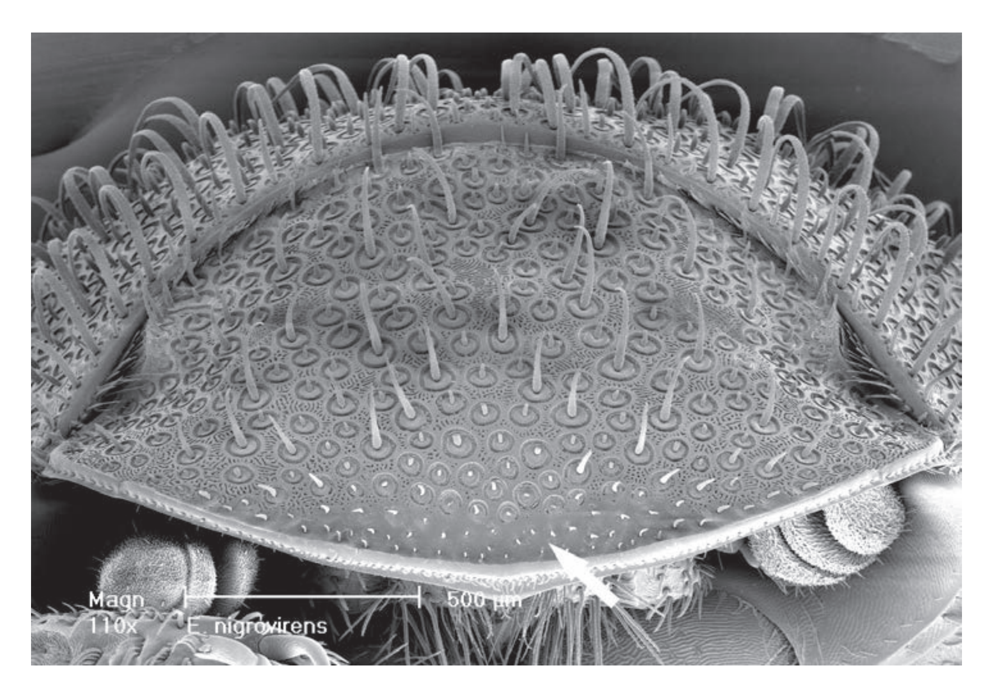


Fig. 102. *E. nigrovirens*, tête (vue distale)

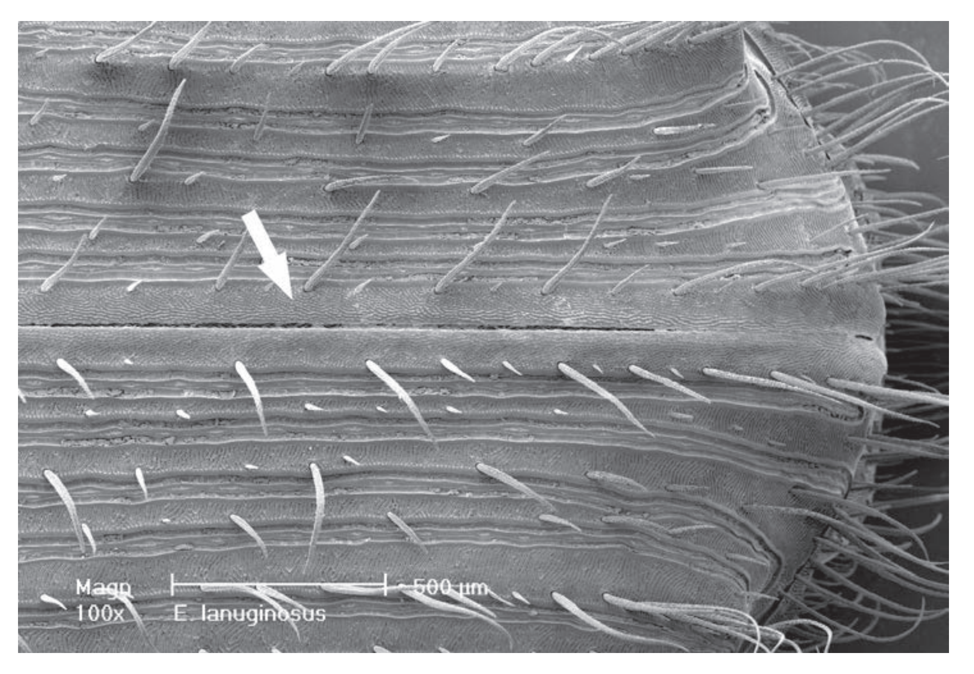


Fig. 103. *E. lanuginosus*, élytres (détail, vue dorsale)

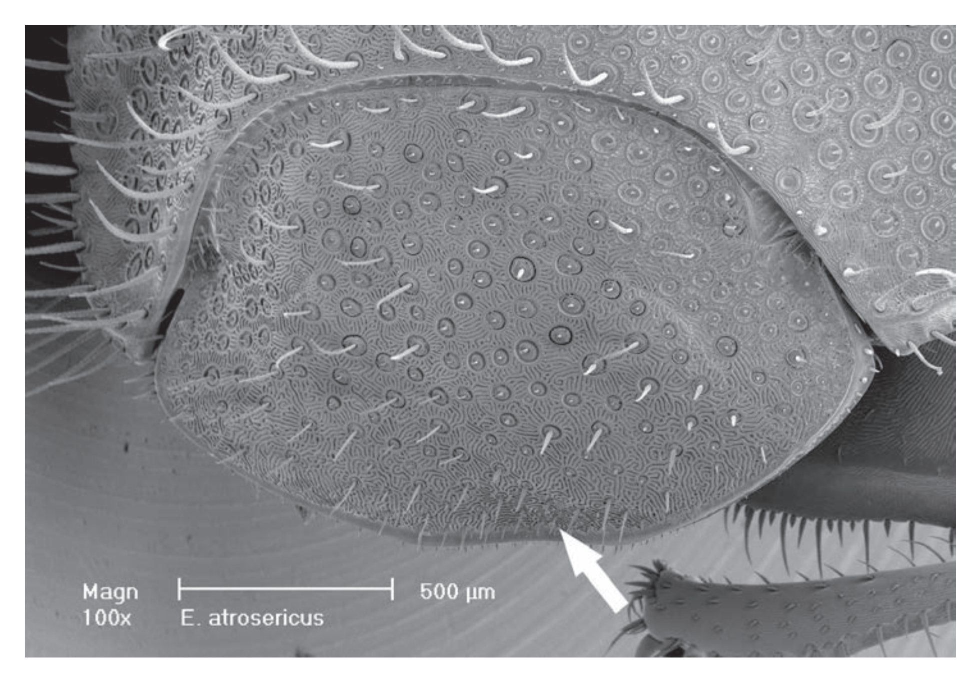


Fig. 104. *E. atrosericus*, tête (vue distale)



Fig. 105. *E. nigrovirens*, tibia postérieur mâle (vue dorsale)

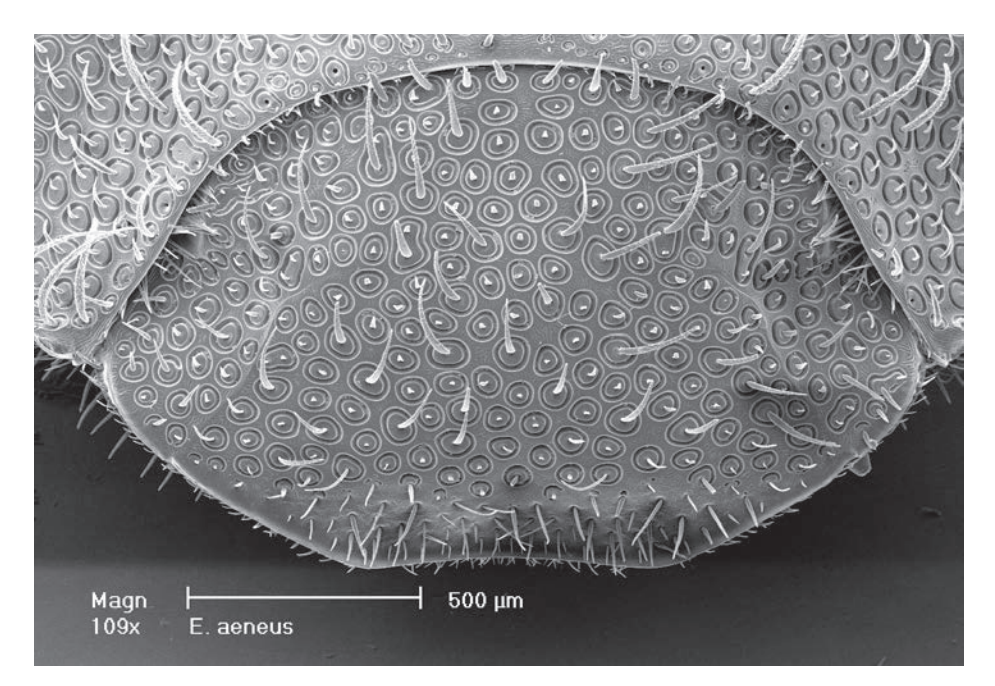


Fig. 106. *E. aeneus*, tête (vue distale)

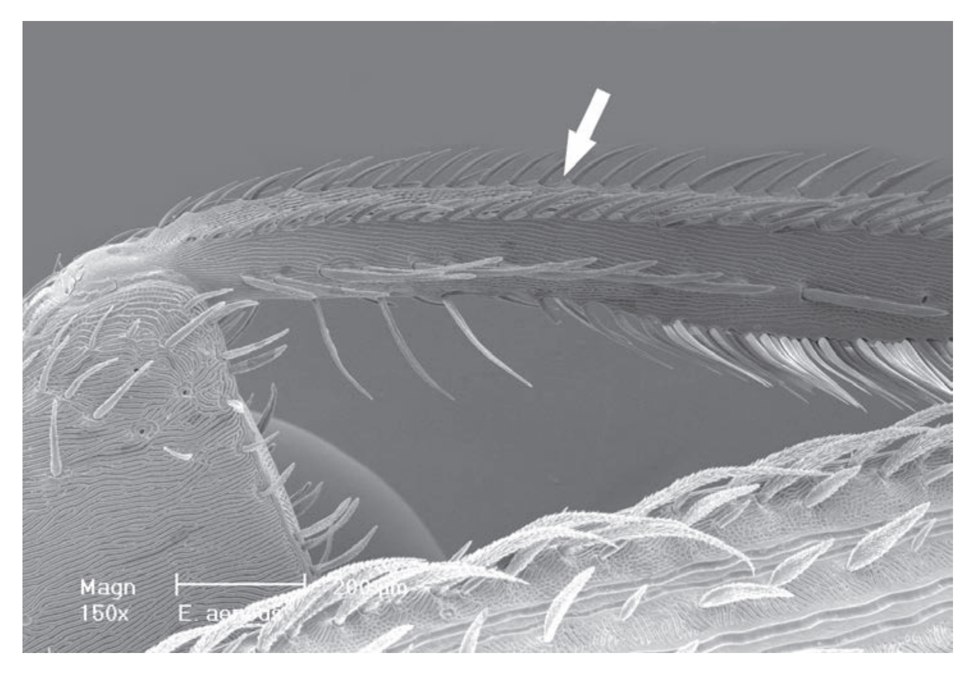


Fig. 107. *E. aeneus*, tibia postérieur (vue dorsale)

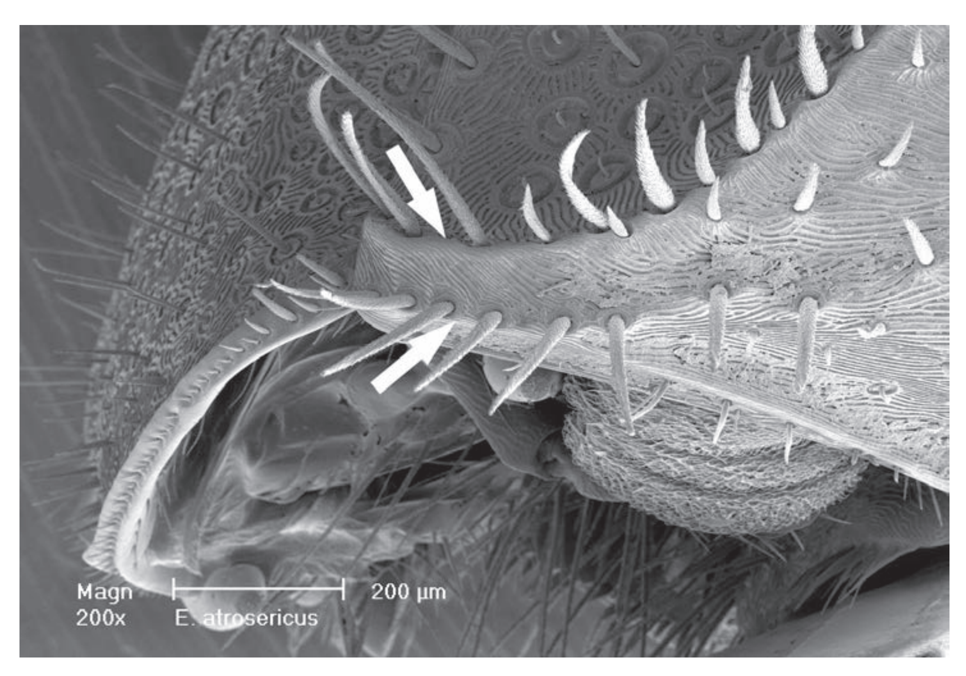


Fig. 108. *E. atrosericus*, pronotum (angle antérieur, vue latérale)

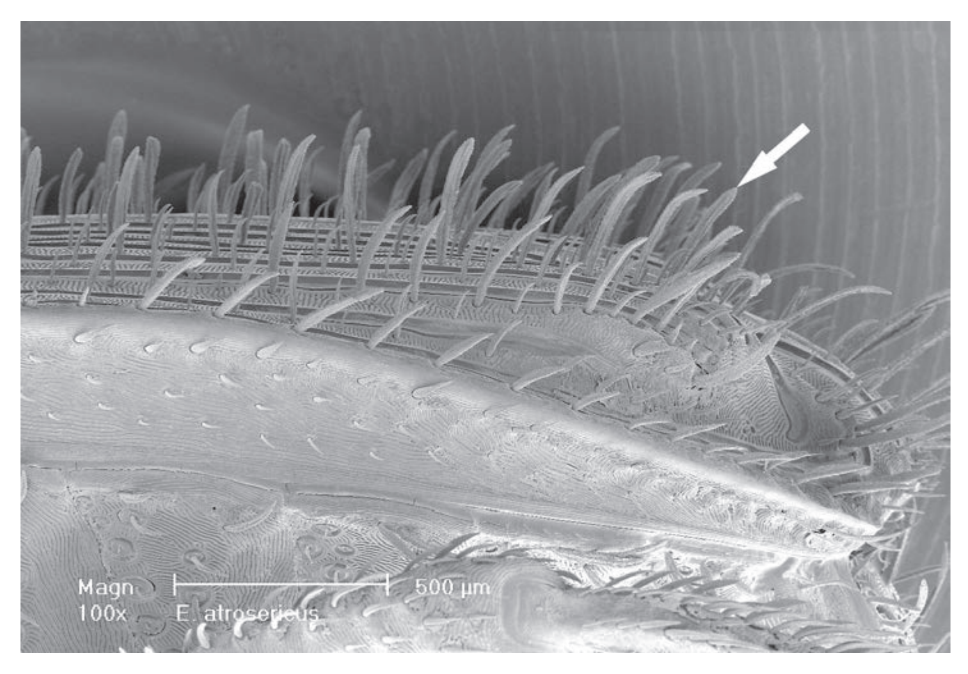


Fig. 109. *E. atrosericus*, élytre (vue latérale)

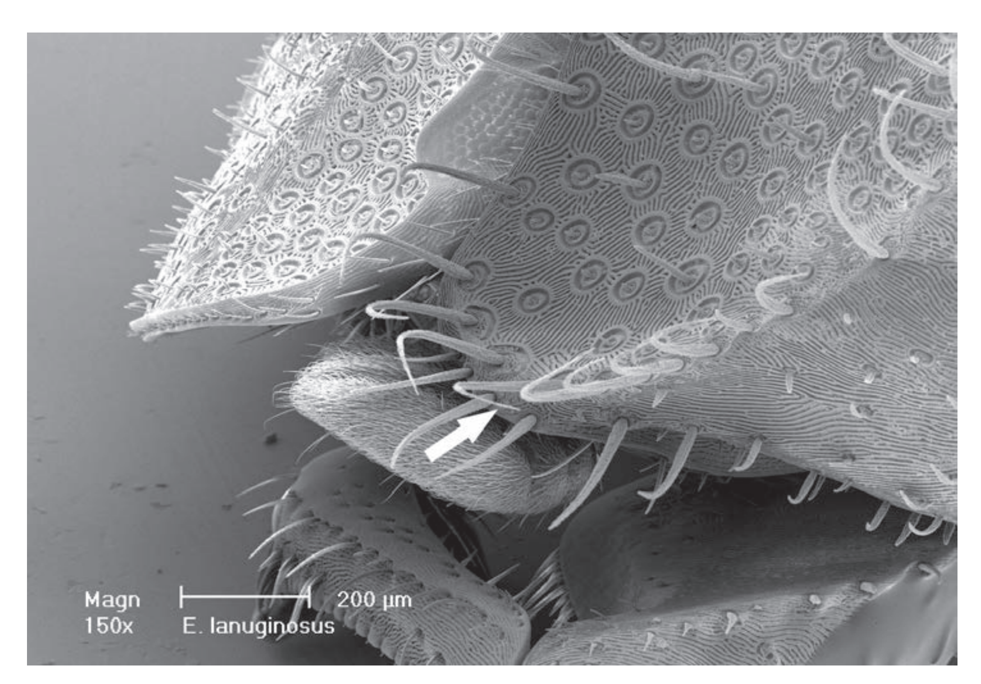


Fig. 110. *E. lanuginosus*, pronotum (angle antérieur, vue latérale)

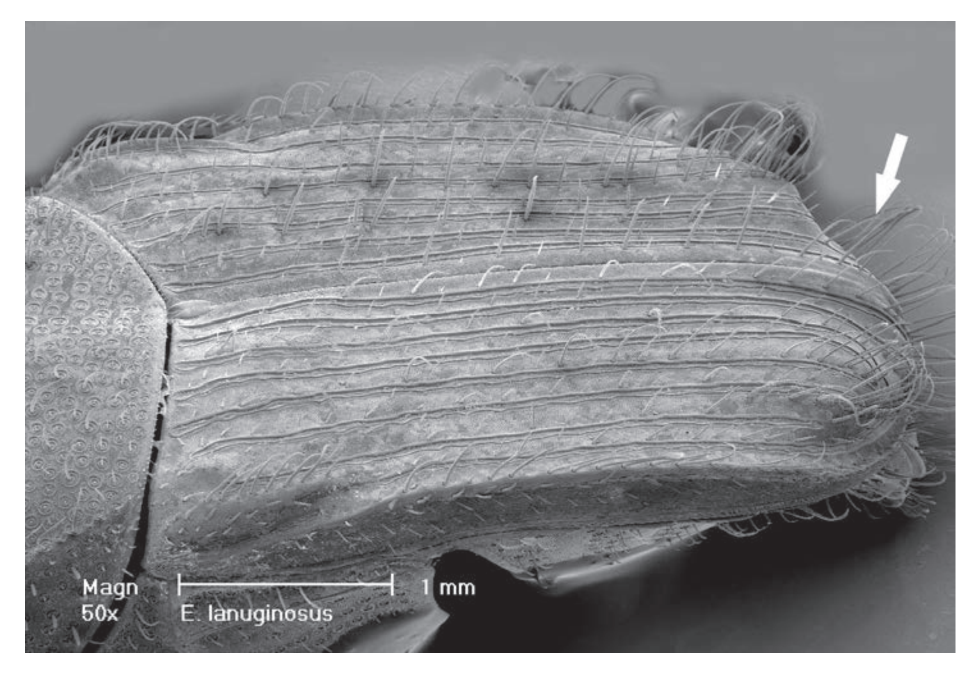


Fig. 111. *E. lanuginosus*, élytres (vue dorsale)

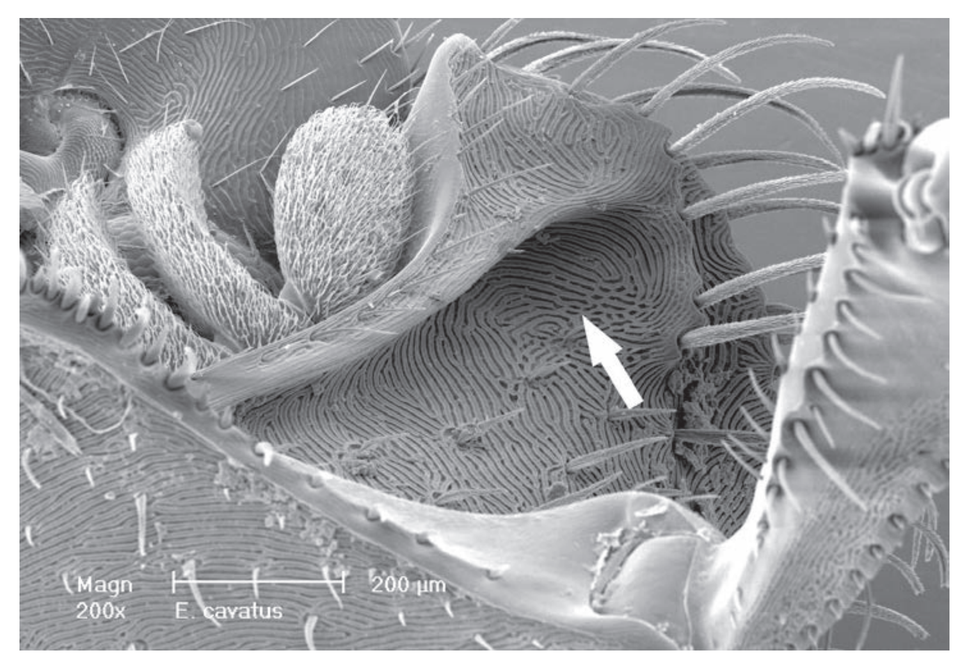


Fig. 112. *E. cavatus*, proépisternum (vue ventrale)

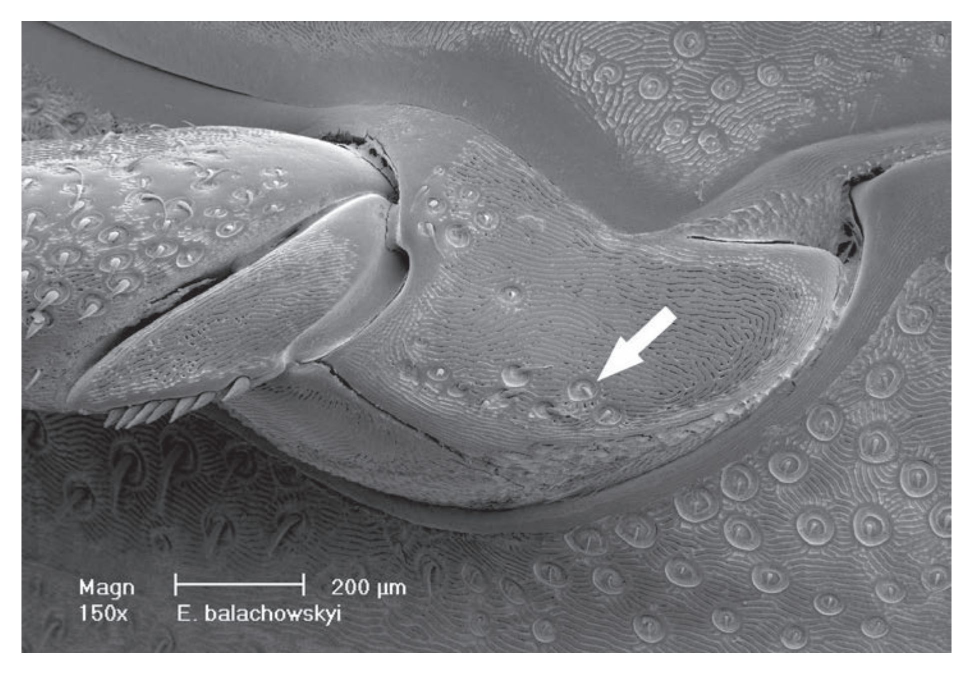


Fig. 113. *E. balachowskyi*, hanche postérieure (détail, vue ventrale)

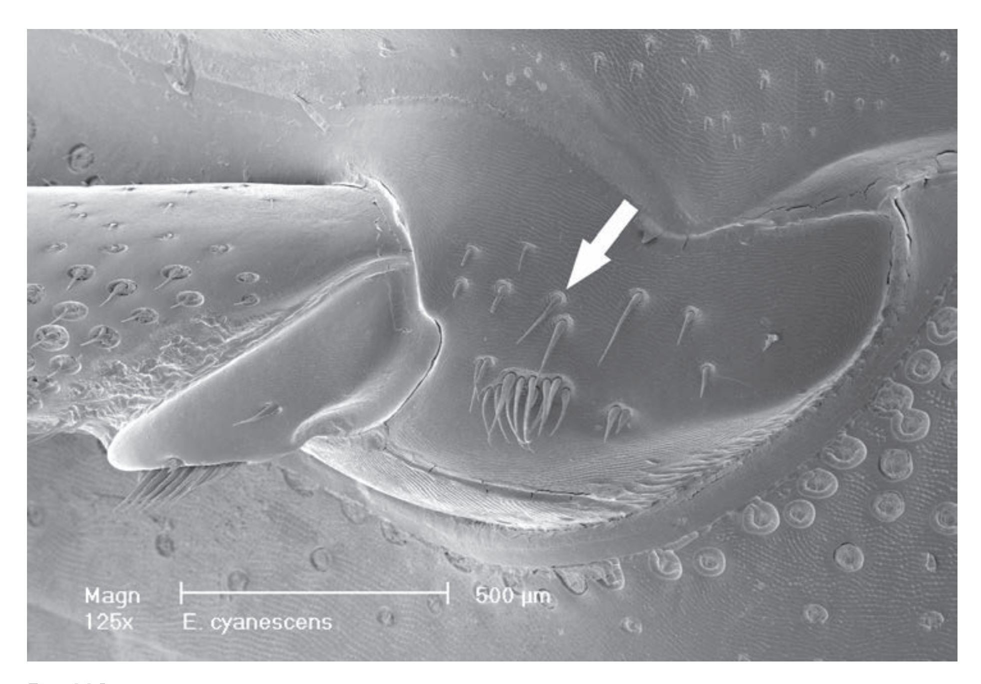


Fig. 114. *E. cyanescens*, hanche postérieure (détail, vue ventrale)

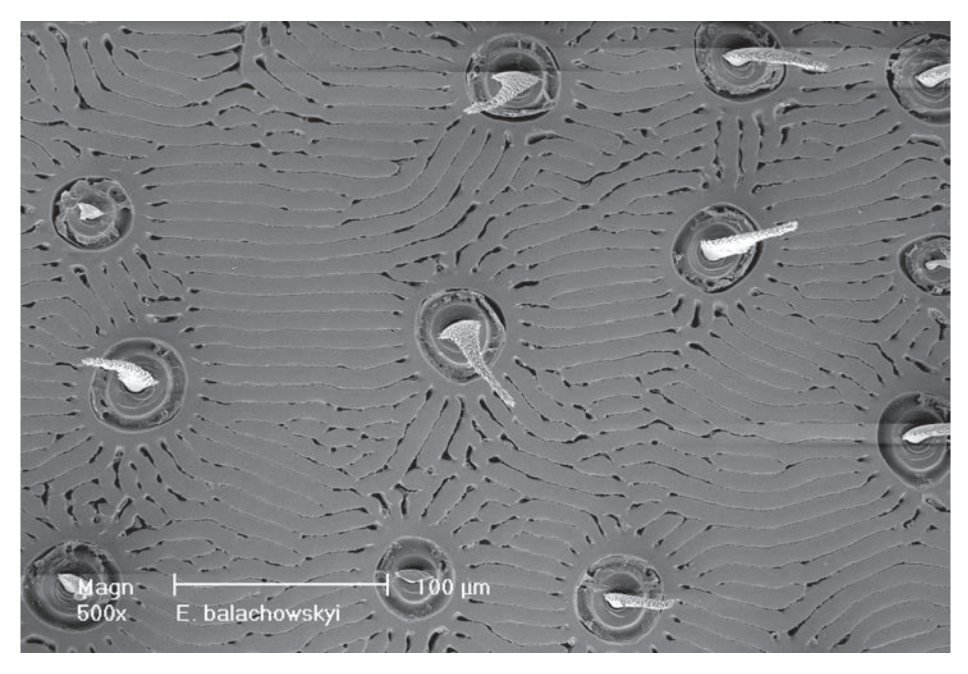


Fig. 115. *E. balachowskyi*, tête (détail, vue dorsale)

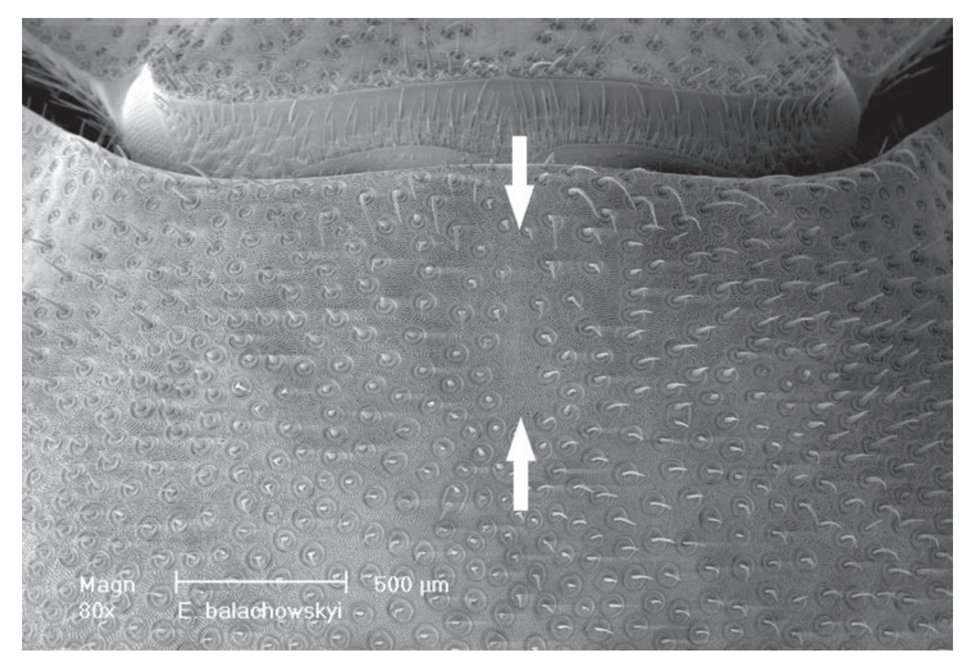


Fig. 116. *E. balachowskyi*, pronotum (détail, vue dorsale)

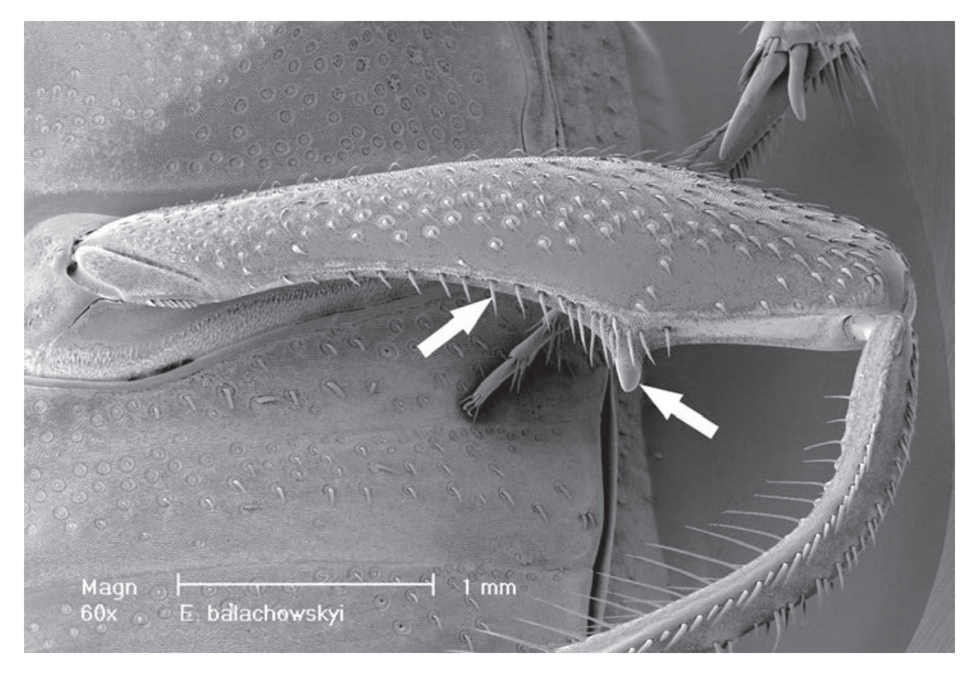


Fig. 117. *E. balachowskyi*, fémur postérieur mâle (vue ventrale)

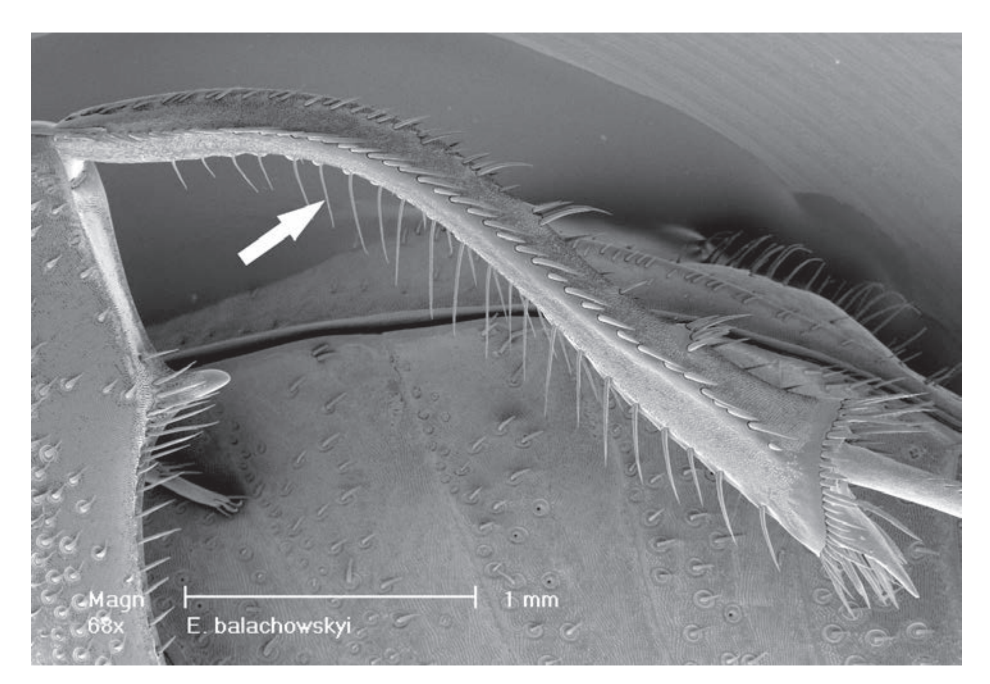


Fig. 118. *E. balachowskyi*, tibia postérieur mâle (vue ventrale)

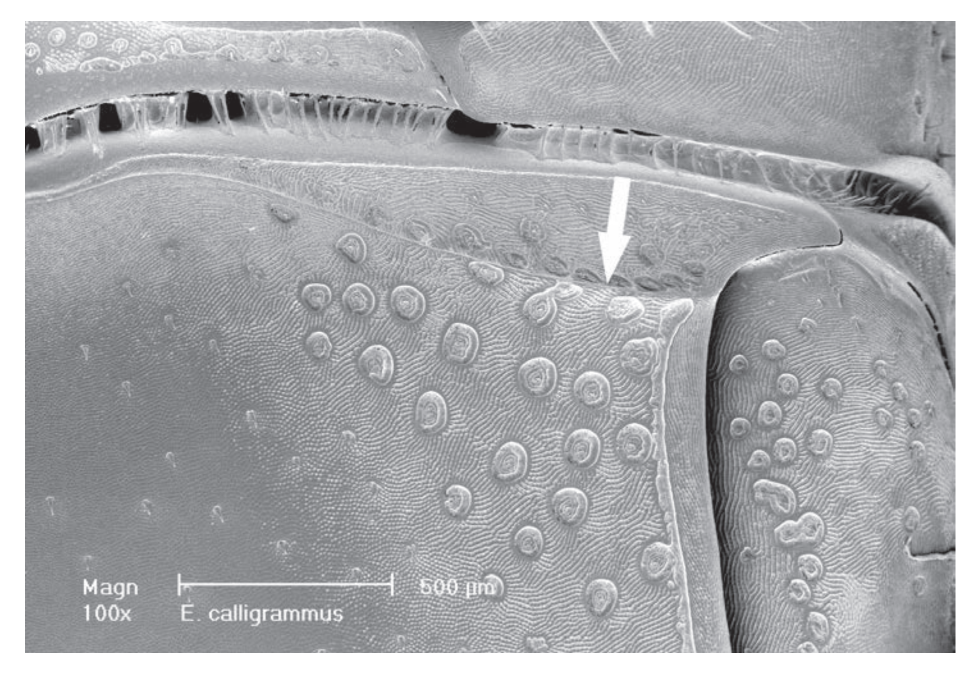


Fig. 119. *E. calligrammus*, metasternum (détail, vue ventrale)

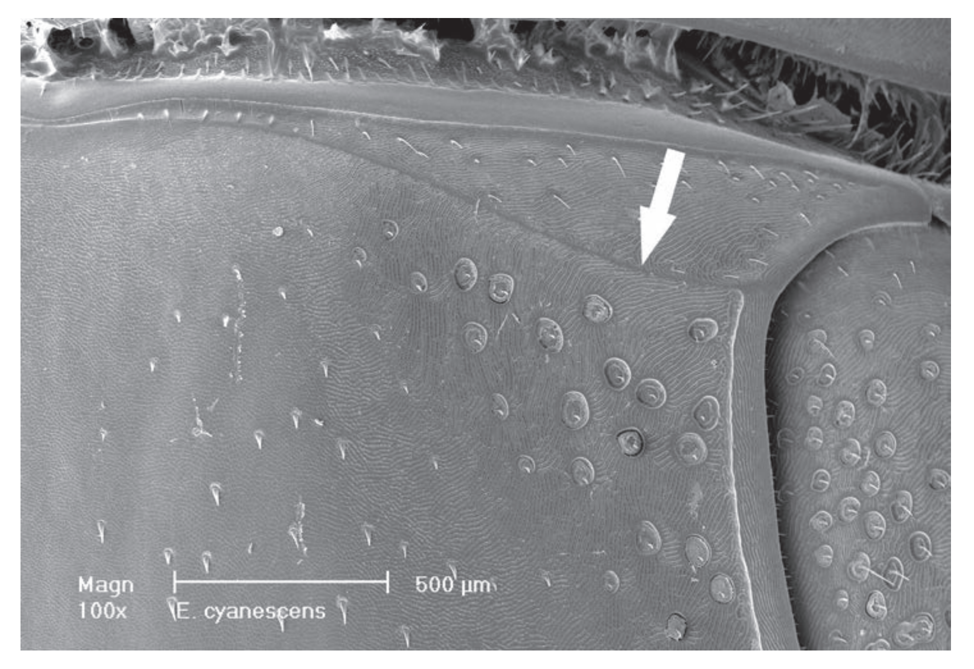


Fig. 120. *E. cyanescens*, metasternum (détail, vue ventrale)

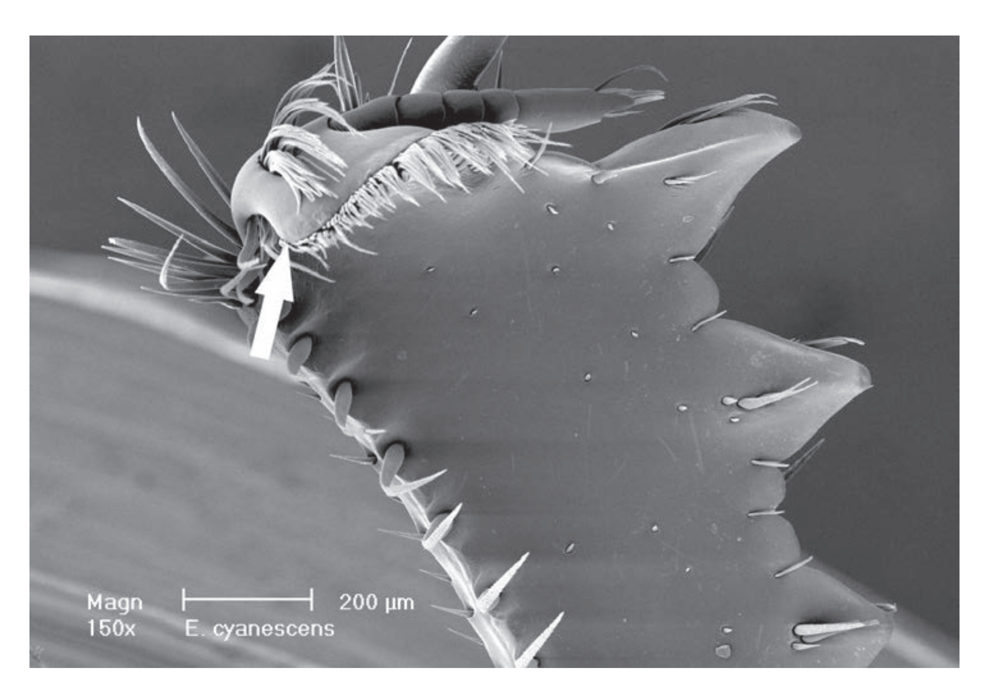


Fig. 121. *E. cyanescens*, tibia antérieur mâle (apex, vue ventrale)



Fig. 122. *E. contractus*, tête (détail, vue dorsale)

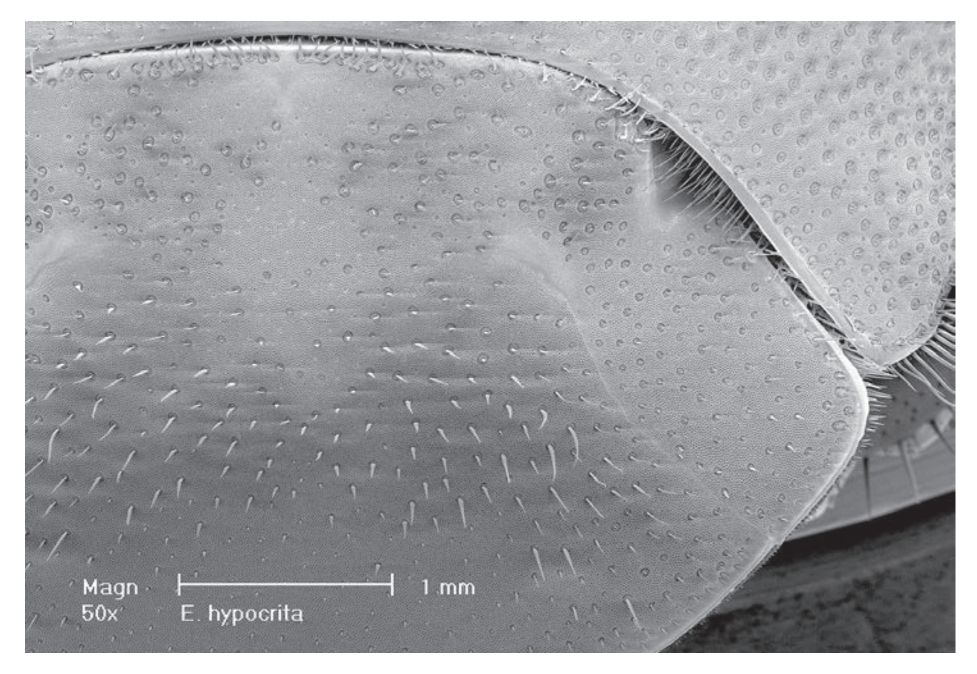


Fig. 123. *E. hypocrita*, tête (détail, vue dorsale)

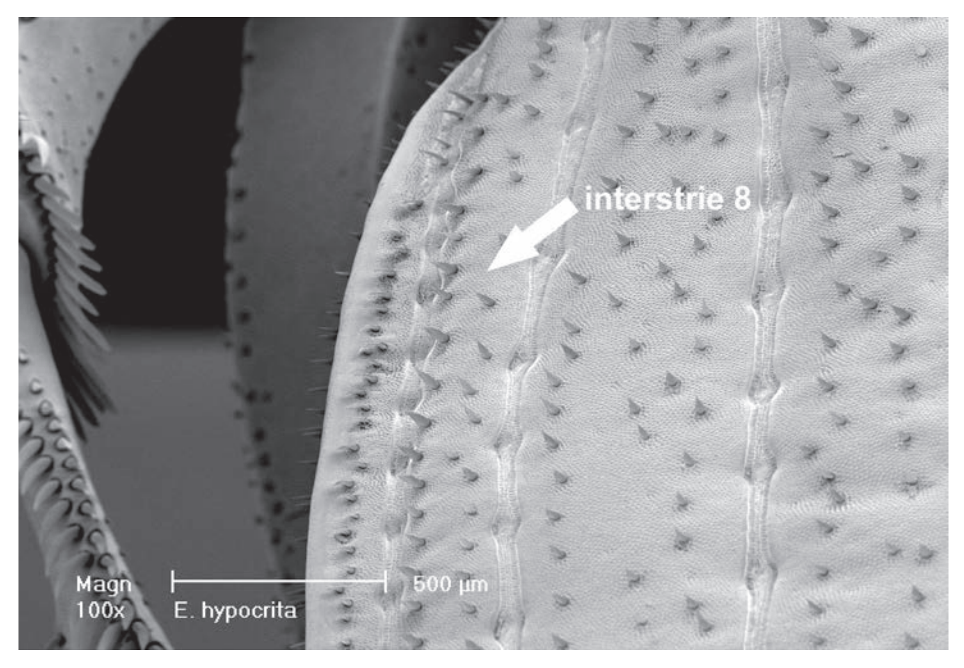


Fig. 124. *E. hypocrita*, élytre (détail, vue dorsale)

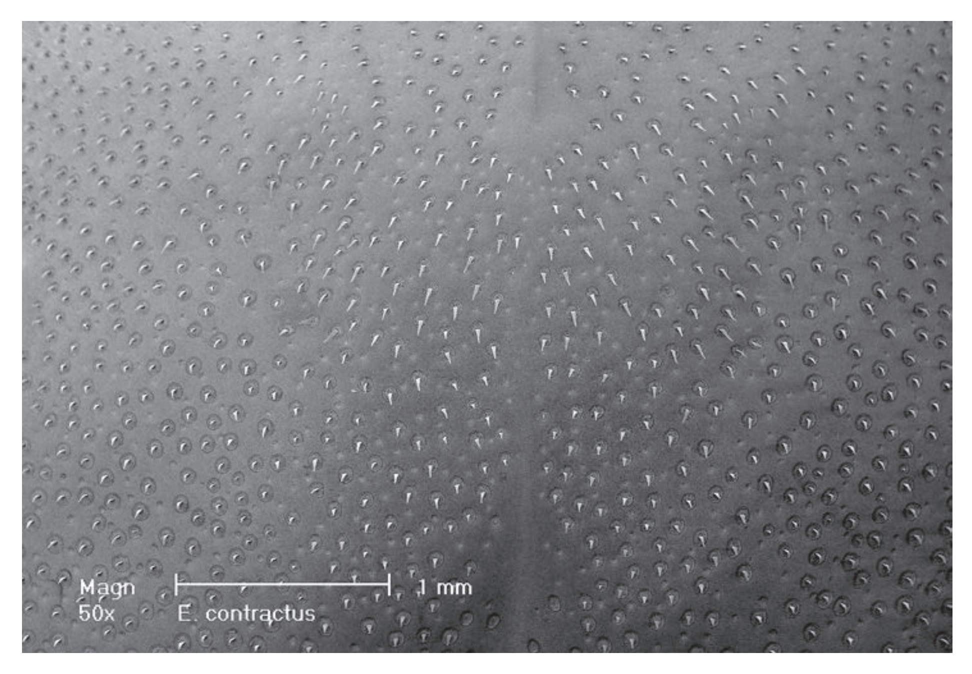


Fig. 125. *E. contractus*, pronotum (disque, vue dorsale)

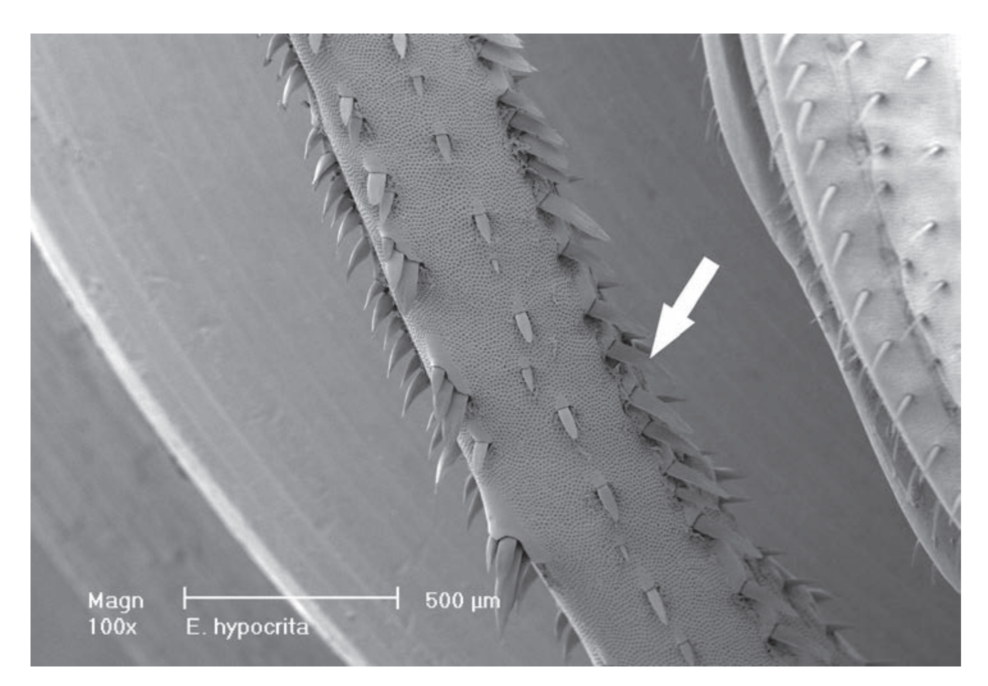


Fig. 126. *E. hypocrita*, tibia postérieur femelle (détail, vue dorsale)

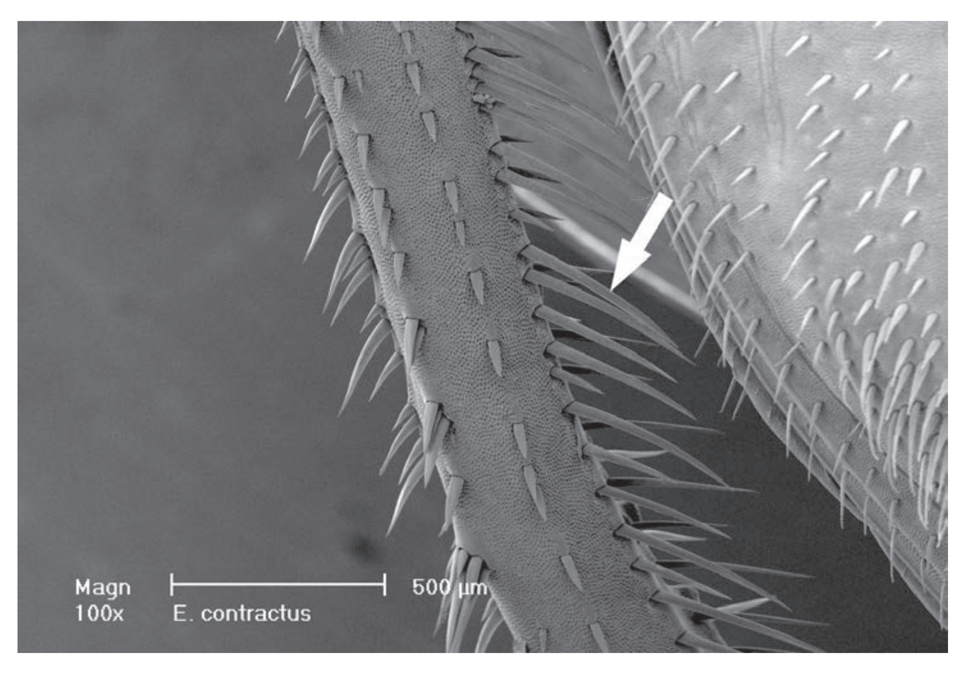


Fig. 127. *E. contractus*, tibia postérieur femelle (détail, vue dorsale)

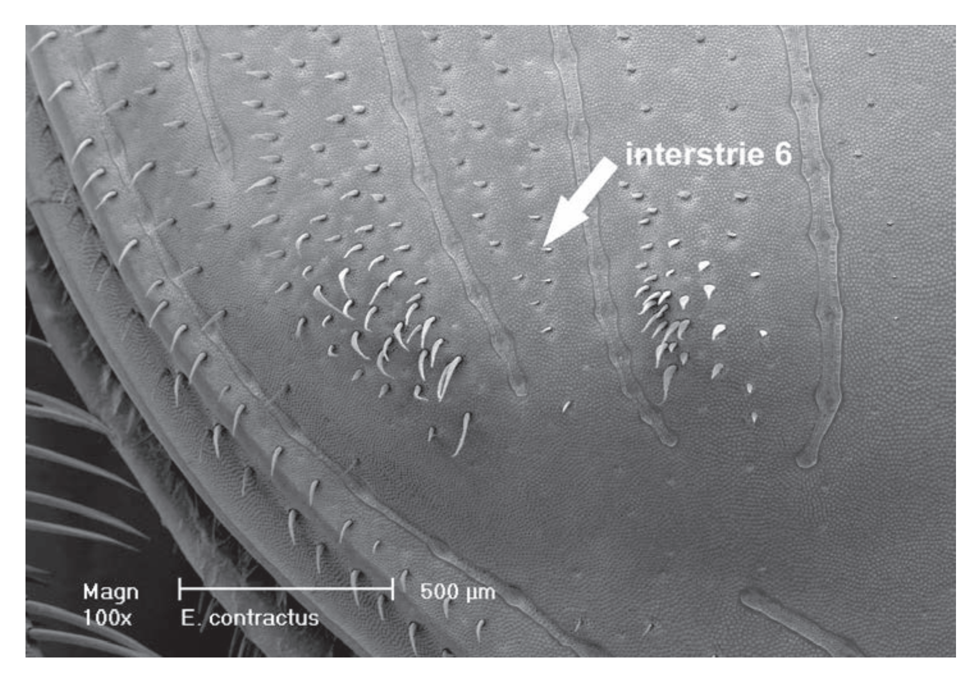


Fig. 128. *E. contractus*, élytre (apex, vue distale)

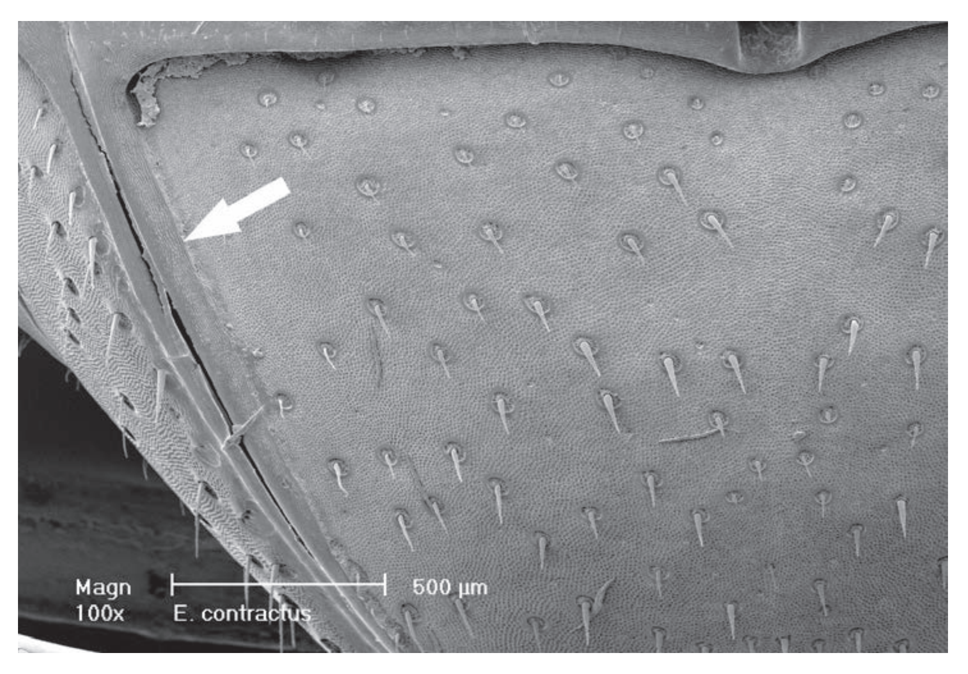


Fig. 129. *E. contractus*, pygidium (détail, vue distale)

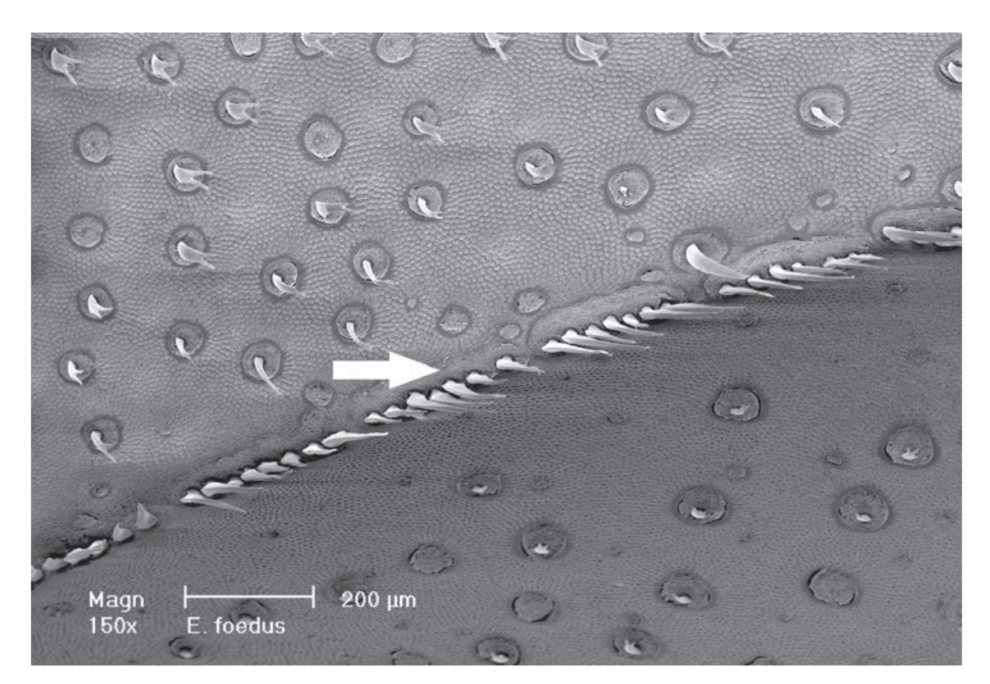


Fig. 130. *E. foedus*, pronotum (détail, vue latérale)

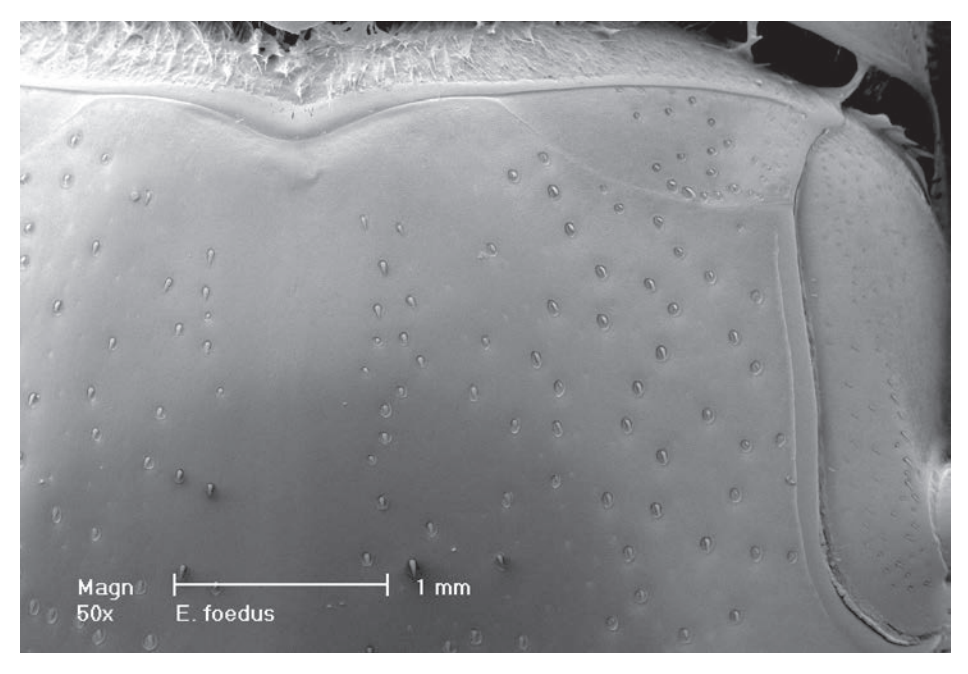


Fig. 131. *E. foedus*, métasternum (détail, vue ventrale)

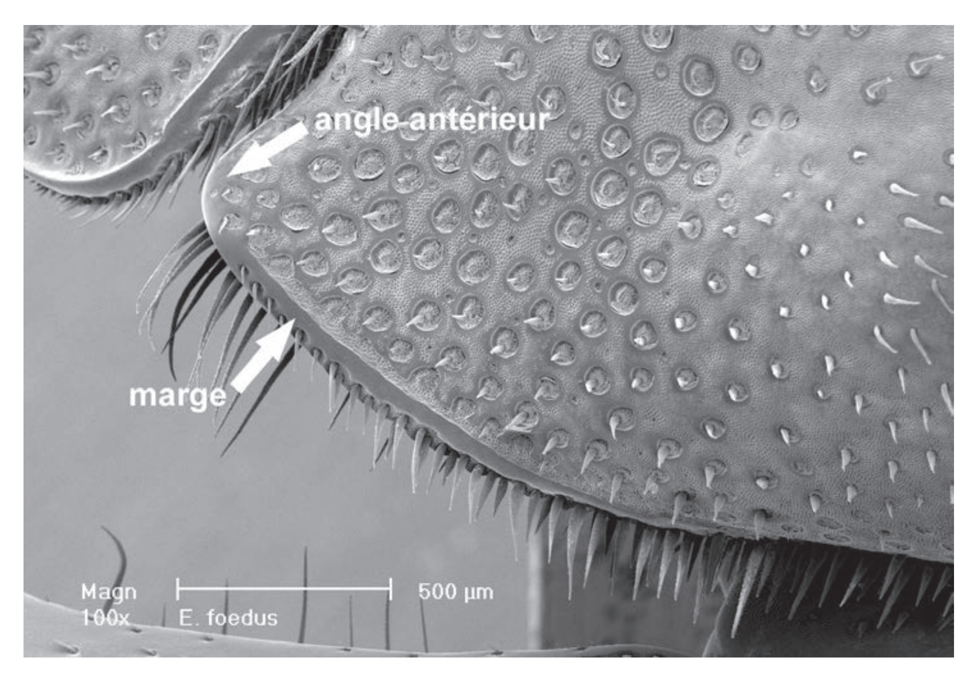


Fig. 132. *E. foedus*, pronotum (angle antérieur, vue dorsale)

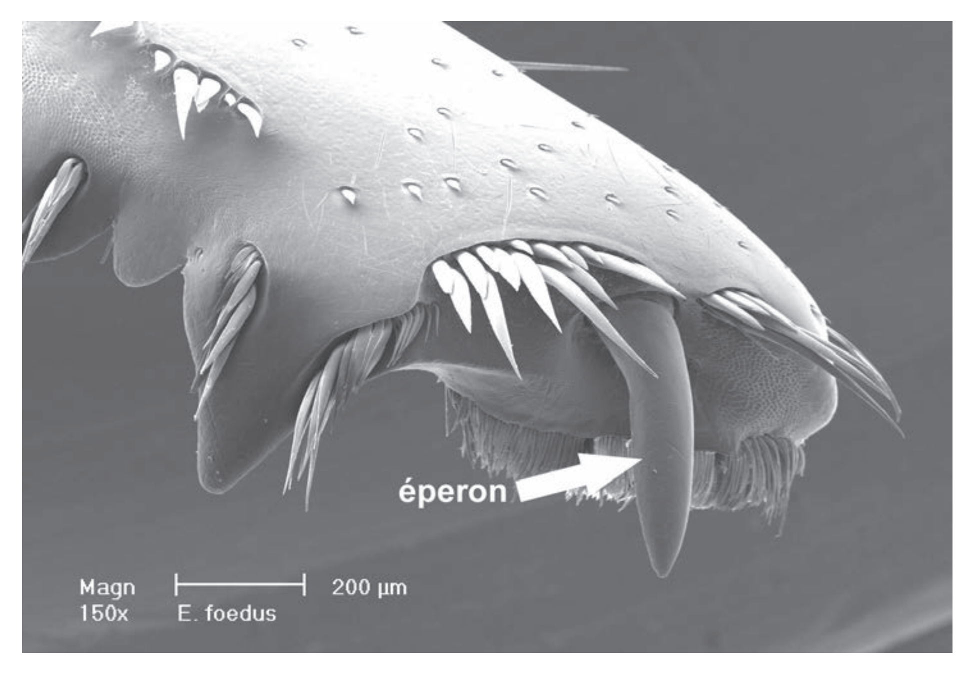


Fig. 133. *E. foedus*, tibia antérieur mâle (apex, vue distale)

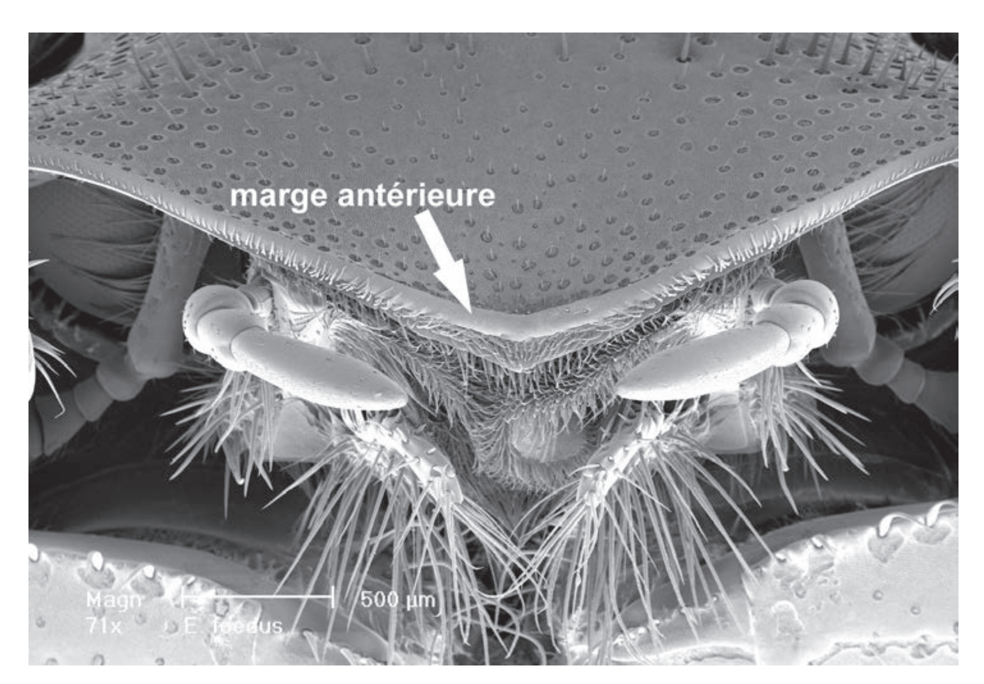


Fig. 134. *E. foedus*, tête (détail, vue distale)

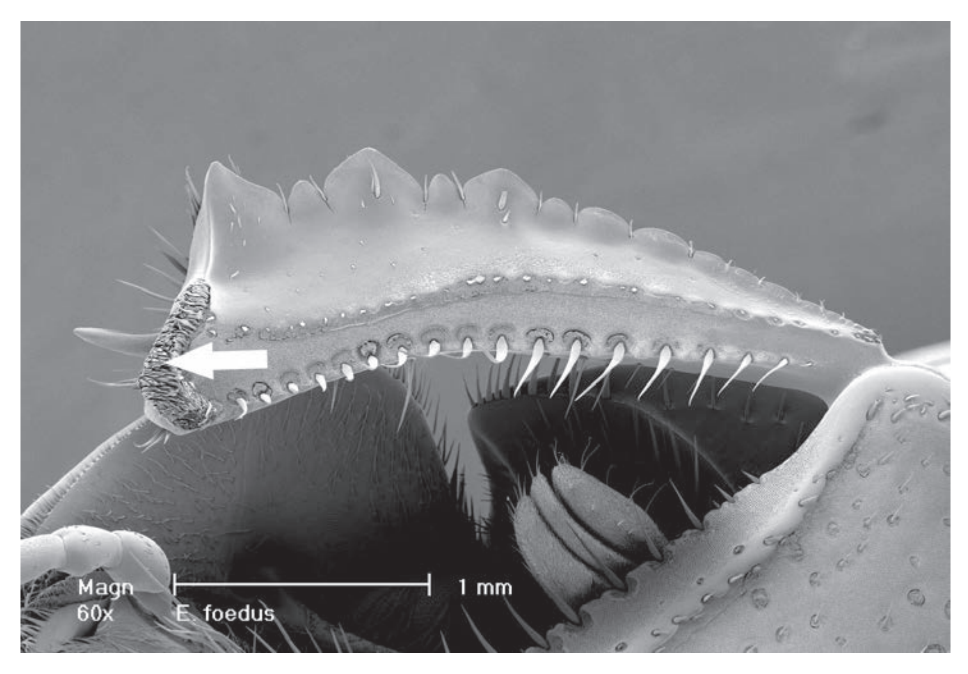


Fig. 135. *E. foedus*, tibia antérieur mâle (vue ventrale)

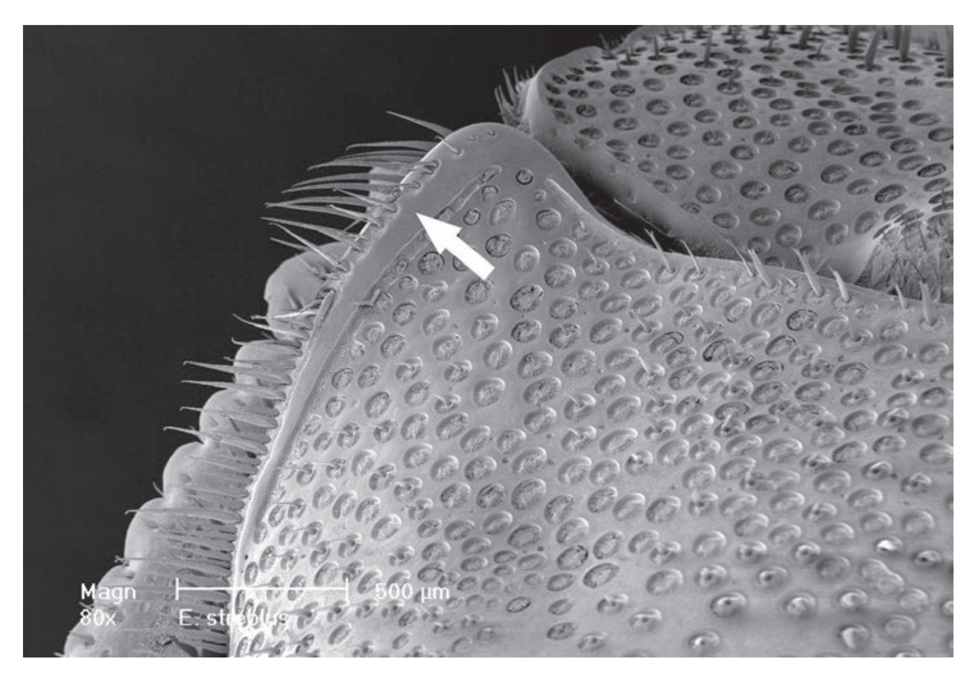


Fig. 136. *E. streblus*, pronotum (angle antérieur, vue dorsale)

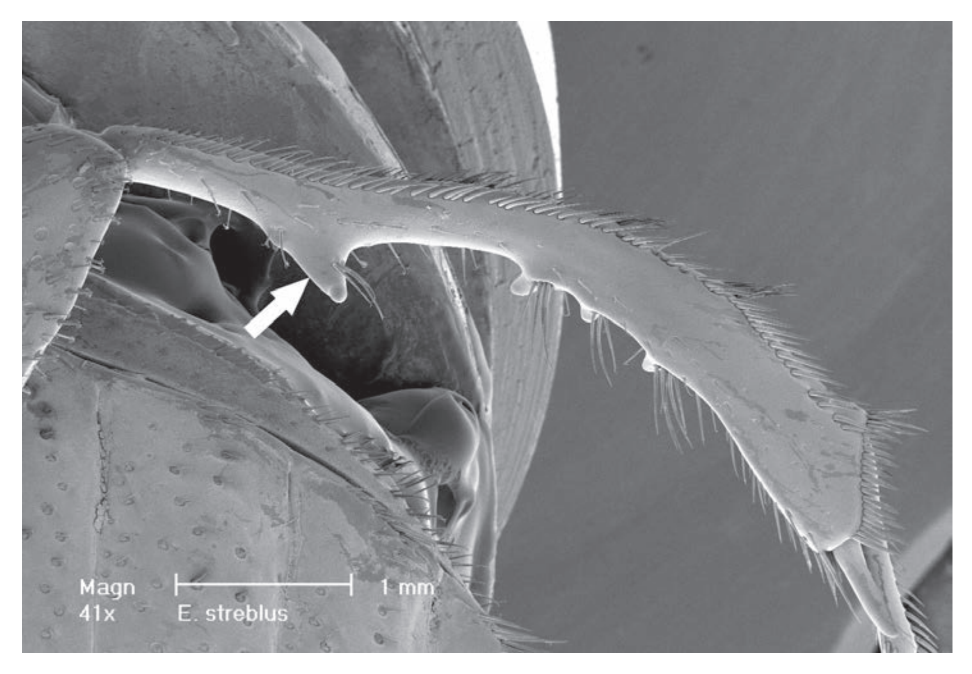


Fig. 137. *E. streblus*, tibia postérieur femelle (vue ventrale)

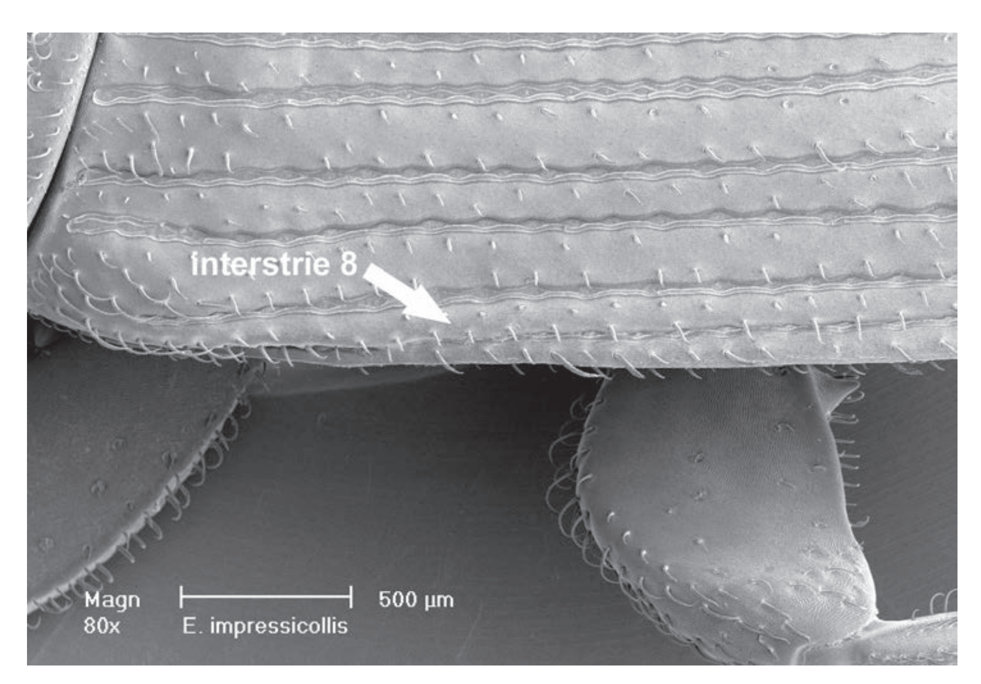


Fig. 138. *E. impressicollis*, élytre (détail, vue dorsale)

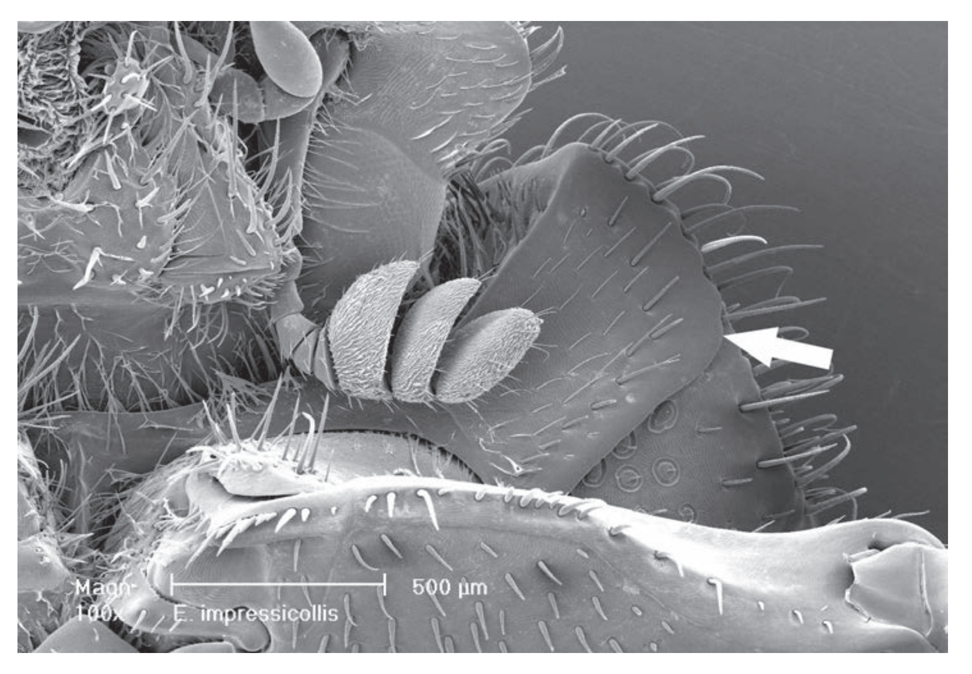


Fig. 139. *E. impressicollis*, proépisternum (vue ventrale)

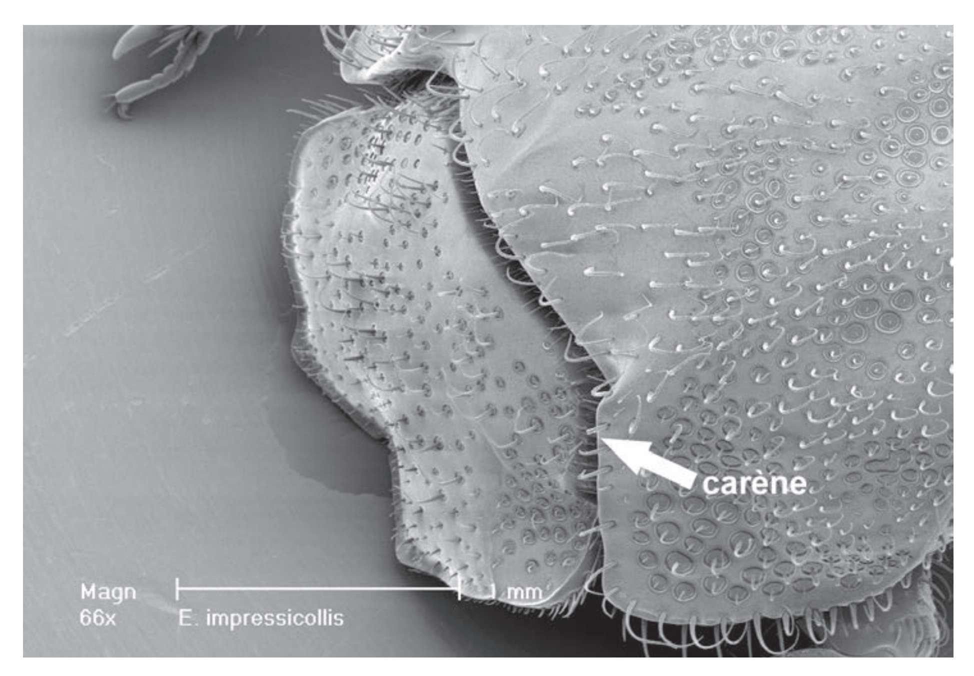


Fig. 140. *E. impressicollis*, tête et pronotum (vue dorsale)

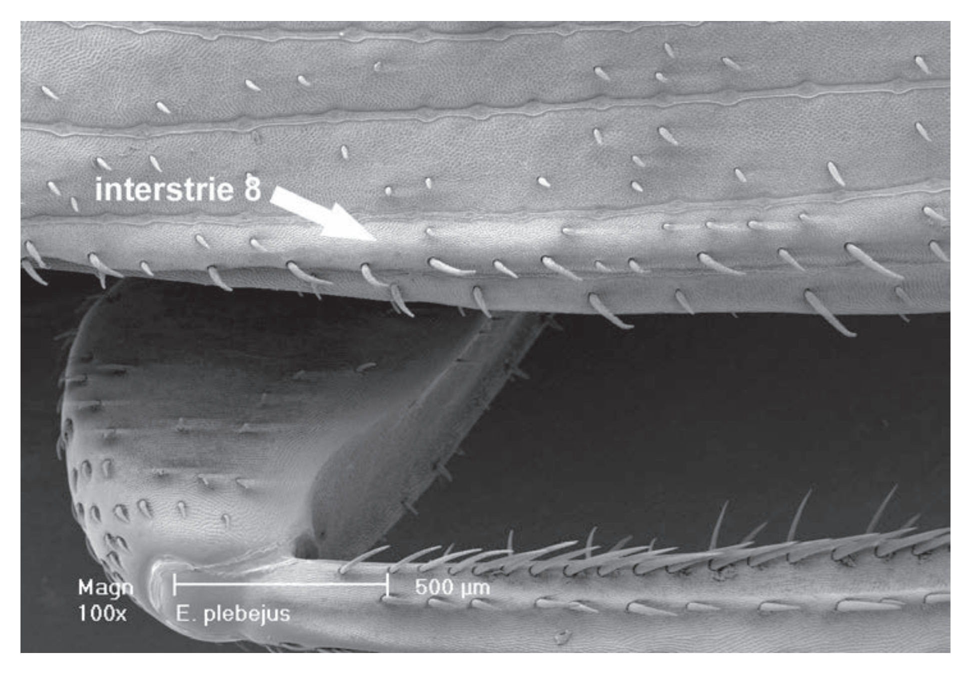


Fig. 141. *E. plebejus*, élytre (détail, vue dorsale)

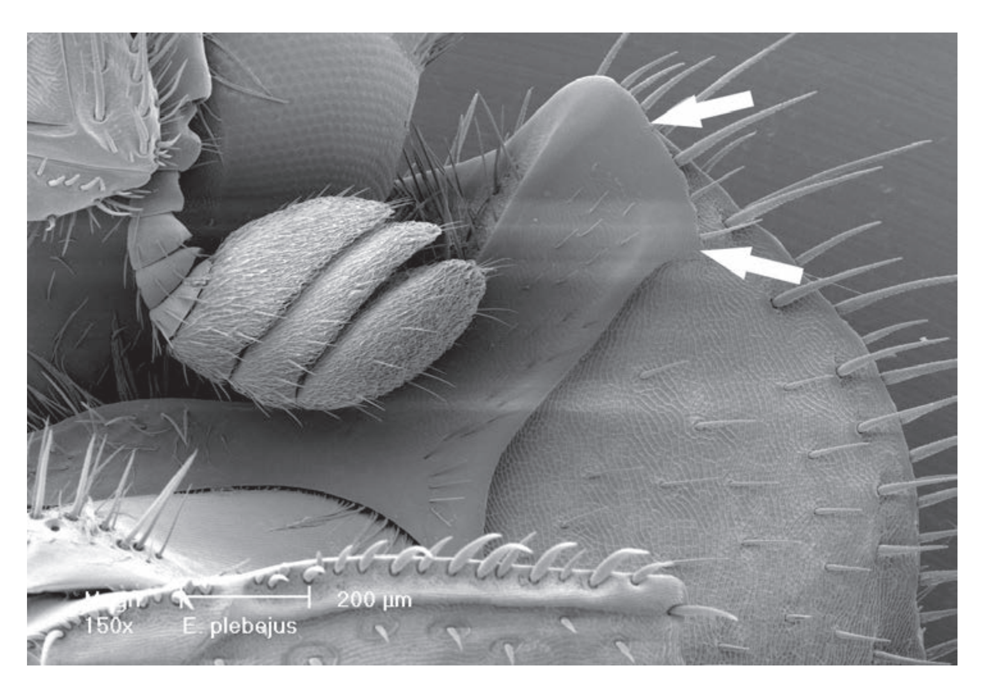


Fig. 142. *E. plebejus*, proépisternum (vue ventrale)

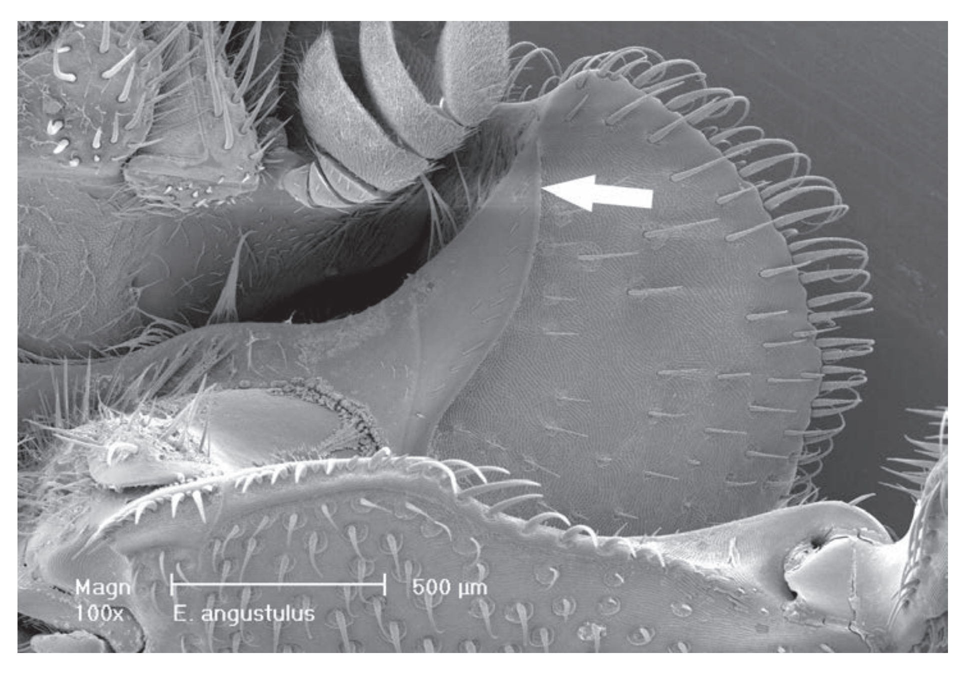


Fig. 143. *E. angustulus*, proépisternum (vue ventrale)

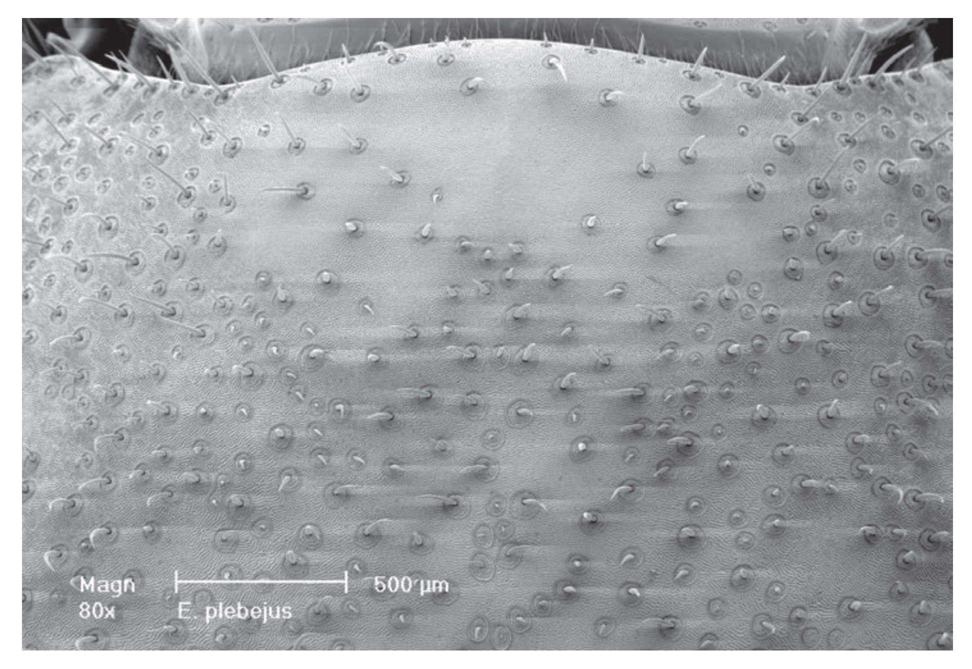


Fig. 144. *E. plebejus*, pronotum (détail, vue dorsale)

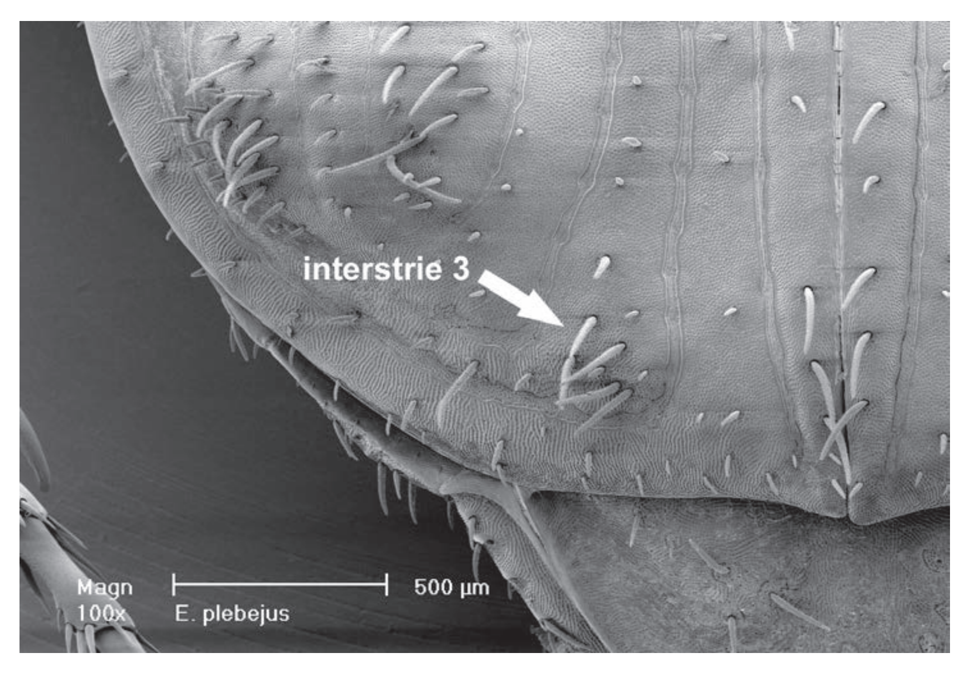


Fig. 145. *E. plebejus*, élytre (apex, vue distale)

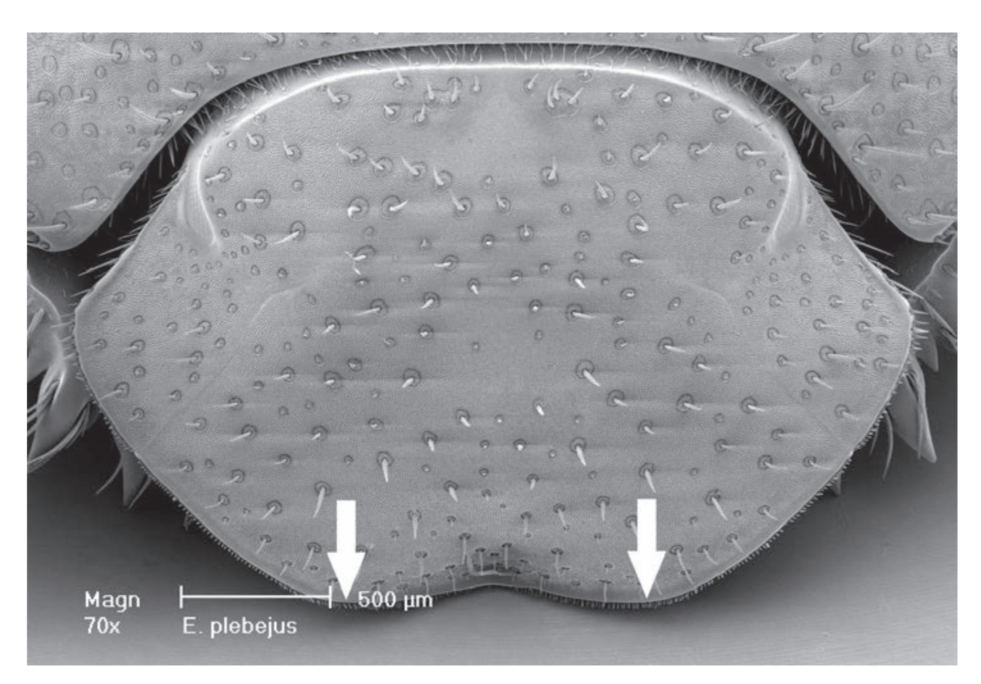


Fig. 146. *E. plebejus*, tête (vue dorsale)

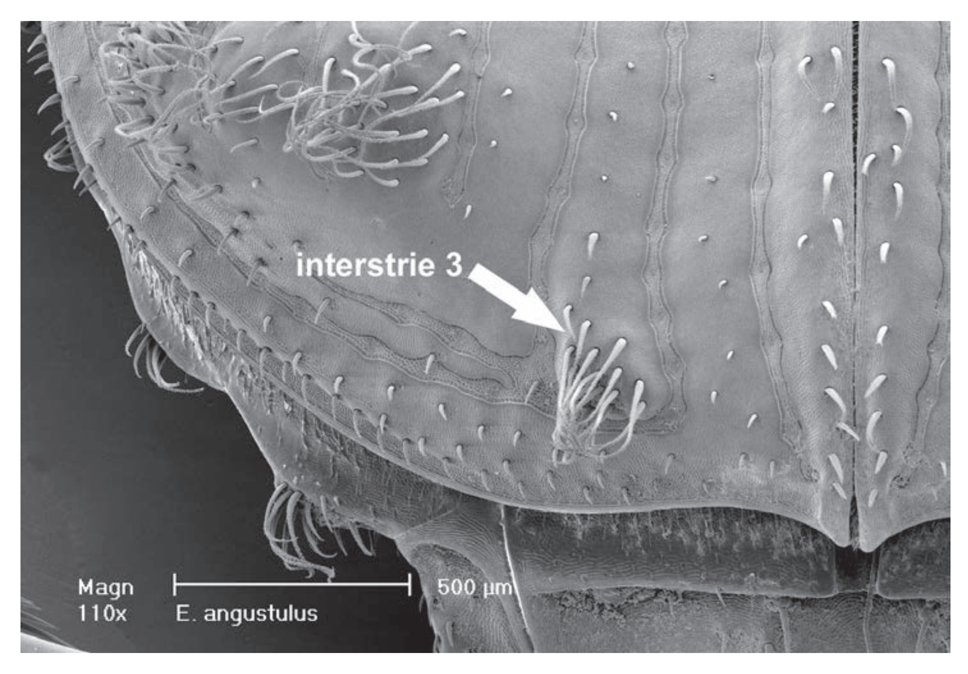


Fig. 147. *E. angustulus*, élytre (apex, vue distale)

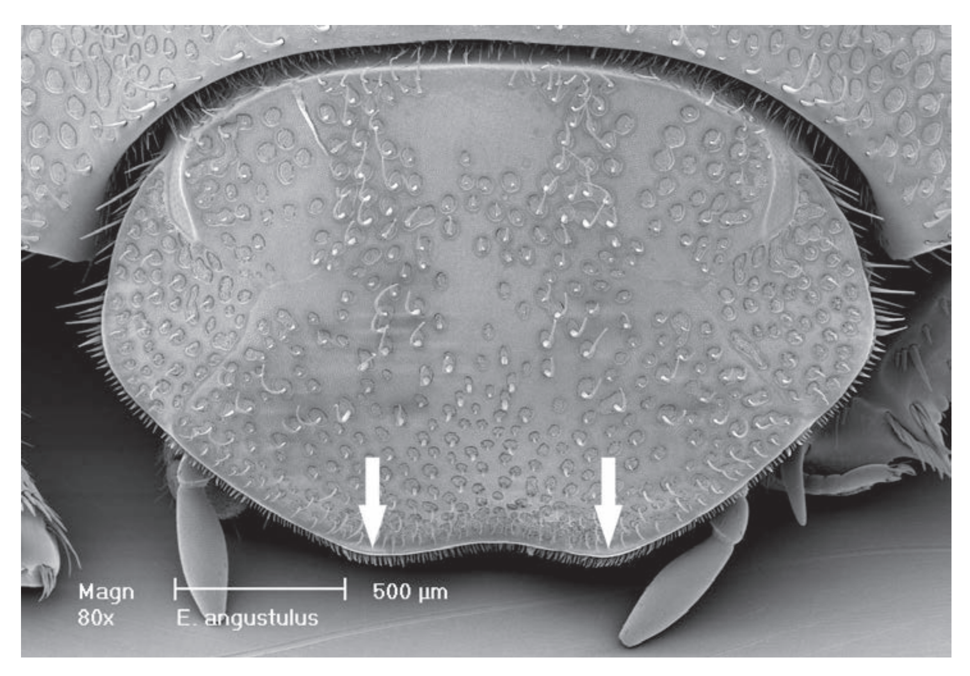


Fig. 148. *E. angustulus*, tête (vue dorsale)

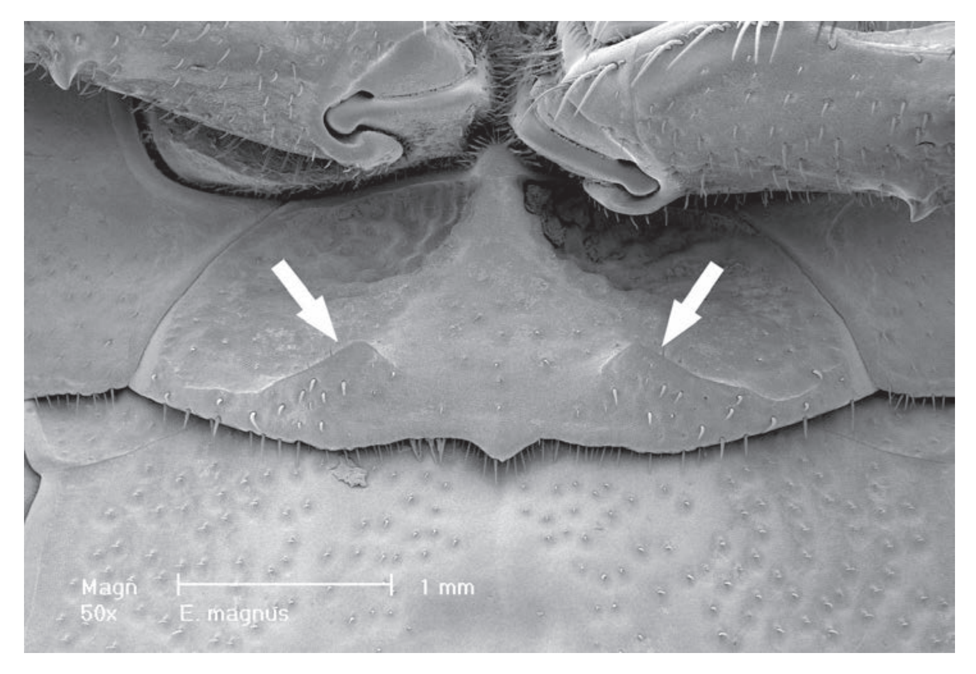


Fig. 149. *E. magnus*, prosternum (détail, vue ventrale)

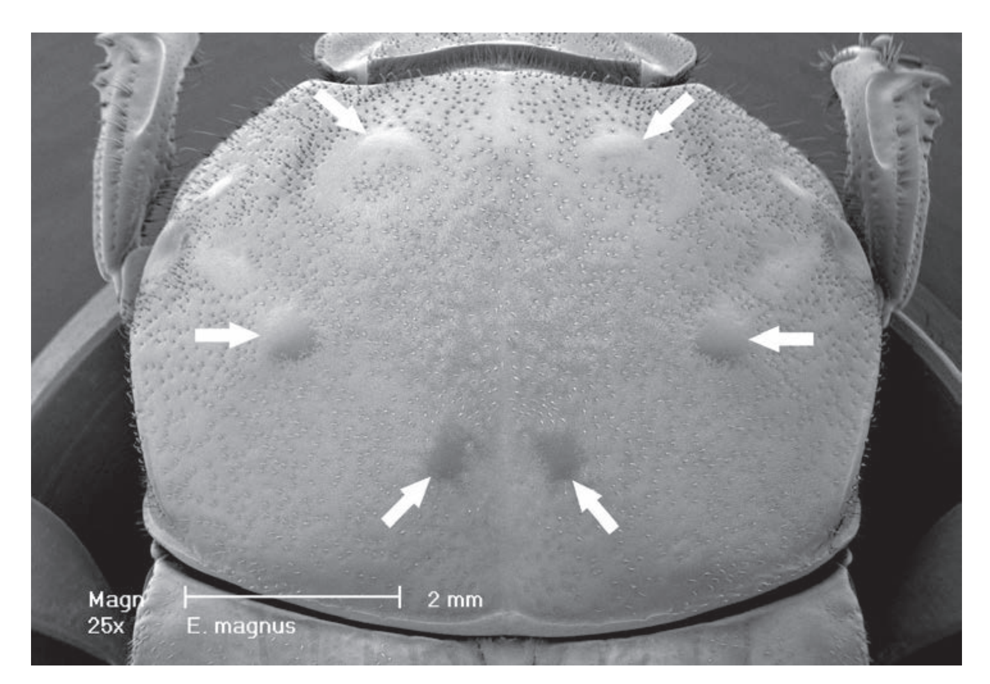


Fig. 150. *E. magnus*, pronotum (vue dorsale)

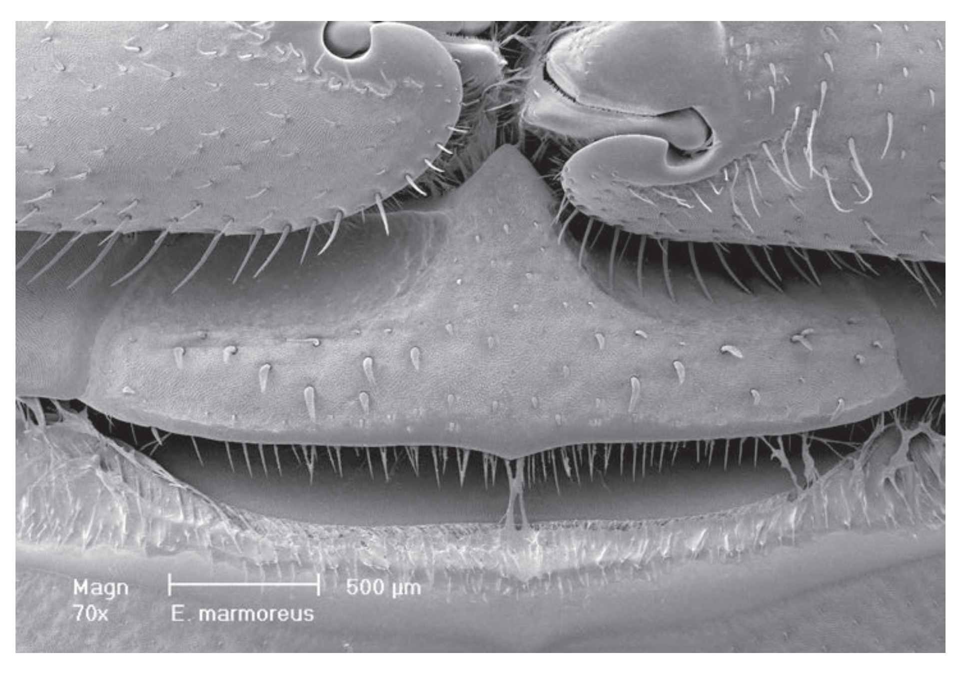


Fig. 151. *E. marmoreus*, prosternum (détail, vue ventrale)

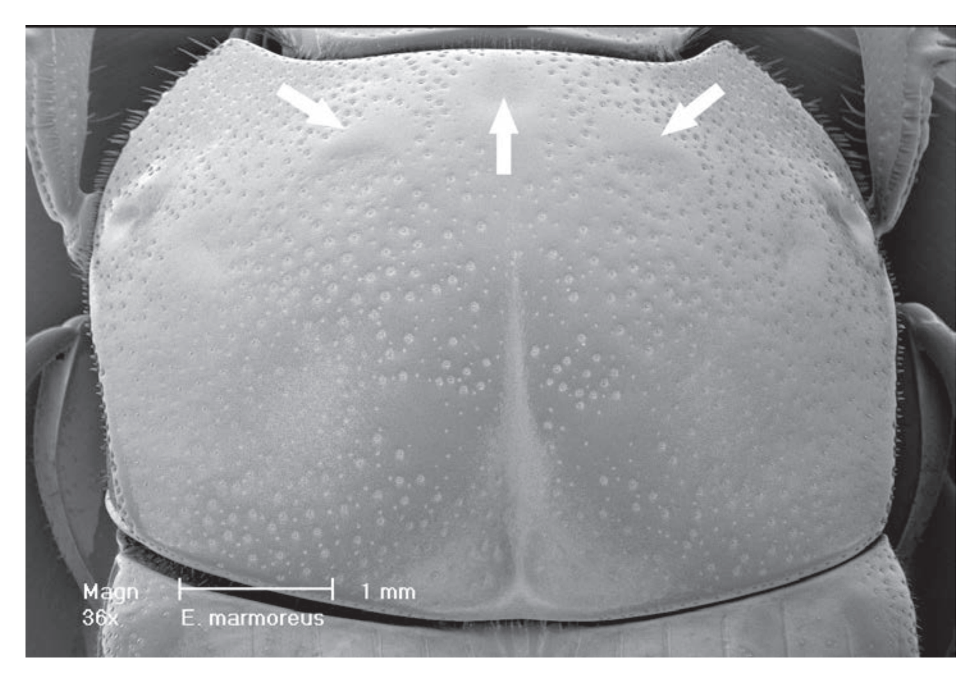


Fig. 152. *E. marmoreus*, pronotum (vue dorsale)

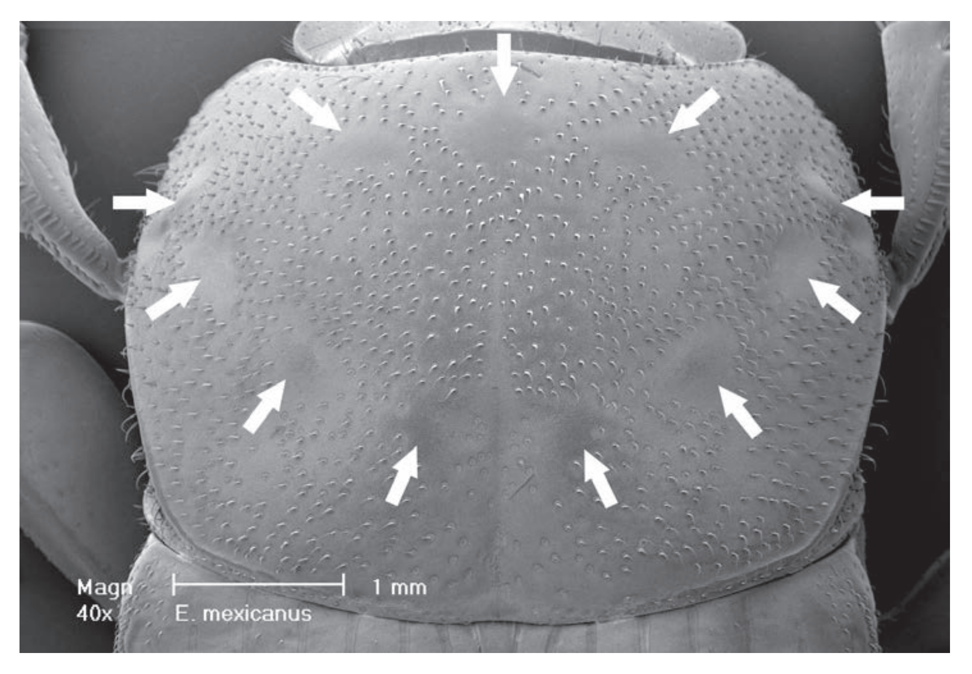


Fig. 153. *E. mexicanus*, pronotum (vue dorsale)

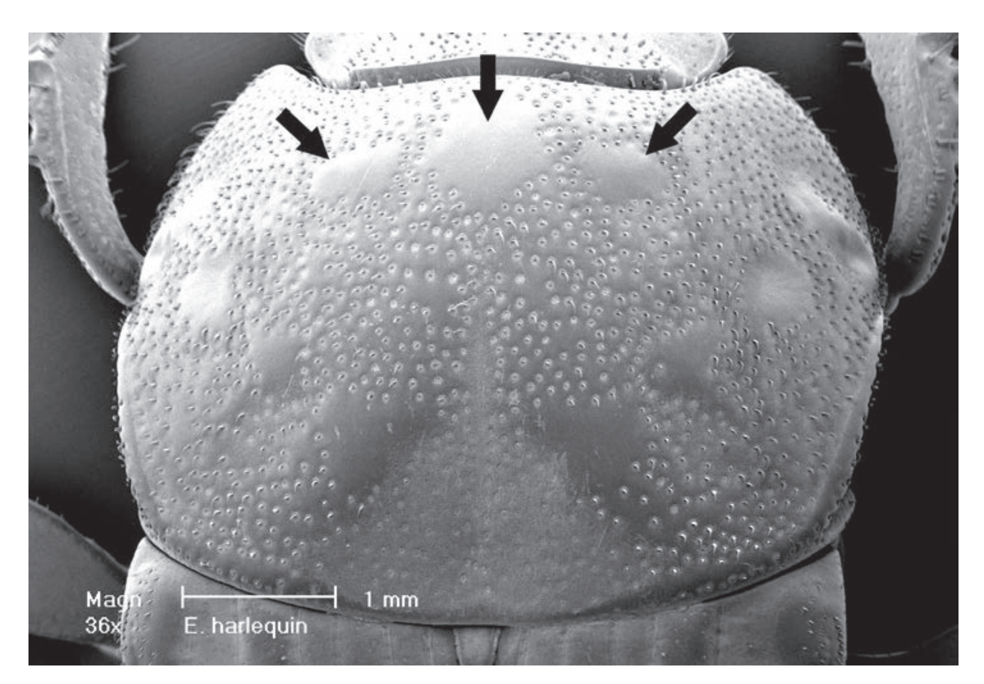


Fig. 154. *E. harlequin*, pronotum (vue dorsale)

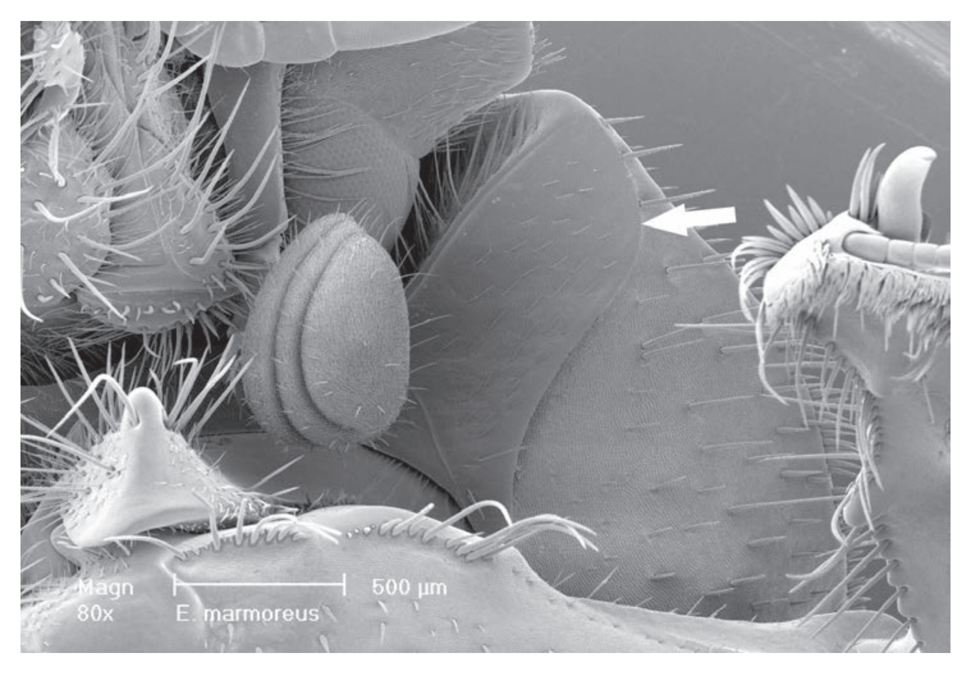


Fig. 155. *E. marmoreus*, proépisternum (vue ventrale)

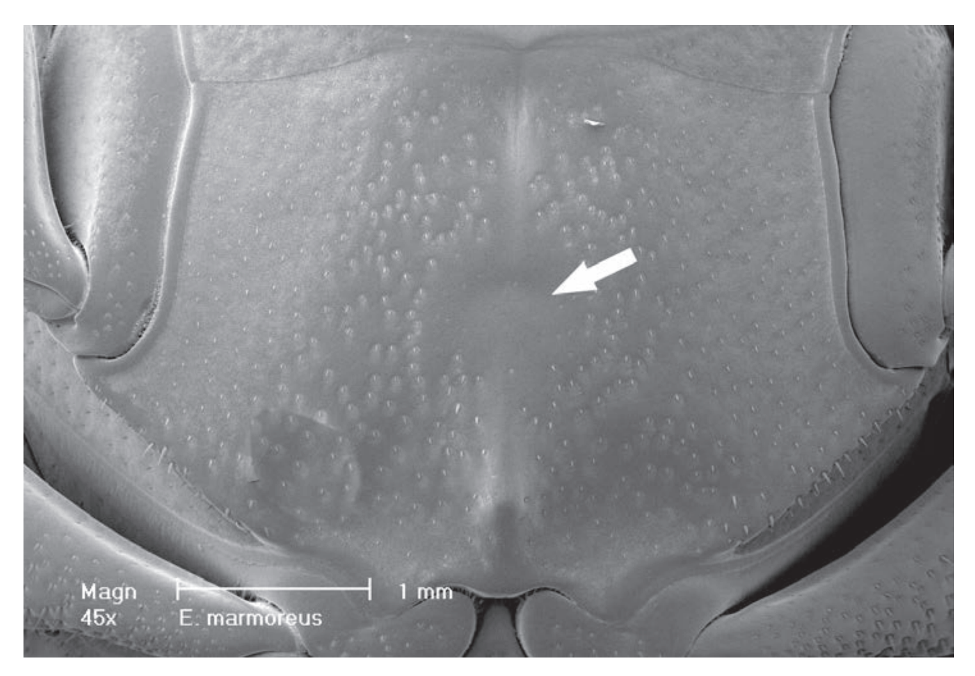


Fig. 156. *E. marmoreus*, métasternum (détail, vue ventrale)

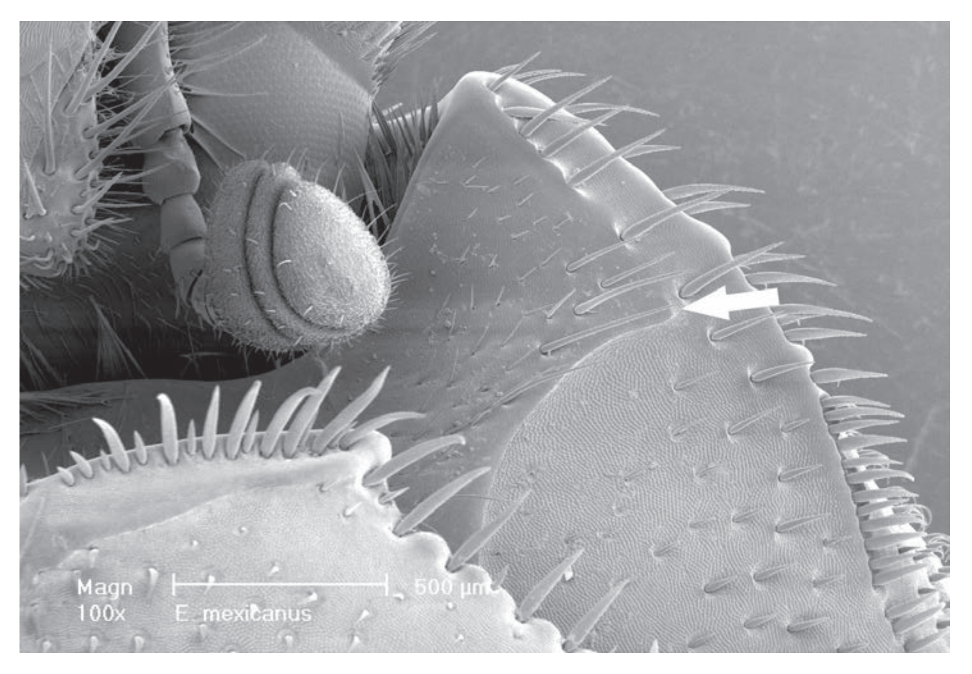


Fig. 157. *E. mexicanus*, proépisternum (vue ventrale)

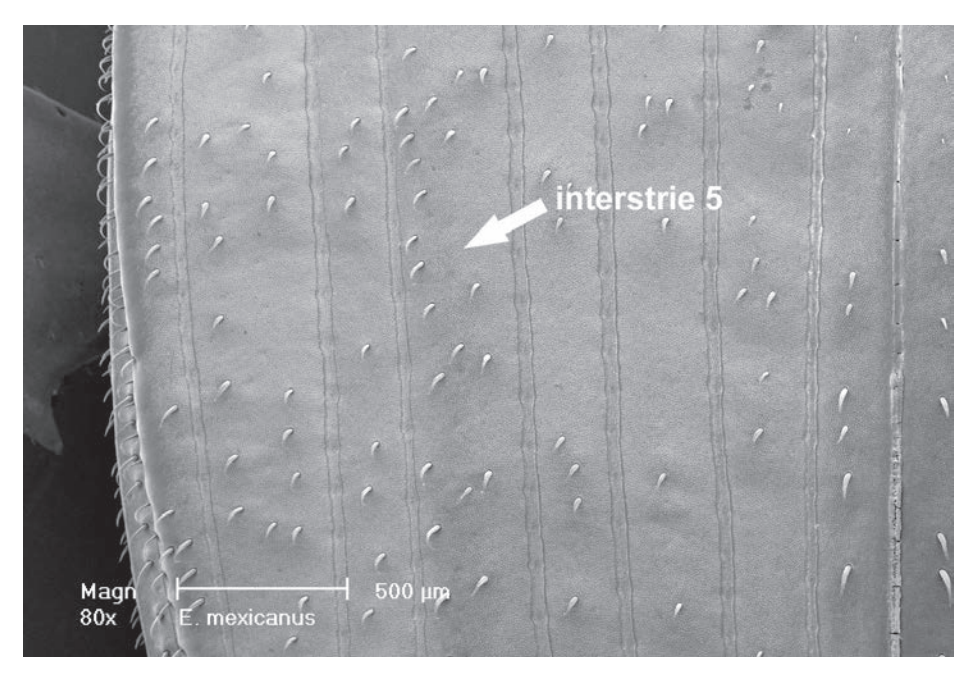


Fig. 158. *E. mexicanus*, élytre (détail, vue dorsale)

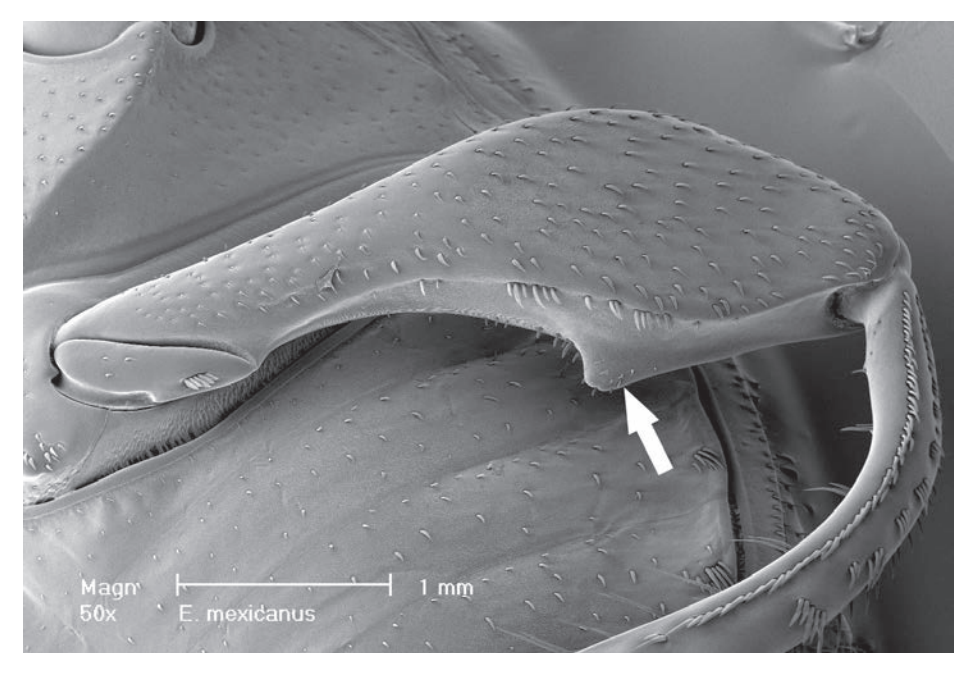


Fig. 159. *E. mexicanus*, fémur postérieur mâle (vue ventrale)

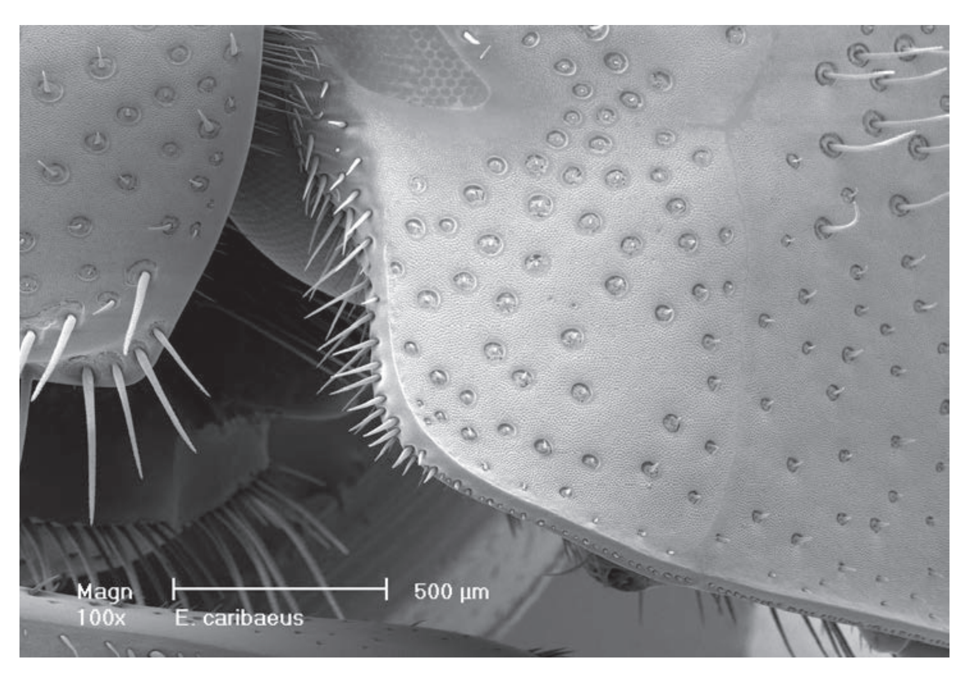


Fig. 160. *E. caribaeus*, tête (détail, vue dorsale)

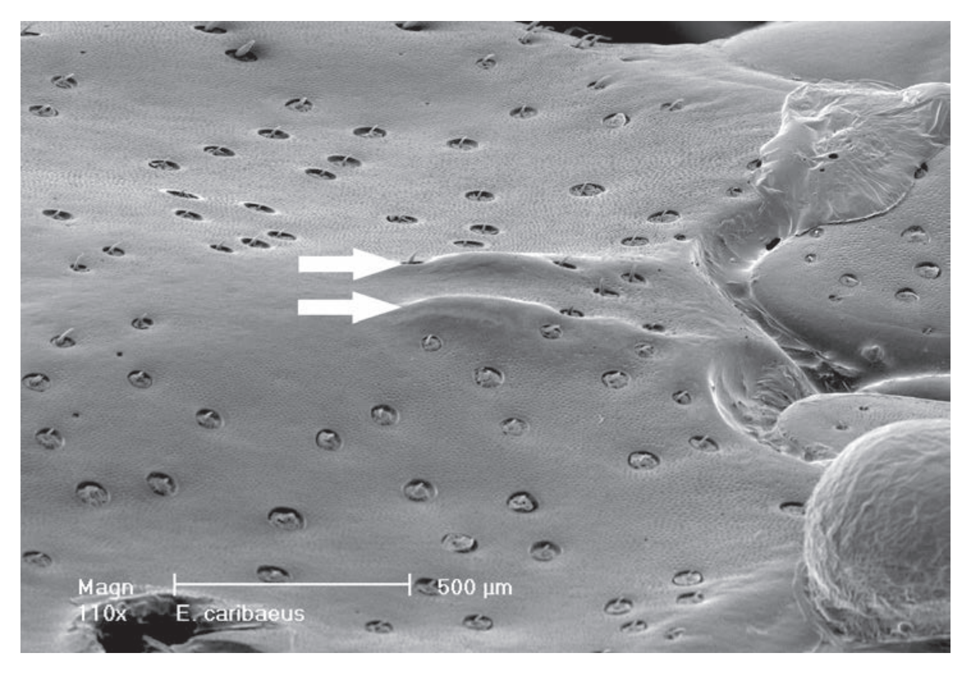


Fig. 161. *E. caribaeus*, métasternum (détail, vue latérale)

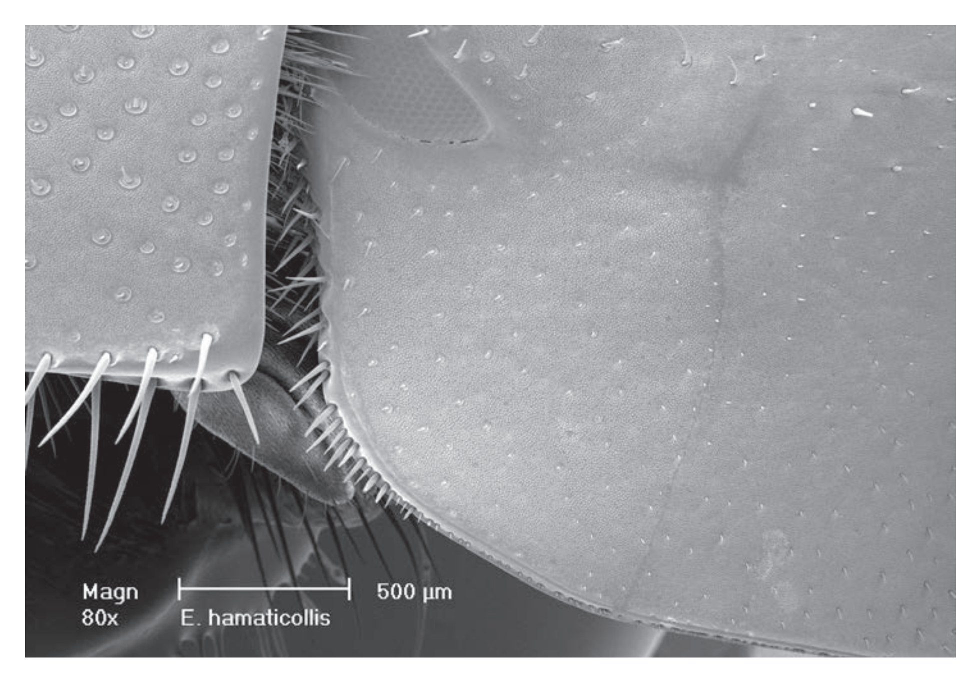


Fig. 162. *E. hamaticollis*, tête (détail, vue dorsale)

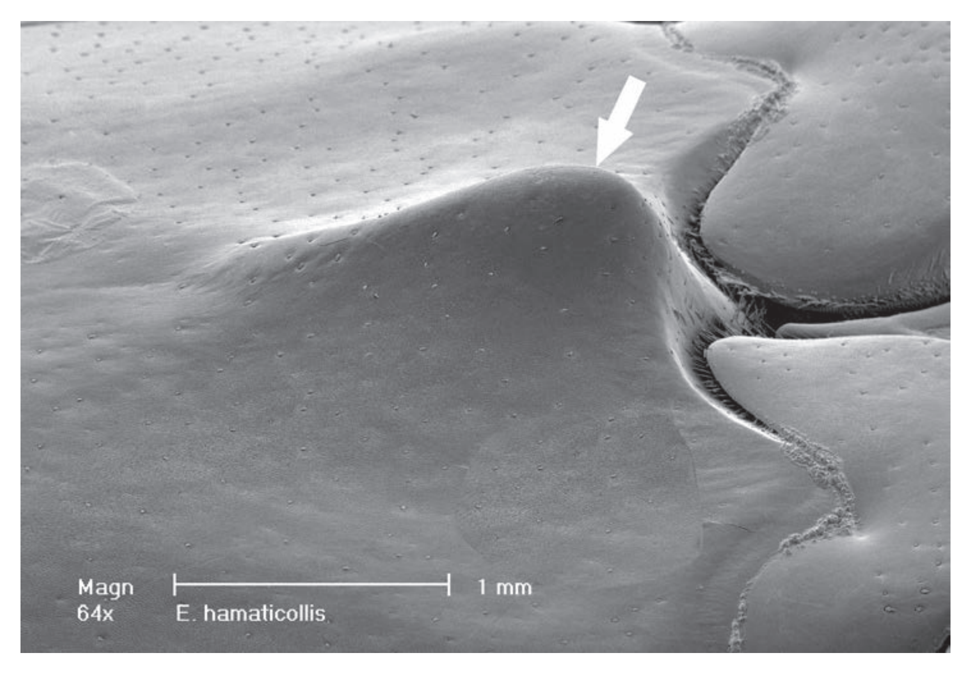


Fig. 163. *E. hamaticollis*, métasternum (détail, vue latérale)

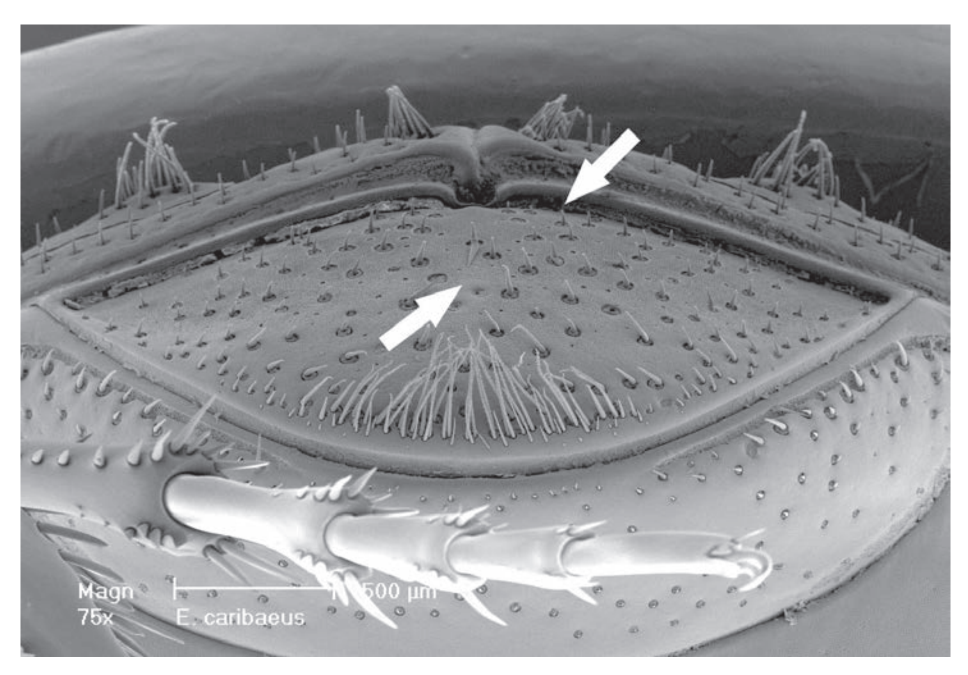


Fig. 164. *E. caribaeus*, pygidium (vue distale)

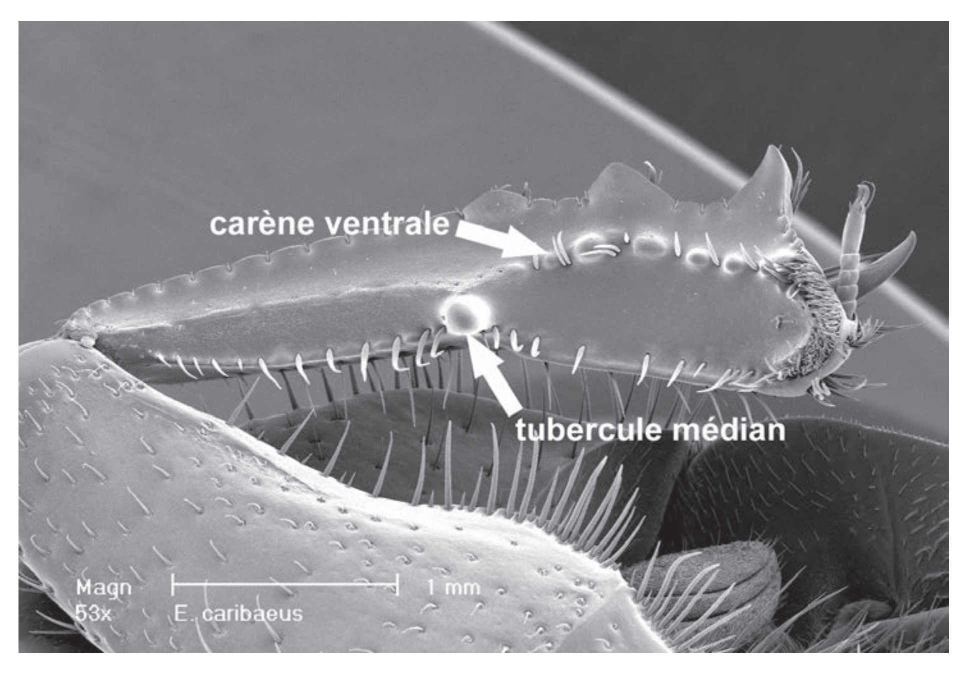


Fig. 165. *E. caribaeus*, tibia antérieur mâle (vue ventrale)

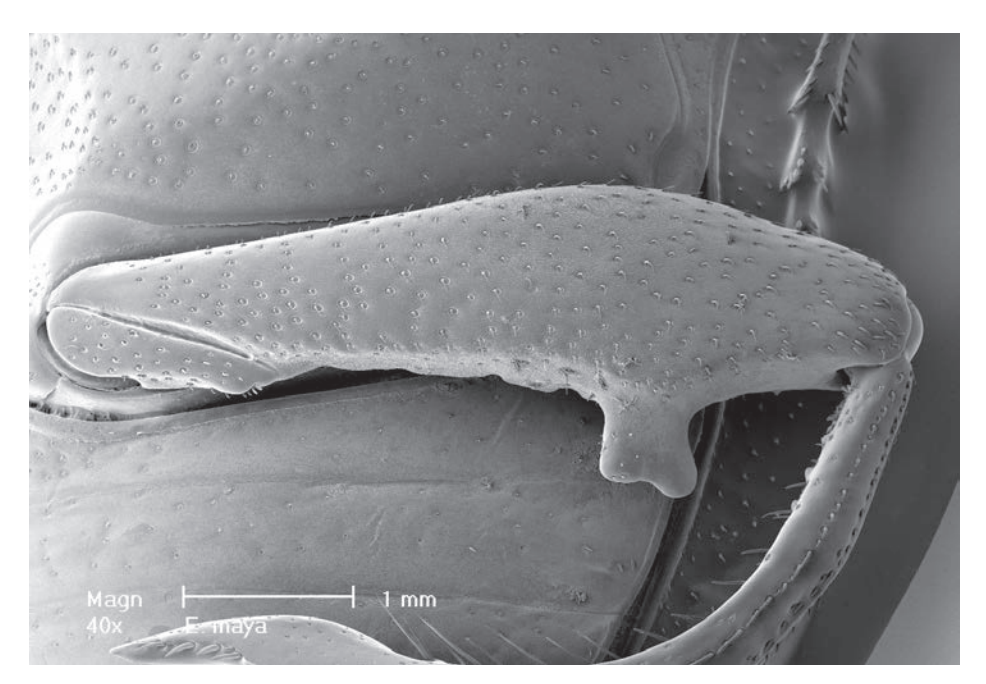


Fig. 166. *E. maya*, fémur postérieur mâle (vue ventrale)

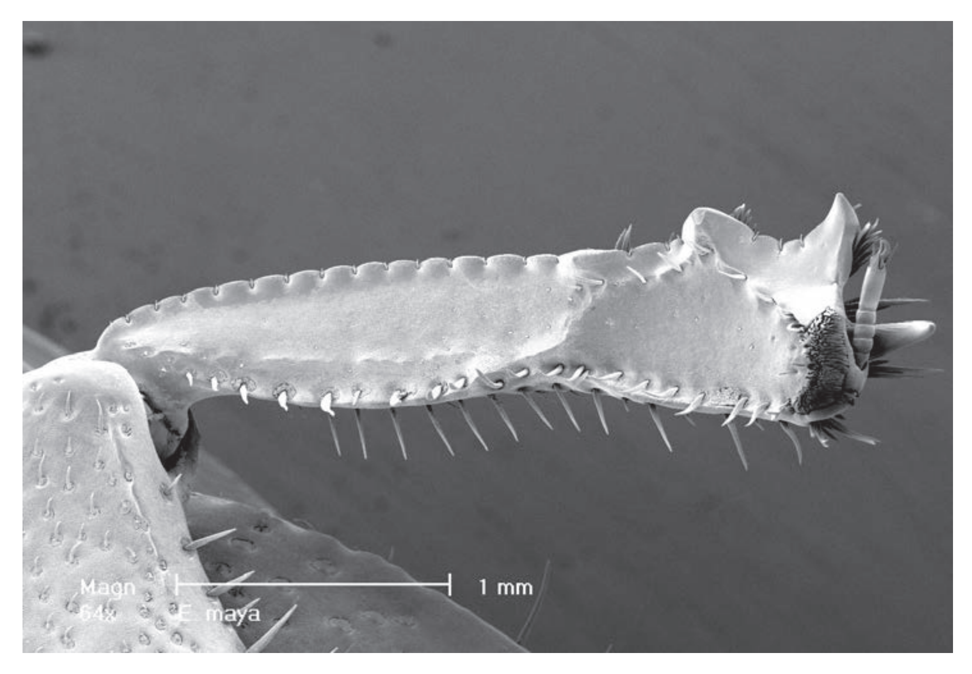


Fig. 167. *E. maya*, tibia antérieur mâle (vue ventrale)

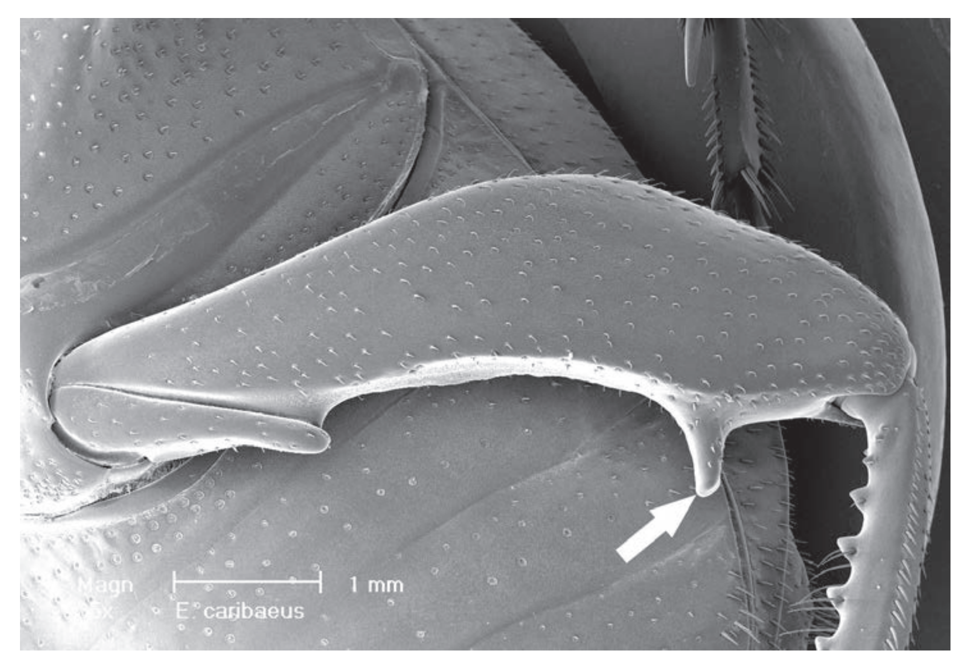


Fig. 168. *E. caribaeus*, fémur postérieur mâle (vue ventrale)

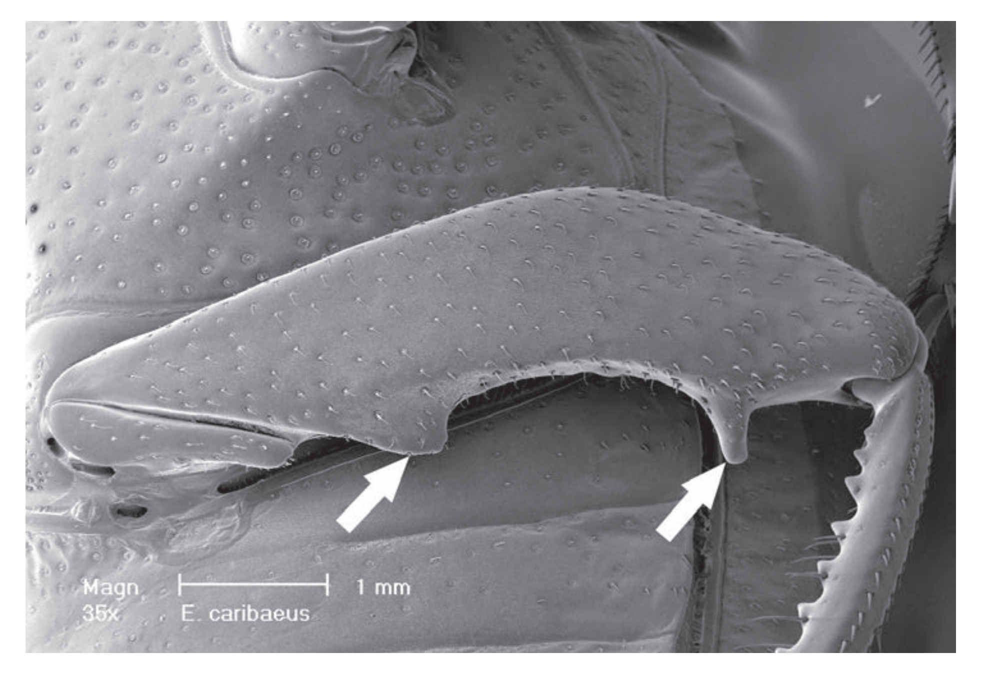


Fig. 169. *E. caribaeus*, fémur postérieur mâle (vue ventrale)

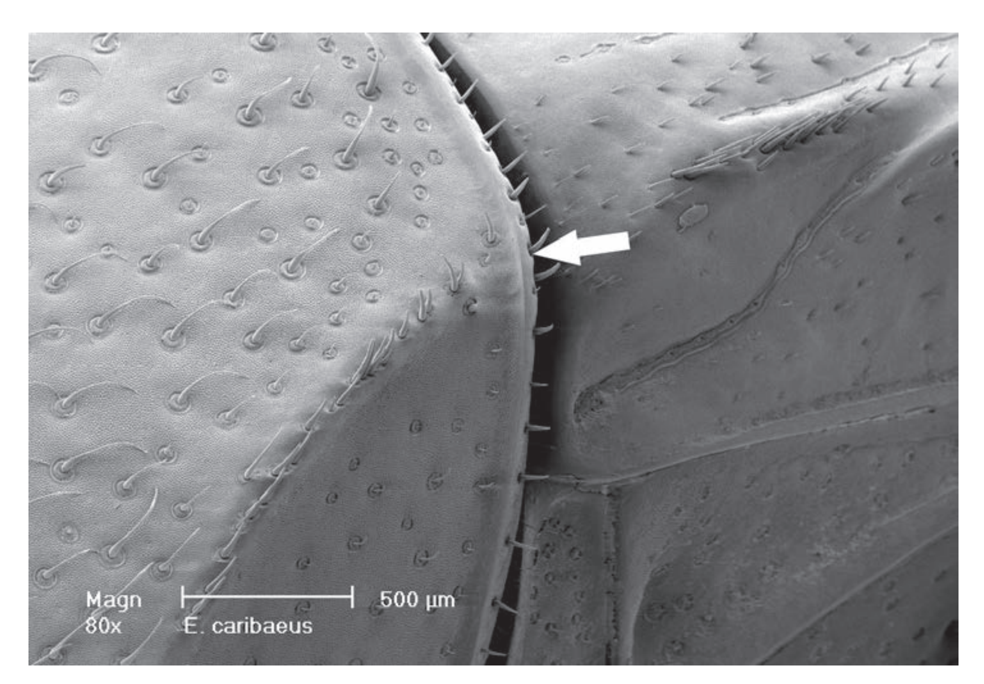


Fig. 170. *E. caribaeus*, pronotum (angle postérieur, vue latérale)

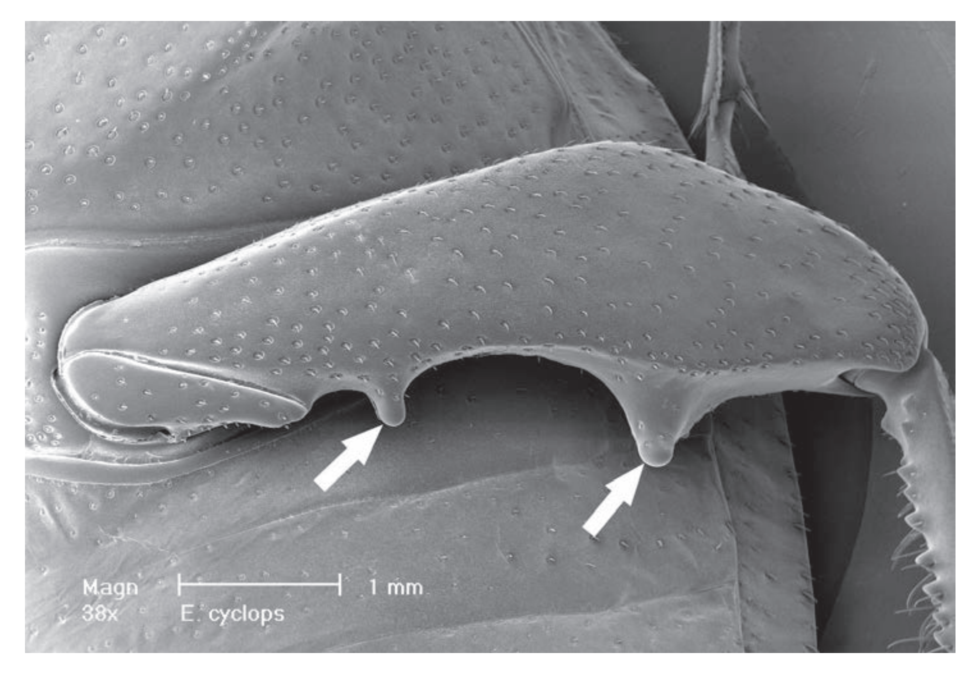


Fig. 171. *E. cyclops*, fémur postérieur mâle (vue ventrale)

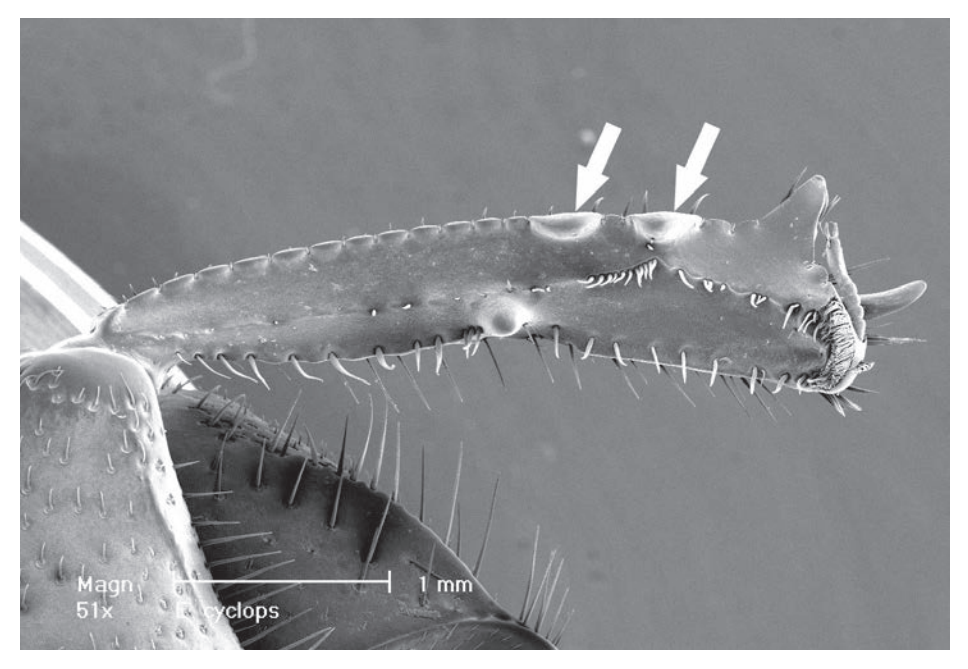


Fig. 172. *E. cyclops*, tibia antérieur mâle (vue ventrale)

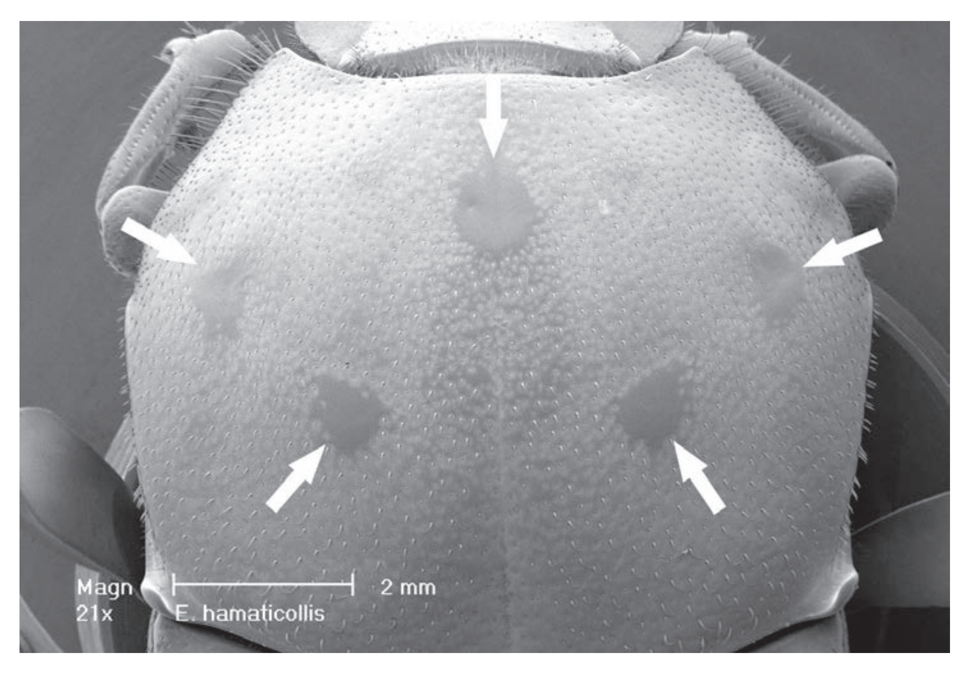


Fig. 173. *E. hamaticollis*, pronotum (vue dorsale)

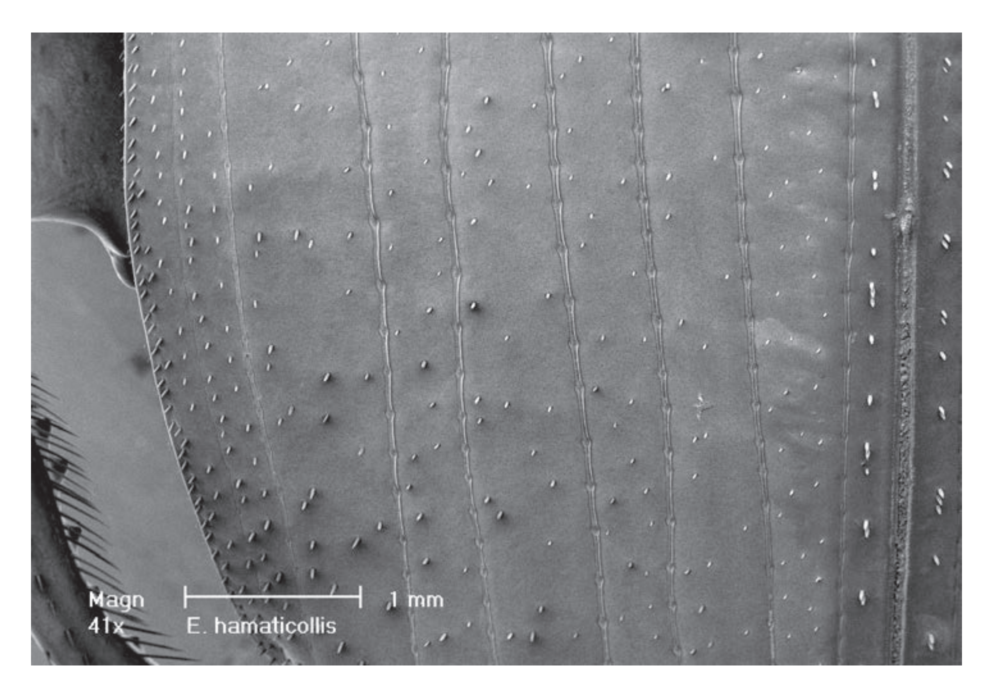


Fig. 174. *E. hamaticollis*, élytre (détail, vue dorsale)

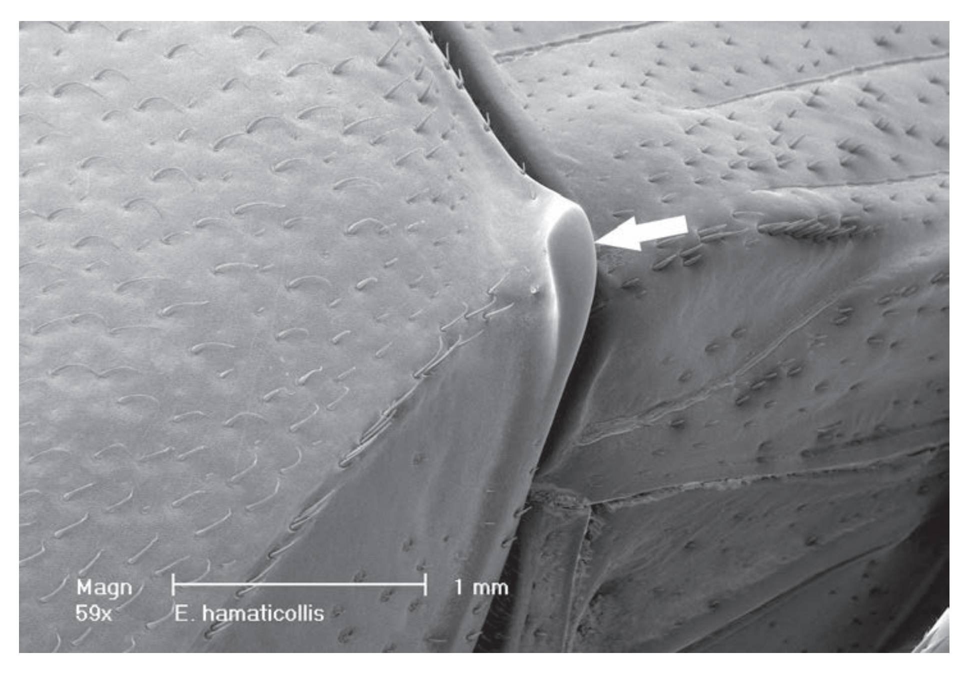


Fig. 175. *E. hamaticollis*, pronotum (angle postérieur, vue latérale)

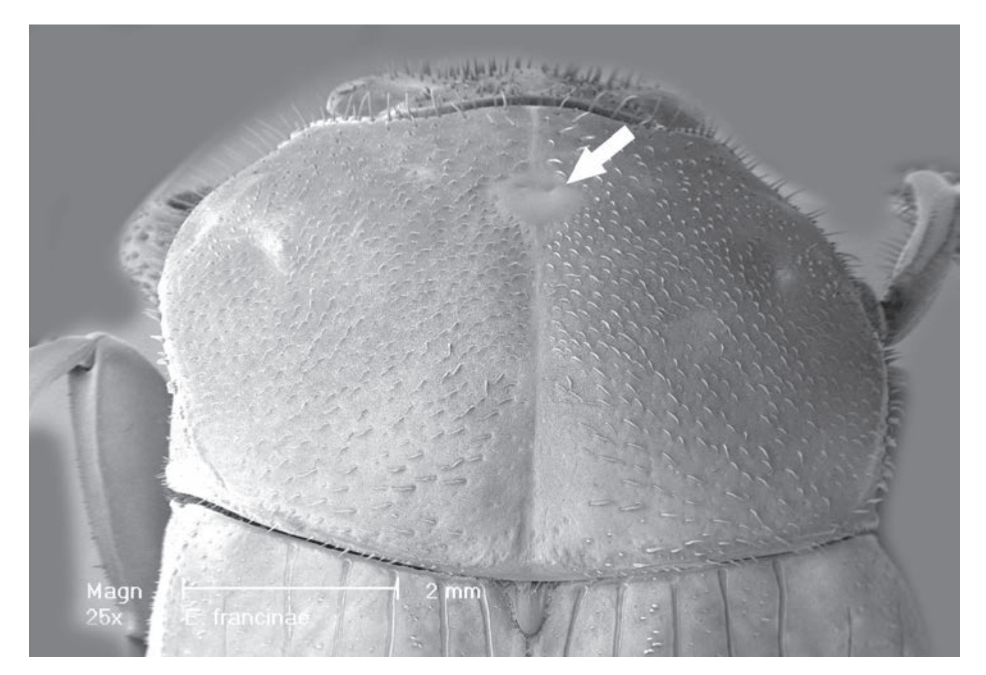


Fig. 176. *E. francinae*, pronotum (vue dorsale)

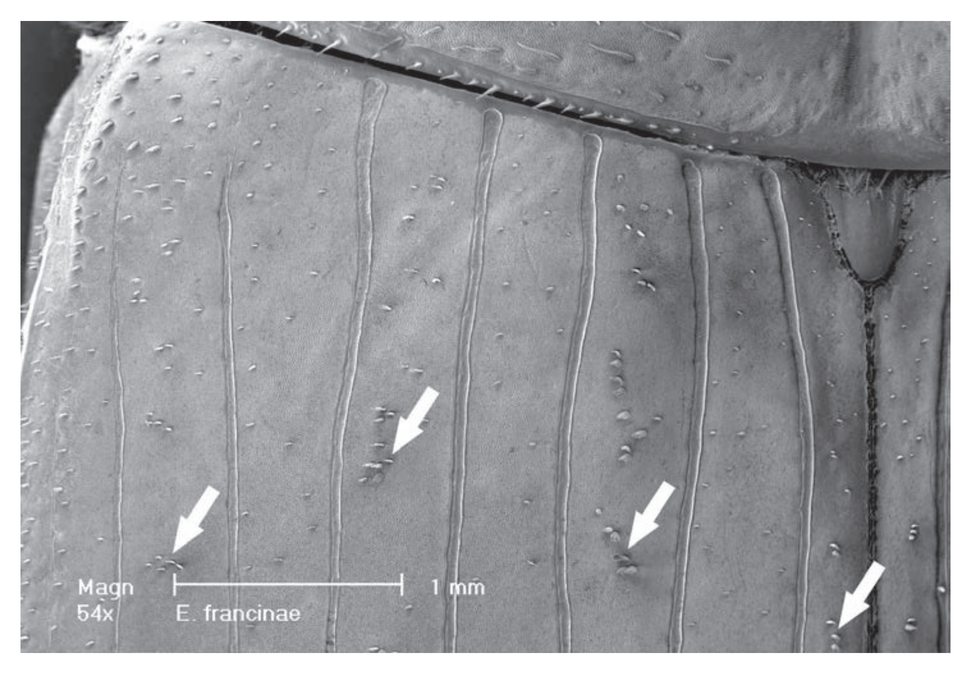


Fig. 177. *E. francinae*, élytre (détail, vue dorsale)

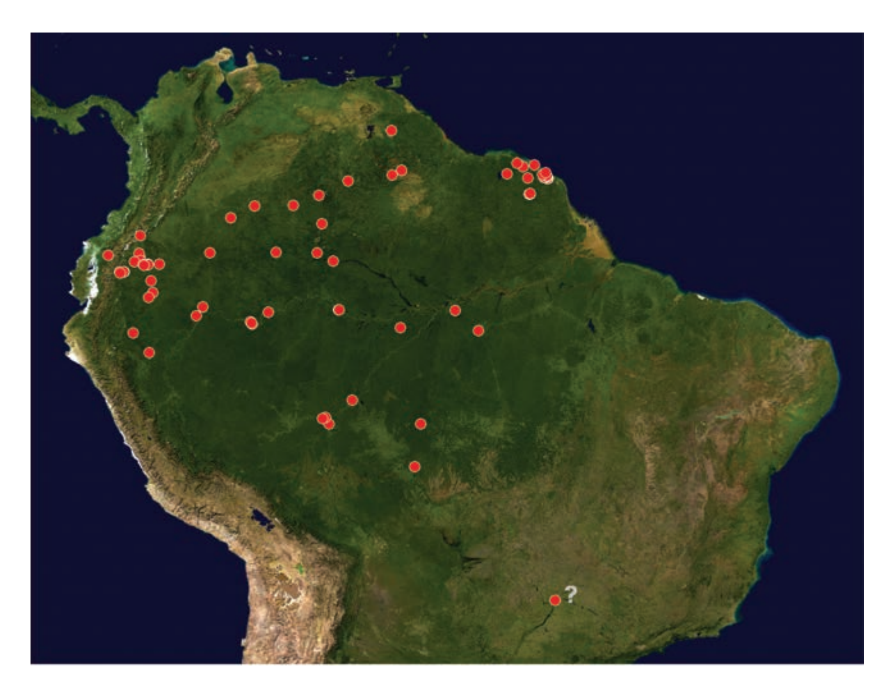


Fig. 178. Répartition géographique d'*E. cayennensis*

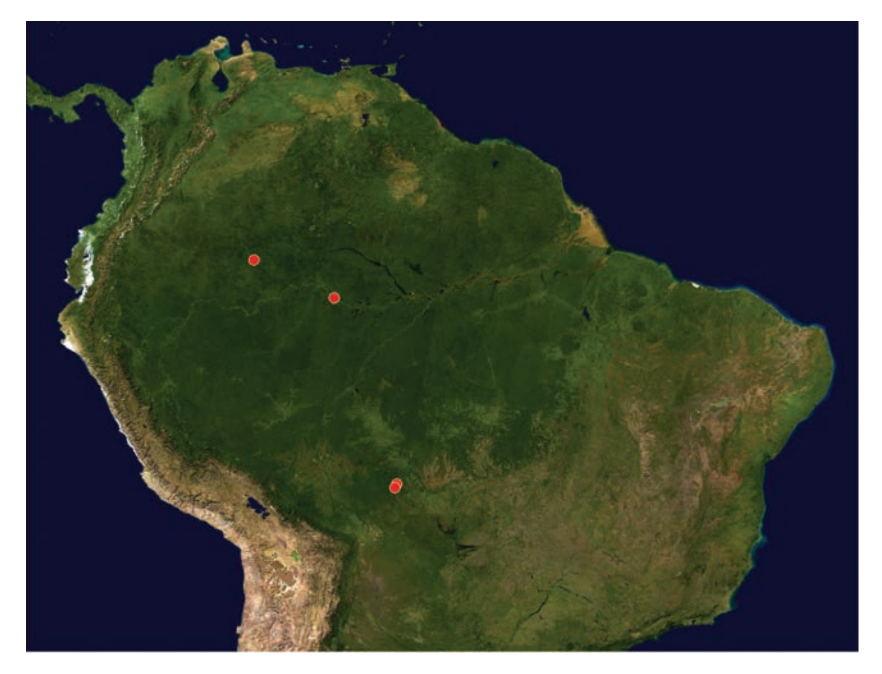


Fig. 179. Répartition géographique d'*E. gilli*

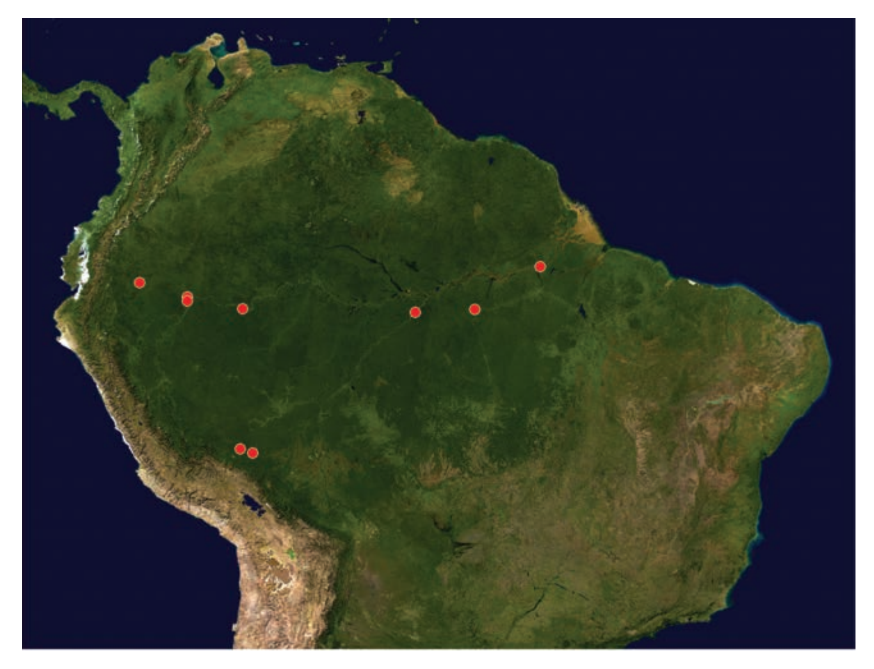


Fig. 180. Répartition géographique d'*E. gracilis*

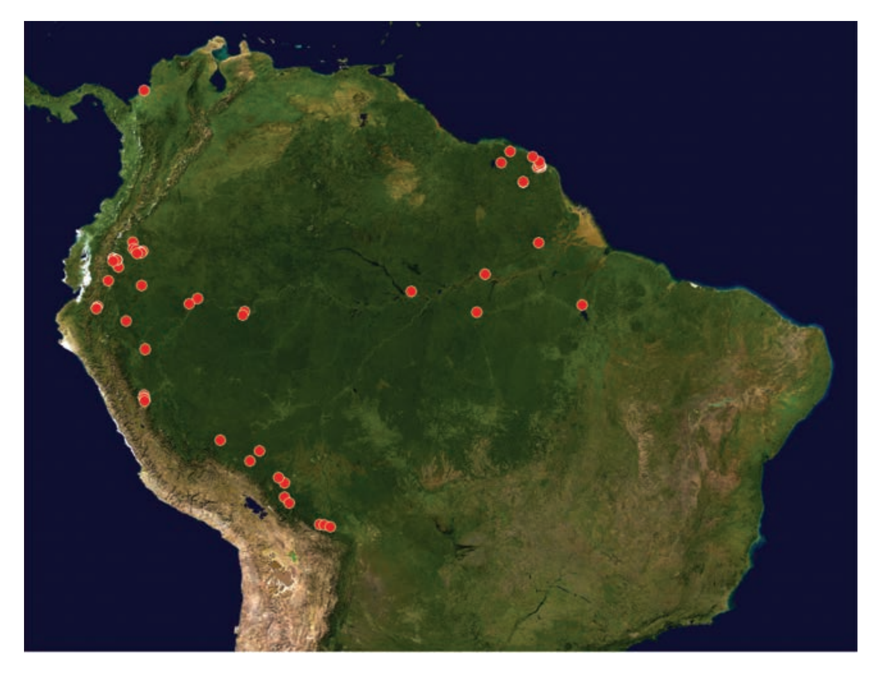


Fig. 181. Répartition géographique d'*E. vastiorum*

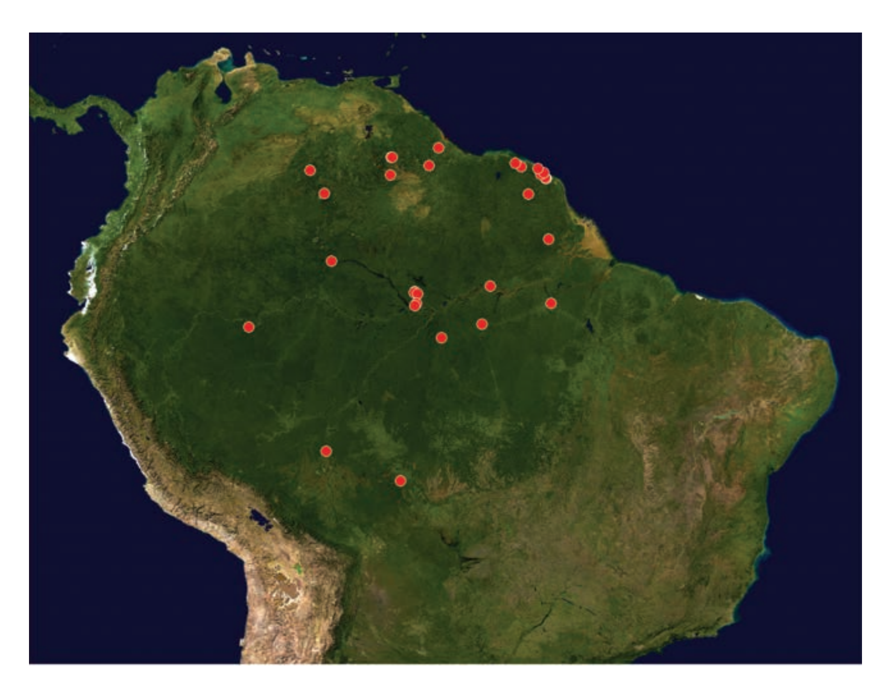


Fig. 182. Répartition géographique d'*E. ventricosus*

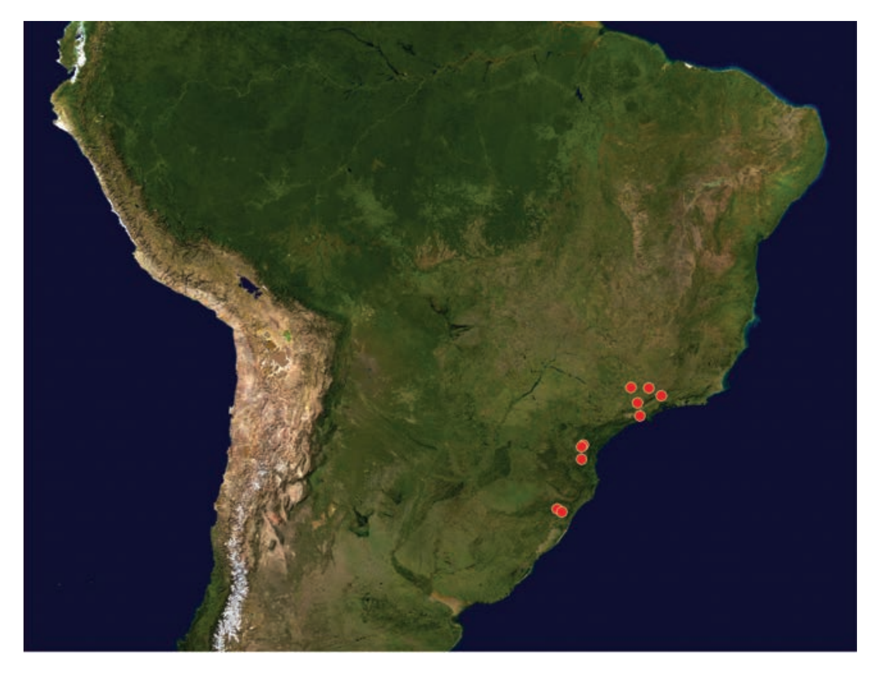


Fig. 183. Répartition géographique d'*E. deplanatus*

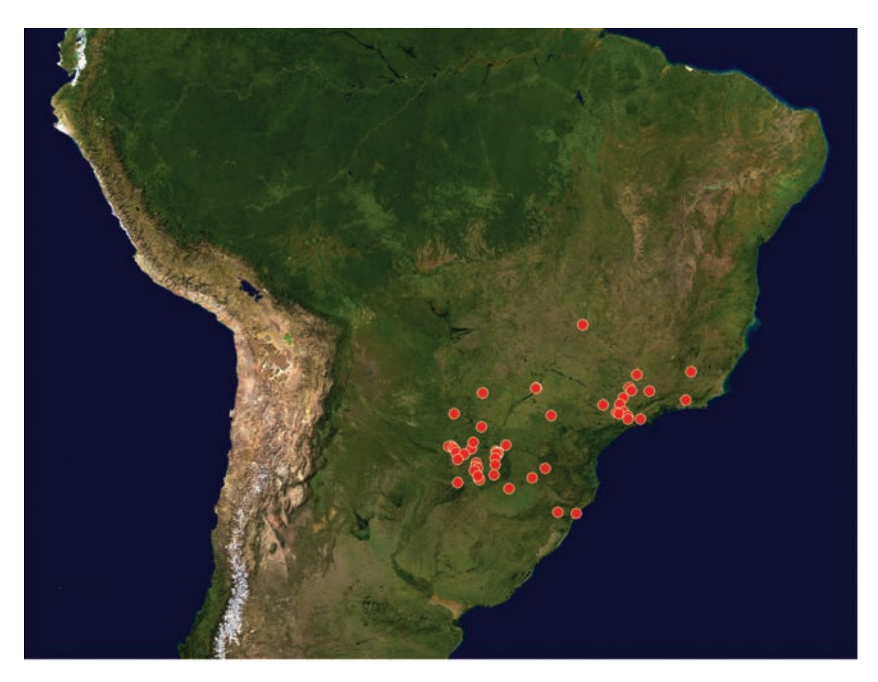


Fig. 184. Répartition géographique d'*E. parallelus*

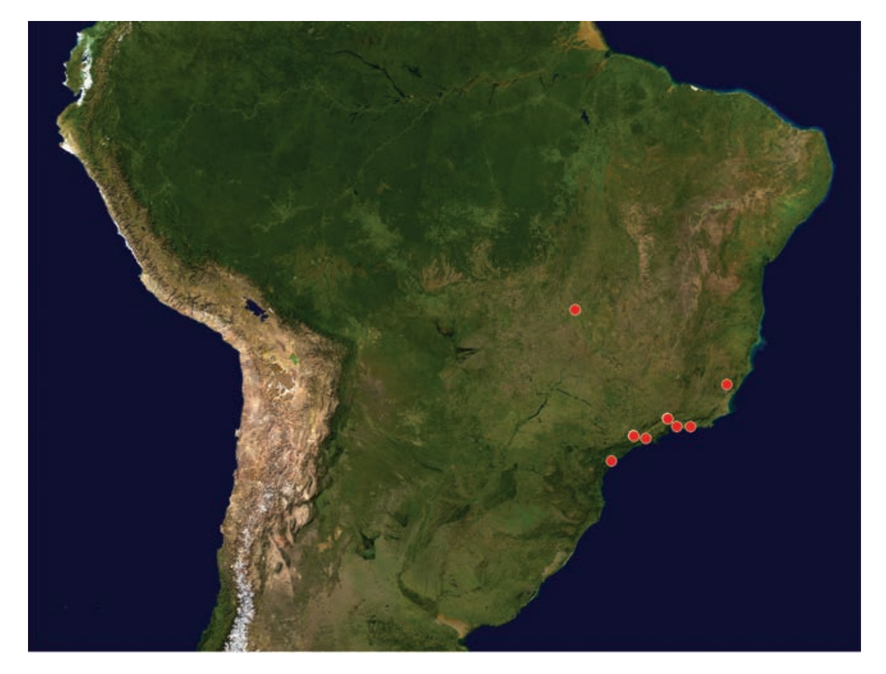


Fig. 185. Répartition géographique d'*E. inflexus*

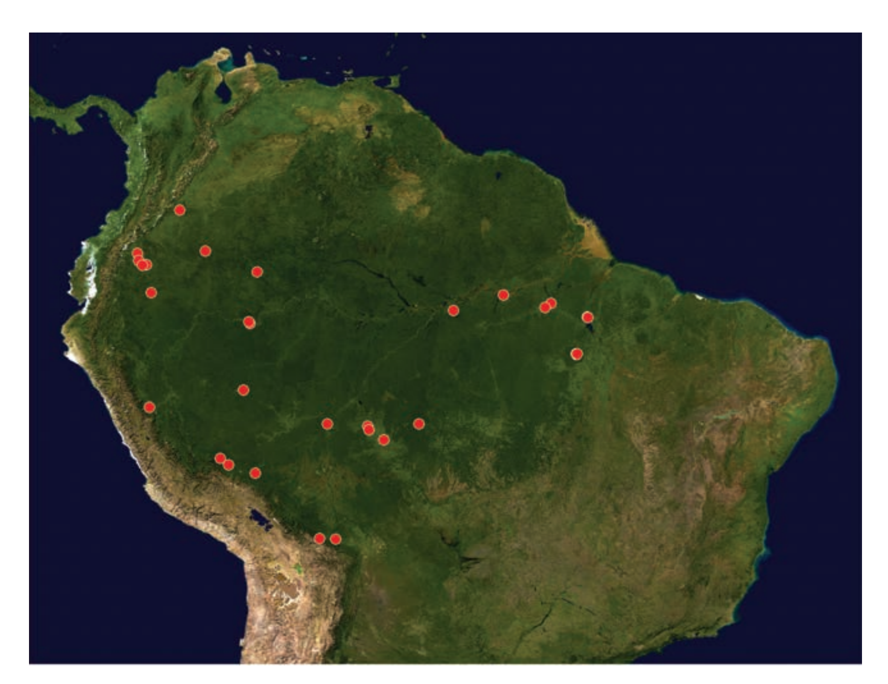


Fig. 186. Répartition géographique d'*E. wittmerorum*

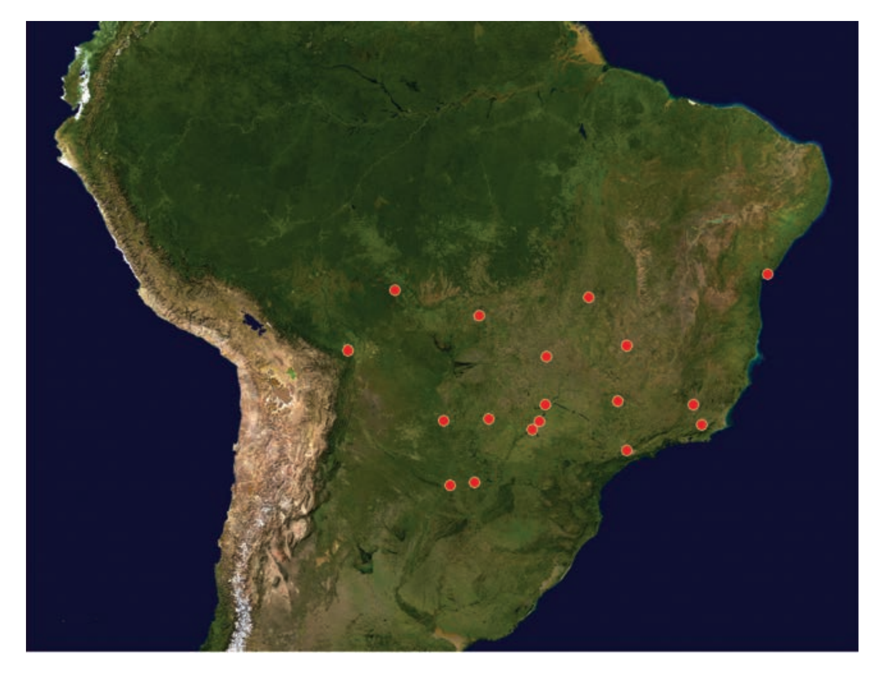


Fig. 187. Répartition géographique d'*E. jessopi*

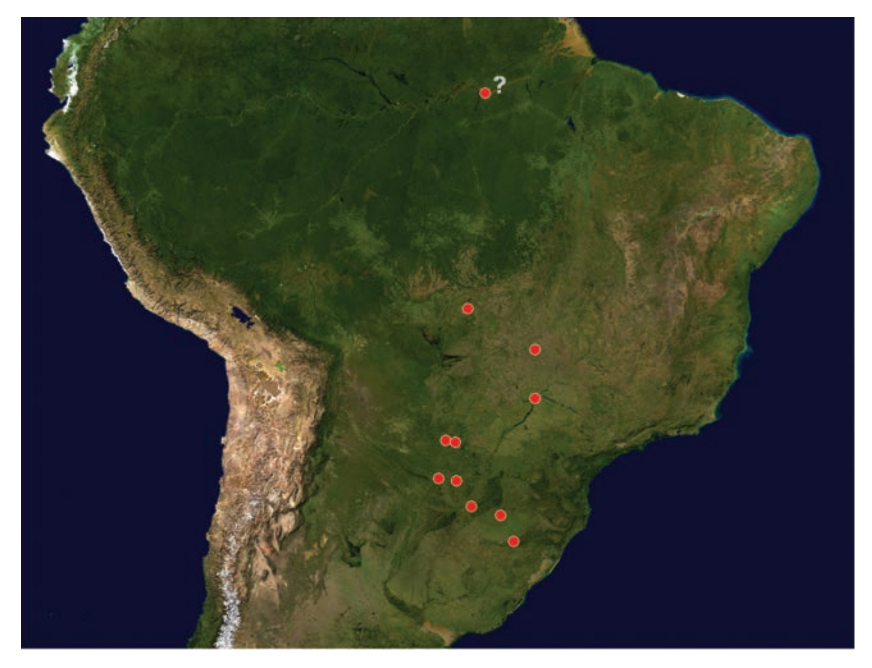


Fig. 188. Répartition géographique d'*E. navajasi*



Fig. 189. Répartition géographique d'*E. nanus*

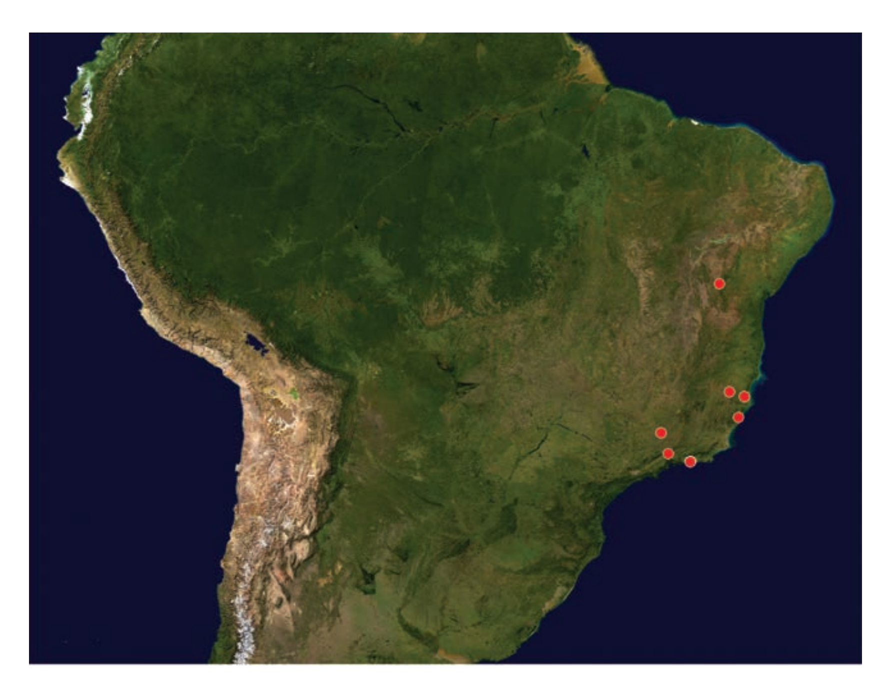


Fig. 190. Répartition géographique d'*E. hirtellus*

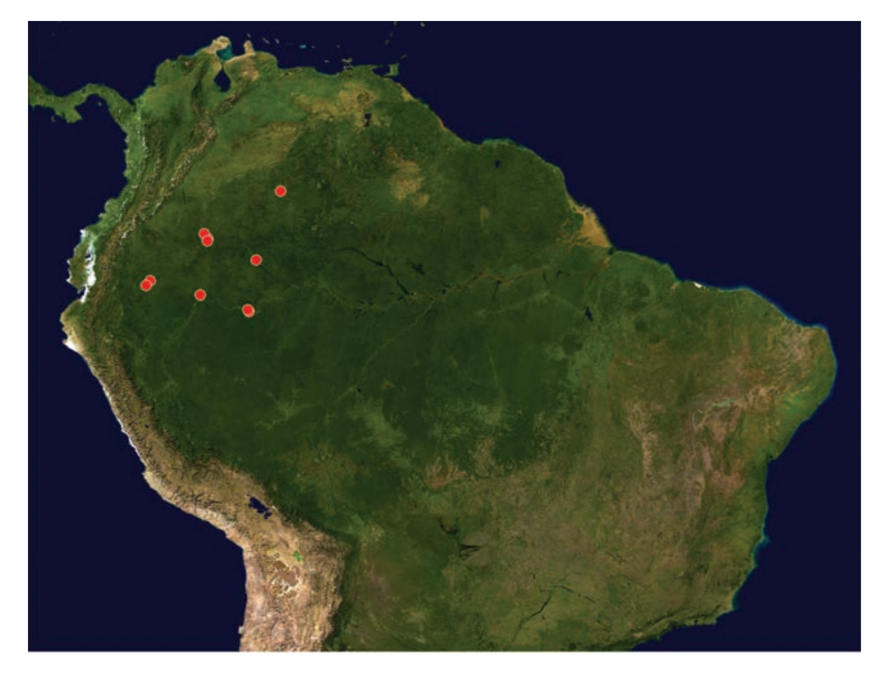


Fig. 191. Répartition géographique d'*E. squamosus*

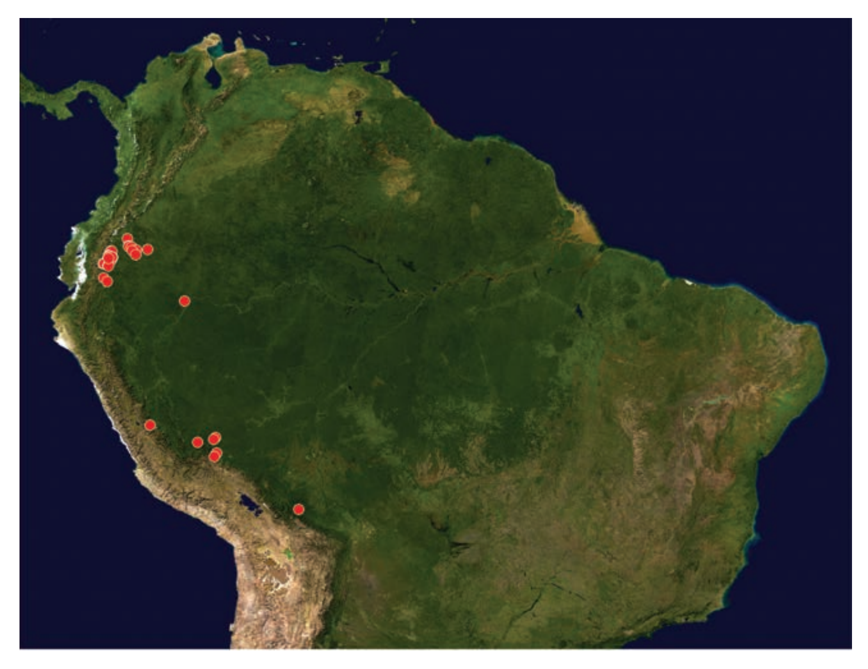


Fig. 192. Répartition géographique d'*E. lanuginosus*

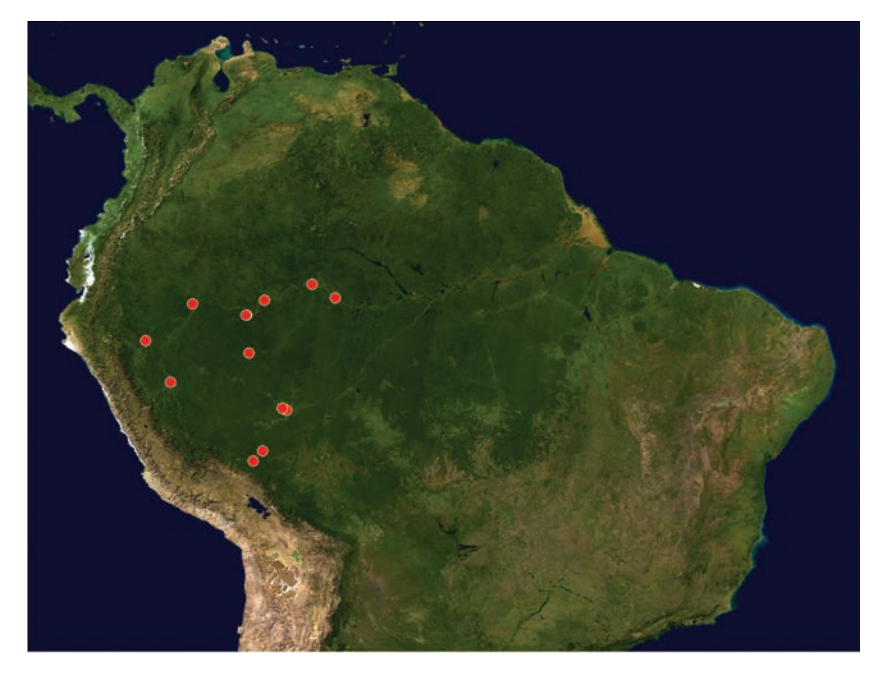


Fig. 193. Répartition géographique d'*E. strigilatus*

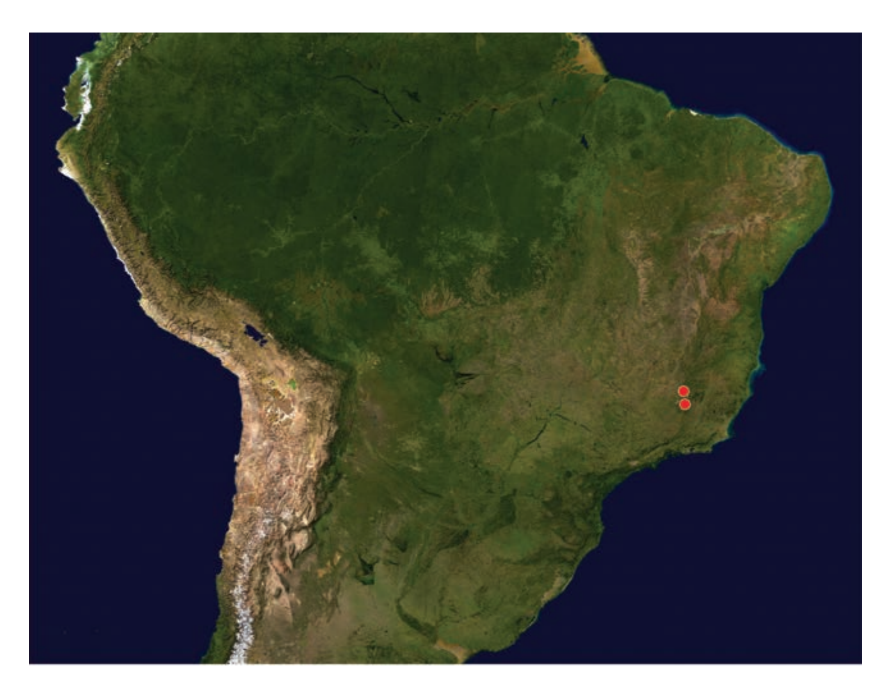


Fig. 194. Répartition géographique d'*E. martinsi*

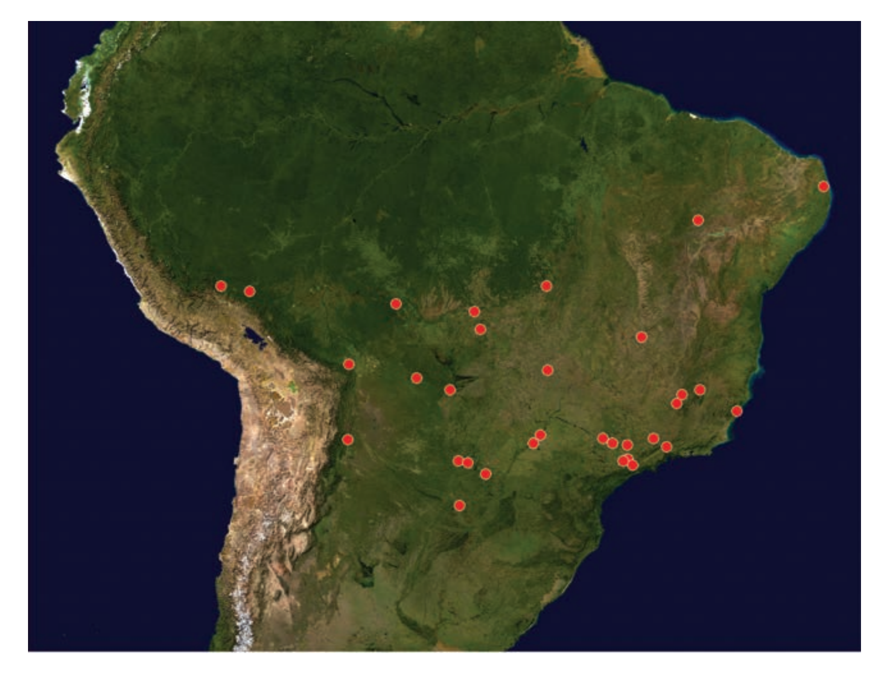


Fig. 195. Répartition géographique d'*E. nigrovirens*

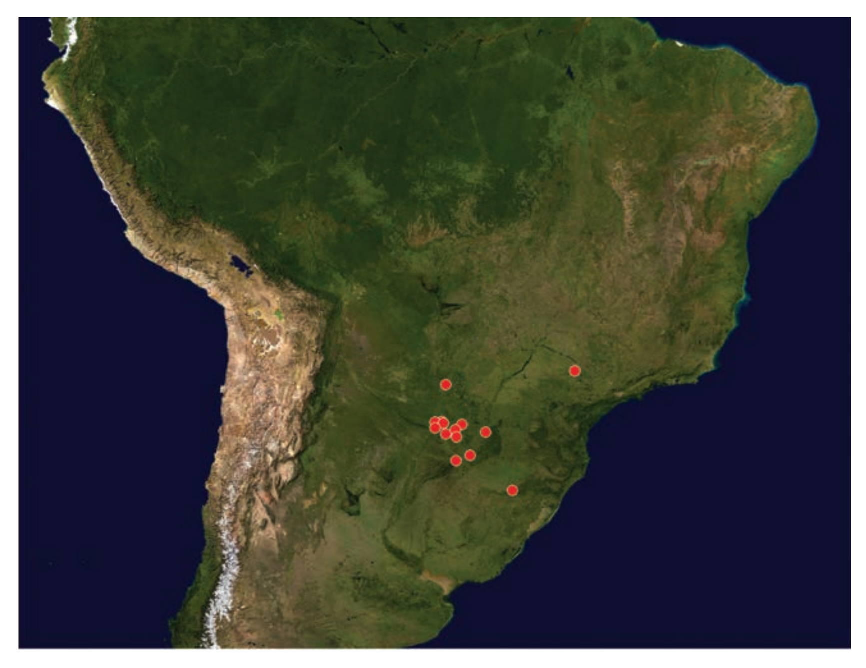


Fig. 196. Répartition géographique d'*E. aeneus*

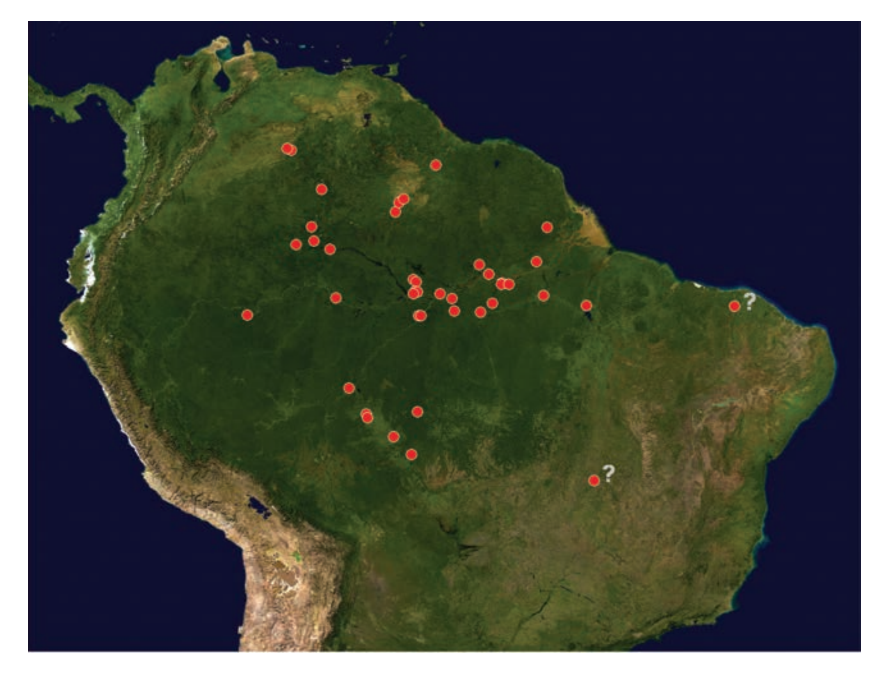


Fig. 197. Répartition géographique d'*E. atrosericus*

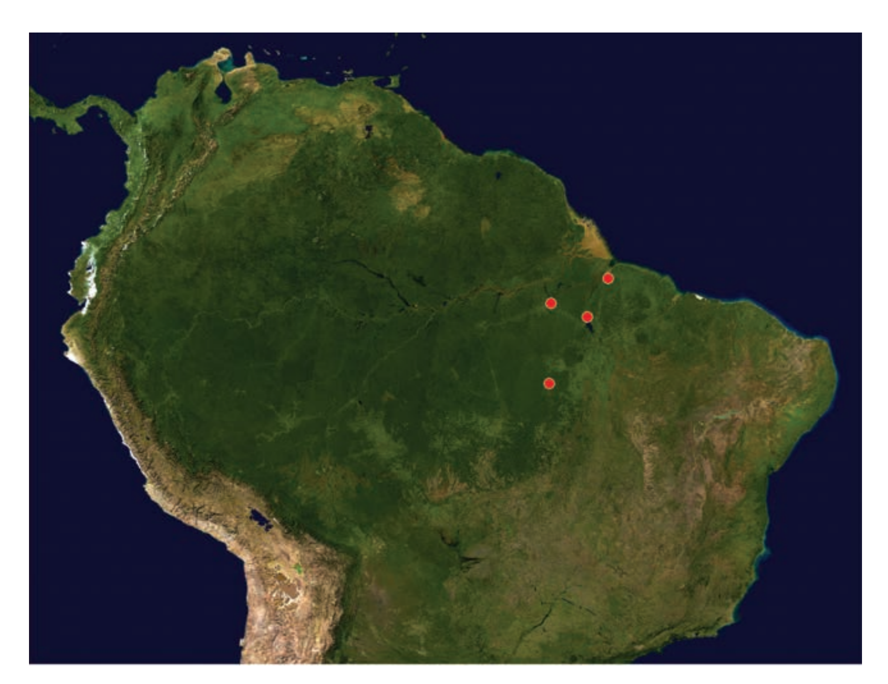


Fig. 198. Répartition géographique d'*E. cavatus*



Fig. 199. Répartition géographique d'*E. cambeforti*



Fig. 200. Répartition géographique d'*E. fallaciosus*

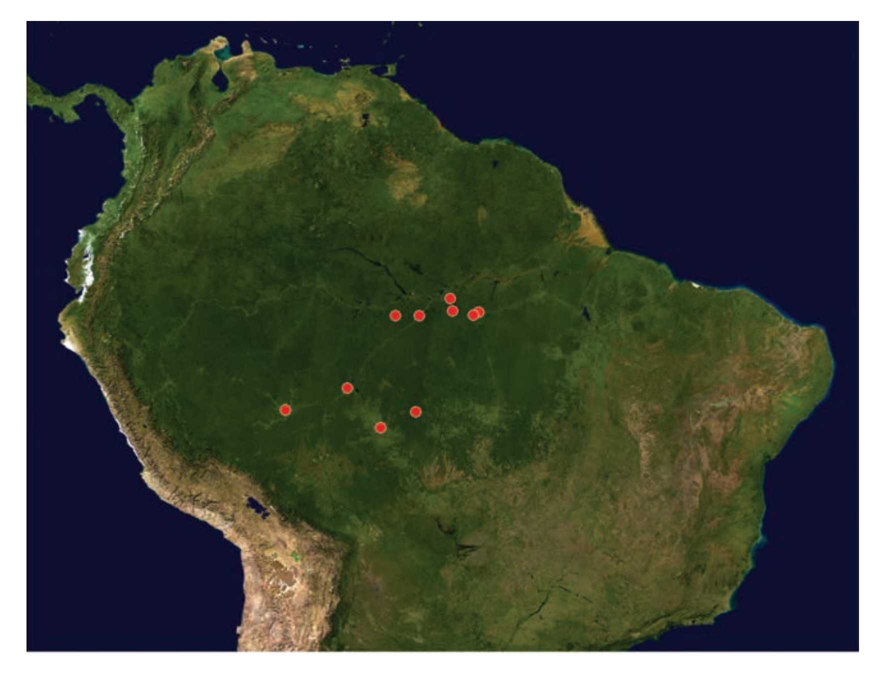


Fig. 201. Répartition géographique d'*E. arnaudi*

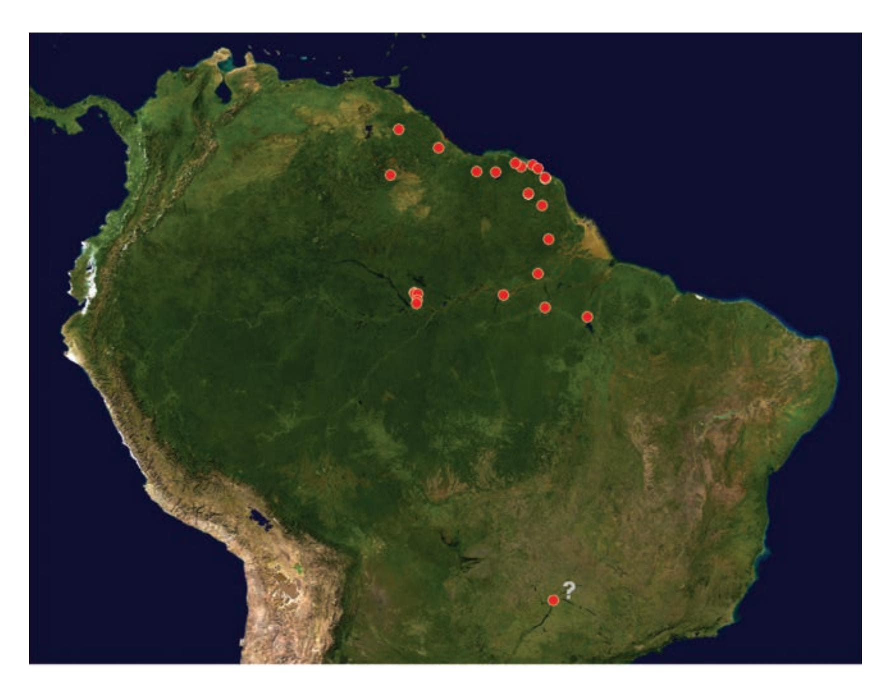


Fig. 202. Répartition géographique d'*E. balachowskyi*



Fig. 203. Répartition géographique d'*E. calligrammus*

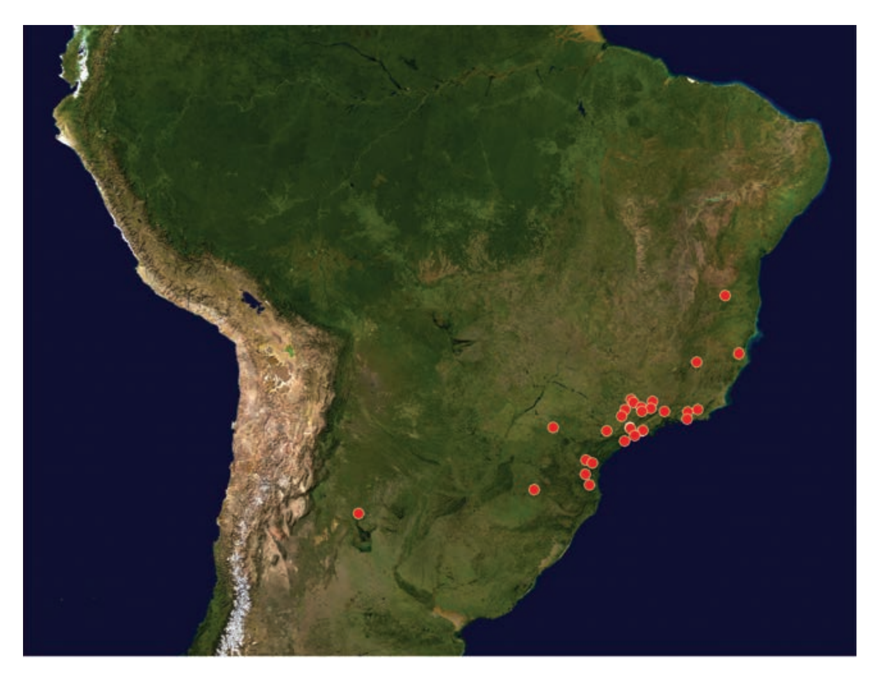


Fig. 204. Répartition géographique d'*E. cyanescens*



Fig. 205. Répartition géographique d'*E. superbus*



Fig. 206. Répartition géographique d'*E. contractus*

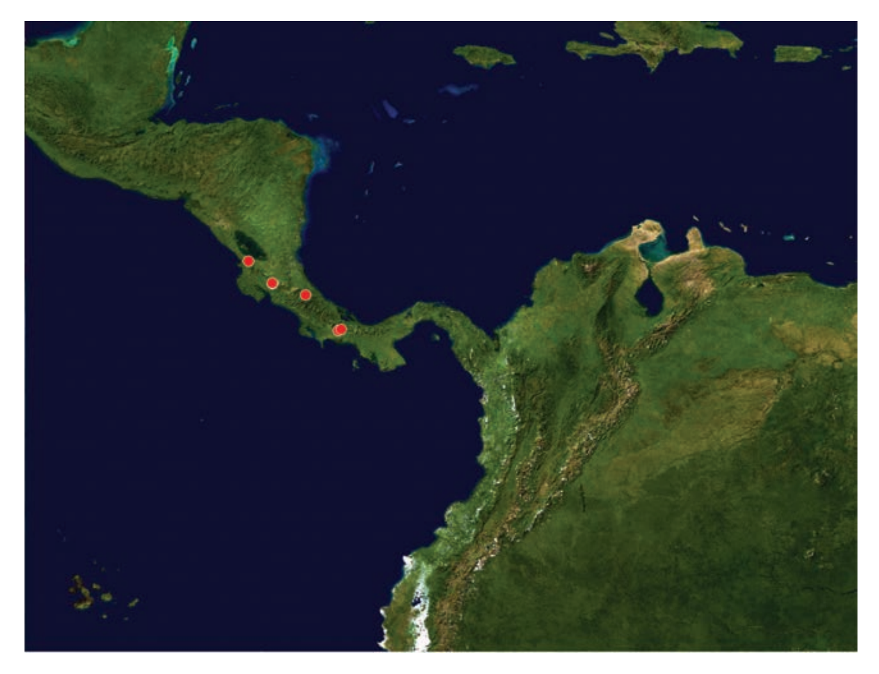


Fig. 207. Répartition géographique d'*E. olivaceus*



Fig. 208. Répartition géographique d'*E. uniformis*

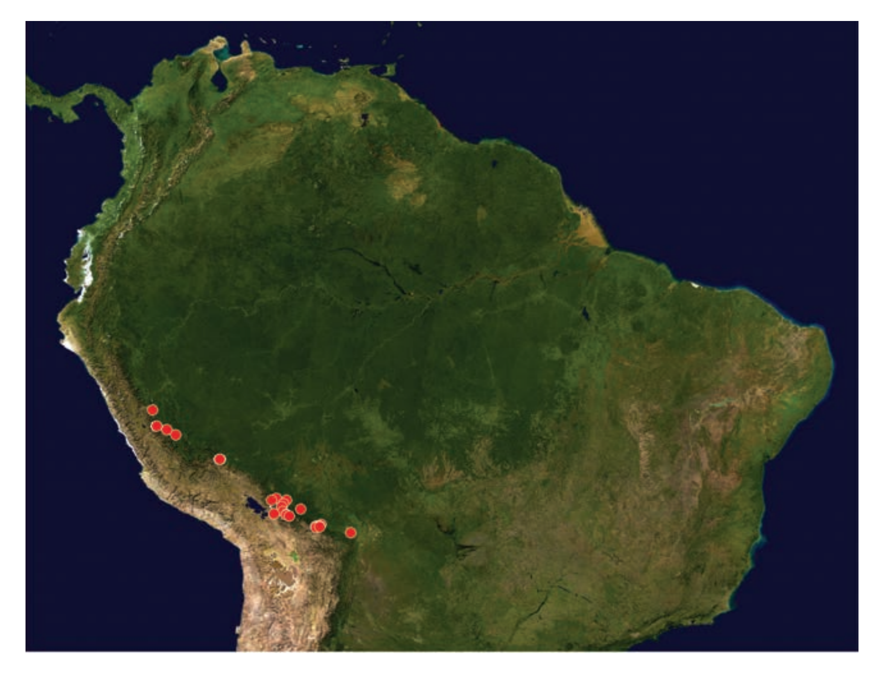


Fig. 209. Répartition géographique d'*E. inca*



Fig. 210. Répartition géographique d'*E. obliteratus*



Fig. 211. Répartition géographique d'*E. velutinus*

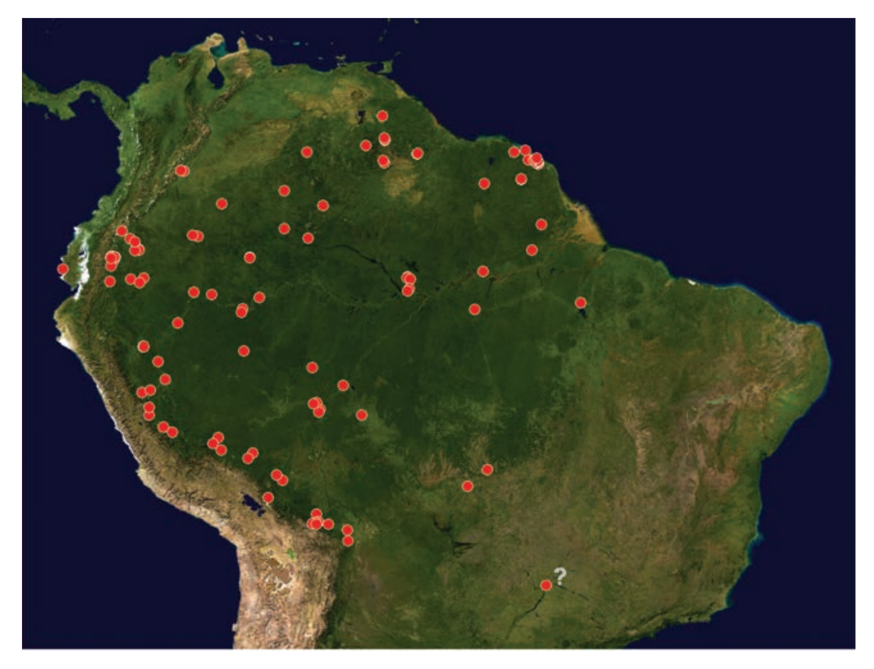


Fig. 212. Répartition géographique d'*E. hypocrita*

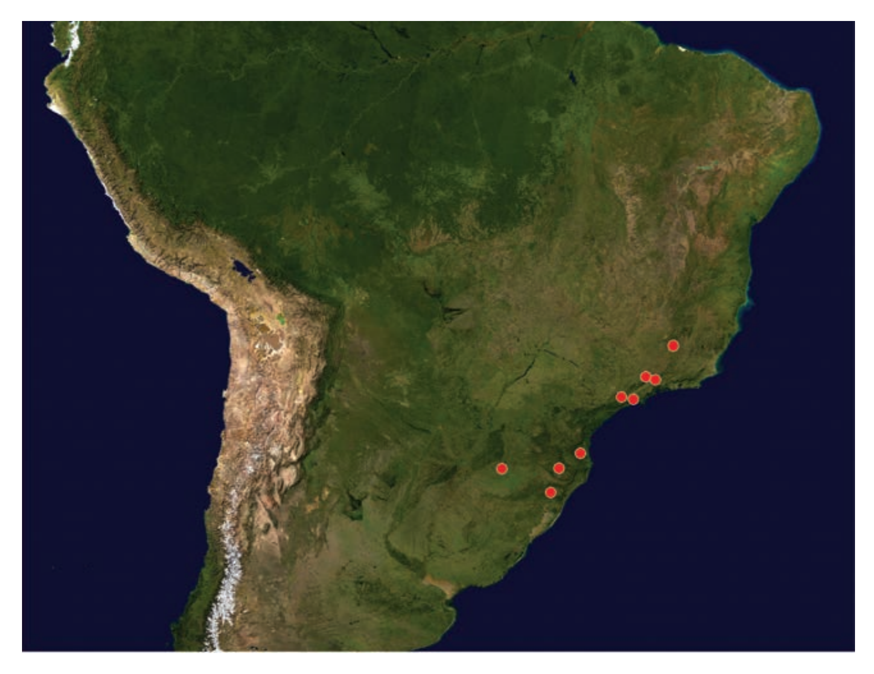


Fig. 213. Répartition géographique d'*E. sulcifer*

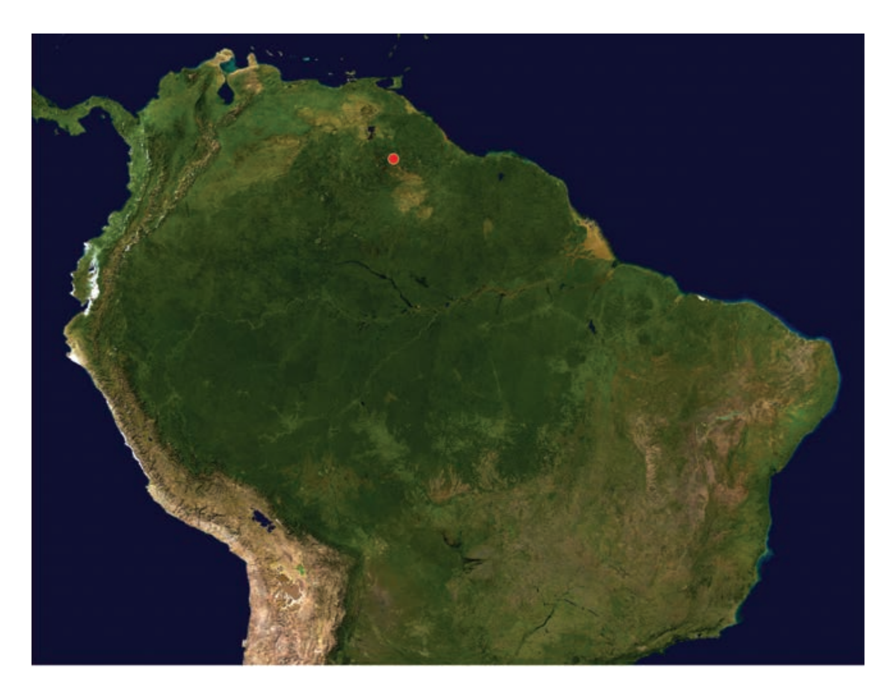


Fig. 214. Répartition géographique d'*E. sanbornei*

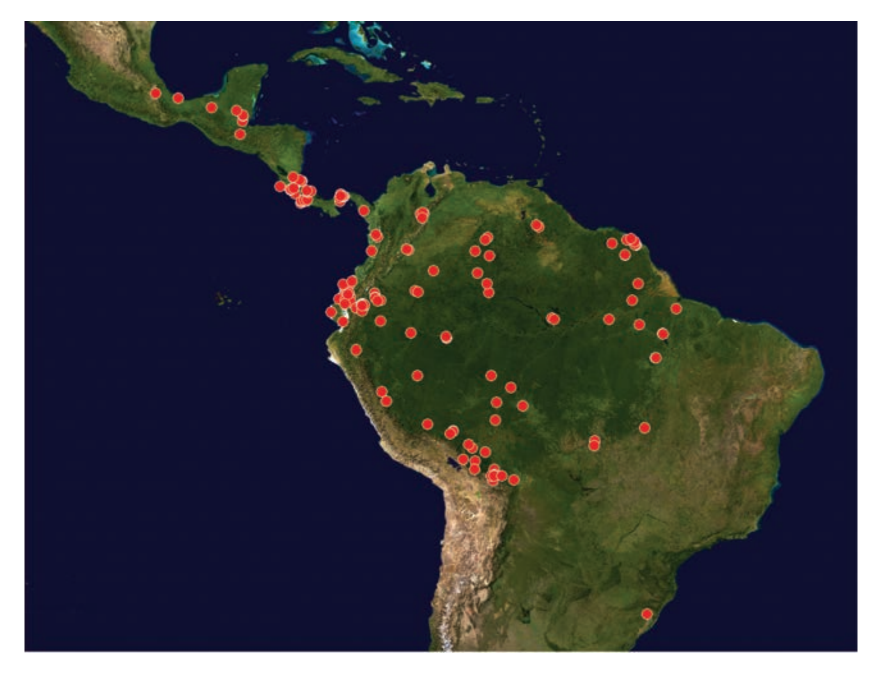


Fig. 215. Répartition géographique d'*E. foedus*

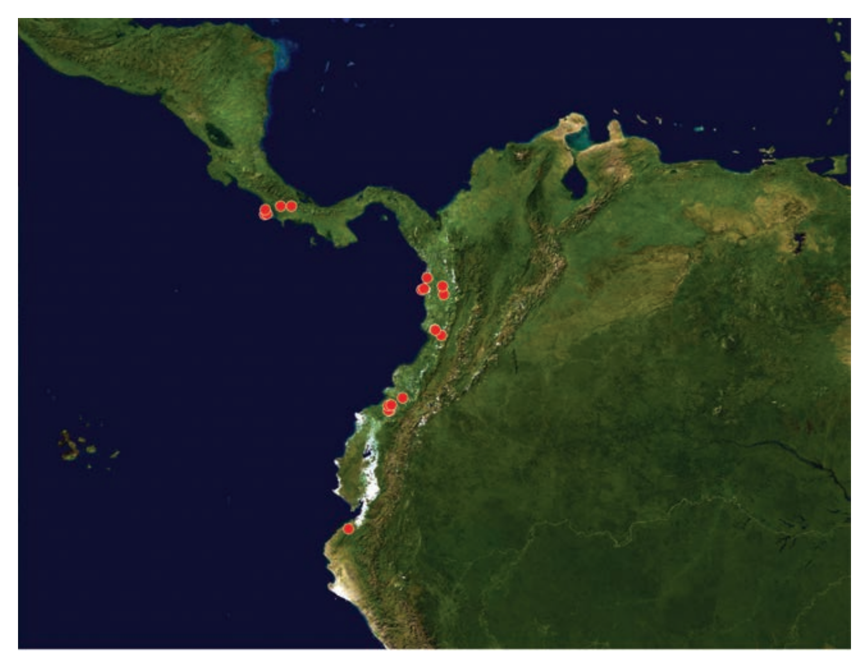


Fig. 216. Répartition géographique d'*E. streblus*

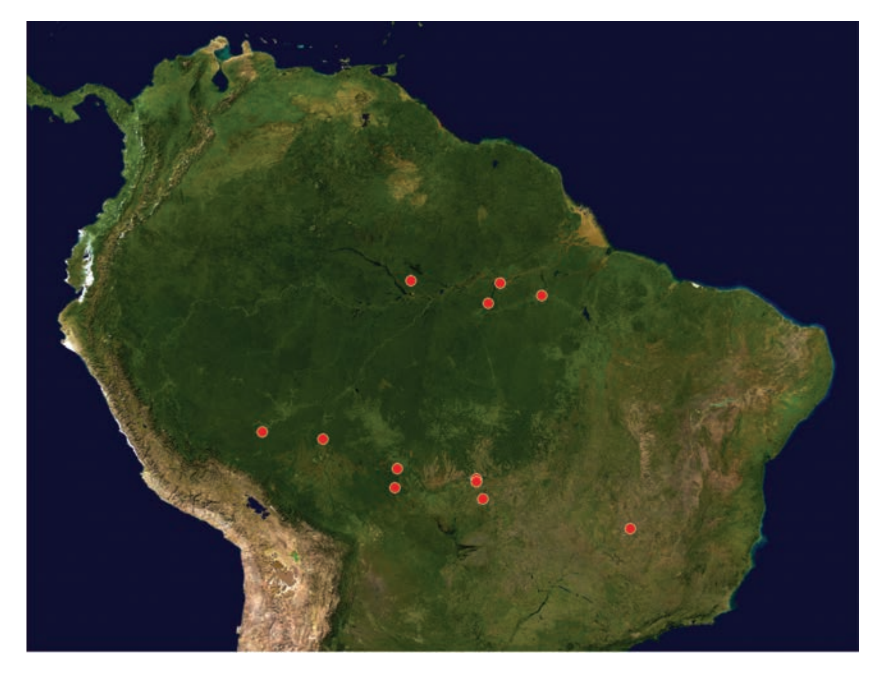


Fig. 217. Répartition géographique d'*E. howdeni*

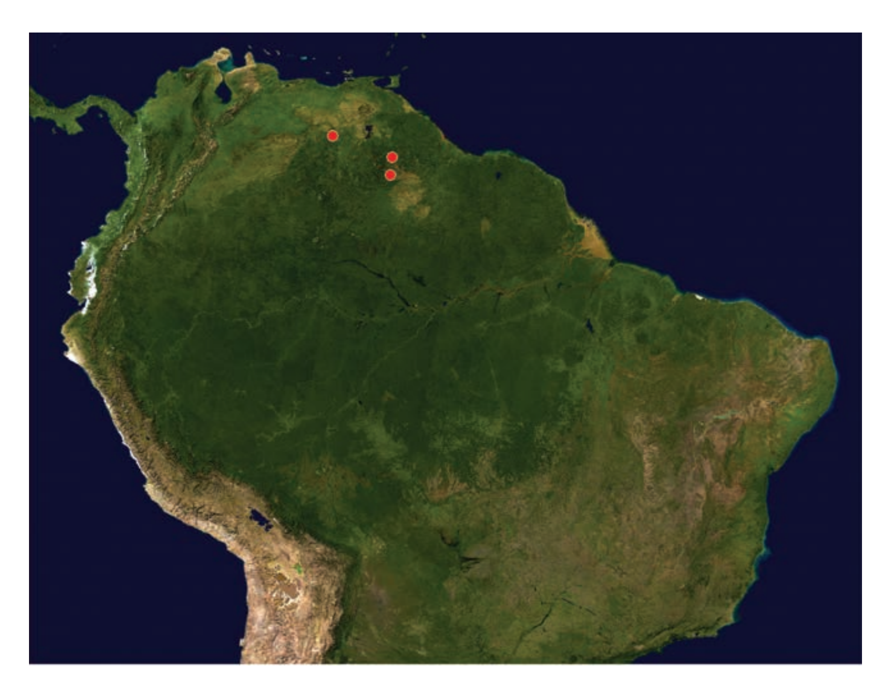


Fig. 218. Répartition géographique d'*E. truncus*

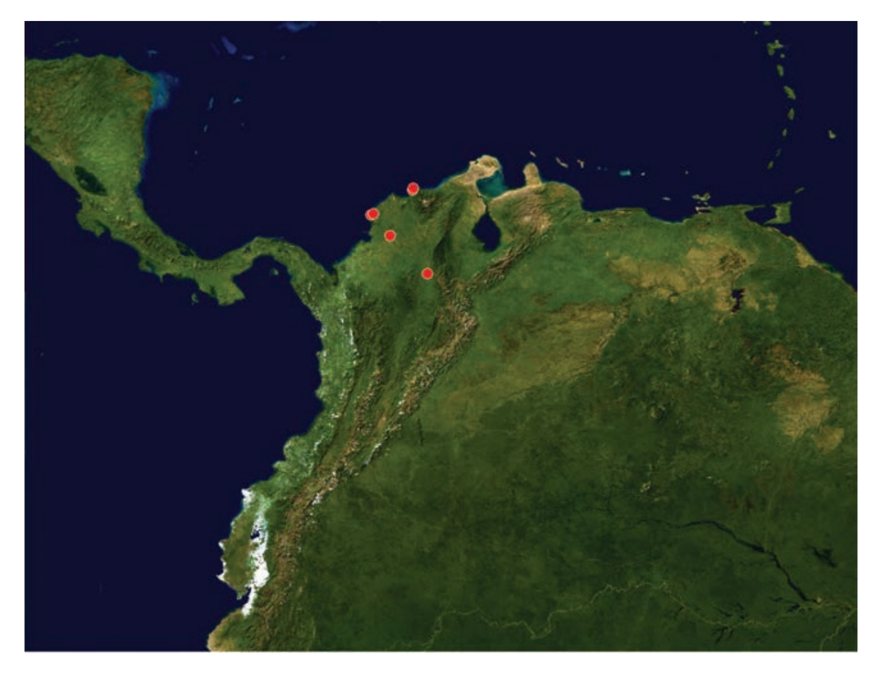


Fig. 219. Répartition géographique d'*E. impressicollis*

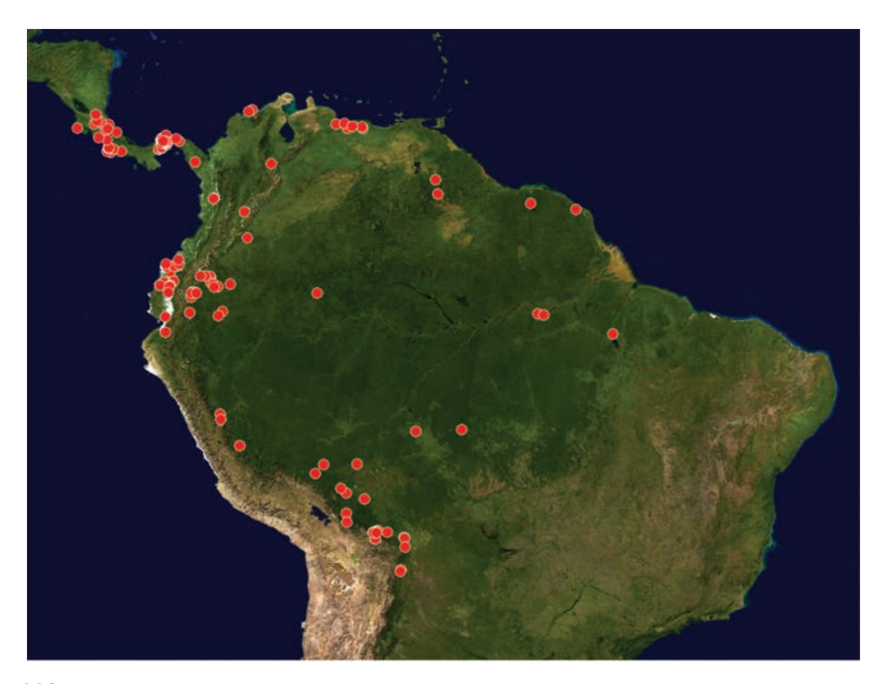


Fig. 220. Répartition géographique d'*E. plebejus*

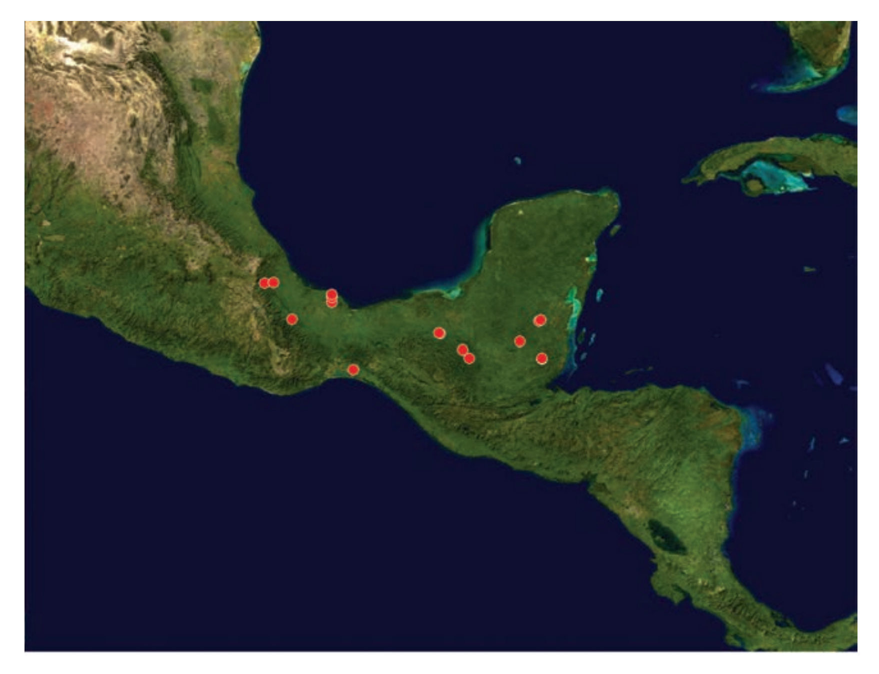


Fig. 221. Répartition géographique d'*E. angustulus*

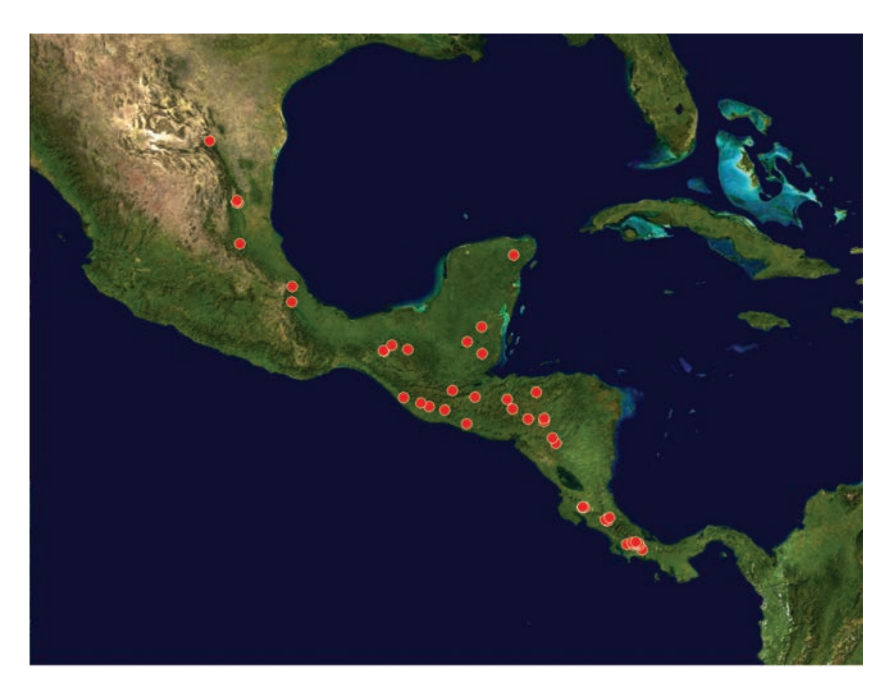


Fig. 222. Répartition géographique d'*E. magnus*

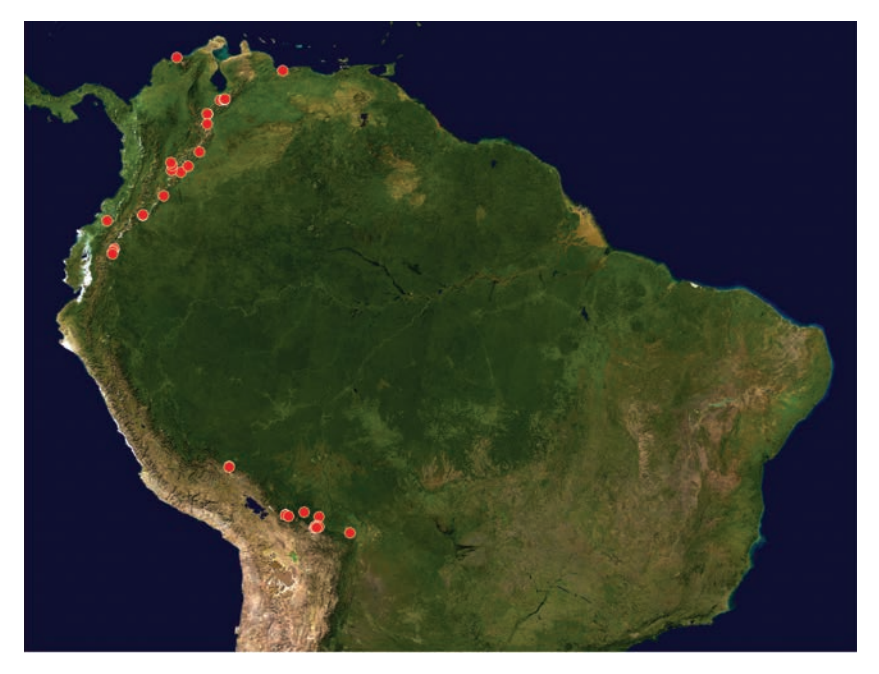


Fig. 223. Répartition géographique d'*E. marmoreus*

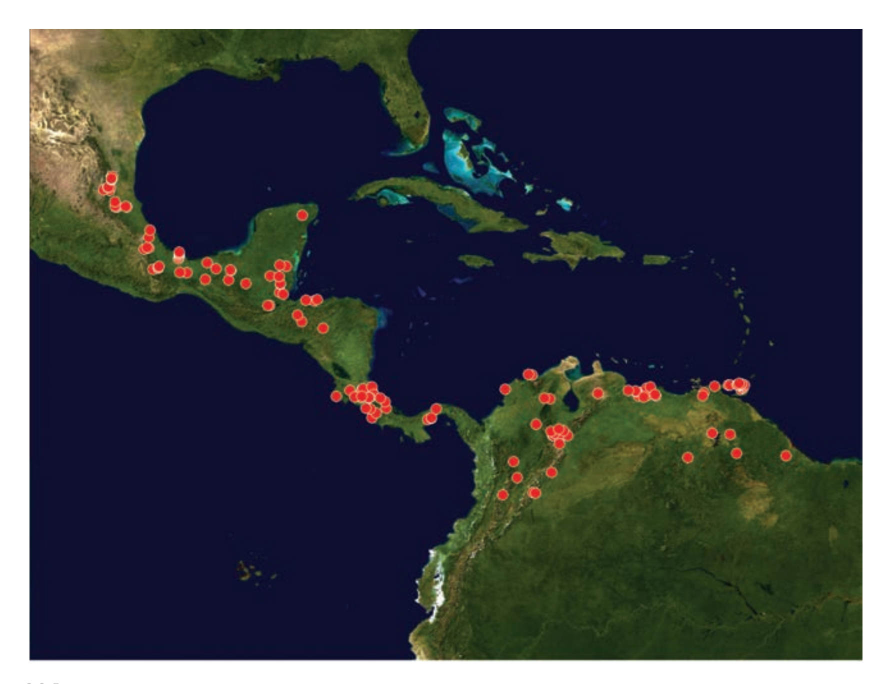


Fig. 224. Répartition géographique d'*E. mexicanus*

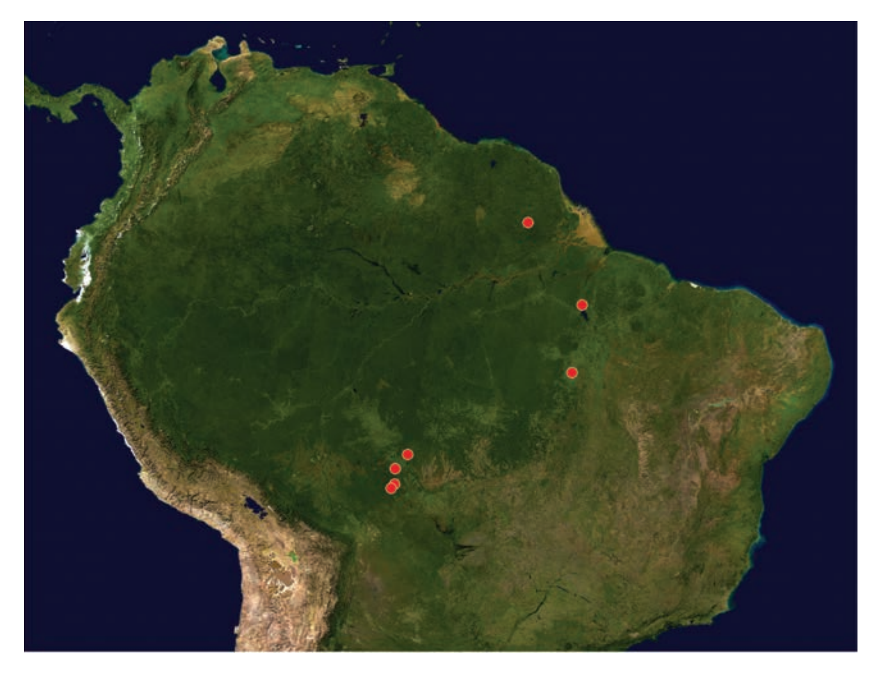


Fig. 225. Répartition géographique d'*E. harlequin*

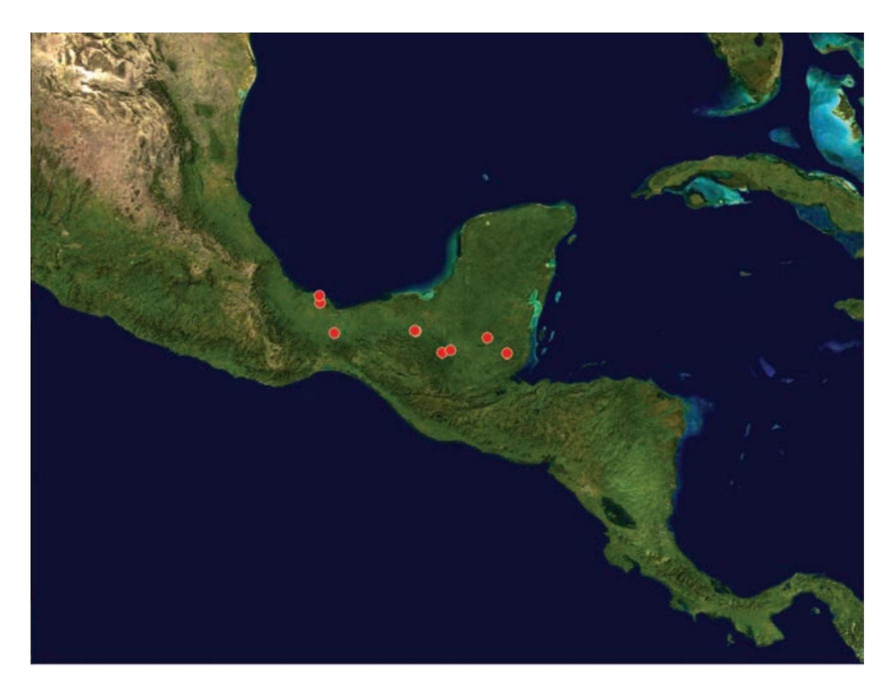


Fig. 226. Répartition géographique d'*E. maya*



Fig. 227. Répartition géographique d'*E. caribaeus*

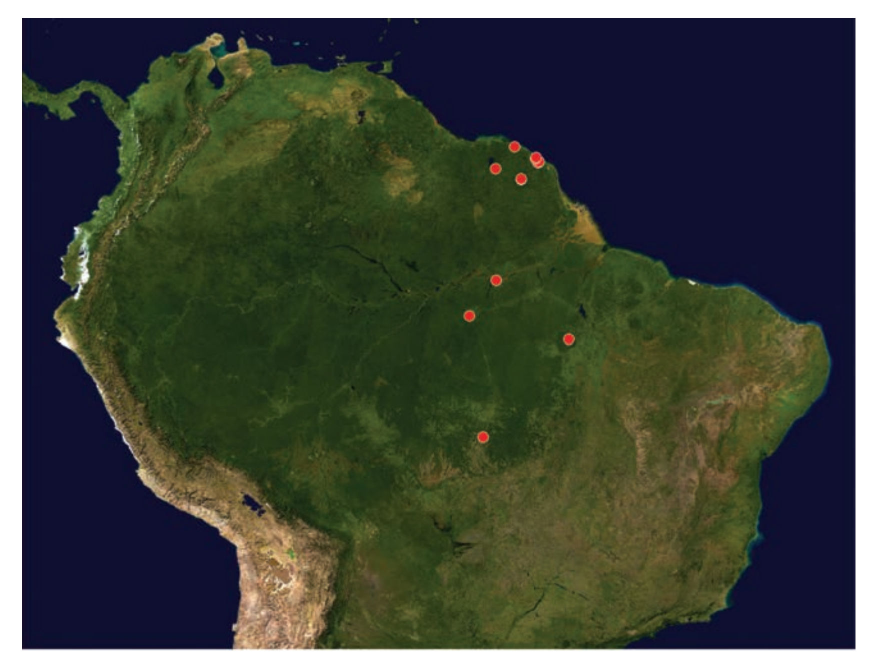


Fig. 228. Répartition géographique d'*E. cyclops*

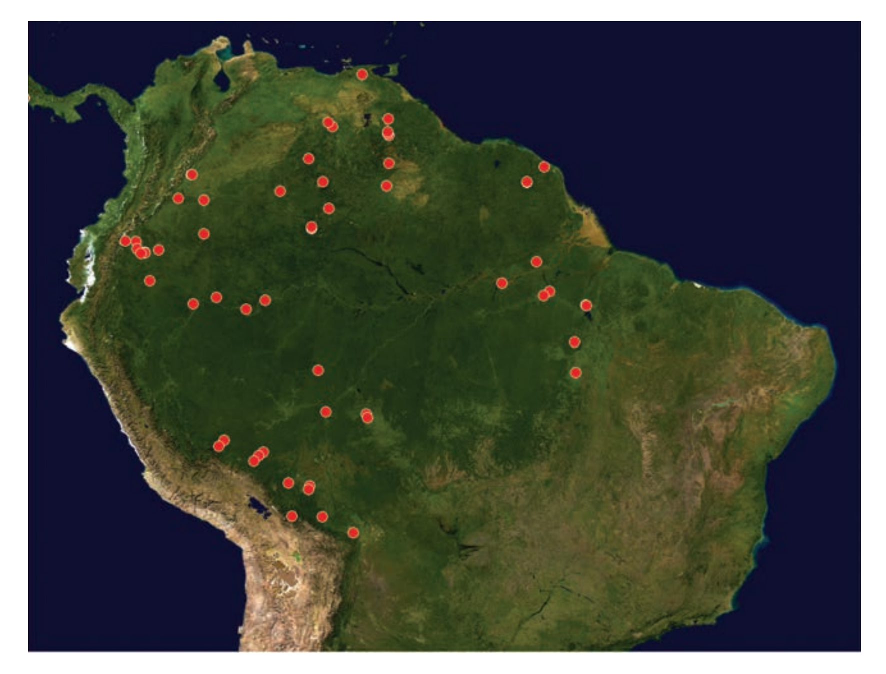


Fig. 229. Répartition géographique d'*E. hamaticollis*

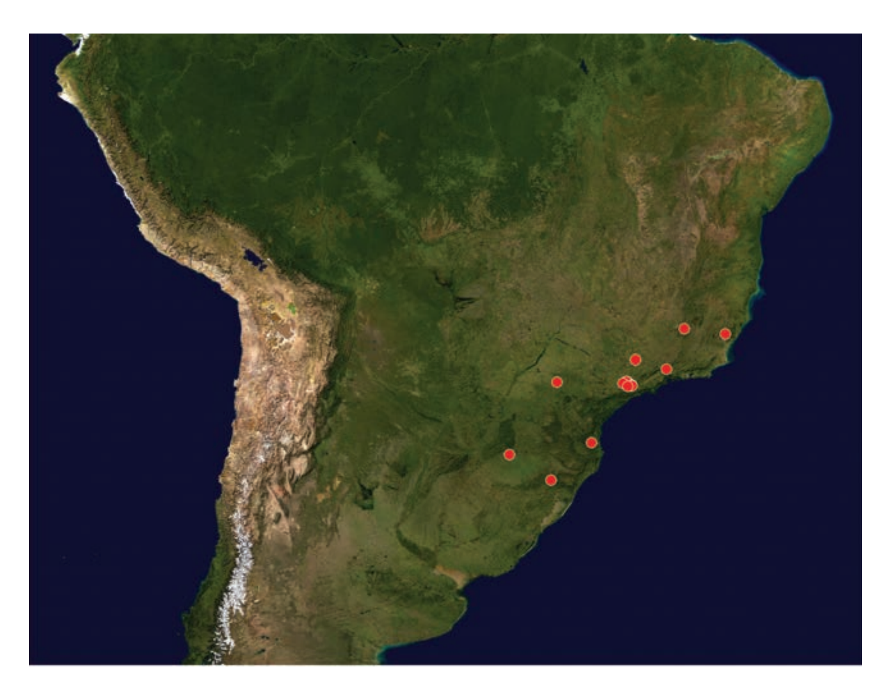


Fig. 230. Répartition géographique d'*E. francinae*

On reconnait maintenant les bousiers (Scarabaeinae) comme un des meilleurs bio-indicateurs pour classifier les écosystèmes et en évaluer la santé. Parmi les Scarabaeinae néotropicaux, les espèces du genre *Eurysternus* forment une partie importante de la biomasse et ont un impact majeur sur les écosystèmes. Un riche assemblage d'illustrations couleur, de photos et de micrographies associées aux clés de détermination multilingues (français, anglais, espagnol et portugais) facilitera l'identification des 53 espèces présentement reconnues dans le genre. On présente un traitement taxonomique complet du genre, ainsi que de l'information sur les conditions de capture, l'habitat et la phénologie pour toutes les espèces. Toutes ces données proviennent de l'examen par l'auteur de plus de 16 500 spécimens.



Dung Beetles (Scarabaeinae) are recognized and used as one of the principal bioindicators of ecosystem health and classification. The genus *Eurysternus* is one of the dominant taxa of Scarabaeinae in the Neotropical region where they have a key impact on ecosystems. This book will allow for the easy identification of the 53 currently recognized species of this important genus through multilingual identification keys (French, English, Spanish and Portuguese), an extensive collection of illustrations (drawings, scanning electron micrographs and photographs) and color distributional maps. A complete taxonomic treatment of the genus and information on collecting methods, habitat and phenology are provided for all species. Data were compiled by the author from over 16 500 specimens studied.

ISBN: 978-954-642-472-3 (HB)
ISBN: 978-954-642-473-0 (e-book)

On the front cover: *Eurysternus harlequin* Génier sp. nov.

